
Conteúdo

Prefácio da Segunda Edição	vii
Prefácio	ix
1 Preliminares	1
1.1 Introdução	1
1.2 Tipos de Dados	2
1.3 Retornos	7
1.4 Agregação de Retornos	10
1.5 Distribuição de Retornos	12
1.6 Assimetria e Curtose	17
1.7 Fatos Estilizados Sobre os Retornos	18
1.8 Volatilidade	21
1.9 Aspectos Computacionais	24
1.10 Problemas	24
Apêndice 1.A: Distribuições Estáveis	27
Apêndice 1.B: Teste de Normalidade	29
2 Processos Estocásticos	31
2.1 Processos Estacionários	31
2.2 Especificação de um Processo Estocástico	33
2.3 Propriedades da Função de Autocovariância	37
2.4 Processos Estocásticos Complexos	40
2.5 Processos Lineares Estacionários	40
2.5.1 Processos Autorregressivos	42
2.5.2 Processos de Médias Móveis	46

2.5.3	Processos Autorregressivos e de Médias Móveis	50
2.6	Processos Não Estacionários	53
2.7	Movimento Browniano	59
2.8	Martingales	65
2.9	Problemas	67
3	Modelos ARIMA	71
3.1	Introdução	71
3.2	Identificação	72
3.2.1	Procedimento de Identificação	77
3.2.2	Formas alternativas de identificação	84
3.3	Estimação	88
3.3.1	Modelos autorregressivos	88
3.3.2	Modelos de Médias Móveis	90
3.3.3	Modelos Mistos	91
3.3.4	Variâncias dos estimadores	91
3.4	Diagnóstico	93
3.4.1	Teste de autocorrelação residual	94
3.4.2	Teste de Box-Pierce-Ljung	95
3.5	Previsão com Modelos ARIMA	96
3.6	Modelos Sazonais	101
3.7	Problemas	105
4	Raízes Unitárias	111
4.1	Introdução	111
4.2	O Teste de Dickey-Fuller	112
4.3	Extensões do Teste DF	116
4.4	Comentários Finais	122
4.5	Problemas	127
	Apêndice 4: Provas dos Teoremas 4.1 e 4.2	128
5	Modelos para a Volatilidade	131
5.1	Introdução	131
5.2	Modelos ARCH	132
5.3	Modelos GARCH	143
5.4	Extensões do Modelo GARCH	148
5.4.1	Modelos EGARCH	149
5.4.2	Modelos TGARCH	151
5.5	Modelos de Volatilidade Estocástica	152

5.6	Tópicos Adicionais	159
5.7	Problemas	160
	Apêndice 5A. Algumas Distribuições Especiais	162
	Apêndice 5B. Modelos Heteroscedásticos Condicionais Multivariados .	163
6	Processos com Memória Longa	167
6.1	Introdução	167
6.2	Estimação e Testes para Memória Longa	170
6.2.1	Estatística R/S	171
6.2.2	Procedimento GPH	173
6.3	Modelos ARFIMA	176
6.4	Estimação de modelos ARFIMA	180
6.5	Previsão de modelos ARFIMA	183
6.6	Processos de Volatilidade com ML	185
6.7	Problemas	187
	Apêndice 6: Volatilidade de Garman-Klass	190
7	Valor em Risco	193
7.1	Introdução	193
7.2	Valor em Risco	194
7.3	VaR Usando a Distribuição Normal	196
7.4	VaR Usando Modelos ARMA e GARCH	202
7.5	VaR Usando Quantis Empíricos	206
7.6	VaR Usando a Teoria de Valores Extremos	207
7.7	VaR Usando o Método POT	210
7.8	Tópicos Adicionais	214
7.9	Problemas	216
	Apêndice 7: Teoria de Valores Extremos	218
8	Análise de Dados de Alta Frequência	225
8.1	Introdução	225
8.2	Volatilidade Realizada	229
8.3	Modelo de Duração Condicional	243
8.4	Modelagem da Volatilidade	251
8.5	Comentários Adicionais	252
8.6	Problemas	254
	Apêndice 8: Notas Complementares	255

9 Modelos Lineares Multivariados	259
9.1 Introdução	259
9.2 Séries Estacionárias	260
9.3 Estimação de Médias e Covariâncias	263
9.4 Modelos Autorregressivos Vetoriais	265
9.5 Construção de Modelos VAR	271
9.6 Modelos ARMA Vetoriais	276
9.7 Causalidade de Granger	280
9.8 Problemas	285
Apêndice 9.A: Alguns Resultados sobre Matrizes	287
Apêndice 9.B: Demonstração da Proposição 7.2	292
Apêndice 9.C: Modelo VAR(p) na Forma VAR(1)	293
Apêndice 9.D: Modelos Estruturais	294
10 Processos Cointegrados	297
10.1 Introdução	297
10.2 Tendências Comuns	300
10.3 Modelo de Correção de Erros	302
10.4 Testes para cointegração	307
10.4.1 Procedimento de Engle e Granger	307
10.4.2 Procedimento de Johansen	310
10.5 Comentários Finais	316
10.5.1 Enfoque Bayesiano	316
10.5.2 Termos Determinísticos no MCE	316
10.5.3 Procedimento de Máxima Verossimilhança	317
10.6 Problemas	319
11 Análise de Dependência e Cópulas	323
11.1 Introdução	323
11.2 Medidas de Dependência	324
11.3 Cópulas	329
11.4 Famílias Paramétricas de Cópulas	334
11.5 Ajuste de Cópulas Paramétricas	340
11.5.1 Estimadores de Máxima Verossimilhança	342
11.5.2 Cópulas Empíricas	342
11.5.3 Estimadores de Pseudo-MV	344
11.6 Cópulas para Séries Temporais	346
11.7 Valor em Risco e Cópulas	348
11.8 Comentários Adicionais	351

11.9 Problemas	354
Referências	357
Séries Usadas no Texto	375
Índice Remissivo	378

Prefácio da Segunda Edição

Esta segunda edição difere da anterior em vários sentidos. Primeiramente, a ordem dos capítulos foi alterada, para dar uma continuidade melhor aos assuntos tratados no livro. Em segundo lugar, um novo capítulo foi introduzido, tratando da análise da dependência entre duas ou mais séries temporais, incluindo o tópico de cópulas, que tem sido bastante usado em finanças recentemente. Finalmente, introduzimos dados atualizados de várias séries, itens novos em algumas sessões e corrigimos erros existentes na primeira edição. Agradecemos vários colegas que enviaram sugestões e correções, especialmente a Sumaia A. Latif, que produziu várias figuras do Capítulo 11.

São Paulo, março de 2011.

Pedro A. Morettin

Prefácio

Este livro trata da aplicação de técnicas de séries temporais e econometria a dados financeiros. Séries temporais econômicas e financeiras apresentam certas características especiais. Uma delas é o chamado agrupamento de volatilidades, significando que a variância da série evolve no tempo e depende da informação passada. Além disso, podemos ter séries, como de taxas de câmbio e de preços de ações, que podem ser registradas em intervalos irregulares no decorrer do dia, dando origem aos chamados dados de alta frequência.

A área de Econometria Financeira teve um desenvolvimento explosivo nos últimos anos, podendo-se dizer que resultou da fusão de conhecimentos provenientes das áreas de finanças empíricas e econometria de séries temporais. Importantes para esse crescimento foram os avanços em coleta e armazenamento de grandes bancos de dados e velocidade de processamento dos equipamentos computacionais.

Os três temas principais em finanças atualmente são o apreçamento de ativos, alocação de carteiras e gestão de riscos, sendo que áreas recentes de pesquisa incluem volatilidade e correlação de retornos de ativos financeiros, escolha ótima de carteiras e microestrutura de mercados. Neste trabalho abordaremos apenas alguns tópicos da primeira área, com menção ao cálculo do VaR (valor em risco) de um ativo ou de uma carteira de ativos.

O texto é resultado de cursos ministrados pelo autor por vários anos no Instituto de Matemática e Estatística da Universidade de São Paulo. O conteúdo do livro pode ser ministrado para alunos do final da graduação, em áreas como Estatística, Economia e Finanças e para alunos de mestrado nessas áreas e outras afins. Seria desejável que os alunos tivessem noções provenientes de

cursos básicos de probabilidade e estatística, bem como de séries temporais ou econometria.

Pressupõe-se que um curso com base neste livro tenha boa parte de seu conteúdo dedicada a análises de séries reais com uso intensivo de pacotes computacionais apropriados. Utilizamos alguns pacotes disponíveis aos usuários, como o **S+FinMetrics**, **EViews**, **Minitab** e **SCA**. Outras possibilidades são o pacote **R**, acessível gratuitamente na Internet, **RATS**, **MatLab** etc.

Vários colegas e alunos contribuíram com comentários e sugestões no decorrer da elaboração deste livro. Em particular, Clélia M. C. Toloi, Silvia R. C. Lopes e Beatriz V. M. Mendes leram versões prévias do livro e apresentaram correções, comentários e sugestões que melhoraram consideravelmente o texto. O conteúdo do Capítulo 10 foi baseado fortemente na dissertação de mestrado de Alberto F. Berti e nas teses de doutorado de Adriana Bruscato e Juan Carlos Ruilova. Agradeço a eles a permissão para usar dados e exemplos. Os erros remanescentes são, obviamente, de minha responsabilidade.

Gostaria, também, de agradecer à Diretoria da Associação Brasileira de Estatística pelo convite para ministrar um minicurso no 17º SINAPE, em 2006, baseado em parte do conteúdo deste livro.

Os dados usados e outros aspectos computacionais relacionados ao livro podem ser acessados em minha página <http://www.ime.usp.br/~pam>. Comentários e sugestões podem ser enviados ao meu endereço eletrônico, pam@ime.usp.br.

São Paulo, fevereiro de 2008.

Pedro A. Morettin

Este livro é dedicado à
memória de meus pais, Iole e
Luiz, que agora estão num lugar melhor.

CAPÍTULO 1

Preliminares

1.1 Introdução

Este livro trata da análise de séries temporais financeiras. Em princípio, não haveria diferenças entre a análise de tais séries e aquelas ocorrendo em outras áreas, como economia, oceanografia, meteorologia etc. De fato, a maioria das técnicas de análise de séries temporais são aplicáveis em diversas áreas. Contudo, uma característica presente em séries de ativos financeiros é o que se convencionou chamar de *volatilidade*, que pode ser definida de várias maneiras, mas não é diretamente observável. Para levar em conta a presença de grupos (*clusters*) de volatilidade em uma série financeira é necessário recorrer a modelos ditos heteroscedásticos condicionais. Nesses modelos, a variância (volatilidade) de um retorno num dado instante de tempo, depende de retornos passados e de outras informações disponíveis até aquele instante, de modo que temos que definir uma *variância condicional* que, não sendo constante, não coincide com a variância global (“incondicional”) da série observada. Do mesmo modo, é possível que a média varie com o tempo, ou outros momentos da distribuição dos retornos variem com o tempo.

Uma característica marcante de séries financeiras é que elas são, em geral, não serialmente correlacionadas, mas dependentes. Desse modo, modelos lineares como aqueles pertencentes à família dos modelos ARMA (autorregressivos e de médias móveis) podem não ser apropriados para descrever tais séries. Modelos da família ARCH (de *autoregressive conditional heteroscedasticity*) ou modelos de volatilidade estocástica são mais adequados. Contudo, diversas séries apresentam alguma forma de autocorrelação, de modo que modelos ARMA podem ser inicialmente aplicados para remover essa correlação, antes de usar modelos heteroscedásticos. Por esse motivo, nos Capítulos 2 e 3 apresentamos uma introdução aos modelos ARMA. Para uma análise mais detalhada,

o leitor poderá consultar Box et al. (1994) ou Morettin e Toloi (2006).

A maior parte do livro analisará séries de retornos de ativos e não os preços desses ativos. Por essa razão, ainda neste primeiro capítulo faremos uma revisão de conceitos relativos a retornos. Além dos modelos ARMA, no Capítulo 2 apresentaremos outros processos estocásticos que são importantes na análise de séries temporais aparecendo em economia e finanças. No Capítulo 3, fazemos uma revisão sobre a construção de modelos ARIMA. No Capítulo 4, tratamos do importante problema de raízes unitárias e como testar sua presença em dada série. No Capítulo 5, introduzimos os modelos heteroscedásticos condicionais e, no Capítulo 6, introduzimos os processos com memória longa e modelos apropriados para representá-los, como os modelos ARFIMA.

Um dos problemas mais importantes atualmente em finanças é avaliar o risco de uma posição financeira, e o **VaR** (valor em risco) é um instrumento frequentemente usado. No Capítulo 7, introduzimos várias formas de se calcular o valor em risco. No Capítulo 8, introduzimos noções básicas sobre análise de dados de alta frequência e, no Capítulo 9, estendemos o estudo dos modelos estudados nos capítulos 2 e 3 para englobar modelos lineares multivariados, analisando os modelos VAR (modelos autorregressivos vetoriais) e VARMA (modelos autorregressivos e de médias móveis vetoriais). O conceito de cointegração e o modelo de correção de erros são discutidos no Capítulo 10. Finalmente, no Capítulo 11, apresentamos algumas medidas de dependência entre variáveis aleatórias e séries temporais, com ênfase no estudo de cópulas.

1.2 Tipos de Dados

Nesta seção descreveremos os diversos tipos de dados que são mais comuns na análise de séries financeiras. Numa primeira categoria, temos observações igualmente espaçadas: o intervalo Δt entre observações consecutivas é constante, por exemplo, um dia, uma semana, um mês. Quando analisamos dados diários, usualmente utilizamos o último valor observado no dia, como o preço de fechamento de uma ação numa bolsa de valores. Algumas vezes, pode ser um valor agregado durante o período, como o volume (em moeda) negociado de dada ação na bolsa durante um dia.

Os dados podem ser observados em instantes de tempo irregularmente espaçados, como os dados intradiários de ativos negociados em bolsas de valores ou de mercadorias, ou taxas de câmbio. Nesses casos, os intervalos entre observações são variáveis aleatórias (as chamadas “durações”) e podemos ter também várias observações (negócios) coincidindo num mesmo instante de

tempo. Esse tipo de dado é chamado de *alta frequência*.

As séries financeiras que serão usadas no texto estão listadas no final do livro e podem ser acessadas no site <http://www.ime.usp.br/~pam>.

Exemplo 1.1. Na Figura 1.1 (a), temos o gráfico dos índices diários da Bolsa de Valores de São Paulo (Ibovespa) no período de 4 de julho de 1994 a 29 de setembro de 2010, num total de $T = 4019$ observações. O arquivo d-ibv94.10.dat contém esses dados, que aparecem no arquivo na forma apresentada no Quadro 1.1.

Quadro 1.1: Dados do índice Ibovespa	
Date	IBOVESPA
04/07/1994	3580,80
05/07/1994	3564,30
06/07/1994	3753,50
07/07/1994	3904,90
08/07/1994	4051,90
...	...

Estes são os valores de fechamento do índice. Podemos ter outras informações, como os valores de abertura, mínimo e máximo, por exemplo.

Exemplo 1.2. Na Figura 1.2 (a), mostramos o gráfico dos índices diários do Dow Jones Industrial Average (fechamento), DJIA, no período de 3 de janeiro de 1995 a 26 de dezembro de 2002, com $T = 1992$ observações. Estes dados encontram-se no arquivo d-dow95.02.dat. No Quadro 1.2, temos parte do arquivo de dados, onde aparecem os índices de abertura, máximo, mínimo, fechamento e o volume negociado no dia.

Quadro 1.2: Dados do índice Dow Jones					
Date	Open	High	Low	Close	Volume
3/jan/95	3834.4	3864.7	3805.5	3838.5	2624500
4/jan/95	3838.5	3876.8	3815.3	3857.7	3195100
5/jan/95	3857.7	3876.8	3825.4	3850.9	3091400
6/jan/95	3850.9	3902.4	3823.7	3867.4	3080700
9/jan/95	3867.4	3889.3	3834.4	3861.4	2787100
...

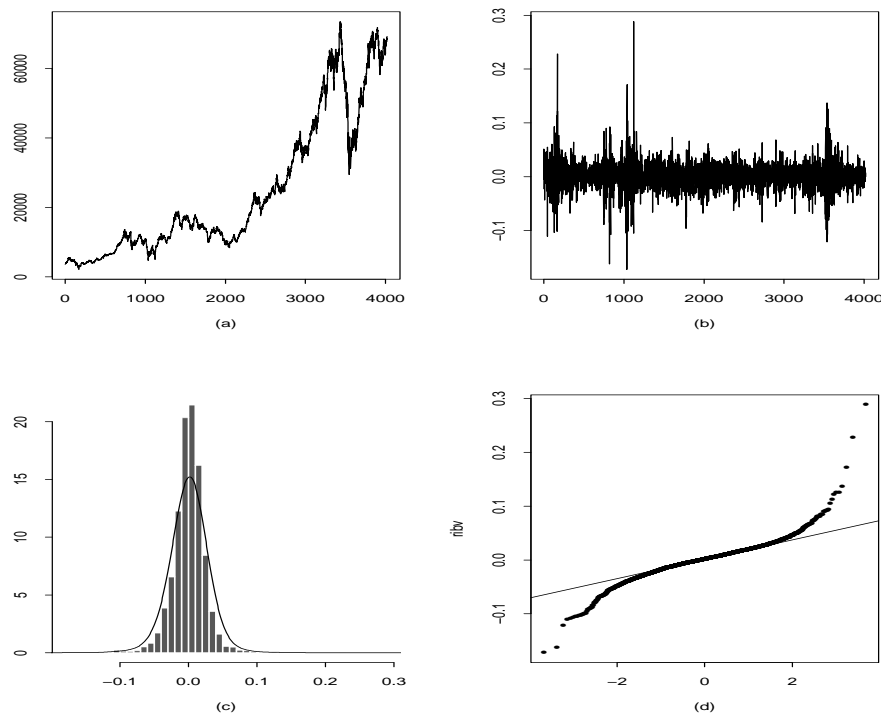


Figura 1.1: (a) Gráfico da série Ibovespa (b) série dos retornos (c) histograma dos retornos com densidade ajustada (d) gráfico $Q \times Q$

Dados de alta frequência podem ser registrados de diferentes formas, dependendo do tipo de ativo. No Quadro 1.3 temos um *layout* típico de dados de ações negociadas na Bolsa de Valores de São Paulo.

Quadro 1.3: Dados de alta frequência						
Data	Código	Empresa	Tipo	Pr.	Hora	Nº Negócio
2003-02-03;	BBDC4;	BRADESCO;	PN*N1;	9.9900;	1101;	10;
2003-02-03;	BBDC4;	BRADESCO;	PN*N1;	10.0000;	1101;	20;
2003-02-03;	BBDC4;	BRADESCO;	PN*N1;	10.0000;	1101;	30;
2003-02-03;	BBDC4;	BRADESCO;	PN*N1;	10.0500;	1102;	40;
2003-02-03;	BBDC4;	BRADESCO;	PN*N1;	10.0500;	1102;	50;
...

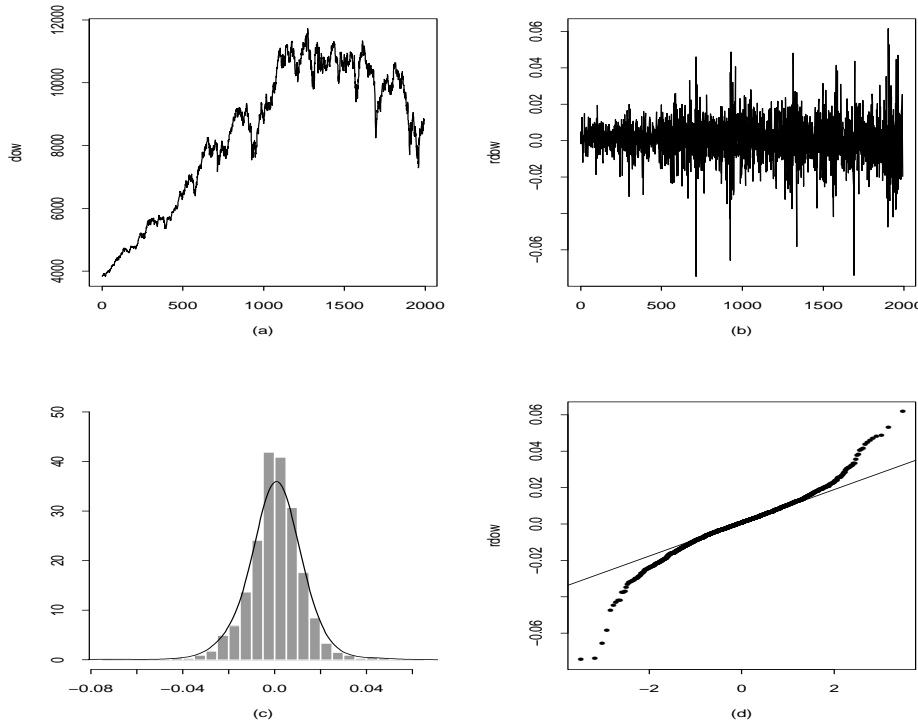


Figura 1.2: (a) Gráfico da série DJIA (b) série dos retornos (c) histograma dos retornos com densidade ajustada (d) gráfico $Q \times Q$

Este arquivo de dados traz os preços das ações Bradesco PN (na quinta coluna), no dia 3 de fevereiro de 2003. As outras colunas trazem informação sobre o código do ativo, a hora e o número do negócio. Note que há três observações no mesmo instante de tempo, onze horas e um minuto. Para se ter uma quantidade razoável de dados intradiários para análise, o ativo deve ter uma grande liquidez, o que não acontece com um grande número dos papéis negociados na Bolsa de Valores de São Paulo, por exemplo.

A seguir, ilustramos os dados intradiários do Ibovespa e da Telemar PN, encontrados nos arquivos id-ibv98.03.dat e id-tel02.05.dat. Nesses arquivos os dados foram interpolados, de modo a se ter observações a cada quinze minutos.

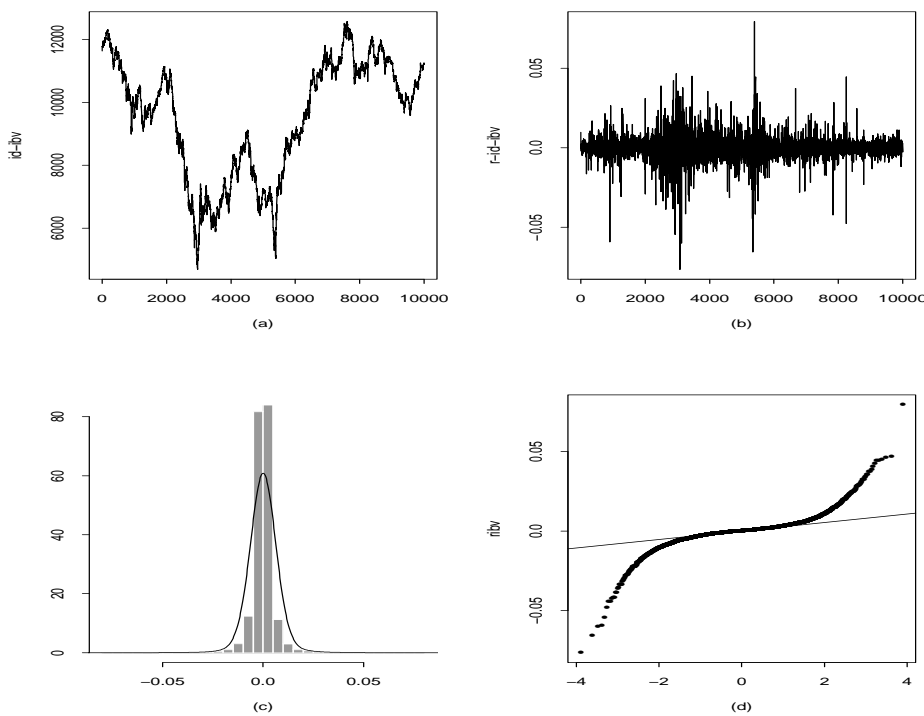


Figura 1.3: (a) Gráfico da série Ibovespa intradiária (b) série dos retornos (c) histograma dos retornos com densidade ajustada (d) gráfico $Q \times Q$

Exemplo 1.3. Na Figura 1.3 (a), temos o gráfico de parte dos dados do Ibovespa, observados a cada quinze minutos, de 6 de abril de 1998 a 13 de agosto de 2003, num total de 1309 dias e $T = 37.961$ observações. Na Figura 1.4 (a), temos o gráfico de parte dos dados da Telemar PN, observados a cada 15 minutos, de 2 de janeiro de 2002 a 31 de março de 2005, com $T = 21.429$ observações.

Em todos os exemplos, apresentamos os gráficos das séries financeiras, que em geral são séries não estacionárias, como veremos no Capítulo 2. Na próxima seção iremos considerar aquelas séries que efetivamente serão nosso objeto principal de estudo, os *retornos*.

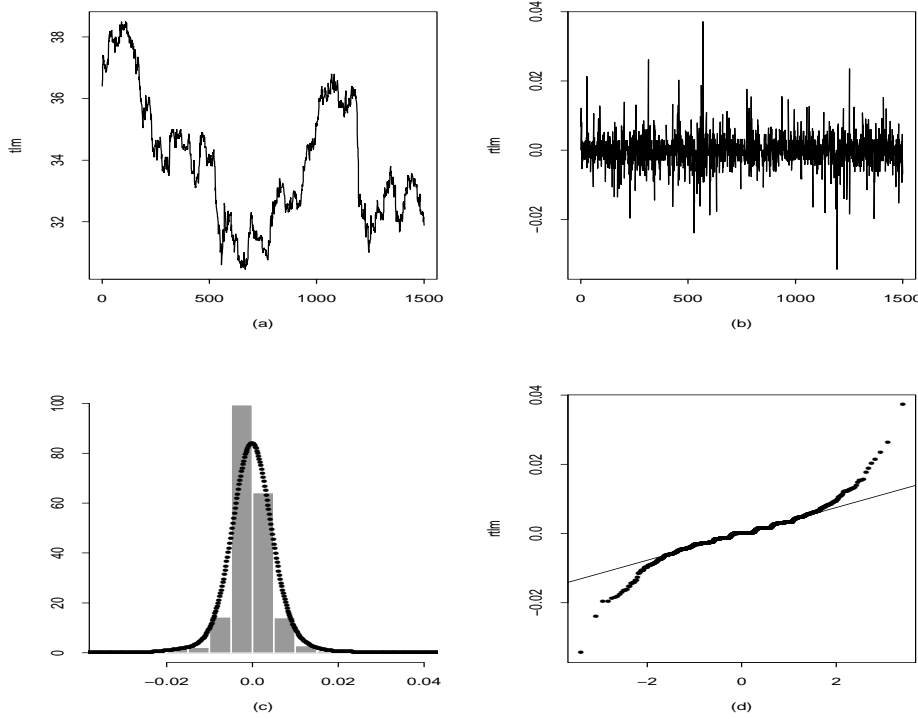


Figura 1.4: (a) Gráfico da série Telemar intradiária (b) série dos retornos (c) histograma dos retornos com densidade ajustada (d) gráfico $Q \times Q$

1.3 Retornos

Um dos objetivos em finanças é a avaliação de riscos de uma carteira de ativos (instrumentos) financeiros. O risco é frequentemente medido em termos de variações de preços dos ativos.

Denotemos por P_t o preço de um ativo no instante t , normalmente um dia de negócio. Suponha, primeiramente, que não haja dividendos pagos no período. A variação de preços entre os instantes $t - 1$ e t é dada por $\Delta P_t = P_t - P_{t-1}$ e a variação relativa de preços ou *retorno líquido simples* deste ativo entre os mesmos instantes é definida por

$$R_t = \frac{P_t - P_{t-1}}{P_{t-1}} = \frac{\Delta P_t}{P_{t-1}}. \quad (1.1)$$

Note que $R_t = P_t/P_{t-1} - 1$. Chamamos $1 + R_t = P_t/P_{t-1}$ de *retorno bruto simples*. Usualmente expressamos R_t em percentagem, relativamente ao

período (um dia, um mês, um ano etc). É também chamado de *taxa de retorno*.

Denotando $p_t = \log P_t$ (sendo o logaritmo na base e), definimos o *retorno composto continuamente* ou simplesmente *log-retorno* como

$$r_t = \log \frac{P_t}{P_{t-1}} = \log(1 + R_t) = p_t - p_{t-1}. \quad (1.2)$$

Essa definição será aquela comumente utilizada e, muitas vezes, r_t será chamado simplesmente de *retorno*. Note que, de (1.2), obtemos $R_t = e^{r_t} - 1$. Usaremos, no que segue, a notação $\log(a)$ para designar o logaritmo de a na base e .

Na prática, é preferível trabalhar com retornos, que são livres de escala e têm propriedades estatísticas mais interessantes (como estacionariedade e ergodicidade). Um dos objetivos será, então, modelar retornos. Diversas classes de modelos podem ser utilizadas para esse fim, tais como os modelos ARMA, ARCH, GARCH, modelos de volatilidade estocástica etc. Esses modelos serão estudados nos capítulos seguintes.

Note também que, para u pequeno, $\log(1 + u) \approx u$, do que segue que os retornos simples R_t e os log-retornos r_t serão, em geral, valores próximos.

Podemos definir também retornos multiperíodos. O retorno simples de período k , entre os instantes $t - k$ e t é dado por

$$R_t[k] = \frac{P_t - P_{t-k}}{P_{t-k}}, \quad (1.3)$$

de modo que

$$R_t[k] = \frac{P_t}{P_{t-k}} - 1. \quad (1.4)$$

Em termos de retornos de um período podemos escrever (1.3) como

$$\begin{aligned} 1 + R_t[k] &= \frac{P_t}{P_{t-k}} \\ &= \frac{P_t}{P_{t-1}} \frac{P_{t-1}}{P_{t-2}} \cdots \frac{P_{t-k+1}}{P_{t-k}}, \end{aligned}$$

ou seja,

$$1 + R_t[k] = (1 + R_t)(1 + R_{t-1}) \cdots (1 + R_{t-k+1}).$$

Para facilitar comparações em horizontes diferentes é comum “anualizar” os retornos simples, considerando

$$R_t[k]\text{anualizado} = [\prod_{j=0}^{k-1}(1+R_{t-j})]^{1/k} - 1,$$

que pode ser aproximado por $(1/k) \sum_{j=0}^{k-1} R_{t-j}$, usando uma expansão de Taylor até primeira ordem. Veja o Problema 10.

Por sua vez, o log-retorno de período k fica, usando (1.4),

$$r_t[k] = \log \frac{P_t}{P_{t-k}} = \log(1 + R_t[k]) = \sum_{j=0}^{k-1} \log(1 + R_{t-j}) = \sum_{j=0}^{k-1} r_{t-j}. \quad (1.5)$$

Por exemplo, um mês comprehende normalmente cerca de 21 dias de transações, de modo que o log-retorno continuamente composto em um mês é dado por

$$r_t[21] = r_t + r_{t-1} + \dots + r_{t-20},$$

para todo t .

A expressão (1.5) é interessante do ponto de vista estatístico, pois para k relativamente grande a soma pode ser aproximada por uma v.a. normal, usando o teorema limite central.

Se houver pagamento de dividendos D_t no período, então os retornos ficam, respectivamente,

$$R_t = \frac{P_t + D_t}{P_{t-1}} - 1, \quad (1.6)$$

$$r_t = \log(1 + R_t) = \log(P_t + D_t) - \log P_{t-1}. \quad (1.7)$$

Vemos que r_t é uma função não linear de log-preços e log-dividendos.

Exemplo 1.4. Considere os índices diários do Ibovespa do exemplo 1.1 e sejam $P_1 = 3580,80, \dots, P_5 = 4051,90$. Então,

$$\begin{aligned} R_2 &= \frac{P_2 - P_1}{P_1} = -0,004608, \\ r_2 &= \log \frac{P_2}{P_1} = -0,004619, \\ R_5[3] &= \frac{P_5 - P_2}{P_2} = 0,136801, \end{aligned}$$

$$r_5[3] = r_5 + r_4 + r_3 = \log \frac{P_5}{P_2} = 0,128218.$$

Exemplo 1.1. (continuação) Na Figura 1.1 (b), temos o gráfico dos retornos diários do Ibovespa. Note que esses retornos oscilam ao redor do zero, aparentam ser estacionários, mas apresentam uma variabilidade que depende do tempo (a chamada “volatilidade”), com períodos de alta variabilidade, períodos de baixa variabilidade e dias em que os retornos são valores atípicos (“outliers”), quando comparados com os demais dias.

Exemplo 1.2. (continuação). A Figura 1.2 (b) apresenta os retornos diários do DJIA, que tem características semelhantes aos retornos do Ibovespa.

1.4 Agregação de Retornos

Na equação (1.5), temos o que se chama de *agregação temporal* dos retornos. Podemos ter, também, uma agregação *cross-section* (transversal), para diversos ativos de uma carteira de investimentos, c . Suponha que esta contenha N instrumentos A_1, \dots, A_N , com pesos w_1, \dots, w_N , com $\sum_{i=1}^N w_i = 1$. Denotemos por R_i os retornos simples e por r_i os log-retornos desses ativos, $i = 1, \dots, N$. Se P_0 indicar o preço inicial da carteira, após um período teremos, para retornos continuamente compostos,

$$\frac{P_1}{P_0} = \sum_{i=1}^N w_i e^{r_i}. \quad (1.8)$$

O log-retorno da carteira é $r_c = \log \frac{P_1}{P_0}$, logo obtemos

$$r_c = \log \sum_{i=1}^N w_i e^{r_i}, \quad (1.9)$$

enquanto que o retorno simples da carteira é

$$\begin{aligned} R_c &= \frac{P_1}{P_0} - 1 \\ &= \sum_{i=1}^N w_i e^{r_i} - 1 \\ &= \sum_{i=1}^N w_i (1 + R_i) - 1, \end{aligned}$$

ou seja,

$$R_c = \sum_{i=1}^N w_i R_i. \quad (1.10)$$

No caso de composição discreta teremos

$$\frac{P_1}{P_0} = \sum_{i=1}^N w_i (1 + r_i), \quad (1.11)$$

de modo que o retorno simples da carteira é $R_c = (P_1 - P_0)/P_0$, ou seja,

$$R_c = \sum_{i=1}^N w_i (1 + r_i) - 1 = \sum_{i=1}^N w_i r_i. \quad (1.12)$$

Vemos, pois, de (1.10) e (1.12), que o retorno simples é uma soma ponderada de retornos simples, no caso de composição contínua, e uma soma ponderada de log-retornos, no caso de composição discreta.

De modo geral podemos ter:

(i) Agregação temporal: para $i = 1, \dots, N$,

$$R_{i,t}[k] = \prod_{j=0}^{k-1} (1 + R_{i,t-j}) - 1, \quad (1.13)$$

$$r_{i,t}[k] = \sum_{j=0}^{k-1} r_{i,t-j}, \quad (1.14)$$

para retornos simples e log-retornos, respectivamente.

(ii) Agregação cross-section: para a carteira c e período t ,

$$R_{c,t} = \sum_{i=1}^N w_i R_{i,t}, \quad (1.15)$$

$$r_{c,t} = \log \left(\sum_{i=1}^N w_i e^{r_{i,t}} \right). \quad (1.16)$$

Para agregação temporal é mais conveniente trabalhar com log-retornos, enquanto que para agregação *cross-section* os retornos simples são mais convenientes. Como já salientamos, trabalha-se normalmente com log-retornos e a expressão (1.16) é aproximada por

$$r_{c,t} \approx \sum_{i=1}^N w_i r_{i,t}.$$

Exemplo 1.5. Na Figura 1.5 (a), temos os índices mensais do Ibovespa, enquanto que na Figura 1.5 (b) temos os respectivos retornos, no período de junho de 1994 a agosto de 2001, com $T = 86$ dados (arquivo m-ibv94.01.dat). Esses retornos mensais são obtidos usando-se a fórmula (1.5), ou seja, somando-se os retornos diários. Observe que obtemos uma série mais suave, ou seja, com menor variabilidade do que a série de retornos diários.

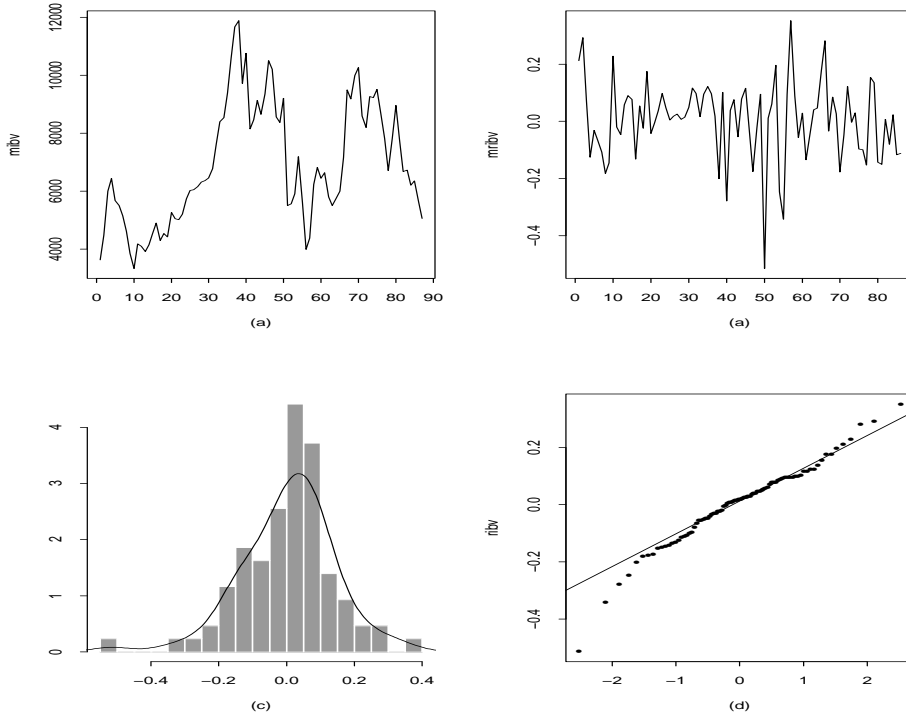


Figura 1.5: (a) Gráfico da série dos retornos mensais do Ibovespa (b) histograma dos retornos com densidade ajustada (d) gráfico $Q \times Q$

1.5 Distribuição de Retornos

Considere, inicialmente, uma série de retornos $\{r_t, t = 1, \dots, T\}$, observados em instantes de tempo igualmente espaçados. Essa série pode ser consi-

derada parte de uma realização de um processo estocástico $\{r_t, t \in Z\}$, onde $Z = \{0, \pm 1, \pm 2, \dots\}$. No Capítulo 2, trataremos da formalização desse conceito. Veremos lá que o processo estará especificado completamente se conhecermos as distribuições finito-dimensionais

$$F(x_1, \dots, x_n; t_1, \dots, t_n) = P(r(t_1) \leq x_1, \dots, r(t_n) \leq x_n), \quad (1.17)$$

para quaisquer instantes de tempo t_1, \dots, t_n e qualquer $n \geq 1$. As distribuições (1.17) devem satisfazer certas condições. Contudo, na prática, é muito difícil (ou impossível) conhecer (1.17) e o que se faz é caracterizar o processo por momentos até determinada ordem, como a média

$$E(r_t) = \int_{-\infty}^{\infty} r dF(r; t) \quad (1.18)$$

ou a função de autocovariância

$$\gamma(t_1, t_2) = E(r_{t_1} r_{t_2}) - E(r_{t_1}) E(r_{t_2}), \quad t_1, t_2 \in Z. \quad (1.19)$$

Outras suposições simplificadoras podem ser introduzidas, como condições de estacionariedade, ergodicidade ou normalidade do processo. Como vimos, os preços P_t em geral não são estacionários, ao passo que os log-retornos o são, donde o interesse nesses últimos. Todavia, a suposição de normalidade dos log-retornos, em geral, não é válida. Voltaremos a esse assunto mais tarde.

Por outro lado, se tivermos N ativos com retornos r_{it} em T instantes de tempo, teríamos que considerar as distribuições

$$F(r_{1,1}, \dots, r_{N,1}; \dots; r_{1,T}, \dots, r_{N,T}),$$

que usualmente podem depender de outras variáveis e parâmetros desconhecidos. Assim como no caso anterior, o estudo dessas distribuições é muito geral e há necessidade de introduzir restrições. Por exemplo, podemos supor que a distribuição é a mesma para todo instante de tempo (invariância temporal).

Podemos escrever (1.17) como (tomando-se $t_i = i, i = 1, \dots, n$ e omitindo a dependência de F sobre esses tempos)

$$F(r_1, \dots, r_n) = F_1(r_1) F_2(r_2 | r_1) \dots F_n(r_n | r_1, \dots, r_{n-1}). \quad (1.20)$$

No segundo membro de (1.20), temos as distribuições condicionais e podemos estar interessados em saber como essas evoluem no tempo. Uma hipótese muitas vezes formulada é que os retornos são temporalmente independentes,

ou seja, não são previsíveis usando retornos passados. Nessa situação, teremos que

$$F_t(r_t|r_1, \dots, r_{t-1}) = F_t(r_t).$$

Ergodicidade é uma propriedade mais difícil de estabelecer. Basicamente, um processso é ergódico se pudermos estimar características de interesse (média, autocovariância etc) a partir de uma única trajetória do processo. Assim, um processo é ergódico na média se a média amostral convergir, em probabilidade, para a média verdadeira do processo.

Uma outra suposição que às vezes é feita sobre a distribuição dos retornos é que esta seguiria uma distribuição estável. Veja o Apêndice 1.A para alguma informação sobre essas distribuições. Blattberg e Gonedes (1974) fazem uma comparação entre a distribuição t de Student e as distribuições estáveis como modelos para preços de ações. Veja também Mittnik et al. (1998) e Aparicio e Estrada (2001) para estudos similares.

A função de distribuição (1.20) depende, em geral, de co-variáveis \mathbf{Y} e de um vetor de parâmetros, $\boldsymbol{\theta}$, que a caracterizam. Supondo retornos com distribuição contínua, podemos obter de (1.20) a função de verossimilhança e, a partir dela, estimar $\boldsymbol{\theta}$. Por exemplo, supondo-se que as distribuições condicionais $f_t(r_t|r_1, \dots, r_{t-1})$ sejam normais, com média μ_t e variâncai σ_t^2 , então $\boldsymbol{\theta} = (\mu_t, \sigma_t^2, t = 1, \dots, n)$ e a função de verossimilhança ficará

$$f(r_1, \dots, r_n; \boldsymbol{\theta}) = f_1(r_1; \boldsymbol{\theta}) \prod_{t=2}^n \frac{1}{\sigma_t \sqrt{2\pi}} \exp \left(-(r_t - \mu_t)^2 / 2\sigma_t^2 \right).$$

O estimador de máxima verossimilhança de $\boldsymbol{\theta}$ é obtido maximizando-se essa função ou o logaritmo dela.

Como vimos, podemos considerar N ativos ao longo do tempo, r_{1t}, \dots, r_{Nt} , que podemos agrupar num vetor $\mathbf{r}_t = (r_{1t}, r_{2t}, \dots, r_{Nt})'$. Estaremos interessados em analisar a distribuição conjunta desses retornos e obteremos uma decomposição similar a (1.20). O interesse reside no estudo das distribuições condicionais

$$F_t(\mathbf{r}_t | \mathbf{r}_1, \dots, \mathbf{r}_{t-1}, \mathbf{Y}, \boldsymbol{\theta}).$$

Há vários dispositivos gráficos que podemos utilizar para avaliar a forma da distribuição dos retornos: o histograma, estimativas da função densidade e gráficos quantis-quantis (os chamados “Q×Q plots”).

Histogramas

Este é um gráfico bastante conhecido e consiste em construir retângulos

contíguos, a partir da divisão do espaço amostral em intervalos, geralmente com o mesmo comprimento. A partir dos dados x_1, \dots, x_n o histograma pode ser definido por

$$H(x) = \sum_{i=1}^n I\{x - \tilde{x}_i; h\},$$

onde \tilde{x}_i é o centro do intervalo onde a observação x_i cai e $I\{z; h\}$ é o indicador do intervalo $[-h, h]$. Algum tipo de escalamento é feito para que a área do histograma seja um.

Há críticas ao uso do histograma, sendo que as principais são que o comportamento do histograma depende da escolha de h e da posição inicial da grade, e além disso informação é perdida, pois substituímos x_i pelo ponto médio do intervalo ao qual ele pertence.

Para evitarmos estas dificuldades, estimadores mais suaves da densidade $f(x)$ podem ser usados. Um dos mais utilizados substitui retângulos por uma função *núcleo* (“kernel”) mais suave, obtendo-se

$$\hat{f}(x) = \frac{1}{n} \sum_{i=1}^n k(x - x_i; h),$$

onde k é o núcleo, em geral também uma função densidade, cuja variância é controlada por h , chamada *largura de faixa (bandwidth)*. O comportamento de \hat{f} vai depender de h , de modo que uma crítica ao histograma permanece. Mas é mais fácil comparar estimadores deste tipo do que histogramas. Uma escolha usual para k é $k(z; h) = \phi(z; h)$, a densidade normal com média zero e desvio padrão h .

O programa SPlus usa a função **hist** para obter o histograma de um conjunto de dados e as funções **ksmooth** e **density** para obter \hat{f} e pode-se escolher entre os núcleos retangular, triangular, cosseno e gaussiano, usando a opção **window**.

Q×Q Plots

Suponha que a v.a. X tenha distribuição contínua, com f.d.a. F . Então, para $0 \leq p \leq 1$, o p -quantil de F é o valor Q_p satisfazendo $F(Q_p) = p$, ou seja,

$$F(Q_p) = P(X \leq Q_p) = p.$$

Se existir a inversa de F , então $Q_p = F^{-1}(p)$. No caso de X ser discreta, a definição tem que ser modificada: o p -quantil é o valor Q_p satisfazendo

$$\begin{aligned} P(X \leq Q_p) &\geq p \\ P(X \geq Q_p) &\geq 1 - p. \end{aligned}$$

Dado um conjunto de observações podemos calcular os *quantis empíricos*. Uma maneira é considerar a *função de distribuição empírica* \hat{F}_n como estimador de F , ou seja, dadas as observações X_1, \dots, X_n de X ,

$$\hat{F}_n(x) = \frac{1}{n} \#\{i : 1 \leq i \leq n, X_i \leq x\}.$$

Então, o quantil Q_p é estimado pelo p -quantil de \hat{F}_n . Ou seja, o p -quantil estimado, q_p , seria definido por $\hat{F}_n(q_p) = p$. Contudo, usaremos um enfoque um pouco diferente.

Chamemos de r_1, \dots, r_T os retornos observados e considere as estatísticas de ordem $r_{(1)} \leq r_{(2)} \leq \dots \leq r_{(T)}$. Um estimador consistente de Q_p é dado pelo p -quantil empírico, definido por

$$q_p = \begin{cases} r_{(i)}, & \text{se } p = p_i = (i - 0,5)/T, i = 1, \dots, T \\ (1 - f_i)r_{(i)} + f_i r_{(i+1)}, & \text{se } p_i < p < p_{i+1} \\ r_{(1)}, & \text{se } 0 < p < p_1 \\ r_{(T)}, & \text{se } p_T < p < 1, \end{cases} \quad (1.21)$$

onde $f_i = (p - p_i)/(p_{i+1} - p_i)$.

Ou seja, ordenados os dados, q_p é uma das estatísticas de ordem, se p for da forma $p_i = (i - 0,5)/T$ e está na reta ligando os pontos $(p_i, r_{(i)})$ e $(p_{i+1}, r_{(i+1)})$, se p estiver entre p_i e p_{i+1} . Tomamos p_i da forma escolhida e não como i/T para que, por exemplo, a mediana calculada segundo esta definição coincida com a definição usual.

Há dois tipos de gráficos $Q \times Q$: teóricos e empíricos. O primeiro tipo é usado para verificar se um conjunto de dados vem de determinada distribuição. O segundo tipo é usado para verificar se dois conjuntos de dados têm uma mesma distribuição. Para verificar se um conjunto de dados provêm de uma distribuição especificada, consideramos o gráfico em que, no eixo horizontal, colocamos os quantis teóricos da distribuição hipotetizada para os dados, e no eixo vertical, os quantis empíricos dos dados, ambos calculados nos pontos p_i acima. Se as observações realmente são provenientes da distribuição em questão, os pontos deverão estar distribuídos ao longo de uma reta.

Exemplo 1.1. (continuação) Na Figura 1.1 (c), temos o histograma dos retornos diários do Ibovespa, com uma densidade estimada a partir dos dados. Vemos que o histograma tem a parte central mais alta do que uma normal e há a presença de valores bastante afastados da posição central dos dados. Esses fatos são característicos de retornos financeiros e são descritos pela chamada medida de curtose, a ser estudada na seção seguinte. Dizemos que os retornos são leptocúrticos, com caudas mais pesadas que a normal. Na Figura 1.1 (d), temos o gráfico $Q \times Q$ com respeito aos quantis da distribuição normal padrão. Se os dados fossem aproximadamente normalmente distribuídos, os pontos estariam sobre uma reta, o que não acontece no caso em questão.

Exemplo 1.2. (continuação). As mesmas considerações do exemplo anterior aplicam-se aos retornos diários do DJIA, com os gráficos correspondentes sendo mostrados na Figura 1.2 (c) e Figura 1.2 (d).

Exemplo 1.5. (continuação) Nas figuras 1.5 (c) e 1.5(d), temos o histograma e gráfico $Q \times Q$ para os retornos mensais do Ibovespa.

1.6 Assimetria e Curtose

Uma suposição muitas vezes utilizada é que os retornos r_t sejam independentes, identicamente distribuídos e normais (gaussianos). Contudo há argumentos contrários a essa suposição. Veja Campbell et al. (1997) para uma discussão mais elaborada. Se supusermos que os log-retornos r_t são normais, os retornos brutos serão *log-normais*, o que parece ser mais razoável.

De fato, se $r_t \sim \mathcal{N}(\mu, \sigma^2)$, então, como $r_t = \log(1 + R_t)$, segue-se que $1 + R_t$ será log-normal, com

$$E(R_t) = e^{\mu + \sigma^2/2} - 1, \quad (1.22)$$

$$\text{Var}(R_t) = e^{2\mu + \sigma^2}(e^{\sigma^2} - 1). \quad (1.23)$$

Quando se considera a distribuição amostral dos retornos, nota-se que esta é aproximadamente simétrica, mas com *excesso de curtose*. Vamos discutir brevemente os conceitos de *assimetria* e *curtose*.

Seja X uma variável aleatória qualquer, com média μ e variância σ^2 . Então, a *assimetria* de X é definida por

$$A(X) = E\left(\frac{(X - \mu)^3}{\sigma^3}\right), \quad (1.24)$$

enquanto que a *curtose* de X é definida por

$$K(X) = E \left(\frac{(X - \mu)^4}{\sigma^4} \right). \quad (1.25)$$

Para uma distribuição normal, $A = 0$ e $K = 3$, donde a quantidade $e(X) = K(X) - 3$ ser chamada *excesso de curtose*. Distribuições com caudas pesadas têm curtose maior do que 3 e esta pode mesmo ser infinita.

Com uma amostra X_1, \dots, X_T de X , considere o r -ésimo momento amostral

$$m_r = \frac{1}{T} \sum_{t=1}^T (X_t - \bar{X})^r,$$

onde $\hat{\mu} = \bar{X}$. Substituindo os momentos verdadeiros de X pelos respectivos momentos amostrais, obtemos os estimadores

$$\hat{A}(X) = \frac{m_3}{m_2^{3/2}} = \frac{1}{T} \sum_{t=1}^T \left(\frac{X_t - \bar{X}}{\hat{\sigma}} \right)^3, \quad (1.26)$$

$$\hat{K}(X) = \frac{m_4}{m_2^2} = \frac{1}{T} \sum_{t=1}^T \left(\frac{X_t - \bar{X}}{\hat{\sigma}} \right)^4, \quad (1.27)$$

respectivamente, onde $\hat{\sigma}^2 = \sum_{t=1}^T (X_t - \bar{X})^2 / T$. Segue-se que $\hat{e}(X) = \hat{K}(X) - 3$.

Pode-se provar que, se tivermos uma amostra de uma distribuição normal e T for grande, então

$$\hat{A} \sim \mathcal{N}(0, 6/T), \quad \hat{K} \sim \mathcal{N}(3, 24/T). \quad (1.28)$$

Esses fatos podem ser utilizados para testar a normalidade de uma série. Veja o Apêndice 1.B.

Sabemos que os momentos amostrais são estimadores viesados dos respectivos momentos populacionais. Pode-se obter estimadores menos viesados, definindo-se os coeficientes de assimetria e curtose em termos de cumulantes. Veja Joanes e Gill (1998) para detalhes.

1.7 Fatos Estilizados Sobre os Retornos

Séries econômicas e financeiras apresentam algumas características que são comuns a outras séries temporais, como:

- (a) tendências;
- (b) sazonalidade;
- (c) pontos influentes (atípicos);
- (d) heteroscedasticidade condicional;
- (e) não linearidade.

O leitor está, certamente, familiarizado com as características acima; para detalhes, veja Franses (1998). Dessas, a última talvez seja a mais complicada de definir. De um modo bastante geral, podemos dizer que uma série econômica ou financeira é não linear quando responde de maneira diferente a choques grandes ou pequenos, ou ainda, a choques negativos ou positivos. Por exemplo, uma queda de um índice da Bolsa de Valores de São Paulo pode causar maior volatilidade no mercado do que uma alta.

Os retornos financeiros apresentam, por outro lado, outras características peculiares, que muitas séries não apresentam. Retornos raramente apresentam tendências ou sazonalidades, com exceção eventualmente de retornos intradiários. Séries de taxas de câmbio e séries de taxas de juros podem apresentar tendências que variam no tempo.

Os principais *fatos estilizados* relativos a retornos financeiros podem ser resumidos como segue:

1. retornos não são, em geral, autocorrelacionados;
2. os quadrados dos retornos são autocorrelacionados, apresentando uma correlação de lag um pequena e depois uma queda lenta das demais;
3. séries de retornos apresentam agrupamentos de volatilidades ao longo do tempo;
4. a distribuição (incondicional) dos retornos apresenta caudas mais pesadas do que uma distribuição normal; além disso, a distribuição, embora aproximadamente simétrica, é, em geral, leptocúrtica;
5. algumas séries de retornos são não lineares, no sentido explicado acima.

Exemplo 1.1. (continuação) Na Figura 1.1 (b), temos a série de retornos do Ibovespa, na qual notamos os fatos estilizados apontadas antes, quais sejam, aparente estacionariedade, média ao redor de zero e agrupamentos de volatilidades. Períodos de alta volatilidade coincidem com épocas nas quais ocorreram crises em diversos países e no Brasil, que influenciaram o mercado financeiro brasileiro. Entre essas, destacamos a crise no México, em fevereiro e março de 1995; a crise na Ásia, em outubro de 1997; moratória na Rússia, em agosto de 1998; desvalorização do Real em janeiro de 1999; queda da bolsa Nasdaq, em abril de 2000; início do governo Lula, em 2002; crise da sub-prime americana, em 2007 e a crise econômica internacional, em 2008.

Na Tabela 1.1, apresentamos algumas estatísticas das séries Ibovespa e DJIA. Notamos que as curtosas são altas enquanto que os coeficientes de assimetria indicam distribuições aproximadamente simétricas. Já havíamos comentado que os dados não são normalmente distribuídos, fato apontado pelos gráficos $Q \times Q$.

Tabela 1.1: Estatísticas para as séries de retornos do Ibovespa e DJIA.

Estatística	Ibovespa	DJIA
Média	0,000737	0,000410
Mediana	0,001364	0,000606
Desvio padrão	0,023983	0,011705
Assimetria	0,396310	-0,302922
Curtose	11,385750	4,0184030
Mínimo	-0,172258	-0,074541
Máximo	0,288248	0,061554

Exemplo 1.6. Na Figura 1.6 (a), temos a série de preços diários das ações da Petrobras PN, no período de 18 de agosto de 1998 a 29 de setembro de 2010(arquivo d-petro98.10.dat), com $T = 2999$ observações. Mostramos as mesmas quantidades do exemplo 1.1 nas figuras 1.6 (b), 1.6 (c) e 1.6(d). Notam-se os mesmos fatos estilizados e o comportamento similar das duas séries, Ibovespa e Petrobras; a correlação contemporânea entre elas é alta. Veja o Capítulo 7.

Exemplo 1.7. Considere a série diária de taxas de câmbio USD/Real, de 30 de junho de 1994 a 1 de julho de 1998 (arquivo d-usre94.98.dat), contendo $T = 997$ observações. A série, retornos, histograma e gráfico $Q \times Q$ estão

apresentados na Figura 1.7. Observe a grande variabilidade no início da série de retornos, comparada com a parte final.

1.8 Volatilidade

Um dos objetivos deste livro será o de modelar o que se chama de *volatilidade*, que é o desvio padrão condicional de uma variável, comumente um retorno. Embora não seja medida diretamente, a volatilidade manifesta-se de várias maneiras numa série financeira, como veremos a seguir.

Há três enfoques para o cálculo de volatilidades:

- (i) uma maneira é equacionar um preço de mercado observado com o preço modelado de uma opção. Obtemos o que se chama de *volatilidade implícita*, que usualmente é baseada na fórmula de Black-Scholes para opções europeias. Essa fórmula supõe normalidade dos preços e volatilidade constante;
- (ii) outra maneira é modelar diretamente a volatilidade da série de retornos, usando alguma família, como a dos modelos ARCH; obtemos a chamada *volatilidade estatística*;
- (iii) uma alternativa é modelar a volatilidade por meio de uma média de uma função dos últimos k retornos, digamos. Obtemos o que se chama de *volatilidade histórica*. Podemos considerar os quadrados dos retornos ou os valores absolutos dos retornos nesta média móvel. Uma definição geral calcula a volatilidade, para cada instante t , como uma média de k retornos passados, a saber,

$$v_t = \left[\frac{1}{k} \sum_{j=0}^{k-1} |r_{t-j}|^p \right]^{\frac{1}{p}},$$

onde $p > 0$. Como dissemos acima, casos usuais são $p = 2$ e $p = 1$.

No lugar de uma média podemos calcular a volatilidade por meio de um procedimento EWMA (*exponentially weighted moving average*), usado pelo RiskMetrics, desenvolvido pelo banco J.P. Morgan. Veja o Capítulo 7 para detalhes.

Outra possibilidade é utilizar os preços de abertura, mínimo, máximo e de fechamento (veja o exemplo 1.2, para o caso do índice Dow Jones) para o cálculo de uma estimativa da volatilidade diária. Voltaremos a este assunto no Capítulo 6.

Para dados intradiários, pode-se estimar a volatilidade diária por meio da *volatilidade realizada*, que é a soma dos quadrados dos retornos obtidos em intervalos regulares durante este dia, por exemplo, a cada 15 minutos. Veja o Capítulo 8.

Os valores obtidos pelas diversas abordagens acima descritas podem ser muito diferentes. De qualquer modo, a volatilidade é uma medida de variabilidade de preços de ativos e normalmente é difícil prever variações de preços.

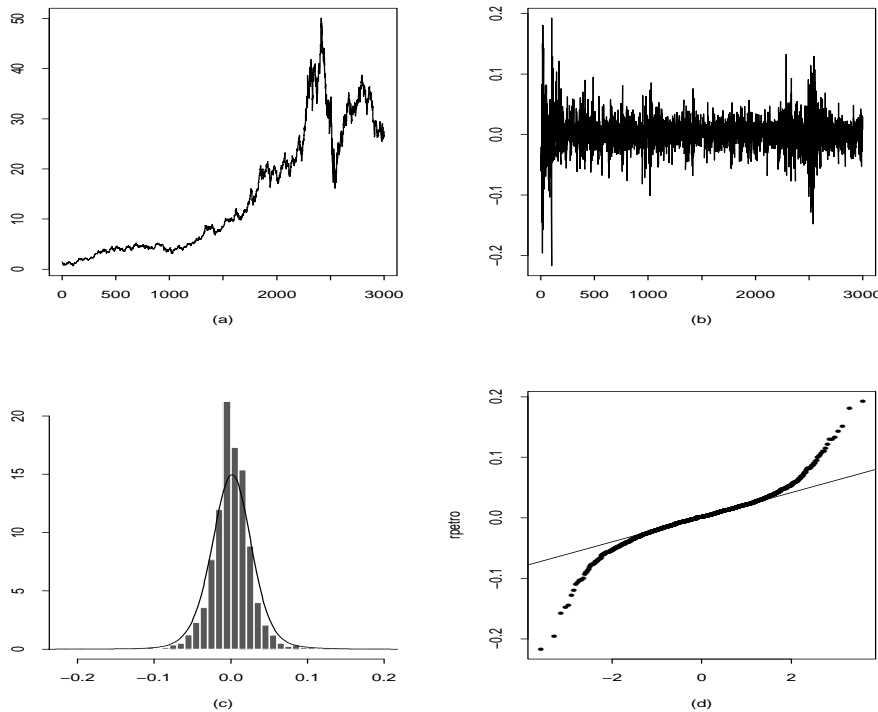


Figura 1.6: (a) Gráfico da série Petrobras (b) Retornos diárias da Petrobras
(c) Histograma com densidade ajustada (d) Gráfico $Q \times Q$

Mas em toda atividade financeira (gestão de risco, apreçamento de derivativos e “hedging”, seleção de carteiras etc) há a necessidade de se prever volatilidade. Por exemplo, um gestor de risco quer saber hoje a probabilidade de que uma carteira sua perca valor num futuro de curto prazo (um dia, por exemplo) ou razoavelmente longo (como 30 dias).

Vamos introduzir uma notação que será utilizada em capítulos seguintes. Seja r_t uma série de retornos. Defina

$$\mu_t = E(r_t | \mathcal{F}_{t-1}) = E_{t-1}(r_t), \quad (1.29)$$

$$h_t = E((r_t - \mu_t)^2 | \mathcal{F}_{t-1}) = E_{t-1}((r_t - \mu_t)^2), \quad (1.30)$$

a média e variância condicionais de r_t , dada a informação até o instante $t-1$, \mathcal{F}_{t-1} .

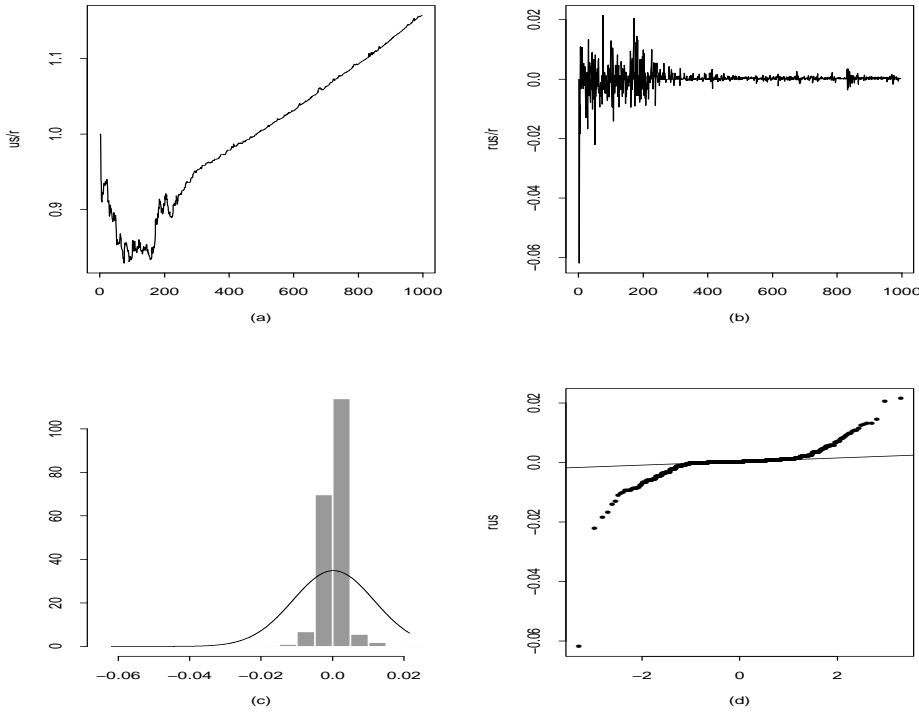


Figura 1.7: (a) Gráfico da série de taxas de câmbio USD/Real (b) Série dos retornos (c) Histograma com densidade ajustada (d) Gráfico $Q \times Q$

Um modelo típico para a volatilidade é da forma

$$r_t = \mu_t + \sqrt{h_t} \varepsilon_t, \quad (1.31)$$

onde $E_{t-1}(\varepsilon_t) = 0$, $\text{Var}_{t-1}(\varepsilon_t) = 1$ e tipicamente ε_t é i.i.d. com distribuição F . A média e variância incondicionais de r_t serão denotadas por $\mu = E(r_t)$ e $\sigma^2 = \text{Var}(r_t)$, respectivamente, e seja G a distribuição de r_t . É claro que (1.29), (1.30) e F determinam μ , σ^2 e G , mas não o contrário.

1.9 Aspectos Computacionais

Vários programas computacionais (pacotes) podem ser utilizados para aplicações a dados reais ou simulados das técnicas desenvolvidas neste livro. Dentro destes citamos o **EViews**, o módulo **S+FinMetrics** do **SPlus**, o software livre **R**, o **MatLab** e o **STAMP**.

Utilizaremos, preferencialmente, o **S+FinMetrics**, o **EVIEWs** e o **R**, neste livro. Recomendamos aos leitores a consulta aos manuais destes pacotes ou a textos que os utilizam de maneira sistemática, como Zivot e Wang (2006) e Carmona (2004). Sempre que possível apresentaremos os principais comandos em algumas análises. Veja também Venables e Ripley (2001) para uma exposição geral do uso do **SPlus** em problemas estatísticos e Koopman et al. (2000) para mais detalhes sobre o **STAMP**.

Para ilustrar o uso do **S+FinMetrics**, vejamos os comandos para a construção da Figura 1.1. Designemos por **ibv** a série de índices do Ibovespa. Os gráficos (a)-(d) são obtidos por meio de:

```
> par(mfrow=c(2,2))
> tsplot(ibv)
> ribv = diff(log(ibv))
> tsplot(ribv)
> hist(ribv, probability=T, nclass=20)
> dens =density(ribv, n=200)
> points(dens, type="l")
> qqnorm(ribv)
> qqline(ribv)
> par(mfrow=c(1,1))
```

O leitor poderá encontrar na página do livro, no sítio www.ime.usp.br/~pam/, roteiros de utilização do **EViews** e **S+FinMetrics** para análises de dados realizadas no livro.

1.10 Problemas

1. Suponha que os preços diários de fechamento de uma ação sejam:

dia	1	2	3	4	5	6	7	8	9	10
preço	47,9	46,0	45,8	48,9	49,4	50,7	50,6	51,2	50,1	51,3

- (a) Qual é o retorno simples do dia 1 para o dia 2? E do dia 1 para o dia 6?
- (b) Qual é o log-retorno do dia 4 para o dia 5? E do dia 4 para o dia 10?
- (c) Verifique que $1 + R_5(3) = (1 + R_3)(1 + R_4)(1 + R_5)$.
- (d) Verifique que $r_{10}(5) = r_6 + \dots + r_{10}$.
2. Note que, se os retornos são dados em *porcentagem*, teremos:

$$r_t = 100 \times \log(1 + R_t/100), \quad R_t = (e^{r_t/100} - 1) \times 100.$$

Se os log-retornos de um ativo nos primeiros quatro meses de um ano foram 5,2%, 3,8%, -0,5% e 2,6%:

- (a) calcule os correspondentes retornos simples;
- (b) qual é o log-retorno no período?
- (c) Qual é o retorno simples no período?
3. Dizemos que a variável Y tem distribuição *log-normal* se $X = \log(Y)$ tiver distribuição normal. Verifique que, se $X \sim \mathcal{N}(\mu, \sigma^2)$, então $Y = e^X$ é log-normal, com
- $$E(Y) = e^{\mu + \sigma^2/2}, \quad \text{Var}(Y) = e^{2\mu + \sigma^2}(e^{\sigma^2} - 1).$$
4. Suponha que o log-retorno $r_t \sim \mathcal{N}(0,025; (0,012)^2)$. Pelo problema anterior, $1 + R_t$ tem distribuição log-normal. Calcule a média e a variância de R_t .
5. Considere os log-retornos diáários da Vale, de 31 de agosto de 1998 a 29 de setembro de 2010 (arquivo d-vale.98.10.dat), com $T = 2990$ observações:

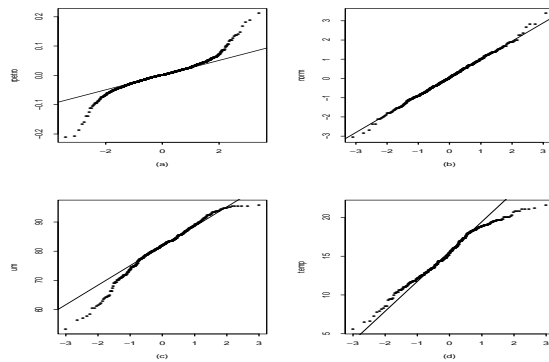
- (a) Calcule as estatísticas : média, variância, coeficiente de assimetria e curtose, quartis, máximo e mínimo. Use algum programa, como o EViews ou o S+FinMetrics.
- (b) Obtenha um histograma dos dados e comente sobre a forma da distribuição. Compare com uma distribuição normal, com média e variância obtidas em (a).

- (c) Qual é o log-retorno médio anual sobre o período dos dados?
- (d) Se você investisse R\$ 10.000,00 em ações da Vale, no começo de setembro de 1998, qual seria o valor do investimento no final de setembro de 2010? [Note que o montante líquido ao compor continuamente o capital inicial C por n anos, à taxa anual de juros r , é dado por $M = C \exp(r \times n)$].
6. Mesmo problema para os log-retornos diáários da Petrobras (veja o arquivo d-petro98.10.dat).
7. Use a estatística (1.34), do Apêndice 1.B, para testar se os log-retornos diáários da Vale têm uma distribuição normal.
8. Mesmo problema, para os log-retornos diáários do Ibovespa (veja o arquivo d-ibv94.10.dat).
9. Mesmo problema, para os log-retornos diáários da IBM, de 1962 a 1999 (arquivo d-ibm62.99.dat).
10. Mostre que o retorno simples anualizado pode ser aproximado por uma média aritmética de retornos simples no mesmo período. [Note que $e^x = 1 + x + x^2/2 + \dots$].
11. Mostre que, se X tem distribuição exponencial com parâmetro β , então o p -quantil é dado por $Q_p = \frac{1}{\beta} \log\left(\frac{1}{1-p}\right)$.
12. Na tabela abaixo estão os preços mensais de uma ação, durante 10 meses.

mês	1	2	3	4	5	6	7	8	9	10
preço	14,2	15,0	12,0	19,0	12,5	13,0	17,0	17,5	14,8	16,0

Utilize um gráfico $Q \times Q$ para avaliar se a distribuição dos preços é compatível com uma distribuição uniforme no intervalo $[10, 20]$.

13. Nos gráficos $Q \times Q$ teóricos da Figura 1.8, feitos para verificar a suposição de normalidade, dê sua conclusão para cada caso e justifique-a. Comente sobre a distribuição em cada caso (simetria, caudas etc), se você achar que não é normal.

Figura 1.8: Gráficos $Q \times Q$ para normalidade.

Apêndice 1.A. Distribuições Estáveis

Sabemos que se X_1, X_2, \dots são v.a. independentes e identicamente distribuídas (i.i.d.), com média μ e variância σ^2 , então $(X_1 + \dots + X_n - n\mu)/\sigma\sqrt{n}$ converge em distribuição para uma v.a com distribuição normal padrão. Este é um teorema limite da forma: se X_1, X_2, \dots são v.a. i.i.d., então $(\sum_{i=1}^n X_i)/A_n - B_n$ converge em distribuição para uma v.a. X . Gostaríamos de descobrir todas as leis limites que aparecem dessa forma.

Suponha que X seja uma v.a. e que, para cada n , existam constantes a_n, b_n tais que

$$a_n X + b_n \stackrel{d}{=} X_1 + X_2 + \dots + X_n,$$

onde $\stackrel{d}{=}$ significa “tem a mesma distribuição”, e onde X_1, X_2, \dots são i.i.d. e com a mesma distribuição que X . Então, dizemos que X é uma v.a. com *distribuição estável*. As distribuições normal e de Cauchy são exemplos. A primeira tem média e variância finita, ao passo que para a segunda esses momentos são infinitos. Na Figura 1.9 temos representadas a normal padrão e a Cauchy com densidade

$$f(x) = \frac{1}{\pi} \frac{\gamma}{\gamma^2 + (x - \delta)^2},$$

com $\gamma = 1$ e $\delta = 0$. Veja (1.32) abaixo para as definições de γ e δ .

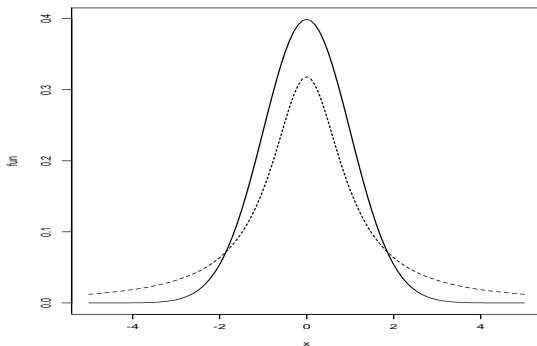


Figura 1.9: Distribuições estáveis: normal (linha cheia) e Cauchy (linha tracejada)

Um resultado fundamental diz que se o teorema limite acima vale, com X não degenerada, então X é necessariamente uma v.a. com distribuição estável. Por outro lado, se X for estável, então X pode ser representada como um limite em distribuição de somas do tipo acima.

Outro fato importante é que se X é estável, então $a_n = n^{1/\alpha}$, com $0 < \alpha \leq 2$. O número α é chamado o *índice* ou o *expoente* de X . Se $\alpha = 2$ temos a normal. Ainda, o logaritmo da função característica de X é da forma

$$\log \varphi(t) = it\delta - \gamma|t|^\alpha [1 - i\beta \operatorname{sgn}(t) \operatorname{tg}(\pi\alpha/2)], \quad (1.32)$$

para $0 < \alpha < 1$.

Nesta expressão, δ é um parâmetro de localização, real, $\gamma > 0$ é um parâmetro de escala, β real é um índice de assimetria e α é o expoente. Note que $\operatorname{sgn}(t) = t/|t|$. Se $\alpha = 1$ teremos

$$\log \varphi(t) = i\delta t - \gamma|t|[1 - i\beta \operatorname{sgn}(t) \frac{2}{\pi} \log |t|]. \quad (1.33)$$

Se o expoente α decresce de 2 até 0 as caudas de X tornam-se mais pesadas que a normal. Se $1 < \alpha < 2$ a média de X é γ , finita, mas se $0 < \alpha \leq 1$ a média é infinita. Se $\beta = 0$, X é simétrica, ao passo que se $\beta > 0$ ($\beta < 0$) então X é assimétrica à direita (à esquerda).

Alguns outros fatos sobre distribuições estáveis:

- (i) Se X for estável, então X terá uma densidade limitada e contínua;
- (ii) Se X for estável, *simétrica*, então sua função característica será dada por

$$\varphi(t) = e^{-c|t|^\alpha}.$$

(iii) Se X for estável, então X será *infinitamente divisível*.

Uma v.a. X é infinitamente divisível se, para cada n , existem variáveis aleatórias X_{n1}, \dots, X_{nn} , i.i.d., tais que X tem a mesma distribuição que $X_{n1} + \dots + X_{nn}$.

Todavia, os retornos têm em geral, momentos de segunda ordem finitos, o que tornaria a utilização de distribuições estáveis problemática (com exceção da normal, eventualmente, que não parece ser adequada, como já vimos). Um procedimento mais adequado seria utilizar alguma distribuição com caudas mais pesadas, como a t de Student, ou então uma mistura de distribuições.

Apêndice 1.B. Teste de Normalidade

Se uma série for considerada normal (gaussiana), seu comportamento poderá ser descrito por um modelo linear, tipo ARMA. Uma propriedade da distribuição normal é que todos os momentos ímpares maiores do que dois são nulos. Segue-se que o coeficiente de assimetria A de (1.24) deve ser igual a zero. Podemos usar, então, o resultado (1.28) para testar a hipótese $H_0 : A = 0$, ou seja, considerar a estatística teste $\sqrt{T/6}\hat{A}$, que terá distribuição limite $\mathcal{N}(0, 1)$.

Por outro lado, a medida de curtose K , dada por (1.25), será igual a 3 para distribuições normais e a hipótese $H_0 : K = 3$ pode ser testada usando-se a estatística teste $\sqrt{T/24}(\hat{K} - 3)$, que terá também distribuição aproximada normal padrão, sob H_0 .

Um teste largamente utilizado em econometria é o teste de Bera e Jarque (1981, 1987), que combina esses dois testes, usando a estatística

$$S = \left(\frac{T}{6}\right)\hat{A}^2 + \left(\frac{T}{24}\right)(\hat{K} - 3)^2, \quad (1.34)$$

que, sob H_0 : a série é normal, tem distribuição qui-quadrado com dois graus de liberdade.

Portanto, para testar a normalidade de uma série basta calcular as estimativas de A e K , calcular S por (1.34) e comparar o valor obtido com o valor tabelado de uma distribuição $\chi^2(2)$, com o nível de significância apropriado. Ou então, calcular o p-valor do teste, dado o valor obtido usando S . Os programas S+FinMetrics e EViews, ao calcularem várias estatísticas descritivas da série, calculam também (1.34) e fornecem o respectivo p-valor.

CAPÍTULO 2

Processos Estocásticos

2.1 Processos Estacionários

Uma das suposições básicas feitas na análise de séries temporais é que o processo estocástico gerador dos dados seja um processo estacionário. De modo bastante geral, um processo diz-se estacionário se ele oscila ao redor de uma média constante, com uma variância também constante. Formalmente, podemos distinguir duas formas de estacionariedade, forte e fraca. Vejamos, antes, a definição formal de processo estocástico.

Definição 2.1. Seja \mathcal{T} um conjunto arbitrário. Um processo estocástico é uma família $\{X(t), t \in \mathcal{T}\}$, tal que, para cada $t \in \mathcal{T}$, $X(t)$ é uma variável aleatória.

Nessas condições, um processo estocástico é uma família de variáveis aleatórias, que supomos definidas num mesmo espaço de probabilidades (Ω, \mathcal{A}, P) . Normalmente, supõe-se que as variáveis aleatórias (v.a.) envolvidas sejam reais, mas elas podem ser complexas.

O conjunto \mathcal{T} é normalmente tomado como o conjunto dos inteiros $\mathbb{Z} = \{0, \pm 1, \dots\}$, ou o conjunto dos reais \mathbb{R} .

Como, para cada $t \in \mathcal{T}$, $X(t)$ é uma v.a. definida sobre Ω , na realidade $X(t)$ é uma função de dois argumentos, $X(t, \omega), t \in \mathcal{T}, \omega \in \Omega$. A Figura 2.1 ilustra esta interpretação de um processo estocástico. Vemos, na figura, que para cada $t \in \mathcal{T}$, temos uma v.a. $X(t, \omega)$, com uma função densidade de probabilidades $f_t(x)$ (suposta existir, por simplicidade).

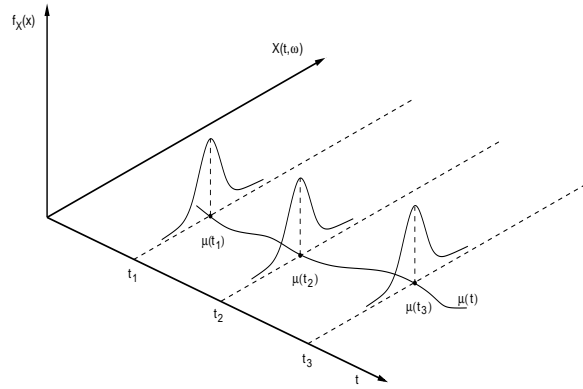


Figura 2.1: Processo estocástico como uma família de variáveis aleatórias

Por outro lado, para cada $\omega \in \Omega$, fixado, obteremos uma função de t , ou seja, uma realização ou trajetória do processo. Veja a Figura 2.2. Vamos designar as realizações do processo por $X^{(1)}(t), X^{(2)}(t)$, etc. O conjunto de todas as trajetórias é chamado o “ensemble”. Observamos que cada realização do processo é uma função de t , não aleatória, e para cada t fixo, $X(t)$ é um número real ou complexo.

Uma maneira de visualizar a distribuição de probabilidades de $X(t, \omega)$, para t fixo, é considerar a proporção de trajetórias que passam por uma “janela” de amplitude Δ , digamos. Tal proporção será $f_t(x)\Delta$. Esta é a mesma ideia para construir um histograma para a distribuição de valores de uma v.a.

O conjunto dos valores de $\{X(t), t \in \mathcal{T}\}$ é chamado de *espaço dos estados*, S , do processo estocástico e os valores de $X(t)$ podem ser chamados de estados. Se o conjunto \mathcal{T} for finito ou enumerável, como $\mathcal{T} = \mathbb{Z}$, o processo diz-se com *parâmetro (ou tempo) discreto*. Se \mathcal{T} for um intervalo de \mathbb{R} teremos um processo com *parâmetro (ou tempo) contínuo*. O espaço dos estados também pode ser discreto ou contínuo. No primeiro caso, $X(t)$ pode representar uma contagem, como o número de transações de uma ação durante um dia, por exemplo. No segundo caso, $X(t)$ representa uma medida que varia continuamente, como o retorno de um ativo ou o volume (em reais) negociado em cada dia de uma bolsa de valores.

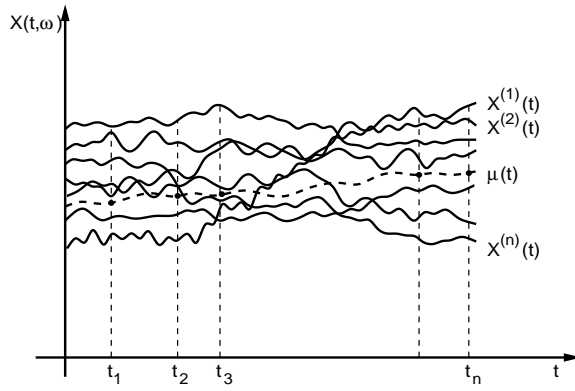


Figura 2.2: Processo estocástico como uma família de trajetórias

2.2 Especificação de um Processo Estocástico

Sejam t_1, t_2, \dots, t_n elementos quaisquer de \mathcal{T} e consideremos

$$F(x_1, \dots, x_n; t_1, \dots, t_n) = P\{X(t_1) \leq x_1, \dots, X(t_n) \leq x_n\}. \quad (2.1)$$

Então, o processo estocástico $\{X(t), t \in \mathcal{T}\}$ estará especificado se forem conhecidas as *distribuições finito-dimensionais* (2.1), para todo $n \geq 1$. Isto significa que, para $n = 1$ nós conhecemos as distribuições unidimensionais da v.a. $X(t_1), t_1 \in \mathcal{T}$, para $n = 2$ nós conhecemos as distribuições bidimensionais da v.a. $(X(t_1), X(t_2)), t_1, t_2 \in \mathcal{T}$, e assim por diante. As funções de distribuição (2.1) devem satisfazer às duas condições seguintes:

(i) (*Condição de simetria*): para qualquer permutação j_1, \dots, j_n , dos índices $1, 2, \dots, n$, temos

$$F(x_{j_1}, \dots, x_{j_n}; t_{j_1}, \dots, t_{j_n}) = F(x_1, \dots, x_n; t_1, \dots, t_n). \quad (2.2)$$

(ii) (*Condição de compatibilidade*): para $m < n$,

$$F(x_1, \dots, x_m, \infty, \dots, \infty; t_1, \dots, t_m, \dots, t_n) = F(x_1, \dots, x_m; t_1, \dots, t_m). \quad (2.3)$$

O lado esquerdo de (2.3) deve ser entendido como

$$\lim_{x_{m+1}, \dots, x_n \rightarrow \infty} F(x_1, \dots, x_m, x_{m+1}, \dots, x_n; t_1, \dots, t_n).$$

Pode-se demonstrar que qualquer conjunto de funções de distribuição da forma (2.1), satisfazendo as condições (2.2) e (2.3) define um processo estocástico $X(t)$ sobre \mathcal{T} . Este resultado é conhecido como o teorema da extensão de Kolmogorov.

Contudo, o conhecimento de todas essas distribuições finito-dimensionais é muito difícil de ocorrer na prática, senão impossível. O que se faz é estudar certas características associadas a (2.1) e que sejam simples de calcular e interpretar. Consideremos os momentos de ordem n das v.a. $X(t_1), \dots, X(t_n)$, para qualquer $n \geq 1$, ou seja,

$$\begin{aligned}\mu(r_1, \dots, r_n; t_1, \dots, t_n) &= E\{X^{r_1}(t_1) \cdots X^{r_n}(t_n)\} \\ &= \int_{-\infty}^{\infty} \cdots \int_{-\infty}^{\infty} x_1^{r_1} \cdots x_n^{r_n} dF(x_1, \dots, x_n; t_1, \dots, t_n).\end{aligned}\quad (2.4)$$

Usualmente o que se faz é restringir o estudo a momentos de baixa ordem. Em particular, para a classe dos processos que vai nos interessar, os chamados processos estacionários, consideraremos momentos de primeira e segunda ordem.

A função média, ou simplesmente média de $X(t)$ é dada por

$$\mu(1; t) = \mu(t) = E\{X(t)\} = \int_{-\infty}^{\infty} x dF(x; t), \quad (2.5)$$

enquanto a função de autocovariância de $X(t)$ é definida como

$$\begin{aligned}\mu(1, 1; t_1, t_2) - \mu(1; t_1)\mu(1; t_2) &= \gamma(t_1, t_2) \\ &= E\{X(t_1)X(t_2)\} - E\{X(t_1)\}E\{X(t_2)\}, \quad t_1, t_2 \in \mathcal{T}.\end{aligned}\quad (2.6)$$

Observe que $\mu(t)$ é uma função de $t \in \mathcal{T}$ e que $\gamma(t_1, t_2)$ depende de dois argumentos, t_1 e t_2 . Em particular, se $t_1 = t_2 = t$, (2.6) nos fornece

$$\gamma(t, t) = \text{Var}\{X(t)\} = E\{X^2(t)\} - E^2\{X(t)\}, \quad (2.7)$$

que é a (função) variância do processo $X(t)$, e que será indicada por $\sigma^2(t)$.

Voltemos à Figura 2.1. Para cada t temos uma v.a. $X(t)$, que tem média $\mu(t)$ e variância $\sigma^2(t)$. Na figura, estão indicadas as médias $\mu(t_1), \mu(t_2)$ e $\mu(t_3)$. A função de autocovariância $\gamma(t_1, t_2)$ dá a covariância entre as duas variáveis aleatórias $X(t_1)$ e $X(t_2)$, para quaisquer $t_1, t_2 \in \mathcal{T}$. A função $\mu(t)$ é obtida variando-se t em \mathcal{T} .

Consideremos, agora, a Figura 2.2. Para cada t , temos um conjunto de valores $X^{(1)}(t), X^{(2)}(t)$, etc, correspondentes às várias realizações do processo. A função $\mu(t)$ é obtida determinando-se, para cada t , a média dos valores $X^{(j)}(t)$, média esta calculada em relação a j .

Resumindo, os parâmetros mais importantes a serem considerados serão a média e a função de autocovariância (f.a.c.v.), $\mu(t)$ e $\gamma(t_1, t_2)$. Quando houver possibilidade de confusão, usaremos as notações $\mu_X(t)$ e $\gamma_X(t_1, t_2)$ para indicar a média e a f.a.c.v. de $X(t)$. Outra convenção: quando falarmos em “gráfico” de $X(t)$, na realidade, estaremos falando em algo parecido com a Figura 2.2, onde estão “todas” as trajetórias de $X(t)$. Por isso, é usual representar apenas uma trajetória típica do processo.

Vimos, no Capítulo 1, que há outros parâmetros importantes em finanças, como o terceiro e quarto momentos, que são usados, por exemplo, para calcular os coeficientes de assimetria e curtose.

Observemos, também, que na prática, teremos que estimar as quantidades $\mu(t)$, $\sigma^2(t)$ e $\gamma(t_1, t_2)$. Observando a Figura 2.2, vemos que uma maneira de fazê-lo é considerar um número m de trajetórias $X^{(1)}(t), \dots, X^{(m)}(t)$ e utilizá-las para estimar os parâmetros acima. Por exemplo, podemos estimar a média no instante t por

$$\hat{\mu}(t) = \frac{X^{(1)}(t) + \dots + X^{(m)}(t)}{m}.$$

O problema que surge é que usualmente temos uma só trajetória do processo, observada entre dois instantes de tempo.

Definição 2.2. Um processo estocástico $\{X(t), t \in \mathcal{T}\}$ diz-se estritamente estacionário se todas as distribuições finito dimensionais (2.1) permanecem as mesmas sob translações do tempo, ou seja,

$$F(x_1, \dots, x_n; t_1 + \tau, \dots, t_n + \tau) = F(x_1, \dots, x_n; t_1, \dots, t_n), \quad (2.8)$$

para quaisquer t_1, \dots, t_n, τ de \mathcal{T} .

Isto significa, em particular, que todas as distribuições unidimensionais são invariantes sob translações do tempo, logo a média $\mu(t)$ e a variância $\sigma^2(t)$ são constantes, isto é,

$$E\{X(t)\} = \mu(t) = \mu, \quad \text{para todo } t \in \mathcal{T}, \quad (2.9)$$

$$\text{Var}\{X(t)\} = \sigma^2(t) = \sigma^2, \quad \text{para todo } t \in \mathcal{T}. \quad (2.10)$$

Sem perda de generalidade, podemos supor que $\mu = 0$. Caso contrário, considere o processo $X(t) - \mu$.

Do mesmo modo, todas as distribuições bidimensionais dependem de diferenças de tempos. De fato, para $t_1, t_2 \in \mathcal{T}$, temos por exemplo que $\gamma(t_1, t_2) = \gamma(t_1 + t, t_2 + t)$ e fazendo $t = -t_2$, temos que

$$\gamma(t_1, t_2) = \gamma(t_1 - t_2, 0) = \text{Cov}\{X(t_1 - t_2), X(0)\}. \quad (2.11)$$

Na realidade, a covariância (2.11) é uma função de $|t_1 - t_2|$ e para ver isto basta fazer $t = -t_1$ acima.

Segue-se que podemos escrever a *função de autocovariância* de um processo estacionário forte ou estrito como

$$\gamma(\tau) = \text{Cov}\{X(t), X(t + \tau)\} = \text{Cov}\{X(0), X(\tau)\} \quad (2.12)$$

para $t, \tau \in \mathcal{T}$.

Genericamente, os momentos de ordem n de $X(t)$ dependem apenas das diferenças $t_j - t_1$, e são funções de $n - 1$ argumentos.

Como dissemos anteriormente, estaremos interessados em caracterizar os processos estocásticos através de um número pequeno de funções de distribuição ou de momentos. Se nos restringirmos a momentos de primeira e segunda ordens, somos levados à seguinte

Definição 2.3. Um processo estocástico $\{X(t), t \in \mathcal{T}\}$ diz-se *fracamente estacionário* (ou *estacionário de segunda ordem*) se e somente se

- (i) $E\{X(t)\} = \mu(t) = \mu$, constante, para todo $t \in \mathcal{T}$;
- (ii) $E\{X^2(t)\} < \infty$, para todo $t \in \mathcal{T}$;
- (iii) $\gamma(t_1, t_2) = \text{Cov}\{X(t_1), X(t_2)\}$ é uma função apenas de $|t_1 - t_2|$.

A partir de agora, estaremos interessados principalmente nesta classe de processo, que denominaremos simplesmente de *processos estacionários*. Note-se que, se $X(t)$ for estritamente estacionário, ele não necessita ser fracamente estacionário, pois a condição (ii) da definição 2.3 pode não estar satisfeita. Um processo tal que (ii) esteja satisfeita diz-se um *processo de segunda ordem*.

Definição 2.4. Um processo estocástico real $\{X(t), t \in \mathcal{T}\}$ diz-se *gaussiano* se, para qualquer conjunto t_1, \dots, t_n de \mathcal{T} , as v.a. $X(t_1), X(t_2), \dots, X(t_n)$ têm uma distribuição normal n -variada.

Como um processo gaussiano, com variância finita, é determinado pelas médias e covariâncias, se ele for estacionário de segunda ordem, então ele será estritamente estacionário.

No que segue usaremos a seguinte notação: se o parâmetro t (tempo) for discreto, isto é, $t \in \mathbb{Z} = \{0, \pm 1, \pm 2, \dots\}$, o processo será escrito $\{X_t, t \in \mathbb{Z}\}$, ao passo que se t for contínuo, isto é, $t \in \mathbb{R}$, o processo será denotado por $\{X(t), t \in \mathbb{R}\}$. A mesma convenção aplica-se aos momentos. Por exemplo, a função de autocovariância do processo estacionário com tempo discreto será denotada por γ_τ , ao passo que a do processo com tempo contínuo será denotada por $\gamma(\tau)$.

2.3 Propriedades da Função de Autocovariância

Seja $\{X_t, t \in Z\}$ um processo estacionário real com tempo discreto, de média zero e f.a.c.v. $\gamma_\tau = E\{X_t X_{t+\tau}\}$.

Proposição 2.1. A f.a.c.v. γ_τ satisfaz as seguintes propriedades:

- (i) $\gamma_0 > 0$,
- (ii) $\gamma_{-\tau} = \gamma_\tau$,
- (iii) $|\gamma_\tau| \leq \gamma_0$,
- (iv) γ_τ é não negativa definida, no sentido que

$$\sum_{j=1}^n \sum_{k=1}^n a_j a_k \gamma_{\tau_j - \tau_k} \geq 0, \quad (2.13)$$

para quaisquer números reais a_1, \dots, a_n , e τ_1, \dots, τ_n de Z .

Prova. As propriedades (i) e (ii) decorrem imediatamente da definição de γ_τ . A propriedade (iii) segue do fato que

$$E\{X_{t+\tau} \pm X_t\}^2 = E\{X_{t+\tau}^2 \pm 2X_{t+\tau}X_t + X_t^2\} \geq 0.$$

Mas o segundo membro é igual a

$$\sigma^2 \pm 2\gamma_\tau + \sigma^2 \geq 0,$$

ou seja,

$$2\gamma_0 \pm 2\gamma_\tau \geq 0$$

e (iii) fica demonstrada. Quanto a (iv) temos que

$$\sum_{j=1}^n \sum_{k=1}^n a_j a_k \gamma_{\tau_j - \tau_k} = \sum_{j=1}^n \sum_{k=1}^n a_j a_k E\{X_{\tau_j} X_{\tau_k}\}$$

$$= E\left\{\sum_{j=1}^n a_j X_{\tau_j}\right\}^2 \geq 0.$$

Observação. A recíproca da propriedade (iv) também é verdadeira, isto é, dada uma função γ_τ tendo a propriedade (2.13), existe um processo estocástico X_t tendo γ_τ como f.a.c.v.. Na realidade, γ_τ pode ser tomado como Gaussiano. Para a prova deste fato, ver Cramér e Leadbetter (1967, pag. 80).

Tipicamente, a f.a.c.v. de um processo estacionário tende a zero, para $|\tau| \rightarrow \infty$. A Figura 2.3 mostra este comportamento, além da verificação de (i)-(iii) acima. Todavia, um processo pode ser fracamente estacionário e sua f.a.c.v. pode não tender a zero. Veja o problema 2, por exemplo.

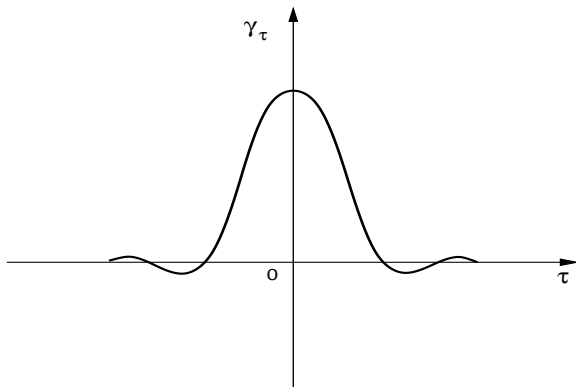


Figura 2.3: Função de autocovariância

A *função de autocorrelação* (f.a.c.) do processo é definida por

$$\rho_\tau = \frac{\gamma_\tau}{\gamma_0}, \quad \tau \in Z, \quad (2.14)$$

e tem as propriedades de γ_τ , exceto que agora $\rho_0 = 1$.

Continuidade de um processo estocástico tem que ser definida de maneira apropriada.

Definição 2.5. Seja $\{X(t), t \in \mathbb{R}\}$ um processo de segunda ordem. Dizemos que $X(t)$ é contínuo em média quadrática no ponto t_0 se e somente se

$$\lim_{t \rightarrow t_0} E\{|X(t) - X(t_0)|^2\} = 0. \quad (2.15)$$

Escreveremos $X(t) \rightarrow X(t_0)$ mq.

Continuidade em mq de $X(t)$ está relacionada com continuidade da f.a.c.v. $\gamma(\tau)$.

Proposição 2.2. *Continuidade de $\gamma(\tau)$ para $\tau = 0$ implica em continuidade de $\gamma(\tau)$ para todo τ .*

Prova. Usando a desigualdade de Schwarz para duas v.a. temos

$$|E\{[X(\tau + h) - X(\tau)][X(0)]\}|^2 \leq E\{|X(\tau + h) - X(\tau)|^2\}E\{|X(0)|^2\}$$

que desenvolvida resulta

$$|\gamma(\tau + h) - \gamma(\tau)|^2 \leq 2\gamma(0)[\gamma(0) - \gamma(h)]$$

e se $\gamma(\tau)$ for contínua na origem vem que, para $h \rightarrow 0$, o primeiro termo tende a zero e $\gamma(\tau)$ é contínua para todo τ .

Proposição 2.3. *Se $\gamma(\tau)$ for contínua, então $X(t)$ é contínuo em média quadrática.*

Prova. Temos que

$$E\{|X(t + h) - X(t)|^2\} = 2\gamma(0) - 2\gamma(h)$$

e para $h \rightarrow 0$, obtemos o resultado.

Observação. Continuidade de um processo em mq não implica que as trajetórias do processo sejam contínuas. Um exemplo é o processo de Poisson.

Dadas observações X_1, \dots, X_T , a f.a.c. ρ_j é estimada por

$$r_j = \frac{c_j}{c_0}, \quad j = 0, 1, \dots, T-1,$$

onde c_j é a estimativa da função de autocovariância γ_j ,

$$c_j = \frac{1}{T} \sum_{t=1}^{T-j} [(X_t - \bar{X})(X_{t+j} - \bar{X})], \quad j = 0, 1, \dots, T-1,$$

sendo $\bar{X} = \frac{1}{T} \sum_{t=1}^T X_t$ a média amostral. Aqui, colocamos $c_{-j} = c_j$ e $r_{-j} = r_j$.

Voltaremos a este assunto no Capítulo 3.

2.4 Processos Estocásticos Complexos

Em algumas situações é conveniente considerar processos estocásticos complexos, isto é, temos uma família $\{X(t), t \in \mathcal{T}\}$, onde para cada $t \in \mathcal{T}$, $X(t)$ é uma v.a. complexa. Ou seja, podemos escrever

$$X(t) = Y(t) + iZ(t),$$

onde $Y(t)$ e $Z(t)$ são processos estocásticos reais.

Neste caso, $X(t)$ estará especificado se conhecermos as funções de distribuição das $2n$ v.a. reais $Y(t_1), \dots, Y(t_n), Z(t_1), \dots, Z(t_n)$, para qualquer conjunto t_1, \dots, t_n de \mathcal{T} .

Definimos a média de $X(t)$ por

$$E\{X(t)\} = E\{Y(t)\} + iE\{Z(t)\}, \quad (2.16)$$

e a variância por

$$\text{Var}\{X(t)\} = E\{|X(t) - E\{X(t)\}|^2\}. \quad (2.17)$$

Vemos, pois, que a média é um número complexo, mas a variância é um número real. A f.a.c.v. de $X(t)$ é definida por

$$\gamma(t_1, t_2) = E\{[X(t_1) - E\{X(t_1)\}][\overline{X(t_2) - E\{X(t_2)\}}]\}, \quad (2.18)$$

para $t_1, t_2 \in \mathcal{T}$.

Se o processo complexo $X(t)$ for estacionário, então (2.16) e (2.17) serão constantes (a primeira complexa e a segunda real) e a f.a.c.v. (2.18) dependerá apenas de $|t_1 - t_2|$, de modo que podemos escrever

$$\gamma(\tau) = E\{X(t + \tau)\overline{X(t)}\}, \quad (2.19)$$

supondo a média zero. As propriedades de $\gamma(\tau)$, dadas pela Proposição 2.1, no caso real, são facilmente adaptadas para o caso complexo.

2.5 Processos Lineares Estacionários

Apresentaremos, nesta seção, alguns exemplos de processos estocásticos estacionários que são utilizados com frequência. Daremos ênfase aos processos autorregressivos (AR), de médias móveis (MA) e combinação destes, os chamados processos ARMA, que serão amplamente utilizados neste livro. No

Capítulo 3, veremos como construir modelos ARMA, ou seja, como a partir dos dados podemos identificar um particular modelo que os represente, como estimar este modelo e como verificar se o mesmo é adequado.

Exemplo 2.1. Sequência Aleatória

Consideremos $\{X_n, n = 1, 2, \dots\}$ uma seqüência de v.a. definidas no mesmo espaço amostral Ω . Aqui, $\mathcal{T} = \{1, 2, \dots\}$ e temos um processo com parâmetro discreto, ou uma sequência aleatória. Para todo $n \geq 1$, podemos escrever

$$\begin{aligned} P\{X_1 = a_1, \dots, X_n = a_n\} &= P\{X_1 = a_1\} \times P\{X_2 = a_2 | X_1 = a_1\} \\ &\times \dots \times P\{X_n = a_n | X_1 = a_1, \dots, X_{n-1} = a_{n-1}\}. \end{aligned} \quad (2.20)$$

Em (2.20), os a_j 's representam estados do processo e o espaço dos estados pode ser tomado como o conjunto dos reais. O caso mais simples é aquele em que temos uma sequência $\{X_n, n \geq 1\}$ de v.a. *mutuamente independentes* e neste caso (2.20) fica

$$P\{X_1 = a_1, \dots, X_n = a_n\} = P\{X_1 = a_1\} \dots P\{X_n = a_n\}. \quad (2.21)$$

Se as v.a. X_1, X_2, \dots tiverem todas a mesma distribuição, teremos, então, uma sequência de v.a. independentes e identicamente distribuídas(i.i.d., brevemente). Neste caso, o processo X_n é estacionário. Se $E\{X_n\} = \mu$, $\text{Var}\{X_n\} = \sigma^2$, para todo $n \geq 1$, então

$$\gamma_\tau = \text{Cov}\{X_n, X_{n+\tau}\} = \begin{cases} \sigma^2, & \text{se } \tau = 0 \\ 0, & \text{se } \tau \neq 0. \end{cases} \quad (2.22)$$

Segue-se que $\rho_\tau = 1$, para $\tau = 0$ e $\rho_\tau = 0$, caso contrário.

Exemplo 2.2. Ruído Branco

Uma forma mais fraca de uma sequência i.i.d. é dada pela definição a seguir.

Definição 2.6. Dizemos que $\{\varepsilon_t, t \in Z\}$ é um ruído branco com tempo discreto se as v.a. ε_t são não correlacionadas, isto é, $\text{Cov}\{\varepsilon_t, \varepsilon_s\} = 0, t \neq s$.

Um tal processo será estacionário se $E\{\varepsilon_t\} = \mu$ e $\text{Var}\{\varepsilon_t\} = \sigma^2$, para todo t . Segue-se que a f.a.c.v. de ε_t é dada por (2.22).

Obviamente, se as v.a. ε_t são independentes, elas também serão não correlacionadas. Uma sequência de v.a. i.i.d., como definida acima, é chamada

um *processo puramente aleatório* ou *ruído branco forte*. O que definimos como ruído branco, seria chamado *ruído branco fraco*. Contudo, usaremos simplesmente a nomenclatura da definição 2.6.

Ilustramos na Figura 2.4 a função de autocorrelação de um ruído branco. De agora em diante vamos reservar a notação $\{\varepsilon_t, t \in \mathbb{Z}\}$ para um ruído branco com tempo discreto e iremos supor que $\mu = 0$. Escreveremos, brevemente,

$$\varepsilon_t \sim \text{RB}(0, \sigma^2).$$

No caso de um processo puramente aleatório, escreveremos

$$\varepsilon_t \sim \text{i.i.d. } (0, \sigma^2).$$

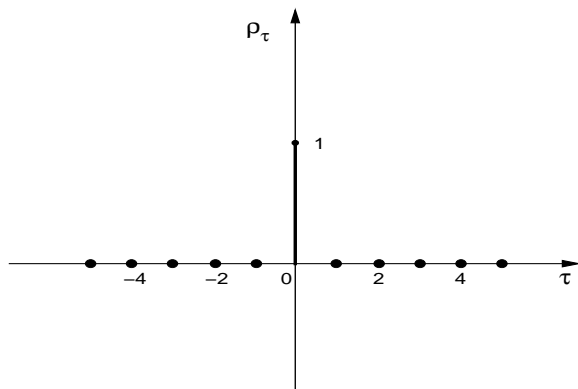


Figura 2.4: F.a.c. de um ruído branco

2.5.1 Processos Autorregressivos

Dizemos que $\{X_t, t \in \mathbb{Z}\}$ é um processo autorregressivo de ordem p , e escrevemos $X_t \sim AR(p)$, se satisfizer à equação de diferenças

$$X_t - \mu = \phi_1(X_{t-1} - \mu) + \phi_2(X_{t-2} - \mu) + \dots + \phi_p(X_{t-p} - \mu) + \varepsilon_t, \quad (2.23)$$

onde $\mu, \phi_1, \dots, \phi_p$ são parâmetros reais e $\varepsilon_t \sim \text{RB}(0, \sigma^2)$. Segue-se que $E(X_t) = \mu$ e se escrevermos o processo na forma

$$X_t = \phi_0 + \phi_1 X_{t-1} + \dots + \phi_p X_{t-p} + \varepsilon_t,$$

então

$$\mu = E(X_t) = \frac{\phi_0}{1 - \phi_1 - \dots - \phi_p}.$$

Definamos o operador retroativo B através de $B^s X_t = X_{t-s}$, $s \geq 1$. Então (2.23) pode ser escrita

$$\phi(B)\tilde{X}_t = \varepsilon_t, \quad (2.24)$$

onde $\phi(B) = 1 - \phi_1 B - \phi_2 B^2 - \dots - \phi_p B^p$ é o operador autoregressivo de ordem p e $\tilde{X}_t = X_t - \mu$. Aqui, 1 representa o operador identidade. Suponha $\mu = 0$ no que segue.

Um caso particular importante é o processo AR(1),

$$X_t = \phi X_{t-1} + \varepsilon_t. \quad (2.25)$$

Aqui, $\phi(B) = 1 - \phi B$. Através de substituições sucessivas obtemos

$$X_t = \sum_{j=0}^r \phi^j \varepsilon_{t-j} + \phi^{r+1} X_{t-r-1}.$$

Se X_t for estacionário, com variância finita σ_X^2 , então

$$E[X_t - \sum_{j=0}^r \phi^j \varepsilon_{t-j}]^2 = \phi^{2r+2} E[X_{t-r-1}^2] = \phi^{2r+2} \sigma_X^2.$$

Se $|\phi| < 1$, $\phi^{2(r+1)} \rightarrow 0$, quando $r \rightarrow \infty$, portanto sob esta suposição, podemos escrever

$$X_t = \sum_{j=0}^{\infty} \phi^j \varepsilon_{t-j}, \quad (2.26)$$

onde a convergência é em média quadrática. Logo, a condição $|\phi| < 1$ é suficiente para X_t ser estacionário. Multiplicando ambos os membros de (2.25) por $X_{t-\tau}$ e tomado a esperança, obtemos

$$\gamma_\tau = \phi \gamma_{\tau-1} = \dots = \phi^\tau \gamma_0.$$

Mas de (2.26), obtemos

$$\gamma_0 = \sigma_X^2 = \sigma^2 \sum_{j=0}^{\infty} \phi^{2j} = \frac{\sigma^2}{1 - \phi^2}, \quad (2.27)$$

do que segue

$$\gamma_\tau = \frac{\sigma^2}{1 - \phi^2} \phi^\tau, \quad \tau \geq 0.$$

Como γ_τ é simétrica, podemos escrever finalmente a f.a.c.v. de um processo AR(1) como

$$\gamma_\tau = \frac{\sigma^2}{1 - \phi^2} \phi^{|\tau|}, \quad \tau \in Z. \quad (2.28)$$

A f.a.c. de X_t é obtida de (2.28), ou seja,

$$\rho_\tau = \frac{\gamma_\tau}{\gamma_0} = \phi^{|\tau|}, \quad \tau \in Z. \quad (2.29)$$

Na Figura 2.5 temos formas típicas de ρ_τ . Em ambos os casos, esta decai exponencialmente para zero, e esse decaimento depende do sinal de ϕ .

A Figura 2.6 apresenta $T = 100$ valores de um processo AR(1) com $\phi = 0,8$ e $\varepsilon_t \sim$ i.i.d. $\mathcal{N}(0, 1)$.

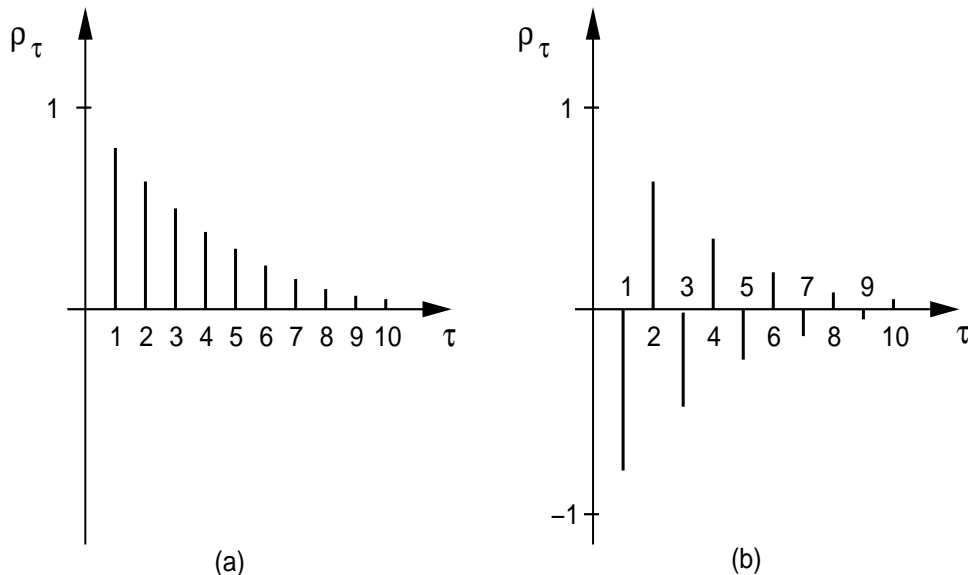


Figura 2.5: F.a.c. de um processo AR(1) (a) $\phi = 0,8$ (b) $\phi = -0,8$

Procuremos solução para (2.23) na forma (2.26), isto é,

$$X_t = \sum_{j=0}^{\infty} \psi_j \varepsilon_{t-j}. \quad (2.30)$$

De (2.24), temos formalmente,

$$X_t = \phi(B)^{-1} \varepsilon_t = \psi(B) \varepsilon_t,$$

onde $\psi(B) = 1 + \psi_1 B + \psi_2 B^2 + \dots$. Em analogia com o caso AR(1), devemos ter $\sum_j \psi_j^2 < \infty$ para que (2.30) seja uma solução estacionária. Como $\phi(B)\psi(B) = 1$, os coeficientes ψ_j podem ser obtidos desta identidade, em função dos ϕ_j 's.

Pode-se demonstrar (ver Box et al., 1994) que a condição para que X_t seja estacionário é que todas as raízes de $\phi(B) = 0$ estejam fora do círculo unitário. Em particular, para $p = 1$, $\phi(B) = 1 - \phi B = 0$ implica $B = \phi^{-1}$ e a condição enunciada acarreta $|\phi| < 1$.

Supondo o processo estacionário, multiplicando-se ambos os membros de (2.23) por $X_{t-\tau}$ e tomindo valores esperados, obtemos

$$\sigma_X^2 = \frac{\sigma^2}{1 - \phi_1 \rho_1 - \dots - \phi_p \rho_p}, \quad \text{para } \tau = 0, \quad (2.31)$$

$$\gamma_\tau = \phi_1 \gamma_{\tau-1} + \phi_2 \gamma_{\tau-2} + \dots + \phi_p \gamma_{\tau-p}, \quad \text{para } \tau > 0. \quad (2.32)$$

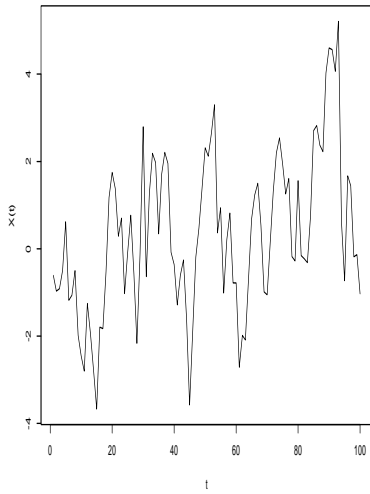


Figura 2.6: Processo AR(1) simulado, $\phi = 0,8$

A mesma equação de diferenças é satisfeita por ρ_τ , bastando dividir todos os termos de (2.32) por γ_0 .

A solução geral desta equação é dada por (Miller, 1969)

$$\gamma_\tau = A_1 G_1^\tau + A_2 G_2^\tau + \dots + A_p G_p^\tau, \quad (2.33)$$

onde os G_i 's satisfazem

$$\phi(B) = \prod_{i=1}^p (1 - G_i B).$$

Como as raízes de $\phi(B) = 0$ devem estar fora do círculo unitário, devemos ter que $|G_i| < 1$, para todo $i = 1, \dots, p$.

Se fizermos $\tau = 1, 2, \dots, p$ em (2.32), obtemos

$$\boldsymbol{\Gamma}_p \boldsymbol{\phi}_p = \boldsymbol{\gamma}_p, \quad (2.34)$$

onde $\boldsymbol{\Gamma}_p = [\gamma_{ij}]$, com $\gamma_{ij} = \gamma_{|i-j|}$, $i, j = 1, \dots, p$, $\boldsymbol{\phi}_p = (\phi_1, \dots, \phi_p)'$ e $\boldsymbol{\gamma}_p = (\gamma_1, \dots, \gamma_p)'$.

A equação (2.34) pode ser utilizada para obter estimadores dos parâmetros ϕ_j 's, substituindo-se as f.a.c.v.'s por suas estimativas. Estes estimadores são chamados estimadores de Yule-Walker.

Uma análise de (2.33) nos permite concluir que a f.a.c.v. de um processo autorregressivo de ordem p é uma mistura de exponenciais (correspondentes às raízes G_i reais) e/ou senóides (correspondentes a pares de raízes complexas conjugadas) amortecidas.

Na Figura 2.7 temos as f.a.c.v.'s de dois processos AR(2), um com $\phi_1 = 0,5, \phi_2 = 0,3$ e outro com $\phi_1 = 1,0, \phi_2 = -0,89$.

2.5.2 Processos de Médias Móveis

Dizemos que $\{X_t, t \in \mathbb{Z}\}$ é um processo de médias móveis de ordem q , denotado por MA(q), se satisfizer à equação de diferenças

$$X_t = \mu + \varepsilon_t - \theta_1 \varepsilon_{t-1} - \dots - \theta_q \varepsilon_{t-q}, \quad (2.35)$$

onde $\mu, \theta_1, \dots, \theta_q$ são constantes reais e $\varepsilon_t \sim RB(0, \sigma^2)$.

Segue-se que X_t é estacionário, de média μ e como os ε_t são não correlacionados, podemos obter facilmente a variância do processo,

$$\sigma_X^2 = \sigma^2(1 + \theta_1^2 + \dots + \theta_q^2). \quad (2.36)$$

Suponha $\mu = 0$. Quanto à f.a.c.v., temos

$$\begin{aligned}\gamma_\tau &= E\{X_t X_{t-\tau}\} = \gamma_\varepsilon(\tau) - \sum_{k=1}^q \theta_k \gamma_\varepsilon(k-\tau) \\ &\quad - \sum_{\ell=1}^q \theta_\ell \gamma_\varepsilon(\tau+\ell) + \sum_{k=1}^q \sum_{\ell=1}^q \theta_k \theta_\ell \gamma_\varepsilon(\tau+\ell-k),\end{aligned}$$

onde estamos denotando por $\gamma_\varepsilon(\tau)$ a f.a.c.v. de ε_t . Resulta, então,

$$\gamma_\tau = \begin{cases} \sigma^2(-\theta_\tau + \theta_1 \theta_{\tau+1} + \dots + \theta_q \theta_{q-\tau}), & \text{se } \tau = 1, \dots, q \\ 0, & \text{se } \tau > q \\ \gamma_{-\tau}, & \text{se } \tau < 0. \end{cases} \quad (2.37)$$

De (2.36) e (2.37) obtemos a f.a.c. do processo MA(q):

$$\rho_\tau = \begin{cases} \frac{-\theta_\tau + \theta_1 \theta_{\tau+1} + \dots + \theta_q \theta_{q-\tau}}{1 + \theta_1^2 + \dots + \theta_q^2}, & \text{se } \tau = 1, \dots, q \\ 0, & \text{se } \tau > q \\ \rho_{-\tau}, & \text{se } \tau < 0. \end{cases} \quad (2.38)$$

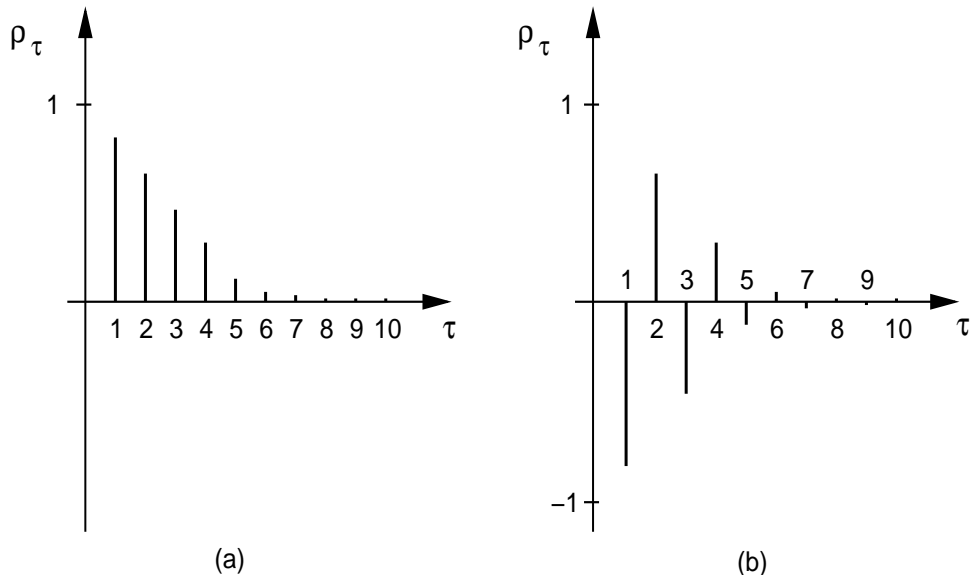


Figura 2.7: F.a.c. de dois processos AR(2) (a) $\phi_1 = 0, 5$, $\phi_2 = 0, 3$ (b)
 $\phi_1 = 1, 0$, $\phi_2 = -0, 89$

Observamos, então, que a f.a.c.v.(ou a f.a.c.) de um processo MA(q) anula-se para $|\tau| > q$. Em particular, para um processo MA(1),

$$X_t = \varepsilon_t - \theta \varepsilon_{t-1}, \quad (2.39)$$

obtemos

$$\text{Var}(X_t) = \sigma_X^2 = \sigma^2(1 + \theta^2),$$

$$\rho_\tau = \begin{cases} \frac{-\theta}{1+\theta^2}, & \text{se } \tau = \pm 1 \\ 0, & \text{se } |\tau| > 1. \end{cases} \quad (2.40)$$

Definindo-se o operador de médias móveis de ordem q por

$$\theta(B) = 1 - \theta_1 B - \theta_2 B^2 - \dots - \theta_q B^q$$

o processo (2.35) pode ser escrito

$$X_t = \theta(B)\varepsilon_t. \quad (2.41)$$

Em particular, para o processo MA(1) temos $\theta(B) = 1 - \theta B$, de modo que podemos escrever

$$X_t = (1 - \theta B)\varepsilon_t$$

de onde, formalmente, segue

$$\varepsilon_t = (1 - \theta B)^{-1} X_t = (1 + \theta B + \theta^2 B^2 + \dots) X_t,$$

ou seja, temos

$$X_t = -\theta X_{t-1} - \theta^2 X_{t-2} - \dots + \varepsilon_t, \quad (2.42)$$

se $|\theta| < 1$, para que a série do lado direito de (2.42) convirja. Nesta equação, temos X_t escrito como um processo autoregressivo de ordem infinita. Dizemos que $|\theta| < 1$ é uma *condição de invertibilidade* para o processo MA(1).

De modo geral, o processo (2.35) poderá ser escrito na forma

$$X_t = \sum_{j=1}^{\infty} \pi_j X_{t-j} + \varepsilon_t, \quad (2.43)$$

se a seguinte condição de invertibilidade estiver satisfeita: *todas as raízes de $\theta(B) = 0$ devem estar fora do círculo unitário*. Ver Box et al. (1994) para detalhes.

A relação (2.43) pode ser escrita

$$\pi(B)X_t = \varepsilon_t, \quad (2.44)$$

onde $\pi(B) = 1 - \pi_1B - \pi_2B^2 - \dots$, de modo que $\pi(B) = \theta(B)^{-1}$. Portanto, os coeficientes π_j podem ser obtidos da identidade $\theta(B)\pi(B) = 1$.

A Figura 2.8 apresenta 100 observações de um processo MA(1), gerado segundo o modelo

$$X_t = \varepsilon_t - 0,8\varepsilon_{t-1}, \quad \varepsilon_t \sim \text{i.i.d. } \mathcal{N}(0, 1). \quad (2.45)$$

Para este processo, $\rho_1 = -0,49$, $\rho_\tau = 0$, $\tau \geq 2$ e $\rho_{-\tau} = \rho_\tau$. Temos também, na figura, o gráfico da f.a.c. de X_t . Note que, embora todas as autocorrelações sejam nulas, a partir do lag 2, na simulação aparecem valores distintos de zero, mas que estatisticamente são nulos, porque estão dentro do intervalo de confiança ao redor de zero (veja o Capítulo 3 para detalhes).

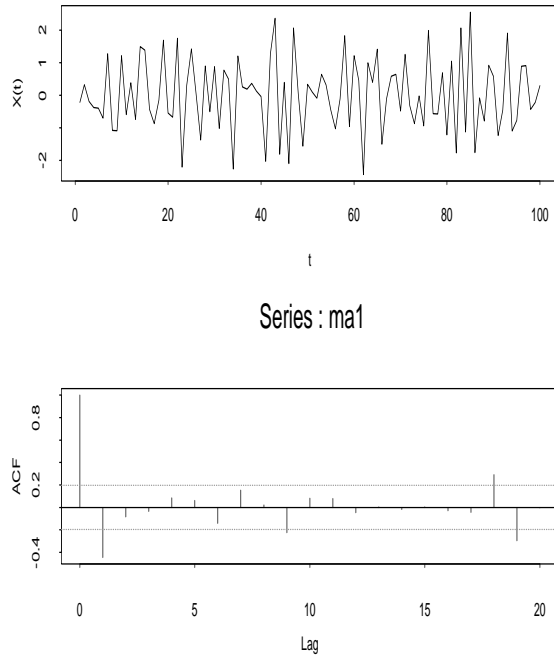


Figura 2.8: Processo MA(1) simulado, $\theta = 0,8$ e f.a.c.

2.5.3 Processos Autorregressivos e de Médias Móveis

Um processo autorregressivo e de médias móveis, de ordem (p, q) , denotado por ARMA(p,q), é definido por

$$X_t - \mu = \phi_1(X_{t-1} - \mu) + \dots + \phi_p(X_{t-p} - \mu) + \varepsilon_t - \theta_1\varepsilon_{t-1} - \dots - \theta_q\varepsilon_{t-q}, \quad (2.46)$$

onde $\varepsilon_t \sim RB(0, \sigma^2)$. Segue-se que a média do processo é μ . Usando os operadores autorregressivo e de médias móveis, definidos anteriormente, podemos escrever (2.46) na forma

$$\phi(B)\tilde{X}_t = \theta(B)\varepsilon_t, \quad (2.47)$$

onde $\tilde{X}_t = X_t - \mu$. Suponha que, a partir de agora, $\mu = 0$.

Um modelo frequentemente usado é o ARMA(1,1), ou seja,

$$X_t = \phi X_{t-1} + \varepsilon_t - \theta \varepsilon_{t-1}. \quad (2.48)$$

É fácil ver, por substituições sucessivas, que podemos escrever

$$X_t = \psi(B)\varepsilon_t,$$

onde $\psi_j = \phi^{j-1}(\phi - \theta)$, $j \geq 1$. A condição de estacionariedade é a mesma que para um processo AR(1), ou seja, $|\phi| < 1$. Do mesmo modo, a condição de invertibilidade $|\theta| < 1$ vale aqui e implica que podemos escrever o processo na forma (2.43), com pesos $\pi_j = \theta^{j-1}(\phi - \theta)$, $j \geq 1$.

Para um processo ARMA(p,q) genérico, a condição de estacionariedade é a mesma que para processos AR(p), ou seja, as raízes de $\phi(B) = 0$ devem estar fora do círculo unitário, e a condição de invertibilidade é a mesma que para processos MA(q), ou seja, as raízes de $\theta(B) = 0$ devem estar fora do círculo unitário.

Multiplicando-se (2.46), com $\mu = 0$, por $X_{t-\tau}$ e tomndo-se esperanças, obtemos

$$\begin{aligned} \gamma_\tau &= \phi_1\gamma_{\tau-1} + \phi_2\gamma_{\tau-2} + \dots + \phi_p\gamma_{\tau-p} + \gamma_{X\varepsilon}(\tau) \\ &\quad - \theta_1\gamma_{X\varepsilon}(\tau-1) - \dots - \theta_q\gamma_{X\varepsilon}(\tau-q), \end{aligned} \quad (2.49)$$

onde $\gamma_{X\varepsilon}(\tau)$ é a covariância cruzada entre X_t e ε_t , definida por

$$\gamma_{X_\varepsilon}(\tau) = E(\varepsilon_t X_{t-\tau}).$$

Como $X_{t-\tau}$ só depende de choques ε_t ocorridos até o instante $t - \tau$, temos que esta covariância cruzada só é diferente de zero para $\tau \leq 0$, logo

$$\gamma_\tau = \phi_1 \gamma_{\tau-1} + \phi_2 \gamma_{\tau-2} + \dots + \phi_p \gamma_{\tau-p}, \quad \tau > q. \quad (2.50)$$

A conclusão é que as autocovariâncias (e, portanto, as autocorrelações, que satisfazem equação similar) de lags $1, 2, \dots, q$ serão afetadas pelos parâmetros de médias móveis, mas para $\tau > q$, as mesmas comportam-se como nos modelos autorregressivos.

Para o caso do modelo (2.48), obtemos facilmente

$$\rho_1 = \frac{\gamma_1}{\gamma_0} = \frac{(1 - \phi\theta)(\phi - \theta)}{1 + \theta^2 - 2\phi\theta}$$

e, para $\tau > 1$,

$$\rho_\tau = \phi \rho_{\tau-1}.$$

A Figura 2.9 apresenta 100 observações geradas por um processo ARMA(1,1), com $\phi = 0,8, \theta = 0,3$ e $\varepsilon_t \sim \mathcal{N}(0, 1)$. Na Figura temos também o gráfico da f.a.c.

Exemplo 2.3. Processo Linear Geral

Os processos AR, MA e ARMA são casos particulares do chamado processo linear geral (PLG), que pode ser expresso na forma

$$X_t = \sum_{j=0}^{\infty} \psi_j \varepsilon_{t-j}, \quad (2.51)$$

onde $\varepsilon_t \sim RB(0, \sigma^2)$ e ψ_j são constantes satisfazendo $\sum_{j=0}^{\infty} \psi_j^2 < \infty$. Essa condição implica que a variância do processo é finita e neste caso,

$$\sigma_X^2 = \sigma^2 \sum_{j=0}^{\infty} \psi_j^2. \quad (2.52)$$

Também, de (2.51), vemos que $E\{X_t\} = 0$ e para $\tau > 0$,

$$\gamma_\tau = \sigma^2 \sum_{j=0}^{\infty} \psi_j \psi_{j+\tau}, \quad (2.53)$$

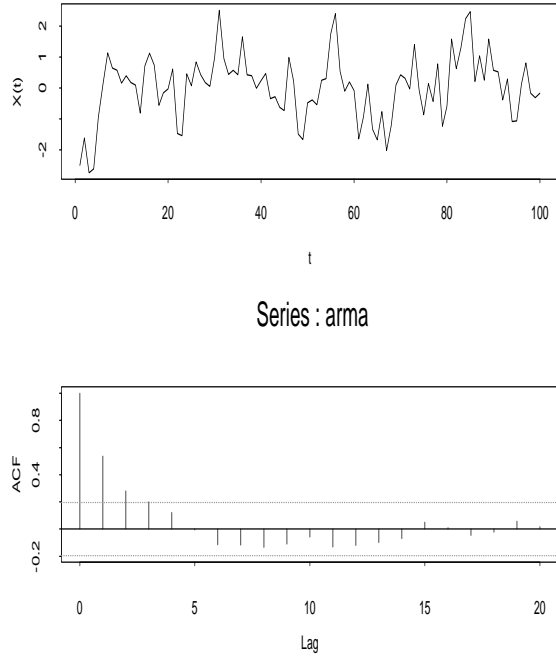


Figura 2.9: Processo ARMA(1,1) simulado, $\phi = 0,8, \theta = 0,3$ e f.a.c.

admitindo-se que a série do segundo membro de (2.53) convirja para um valor finito. Mas como

$$|E\{X_t X_{t-\tau}\}| \leq [E\{X_t^2\} E\{X_{t-\tau}^2\}]^{1/2} < \infty,$$

usando o fato que $\sigma_X^2 < \infty$, vemos que $\gamma_\tau < \infty$ se $\sum_{j=0}^{\infty} \psi_j^2 < \infty$. Logo, essa é a condição de estacionariedade para o PLG.

De (2.52) e (2.53) segue-se que a f.a.c. de um PLG é dada por

$$\rho_\tau = \frac{\sum_{j=0}^{\infty} \psi_j \psi_{j+\tau}}{\sum_{j=0}^{\infty} \psi_j^2}.$$

Uma média não nula μ pode ser incluída no modelo (2.51), como no teorema de Wold abaixo.

É imediato verificar que um processo MA(q) é caso particular de (2.51), com $\psi_j = 0, j > q$. Também, o processo AR(1) é obtido de (2.51), colocando-se $\psi_j = \phi^j$. Não é difícil verificar que um processo AR(p) genérico é caso particular do PLG.

Pelo que vimos acima, um processo AR(p), p finito, pode ser escrito como um processo de médias móveis de ordem infinita e um processo MA(q), q finito, pode ser escrito como um processo autorregressivo de ordem infinita, se as condições de estacionariedade e invertibilidade estiverem satisfeitas.

Na realidade, temos o seguinte resultado geral.

Teorema 2.1. (Wold) *Todo processo estacionário de segunda ordem, puramente não determinístico, pode ser escrito como*

$$X_t = \mu + \sum_{j=0}^{\infty} \psi_j \varepsilon_{t-j}, \quad \psi_0 = 1, \quad (2.54)$$

com $\varepsilon_t \sim RB(0, \sigma^2)$.

Um processo diz-se puramente não determinístico se ele não puder ser previsto exatamente a partir de seu passado.

2.6 Processos Não Estacionários

Iniciamos esta seção com um processo estocástico importante, o *passeio aleatório*. Passeios aleatórios têm grande importância em econometria e finanças. Uma hipótese célebre é que os preços de ativos financeiros seguem um passeio aleatório.

Exemplo 2.4. *Passeio Aleatório*

Considere uma sequência aleatória $\{\varepsilon_t, t \geq 1\}$, de v.a. i.i.d. $(\mu_\varepsilon, \sigma_\varepsilon^2)$. Defina a sequência

$$X_t = \varepsilon_1 + \dots + \varepsilon_t. \quad (2.55)$$

Segue-se que $E(X_t) = t\mu_\varepsilon$ e $\text{Var}(X_t) = t\sigma_\varepsilon^2$, ou seja, ambas dependem de t . Não é difícil mostrar que

$$\gamma_X(t_1, t_2) = \sigma_\varepsilon^2 \min(t_1, t_2)$$

e, portanto, a autocovariância de X_t depende de t_1 e t_2 . O processo (2.55) é chamado de *passeio aleatório ou casual* e à medida que o tempo passa, X_t tende a oscilar ao redor de $t\mu_\varepsilon$ com amplitude crescente. O processo é claramente não estacionário.

Observemos que $X_t = X_{t-1} + \varepsilon_t$, logo dado o valor de X_{t-1} , o valor de X_t depende apenas de ε_t . Como $\varepsilon_t = X_t - X_{t-1}$, esse processo tem *increments ortogonais ou não correlacionados*.

Muitas séries financeiras são não estacionárias: exibem médias ou variâncias não constantes, variando no tempo. No caso de não estacionariedade na média, o nível médio não constante pode ser modelado de várias maneiras: polinômios no tempo, modelos ARIMA (autorregressivos integrados e de médias móveis) etc. No caso de não estacionariedade em variância, certas transformações (como a logaritmica) usualmente estabilizam a variância, mas outra possibilidade é considerar formas de modelar a variância.

Há, basicamente, duas formas de gerar processos não estacionários e que sejam não explosivos.

(a) Incluir em (2.54) uma tendência determinística, como por exemplo

$$X_t = \beta_0 + \beta_1 t + \psi(B)\varepsilon_t, \quad (2.56)$$

obtendo-se um processo “trend-stationary”.

(b) Considerar um PLG com raíz unitária, da forma

$$(1 - B)X_t = \delta + \psi(B)\varepsilon_t, \quad (2.57)$$

com $\psi(1) \neq 0$. Esse modelo, obviamente, descreve variações de X_t e como $\psi(1) = \sum_{j=0}^{\infty} \psi_j \neq 0$, o processo é não estacionário.

Exemplo 2.5. Considere um caso especial de (2.56),

$$X_t = \beta_0 + \beta_1 t + \varepsilon_t, \quad (2.58)$$

sendo ε_t um $\text{RB}(0, \sigma^2)$. Então temos que

(i) $E(X_t) = \mu_t = \beta_0 + \beta_1 t$;

(ii) Tomando-se uma diferença,

$$X_t - X_{t-1} = \beta_1 + \varepsilon_t - \varepsilon_{t-1},$$

que é um modelo ARMA (1,1), com $\phi = \theta = 1$, portanto, temos um modelo não estacionário e não invertível.

(iii) Se $W(t) = X_t - X_{t-1} = (1 - B)X_t = \Delta X_t$,

$$W(t) = \Delta X_t = \beta_1 + \Delta \varepsilon_t,$$

que é um modelo MA(1), estacionário, mas não invertível.

(iv) Extraiendo-se a tendência de (2.58) obtemos

$$Y_t = X_t - \beta_1 t = \beta_0 + \varepsilon_t, \quad (2.59)$$

que é estacionário.

De modo geral, se tivermos (2.56) com erro ARMA(p,q) e tendência μ_t um polinômio determinístico de grau d , então

$$X_t = \sum_{j=0}^d \beta_j t^j + [\phi(B)]^{-1} \theta(B) a_t,$$

onde a_t é ruído branco. Segue-se que

$$\Delta^d X_t = (1 - B)^d X_t = \theta_0 + (1 - B)^d \psi(B) a_t, \quad (2.60)$$

na qual $\psi(B) = [\phi(B)]^{-1} \theta(B)$ e $\theta_0 = d! \beta_d$. Esse modelo é, novamente, estacionário, mas não invertível.

Exemplo 2.6. Considere, agora, o modelo

$$X_t = \beta_0 + \beta_1 t + \varepsilon_t, \quad (2.61)$$

em que $\varepsilon_t \sim \text{ARMA}(p, q)$. Podemos, então, escrever

$$\phi(B) \varepsilon_t = \theta(B) a_t,$$

onde a_t é ruído branco, Segue-se que

$$\varepsilon_t = \frac{1 - \theta_1 B - \dots - \theta_q B^q}{(1 - G_1 B)(1 - G_2 B) \cdots (1 - G_p B)} a_t = \psi(B) a_t. \quad (2.62)$$

Para que o processo seja estacionário as raízes de $\phi(B)$ devem estar fora do círculo unitário, de modo que $|G_i| < 1$, para todo $i = 1, \dots, p$. Nesse caso, o processo X_t é um caso especial de (a).

Suponha que $G_1 = 1$ e $|G_i| < 1, i = 2, \dots, p$. Então, (2.62) fica

$$(1 - B)\varepsilon_t = \frac{\theta(B)}{(1 - G_2B) \cdots (1 - G_pB)} a_t = \psi^*(B)a_t, \quad (2.63)$$

ou seja,

$$(1 - B)X_t = \beta_1 + \psi^*(B)a_t, \quad (2.64)$$

que é da forma (b).

O nome *raiz unitária* vem da representação (2.63) acima. Uma das raízes do polinômio autorregressivo $\phi(B)$ é igual a um, todas as demais estão fora do círculo unitário. Podemos ter duas ou mais raízes iguais a um. Testes para raízes unitárias serão estudados no Capítulo 4.

Quando tivermos um processo da forma (2.57), dizemos que ele é *integrado de ordem 1*. Em geral, temos a definição seguinte.

Definição 2.7. Se $\Delta^d X_t$ for estacionário, dizemos que X_t é *integrado de ordem d* e escrevemos $X_t \sim I(d)$.

Em particular, temos a

Definição 2.8. Se $\Delta^d X_t \sim ARMA(p,q)$ dizemos que X_t segue um modelo $ARIMA(p,d,q)$: autorregressivo integrado e de médias móveis de ordem (p,d,q) , ou seja,

$$\phi(B)\Delta^d X_t = \theta_0 + \theta(B)a_t. \quad (2.65)$$

Ou, de modo equivalente,

$$\phi(B)W(t) = \theta_0 + \theta(B)a_t, \quad \text{com} \quad W(t) = \Delta^d X_t.$$

Observemos que

$$W(t) = \Delta^d X_t \iff X_t = S^d W(t),$$

onde S é o operador **soma** ou **integral**

$$S = (1 - B)^{-1} = \Delta^{-1}.$$

Ou seja, X_t pode ser obtido somando-se ou integrando-se o processo estacionário $W(t)$ d vezes, donde o nome *processo integrado* para X_t .

Processos explosivos podem ser obtidos considerando-se modelos ARMA cuja parte AR não satisfaz condições de estacionariedade. Por exemplo,

$$X_t = \phi X_{t-1} + a_t, \quad \phi > 1. \quad (2.66)$$

Se $X_0 = x_0$, pode-se mostrar que a equação de diferença (2.66) tem solução

$$X_t = x_0 \phi^t + \sum_{i=0}^{t-1} \phi^i a_{t-i}. \quad (2.67)$$

Observe que

$$\text{Var}(X_t) = \sigma^2 \frac{\phi^{2(t+1)} - 1}{\phi^2 - 1},$$

que é crescente com t .

Se $|\phi| < 1$ então sabemos que X_t é estacionário. No caso que $\phi = 1$ teremos um passeio aleatório, estudado no exemplo 2.6,

$$X_t = X_{t-1} + a_t.$$

Incluindo-se uma constante, teremos um passeio aleatório com *drift*,

$$X_t = \theta_0 + X_{t-1} + a_t. \quad (2.68)$$

Se o processo começar em $t = 0$, com $X_0 = x_0$, podemos escrever

$$X_t = x_0 + t\theta_0 + \sum_{i=0}^{t-1} a_{t-i}, \quad (2.69)$$

de modo que obtemos (Ver Mills, 1999):

- (i) $\mu_t = x_0 + t\theta_0,$
- (ii) $\gamma_0(t) = \text{Var}(X_t) = t\sigma^2,$
- (iii) $\gamma_k(t) = (t - k)\sigma^2,$
- (iv) $\rho_k(t) = \frac{t-k}{t}.$

Logo, se t grande, $\rho_k(t) \approx 1$ e teremos uma sequência suave mas não estacionária.

Vimos acima que se removermos a tendência de um processo com tendência determinística, obteremos um processo estacionário, mas não invertível.

Vejamos, agora, o que acontece se tentarmos remover uma tendência de um processo que supostamente foi gerado por uma raiz unitária.

Exemplo 2.7. Considere (2.57), com $\psi(B) = 1$, ou seja

$$X_t = X_{t-1} + \delta + \varepsilon_t. \quad (2.70)$$

Considerando-se

$$Y_t = X_t - \delta t$$

e efetuando substituições sucessivas, obteremos

$$Y_t = X_0 + \sum_{j=1}^t \varepsilon_j, \quad (2.71)$$

de modo que efetivamente removemos a tendência, mas $\text{Var}(Y_t) = t\sigma^2$, que dependerá de t .

Exemplo 2.8. Uma suposição usual é que os preços de ativos financeiros sigam um passeio casual, ou seja,

$$P_t = \mu + P_{t-1} + \sigma \varepsilon_t, \quad \varepsilon_t \sim \text{i.i.d. } \mathcal{N}(0, 1). \quad (2.72)$$

Note que a distribuição condicional de P_t , dado P_{t-1} é normal, com média $\mu + P_{t-1}$ e variância σ^2 . Esse modelo é pouco realista, pois preços terão probabilidade não nula de serem negativos, logo costuma-se modificá-lo e considerar que $p_t = \log(P_t)$ é que segue o modelo (2.72), ou seja,

$$\log\left(\frac{P_t}{P_{t-1}}\right) = \mu + \sigma \varepsilon_t, \quad (2.73)$$

ou ainda, com a nomenclatura e notação do Capítulo 1,

$$r_t = \mu + \sigma \varepsilon_t, \quad \varepsilon_t \sim \text{i.i.d. } \mathcal{N}(0, 1). \quad (2.74)$$

Esse modelo supõe que a variância seja constante. Uma suposição mais adequada é admitir que a variância (condicional) dos preços varie com o tempo. Além disso, parece ser razoável admitir que os log-retornos tenham média zero, de modo que um modelo adotado por várias organizações financeiras é da forma (adotando a notação da seção 1.8)

$$r_t = \sigma_t \varepsilon_t, \quad \varepsilon_t \sim \text{i.i.d. } \mathcal{N}(0, 1). \quad (2.75)$$

Na Figura 2.10 temos 500 valores simulados do modelo

$$p_t = 0,005 + p_{t-1} + \varepsilon_t,$$

sendo $\varepsilon_t \sim \mathcal{N}(0, 1)$, $p_0 = 0$.

Um dos problemas importantes para avaliar, por exemplo, o VaR (valor em risco) de uma carteira de investimentos é estimar a volatilidade σ_t^2 , para cada instante de tempo t . Veja o Capítulo 7.

2.7 Movimento Browniano

No Capítulo 4, quando tratarmos do problema de raízes unitárias em modelos ARMA, necessitaremos usar um processo não estacionário particular, o movimento browniano.

Definição 2.9. Chamaremos de *Movimento Browniano Padrão* (ou processo de Wiener) ao processo contínuo $W = \{W(t), 0 \leq t \leq 1\}$ tal que:

- (a) $W(0) = 0$;
- (b) para quaisquer instantes $0 \leq t_1 \leq t_2 \leq \dots \leq t_k \leq 1$, as v.a. $W(t_2) - W(t_1), W(t_3) - W(t_2), \dots, W(t_k) - W(t_{k-1})$ são independentes;
- (c) para quaisquer s, t e τ no intervalo $[0, 1]$, as v.a. $W(t) - W(s)$ e $W(t + \tau) - W(s + \tau)$ têm a mesma distribuição;
- (d) para todo $0 \leq t \leq 1$, $W(t) \sim \mathcal{N}(0, t)$;
- (e) as trajetórias de $W(t)$ são contínuas com probabilidade um.

Segue-se de (b) que o movimento browniano padrão (MBP) tem *incrementos independentes* e de (c) que tem *incrementos estacionários*. Como as distribuições finito-dimensionais de W são normais multivariadas, o processo W é gaussiano. Como $W(t) - W(s) \stackrel{d}{=} W(t-s) - W(0) = W(t-s)$, temos que $W(t) - W(s)$ e $W(t-s)$ têm ambas distribuição $\mathcal{N}(0, t-s)$, $s < t$.

O nome do processo deve-se ao biólogo Robert Brown, que estudou o movimento de partículas imersas em um líquido. Einstein (1905) fez estudo similar. Um trabalho importante é o de Wiener (1923).

Da definição do MBP temos $E(W(t)) = 0$ e $\text{Var}(W(t)) = t$, $0 \leq t \leq 1$. Para calcular a f.a.c.v. de W , considere $s < t$. Temos, então,

$$\gamma(t, s) = E(W(t)W(s)) = E\{[(W(t) - W(s)) + W(s)]W(s)\}$$

$$= E\{[(W(t) - W(s))W(s)]\} + E(W(s)^2).$$

Como $W(t) - W(s)$ e $W(s) - W(0) = W(s)$ são independentes, vem que

$$\gamma(t, s) = E(W(t) - W(s))E(W(s)) + s = 0 + s = s, \quad 0 \leq s < t.$$

De modo análogo, se $t < s$, então $\gamma(t, s) = t$, logo

$$\gamma(t, s) = \min(t, s). \quad (2.76)$$

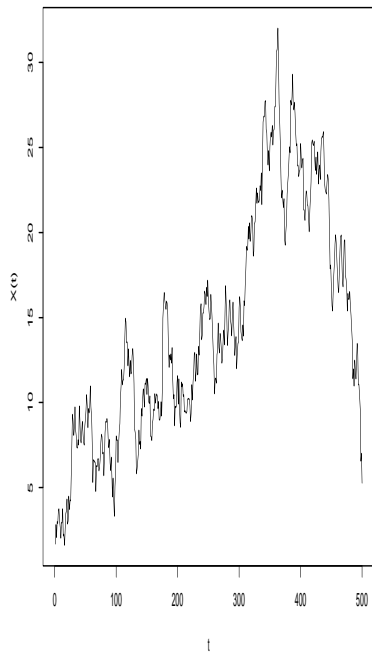


Figura 2.10: Passeio aleatório simulado

Como todo processo gaussiano é caracterizado por sua média e covariâncias, uma definição equivalente de MBP é a seguinte: um MBP W é um processo gaussiano com $E(W(t)) = 0$ e $\gamma(t, s) = \min(t, s)$.

Embora as trajetórias de W sejam contínuas, o fato de ter incrementos independentes faz com que estas sejam bastante irregulares. A Figura 2.10 é um exemplo de tal trajetória. Na realidade, uma trajetória de um MBP é um ente matemático abstrato, que não possui uma representação gráfica real, devido aos seguintes fatos, que não serão provados aqui.

Fato 1. As trajetórias de um MBP não são deriváveis em qualquer ponto.

Fato 2. As trajetórias de um MBP não têm variação limitada em qualquer intervalo finito.

Um outro fato importante sobre MBP é que esse processo é *autossimilar*, conforme a definição a seguir.

Definição 2.10. Um processo estocástico $X = \{X(t), t \geq 0\}$ é f -autossimilar, para algum $f > 0$, se suas distribuições finito-dimensionais satisfazem

$$(\tau^f X(t_1), \dots, \tau^f X(t_n)) \stackrel{d}{=} (X(\tau t_1), \dots, X(\tau t_n)), \quad (2.77)$$

para todo $\tau > 0$ e para quaisquer $t_1, \dots, t_n \geq 0, n \geq 1$.

Essa propriedade significa que partes escalonadas de uma trajetória em qualquer intervalo têm formas semelhantes (mas *não* idênticas). A Figura 2.11 mostra um exemplo.

Fato 3. O MBP é 0,5-autossimilar, isto é,

$$(\tau^{1/2} W(t_1), \dots, \tau^{1/2} W(t_n)) \stackrel{d}{=} (W(\tau t_1), \dots, W(\tau t_n)), \quad (2.78)$$

para todo τ e para quaisquer t_1, \dots, t_n , no intervalo $[0, 1]$, $n \geq 1$.

Portanto, basta considerar o processo no intervalo $[0, 1]$ se estivermos interessados no processo no intervalo $[0, \tau]$.

Vejamos alguns exemplos de processos derivados do MBP.

Exemplo 2.9. *Movimento Browniano Geral.* Se considerarmos o processo $X(t) = \sigma W(t)$, então $X(t)$ terá incrementos independentes e $X(t) \sim \mathcal{N}(0, \sigma^2 t)$. Podemos, também, considerar o movimento browniano,

$$X(t) = \mu t + \sigma W(t), \quad t \geq 0, \quad \sigma > 0, \quad \mu \in \mathbb{R}.$$

Então, $X(t)$ será gaussiano, com $E(X(t)) = \mu t$ e $\gamma_X(t, s) = \sigma^2 \min(t, s)$, para $s, t \geq 0$. O parâmetro μ é chamado o *drift*, enquanto σ é chamado “volatilidade”.

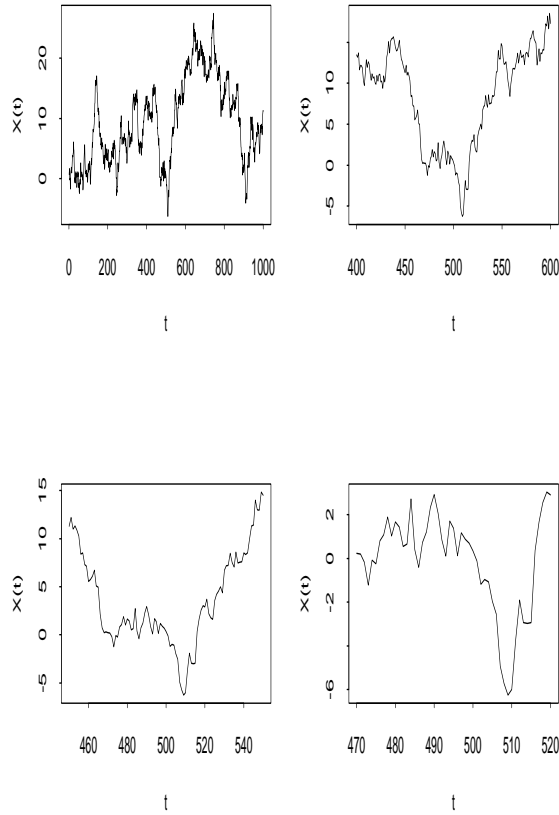


Figura 2.11: Um processo auto-similar

Exemplo 2.10. *Movimento Browniano Geométrico.* Como vimos no exemplo 2.8, preços são não negativos e o MB pode assumir valores negativos. Black e Scholes (1973) e Merton (1973) sugeriram outro processo para descrever preços num mercado especulativo, a saber

$$X(t) = e^{\mu t + \sigma W(t)}, \quad t \geq 0.$$

Segue-se que $\log\{X(t)\}$ é um Movimento Browniano Geral. Não é difícil verificar que este processo não é gaussiano. A média de $X(t)$ é dada por

$$E(X(t)) = e^{(\mu+0,5\sigma^2)t},$$

e a covariância é

$$\gamma_X(t, s) = e^{(\mu+0.5\sigma^2)(t+s)}(e^{\sigma^2 s} - 1).$$

Veja os problemas 12 e 13.

Um resultado importante e que também será usado posteriormente é o teorema limite central (TLC) funcional, que passamos a apresentar.

Se Y_1, Y_2, \dots é uma sequência de v.a. i.i.d., com média μ e variância σ^2 , e considerarmos a média $\bar{Y}_N = 1/N \sum_{t=1}^N Y_t$, então o TLC usual nos diz que

$$\sqrt{N}(\bar{Y}_N - \mu) \xrightarrow{\mathcal{D}} \mathcal{N}(0, \sigma^2). \quad (2.79)$$

Passemos, agora, a tomar médias de uma proporção r dos dados, $0 \leq r \leq 1$. Por exemplo, com N observações, calculemos a média da primeira metade dos dados,

$$\bar{Y}_{[N/2]} = \frac{1}{[N/2]} \sum_{t=1}^{[N/2]} Y_t. \quad (2.80)$$

Então, mais uma vez, usando o TLC,

$$\sqrt{[N/2]}(\bar{Y}_{[N/2]} - \mu) \xrightarrow{\mathcal{D}} \mathcal{N}(0, \sigma^2). \quad (2.81)$$

De modo geral, seja

$$Y_N(r) = \frac{1}{N} \sum_{t=1}^{[Nr]} Y_t, \quad (2.82)$$

para $0 \leq r \leq 1$, que é proporcional à média das primeiras $100r\%$ observações. É fácil verificar que

$$Y_N(r) = \begin{cases} 0, & 0 \leq r < 1/N, \\ Y_1/N, & 1/N \leq r < 2/N, \\ (Y_1 + Y_2)/N, & 2/N \leq r < 3/N, \\ \dots & \\ (Y_1 + \dots + Y_N)/N, & r = 1. \end{cases} \quad (2.83)$$

Podemos escrever

$$\sqrt{N}Y_N(r) = \frac{1}{\sqrt{N}} \sum_{t=1}^{[Nr]} Y_t = \frac{\sqrt{[Nr]}}{\sqrt{N}} \frac{1}{\sqrt{[Nr]}} \sum_{t=1}^{[Nr]} Y_t,$$

na qual

$$\sqrt{[Nr]} \frac{1}{[Nr]} \sum_{t=1}^{[Nr]} Y_t \xrightarrow{\mathcal{D}} \mathcal{N}(0, \sigma^2),$$

pelo TLC e $\sqrt{[Nr]}/\sqrt{N} \rightarrow \sqrt{r}$, logo obtemos

$$\sqrt{N}Y_N(r) \xrightarrow{\mathcal{D}} \sqrt{r}\mathcal{N}(0, \sigma^2) = \mathcal{N}(0, r\sigma^2), \quad (2.84)$$

da qual segue, finalmente,

$$\sqrt{N} \frac{Y_N(r)}{\sigma} \xrightarrow{\mathcal{D}} \mathcal{N}(0, r). \quad (2.85)$$

Observamos, também, que considerando-se médias baseadas em observações de $[Nr_1]$ a $[Nr_2]$, com $r_1 < r_2$, teríamos

$$\sqrt{N} \left[\frac{Y_N(r_2) - Y_N(r_1)}{\sigma} \right] \xrightarrow{\mathcal{D}} \mathcal{N}(0, r_2 - r_1),$$

independentemente de (2.85), se $r < r_1$, do que concluimos que a sequência de funções aleatórias $\{\frac{\sqrt{N}Y_N(\cdot)}{\sigma}, N = 1, 2, \dots\}$ tem uma distribuição limite que é o MBP:

$$\frac{\sqrt{N}Y_N(\cdot)}{\sigma} \xrightarrow{\mathcal{D}} W(\cdot). \quad (2.86)$$

Ou ainda, para cada $0 \leq r \leq 1$, a v.a. $\{\frac{\sqrt{N}Y_N(r)}{\sigma}\}$ tem como distribuição limite uma v.a. $\mathcal{N}(0, r)$, como dado em (2.85).

Em (2.86) temos o TLC funcional. Se $r = 1$, $Y_N(1) = \frac{1}{N} \sum_{t=1}^N Y_t$, e temos como resultado o TLC usual, a distribuição limite sendo a $\mathcal{N}(0, 1)$.

Um resultado importante em convergência de variáveis aleatórias diz que, se $X_N \xrightarrow{\mathcal{D}} X$ e se $g : I\!\!R \rightarrow I\!\!R$ for contínua, então $g(X_N) \xrightarrow{\mathcal{D}} g(X)$.

No caso de processos estocásticos, esse resultado pode ser generalizado, considerando agora $g(\cdot)$ um funcional contínuo. Para tanto, precisamos modificar a definição de convergência em distribuição para processos estocásticos.

Definição 2.11. Dizemos que $S_N(\cdot) \xrightarrow{\mathcal{D}} S(\cdot)$ se:

(i) para quaisquer $0 \leq r_1 \leq \dots \leq r_k \leq 1$,

$$y_N = \begin{bmatrix} S_N(r_1) \\ \dots \\ S_N(r_k) \end{bmatrix} \xrightarrow{\mathcal{D}} y = \begin{bmatrix} S(r_1) \\ \dots \\ S(r_k) \end{bmatrix};$$

- (ii) para todo $\varepsilon > 0$, $P\{|S_N(r_1) - S(r_2)| > \varepsilon\} \rightarrow 0$, uniformemente em N , para todo r_1, r_2 tais que $|r_1 - r_2| < \delta, \delta \rightarrow 0$;
- (iii) $P\{|S_N(0)| > \lambda\} \rightarrow 0$, uniformemente em N , quando $\lambda \rightarrow \infty$.

Nessas condições, se $S_N(\cdot) \xrightarrow{\mathcal{D}} S(\cdot)$ e g for um funcional contínuo, então $g(S_N(\cdot)) \xrightarrow{\mathcal{D}} g(S(\cdot))$.

Por exemplo, vimos que $\sqrt{N}Y_N(\cdot) \xrightarrow{\mathcal{D}} \sigma W(\cdot)$. Se considerarmos $S_N(r) = [\sqrt{N}Y_N(r)]^2$, então $S_N(\cdot) \xrightarrow{\mathcal{D}} \sigma^2[W(\cdot)]^2$.

2.8 Martingales

Um martingale descreve o que podemos chamar de “jogo justo”. Suponha que X_n represente a fortuna de um jogador após o n -ésimo jogo e \mathcal{F}_n represente a “história passada do jogo”, ou seja, $\mathcal{F}_n = \{X_n, X_{n-1}, \dots, X_1\}$. Se o ganho esperado no $(n+1)$ -ésimo jogo, dada a informação passada, for igual à fortuna atual, X_n , dizemos que o processo estocástico $\{X_n, n \geq 1\}$ é um martingale. Vamos formalizar este conceito.

Seja $X = \{X_t, t \in \mathcal{T}\}$, com $\mathcal{T} \subset \mathbb{R}$, um processo estocástico, ou seja, para cada $t \in \mathcal{T}$, X_t é uma v.a. definida sobre um espaço de probabilidade $(\Omega, \mathcal{F}, \mathcal{P})$. Suponha, ainda, que $\{\mathcal{F}_t, t \in \mathcal{T}\}$ seja uma família crescente de sub- σ -álgebras de \mathcal{F} , isto é, $\mathcal{F}_s \subset \mathcal{F}_t$, se $s \leq t$, e que X seja *adaptado* a essa família, ou seja, X_t é \mathcal{F}_t -mensurável.

Definição 2.12. Um processo $X = \{X_t, \mathcal{F}_t, t \in \mathcal{T}\}$ é um martingale se:

- (a) X_t é integrável, para cada $t \in \mathcal{T}$.
- (b) Se $s \leq t$, então

$$E(X_t | \mathcal{F}_s) = X_s. \quad (2.87)$$

Se em (b) tivermos $E(X_t | \mathcal{F}_s) \geq X_s$, o processo diz-se um *sub-martingale* e se tivermos $E(X_t | \mathcal{F}_s) \leq X_s$, temos um *super-martingale*.

A relação (2.87) nos diz que X_s é o melhor preditor de X_t , dada a informação \mathcal{F}_s .

Se $\mathcal{T} = \mathbb{Z}$ ou $\mathcal{T} = \{1, 2, \dots\}$, X_t é um martingale com parâmetro discreto e (b) acima fica

$$E(X_{n+1} | \mathcal{F}_n) = X_n, \quad n \geq 1. \quad (2.88)$$

Exemplo 2.11. (a) Se X_1, X_2, \dots são v.a. independentes, com $E(X_i) = 0$, para todo i , então $Y_n = \sum_{i=1}^n X_i$ é um martingale.

(b) Com as variáveis de (a), mas $E(X_i) = \mu_i \geq 0$, segue-se que Y_n é um sub-martingale e $Z_n = \sum_{i=1}^n (X_i - \mu_i)$ é um martingale.

(c) Se $X_{n+1} = X_n + a_n$, onde $a_n \sim RB(0, \sigma^2)$, então $\{X_n, n \geq 1\}$ é um martingale. Ou seja, um passeio aleatório é um caso especial de um martingale.

Observe que, de (2.88) temos

$$E(X_{n+1} - X_n | \mathcal{F}_n) = 0, \quad n \geq 1. \quad (2.89)$$

Ou seja, podemos escrever

$$X_{n+1} = X_n + u_n, \quad (2.90)$$

onde agora u_n não precisa ser necessariamente um ruído branco, ter uma variância constante ou mesmo ser estacionário.

Quando escrevermos simplesmente que $X = \{X_t, t \in \mathcal{T}\}$ é um martingale, então as σ -álgebras da definição são $\mathcal{F}_t = \mathcal{F}\{X_s, s \leq t\}$, ou seja, as σ -álgebras geradas pelos valores do processo até o instante t . Este será o caso usual a considerar, quando a história passada, ou o conjunto de informação passado, é dado por funções de valores passados do próprio processo. Em algumas situações, a informação passada contém valores de outros processos de interesse, relacionados a X .

Algumas propriedades:

1. Se X_t e Y_t forem martingales, então $X_t + Y_t$ será um martingale se ambos os processos forem martingales com respeito à mesma sequência de σ -álgebras.
2. Para verificar que $\{X_n, \mathcal{F}_n, n \geq 1\}$ é um martingale, basta mostrar que (2.88) vale, se $\{X_n, \mathcal{F}_n, n \geq 1\}$ for tal que \mathcal{F}_n é uma família crescente de sub- σ -álgebras de \mathcal{F} , X_n é adaptado a \mathcal{F}_n e X_n é integrável, para todo $n \geq 1$.
3. Se $\{X_n, n \geq 1\}$ for um martingale, então $E(X_n) = E(X_1)$, para todo n .
4. Se φ for uma função convexa, $\{X_n, \mathcal{F}_n, n \geq 1\}$ for um martingale e $\varphi(X_n)$ for integrável, para todo $n \geq 1$, então $\{\varphi(X_n), \mathcal{F}_n, n \geq 1\}$ será um sub-martingale. Se φ for ainda crescente e X_n um sub-martingale, então $\varphi(X_n)$ será também

um sub-martingale.

5. O resultado a seguir é um teorema de convergência para sub-martingales.

Teorema 2.2. (Doob) Suponha que $\{X_n, \mathcal{F}_n, n \geq 1\}$ seja um sub-martingale, com $\sup_n E|X_n| < \infty$ (isto é, X_n é limitado em L_1). Então $\{X_n\}$ converge, com probabilidade um, para um limite X_∞ , que é integrável.

O processo $\{u_n\}$ em (2.90) é um caso particular de uma sequência de variáveis que passamos a definir.

Definição 2.13. Seja $\{Y_n, n \geq 1\}$ um processo estocástico de média zero. Se

$$E(Y_n | \mathcal{F}_{n-1}) = 0, \quad n \geq 2, \quad (2.91)$$

então $\{Y_n\}$ é chamado diferença martingale com respeito a \mathcal{F}_n .

Esta definição pode ser estendida a processos vetoriais. A condição (2.91) é mais forte que a condição segundo a qual $\{Y_n\}$ são não correlacionadas, mas é mais fraca do que independência.

O resultado a seguir dá um teorema limite central para médias de um tal processo.

Teorema 2.3. (White) Suponha que $\{Y_n, n \geq 1\}$ seja uma diferença martingale, $\bar{Y}_N = \sum_{n=1}^N Y_n / N$ e temos as seguinte condições válidas:

$$(a) \quad E(Y_n^2) = \sigma_n^2 > 0, \text{ com } \sum_{n=1}^N \sigma_n^2 / N \rightarrow \sigma^2 > 0;$$

$$(b) \quad E|Y_n|^r < \infty, \text{ para algum } r > 2 \text{ e para todo } n;$$

$$(c) \quad \sum_{n=1}^N Y_n^2 / N \xrightarrow{P} \sigma^2.$$

Então, $N^{1/2} \bar{Y}_N \xrightarrow{\mathcal{D}} \mathcal{N}(0, \sigma^2)$.

2.9 Problemas

1. Use a equação (2.8) para provar que, se $X(t)$ for estritamente estacionário, então $\mu(t)$ e $\sigma^2(t)$ são constantes.
2. Seja $X(t) = \sum_{j=1}^n (A_j \cos \lambda_j t + B_j \sin \lambda_j t)$, onde $t = 0, \pm 1, \dots$ e $\lambda_1, \dots, \lambda_n$ são constantes positivas e A_j, B_j são v.a. independentes, com médias 0 e variâncias $\sigma_j^2 = \text{Var}(A_j) = \text{Var}(B_j)$, $j = 1, \dots, n$. Suponha, ainda, que os A_j sejam independentes dos B_j . O processo $X(t)$ é fracamente

estacionário? Encontre a média e a f.a.c.v. de $X(t)$. O processo é estritamente estacionário?

3. Considere as observações:

t	1	2	3	4	5	6	7
Z_t	15	19	13	17	22	18	20

Calcule c_k e r_k , $k = 0, 1, \dots, 6$.

4. Considere o processo estocástico $Z_t = a_t$, onde a_t é ruído branco, com $t = 0, \pm 1, \pm 2, \dots$ e

$$a_t = \begin{cases} +1, & \text{com probabilidade } 1/2; \\ -1, & \text{com probabilidade } 1/2. \end{cases}$$

- (a) Obtenha a média do processo Z_t ;
 - (b) Calcule γ_τ , $\tau = 0, \pm 1, \pm 2, \dots$
 - (c) Calcule ρ_τ , $\tau = 0, \pm 1, \dots$ e faça o seu gráfico.
5. Suponha $\{a_t, t = 1, 2, \dots\}$ uma sequência de v.a. independentes e identicamente distribuídas, com:

$$P(a_t = 0) = P(a_t = 1) = \frac{1}{2}.$$

- (a) O processo $a_1 + a_2 \cos t$ é estacionário?
- (b) O processo $a_1 + a_2 \cos t + a_3 \cos t + \dots$ é estacionário? (Neste e nos problemas seguintes, estacionário significa fracamente estacionário).
- 6. Se $\{X_t, t \in \mathcal{T}\}$ e $\{Y_t, t \in \mathcal{T}\}$ são estacionários, $\{aX_t + bY_t, t \in \mathcal{T}\}$ será estacionário?
- 7. Seja $\{Z_t\}$ um processo estacionário com média μ_Z e função de autocovariância γ_Z . Um novo processo é definido por $Y_t = Z_t - Z_{t-1}$. Obtenha a média e a função de autocovariância de $\{Y_t\}$ em termos de μ_Z e γ_Z . Mostre que $\{Y_t\}$ é um processo estacionário.
- 8. Prove que, se $\{Z(t), t \in \mathbb{R}\}$ for Gaussiano e estacionário de segunda ordem, então ele será estritamente estacionário.
- 9. Use um programa computacional para calcular:

- (a) a média e a variância amostrais;
- (b) c_k e r_k , para $k = 1, \dots, 36$

da série de *índices* mensais do Ibovespa (arquivo m-ibv94.10.dat). Faça os gráficos da série e de r_k . Comente quanto à presença de tendências, sazonalidades, ciclos. Comente a natureza do gráfico de r_k .

10. Use um programa computacional para calcular:
 - (a) média e variância amostrais, coeficientes de assimetria e curtose, máximo e mínimo, histograma;
 - (b) autocorrelações amostrais
 dos *log-retornos* mensais do Ibovespa do problema 9. Comente e estabeleça as diferenças com o problema anterior.
11. Prove as relações (i)–(iv) após a equação (2.69).
12. Mostre que, se $Z \sim \mathcal{N}(0, 1)$, então para λ real,

$$E(e^{\lambda Z}) = e^{\lambda^2/2}.$$

13. Use o resultado anterior para encontrar a média e covariância do movimento browniano geométrico do exemplo 2.10. Determine a variância do processo.
14. **Ponte browniana.** Considere o processo estocástico dado por

$$X(t) = W(t) - tW(1), \quad 0 \leq t \leq 1,$$

onde $W(t)$ é o MBP no intervalo $[0, 1]$. Segue-se que $X(0) = X(1) = 0$. Mostre que $X(t)$ é um processo gaussiano, com $E(X(t)) = 0$ e covariância dada por $\gamma_X(t, s) = \min(t, s) - ts$, $t, s \in [0, 1]$.

15. Mostre que o MB $W = \{W(t), t \geq 0\}$ é um martingale com respeito à σ -álgebra natural $\mathcal{F}_t = \sigma\{W(s), s \leq t\}$.
16. Mesmo problema para o processo $W(t)^2 - t$.
17. **Processos de Lévy.** Dizemos que um processo estocástico $\{X_t\}$ é *càdlàg* (em francês, “continue à droite avec limite à gauche”) se suas

trajetórias são (em quase toda a parte) contínuas à direita e têm limites à esquerda.

Um processo de Lévy $\{X_t\}$ é um processo *càdlàg* com incrementos independentes e estacionários, começando na origem, isto é, $P(X_0 = 0) = 1$.

Mostre que o processo de Poisson e o Movimento Browninano são processos de Lévy.

18. Mostre que, para um modelo AR(2) estacionário, a representação em médias móveis infinita é tal que $\psi_0 = 1, \psi_1 = \phi_1$ e $\psi_i = \phi_1\psi_{i-1} + \phi_2\psi_{i-2}, i \geq 2$.
19. Considere os seguintes modelos (todos com $\mu = E(X_t) = 0$):
 - (a) $X_t - 0, 6X_{t-1} = \varepsilon_t$;
 - (b) $X_t = \varepsilon_t + 0, 8\varepsilon_{t-1}$;
 - (c) $X_t = 0, 3X_{t-1} - 0, 6X_{t-2} + \varepsilon_t$;
 - (d) $X_t - 0, 4X_{t-1} = \varepsilon_t - 0, 3\varepsilon_{t-1} + 0, 8\varepsilon_{t-2}$;
 - (e) $X_t = 0, 3\varepsilon_{t-1} + 0, 6\varepsilon_{t-2} + \varepsilon_t$.

Obtenha os primeiros três pesos ψ_j e π_j para cada modelo.

20. Considere o modelo $X_t + bX_{t-3} = \varepsilon_t$. Obtenha a condição de estacionariedade para X_t . Encontre a representação de X_t na forma de médias móveis infinita. Obtenha a f.a.c. de X_t .

CAPÍTULO 3

Modelos ARIMA

3.1 Introdução

Neste capítulo trataremos de modelar séries temporais por meio de processos autorregressivos integrados e de médias móveis, brevemente, ARIMA. Como vimos no Capítulo 2, um modelo ARMA (p,q) é dado pela equação de diferenças

$$X_t - \mu = \phi_1(X_{t-1} - \mu) + \dots + \phi_p(X_{t-p} - \mu) + \varepsilon_t - \theta_1\varepsilon_{t-1} - \dots - \theta_q\varepsilon_{t-q}, \quad (3.1)$$

onde $\varepsilon_t \sim RB(0, \sigma_\varepsilon^2)$. Com os operadores autorregressivos e de média móveis definidos anteriormente (veja as expressões (2.25) e (2.42)), podemos escrever

$$\phi(B)\tilde{X}_t = \theta(B)\varepsilon_t, \quad (3.2)$$

com $\tilde{X}_t = X_t - \mu$. Quando $\mu \neq 0$, o modelo pode ser escrito

$$X_t = \theta_0 + \phi_1X_{t-1} + \dots + \phi_pX_{t-p} + \varepsilon_t - \theta_1\varepsilon_{t-1} - \dots - \theta_q\varepsilon_{t-q},$$

onde $\theta_0 = \mu(1 - \phi_1 - \dots - \phi_p)$. No que segue, iremos supor que $\mu = 0$, a menos que se faça menção em contrário.

Um processo $\{X_t, t \in Z\}$ segue um modelo ARIMA(p,d,q) se $\Delta^d X_t$ seguir um modelo ARMA(p,q), ou seja, temos

$$\phi(B)\Delta^d X_t = \theta(B)\varepsilon_t. \quad (3.3)$$

No estabelecimento de um modelo ARIMA para uma série temporal há três estágios a considerar:

- (i) identificação;

- (ii) estimação;
- (iii) diagnóstico.

Neste capítulo estudaremos com algum detalhe cada um desses estágios. Para mais detalhes o leitor pode consultar Morettin e Toloi (2006) e Box et al. (1994).

O ciclo (i)-(iii) acima deve ser iterado se no estágio (iii) verificarmos que o modelo não é adequado para os fins desejados. Em muitas situações, mais de um modelo pode ser considerado adequado, e a decisão de qual adotar vai depender de algum critério. Por exemplo, escolhemos o modelo que minimiza o erro quadrático médio de previsão.

3.2 Identificação

A identificação do particular modelo ARIMA a ser ajustado aos dados é talvez a fase mais crítica do processo iterativo descrito acima. Esta escolha é feita principalmente com base nas autocorrelações e autocorrelações parciais estimadas (veja abaixo o conceito de autocorrelação parcial), que esperamos representem adequadamente as respectivas quantidades teóricas, que são desconhecidas.

Lembremos (seção 2.3) que a f.a.c. ρ_j é estimada por

$$r_j = \frac{c_j}{c_0}, \quad j = 0, 1, \dots, T-1, \quad (3.4)$$

onde c_j é a estimativa da f.a.c.v γ_j ,

$$c_j = \frac{1}{T} \sum_{t=1}^{T-j} [(X_t - \bar{X})(X_{t+j} - \bar{X})], \quad j = 0, 1, \dots, T-1, \quad (3.5)$$

sendo $\bar{X} = \frac{1}{T} \sum_{t=1}^T X_t$ a média amostral. Como as autocorrelações verdadeiras são funções pares, colocamos $c_{-j} = c_j$ e $r_{-j} = r_j$.

Como veremos adiante, será necessário uma verificação para saber se ρ_j é nula além de um certo *lag*. Uma expressão aproximada para a variância de r_j , para um processo estacionário normal, é dada por

$$\text{Var}(r_j) \simeq \frac{1}{T} \sum_{v=-\infty}^{\infty} [\rho_v^2 + \rho_{v+j}\rho_{v-j} - 4\rho_j\rho_v\rho_{v-j} + 2\rho_v^2\rho_j^2]. \quad (3.6)$$

Para um processo em que as autocorrelações são nulas para $v > q$, todos os termos do lado direito de (3.6) anulam-se para $j > q$, exceto o primeiro,

obtendo-se

$$\text{Var}(r_j) \simeq \frac{1}{T} \left[1 + 2 \sum_{v=1}^q \rho_v^2 \right], \quad j > q. \quad (3.7)$$

Como desconhecemos as autocorrelações ρ_v , substituímo-las por r_v , obtendo-se uma estimativa para (3.7),

$$\widehat{\sigma}^2(r_j) \simeq \frac{1}{T} \left[1 + 2 \sum_{v=1}^q r_v^2 \right], \quad j > q. \quad (3.8)$$

Para T suficientemente grande e sob a hipótese que $\rho_j = 0$, para $j > q$, a distribuição de r_j é aproximadamente normal, com média igual a zero e variância dada por (3.7) (Jenkins e Watts, 1968, p.187). Assim, pode-se construir um intervalo de confiança aproximado para as autocorrelações,

$$r_j \pm t_\gamma \cdot \widehat{\sigma}(r_j), \quad (3.9)$$

onde t_γ é o valor da estatística t de Student com $T - 1$ graus de liberdade, tal que $P(-t_\gamma < t < t_\gamma) = \gamma$. Na prática usa-se $t_\gamma = 2$, correspondendo, aproximadamente, a $\gamma = 0,95$, de modo que podemos considerar ρ_j significativamente diferente de zero se

$$|r_j| > 2\widehat{\sigma}(r_j), \quad j > q. \quad (3.10)$$

Como vimos no Capítulo 2, os processos AR(p), MA(q) e ARMA(p, q) apresentam f.a.c. com características especiais. Assim:

- (i) um processo AR(p) tem f.a.c. que decai de acordo com exponenciais e/ou senoides amortecidas, infinita em extensão;
- (ii) um processo MA(q) tem f.a.c. finita, no sentido que ela apresenta um corte após o “lag” q ;
- (iii) um processo ARMA(p, q) tem f.a.c. infinita em extensão, que decai de acordo com exponenciais e/ou senoides amortecidas após o “lag” $q - p$.

Essas observações serão úteis no procedimento de identificação do modelo a ajustar aos dados observados; calculando-se as estimativas das f.a.c., que acreditamos reproduzir adequadamente as verdadeiras f.a.c. desconhecidas e comparando seu comportamento o descrito acima, para cada modelo, tentaremos escolher um (ou mais) modelo (modelos, respectivamente) que descreva(m) a série observada.

Em particular, a f.a.c. é útil para identificar modelos MA, dada a característica (ii) acima, não sendo útil para identificar modelos ARMA, que têm f.a.c. complicada.

Box et al. (1994) propõem a utilização de um outro instrumento para facilitar este procedimento de identificação: a *função de autocorrelação parcial* (f.a.c.p.).

Vamos denotar por ϕ_{kj} o j -ésimo coeficiente de um modelo AR(k), de tal modo que ϕ_{kk} seja o último coeficiente. Sabemos que

$$\rho_j = \phi_{k1}\rho_{j-1} + \phi_{k2}\rho_{j-2} + \cdots + \phi_{kk}\rho_{j-k}, \quad j = 1, \dots, k,$$

a partir das quais obtemos as equações de Yule-Walker

$$\begin{bmatrix} 1 & \rho_1 & \rho_2 & \cdots & \rho_{k-1} \\ \rho_1 & 1 & \rho_1 & \cdots & \rho_{k-2} \\ \vdots & \vdots & \vdots & \ddots & \vdots \\ \rho_{k-1} & \rho_{k-2} & \rho_{k-3} & \cdots & 1 \end{bmatrix} \begin{bmatrix} \phi_{k1} \\ \phi_{k2} \\ \vdots \\ \phi_{kk} \end{bmatrix} = \begin{bmatrix} \rho_1 \\ \rho_2 \\ \vdots \\ \rho_k \end{bmatrix} \quad (3.11)$$

Resolvendo essas equações sucessivamente para $k = 1, 2, 3, \dots$ obtemos

$$\begin{aligned} \phi_{11} &= \rho_1, \\ \phi_{22} &= \frac{\begin{vmatrix} 1 & \rho_1 \\ \rho_1 & \rho_2 \end{vmatrix}}{\begin{vmatrix} 1 & \rho_1 \\ \rho_1 & 1 \end{vmatrix}} = \frac{\rho_2 - \rho_1^2}{1 - \rho_1^2}, \\ \phi_{33} &= \frac{\begin{vmatrix} 1 & \rho_1 & \rho_1 \\ \rho_1 & 1 & \rho_2 \\ \rho_2 & \rho_1 & \rho_3 \end{vmatrix}}{\begin{vmatrix} 1 & \rho_1 & \rho_2 \\ \rho_1 & 1 & \rho_1 \\ \rho_2 & \rho_1 & 1 \end{vmatrix}} \end{aligned}$$

e, em geral,

$$\phi_{kk} = \frac{|\mathbf{P}_k^*|}{|\mathbf{P}_k|},$$

onde \mathbf{P}_k é a matriz de autocorrelações e \mathbf{P}_k^* é a matriz \mathbf{P}_k com a última coluna substituída pelo vetor de autocorrelações.

A quantidade ϕ_{kk} , encarada como função de k , é chamada *função de autocorrelação parcial*.

Pode-se demonstrar que ϕ_{kk} é igual à correlação parcial entre as variáveis X_t e X_{t-k} ajustadas às variáveis intermediárias $X_{t-1}, \dots, X_{t-k+1}$. Ou seja, ϕ_{kk} mede a correlação remanescente entre X_t e X_{t-k} depois de eliminada a influência de $X_{t-1}, \dots, X_{t-k+1}$.

Exemplo 3.1. A correlação entre os valores ajustados $X_t - \phi_{11}X_{t-1}$ e $X_{t-2} - \phi_{11}X_{t-1}$ é dada por

$$\begin{aligned} & \text{Corr}(X_t - \phi_{11}X_{t-1}, X_{t-2} - \phi_{11}X_{t-1}) \\ &= \text{Corr}(X_t - \rho_1 X_{t-1}, X_{t-2} - \rho_1 X_{t-1}) \\ &= \frac{\text{Cov}(X_t - \rho_1 X_{t-1}, X_{t-2} - \rho_1 X_{t-1})}{(\text{Var}(X_t - \rho_1 X_{t-1})\text{Var}(X_{t-2} - \rho_1 X_{t-1}))^{1/2}} \\ &= \frac{\gamma_2 - 2\rho_1\gamma_1 + \rho_1^2\gamma_0}{\gamma_0 - 2\rho_1\gamma_1 + \rho_1^2\gamma_0} \\ &= \frac{\rho_2 - \rho_1^2}{1 - \rho_1^2} = \phi_{22}. \end{aligned}$$

Será necessário estimar a f.a.c.p. de um processo AR, MA ou ARMA. Uma maneira consiste em estimar, sucessivamente, modelos autorregressivos de ordens $p = 1, 2, 3, \dots$ por mínimos quadrados e tomar as estimativas do último coeficiente de cada ordem.

Outra maneira consiste em substituir nas equações de Yule-Walker as f.a.c. ρ_j por suas estimativas, ou seja, considerar

$$r_j = \hat{\phi}_{k1}r_{j-1} + \dots + \hat{\phi}_{kk}r_{j-k}, \quad j = 1, \dots, k,$$

e resolver (3.11) com ρ_j substituída por r_j e ϕ_{kj} substituída por $\hat{\phi}_{kj}$.

Quenouille (1949) mostra que, sob a suposição que o processo seja AR(p), as f.a.c.p. estimadas de ordem $p+1, p+2, \dots$ são, aproximadamente, independentemente distribuídas, com

$$\text{Var}(\hat{\phi}_{kk}) \approx \frac{1}{T}, \quad k \geq p+1.$$

Se o número de observações, T , for suficientemente grande, $\hat{\phi}_{kk}$ tem distribuição aproximada normal, o que permite a construção de intervalos de confiança para ϕ_{kk} .

Podemos resolver as equações (3.11) utilizando o algoritmo de Durbin-Levinson. Veja Morettin (1984) para detalhes.

Pode-se demonstrar (veja Box et al., 1994) que, para os processos estudados, temos:

- (i) um processo AR(p) tem f.a.c.p. $\phi_{kk} \neq 0$, para $k \leq p$ e $\phi_{kk} = 0$, para $k > p$;
- (ii) um processo MA(q) tem f.a.c.p. que se comporta de maneira similar à f.a.c. de um processo AR(p): é dominada por exponenciais e/ou senoides amortecidas;
- (iii) um processo ARMA(p, q) tem f.a.c.p. que se comporta como a f.a.c.p. de um processo MA puro.

Segue-se que a f.a.c.p. é útil para identificar modelos AR puros, não sendo tão útil para identificar modelos MA e ARMA.

Vimos acima que sob a hipótese que o processo seja AR(p),

$$\text{Var}(\hat{\phi}_{jj}) \simeq \frac{1}{T}, \quad j > p, \quad (3.12)$$

de modo que

$$\hat{\sigma}(\hat{\phi}_{jj}) \simeq \frac{1}{\sqrt{T}}, \quad j > p. \quad (3.13)$$

Além disso, para T grande e sob a hipótese que o processo seja AR(p), $\hat{\phi}_{jj}$ terá distribuição aproximadamente normal, com média zero e variância (3.12), de modo que consideraremos $\hat{\phi}_{jj}$ significativamente diferente de zero se

$$|\hat{\phi}_{jj}| > \frac{2}{\sqrt{T}}, \quad j > p. \quad (3.14)$$

Exemplo 3.2. Na Tabela 3.1, temos as estimativas das autocorrelações e de seus respectivos desvios padrões, bem como as autocorrelações parciais estimadas, para as séries simuladas das figuras 2.6, 2.8 e 2.9 , a saber,

$$\begin{aligned} \text{AR}(1) : \quad X_t &= 0,8X_{t-1} + \varepsilon_t; \\ \text{MA}(1) : \quad X_t &= \varepsilon_t - 0,8\varepsilon_{t-1}; \\ \text{ARMA}(1, 1) : \quad X_t &= 0,8X_{t-1} + \varepsilon_t - 0,3\varepsilon_{t-1}. \end{aligned}$$

Na tabela também estão indicadas as médias e os desvios padrões amostrais de cada série, bem como destacados com um asterisco (*) os valores que caem fora do intervalo de dois desvios padrões.

Na Figura 3.1, temos os gráficos de r_j , $\hat{\phi}_{jj}$ para cada um dos modelos. Os intervalos de confiança para $\hat{\phi}_{jj}$ estão indicados em linha pontilhada.

Note que os valores estimados podem diferir bastante dos valores verdadeiros. Por exemplo, no caso do modelo AR(1), $\phi = 0,8$ e $\rho_1 = 0,8$, $\rho_2 = 0,64$, etc. Para o modelo MA(1), $\theta = 0,8$ e $\rho_1 = -\theta/(1+\theta^2) = -0,488$, sendo as demais nulas. Para o ARMA(1,1), $\rho_1 = 0,622$, $\rho_2 = 0,498$, etc. O valor de T aqui é 100. À medida que aumentarmos o tamanho da série, os valores estimados estarão mais próximos dos valores verdadeiros.

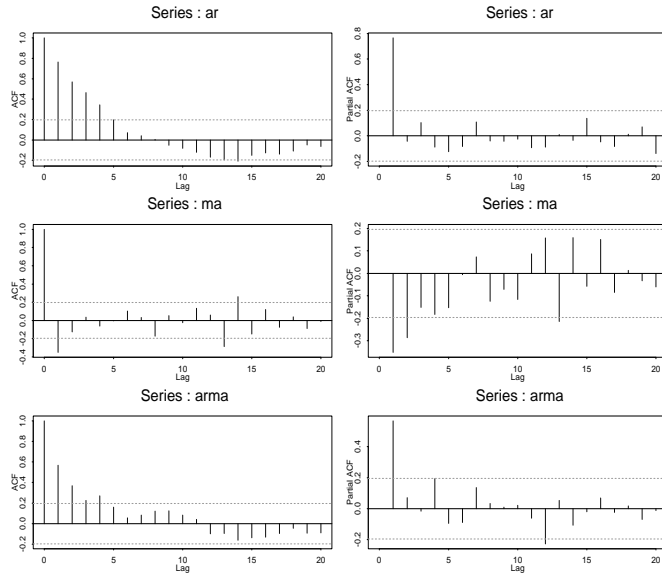


Figura 3.1: Autocorrelações e autocorrelações parciais amostrais para as séries simuladas AR(1), MA(1) e ARMA(1,1).

3.2.1 Procedimento de Identificação

O objetivo da identificação é determinar os valores de p , d e q do modelo ARIMA(p, d, q). O procedimento de identificação consiste de três partes:

- verificar se existe necessidade de uma transformação na série original, com o objetivo de estabilizar sua variância;
- tomar diferenças da série, obtida no item (a), tantas vezes quantas necessárias para se obter uma série estacionária, de modo que o processo $\Delta^d X_t$ seja reduzido a um ARMA(p, q). O número de diferenças, d , necessárias para que o processo se torne estacionário, é alcançado quando

a f.a.c. amostral de $W_t = \Delta^d X_t$ decresce rapidamente para zero. Nesse estágio, a utilização de um teste para verificar a existência de raízes unitárias no polinômio autorregressivo, pode ser de grande utilidade. O teste de Dickey e Fuller (1979) será estudado no Capítulo 4;

- (c) identificar o processo ARMA(p, q) resultante por meio da análise das autocorrelações e autocorrelações parciais estimadas, cujos comportamentos devem imitar os comportamentos das respectivas quantidades teóricas. Esses comportamentos foram abordados no Capítulo 2 e um resumo das propriedades destes modelos encontra-se na Tabela 3.2, extraída de Box et al. (1994).

A justificativa do item (b), do procedimento de identificação é o seguinte. Vimos que, para um modelo ARMA estacionário, as f.a.c. são dadas por

$$\rho_j = A_1 G_1^j + A_2 G_2^j + \cdots + A_p G_p^j, \quad j > q - p, \quad (3.15)$$

supondo raízes distintas. Como $\phi(B) = \prod_{i=1}^p (1 - G_i B)$ e as raízes de $\phi(B) = 0$ devem estar fora do círculo unitário, devemos ter $|G_i| < 1$. Segue-se de (3.15) que, se nenhuma raiz estiver muito próxima do círculo unitário, as autocorrelações ρ_j decairão para zero, para valores moderados de j .

Tabela 3.1: Autocorrelações amostrais e respectivos desvios padrões e autocorrelações parciais amostrais para as séries simuladas AR(1), MA(1) e ARMA(1,1).

lag	AR(1)			MA(1)			ARMA(1)		
	r_j	$\hat{\sigma}(r_j)$	$\hat{\phi}_{jj}$	r_j	$\hat{\sigma}(r_j)$	$\hat{\phi}_{jj}$	r_j	$\hat{\sigma}(r_j)$	$\hat{\phi}_{jj}$
1	0,765*	0,10	0,765*	-0,352*	0,10	-0,352*	0,567*	0,10	0,567*
2	0,568*	0,15	-0,041	-0,127	0,11	-0,286*	0,370*	0,13	0,071
3	0,464*	0,17	0,103	0,036	0,11	-0,152	0,225	0,14	-0,015
4	0,344	0,18	-0,088	-0,063	0,11	-0,182	0,269	0,14	0,193
5	0,197	0,19	-0,124	-0,004	0,11	-0,153	0,161	0,15	-0,096
6	0,071	0,19	-0,082	-0,102	0,11	-0,006	0,056	0,15	-0,090
7	0,041	0,19	0,109	0,031	0,11	0,073	0,084	0,15	0,136
8	0,005	0,19	-0,039	-0,173	0,11	-0,125	0,123	0,15	0,034
9	-0,052	0,19	-0,042	0,051	0,12	-0,071	0,125	0,15	0,010
10	-0,084	0,19	-0,024	-0,026	0,12	-0,116	0,084	0,15	0,022
\bar{X}	0,532			-0,042			1,077		
S	2,462			1,284			1,312		

Por outro lado, suponha que uma raiz real, G_1 , esteja próxima de um, ou seja, $G_1 = 1 - \varepsilon$, $\varepsilon > 0$, pequeno. Como $G_1^j = (1 - \varepsilon)^j \simeq 1 - j\varepsilon$, vem que

$\rho_j \simeq A_1(1 - j\varepsilon)$, o que mostra que a f.a.c. decairá lentamente para zero e de forma aproximadamente linear.

O maior problema, nesse estágio do procedimento, é evitar excesso de diferenças. Na prática, $d = 0, 1$ ou 2 e é suficiente inspecionar as primeiras 15 ou 20 autocorrelações da série e de suas diferenças.

Convém testar se $E(W_t) = \mu_W$ é zero, comparando \bar{W} com seu desvio padrão estimado. A Tabela 3.3 fornece as variâncias de \bar{W} para alguns modelos usuais. Lembrar que se $d = 0$, $\bar{W} = \bar{X}$ e c_0 é a variância amostral.

Como dissemos antes, a f.a.c. e f.a.c.p. são úteis para identificar modelos MA e AR puros, respectivamente. Para identificar modelos ARMA convém considerar modelos simples, como ARMA(1,1), ARMA(1,2), ARMA(2,1) ou ARMA(2,2) e, depois da estimação, escolher aquele que melhor atende a alguns critérios. Veja a seção 3.2.2.

Exemplo 3.3. Suponha que temos os seguintes dados:

j	1	2	3	4	5	6	7	8
r_j	0,81	0,69	0,58	0,44	0,30	0,26	0,19	0,15
$\hat{\phi}_{jj}$	0,81	0,11	-0,03	-0,12	-0,13	0,17	-0,01	0,02

$$T = 50, \quad \bar{X} = 0,5327, \quad S^2 = 6,0579.$$

Temos que

$$\hat{\sigma}(\hat{\phi}_{jj}) \simeq \frac{1}{\sqrt{T}} = \frac{1}{\sqrt{50}} \simeq 0,14, \quad \text{logo } 2\hat{\sigma}(\hat{\phi}_{jj}) = 0,28,$$

o que mostra que só $\phi_{11} \neq 0$; os valores de $\{r_j\}$ sugerem um decaimento e, portanto, $\{\hat{\phi}_{jj}\}$ sugere um processo AR(1).

Para um processo AR(1), usando a Tabela 3.3, temos que

$$\text{Var}(\bar{X}) = \frac{c_0(1 + r_1)}{n(1 - r_1)} = \frac{6,0579(1 + 0,81)}{50(1 - 0,81)} = 1,1542$$

e $\hat{\sigma}(\bar{X}) = 1,0743$; como $\bar{X} = 0,5327$, a média pode ser considerada igual a zero e o modelo sugerido é

$$X_t = \phi X_{t-1} + \varepsilon_t, \quad \varepsilon_t \sim \text{RB}(0, \sigma_\varepsilon^2).$$

Tabela 3.2: Comportamento das f.a.c. e f.a.c.p. de um processo ARIMA(p, d, q)

Ordem	(1, d , 0)	(0, d , 1)
comportamento de ρ_k	decai expon.	somente $\rho_1 \neq 0$
comportamento de ϕ_{kk}	somente $\phi_{11} \neq 0$	decaim. exp. dom.
estimativas iniciais	$\phi = \rho_1$	$\rho_1 = -\frac{\theta}{1+\theta^2}$
região de admissibilidade	$-1 < \phi < 1$	$-1 < \theta < 1$
Ordem	(2, d , 0)	(0, d , 2)
comportamento de ρ_k	mistura de expon. ou senoides amortecidas	só $\rho_1 \neq 0$ e $\rho_2 \neq 0$
comportamento de ϕ_{kk}	só $\phi_{11} \neq 0$ e $\phi_{22} \neq 0$	dom. por mist. exp.
estimativas iniciais	$\begin{cases} \phi_1 = \frac{\rho_1(1-\rho_2)}{1-\rho_1^2}, \\ \phi_2 = \frac{\rho_2-\rho_1^2}{1-\rho_1^2} \end{cases}$	$\begin{cases} \rho_1 = \frac{-\theta_1(1-\theta_2)}{1+\theta_1^2+\theta_2^2}, \\ \rho_2 = \frac{-\theta_2}{1+\theta_1^2+\theta_2^2} \end{cases}$
região de admissibilidade	$\begin{cases} -1 < \phi_2 < 1 \\ \phi_2 - \phi_1 < 1 \\ \phi_2 + \phi_1 < 1 \end{cases}$	$\begin{cases} -1 < \theta_2 < 1 \\ \theta_2 - \theta_1 < 1 \\ \theta_2 + \theta_1 < 1 \end{cases}$
Ordem	(1, d , 1)	
comportamento de ρ_k	decai exponencialmente após o lag 1	
comportamento de ϕ_{kk}	dominada por decaimento expon. após o lag 1	
estimativas iniciais	$\rho_1 = \frac{(1-\phi\theta)(\phi-\theta)}{1+\theta^2-2\phi\theta}, \quad \rho_2 = \rho_1\phi$	
região de admissibilidade	$-1 < \phi < 1, \quad -1 < \theta < 1$	

Exemplo 3.4. Vamos agora identificar um ou mais modelos preliminares para a série ICV (arquivo m-icv70.79.dat), no período de janeiro de 1970 a junho de 1979, utilizando $T = 114$ observações.

Inicialmente, vamos considerar a transformação logarítmica

$$Y_t = \ln(ICV), \quad t = 1, \dots, 114.$$

A Figura 3.2 apresenta a série original e a série transformada. A Tabela 3.4 e a Figura 3.3 apresentam os valores e as correspondentes representações

gráficas das funções de autocorrelação e autocorrelação parcial da série Y_t e de suas diferenças de ordens 1 e 2.

Analisando o comportamento das funções vemos que a f.a.c. de Y_t não decresce rapidamente para zero, indicando a não estacionariedade da série. Para selecionarmos um valor apropriado para d , podemos verificar, graficamente, quantas diferenças são necessárias para que a f.a.c. converja rapidamente para zero. Esse fato parece ocorrer para $d = 1$ ou, talvez, $d = 2$.

A Figura 3.4 apresenta os gráficos da primeira e segunda diferenças do $\ln(\text{ICV})$.

Observando a f.a.c. amostral de $(1 - B)^2 Y_t$, verificamos que $r_1 = -0,32$, que além de ser negativo, assume um valor próximo de $-0,5$. Calculando as variâncias das diferenças das séries, temos que $\text{Var}((1 - B)Y_t) = 0,00013$ e $\text{Var}((1 - B)^2 Y_t) = 0,000162$ indicando um aumento de cerca de 25% da variância da série com duas diferenças em relação àquela com uma diferença. Assim, escolhemos $d = 1$.

Analisando o comportamento das f.a.c. e f.a.c.p da série $(1 - B)\ln(\text{ICV})$, Tabela 3.4 e Figura 3.3, podemos notar que somente $\phi_{11} \neq 0$, pois $\hat{\phi}_{11} = 0,49$ e $\hat{\sigma}(\hat{\phi}_{11}) = 1/\sqrt{114} = 0,094$. Assim, um modelo preliminar para $\ln(\text{ICV})$ é um ARIMA(1,1,0).

Para verificar se uma constante deve, ou não, ser adicionada ao modelo, observamos que

$$\bar{W} = 0,02116,$$

$$\text{Var}(\bar{W}) = \frac{c_0(1 + r_1)}{n(1 - r_1)} = \frac{0,00014(1 + 0,49)}{113(1 - 0,49)} = 3,62 \times 10^{-6},$$

ou seja, $\hat{\sigma}(\bar{W}) = 0,0019$. Assim, podemos concluir que a média da série $(1 - B)Y_t$ é diferente de zero e que uma constante deve ser incluída no modelo.

Tabela 3.3: Variâncias aproximadas para \bar{W} , onde $W_t = \Delta^d X_t$, $n = T - d$

AR(1)	MA(1)	ARMA(1,1)
$\frac{c_0(1 + r_1)}{n(1 - r_1)}$	$\frac{c_0(1 + 2r_1)}{n}$	$\frac{c_0}{n} \left[1 + \frac{2r_1^2}{r_1 - r_2} \right]$
AR(2)	MA(2)	
$\frac{c_0(1 + r_1)(1 - 2r_1^2 + r_2)}{n(1 - r_1)(1 - r_2)}$	$\frac{c_0(1 + 2r_1 + 2r_2)}{n}$	

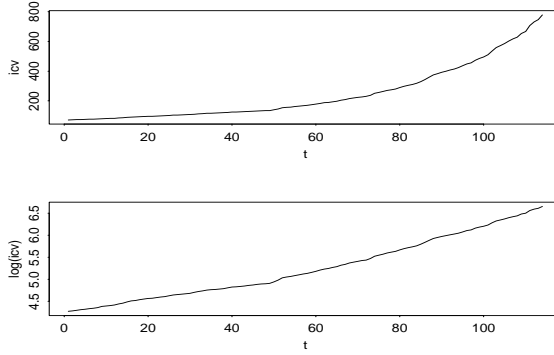


Figura 3.2: Gráfico das séries ICV e $\ln(\text{ICV})$

Logo, o modelo preliminar para a série $\ln(\text{ICV})$ é um ARIMA(1,1,0) com uma constante, isto é,

$$(1 - B)(1 - \phi_1 B)Y_t = \theta_0 + \varepsilon_t, \quad (3.16)$$

onde $Y_t = \ln(\text{ICV})$ e $\varepsilon_t \sim \text{RB}(0, \sigma^2)$.

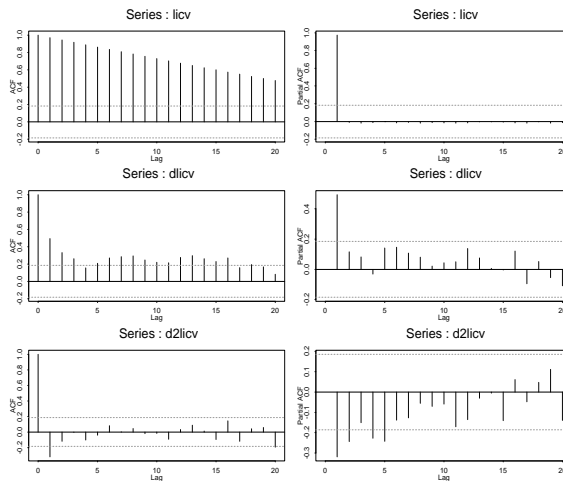


Figura 3.3: (a) Autocorrelações e (b) autocorrelações parciais das séries $\ln(\text{ICV})$, $(1 - B)\ln(\text{ICV})$ e $(1 - B)^2\ln(\text{ICV})$

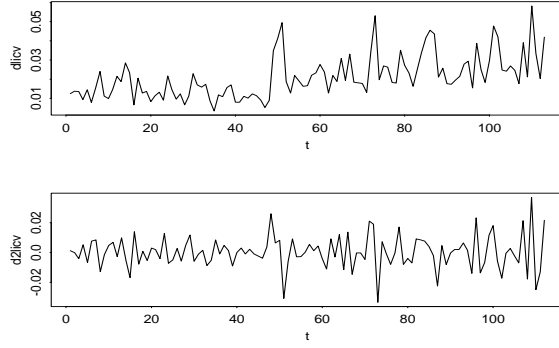


Figura 3.4: Gráfico das séries $(1 - B) \ln(\text{ICV})$ e $(1 - B)^2 \ln(\text{ICV})$

Exemplo 3.5. Considere a série de retornos mensais do Ibovespa, de junho de 1994 a agosto de 2001 (arquivo m-ibv94.01.dat), com $T = 86$ observações. Se denotarmos a série de índices por X_t , então os retornos são dados por

$$r_t = \log\left(\frac{X_t}{X_{t-1}}\right) = \log X_t - \log X_{t-1} = \Delta(\log X_t).$$

O gráfico da série, as f.a.c. e f.a.c.p. amostrais estão na Figura 3.5, mostrando que essa série pode ser considerada um ruído branco. Como a média amostral é 0,003872 e o desvio padrão amostral é 0,137428, podemos concluir que um modelo adequado para descrever esses retornos é

$$r_t = \Delta(\log X_t) = \varepsilon_t, \quad \text{com } \varepsilon_t \sim \text{RB}(0, \sigma^2),$$

e $\hat{\sigma}^2 = 0,01889$, ou ainda,

$$\log X_t = \log X_{t-1} + \varepsilon_t, \quad \varepsilon_t \sim \text{RB}(0, \sigma^2),$$

ou seja, os logaritmos dos índices do Ibovespa seguem um passeio casual com média zero (sem *drift*).

Como veremos mais adiante, esta é, em geral, uma característica de retornos de ativos financeiros: são não correlacionados. Mas podem não ser independentes, o que se pode verificar considerando-se os quadrados dos retornos. No Capítulo 5 voltaremos a tratar desse assunto.

3.2.2 Formas alternativas de identificação

A partir de 1970 foram propostos vários procedimentos para identificação de modelos ARMA. A ideia é escolher as ordens k e l que minimizem a quantidade

$$P(k, l) = \ln \hat{\sigma}_{k,l}^2 + (k + l) \frac{C(T)}{T}, \quad (3.17)$$

em que $\hat{\sigma}_{k,l}^2$ é uma estimativa da variância residual obtida ajustando um modelo ARMA(k, l) às T observações da série e $C(T)$ é uma função do tamanho da série.

A quantidade $(k + l)C(T)/T$, denominada termo penalizador, aumenta quando o número de parâmetros aumenta, enquanto que a variância residual $\hat{\sigma}_{k,l}^2$ diminui. Assim, minimizar (3.17) corresponde a identificar as ordens k e l que equilibrem esse comportamento.

É natural supor que as ordens selecionadas aumentem quando T cresce. Hannan (1982) sugere limites superiores dados por $(\ln T)^\alpha$, $0 < \alpha < \infty$.

Iremos citar agora alguns procedimentos de identificação que minimizam funções penalizadoras particulares.

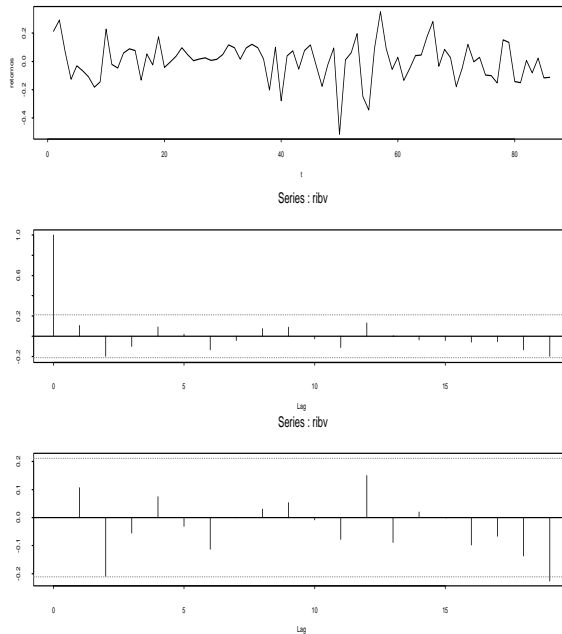


Figura 3.5: Retornos Ibovespa (a) gráfico da série; (b) f.a.c. amostral;
(c) f.a.c.p. amostral

A. Critério de Informação AIC

Akaike (1973, 1974) sugere escolher o modelo cujas ordens k e l minimizam o critério

$$\text{AIC}(k, l) = \ln \hat{\sigma}_{k,l}^2 + \frac{2(k+l)}{T} \quad (3.18)$$

onde $\hat{\sigma}_{k,l}^2$ é o estimador de máxima verossimilhança de σ^2 para um modelo ARMA(k, l) (veja a seção 3.3).

O que se faz, então, é estipular valores superiores K e L para k e l e calcular (3.18) para todas as possíveis combinações (k, l) com $0 \leq k \leq K$ e $0 \leq l \leq L$. Em geral, K e L são funções de T , por exemplo, $K = L = \ln T$.

Para o caso de modelos AR(p), o critério AIC reduz-se a

$$\text{AIC}(k) = \ln \hat{\sigma}_k^2 + \frac{2k}{T}, \quad k \leq K. \quad (3.19)$$

Shibata (1976) demonstra que a minimização do AIC fornece estimativas inconsistentes da verdadeira ordem do processo AR. Hannan (1980) generalizou o resultado de Shibata para o processo ARMA(p, q).

Existem várias correções para melhorar o comportamento do AIC, no sentido de diminuir a probabilidade de selecionar uma ordem maior do que a verdadeira.

Hurvich e Tsai (1989) propõem uma correção para o AIC, que no caso de um processo AR é dada por

$$\text{AIC}_c(k) = \text{AIC}(k) + \frac{2(k+1)(k+2)}{T-k+2}, \quad k \leq K$$

e utilizando simulações, mostram que essa correção é útil quando T é pequeno ou quando K é uma fração “moderadamente grande” de T .

B. Critério de Informação Bayesiano BIC

Akaike (1977), Rissanem (1978) e Schwarz (1978) sugerem minimizar o Critério de Informação Bayesiano, dado por

$$\text{BIC} = -2 \ln(FV) + (\text{número de parâmetros}) \ln T,$$

na qual FV é a função de verossimilhança.

Tabela 3.4: autocorrelações e autocorrelações parciais estimadas das séries (a) $\ln(\text{ICV})$, (b) $(1 - B)\ln(\text{ICV})$, (c) $(1 - B)^2\ln(\text{ICV})$.

lag	(a)		(b)		(c)	
	f.a.c.	f.a.c.p.	f.a.c.	f.a.c.p.	f.a.c.	f.a.c.p.
1	0,97	0,97	0,49	0,49	-0,32	-0,32
2	0,94	-0,01	0,33	0,12	-0,12	-0,24
3	0,92	-0,02	0,26	0,08	0,00	-0,15
4	0,89	-0,01	0,16	-0,03	-0,10	-0,23
5	0,86	0,00	0,21	0,14	-0,04	-0,24
6	0,84	-0,02	0,27	0,15	0,08	-0,14
7	0,81	-0,01	0,29	0,11	0,00	-0,13
8	0,78	-0,02	0,29	0,08	0,05	-0,06
9	0,76	-0,01	0,25	0,02	-0,02	-0,07
10	0,73	-0,02	0,22	0,04	-0,02	-0,06
11	0,70	-0,02	0,21	0,05	-0,09	-0,17
12	0,68	-0,02	0,28	0,14	0,03	-0,14
13	0,65	0,00	0,30	0,08	0,09	-0,03
14	0,62	0,00	0,26	0,01	0,01	-0,01
15	0,60	-0,01	0,23	0,00	-0,10	-0,14
16	0,57	-0,01	0,27	0,12	0,14	0,06
17	0,55	-0,02	0,16	-0,09	-0,12	-0,05
18	0,53	-0,01	0,19	0,05	0,04	0,05
19	0,50	-0,02	0,17	-0,06	0,06	0,11
20	0,48	-0,01	0,08	-0,11	-0,19	-0,14

No caso de um processo ARMA, essa quantidade é dada por

$$\text{BIC}(k, l) = \ln \hat{\sigma}_{k,l}^2 + (k + l) \frac{\ln T}{T}. \quad (3.20)$$

Hannan (1980) mostra que, sob determinadas condições, as estimativas k e l que minimizam a expressão (3.20) são fortemente consistentes.

Exemplo 3.6. Na Figura 3.6, temos o gráfico da série de retornos r_t diários da Petrobras, de 18/08/1998 a 29/09/2010, com $T = 2998$ observações, suas f.a.c. e f.a.c.p. amostrais; essas indicam que a série é autocorrelacionada e que um modelo autorregressivo é apropriado. Provavelmente, um modelo AR(3) é suficiente, mas vamos fixar uma ordem máxima $K = 15$. Na Tabela 3.5,

temos alguns valores de AIC, BIC e do logaritmo da verossimilhança para cada modelo estimado. Como os critérios escolhem ordens diferentes, vamos nos fixar no AIC, e ajustar um AR(15). Estimando este modelo, somente os coeficientes ϕ_1 , ϕ_2 , ϕ_3 , ϕ_{10} e ϕ_{15} são significativos (veja a seção 3.3), ou seja, o modelo final é

$$r_t = \phi_1 r_{t-1} + \phi_2 r_{t-2} + \phi_3 r_{t-3} + \phi_{10} r_{t-10} + \phi_{15} r_{t-15} + \varepsilon_t.$$

Lembremos que o retorno é definido como a primeira diferença do logaritmo da série original de preços das ações.

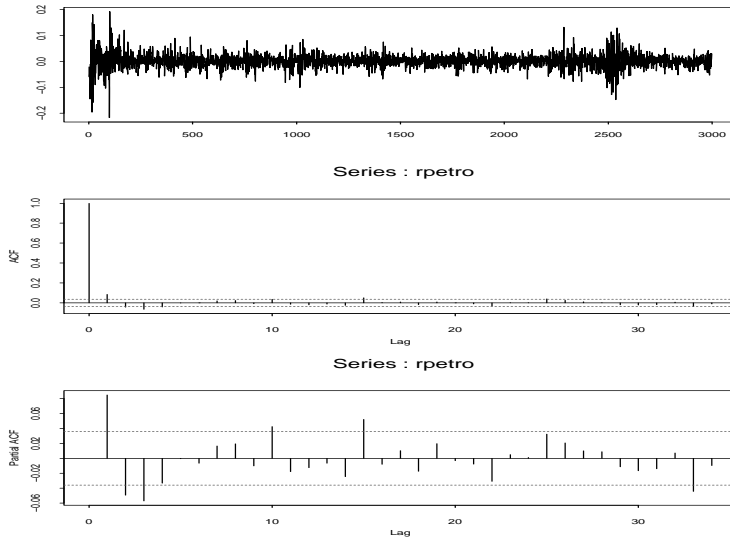


Figura 3.6: Retornos Petrobras (a) gráfico da série (b) f.a.c. amostral
(c) f.a.c.p. amostral

Tabela 3.5: Alguns valores de AIC, BIC e log-verossimilhança para o exemplo 3.6; (*) indica melhor modelo.

Modelo	AIC	BIC	log-verossimilhança
AR(1)	-4,40647	-4,40447	6604,10
AR(2)	-4,40923	-4,40522	6607,03
AR(3)	-4,41287	-4,40685	6611,27
AR(4)	-4,41321	-4,40557	6611,14
AR(7)	-4,42430	-4,41025*	6623,55
AR(8)	-4,42376	-4,40770	6621,52
AR(9)	-4,42374	-4,40566	6620,28
AR(10)	-4,42750	-4,40741	6624,69*
AR(15)	-4,43088*	-4,40071	6623,66

3.3 Estimação

Tendo-se identificado um modelo provisório para a série temporal, o passo seguinte é estimar seus parâmetros. Os métodos dos momentos, mínimos quadrados (MQ) e máxima verossimilhança (MV) podem ser usados. Estimadores obtidos pelo método dos momentos não têm propriedades boas, quando comparadas com os demais. Por isso, esses estimadores em geral são usados como valores iniciais para procedimentos mais complexos, como MV.

Vamos analisar separadamente os modelos AR, MA e ARMA.

3.3.1 Modelos autorregressivos

Consideremos o modelo AR(p)

$$X_t = \phi_0 + \phi_1 X_{t-1} + \dots + \phi_p X_{t-p} + \varepsilon_t, \quad (3.21)$$

onde $\varepsilon_t \sim RB(0, \sigma^2)$. Considere $\boldsymbol{\phi} = (\phi_0, \phi_1, \dots, \phi_p)'$ o vetor contendo os coeficientes e seja $\boldsymbol{\xi} = (\boldsymbol{\phi}, \sigma^2)'$. O objetivo é estimar $\boldsymbol{\phi}$ e σ^2 .

Para ilustrar, considere o caso $p = 1$, ou seja,

$$X_t = \phi_0 + \phi_1 X_{t-1} + \varepsilon_t.$$

Suponha que tenhamos os dados $\mathbf{X} = (X_1, \dots, X_T)'$. Então, supondo ε_t com distribuição normal e condicional ao valor $X_0 = x_0$, a função de verossimilhança é dada por

$$L(\boldsymbol{\xi}|\mathbf{X}, x_0) = (2\pi\sigma^2)^{-T/2} \exp\left\{\frac{-1}{2\sigma^2} \sum_{t=1}^T (X_t - \phi_0 - \phi_1 X_{t-1})^2\right\}$$

e considerando a log-verossimilhança temos

$$\begin{aligned}\ell(\boldsymbol{\xi}|\mathbf{X}, x_0) &\approx (-T/2) \log \sigma^2 - \frac{1}{2\sigma^2} \sum_{t=1}^T (X_t - \phi_0 - \phi_1 X_{t-1})^2 \\ &= (-T/2) \log \sigma^2 - \frac{1}{2\sigma^2} S(\boldsymbol{\phi}|\mathbf{X}, x_0).\end{aligned}\quad (3.22)$$

onde $S(\cdot|\cdot)$ é a soma de quadrados condicional. Segue-se que maximizar ℓ , com σ^2 fixo, é equivalente a minimizar S e estimadores de MV de $\boldsymbol{\phi}$ serão equivalentes a estimadores de MQ.

Os ε_t são obtidos recursivamente:

$$\varepsilon_1 = X_1 - \phi_0 - \phi_1 X_0 = X_1 - \phi_0 - \phi_1 x_0,$$

$$\varepsilon_2 = X_2 - \phi_0 - \phi_1 X_1 \text{ etc}$$

Outra possibilidade é considerar apenas os dados efetivamente observados e começar a regressão de X_t sobre 1 e X_{t-1} a partir de $t = 2, \dots, T$.

Para o caso geral, podemos obter os estimadores dos coeficientes do modelo pela regressão em (3.21), para $t = p+1, \dots, T$. Os resíduos serão dados por $\hat{\varepsilon}_t = X_t - \hat{X}_t$, com

$$\hat{X}_t = \hat{\phi}_0 + \hat{\phi}_1 X_{t-1} + \dots + \hat{\phi}_p X_{t-p}.$$

Um estimador de σ^2 é obtido de

$$\hat{\sigma}^2 = \frac{\sum_{t=p+1}^T \hat{\varepsilon}_t^2}{T - 2p - 1}. \quad (3.23)$$

O valor do denominador em (3.23) justifica-se pelo fato de termos $T - p$ termos na soma do numerador e $p + 1$ parâmetros a estimar.

Além de estimadores de MQ, podemos considerar também os estimadores de Yule-Walker, obtidos das equações de Yule-Walker amostrais, que têm boas propriedades e são fáceis de calcular usando-se o algoritmo de Durbin-Levinson. Veja Brockwell e Davis (1991), por exemplo.

3.3.2 Modelos de Médias Móveis

Para o modelo MA(q)

$$X_t = \theta_0 + \varepsilon_t - \theta_1 \varepsilon_{t-1} - \dots - \theta_q \varepsilon_{t-q}, \quad (3.24)$$

onde novamente $\varepsilon_t \sim \mathcal{N}(0, \sigma^2)$, podemos considerar também estimadores de MV condicionais. Aqui, supomos que $\varepsilon_0 = \varepsilon_{-1} = \dots = 0$ e obtemos recursivamente

$$\begin{aligned}\varepsilon_1 &= X_1 - \theta_0, \\ \varepsilon_2 &= X_2 - \theta_0 + \varepsilon_1 \theta_1 \text{ etc}\end{aligned}$$

e, a partir desses valores, formamos a função de verossimilhança.

Exemplo 3.7. Consideremos um processo ARIMA(0, 1, 1),

$$\Delta X_t = (1 - \theta B) \varepsilon_t,$$

e suponha que $\theta = 0,8$. Então, podemos escrever, com $W_t = \Delta X_t$,

$$\varepsilon_t = W_t + 0,8\varepsilon_{t-1}.$$

Suponha que utilizemos os dados (hipotéticos) da Tabela 3.6. Como

$$\varepsilon_1 = W_1 + 0,8\varepsilon_0,$$

iniciamos ε_t especificando $\varepsilon_0 = 0$ e $X_0 = 150$. Então,

$$\begin{aligned}\varepsilon_1 &= -3 + (0,8) \times 0 = -3, \\ \varepsilon_2 &= W_2 + 0,8\varepsilon_1 = -4 + (0,8)(-3) = -6,4 \text{ etc.}\end{aligned}$$

Tabela 3.6: Cálculo recursivo de ε_t , $\theta = 0,8$

t	X_t	$W_t = \Delta X_t$	$\varepsilon_t = W_t + 0,8\varepsilon_{t-1}$
0	150		0
1	147	-3	-3,0
2	143	-4	-6,4
3	148	5	-0,12
4	153	5	4,9
5	149	-4	-0,08
6	155	6	5,9
7	162	7	11,7
8	170	8	17,4
9	172	2	15,9

Segue-se que a SQ condicional fica

$$S(0, 8|a_0 = 0) = \sum_{t=1}^9 \varepsilon_t^2(0, 8|a_0 = 0) = 801, 26.$$

Calculando-se S para uma grade suficientemente fina de valores de θ no intervalo $(-1, 1)$, já que $-1 < \theta < 1$, podemos obter o mínimo aproximado dessa função.

Podemos obter estimadores de MV incondicionais; veja Morettin e Toloi (2006). Estimadores de MV *exatos* podem também ser calculados, tratando $\varepsilon_0, \varepsilon_{-1}, \dots$ como parâmetros adicionais a serem estimados. Para T suficientemente grande, as várias abordagens fornecem resultados próximos. Veja Box et al. (1994) para detalhes.

3.3.3 Modelos Mistas

Estimadores condicionais para modelos ARMA (ou ARIMA) podem ser obtidos como na seção anterior. Por exemplo, considerando-se o modelo ARMA(1,1)

$$X_t - \phi X_{t-1} = \varepsilon_t - \theta \varepsilon_{t-1},$$

condicionando-se a $\varepsilon_0 = 0$ e $X_0 = x_0$ obtemos, recursivamente,

$$\begin{aligned} \varepsilon_1 &= X_1 - \phi x_0, \\ \varepsilon_2 &= X_2 - \phi X_1 + \theta \varepsilon_1 = X_2 - (\phi - \theta) X_1 - \phi \theta x_0 \text{ etc} \end{aligned}$$

Também, estimadores de MV incondicionais e exatos podem ser obtidos para modelos ARIMA genéricos.

3.3.4 Variâncias dos estimadores

Para se ter uma ideia da precisão dos estimadores encontrados, devemos construir intervalos de confiança para os parâmetros. Seja $\boldsymbol{\eta} = (\boldsymbol{\phi}, \boldsymbol{\theta})$, de ordem $k \times 1$, onde $k = p + q$. Para n grande, onde $n = T - d$ (d é a ordem de diferenças) os EMV têm uma distribuição assintótica normal, de modo que podemos escrever

$$\hat{\boldsymbol{\eta}} \xrightarrow{\mathcal{D}} \mathcal{N}_k(\boldsymbol{\eta}, \mathbf{V}^{-1}),$$

$$\mathbf{V} = 2\sigma^2 \begin{bmatrix} \frac{\partial^2 S(\boldsymbol{\eta})}{\partial \eta_1^2} & \dots & \frac{\partial^2 S(\boldsymbol{\eta})}{\partial \eta_1 \partial \eta_k} \\ \vdots & & \vdots \\ \frac{\partial^2 S(\boldsymbol{\eta})}{\partial \eta_k \partial \eta_1} & \dots & \frac{\partial^2 S(\boldsymbol{\eta})}{\partial \eta_k^2} \end{bmatrix}, \quad (3.25)$$

onde $S(\boldsymbol{\eta})$ é a soma de quadrados que aparece em (3.22), por exemplo.

Pode-se também provar que o EMV de σ^2 é

$$\hat{\sigma}^2 = \frac{S(\hat{\boldsymbol{\eta}})}{n}$$

e que, para n grande, $\hat{\sigma}^2$ e $\hat{\boldsymbol{\eta}}$ são não correlacionados. Substituindo σ^2 em (3.25) por $\hat{\sigma}^2$ e calculando as derivadas $\frac{\partial^2 S(\boldsymbol{\eta})}{\partial \eta_i \partial \eta_j}$ numericamente, obtemos estimativas das variâncias dos estimadores e estimativas das covariâncias entre os estimadores. A partir das estimativas das variâncias podemos obter intervalos de confiança para os parâmetros η_i , $i = 1, \dots, k$.

Para os modelos mais comuns, a Tabela 3.7 mostra as variâncias aproximadas dos estimadores.

Tabela 3.7: Variâncias aproximadas para os estimadores dos parâmetros dos modelos usuais; $n = T - d$.

Modelo	Variância
AR(1)	$\text{Var}(\hat{\phi}) \simeq \frac{1 - \phi^2}{n}$
AR(2)	$\text{Var}(\hat{\phi}_1) = \text{Var}(\hat{\phi}_2) \simeq \frac{1 - \phi_2^2}{n}$
MA(1)	$\text{Var}(\hat{\theta}) \simeq \frac{1 - \theta^2}{n}$
MA(2)	$\text{Var}(\hat{\theta}_1) = \text{Var}(\hat{\theta}_2) \simeq \frac{1 - \theta_2^2}{n}$
ARMA(1,1)	$\text{Var}(\hat{\phi}) \simeq \frac{(1 - \phi^2)}{n} \frac{(1 - \phi\theta)^2}{(\phi - \theta)^2}$ $\text{Var}(\hat{\theta}) \simeq \frac{(1 - \theta^2)}{n} \frac{(1 - \phi\theta)^2}{(\phi - \theta)^2}$

Exemplo 3.8. A estimação dos parâmetros das séries simuladas nos exemplo 2.3, 2.4 e 2.6, utilizando o programa Minitab, resulta:

- (a) Modelo AR(1)
 $\hat{\phi} = 0,8286$,

$$\hat{\sigma}(\hat{\phi}) = 0,0812, \\ P = 0,0000.$$

(b) Modelo MA(1)

$$\hat{\theta} = 0,8241, \\ \hat{\sigma}(\hat{\theta}) = 0,0804, \\ P = 0,0000.$$

(c) Modelo ARMA(1,1)

$$\hat{\phi} = 0,9185, \quad \hat{\sigma}(\hat{\phi}) = 0,0714 \text{ e } P = 0,000, \\ \hat{\theta} = 0,3911, \quad \hat{\sigma}(\hat{\theta}) = 0,1626 \text{ e } P = 0,020.$$

Aqui, P é o p-valor, ou probabilidade de significância ou ainda nível descriptivo associado a cada teste. Lembremos que um valor pequeno de P (usualmente menor do que 0,05) significa que devemos rejeitar a hipótese nula de que o parâmetro correspondente é nulo.

Exemplo 3.9. Retornemos à série ICV, para a qual identificamos o modelo preli-

minar (3.16), ARIMA(1,1,0) com θ_0 , para a série ln (ICV).

O programa Minitab forneceu as seguintes estimativas de máxima verossimilhança condicional

$$\hat{\phi} = 0,5119, \quad \hat{\sigma}(\hat{\phi}) = 0,0833, \quad P = 0,000, \\ \hat{\theta}_0 = 0,01036, \quad \hat{\sigma}(\hat{\theta}_0) = 0,0009, \quad P = 0,000.$$

Exemplo 3.10. Para a série de retornos da Petrobras, do exemplo 3.6, o programa EViews forneceu as seguintes estimativas:

$$\begin{aligned} \hat{\phi}_1 &= 0,0782, \quad \hat{\sigma}(\hat{\phi}_1) = 0,018, \quad P = 0,0000, \\ \hat{\phi}_2 &= -0,049, \quad \hat{\sigma}(\hat{\phi}_2) = 0,018, \quad P = 0,0073, \\ \hat{\phi}_3 &= -0,057, \quad \hat{\sigma}(\hat{\phi}_3) = 0,018, \quad P = 0,0017, \\ \hat{\phi}_{10} &= 0,038, \quad \hat{\sigma}(\hat{\phi}_{10}) = 0,018, \quad P = 0,0334, \\ \hat{\phi}_{15} &= 0,054, \quad \hat{\sigma}(\hat{\phi}_{15}) = 0,018, \quad P = 0,0029. \end{aligned}$$

3.4 Diagnóstico

Após estimar o modelo temos que verificar se ele representa, ou não, adequadamente, os dados. Qualquer insuficiência revelada pode sugerir um modelo alternativo como adequado.

Uma técnica que pode ser utilizada, se suspeitarmos que um modelo mais elaborado (contendo mais parâmetros) é necessário, é o *superajustamento*. Estimamos um modelo com parâmetros extras e examinamos se estes são significativos e se sua inclusão diminui significativamente a variância residual. Esse método é útil quando sabemos a priori em que direção pode estar ocorrendo a inadequação do modelo.

A verificação pode ser feita analisando os resíduos. Suponha que o modelo proposto seja

$$\phi(B)W_t = \theta(B)\varepsilon_t,$$

com

$$W_t = \Delta^d X_t.$$

Se esse modelo for verdadeiro, então os “erros verdadeiros” ε_t constituirão um ruído branco.

3.4.1 Teste de autocorrelação residual

Estimados $\hat{\phi}$ e $\hat{\theta}$, as quantidades

$$\hat{\varepsilon}_t = \hat{\theta}^{-1}(B)\hat{\phi}(B)W_t$$

são chamadas *resíduos estimados* ou simplesmente *resíduos*. Se o modelo for adequado, os $\hat{\varepsilon}_t$ deverão estar próximos dos ε_t e, portanto, deverão ser aproximadamente não correlacionados. Se indicarmos por \hat{r}_k as autocorrelações dos resíduos $\hat{\varepsilon}_t$, então deveríamos ter $\hat{r}_k \approx 0$. Em particular, deveríamos ter, aproximadamente,

$$\hat{r}_k \sim \mathcal{N}(0, \frac{1}{n}),$$

onde $n = T - d$ é o número efetivo de observações e sempre sob a suposição que o modelo ajustado seja apropriado. As autocorrelações \hat{r}_k são calculadas por

$$\hat{r}_k = \frac{\sum_{t=k+1}^n \hat{\varepsilon}_t \hat{\varepsilon}_{t-k}}{\sum_{t=1}^n \hat{\varepsilon}_t^2}.$$

Contudo, o desvio padrão de \hat{r}_k pode ser consideravelmente menor que $1/\sqrt{n}$, especialmente para pequenos valores de k , como mostrou Durbin (1970).

Ele provou que para um AR(1), $\text{Var}(\hat{r}_k) \simeq \phi^2/n$, que pode ser bem menor que $1/n$. Box et al. (1994) provaram que, para um modelo AR(1), tem-se

$$\begin{aligned}\text{Var}(\hat{r}_k) &\simeq \frac{1}{n}[1 - \phi^{2(k-1)}(1 - \phi^2)] \\ \text{Cov}(\hat{r}_i, \hat{r}_j) &\simeq \frac{1}{n}\{\delta_{ij} - \phi^{i+j-2}(1 - \phi^2)\},\end{aligned}$$

onde δ_{ij} é o delta de Kronecker. Daqui, temos que, para k grande ou moderado, a variância de \hat{r}_k é, aproximadamente, $1/n$, e as autocorrelações estimadas dos resíduos são não correlacionadas.

De qualquer modo, a comparação de \hat{r}_k com os limites $\pm 2/\sqrt{n}$ fornece uma indicação geral de possível quebra de comportamento de ruído branco em ε_t , com a condição de que seja lembrado que, para pequenos valores de k , estes limites subestimarão a significância de qualquer discrepância.

3.4.2 Teste de Box-Pierce-Ljung

Box e Pierce (1970) sugeriram um teste para as autocorrelações dos resíduos estimados, que, apesar de não detectar quebras específicas no comportamento de ruído branco, pode indicar se esses valores são muito altos. Uma modificação deste teste foi proposta por Ljung e Box (1978), que é apresentada a seguir.

Se o modelo for apropriado, a estatística

$$Q(K) = n(n+2) \sum_{k=1}^K \frac{\hat{r}_k^2}{(n-k)} \quad (3.26)$$

terá uma distribuição χ^2 com $K - p - q$ graus de liberdade. A hipótese de ruído branco para os resíduos é rejeitada para valores grandes de $Q(\cdot)$. Em geral, basta utilizar as 15 ou 20 primeiras \hat{r}_k .

Exemplo 3.11. Vamos, agora, verificar se o modelo ARIMA(1,1,0) com θ_0 , proposto para a série $\ln(ICV)$, é adequado (veja os exemplos 3.4 e 3.9). A Figura 3.7 apresenta as f.a.c. e f.a.c.p dos resíduos com os correspondentes intervalos de confiança. Os valores das autocorrelações e autocorrelações parciais não indicam nenhuma quebra de comportamento de ruído branco nos resíduos.

Assim, o modelo ajustado à série $\ln(ICV)$ é dada por

$$(1 - 0,5119B)(1 - B)\ln(ICV) = 0,01036 + \varepsilon_t, \quad (3.27)$$

com $\hat{\sigma}^2 = 0,0000923$.

Exemplo 3.12. Retomemos o exemplo 3.10, no qual obtivemos as estimativas dos parâmetros do modelo AR(15) ajustado à série de retornos da Petrobras. Uma estimativa da variância residual é $\hat{\sigma}^2 = 0,00069$. Na Figura 3.8, temos os resíduos, f.a.c. e f.a.c.p. amostrais dos resíduos, mostrando que podemos aceitar a hipótese de que estes sejam um ruído branco. No Capítulo 5, veremos que essa série apresenta, na realidade, uma variância condicional não constante, de modo que será necessário ajustar um modelo da classe ARCH-GARCH para levar esse fato em conta. O gráfico da série, Figura 3.6 (a) mostra grupos de retornos com variabilidade (volatilidade) grande e outros com variabilidade menor.

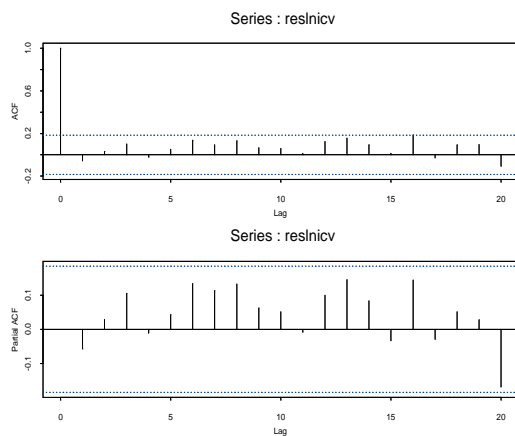


Figura 3.7: F.a.c. e f.a.c.p. dos resíduos do modelo ARIMA(1,1,0) ajustado à série $\ln(ICV)$.

3.5 Previsão com Modelos ARIMA

Queremos prever X_{T+h} , tendo-se observações até o instante T , usando um modelo ARIMA. Seja

$$\varphi(B) = \phi(B)\Delta^d = (1 - \varphi_1 B - \varphi_2 B^2 - \dots - \varphi_{p+d} B^{p+d}).$$

Chamemos de $\hat{X}_T(h)$ a previsão de X_{T+h} de origem T e horizonte h . Pode-se provar que a previsão de EQMM (erro quadrático médio mínimo) é dada pela esperança condicional de X_{T+h} dado o passado X_T, X_{T-1}, \dots , ou seja,

$$\begin{aligned}\hat{X}_T(h) = & E(\varphi_1 X_{T+h-1} + \dots + \varphi_{p+d} X_{T+h-p-d} \\ & + \theta_0 + \varepsilon_{T+h} - \theta_1 \varepsilon_{T+h-1} - \dots - \theta_q \varepsilon_{T+h-q} \mid X_T, X_{T-1}, \dots).\end{aligned}$$

Para calcular as previsões usamos os fatos:

$$(a) E(X_{T+j} \mid X_T, X_{T-1}, \dots) = \begin{cases} X_{T+j}, & \text{se } j \leq 0 \\ \hat{X}_T(j), & \text{se } j > 0 \end{cases}$$

$$(b) E(\varepsilon_{T+j} \mid X_T, X_{T-1}, \dots) = \begin{cases} \varepsilon_{T+j}, & \text{se } j \leq 0 \\ 0, & \text{se } j > 0 \end{cases}$$

Logo, para calcular previsões temos que:

- (a) substituir esperanças passadas ($j \leq 0$) por valores conhecidos, X_{T+j} e ε_{T+j} ;
- (b) substituir esperanças futuras ($j > 0$) por previsões $\hat{X}_T(j)$ e 0.

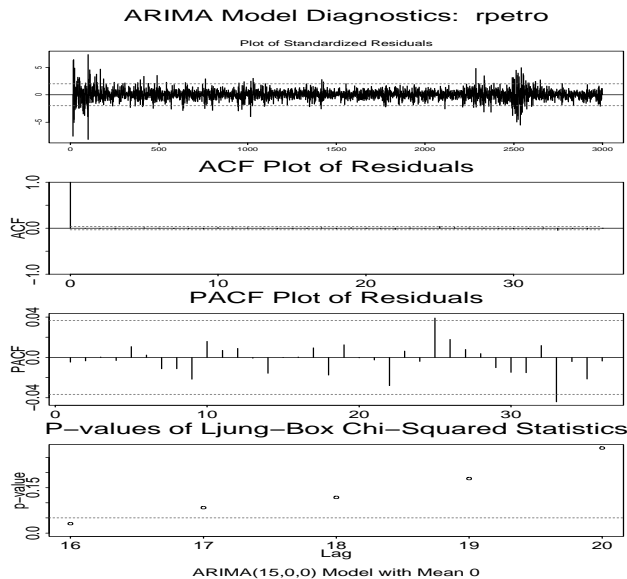


Figura 3.8: Diagnóstico do modelo do exemplo 3.10.

Exemplo 3.13. Suponha o modelo AR(2),

$$(1 - \phi_1 B - \phi_2 B^2)X_t = \phi_0 + \varepsilon_t.$$

Temos que

$$X_{T+h} = \phi_1 X_{T+h-1} + \phi_2 X_{T+h-2} + \phi_0 + \varepsilon_{T+h},$$

logo:

- (i) Para $h = 1$, temos $\hat{X}_T(1) = \phi_1 X_T + \phi_2 X_{T-1} + \phi_0$;
- (ii) para $h = 2$, temos $\hat{X}_T(2) = \phi_1 \hat{X}_T(1) + \phi_2 X_T + \phi_0$;
- (iii) para $h > 2$, temos $\hat{X}_T(h) = \phi_1 \hat{X}_T(h-1) + \phi_2 \hat{X}_T(h-2) + \phi_0$.

Escrevendo-se o modelo na forma de médias móveis (infinita), pode-se provar que o *erro de previsão* é dado por

$$e_T(h) = X_{T+h} - \hat{X}_T(h) = \varepsilon_{T+h} + \psi_1 \varepsilon_{T+h-1} + \dots + \psi_{h-1} \varepsilon_{T+1}, \quad (3.28)$$

$$V(h) = \text{Var}(e_T(h)) = \sigma^2(1 + \psi_1^2 + \dots + \psi_{h-1}^2). \quad (3.29)$$

em que os pesos ψ_j vêm de $\psi(B) = \varphi^{-1}(B)\theta(B)$.

A variância do erro de previsão é dada por

$$V(h) = \text{Var}(e_T(h)) = \sigma^2(1 + \psi_1^2 + \dots + \psi_{h-1}^2). \quad (3.30)$$

Observe que, como $e_T(1) = X_{T+1} - \hat{X}_T(1) = \varepsilon_{T+1}$, os erros de previsões a um passo são não correlacionados.

No desenvolvimento acima supusemos os parâmetros do modelo conhecidos. Na prática, usamos o modelo estimado para fazer as previsões. Nesse caso, (3.29) fica

$$\hat{V}(h) = \hat{\sigma}^2(1 + \sum_{j=1}^{h-1} \hat{\psi}_j^2), \quad (3.31)$$

onde os $\hat{\psi}_j$ são obtidos de $\hat{\psi}(B) = (\hat{\varphi}(B))^{-1}\hat{\theta}(B)$.

Exemplo 3.14. Considere o modelo MA(1)

$$X_t = \theta_0 + \varepsilon_t - \theta \varepsilon_{t-1},$$

onde $\theta_0 = E(X_t)$.

Para obtermos as previsões com origem T e $h = 1$, escrevamos o modelo na forma

$$X_{T+1} = \theta_0 + \varepsilon_{T+1} - \theta\varepsilon_T.$$

Tomando-se a esperança condicional ao passado, temos

$$\hat{X}_T(1) = \theta_0 + E(\varepsilon_{T+1}|X_T, X_{T-1}, \dots) - \theta E(\varepsilon_T|X_T, \dots),$$

ou seja,

$$\hat{X}_T(1) = \theta_0 - \theta\varepsilon_T.$$

O valor de ε_T é calculado recursivamente, como vimos na seção 3.3.2. O erro de previsão um passo à frente é dado por

$$e_T(1) = X_{T+1} - \hat{X}_T(1) = \varepsilon_{T+1}$$

e, portanto, $\text{Var}(e_T(1)) = \sigma^2$. Essa variância é estimada por $\hat{\sigma}^2$.

Para $h = 2$, de

$$X_{T+2} = \theta_0 + \varepsilon_{T+2} - \theta\varepsilon_{T+1},$$

obtemos

$$\hat{X}_T(2) = E(X_{T+2}|X_T, \dots) = \theta_0,$$

de modo que

$$e_T(2) = \varepsilon_{T+2} - \theta\varepsilon_{T+1}.$$

A variância do erro de previsão a dois passos será, então,

$$\text{Var}(e_T(2)) = (1 + \theta^2)\sigma^2,$$

que é maior do que a variância do erro de previsão a um passo.

Vemos que a previsão a dois passos é igual à média θ_0 do processo. De modo geral, $\hat{X}_T(h) = \theta_0$, para $h \geq 2$. Para um modelo MA(q), a previsão $\hat{X}_T(h)$ será igual à média do processo após q passos.

Exemplo 3.15. Consideremos o $\ln(ICV)$, para o qual ajustamos um modelo ARIMA(1, 1, 0) com θ_0 ,

$$(1 - 0,5119B)(1 - B) \ln ICV = 0,01036 + \varepsilon_t$$

ou

$$(1 - 1,5119B + 0,5119B^2)Y_t = 0,01036 + \varepsilon_t.$$

Assim, para a origem de previsão T ,

$$Y_{T+h} = 1,5119Y_{T+h-1} - 0,5119Y_{T+h-2} + 0,01036 + \varepsilon_{T+h}$$

e

$$\begin{aligned}\hat{Y}_T(h) &= 1,5119E(Y_{T+h-1}|Y_T, Y_{T-1}, \dots) - 0,5119E(Y_{T+h-2}|Y_T, Y_{T-1}, \dots) \\ &\quad + 0,01036 + E(\varepsilon_{T+h}|Y_T, Y_{T-1}, \dots).\end{aligned}$$

Segue-se que as previsões de origem T são dadas por

$$\hat{Y}_T(h) = 1,5119\hat{Y}_T(h-1) - 0,5119\hat{Y}_T(h-2) + 0,01036, \quad h \geq 1.$$

Na Tabela 3.8, temos as previsões feitas a partir da origem $T = 114$ (junho de 1979) para $h = 1, 2, \dots, 12$ (isto é, previsões para os restantes 6 meses de 1979 e os primeiros 6 meses de 1980).

Sabemos como calcular a variância do erro de previsão, que é dada por (3.29). Para podermos determinar um intervalo de confiança para X_{t+h} , será necessário fazer uma suposição adicional para os resíduos, ou seja, além de supor que $E(\varepsilon_t) = 0$, $\text{Var}(\varepsilon_t) = \sigma^2$ para todo t e $E(\varepsilon_t a_s) = 0$, $t \neq s$, iremos supor que $\varepsilon_t \sim \mathcal{N}(0, \sigma^2)$, para cada t .

Segue-se que, dados os valores passados e presente da série, X_T, X_{T-1}, \dots , a distribuição condicional de X_{T+h} será $\mathcal{N}(\hat{X}_T(h), V(h))$.

Logo,

$$U = \frac{X_{T+h} - \hat{X}_T(h)}{[V(h)]^{1/2}} \sim \mathcal{N}(0, 1)$$

e fixado o coeficiente de confiança γ , podemos encontrar um valor u_γ tal que $P(-u_\gamma < U < u_\gamma) = \gamma$. Ou seja, com probabilidade γ ,

$$\hat{X}_T(h) - u_\gamma[V(h)]^{1/2} \leq X_{T+h} \leq \hat{X}_T(h) + u_\gamma[V(h)]^{1/2}.$$

Substituindo $V(h)$ por $\hat{V}(h)$ obtemos

$$\hat{X}_T(h) - u_\gamma \hat{\sigma} \left[1 + \sum_{j=1}^{h-1} \hat{\psi}_j^2 \right]^{1/2} \leq X_{T+h} \leq \hat{X}_T(h) + u_\gamma \hat{\sigma} \left[1 + \sum_{j=1}^{h-1} \hat{\psi}_j^2 \right]^{1/2}. \quad (3.32)$$

Exemplo 3.16. Podemos determinar o intervalo de confiança para Y_{T+h} no Exemplo 3.15, para cada valor de h .

Assim, para $h = 3$,

$$\hat{V}(3) = (1 + \psi_1^2 + \psi_2^2)\hat{\sigma}^2, \text{ onde } \hat{\sigma}^2 = 0,0000923.$$

Os pesos $\hat{\psi}_j, j = 1, 2$ neste caso valem 1,5119 e 1,7739 respectivamente, logo

$$\hat{V}(3) = (1 + (1,5119)^2 + (1,7739)^2).0,0000923 = 0,000594.$$

Para $\gamma = 95\%$, temos $u_\gamma = 1,96$, portanto (3.29) fica

$$\hat{Y}_T(3) - 1,96[\hat{V}(3)]^{1/2} \leq Y_{T+3} \leq \hat{Y}_T(3) + 1,96[\hat{V}(3)]^{1/2}$$

ou seja, o intervalo de confiança para Y_{117} é [6,6915; 6,7871].

Da mesmo modo, podem ser obtidos intervalos de confiança para Y_{T+1}, Y_{T+2} etc. Observe que a variância aumenta com h ; logo, as amplitudes desses intervalos aumentarão à medida que nos afastamos da origem t , caracterizando o aumento da incerteza das previsões para h passos à frente, h grande.

Obtidas as previsões e intervalos de confiança para Y_t , podemos obter previsões e intervalos de confiança para a série original $X_t = \exp\{Y_t\}$.

3.6 Modelos Sazonais

Tradicionalmente, procedimentos com médias móveis e regressão são usados para estimar a componente sazonal de uma série temporal. Não iremos nos deter nesse assunto aqui. Veja Morettin e Toloi (2006) para detalhes.

Exemplo 3.17. A Figura 3.9 (a) mostra a série de índices mensais de produção industrial do Brasil (IPI, arquivo m-ipi85.00.dat), setor de alimentação, no período de janeiro de 1985 a julho de 2000, $T = 187$. Observamos que a série apresenta uma componente sazonal de período 12 meses, além de uma tendência suave, mas crescente. Na Figura 3.9 (b) temos a f.a.c. da série, que denominaremos X_t , que reflete a aparente periodicidade existente na série.

Tomando-se uma diferença, obtemos a série da Figura 3.9 (c), cuja f.a.c. está na Figura 3.9 (d). Notamos que a f.a.c. ainda mostra a forma típica da de uma série com componente sazonal, com valores grandes nos “lags” 6, 12 e 18. Seja $Y_t = \Delta X_t$.

Tabela 3.8: Previsões para o logaritmo da série ICV, com origem $T = 114$ (junho de 1979), usando o modelo ARIMA(1, 1, 0) com $\hat{\theta}_0 = 0,01036$ e $\hat{\phi} = 0,5119$.

t	Y_t	$\hat{Y}_T(h)$
112	6,5944	
113	6,6147	
114	6,6567	
115	6,6995	6,6886
116	6,7334	6,7153
117	6,7441	6,7393
118	6,8416	6,7619
119	6,8876	6,7839
120	6,9556	6,8057
121	6,9994	6,8269
122	7,0326	6,8482
123	7,0750	6,8695
124	7,1204	6,8907
125	7,1770	6,9120
126	7,2255	6,9332

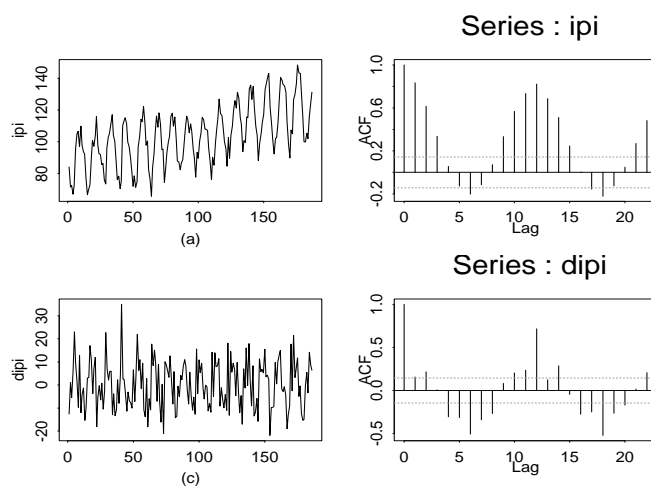


Figura 3.9: (a) Série IPI (b) f.a.c. da série (c) Primeira diferença da série IPI
(d) f.a.c. da primeira diferença

Para obtermos uma série livre de componente sazonal tomamos uma *diferença sazonal de ordem 12*,

$$Z_t = \Delta_{12}Y_t = (1 - B^{12})Y_t, \quad (3.33)$$

ou seja,

$$Z_t = Y_t - Y_{t-12}.$$

Segue-se que podemos escrever

$$Z_t = (1 - B)(1 - B^{12})X_t. \quad (3.34)$$

Note que essa série tem 12 observações a menos que a série Y_t que, por sua vez, tem uma observação a menos do que a série X_t . Logo, perdemos, no total, 13 observações neste processo de tomar primeiro, uma diferença simples (ou regular) e, depois, uma diferença sazonal (de ordem 12, no caso).

Na Figura 3.10, temos a f.a.c. e f.a.c.p. da série Z_t .

Uma análise da f.a.c. e f.a.c.p. de Z_t pode nos dar uma sugestão do modelo final para a série. Todavia, como já salientamos, essas funções têm, em geral, uma forma complicada, e pode ser difícil identificarmos um modelo a partir delas.

Um modelo sugerido por Box et al. (1994) e bastante utilizado em aplicações práticas é o chamado “airline model”, que tem a forma

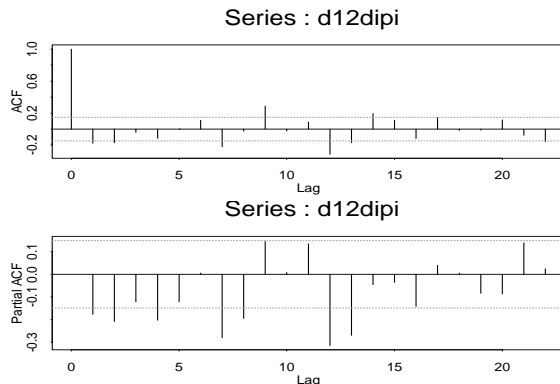


Figura 3.10: Série $Z_t = \Delta\Delta_{12}X_t$ (a) f.a.c. (b) f.a.c.p.

$$(1 - B)(1 - B^s)X_t = (1 - \theta B)(1 - \Theta B^s)\varepsilon_t, \quad (3.35)$$

com $|\theta| < 1, |\Theta| < 1$. Em (3.35), θ é o parâmetro “regular” de médias móveis, Θ é o parâmetro de médias móveis sazonais e s é o período sazonal.

O modelo (3.35) é um caso particular do chamado modelo ARIMA *sazonal multiplicativo* (SARIMA) de ordem $(p, d, q) \times (P, D, Q)_s$, dado por

$$\phi(B)\Phi(B^s)\Delta^d\Delta_s^D X_t = \theta(B)\Theta(B^s)\varepsilon_t, \quad (3.36)$$

onde

$\phi(B) = 1 - \phi_1 B - \cdots - \phi_p B^p$ é o operador autorregressivo estacionário de ordem p ;

$\theta(B) = 1 - \theta_1 B - \cdots - \theta_q B^q$ é o operador de médias móveis invertível de ordem q ;

$\Phi(B^s) = 1 - \Phi_1 B^s - \cdots - \Phi_P B^{sP}$ é o operador autorregressivo sazonal de ordem P , estacionário;

$\Theta(B^s) = 1 - \Theta_1 B^s - \cdots - \Theta_Q B^{sQ}$ é o operador de médias móveis sazonal de ordem Q , invertível;

$\Delta = (1 - B)$ é o operador diferença;

$\Delta^d = (1 - B)^d$, d indicando o número de diferenças;

$\Delta_s = (1 - B^s)$ é o operador diferença sazonal;

$\Delta_s^D = (1 - B^s)^D$, D indicando o número de “diferenças sazonais”.

Estimando o modelo (3.35) para a série IPI obtemos

$$(1 + 0,2562B^4 + 0,1587B^5 + 0,2984B^7)(1 - B)(1 - B^{12})X_t \\ = (1 - 0,5409B)(1 - 0,6584B^{12})\varepsilon_t, \quad (3.37)$$

com $\hat{\sigma}_a^2 = (5,51)^2$.

As previsões para os meses de janeiro a julho de 2000, com origem em dezembro de 1999 ($T = 180$), encontram-se na Tabela 3.9 e Figura 3.11. Na Tabela 3.9, $EQMP_{180}$ denota o erro quadrático médio de previsão, com origem em $T = 180$ e horizonte h , isto é,

$$EQMP_{180} = \frac{1}{7} \sum_{h=1}^7 (X_{T+h} - \hat{X}_T(h))^2.$$

3.7 Problemas

1. Para um modelo AR(1), prove que, se $\rho_j = \phi^{|j|}$, $|\phi| < 1$, então

$$\text{Var}(r_j) = \frac{1}{T} \left[\frac{(1 + \phi^2)(1 - \phi^{2j})}{1 - \phi^2} - 2j\phi^{2j} \right];$$

em particular, $\text{Var}(r_1) = \frac{1}{T}(1 - \phi^2)$.

2. Prove que $\text{Var}(r_j)$, dada no Problema 1, converge para $\frac{1}{T} \left[\frac{1+\phi^2}{1-\phi^2} \right]$ quando $j \rightarrow +\infty$, se $|\phi| \ll 1$.
3. Prove que, para um processo AR(1), $\text{Var}(\bar{W}) = \frac{c_0(1+r_1)}{n(1-r_1)}$.
4. Suponha que um programa de identificação forneceu os seguintes resultados:

j	1	2	3	4	5	6
r_j	-0,82	0,41	-0,12	0,08	-0,09	0,05
$\hat{\phi}_{jj}$	-0,82	-0,73	-0,05	0,25	0,20	0,12

$T = 100$, $\bar{X} = -0,08$, $S_X^2 = 2,40$. Identifique um modelo para X_t .

5. Considere o modelo $(1 - \phi B)X_t = (1 - \theta B)\varepsilon_t$. Mostre que:
- $X_t = (1 + \phi B)(1 - \theta B)\varepsilon_t$, se ϕ pequeno;
 - $X_t = \{1 + (\phi - \theta)B\}\varepsilon_t$, se ϕ e θ são pequenos.

Tabela 3.9: Previsões para a série IPI, utilizando o modelo (3.36), com origem em $T = 180$ e $h = 1, 2, \dots, 7$.

$T + h$	$\hat{X}_T(h)$	Erro padrão	X_{T+h}
181	106,4046	5,5106	100,1300
182	98,2554	6,0637	99,9000
183	109,5588	6,5704	105,3800
184	109,7577	7,0407	101,9600
185	125,3837	7,1290	116,1900
186	131,6298	7,1998	124,6600
187	143,4999	7,3504	131,1000
$EQMP_{180} = 58,17$			

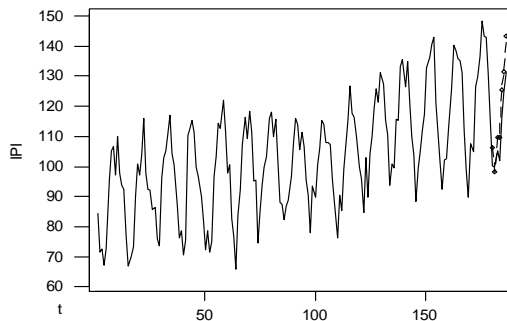


Figura 3.11: Série IPI com previsões utilizando o modelo (3.36), com origem em dezembro de 1999 e $h = 1, 2, \dots, 7$

6. Suponha que a f.a.c. amostral de uma série com $T = 100$ observações seja dada por

j	1	2	3	4	5	6	7	8	9	10
r_j	0,61	0,37	-0,05	0,06	-0,21	0,11	0,08	0,05	0,12	-0,01

Sugira um modelo ARMA que seja apropriado.

7. Suponha que 100 observações de uma série temporal forneçam as seguintes estimativas: $c_0 = 250$, $r_1 = 0,8$, $r_2 = 0,7$, $r_3 = 0,5$. Use as estimativas de Yule-Walker para determinar se a série é adequadamente ajustada por um modelo AR(1) ou por um modelo AR(2).
8. Uma série com 400 observações apresentou os seguintes resultados:

$$\begin{array}{c|ccccccccc}
j & 1 & 2 & 3 & 4 & 5 & 6 & 7 \\
\hline
\hat{\phi}_{jj} & 0,8 & -0,5 & 0,07 & -0,02 & -0,01 & 0,05 & 0,04
\end{array}$$

$$\bar{X} = 8,0; c_0 = 9,0.$$

- (a) Explique porque podemos ajustar à série um modelo AR(2).

- (b) Obtenha as estimativas $\hat{\phi}_1$ e $\hat{\phi}_2$ do modelo AR(2) utilizando as equações de Yule-Walker; obtenha também estimativas do termo constante θ_0 e da $\text{Var}(a_t)$.
- (c) Verifique se o modelo ajustado satisfaz as condições de estacionariedade.
- (d) Usando $\hat{\phi}_1$ e $\hat{\phi}_2$ como sendo os verdadeiros valores de ϕ_1 e ϕ_2 do processo AR(2), determine os valores de ρ_1 , ρ_2 e ρ_3 . Descreva, também, o comportamento geral da f.a.c. desse processo.
9. Identifique um modelo ARMA para a série de log-retornos diárias da Vale (arquivo d-vale98.10.dat).
10. Idem, para a série de log-retornos mensais do S&P500, de janeiro de 1962 a dezembro de 1999 (arquivo m-sp62.99.dat), $T = 456$.
11. Construa os intervalos de confiança com coeficientes de confiança igual a 0,95, para os parâmetros ϕ e θ_0 do Exemplo 3.9.
12. Suponha que para um modelo ARMA(1,1), com $T = 152$, obtemos $\hat{\phi} = 0,85$, $\hat{\theta} = -0,6$, $\hat{\sigma}^2 = 0,086$. Obtenha intervalos de confiança para ϕ e θ , com coeficiente de confiança 0,95.
13. Suponha que os resíduos obtidos, ajustando-se o modelo $\Delta X_t = (1 - 0,6B)b_t$ a uma série com $T = 127$ observações, forneceram as seguintes autocorrelações:

k	1	2	3	4	5	6	7	8	9	10
$\hat{r}_k(b)$	-0,40	0,02	-0,07	-0,01	-0,07	-0,02	0,15	-0,07	0,04	0,02

- (a) Verifique se há valores anormais.
- (b) Use o teste de Box-Pierce-Ljung para verificar se o modelo é adequado.
- (c) Os resíduos sugerem que o modelo deva ser modificado? Em caso afirmativo, qual modelo deveria ser considerado?
14. Suponha que os resíduos $\hat{\varepsilon}_t$ do modelo $(1 - B)X_t = (1 + 0,6B)\varepsilon_t$, ajustado a uma série de 80 observações, forneceram as seguintes autocorrelações

j	1	2	3	4	5	6	7	8	9	10
$r_{\hat{\varepsilon}}(j)$	0,39	0,20	0,09	0,04	0,09	-0,13	-0,05	0,06	0,11	-0,02

Analise se o modelo ajustado é adequado e se existe alguma indicação de falta de ajustamento do modelo. Se isso ocorreu, sugira um modelo modificado e teste-o.

15. Obtenha a função de previsão $\{\hat{X}_t(h), h = 1, 2, \dots\}$ para os seguintes modelos:

$$\begin{aligned} (a) \quad & \Delta^2 X_t = (1 - 0,9B + 0,5B^2)\varepsilon_t; \\ (b) \quad & (1 - 1,8B + 0,8B^2)X_t = \varepsilon_t; \\ (c) \quad & (1 - 0,6B)\Delta X_t = (1 - 0,5B)\varepsilon_t. \end{aligned}$$

16. Considere o modelo $X_t = 0,8X_{t-1} + \varepsilon_t$, com $\varepsilon_t \sim \mathcal{N}(0, 1)$.

- Obtenha $\hat{X}_t(h)$, $h = 1, 2, 3, 100$.
- Calcule $V(h)$, $h = 1, 2, 3, 100$.
- Suponha os dados:

t	1	2	3	4	5	6	7
X_t	0,66	0,57	0,66	-1,47	-1,38	-1,9	-0,7

Calcule $\hat{X}_7(h)$, $h = 1, 2, 3, 100$.

- Obtenha intervalos de confiança para X_8 e X_9 .
17. Considere o modelo SARIMA(0, 1, 2) \times (0, 1, 1)₁₂:

$$\Delta\Delta_{12}X_t = (1 - \Theta B^{12})(1 - \theta_1 B - \theta_2 B^2)\varepsilon_t.$$

- Escreva o modelo na forma de um modelo ARIMA.
 - Qual a ordem do modelo ARIMA resultante?
 - Obtenha a f.a.c. do modelo.
18. Para o modelo SARIMA(0, 1, 1) \times (0, 1, 1)₁₂:
- escreva-o explicitamente;
 - obtenha a região de invertibilidade;
 - obtenha as autocorrelações do processo.
19. Obtenha as estimativas dos parâmetros dos modelos identificados nos Problemas 9 e 10.

20. Suponha que o modelo

$$(1 - B^4)X_t = 3,0 + \varepsilon_t + 1,0\varepsilon_{t-1} - 0,5\varepsilon_{t-4}, \quad \sigma = 2,25,$$

foi ajustado às observações de uma série de dados trimestrais.

- (a) Suponha que as observações e resíduos dos últimos quatro trimestres são dadas por

	I	II	III	IV
X_t	124	121	129	139
ε_t	2	-1	1	3

Encontre as previsões $\hat{X}_t(h)$, $h = 1, 2, 3, 4$.

- (b) Determine os pesos ψ_j , $j \geq 0$.
(c) Calcule as variâncias dos erros de previsão $e_t(h) = X_{t+h} - \hat{X}_t(h)$, $h = 1, 2, 3$ e 4 e utilize-as para construir intervalos de confiança para os futuros valores X_{t+h} , $h = 1, 2, 3$ e 4 .

21. Estime o modelo (3.35) para a série IPI e mostre que obtemos (3.37).

22. Ajuste um modelo SARIMA apropriado à série de Produção Física Industrial Geral de janeiro de 1985 a julho de 2000 (arquivo m-pfi85.00.dat).

CAPÍTULO 4

Raízes Unitárias

4.1 Introdução

Como vimos na seção 2.6, o problema de raiz unitária em modelos ARMA aparece quando o polinômio autorregressivo apresenta uma raiz sobre o círculo unitário. Isso implica que devemos tomar uma diferença da série original antes de ajustar o modelo. Podemos ter raízes unitárias também no polinômio de médias móveis, como no exemplo 2.4. Isso pode indicar que os dados foram super-diferençados. Veja a seção 4.4 para mais detalhes.

Neste capítulo vamos considerar testes para raízes unitárias em modelos AR e ARMA. Para efeito de ilustração, consideremos o modelo AR(1) estacionário,

$$X_t = \theta_0 + \phi X_{t-1} + \varepsilon_t, \quad \varepsilon_t \sim RB(0, \sigma^2), \quad (4.1)$$

no qual $\theta_0 = (1 - \phi)\mu$, $\mu = E(X_t)$, $|\phi| < 1$. Se $\hat{\phi}_{MV}$ indica o EMV de ϕ , então sabemos que, para T observações do processo,

$$\hat{\phi}_{MV} \xrightarrow{a} \mathcal{N}(\phi, (1 - \phi^2)/T). \quad (4.2)$$

Se quisermos testar a hipótese $H_0 : \phi = \phi_0$ contra a alternativa $H_1 : \phi \neq \phi_0$, usamos a estatística

$$\frac{\hat{\phi}_{MV} - \phi_0}{\widehat{\text{e.p.}}(\hat{\phi}_{MV})}, \quad (4.3)$$

em que o denominador indica o erro padrão estimado de $\hat{\phi}_{MV}$. Sob a hipótese nula, a estatística (4.3) tem uma distribuição t de Student. Observe que (4.2) pode ser escrita

$$\sqrt{T}(\hat{\phi}_{MV} - \phi) \xrightarrow{a} \mathcal{N}(0, (1 - \phi^2)), \quad (4.4)$$

de modo que podemos dizer que $\hat{\phi}_{MV} = O_p(T^{-1/2})$, ou seja, a taxa de convergência do estimador é $1/\sqrt{T}$.

No caso de raízes unitárias, a aproximação normal (4.2) não se aplica; logo, não podemos usar a distribuição t para testar

$$\begin{aligned} H_0 &: \phi = 1, \\ H_1 &: \phi < 1. \end{aligned} \quad (4.5)$$

Suponha $\theta_0 = 0$ em (4.1). Sabemos que EMV são assintoticamente equivalentes a EMQ, de modo que supondo $\varepsilon_t \sim \mathcal{N}(0, \sigma^2)$, teremos

$$\hat{\phi}_{MQ} = \frac{\sum_{t=1}^T X_{t-1}X_t}{\sum_{t=1}^T X_{t-1}^2}. \quad (4.6)$$

É fácil ver que

$$\hat{\phi}_{MQ} - \phi = \frac{\sum_{t=1}^T X_{t-1}\varepsilon_t}{\sum_{t=1}^T X_{t-1}^2}, \quad (4.7)$$

que entra no numerador de (4.3) com $\phi = \phi_0$.

Para testar (4.5) temos que estudar o comportamento de

$$\hat{\phi}_{MQ} - 1 = \frac{\sum_{t=1}^T X_{t-1}\varepsilon_t}{\sum_{t=1}^T X_{t-1}^2}. \quad (4.8)$$

4.2 O Teste de Dickey-Fuller

Consideremos o modelo (4.1) com média zero, isto é,

$$X_t = \phi X_{t-1} + \varepsilon_t, \quad \varepsilon_t \sim RB\mathcal{N}(0, \sigma^2). \quad (4.9)$$

Segue-se que

$$\Delta X_t = \phi^* X_{t-1} + \varepsilon_t, \quad (4.10)$$

na qual $\phi^* = \phi - 1$. Podemos obter o EMQ de ϕ^* por meio da regressão de MQ de ΔX_t sobre X_{t-1} . Logo (4.5) é equivalente a

$$\begin{aligned} H_0^* &: \phi^* = 0, \\ H_1^* &: \phi^* < 0. \end{aligned} \quad (4.11)$$

O seguinte resultado será demonstrado no Apêndice a este capítulo.

Teorema 4.1. *Considere o modelo (4.9) com $X_0 = 0$ e suponha que $\varepsilon_t \sim i.i.d.(0, \sigma^2)$. Então,*

$$T(\hat{\phi}_{MQ} - 1) \xrightarrow{\mathcal{D}} \frac{\frac{1}{2}([W(1)]^2 - 1)}{\int_0^1 [W(r)]^2 dr}, \quad (4.12)$$

onde $W(r)$ é o Movimento Browniano padrão.

Em particular, $[W(1)]^2 \sim \chi^2(1)$ e como $P(\chi^2(1) < 1) = 0,68$, de (4.12) temos que a probabilidade de que o lado esquerdo de (4.12) seja negativo converge para 0,68, para $T \rightarrow \infty$. Ou seja, mesmo que tenhamos um passeio aleatório ($\phi = 1$), simulando-se muitas amostras de tal processo, em aproximadamente 2/3 delas o estimador $\hat{\phi}_{MQ}$ será menor que 1. De (4.12) vemos que a taxa de convergência do estimador é diferente do caso estacionário: $\hat{\phi}_{MQ} = O_p(T^{-1})$.

Para testar (4.5) ou (4.11) podemos usar a estatística

$$\hat{\tau} = \frac{\hat{\phi}_{MQ}^*}{\widehat{\text{e.p.}}(\hat{\phi}_{MQ}^*)}, \quad (4.13)$$

em que

$$\widehat{\text{e.p.}}(\hat{\phi}_{MQ}^*) = \frac{S}{\left(\sum_{t=1}^T X_{t-1}^2\right)^{1/2}}, \quad (4.14)$$

e

$$S^2 = \frac{1}{T-2} \sum_{t=2}^T (\Delta X_t - \hat{\phi}_{MQ}^* X_{t-1})^2 \quad (4.15)$$

é o estimador de σ^2 na regressão (4.10). Segue-se que a estatística (4.13) é equivalente a

$$\hat{\tau} = \frac{\hat{\phi}_{MQ} - 1}{(S^2 / \sum X_{t-1}^2)^{1/2}}, \quad (4.16)$$

que pode ainda ser escrita na forma

$$\hat{\tau} = \frac{T^{-1} \sum X_{t-1} \varepsilon_t}{S(T^{-2} \sum X_{t-1}^2)^{1/2}}. \quad (4.17)$$

O resultado a seguir é consequência do Teorema 4.1.

Teorema 4.2. *Sob as mesmas suposições do teorema anterior,*

$$\hat{\tau} \xrightarrow{\mathcal{D}} \frac{1}{2} \frac{([W(1)]^2 - 1)}{\left(\int_0^1 [W(r)]^2 dr\right)^{1/2}}. \quad (4.18)$$

Os testes usando (4.12) ou (4.18) são chamados *testes de Dickey-Fuller*, abreviadamente DF. Veja Dickey e Fuller(1979). As distribuições das estatísticas correspondentes são tabuladas. Valores críticos de $\hat{\tau}$ para níveis de significância 0,01, 0,05 e 0,10 são dados, respectivamente, por $-2,60, -1,95$ e $-1,61$, para amostras de tamanho $n = 100$. Para amostras grandes, maiores que 500, esses valores são, respectivamente, $-2,58, -1,95$ e $-1,62$. Observe que rejeitamos H_0 se $\hat{\tau}$ for menor que o valor crítico apropriado. As densidades simuladas de $T(\hat{\phi}_{MQ} - 1)$ e $\hat{\tau}$, sob H_0 , estão representadas na Figura 4.1.

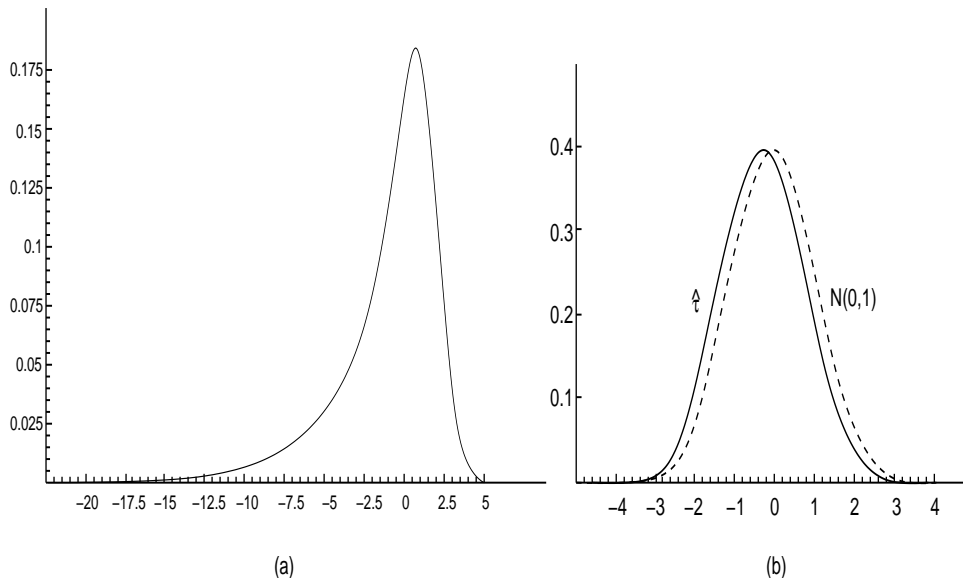


Figura 4.1: Distribuições, sob $H_0 : \phi = 1$, de (a) $T(\hat{\phi}_{MQ} - 1)$ e (b) $\hat{\tau}$.

Suponha, agora, que a média não seja zero e temos o modelo (4.1). Nesse caso,

$$\Delta X_t = \theta_0 + \phi^* X_{t-1} + \varepsilon_t, \quad (4.19)$$

onde $\phi^* = \phi - 1$. Novamente, teremos (4.5) e (4.11) como hipóteses equivalentes. O EMQ de ϕ^* é obtido por meio da regressão de ΔX_t sobre 1 e X_{t-1} . O denominador de (4.14) ficará, agora, $(\sum(X_{t-1} - \bar{X})^2)^{1/2}$. Embora $\hat{\tau}$ ainda seja dada por (4.13), ou pelas expressões equivalentes (4.16) e (4.17), com os denominadores corrigidos, a presença de θ_0 altera a distribuição assintótica da estatística. Nesse caso, a notação padrão utilizada para $\hat{\tau}$ é $\hat{\tau}_\mu$, entendendo-se que o processo X_t tem média $\mu = \theta_0/(1 - \phi)$. No lugar de (4.12) e (4.18) teremos, respectivamente,

$$T(\hat{\phi}_{MQ} - 1) \xrightarrow{\mathcal{D}} \frac{\frac{1}{2}([W(1)]^2 - 1) - W(1) \int_0^1 W(r)dr}{\int_0^1 [W(r)]^2 dr - (\int_0^1 W(r)dr)^2}, \quad (4.20)$$

$$\hat{\tau}_\mu \xrightarrow{\mathcal{D}} \frac{1}{2} \frac{([W(1)]^2 - 1) - W(1) \int_0^1 W(r)dr}{[\int_0^1 [W(r)]^2 dr - (\int_0^1 W(r)dr)^2]^{1/2}}. \quad (4.21)$$

A distribuição de $\hat{\tau}_\mu$ afasta-se mais da normal do que no caso $\mu = 0$. Veja a Figura 4.2. Valores críticos de $\hat{\tau}_\mu$ para níveis de significância 0,05, 0,025 e 0,01 são dados por $-2,86, -3,12$ e $-3,42$, respectivamente, para amostras grandes.

O teste usando $\hat{\tau}_\mu$ é chamado *teste de Dickey-Fuller aumentado* (“augmented Dickey-Fuller test”), abreviadamente, teste ADF. Veja Dickey e Fuller (1981).

Na realidade, as estatísticas $\hat{\tau}$ e $\hat{\tau}_\mu$ são usadas para testar $H_0 : \phi = 1 \mid \theta_0 = 0$. Poderíamos testar separadamente $\theta_0 = 0$, mas a estatística t novamente não é apropriada.

Para testar a hipótese

$$H_0 : \theta_0 = 0, \phi = 1, \quad (4.22)$$

podemos usar um teste do tipo Wald. Sob H_0 , o processo é um passeio aleatório sem “drift”, de modo que podemos usar um teste da forma

$$\Phi_1 = \frac{\text{SQR}(restrita) - \text{SQR}(irrestrita)/r}{\text{SQR}(irrestrita)/(T - k)}, \quad (4.23)$$

onde r é o número de restrições sob H_0 e k é o número de parâmetros do modelo irrestrito (de modo que $T - k$ é o número de graus de liberdade do modelo irrestrito).

A estatística Φ_1 não tem distribuição $F(r, T - k)$ e foi tabulada em Dickey e Fuller (1981).

Em nosso caso, $r = k = 2$ e

$$\Phi_1 = \frac{(\sum \Delta X_t^2 - \sum \hat{\varepsilon}_t^2)/2}{\sum \hat{\varepsilon}_t^2/(T-2)}. \quad (4.24)$$

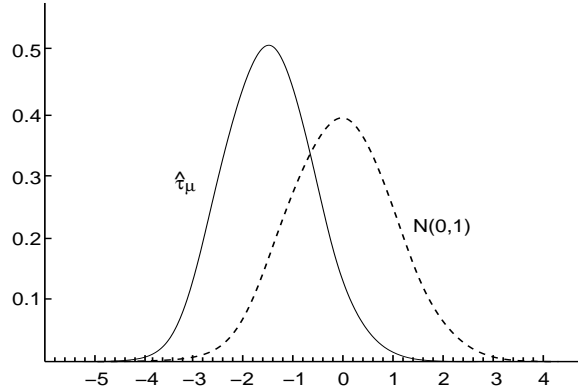


Figura 4.2: Distribuição de $\hat{\tau}_\mu$ sob $H_0 : \phi = 1$.

Note que $\sum \hat{\varepsilon}_t^2 = \sum (\Delta X_t - \hat{\theta}_0 - \hat{\phi}_{MQ} X_{t-1})^2$. Valores críticos de Φ_1 para níveis de significância 0,05 e 0,01 são, respectivamente, 4,59 e 6,43.

4.3 Extensões do Teste DF

Suponha, agora, que a série possa ser representada por um processo AR(p):

$$X_t - \mu = \phi_1(X_{t-1} - \mu) + \dots + \phi_p(X_{t-p} - \mu) + \varepsilon_t, \quad (4.25)$$

onde ε_t como sempre é ruído branco de média zero e variância σ^2 . O modelo pode, ainda, ser escrito na forma

$$X_t = \theta_0 + \sum_{i=1}^p \phi_i X_{t-i} + \varepsilon_t, \quad (4.26)$$

ou, ainda,

$$\Delta X_t = \theta_0 + \phi_1^* X_{t-1} + \phi_2^* \Delta X_{t-1} + \dots + \phi_p^* \Delta X_{t-p+1} + \varepsilon_t, \quad (4.27)$$

onde $\phi_1^* = \sum_{i=1}^p \phi_i - 1$, $\phi_j^* = -\sum_{i=j}^p \phi_i$, $j = 2, \dots, p$.

Se o polinômio autorregressivo $\phi(B)$ tiver uma raiz unitária, então $\phi(1) = 0$, ou seja $1 - \phi_1 - \phi_2 - \dots - \phi_p = 0$, ou ainda, $\sum_{i=1}^p \phi_i = 1$ e portanto $\phi_1^* = 0$. Logo, testar a hipótese que o polinômio autorregressivo tem uma raiz unitária é equivalente a testar a hipótese que $\phi_1^* = 0$.

Vemos que ϕ_1^* pode ser estimado como o coeficiente de X_{t-1} na regressão de mínimos quadrados de ΔX_t sobre $1, X_{t-1}, \Delta X_{t-1}, \dots, \Delta X_{t-p+1}$.

Para T grande, as estatísticas $T(\hat{\phi}_1^* - 1)$ e $\hat{\tau}_\mu = \hat{\phi}_1^*/\widehat{\text{e.p.}}(\hat{\phi}_1^*)$ têm as mesmas distribuições assintóticas dadas em (4.20) e (4.21).

Ng e Perron (1995) sugerem o seguinte procedimento para escolher p . Fixe um limite superior p_{\max} para p e estime a regressão (4.27) para $p = p_{\max}$. Se o valor absoluto da estatística t para testar a significância da última diferença ΔX_t for maior do que 1,6, coloque $p = p_{\max}$ e faça o teste de raiz unitária. Caso contrário, reduza o valor de p de uma unidade e repita o processo.

Schwert (1989) propõe tomar

$$p_{\max} = \left[12 \left(\frac{T}{100} \right)^{1/4} \right], \quad (4.28)$$

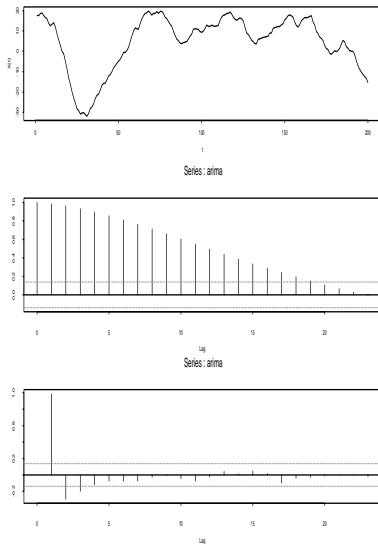
onde $[x]$ denota o maior inteiro menor ou igual a x .

No caso de $X_t \sim \text{ARMA}(p, q)$, Said e Dickey (1985) provaram que $\hat{\tau}_\mu$, obtida do modelo

$$\Delta X_t = \theta_0 + \phi_1^* X_{t-1} + \sum_{i=1}^k \phi_{i+1}^* \Delta X_{t-i} + \varepsilon_t - \sum_{j=1}^q \theta_j \varepsilon_{t-j}, \quad (4.29)$$

com $k = p - 1$, tem a mesma distribuição assintótica que $\hat{\tau}_\mu$ obtida de (4.27). Aqui supomos p e q conhecidos e o lag k usualmente é escolhido como em (4.28).

Exemplo 4.1. Suponha que X_t seja gerado por um processo ARIMA(1,1,0), com $X_0 = 0$, $\phi = 0,7$, $\varepsilon_t \sim \mathcal{N}(0, 1)$ e $T = 200$. O gráfico está na Figura 4.3, juntamente com a f.a.c. e f.a.c.p.

Figura 4.3: Série X_t , f.a.c. e f.a.c.p.

Se não soubéssemos como os dados X_t foram gerados, estas funções sugeririam que estamos diante de uma série não estacionária. Na Figura 4.4, temos a série ΔX_t e as respectivas f.a.c. e f.a.c.p.

Vemos, agora, que a hipótese de estacionariedade para a primeira diferença parece ser razoável. Em particular, a f.a.c.p. sugere um modelo AR(1) para ΔX_t , que estimado pelo SPlus resulta

$$\hat{\phi} = 0,716, \hat{\sigma}^2 = 0,982, \widehat{d.p.}(\hat{\phi}) = 0,0313,$$

mostrando que rejeitamos $H_0 : \phi = 0$. O valor estimado está próximo do verdadeiro valor de $\phi = 0,7$. Ou seja, se estivéssemos de posse da série gerada na Figura 4.3, ajustariámos o modelo

$$(1 - 0,716B)(1 - B)X_t = \varepsilon_t, \quad \varepsilon_t \sim RB(0; 0,982).$$

Novamente, não tendo conhecimento de como os dados foram gerados, vamos testar a presença de uma raiz unitária. A f.a.c.p. da série original sugere um modelo AR(3), de modo que podemos considerar

$$\Delta X_t = \theta_0 + \phi_1^* X_{t-1} + \phi_2^* \Delta X_{t-1} + \phi_3^* \Delta X_{t-2} + \varepsilon_t. \quad (4.30)$$

A regressão de ΔX_t sobre 1, X_{t-1} , ΔX_{t-1} e ΔX_{t-2} fornece o modelo ajustado

$$\Delta X_t = -0,094869 - 0,000275X_{t-1} + 0,707155\Delta X_{t-1} + 0,024766\Delta X_{t-2},$$

onde os desvios padrões dos coeficientes estimados são, respectivamente, 0,0935, 0,0012, 0,0451 e 0,0451.

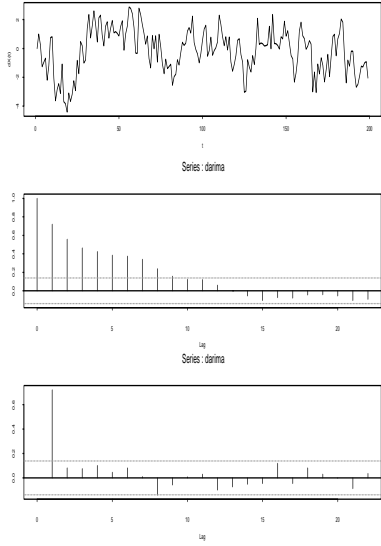


Figura 4.4: Série ΔX_t , f.a.c. e f.a.c.p.

O valor da estatística do teste ADF é $\hat{\tau}_\mu = (-0,000275/0,0012) = -0,2292$; logo, não rejeitamos a hipótese de que há uma raiz unitária com o nível de significância 0,01; o valor crítico é $-3,45$.

Na seção 4.2, consideramos o modelo (4.9) e o teste (4.5) ou (4.11). É claro que uma hipótese equivalente a (4.5) é

$$H_0 : \Delta X_t = \varepsilon_t, \quad (4.31)$$

onde $\varepsilon_t \sim RB(0, \sigma^2)$. Essa hipótese implica que a diferença de X_t é estacionária (X_t é “difference stationary”). A hipótese alternativa é $\phi < 1$ ou X_t é estacionário.

Uma primeira extensão foi adicionar ao modelo um termo constante, de modo que

$$H_0 : \Delta X_t = \theta_0 + \varepsilon_t. \quad (4.32)$$

Uma possível alternativa a essa hipótese é supor que

$$H_1 : X_t = \beta_0 + \beta_1 t + \varepsilon_t, \quad (4.33)$$

ou seja, X_t apresenta uma tendência determinística (o processo é *trend stationary*).

Perron (1988) mostra que $\hat{\tau}_\mu$ não é capaz de distinguir entre (4.33) e (4.32). Para testar H_0 contra H_1 acima, temos que estender o procedimento anterior, de modo a incluir uma tendência linear em (4.27):

$$\Delta X_t = \beta_0 + \beta_1 t + \phi_1^* X_{t-1} + \sum_{i=1}^k \phi_{i+1}^* \Delta X_{t-i} + \varepsilon_t, \quad (4.34)$$

com $k = p - 1$. A estatística para testar $H_0 : \phi_1^* = 0$ é

$$\hat{\tau}_\tau = \frac{\hat{\phi}_{1,MQ}^* - 1}{\widehat{\text{e.p.}}(\hat{\phi}_{1,MQ}^*)}, \quad (4.35)$$

cuja distribuição limite é dada pelo resultado a seguir.

Teorema 4.3. Sob a condição de que os erros sejam i.i.d., de média zero e variância σ^2 ,

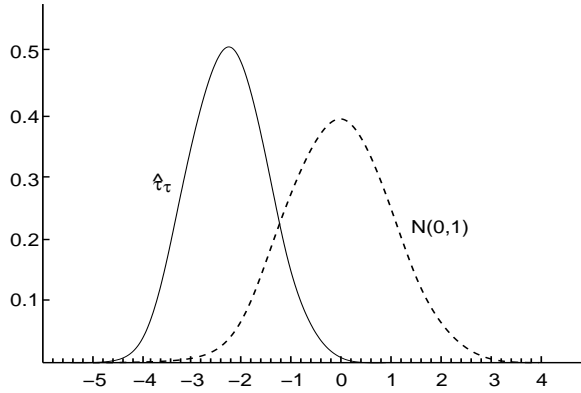
$$\hat{\tau}_\tau \xrightarrow{\mathcal{D}} \frac{\frac{1}{2}([W(1)]^2 - 1) - W(1) \int_0^1 W(r)dr + A}{[\int_0^1 [W(r)]^2 dr - (\int_0^1 W(r)dr)^2 + B]^{1/2}}, \quad (4.36)$$

em que

$$A = 12 \left[\int_0^1 tW(t)dt - \frac{1}{2} \int_0^1 W(t)dt \right] \left[\int_0^1 W(t)dt - \frac{1}{2} W(1) \right],$$

$$B = 12 \left[\int_0^1 tW(t)dt \int_0^1 tW(t)dt - (\int_0^1 tW(t)dt)^2 \right] - 3 \left[\int_0^1 W(t)dt \right]^2.$$

Na Figura 4.5. temos a densidade limite de $\hat{\tau}_\tau$ sob H_0 . Valores críticos da estatística para níveis 0,01, 0,025 e 0,05 são dados por -3,96, -3,67 e -3,41, respectivamente. Um teste conjunto $H_0 : \phi_1^* = 0, \beta_1 = 0$ em (4.33) pode ser construído utilizando (4.23). Ver tabelas em Hamilton (1994).

Figura 4.5: Distribuição limite de $\hat{\tau}_\tau$.

Phillips (1987) e Phillips e Perron (1988) desenvolveram um teste que difere do teste ADF, supondo os erros correlacionados e possivelmente heteroscedásticos. Considera-se o modelo

$$\Delta X_t = \theta_0 + \phi_1^* X_{t-1} + u_t,$$

em que $u_t \sim I(0)$, satisfazendo determinadas condições de regularidade. Veja a seção 4.4. As estatísticas por eles consideradas são modificadas para levar em conta a autocorrelação e heteroscedasticidade, após estimar os modelos por MQ ordinários.

A estatística, correspondente a $\hat{\tau}_\mu$, usada no teste de Phillips e Perron (brevemente, PP) é dada por

$$Z(\tau_\mu) = \tau_\mu \left(\frac{\hat{\sigma}^2}{\hat{\lambda}^2} \right)^{1/2} - \frac{1}{2} \left(\frac{\hat{\lambda}^2 - \hat{\sigma}^2}{\hat{\lambda}^2} \right) \left(\frac{T \text{e.p.}(\phi_1^*)}{\hat{\sigma}^2} \right), \quad (4.37)$$

onde $\hat{\sigma}^2$ e $\hat{\lambda}^2$ são estimadores consistentes de

$$\sigma^2 = \lim_{T \rightarrow \infty} T^{-1} \sum_{t=1}^T E(u_t^2),$$

$$\lambda^2 = \lim_{T \rightarrow \infty} \sum_{t=1}^T E(T^{-1} S_T^2), \quad S_T = \sum_{t=1}^T u_t,$$

respectivamente. O estimador $\hat{\sigma}^2$ é calculado como $T^{-1} \sum_{t=1}^T \hat{u}_t^2$ e $\hat{\lambda}^2$ é calculado como

$$\hat{\lambda}^2 = T^{-1} \sum_{t=1}^T \hat{u}_t^2 + \frac{2}{T} \sum_{j=1}^{\ell} \omega_j(\ell) \sum_{t=j+1}^T \hat{u}_t \hat{u}_{t-j},$$

com $\omega_j(\ell) = 1 - j/(\ell + 1)$. Tal estimador é conhecido como estimador de Newey-West (Veja Newey e West, 1987). Na prática, Phillips e Perron (1988) sugerem usar $\ell = [T^{1/4}]$.

Sob $H_0 : \phi_1^* = 0$, a estatística (4.37) tem a mesma distribuição limite que $\hat{\tau}_\mu$. O teste PP é robusto a várias formas de heteroscedasticidade nos erros; além disso, não há necessidade de se especificar p . Para detalhes ver Hamilton (1994).

Exemplo 4.2. Considere a série Ibovespa, discutida no exemplo 1.1. O gráfico da série está na Figura 4.6 (a) e os gráficos da f.a.c. e f.a.c.p. estão na Figuras 4.6 (b) e 4.6 (c). A f.a.c.p. sugere um modelo AR(1) para a série; logo, o modelo a considerar é (4.19). Usando o EViews obtemos que o valor da estatística de teste é $\hat{\tau}_\mu = 1,25866$, com valor- p 0,9985 e não rejeitamos a hipótese nula em (4.11). Como a constante do modelo parece ser não significativa, podemos considerar o caso (4.10), e a estatística do teste tem valor $\hat{\tau} = 2,60781$, e novamente não rejeitamos a hipótese de existência de uma raiz unitária.

Exemplo 4.3. Vamos aplicar os testes ADF e PP para a série de índices de fechamento diários da Bolsa de New York, o Dow Jones Industrial Average (DJIA), de 3/1/95 a 26/11/02, com $T = 1992$ observações. Na Figura 4.7, temos a série e sua f.a.c., bem como a série de retornos e respectiva f.a.c. Usando a formulação (4.34), o coeficiente β_1 não foi significativo, o que nos leva a considerar o modelo com uma constante. Usando o S+FinMetrics, obtemos o Quadro 4.1 para o teste ADF, tomando-se $p_{\max} = 6$. Nota-se, contudo, que os coeficientes dos lags de 2 a 6 não são significativos. Com $p = 1$ obtemos o Quadro 4.2, do qual segue que não rejeitamos a hipótese nula de raiz unitária. No Quadro 4.3 temos o resultado da aplicação do teste PP, que também detecta raiz unitária na série.

4.4 Comentários Finais

Encerramos este capítulo com algumas observações sobre os testes de raízes unitárias.

[1] No início da seção 4.1 ressaltamos que podemos ter raízes unitárias também

na parte de médias móveis de um modelo ARMA. Na realidade, isso tem a ver com um teste de estacionariedade, onde a hipótese nula especifica que o processo é estacionário ao redor de uma tendência determinística (*trend-stationary*) e a hipótese alternativa especifica que o processo é I(1).

Para ilustrar, retomemos o modelo (2.58)

$$X_t = \beta_0 + \beta_1 t + \varepsilon_t,$$

onde agora $\varepsilon_t = \phi \varepsilon_{t-1} + \eta_t$, sendo η_t ruído branco.

Se $|\phi| < 1$, X_t será um processo *trend-stationary*, ao redor de $\mu_t = \beta_0 + \beta_1 t$. Por outro lado, se $\phi = 1$, ε_t é passeio casual e X_t é um processo I(1) com *drift*.

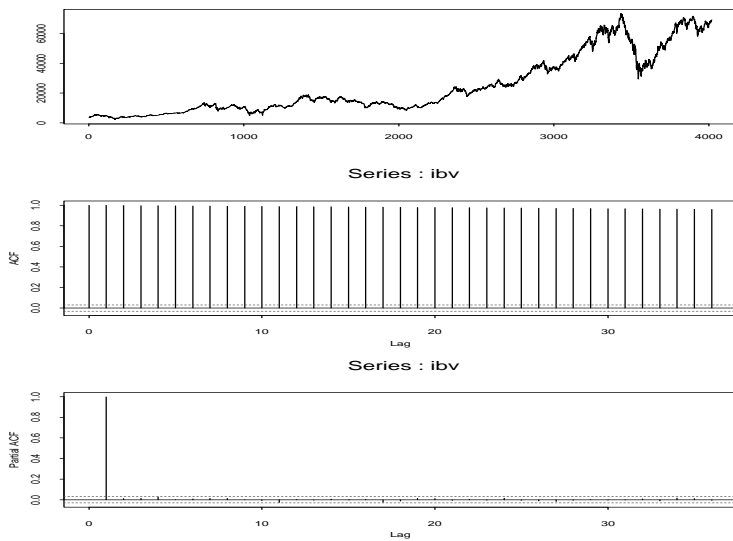


Figura 4.6: Série Ibovespa, f.a.c. e f.a.c.p.

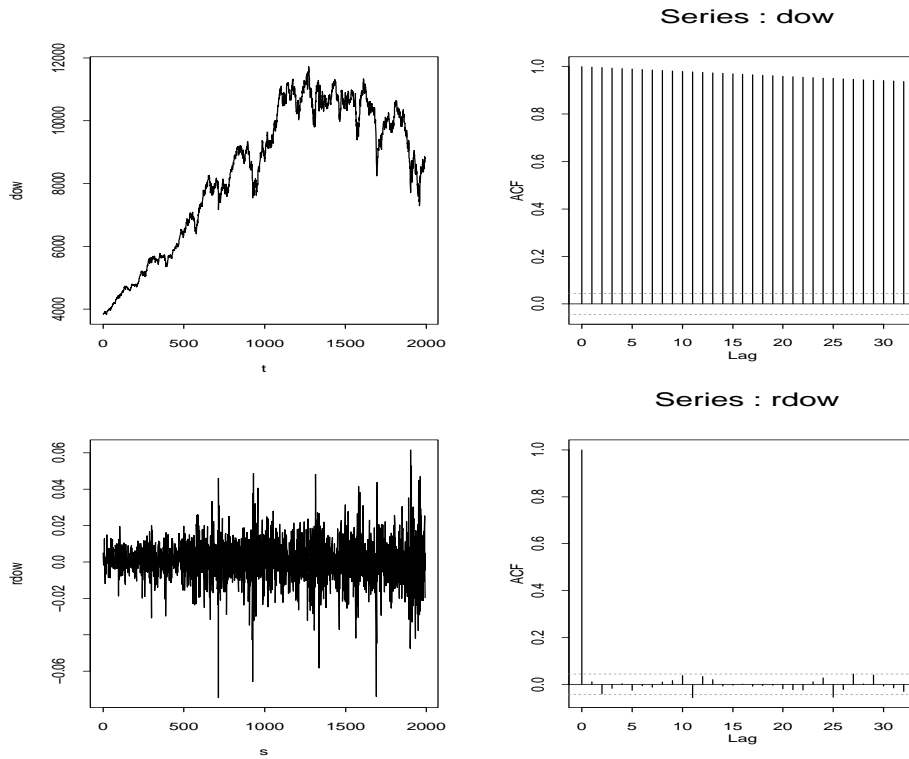


Figura 4.7: (a) Série DJIA (b) f.a.c. da série (c) Retornos do DJIA (d) f.a.c. dos retornos

Como

$$\begin{aligned}\Delta X_t &= \beta_1 + \Delta \varepsilon_t, \\ \Delta \varepsilon_t &= \phi \Delta \varepsilon_{t-1} + \eta_t - \eta_{t-1},\end{aligned}$$

temos uma raiz unitária na representação ARMA de ΔX_t . Para detalhes sobre esse teste veja Kwiatkowski et al. (1992).

[2] Phillips (1987) mostra que

$$\frac{1}{2}[W(1)^2 - 1] = \int_0^1 W(r)dW(r), \quad (4.38)$$

logo, os numeradores das distribuições assintóticas de (4.12) e (4.18) podem ser substituídos pelo lado direito de (4.38), o mesmo valendo para (4.36).

Quadro 4.1 - Teste ADF, com $p = 6$, para a série DJIA

```
Test for Unit Root: Augmented DF Test

Null Hypothesis: there is a unit root
Type of Test: t test
Test Statistic: -2.019
P-value: 0.2787

Coefficients:
            Value Std. Error   t value Pr(>|t| )
lag1      -0.0021    0.0011   -2.0190   0.0436
lag2       0.0091    0.0225    0.4038   0.6864
lag3      -0.0402    0.0225   -1.7905   0.0735
lag4      -0.0187    0.0225   -0.8319   0.4056
lag5       0.0055    0.0225    0.2440   0.8073
lag6      -0.0300    0.0225   -1.3350   0.1820
constant  20.5289   9.1876    2.2344   0.0256

Regression Diagnostics:

R-Squared 0.0050
Adjusted R-Squared 0.0020
Durbin-Watson Stat 1.9993

Residual standard error: 105.2 on 1982 degrees
of freedom
F-statistic: 1.649 on 6 and 1979 degrees of freedom,
the p-value is 0.1298
```

Quadro 4.2 - Teste ADF, com $p = 1$, para a série DJIA

```
Test for Unit Root: Augmented DF Test

Null Hypothesis: there is a unit root
Type of Test: t test
Test Statistic: -2.021
P-value: 0.2777

Coefficients:
            Value Std. Error   t value Pr(>|t| )
lag1      -0.0021    0.0011   -2.0215   0.0434
constant  20.2425   9.1211    2.2193   0.0266

Regression Diagnostics:

R-Squared 0.0021
Adjusted R-Squared 0.0015
Durbin-Watson Stat 1.9804

Residual standard error: 105.1 on 1987 degrees
of freedom
F-statistic: 4.086 on 1 and 1989 degrees of freedom,
the p-value is 0.04337
```

Quadro 4.3 - Teste de Phillips-Perron para a série DJIA					
Test for Unit Root: Phillips-Perron Test					
Null Hypothesis: there is a unit root					
Type of Test: t test					
Test Statistic: -2.02					
P-value: 0.2782					
using bartlett window with bandwidth 8					
Coefficients:					
	Value	Std. Error	t value	Pr(> t)	
lag1	-0.0021	0.0011	-2.0215	0.0434	
constant	20.2425	9.1211	2.2193	0.0266	
Regression Diagnostics:					
	R-Squared	0.0021			
	Adjusted R-Squared	0.0015			
	Durbin-Watson Stat	1.9804			
	Residual standard error:	105.1	on 1987 degrees		
	of freedom				
	F-statistic:	4.086	on 1 and 1989 degrees of freedom,		
			the p-value is 0.04337		

[3] As suposições para o modelo considerado no teste de PP são:

- (i) $E(u_t) = 0$, para todo t .
- (ii) $\sup_t E(|u_t|^\beta) < \infty$, para algum $\beta > 2$.
- (iii) $\lambda^2 = \lim_{T \rightarrow \infty} E(S_T^2/T)$ existe e é finito, $S_T = \sum_{t=1}^T u_t$.
- (iv) u_t é fortemente “mixing”.

Ver Phillips e Perron (1988) e Hamilton (1994) para o conceito de “mixing” (independência assintótica) e discussão das implicações dessas suposições.

[4] Testes de raízes unitárias apresentam vários problemas, tais como: (a) baixo poder para discriminar processos estacionários persistentes ($|\phi|$ próximo de um) de processos não estacionários; (b) o poder diminui com a introdução de termos determinísticos ao modelo AR(1) básico sem constante. Veja Perron e Ng (1996) e Elliot et al. (1996) para sugestões que aliviam esses problemas.

[5] Phillips e Shimotsu (2004) tratam do problema da estimação do parâmetro d de um processo de memória longa quando $d > 1/2$, ou seja, no caso não estacionário, incluindo o caso de raízes unitárias e quando o processo tem uma tendência polinomial. O estimador de d por eles utilizado é o estimador local de Whittle. Veja o Capítulo 6 para noções sobre processos de memória longa.

[6] Sob o ponto de vista bayesiano, testes de raízes unitárias foram considerados inicialmente por Sims (1988) e Sims e Uhlig (1991). As críticas feitas

por esses autores aos procedimentos frequentistas levaram Phillips (1991a,b) a responder, o que gerou um debate saudável, resumido por Bauwens et al. (1999). Outras referências são Lubrano (1995) e DeJong e Whiteman (1991).

4.5 Problemas

1. Considere a série de preços diárias de ações da Petrobras (arquivo d-petro98.10.dat). Considere o modelo ajustado no Capítulo 3, exemplos 3.6 e 3.10. Teste se há raiz unitária presente na série, usando os testes ADF e PP.
2. Teste para raízes unitárias nas seguintes séries, usando os testes ADF e PP.
 - (a) preços diárias de ações da Vale (arquivo d-vale98.10.dat);
 - (b) índices mensais do Bovespa (arquivo m-ibv94.01.dat);
 - (c) dados mensais dos juros do C-Bond brasileiro, de julho de 1994 a agosto de 2001, $T = 86$ (arquivo m-cbond94.01.dat).
3. **Teste para mais de uma raiz unitária.** O desenvolvimento apresentado no texto supõe que a série seja I(1), ou seja, contém no máximo uma raiz unitária. Podemos testar se a série é I(2), dado que não rejeitamos $H_0 : \phi = 1$. Os testes DF e ADF não podem ser usados para ΔX_t , pois esses admitem que há, no máximo, uma raiz. Dickey e Pantula (1987) sugerem um procedimento para o caso da série conter no máximo duas raízes unitárias. Para testar $H_0 : d = 2$ (a série tem duas raízes) contra $H_1 : d = 1$ (a série contém uma raiz), considere (no caso AR(1)),

$$\Delta^2 X_t = \beta_0 + \beta_2 \Delta X_{t-1} + \varepsilon_t.$$

Compare o valor da razão t para β_2 com valor crítico de $\hat{\tau}_\mu$. Rejeite H_0 se $t_{\beta_2} < \hat{\tau}_\mu$. Se rejeitarmos H_0 , podemos testar H'_0 : há uma raiz unitária, contra H'_1 : não há raiz unitária, comparando $\hat{\tau}_\mu$ com $t_{\beta'_1}$ e $t_{\beta'_2}$ em

$$\Delta^2 X_t = \beta'_0 + \beta'_1 X_{t-1} + \beta'_2 \Delta X_{t-1} + \varepsilon_t.$$

Rejeite H'_0 se as duas razões t forem menores do que o valor crítico de $\hat{\tau}_\mu$.

4. Teste se a série ICV (arquivo m-icv70.79.dat) tem no máximo duas raízes unitárias.
5. Mesmo problema para as séries do problema 2.
6. Considere (4.34) com $k = 1$ (ou $p = 2$). Por meio de substituições sucessivas, mostre que se $\phi = 1$ e $\beta_1 \neq 0$, X_t conterá uma tendência quadrática.

Observação. É sempre possível que $\beta_1 \neq 0$ e, nesse caso, a tendência quadrática dominará a componente I(1). Dolado et al. (1990) e Banerjee et al. (1993) mostram que, nesse caso, podemos usar a distribuição normal padrão como aproximação para $\hat{\tau}_\tau$. O mesmo acontece para $\hat{\tau}_\mu$ se $\beta_1 = 0$, mas $\beta_0 \neq 0$. Dolado et al. (1990) propõem um procedimento para testar raízes unitárias quando há tendências presentes.

Apêndice 4: Provas dos Teoremas 4.1 e 4.2

Nesse apêndice, vamos demonstrar os teoremas 4.1 e 4.2, baseados em resultados da seção 2.7. Os demais teoremas deste capítulo podem ser demonstrados de modo análogo e as provas podem ser vistas, por exemplo, em Hamilton (1994).

Prova do Teorema 4.1. De (4.8) temos (com $\hat{\phi}_{MQ} \equiv \hat{\phi}$)

$$T(\hat{\phi} - 1) = \frac{\frac{1}{T} \sum_{t=1}^T X_{t-1} \varepsilon_t}{\frac{1}{T^2} \sum_{t=1}^T X_{t-1}^2}. \quad (A.1)$$

Se $\phi = 1$, de (4.9), com $X_0 = 0$, temos que $X_t = X_0 + \varepsilon_1 + \dots + \varepsilon_t = \sum_{j=1}^t \varepsilon_j$, logo concluímos que $X_t \sim \mathcal{N}(0, \sigma^2 t)$. Também,

$$X_t^2 = (X_{t-1} + \varepsilon_t)^2 = X_{t-1}^2 + \varepsilon_t^2 + 2X_{t-1}\varepsilon_t,$$

de onde obtemos

$$\begin{aligned} \sum_{t=1}^T X_{t-1} \varepsilon_t &= \frac{1}{2} \sum_{t=1}^T \{(X_t^2 - X_{t-1}^2 - \varepsilon_t^2)\}, \\ &= \frac{1}{2}(X_T^2 - X_0^2) - \frac{1}{2} \sum_{t=1}^T \varepsilon_t^2. \end{aligned}$$

Dividindo-se ambos os membros por $T\sigma^2$ teremos

$$\frac{1}{T\sigma^2} \sum_{t=1}^T X_{t-1}\varepsilon_t = \frac{1}{2} \left(\frac{X_T}{\sigma\sqrt{T}} \right)^2 - \frac{1}{2\sigma^2 T} \sum_{t=1}^T \varepsilon_t^2. \quad (A.2)$$

Mas $X_T/\sigma\sqrt{T} \sim \mathcal{N}(0, 1)$, logo $(X_T/\sigma\sqrt{T})^2$ tem uma distribuição $\chi^2(1)$, e como os ε_t são v.a. i.i.d., com $E(\varepsilon_t^2) = \sigma^2$, então pela lei fraca dos grandes números temos que

$$\frac{1}{T} \sum_{t=1}^T \varepsilon_t^2 \xrightarrow{P} \sigma^2. \quad (A.3)$$

Conclui-se por (A.2) e (A.3) que

$$\frac{1}{\sigma^2 T} \sum_{t=1}^T X_{t-1}\varepsilon_t \xrightarrow{\mathcal{D}} \frac{1}{2}(X - 1), \quad (A.4)$$

onde $X \sim \chi^2(1)$.

Vejamos o que acontece com o denominador de (A.1). Como ε_t são i.i.d., de média zero e variância σ^2 , podemos formar as somas (2.82), ou seja,

$$Y_T(r) = \frac{1}{T} \sum_{t=1}^{[Tr]} \varepsilon_t,$$

e então, de acordo com (2.83),

$$Y_T(r) = \begin{cases} 0, & \text{se } 0 \leq r < 1/T, \\ X_1/T, & \text{se } 1/T \leq r < 2/T, \\ \vdots \\ X_T/T, & \text{se } r = 1. \end{cases}$$

Lembremos que $Y_T(r)$ é uma função em escada, com valor X_j/T , para $j/T \leq r < (j+1)/T$.

Como consequência da definição 2.11 e do teorema da aplicação contínua, vimos que

$$S_T(r) = [\sqrt{T}Y_T(r)]^2 \xrightarrow{\mathcal{D}} \sigma^2[W(r)]^2, \quad (A.5)$$

onde $W(\cdot)$ é o movimento Browniano padrão. Mas

$$S_T(r) = \begin{cases} 0, & \text{se } 0 \leq r < 1/T \\ X_1^2/T, & \text{se } 1/T \leq r < 2/T \\ \vdots \\ X_T^2/T, & \text{se } r = 1. \end{cases}$$

Segue-se que

$$\int_0^1 S_T(r) dr = \frac{1}{T^2} \sum_{t=2}^T X_{t-1}^2,$$

e de (A.5) e novamente do teorema da aplicação contínua temos que

$$\frac{1}{T^2} \sum_{t=2}^T X_{t-1}^2 \xrightarrow{\mathcal{D}} \sigma^2 \int_0^1 [W(r)]^2 dr. \quad (A.6)$$

Como $T(\hat{\phi} - 1)$ é uma função contínua de (A.4) e (A.6) obtemos (4.12), lembrando que $W(1)^2 = \chi^2(1)$.

Prova do Teorema 4.2. Como $\hat{\tau}$ pode ser escrita como em (4.17) e $S^2 \xrightarrow{P} \sigma^2$, segue-se que

$$\hat{\tau} \xrightarrow{\mathcal{D}} \frac{\frac{1}{2}\sigma^2[W(1)^2 - 1]}{\left(\sigma^2 \int_0^1 W(r)^2 dr\right)^{1/2} (\sigma^2)^{1/2}},$$

que coincide com (4.18).

CAPÍTULO 5

Modelos para a Volatilidade

5.1 Introdução

Neste capítulo iremos estudar alguns modelos apropriados para séries financeiras que apresentam a variância condicional evoluindo no tempo. Vimos que os modelos lineares do tipo ARMA, por exemplo, admitem que as inovações sejam um ruído branco, com média zero e variância constante.

Há uma variedade muito grande de modelos não lineares disponíveis na literatura, mas nós iremos nos concentrar na classe de modelos ARCH (de *auto-regressive conditional heteroscedasticity*), introduzida por Engle (1982) e suas extensões. Esses modelos são não lineares no que se refere à variância, como veremos abaixo. Consideraremos, também, os chamados modelos de volatilidade estocástica, que também admitem que a volatilidade varie com o tempo, mas têm uma premissa diferente da dos modelos ARCH-GARCH.

Como dissemos acima, o objetivo será modelar a volatilidade de um retorno. A notação a ser usada é aquela estabelecida na seção 1.7. Consideremos uma série de retornos,

$$r_t = \ln(P_t) - \ln(P_{t-1}),$$

e sejam

$$\mu_t = E(r_t | \mathcal{F}_{t-1}), \quad h_t = \text{Var}(r_t | \mathcal{F}_{t-1}) \quad (5.1)$$

a média e variância condicional de r_t , onde \mathcal{F}_{t-1} denotará a informação até o instante $t-1$, que consideraremos ser $\{r_{t-1}, r_{t-2}, \dots, r_1\}$.

Em algumas situações iremos supor que $\mu_t = 0$, de modo que neste caso $h_t = E(r_t^2 | \mathcal{F}_{t-1})$.

Definimos no exemplo 2.3 o que seja um modelo linear; veja (2.52). Temos que o valor do processo no instante t depende de uma função linear de valores presentes e passados do ruído branco ε_t .

Na análise de modelos não lineares, as inovações (choques aleatórios) ε_t são em geral supostas i.i.d. e o modelo tem a forma

$$r_t = g(\varepsilon_{t-1}, \varepsilon_{t-2}, \dots) + \varepsilon_t h(\varepsilon_{t-1}, \varepsilon_{t-2}, \dots), \quad (5.2)$$

de modo que $g(\cdot)$ representa a média condicional e $h^2(\cdot)$ é a variância condicional. Se $g(\cdot)$ for não linear, o modelo diz-se *não linear na média*, enquanto se $h(\cdot)$ for não linear, o modelo diz-se *não linear na variância*.

O modelo

$$r_t = \varepsilon_t + \alpha \varepsilon_{t-1}^2,$$

é não linear na média, pois $g(\cdot) = \alpha \varepsilon_{t-1}^2$ e $h(\cdot) = 1$, ao passo que o modelo ARCH(1)

$$r_t = \varepsilon_t \sqrt{\alpha r_{t-1}^2}$$

é não linear na variância, pois $g(\cdot) = 0$ e $h(\cdot) = \sqrt{\alpha r_{t-1}^2}$, e r_{t-1} depende de ε_{t-1} .

5.2 Modelos ARCH

Os modelos ARCH, ou modelos autorregressivos com heteroscedasticidade condicional, foram introduzidos por Engle (1982), com o objetivo de estimar a variância da inflação. A ideia básica aqui é que o retorno r_t é não correlacionado serialmente, mas a volatilidade (variância condicional) depende de retornos passados por meio de uma função quadrática.

A Teoria dos Mercados Eficientes diz que os preços incorporam a informação disponível a todos os participantes do mercado, implicando que as variações de preços (retornos) não sejam previsíveis (Fama, 1970; Campbell et al., 1997). Há três formas de eficiência, dependendo da informação disponível aos participantes:

- (a) *eficiência fraca*: retornos não podem ser previstos a partir da história prévia dos preços;
- (b) *eficiência semi-forte*: o conjunto de informações inclui a história passada dos preços mais toda a informação pública disponível;

(c) *eficiência forte*: o conjunto de informações inclui toda a informação pública e privada.

Quando dizemos que os retornos não são previsíveis, queremos dizer que não podemos prever retornos “anormais”, isto é, retornos que não são previstos por um modelo suposto verdadeiro pelo mercado.

Eficiência fraca implica que os retornos sejam independentes ao longo do tempo, ou seja, um modelo adequado seria $r_t = \mu + \varepsilon_t$, com $\varepsilon_t \sim \text{i.i.d.}(0, \sigma^2)$, o que é muito restritivo. Os modelos ARCH permitem que os erros sejam não correlacionados, mas dependentes, ou seja, $\text{Cov}(r_t^2, r_{t-1}^2)$ pode ser não nula.

Definição 5.1. Um modelo $\text{ARCH}(m)$ é definido por

$$r_t = \sqrt{h_t} \varepsilon_t, \quad (5.3)$$

$$h_t = \alpha_0 + \alpha_1 r_{t-1}^2 + \dots + \alpha_m r_{t-m}^2, \quad (5.4)$$

onde ε_t i.i.d. com média zero, $\alpha_0 > 0$, $\alpha_i \geq 0$, $i = 1, \dots, m-1$, $\alpha_m > 0$.

Na prática, usualmente supomos $\varepsilon_t \sim \mathcal{N}(0, 1)$, $\varepsilon_t \sim t_\nu$ ou uma distribuição que descreva melhor as caudas pesadas de séries financeiras. Veja o apêndice a este capítulo para algumas sugestões adicionais. Os coeficientes α_i devem satisfazer certas condições, dependendo do tipo de imposição que colocarmos sobre o processo r_t .

Pela própria definição, valores grandes de r_t são seguidos por outros valores grandes da série.

Para investigar algumas propriedades dos modelos ARCH, consideremos o caso especial $m = 1$, ou seja, temos o modelo

$$r_t = \sqrt{h_t} \varepsilon_t, \quad (5.5)$$

$$h_t = \alpha_0 + \alpha_1 r_{t-1}^2, \quad (5.6)$$

com $\alpha_0 > 0$, $\alpha_1 > 0$.

Calculemos a média e variância incondicionais da série.

$$(i) E(r_t) = E\{E(r_t | \mathcal{F}_{t-1})\} = 0;$$

$$\begin{aligned} (ii) \text{Var}(r_t) &= E(r_t^2) = E\{E(r_t^2 | \mathcal{F}_{t-1})\} \\ &= E(\alpha_0 + \alpha_1 r_{t-1}^2) = \alpha_0 + \alpha_1 E(r_{t-1}^2). \end{aligned}$$

Se o processo $\{r_t\}$ for estacionário de segunda ordem, então, para todo t , $E(r_t^2) = E(r_{t-1}^2) = \text{Var}(r_t)$, do que decorre

$$\text{Var}(r_t) = \frac{\alpha_0}{1 - \alpha_1}. \quad (5.7)$$

Como $\text{Var}(r_t) > 0$, deveremos ter $0 < \alpha_1 < 1$.

$$\begin{aligned} (\text{iii}) \quad & \text{Cov}(r_t, r_{t+k}) = E(r_t r_{t+k}) \\ & = E[E(r_t r_{t+k} | \mathcal{F}_{t+k-1})] = E[r_t E(r_{t+k} | \mathcal{F}_{t+k-1})] \\ & = E[r_t E(\sqrt{h_{t+k}} \varepsilon_{t+k} | \mathcal{F}_{t+k-1})] = 0, \text{ para } k > 0, \\ & \text{pois } r_t \text{ está em } \mathcal{F}_{t+k-1} \text{ e } E(\varepsilon_{t+k} | \mathcal{F}_{t+k-1}) = 0. \end{aligned}$$

Dessa forma,

$$\gamma_r(k) = 0, \quad k \geq 1,$$

indicando que r_t é uma sequência de variáveis não correlacionadas (ruído branco), com média zero e variância dada por (5.7).

Sabemos que os retornos apresentam geralmente caudas longas, de modo que a curtose é maior do que 3. Para calcular a curtose, supondo que r_t siga o modelo (5.3)-(5.4), é necessário calcular o momento de quarta ordem de r_t . Suponha que os ε_t sejam normais, para facilidade de cálculo. Então temos:

$$E(r_t^4 | \mathcal{F}_{t-1}) = E(h_t^2 \varepsilon_t^4 | \mathcal{F}_{t-1}) = 3(\alpha_0 + \alpha_1 r_{t-1}^2)^2, \quad (5.8)$$

pois $E(\varepsilon_t^4) = 3$, do que decorre

$$E(r_t^4) = 3E(\alpha_0 + \alpha_1 r_{t-1}^2)^2 = 3E(\alpha_0^2 + 2\alpha_0\alpha_1 r_{t-1}^2 + \alpha_1^2 r_{t-1}^4).$$

Admitindo-se que o processo seja estacionário de quarta ordem, o momento de quarta ordem pode ser escrito $\mu_4 = E(r_t^4)$ e teremos

$$\begin{aligned} \mu_4 &= 3(\alpha_0^2 + 2\alpha_0\alpha_1 \text{Var}(r_t) + \alpha_1^2 \mu_4) \\ &= 3(\alpha_0^2 + 2\alpha_0\alpha_1[\alpha_0/(1 - \alpha_1)] + \alpha_1^2 \mu_4) \\ &= 3\alpha_0^2(1 + 2\alpha_1/(1 - \alpha_1)) + 3\alpha_1^2 \mu_4. \end{aligned}$$

Daqui obtemos, finalmente,

$$\mu_4 = \frac{3\alpha_0^2(1 + \alpha_1)}{(1 - \alpha_1)(1 - 3\alpha_1^2)}. \quad (5.9)$$

Supondo-se que momentos de quarta ordem sejam finitos e positivos, de (5.9) devemos ter $1 - 3\alpha_1^2 > 0$, ou seja, $0 \leq \alpha_1^2 < 1/3$. Portanto, quanto mais restrições impusermos ao processo de retornos, mais restrições teremos para os coeficientes do modelo. Isso é verdade para o modelo geral ARCH(m).

A curtose de r_t será, então, dada por

$$K = \frac{\mu_4}{[\text{Var}(r_t)]^2} = 3 \frac{\alpha_0^2(1 + \alpha_1)}{(1 - \alpha_1)(1 - 3\alpha_1^2)} \frac{(1 - \alpha_1)^2}{\alpha_0^2} = 3 \frac{1 - \alpha_1^2}{1 - 3\alpha_1^2} > 3. \quad (5.10)$$

Vemos, pois, que se admitirmos que r_t siga um modelo ARCH, as caudas serão mais pesadas do que as da normal, o que é uma propriedade vantajosa do modelo. Por outro lado, uma desvantagem do modelo é que trata retornos positivos e negativos de forma similar, já que quadrados dos retornos entram na fórmula da volatilidade. Na prática, sabe-se que a volatilidade reage de modo diferente a retornos positivos e negativos. Também, devido ao fato de termos retornos ao quadrado, alguns retornos grandes e isolados podem conduzir a superprevisões.

Pode-se mostrar (veja o Problema 16) que se $\varepsilon_t \sim t_\nu$, a curtose é dada por

$$K = \lambda \frac{1 - \alpha_1^2}{1 - \lambda \alpha_1^2}, \quad (5.11)$$

se $\alpha_1 < \sqrt{1/\lambda}$, onde $\lambda = 3(\nu - 2)/(\nu - 4)$ é a curtose da distribuição t_ν , que existe se $\nu > 4$. Nesse caso, as caudas são mais pesadas que no caso normal.

Utilizando (5.3) e (5.4) e calculando $r_t^2 - h_t$, temos que

$$r_t^2 - (\alpha_0 + \alpha_1 r_{t-1}^2) = h_t(\varepsilon_t^2 - 1),$$

ou seja,

$$r_t^2 = \alpha_0 + \alpha_1 r_{t-1}^2 + v_t, \quad (5.12)$$

na qual

$$v_t = h_t(\varepsilon_t^2 - 1) = h_t(X - 1). \quad (5.13)$$

Supondo $\varepsilon_t \sim N(0, 1)$, vemos que X é uma v.a. com distribuição $\chi^2(1)$, o que mostra que temos um modelo AR(1) para r_t^2 , mas com erros não gaussianos. Ainda, é fácil ver que $\{v_t\}$ é uma sequência de v.a. de média zero, não correlacionadas, mas com variância não constante.

De (5.12) temos que a f.a.c. de r_t^2 é dada por

$$\rho_{r^2}(k) = \alpha_1^k, \quad k > 0.$$

Para um modelo ARCH(m) teremos

$$r_t^2 = \alpha_0 + \sum_{i=1}^m \alpha_i r_{t-i}^2 + v_t, \quad (5.14)$$

onde os v_t são como no caso $m = 1$. Ou seja, temos um modelo AR(m) para r_t^2 , com inovações não gaussianas, se ε_t é gaussiano. Além disso, pode-se demonstrar que os retornos r_t também formam um ruído branco, com variância dada por

$$\text{Var}(r_t) = \frac{\alpha_0}{1 - \sum_{i=1}^m \alpha_i}.$$

Identificação

Um primeiro passo na construção de modelos ARCH é tentar ajustar modelos ARMA, para remover a correlação serial na série, se esta existir. Se esse for o caso, teremos

$$\phi(B)r_t = \theta_0 + \theta(B)a_t,$$

sendo que $a_t \sim \text{ARCH}(m)$. No que segue, quando nos referirmos a r_t , estaremos supondo ou que a série é não correlacionada, ou então ela é o resíduo da aplicação de um modelo ARMA à série original.

Para verificarmos se a série apresenta heteroscedasticidade condicional, podemos utilizar dois testes, examinando-se a série r_t^2 .

- (i) Teste de Box-Pierce-Ljung para r_t^2 . Veja a seção 3.4.2.
- (ii) Teste de multiplicadores de Lagrange (ML); veja Engle (1982). Queremos testar $H_0 : \alpha_i = 0$, para todo $i = 1, \dots, m$, na regressão

$$r_t^2 = \alpha_0 + \alpha_1 r_{t-1}^2 + \dots + \alpha_m r_{t-m}^2 + u_t,$$

para $t = m+1, \dots, T$. A estatística do teste é $S = TR^2$, que tem distribuição assintótica $\chi^2(m)$ sob H_0 . Aqui, R^2 é o quadrado do coeficiente de correlação múltipla da regressão acima. Um teste assintoticamente equivalente, que pode ter propriedades melhores para amostras pequenas, consiste em utilizar a estatística

$$F = \frac{(SQR_0 - SQR_1)/m}{SQR_1/(T - 2m - 1)} \sim F(m, T - 2m - 1), \quad (5.15)$$

na qual $SQR_0 = \sum_{t=m+1}^T (r_t^2 - \bar{r})^2$ e $SQR_1 = \sum_{t=m+1}^T \hat{u}_t^2$, com \bar{r} a média amostral dos r_t^2 e \hat{u}_t os resíduos de MQ da regressão acima. Se o valor de F for significativo, dizemos que há heteroscedasticidade condicional na série.

Dada a forma (5.4) de modelarmos a volatilidade e dado que r_t^2 é um estimador (não viesado) de h_t , o valor atual do quadrado do retorno depende de quadrados de retornos passados, comportamento similar a de um modelo autorregressivo. Segue-se que a função de auto correlação parcial de r_t^2 pode ser usada para encontrar a ordem r de um modelo ARCH(s).

Estimação

Os estimadores dos parâmetros do modelo são obtidos pelo método de máxima verossimilhança condicional. A função de verossimilhança é dada por

$$L(r_1, \dots, r_T | \boldsymbol{\alpha}) = f(r_T | \mathcal{F}_{T-1}) f(r_{T-1} | \mathcal{F}_{T-2}) \cdots f(r_{m+1} | \mathcal{F}_m) f(r_1, \dots, r_m | \boldsymbol{\alpha}),$$

e supondo normalidade dos ε_t podemos escrever

$$L(r_1, \dots, r_T | \boldsymbol{\alpha}) = \prod_{t=m+1}^T (\sqrt{2\pi h_t})^{-1} \exp\left\{-\frac{r_t^2}{2h_t}\right\} f(r_1, \dots, r_m | \boldsymbol{\alpha}).$$

Para T grande, $f(r_1, \dots, r_m | \boldsymbol{\alpha})$ pode ser desprezado. Veja Engle (1982) para detalhes. Logo temos que maximizar a função de verossimilhança condicional

$$L(r_{m+1}, \dots, r_T | \boldsymbol{\alpha}, r_1, \dots, r_m) = \prod_{t=m+1}^T (\sqrt{2\pi h_t})^{-1} \exp\left\{-\frac{r_t^2}{2h_t}\right\}, \quad (5.16)$$

onde a volatilidade h_t é obtida recursivamente.

No caso particular de um modelo ARCH(1), temos

$$L(r_2, \dots, r_T | \alpha_0, \alpha_1, r_1) = f(r_T | r_{T-1}) f(r_{T-1} | r_{T-2}) \cdots f(r_2 | r_1),$$

em que

$$(r_t | r_{t-1}) \sim \mathcal{N}(0, h_t),$$

e $h_t = \alpha_0 + \alpha_1 r_{t-1}^2$. Segue-se que

$$L(r_2, \dots, r_T | \alpha_0, \alpha_1, r_1) = (2\pi)^{-T/2} \prod_{t=2}^T (\alpha_0 + \alpha_1 r_{t-1}^2)^{-1/2} \exp\left\{\frac{-r_t^2}{2(\alpha_0 + \alpha_1 r_{t-1}^2)}\right\}.$$

A log-verossimilhança fica

$$\ell(r_2, \dots, r_T | \alpha_0, \alpha_1, r_1) \propto -\frac{1}{2} \sum_{t=2}^T \ln(\alpha_0 + \alpha_1 r_{t-1}^2) - \frac{1}{2} \sum_{t=2}^T \left(\frac{r_t^2}{\alpha_0 + \alpha_1 r_{t-1}^2} \right). \quad (5.17)$$

Se $\varepsilon_t \sim t_\nu$ (t de Student com ν graus de liberdade), a verossimilhança pode ser também escrita explicitamente. Em ambas as situações, algum procedimento não linear de otimização numérica terá que ser utilizado.

Os programas S+FinMetrics, EViews, R, RATS e PcGIVE, dentre outros, podem ser usados para estimar modelos ARCH (e GARCH em geral).

Verificação

Para um modelo ARCH(m), com ε_t normal ou t -Student, os resíduos

$$\tilde{r}_t = \frac{r_t}{\sqrt{h_t}}$$

(padronizados) são v.a. i.i.d. com distribuição normal padrão ou t -Student. Logo, uma maneira de verificar se o modelo é adequado é calcular a estatística Q de Ljung-Box, dada por (3.24), para a sequência \tilde{r}_t . Além disso, podemos calcular os coeficientes de assimetria e curtose estimados e fazer um gráfico Q×Q para avaliar a suposição de normalidade (ou t_ν).

Para se verificar se ainda existe heteroscedasticidade condicional nos resíduos, pode-se aplicar o teste ML para a sequência \tilde{r}_t^2 .

Previsão

As previsões para a volatilidade utilizando o modelo ARCH(m) dado em (5.3)-(5.4) são obtidas recursivamente. Assim,

$$\hat{h}_t(1) = \alpha_0 + \alpha_1 r_t^2 + \dots + \alpha_m r_{t-m+1}^2, \quad (5.18)$$

é a previsão de h_{t+1} , com origem fixada no instante t . As previsões ℓ passos à frente, com origem em t , são dadas por

$$\hat{h}_t(\ell) = \alpha_0 + \sum_{i=1}^m \alpha_i \hat{h}_t(\ell - i), \quad (5.19)$$

em que $\hat{h}_t(\ell - i) = r_{t+\ell-i}^2$, se $\ell - i \leq 0$.

Exemplo 5.1. Vamos ajustar um modelo ARCH aos retornos diários da Petrobras, com $T = 2998$ observações, série esta já estudada no exemplo 3.6. Lá, ajustamos um modelo AR(15), com termos de primeira, segunda, terceira, décima e décima quinta ordens significativos. Veja os exemplos 3.10 e 3.12. A função de autocorrelação parcial dos quadrados dos resíduos \hat{a}_t , da Figura 5.1, sugere um modelo ARCH(9).

Um primeiro modelo proposto, então, é

$$\begin{aligned} r_t &= \phi_1 r_{t-1} + \phi_2 r_{t-2} + \phi_3 r_{t-3} + \phi_{10} r_{t-10} + \phi_{15} r_{t-15} + a_t, \\ a_t &= \sqrt{h_t} \varepsilon_t, \\ h_t &= \alpha_0 + \alpha_1 a_{t-1}^2 + \alpha_2 a_{t-2}^2 + \dots + \alpha_9 a_{t-9}^2. \end{aligned}$$

(a) Assumindo $\varepsilon_t \sim \mathcal{N}(0, 1)$ e utilizando o programa EViews, obtemos que ϕ_2 não é significativamente diferente de zero. Embora o coeficiente α_4 seja não significativo, vamos mantê-lo no modelo. Obtemos o seguinte modelo ajustado:

$$\begin{aligned} r_t &= 0,090 r_{t-1} - 0,047 r_{t-3} + 0,058 r_{t-10} + 0,0323 r_{t-15} + a_t, \\ a_t &= \sqrt{h_t} \varepsilon_t, \\ h_t &= 0,0002 + 0,079 a_{t-1}^2 + 0,106 a_{t-2}^2 + \dots + 0,068 a_{t-9}^2. \end{aligned} \quad (5.20)$$

Os resultados estão no Quadro 5.1. A Figura 5.2 apresenta a f.a.c. dos resíduos e quadrados dos resíduos, indicando que o modelo é adequado para modelar a dependência linear entre sucessivos retornos e que a heteroscedasticidade condicional foi adequadamente modelada. As estatísticas usuais (Box-Pierce-Ljung para resíduos e quadrados dos resíduos, e estatística do teste de multiplicador de Lagrange) conduzem à mesma conclusão sobre a validade do modelo ajustado.

No gráfico da volatilidade da Figura 5.3, observamos que os maiores picos (em ordem cronológica) na volatilidade estimada correspondem a: (a) setembro de 1998, após a moratória na Rússia; (b) janeiro a abril de 1999, desvalorização do Real; (c) agosto de 2000, queda da bolsa Nasdaq, (d) novembro

de 2007, crise da sub-prime, nos EUA; (e) outubro a dezembro de 2008, crise internacional.

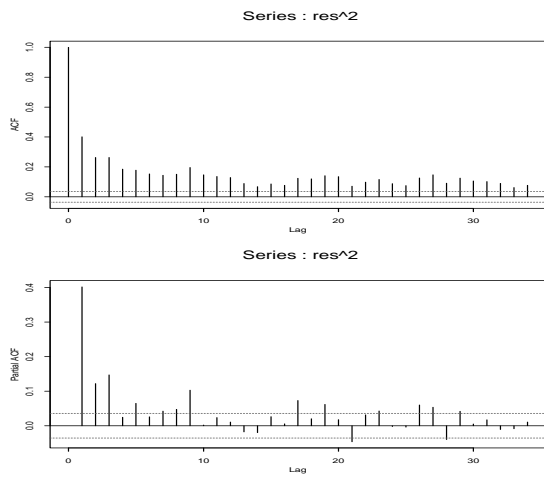


Figura 5.1: F.a.c. e f.a.c.p. dos quadrados dos resíduos \hat{a}_t , exemplo 5.5.

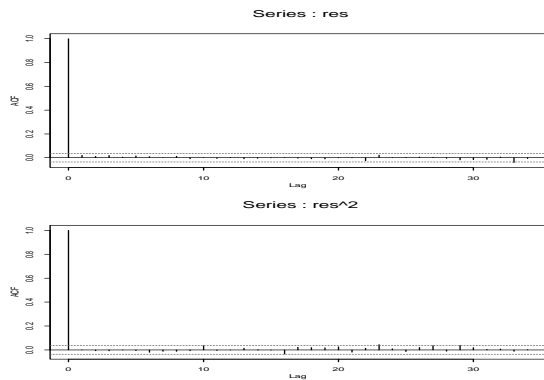


Figura 5.2: (a) F.a.c. dos resíduos; (b) f.a.c. dos quadrados dos resíduos.

Quadro 5.1: Ajuste de um modelo AR(15)-ARCH(9) aos retornos da Petrobras, erros normais.				
Coefficient	Value	Std. Error	z-Statistic	P-value.
AR(1)	0.090085	0.019066	4.724946	0.0000
AR(3)	-0.047380	0.018540	-2.555553	0.0106
AR(10)	0.057937	0.015812	3.664181	0.0002
AR(15)	0.032284	0.016055	2.010847	0.0443
Variance		Equation		
C	0.000191	1.30E-05	14.73652	0.0000
RESID(-1) ²	0.079356	0.015180	5.227592	0.0000
RESID(-2) ²	0.106033	0.021303	4.977412	0.0000
RESID(-3) ²	0.143646	0.020849	6.889890	0.0000
RESID(-4) ²	0.019102	0.016731	1.141720	0.2536
RESID(-5) ²	0.047102	0.017268	2.727660	0.0064
RESID(-6) ²	0.073929	0.017776	4.158840	0.0000
RESID(-7) ²	0.104454	0.016898	6.181589	0.0000
RESID(-8) ²	0.036162	0.013544	2.669978	0.0076
RESID(-9) ²	0.068166	0.020052	3.399508	0.0007
Adjusted R-squared	0.006271	S.D. dependent var	0.026506	
S.E. of regression	0.026423	Akaike info criterion	-4.736237	
Sum squared resid	2.072878	Schwarz criterion	-4.708074	
Log likelihood	7078.097	Hannan-Quinn criter.	-4.726104	
Durbin-Watson stat	2.009871			

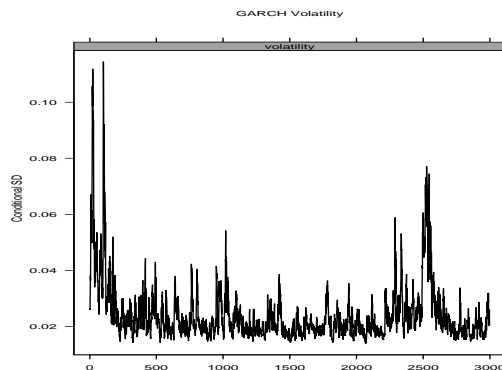


Figura 5.3: Estimativa da volatilidade dada pelo modelo (5.20) com erros gaussianos.

(b) Vamos supor, agora, que $\varepsilon_t \sim t_\nu$. Temos, no Quadro 5.2, obtido pelo EViews, os resultados do ajuste do mesmo modelo:

$$\begin{aligned} r_t &= 0,093r_{t-1} - 0,038r_{t-3} + 0,052r_{t-10} + 0,030r_{t-15} + a_t, \\ a_t &= \sqrt{h_t}\varepsilon_t, \\ h_t &= 0,0002 + 0,068a_{t-1}^2 + 0,113a_{t-2}^2 + \dots + 0,074a_{t-9}^2. \end{aligned} \quad (5.21)$$

As estatísticas usadas antes mostram que esse modelo ajustado é adequado. Para comparar esse modelo ajustado com o modelo (5.20), devemos comparar os valores AIC e BIC. Vemos que esses valores são menores do que os fornecidos quando consideramos os erros normais. A estimativa da volatilidade é bastante semelhante à Figura 5.3, que considera inovações gaussianas.

Quadro 5.2: Ajuste de um modelo AR(15)-ARCH(9) aos retornos da Petrobras, com erros t .

Coefficient	Value	Std. Error	z-Statistic	P-value.
AR(1)	0.093314	0.018684	4.994193	0.0000
AR(3)	-0.037607	0.018927	-1.986933	0.0469
AR(10)	0.052384	0.015813	3.312695	0.0009
AR(15)	0.029618	0.015692	1.887460	0.0591
	Variance	Equation		
C	0.000195	1.88E-05	10.38501	0.0000
RESID(-1) ²	0.068364	0.022184	3.081641	0.0021
RESID(-2) ²	0.113265	0.027940	4.053827	0.0001
RESID(-3) ²	0.145549	0.030012	4.849665	0.0000
RESID(-4) ²	0.030873	0.022473	1.373785	0.1695
RESID(-5) ²	0.054656	0.023227	2.353132	0.0186
RESID(-6) ²	0.060621	0.023776	2.549614	0.0108
RESID(-7) ²	0.099329	0.025418	3.907819	0.0001
RESID(-8) ²	0.027099	0.019363	1.399475	0.1617
RESID(-9) ²	0.073774	0.026047	2.832301	0.0046
R-squared	0.010207	Mean dependent	var	0.001146
Adjusted R-squared	0.005538	S.D. dependent var		0.026506
S.E. of regression	0.026433	Akaike info criterion		-4.760212
Sum squared resid	2.073708	Schwarz criterion		-4.730037
Log likelihood	7114.856	Hannan-Quinn criter.		-4.749355
Durbin-Watson stat	2.014829			

5.3 Modelos GARCH

Uma generalização dos modelos ARCH foi sugerida por Bollerslev (1986, 1987, 1988), o chamado modelo GARCH (de *generalized ARCH*). Vimos que um modelo ARMA pode ser mais parcimonioso, no sentido de apresentar menos parâmetros do que um modelo AR ou MA puro. Do mesmo modo, um modelo GARCH pode ser usado para descrever a volatilidade com menos parâmetros do que um modelo ARCH.

Definição 5.2. Um modelo $GARCH(m, n)$ é definido por

$$r_t = \sqrt{h_t} \varepsilon_t \quad (5.22)$$

$$h_t = \alpha_0 + \sum_{i=1}^m \alpha_i r_{t-i}^2 + \sum_{j=1}^n \beta_j h_{t-j}, \quad (5.23)$$

em que ε_t são v.a. i.i.d., com média zero, $\alpha_0 > 0$, $\alpha_i \geq 0$, $i = 1, \dots, m-1$, $\beta_j \geq 0$, $j = 1, \dots, n-1$, $\alpha_m > 0$, $\beta_n > 0$, $\sum_{i=1}^q (\alpha_i + \beta_i) < 1$, $q = \max(m, n)$.

Coeficientes positivos dão uma condição suficiente, mas não necessária, para que $h_t > 0$. Para condições gerais, veja Nelson e Cao (1992).

Como no caso de modelos ARCH, usualmente supomos que os ε_t são normais ou seguem uma distribuição t de Student, ou ainda, uma distribuição de erro generalizada.

Chamemos

$$\nu_t = r_t^2 - h_t, \quad (5.24)$$

de modo que, substituindo em (5.23) obtemos

$$r_t^2 = \alpha_0 + \sum_{i=1}^q (\alpha_i + \beta_i) r_{t-i}^2 + \nu_t - \sum_{j=1}^n \beta_j \nu_{t-j}, \quad (5.25)$$

ou seja, temos um modelo ARMA(q, n) para r_t^2 , mas ν_t não é, em geral, um processo i.i.d. Na realidade, ν_t é uma diferença martingale, no sentido da definição 2.12, pois, para todo t ,

$$E(\nu_t) = E(r_t^2 - h_t) = E(h_t \varepsilon_t^2 - h_t) = E(h_t)(E(\varepsilon_t^2) - 1) = 0,$$

$$E(\nu_t | \mathcal{F}_{t-1}) = E(r_t^2 | \mathcal{F}_{t-1}) - E(h_t | \mathcal{F}_{t-1}) = h_t - h_t = 0.$$

Segue-se, em particular, que

$$E(r_t^2) = \frac{\alpha_0}{1 - \sum_{i=1}^q (\alpha_i + \beta_i)}.$$

A longo prazo, a volatilidade convergirá para essa média.

Um modelo bastante usado na prática é o GARCH(1, 1), para o qual a volatilidade é expressa como

$$h_t = \alpha_0 + \alpha_1 r_{t-1}^2 + \beta_1 h_{t-1}, \quad (5.26)$$

com $0 < \alpha_1, \beta_1 < 1, \alpha_1 + \beta_1 < 1$.

Para os modelos GARCH temos as mesmas vantagens e desvantagens dos modelos ARCH. Volatilidades altas são precedidas de retornos ou volatilidades grandes, observando-se os grupos de volatilidades presentes em séries financeiras.

Para o modelo (5.26) obtemos facilmente

$$K = \frac{E(r_t^4)}{[E(r_t^2)]^2} = \frac{3[1 - (\alpha_1 + \beta_1)^2]}{1 - (\alpha_1 + \beta_1)^2 - 2\alpha_1^2} > 3, \quad (5.27)$$

dado que o denominador seja positivo, o que novamente mostra que se r_t segue um modelo GARCH, as caudas de r_t serão mais longas do que as da normal.

A identificação da ordem de um modelo GARCH a ser ajustado a uma série real usualmente é difícil. Recomenda-se o uso de modelos de ordem baixa, como (1,1), (1,2), (2,1) ou (2,2), e depois que se escolha o modelo com base em vários critérios, como AIC ou BIC, valores da assimetria e curtose, da log-verossimilhança e de alguma função perda, como

$$\sum_{t=1}^T (r_t^2 - h_t)^2.$$

Veja Mills (1999), Pagan e Schwert (1990) e Bollerslev et al. (1994).

Os estimadores dos parâmetros do modelo (5.22)-(5.23) são obtidos pelo método de máxima verossimilhança condicional. Supondo normalidade dos ε_t , temos que a log-verossimilhança, condicional às primeiras m observações, é dada por

$$\ell(r_{m+1}, \dots, r_T | \boldsymbol{\alpha}, \boldsymbol{\beta}, r_1, \dots, r_m) \propto -\frac{1}{2} \sum_{t=m+1}^T \ln(h_t) - \frac{1}{2} \sum_{t=m+1}^T \frac{r_t^2}{h_t}. \quad (5.28)$$

Bollerslev (1986) utiliza em (5.28), $h_t = \hat{\sigma}^2, t = 1, \dots, n$, com $\hat{\sigma}^2 = \sum_{t=1}^T r_t^2/T$.

As estimativas dos parâmetros são obtidas por meio de métodos numéricos de maximização.

Previsões da volatilidade, usando um modelo GARCH, podem ser calculadas de forma similar àquelas de modelo ARMA. As previsões, com origem t , considerando um modelo GARCH(1, 1) da forma (5.26), são dadas por

$$\hat{h}_t(1) = \alpha_0 + \alpha_1 r_t^2 + \beta_1 h_t,$$

e para $\ell > 1$,

$$\begin{aligned}\hat{h}_t(\ell) &= \alpha_0 + \alpha_1 \hat{r}_t^2(\ell - 1) + \beta_1 \hat{h}_t(\ell - 1), \\ &= \alpha_0 + \alpha_1 \hat{h}_t(\ell - 1) \hat{\varepsilon}_t^2(\ell - 1) + \beta_1 \hat{h}_t(\ell - 1),\end{aligned}$$

pois $r_t = \sqrt{h_t} \varepsilon_t$. Substituindo $\hat{\varepsilon}_t^2(\ell - 1)$ por $E(\varepsilon_{t+\ell-1}^2) = 1$, temos que

$$\hat{h}_t(\ell) = \alpha_0 + (\alpha_1 + \beta_1) \hat{h}_t(\ell - 1), \quad \ell > 1. \quad (5.29)$$

Em muitas situações práticas podemos obter, por exemplo no GARCH(1,1), $\alpha_1 + \beta_1$ próximo de um. Se a soma desses parâmetros for um, teremos o modelo IGARCH (“integrated GARCH”). Nesse caso, teremos

$$\begin{aligned}r_t &= \sqrt{h_t} \varepsilon_t, \\ h_t &= \alpha_0 + \beta_1 h_{t-1} + (1 - \beta_1) r_{t-1}^2,\end{aligned}$$

com $0 < \beta_1 < 1$. Mas nesse caso, a variância incondicional de r_t não estará definida.

Exemplo 5.2. Vamos ajustar um modelo GARCH à série de retornos diárias do Ibovespa (veja o exemplo 1.1). A Figura 5.4 reapresenta a f.a.c. e f.a.c.p. da série, que indicam que um modelo apropriado é um autorregressivo, pois algumas autocorrelações parciais são significativas. Analisando a f.a.c. e f.a.c.p. dos quadrados dos retornos, Figura 5.5, vemos uma forte dependência, sem um padrão bem definido.

(a) Iremos usar, então, um modelo AR(10)-GARCH(1,1), com erros gaussianos. Eliminando os coeficientes não significativos, o modelo ajustado foi

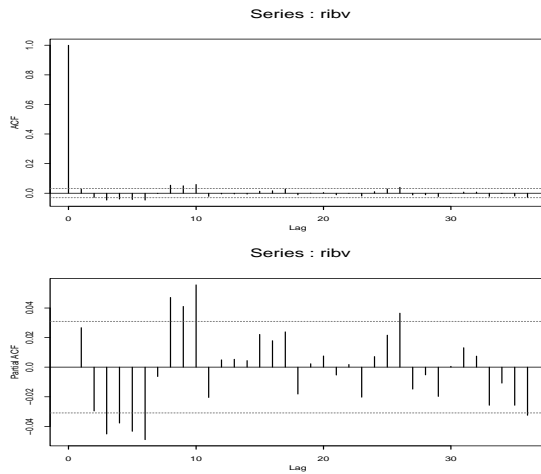


Figura 5.4: F.a.c. e f.a.c.p. dos retornos do Ibovespa

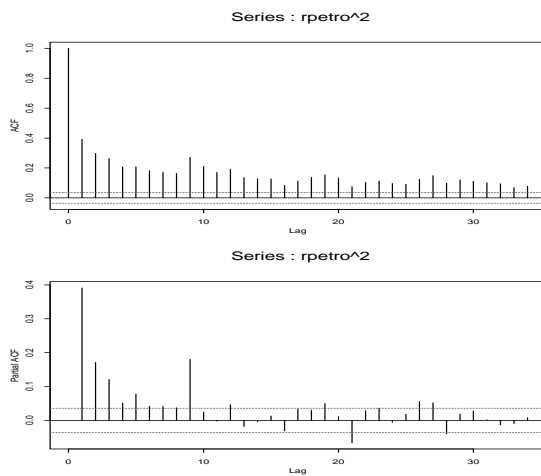


Figura 5.5: F.a.c. e f.a.c.p. dos quadrados dos retornos do Ibovespa

$$\begin{aligned} r_t &= 0,051r_{t-10} + a_t, \\ a_t &= \sqrt{h_t}\varepsilon_t, \\ h_t &= 0,000014 + 0,117a_{t-1}^2 + 0,857h_{t-1}. \end{aligned} \tag{5.30}$$

O ajustamento do modelo é apresentado no Quadro 5.3. Os valores da estatística de Ljung-Box para os resíduos padronizados, \tilde{a}_t , são dados por $Q(10)=13,103$ ($P=0,16$) e $Q(20)=19,834$ ($P=0,41$), enquanto que, para os

quadrados dos resíduos padronizados, temos $Q(10)=13,34$ ($P=0,15$) e $Q(20)=22,451$ ($P=0,26$). Logo, podemos concluir que o modelo (5.30) é adequado para modelar a série.

A aplicação do teste ML, com $p = 12$, para confirmar a ausência de heteroscedasticidade condicional nos resíduos do modelo (5.30) forneceu $F = 1,167$ ($P = 0,30$). Apresentamos, na Figura 5.6, a estimativa do desvio padrão condicional ($\sqrt{h_t}$) dos retornos.

(b) Consideremos, agora, o caso $\varepsilon_t \sim t_\nu$. No Quadro 5.4 temos o ajuste do modelo usando o software **S+FinMetrics**, resultando

$$\begin{aligned} r_t &= 0,055r_{t-10} + a_t, \\ a_t &= \sqrt{h_t}\varepsilon_t, \\ h_t &= 0,000010 + 0,097a_{t-1}^2 + 0,883h_{t-1}. \end{aligned} \quad (5.31)$$

Quadro 5.3: Ajuste de um modelo AR(10)-GARCH(1,1) aos retornos do Ibovespa, com erros gaussianos.

Coefficient	Value	Std. Error	z-Statistic	P-value.
AR(10)	0.050503	0.015146	3.334394	0.0009
Variance		Equation		
C	1.40E-05	1.94E-06	7.227228	0.0000
RESID(-1) ²	0.117340	0.006915	16.96882	0.0000
GARCH(-1)	0.856673	0.009128	93.84808	0.0000
R-squared	0.002675	Mean dependent var		0.000709
Adjusted R-squared	0.001928	S.D. dependent var		0.023967
S.E. of regression	0.023944	Akaike info criterion		-4.960518
Sum squared resid	2.295532	Schwarz criterion		-4.954235
Log likelihood	9944.879	Hannan-Quinn criter.		-4.958291
Durbin-Watson stat	1.949702			

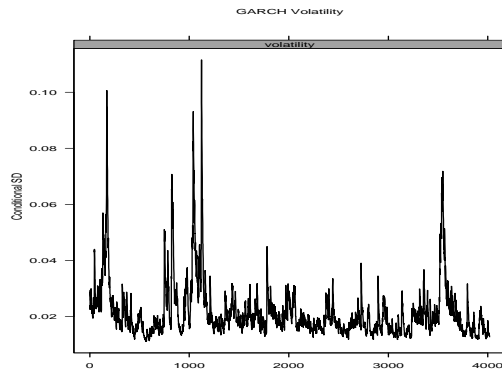


Figura 5.6: Estimativa do desvio padrão condicional para os retornos do Ibovespa usando o modelo (5.30) com erros gaussianos.

Os valores das estatísticas de Ljung-Box (e p-valores), tanto para os resíduos como para os quadrados dos resíduos, indicam que o modelo é adequado para descrever o comportamento da série. Comparando os valores dos critérios AIC e BIC, concluímos que o modelo com inovações t está melhor ajustado que o modelo com inovações gaussianas. A estimativa da volatilidade resulta ser similar à apresentada na Figura 5.6.

Quadro 5.4: Ajuste de um modelo AR(10)-GARCH (1,1) aos retornos do Ibovespa, erros t .

Coefficient	Value	Std. Error	z-Statistic	P-value.
AR(10)	0.054719	0.015158	3.609852	0.0003
Variance Equation				
C	1.04E-05	2.24E-06	4.653245	0.0000
RESID(-1) ²	0.096692	0.010422	9.277384	0.0000
GARCH(-1)	0.883069	0.012169	72.56551	0.0000
R-squared	0.002740	Mean dependent	var	0.000709
Adjusted R-squared	0.001743	S.D. dependent var		0.023967
S.E. of regression	0.023946	Akaike info criterion		-4.990006
Sum squared resid	2.295383	Schwarz criterion		-4.982152
Log likelihood	10004.97	Hannan-Quinn criter.		-4.987223
Durbin-Watson stat	1.949938			

5.4 Extensões do Modelo GARCH

Há uma literatura muito grande sobre extensões dos modelos ARCH-GARCH. Nesta seção vamos nos concentrar apenas em alguns. No que segue

faremos a exposição para extensões do modelo GARCH(1,1).

5.4.1 Modelos EGARCH

Vimos que os modelos ARCH e GARCH tratam simetricamente os retornos, pois a volatilidade é uma função quadrática dos mesmos. Mas também é sabido que a volatilidade reage de forma assimétrica aos retornos, tendendo a ser maior para retornos negativos.

Tendo em vista o exposto, Nelson (1991) introduziu os modelos EGARCH (*exponential GARCH*).

Definição 5.3. Um modelo EGARCH(1,1) é dado por

$$r_t = \sqrt{h_t} \varepsilon_t, \quad (5.32)$$

$$\ln(h_t) = \alpha_0 + \alpha_1 g(\varepsilon_{t-1}) + \beta_1 \ln(h_{t-1}), \quad (5.33)$$

em que ε_t são v.a. i.i.d. com média zero e $g(\cdot)$ é a curva de impacto de informação, dada por

$$g(\varepsilon_t) = \theta \varepsilon_t + \gamma \{ |\varepsilon_t| - E(|\varepsilon_t|) \}. \quad (5.34)$$

Aqui, θ e γ são parâmetros reais, e $|\varepsilon_t| - E(|\varepsilon_t|)$ é uma sequência de v.a. i.i.d. com média zero.

Note que $E\{g(\varepsilon_t)\} = 0$ e podemos escrever

$$g(\varepsilon_t) = \begin{cases} (\theta + \gamma) \varepsilon_t - \gamma E(|\varepsilon_t|), & \text{se } \varepsilon_t \geq 0 \\ (\theta - \gamma) \varepsilon_t - \gamma E(|\varepsilon_t|), & \text{se } \varepsilon_t < 0. \end{cases} \quad (5.35)$$

Para que retornos negativos tenham maior impacto na volatilidade, esperamos $\gamma < 0$. Para uma normal padrão, não é difícil ver que $E(|\varepsilon_t|) = \sqrt{2/\pi}$.

Esta assimetria permite que a volatilidade responda mais rapidamente a retornos negativos do que a positivos, fato este conhecido como “efeito alavancagem”.

No caso geral, a equação (5.33) para um EGARCH (m, n) fica

$$\ln(h_t) = \alpha_0 + \frac{1 + b_1 B + \dots + b_n B^n}{1 - a_1 B - \dots - a_m B^m} g(\varepsilon_{t-1}),$$

onde os operadores em B têm raízes fora do círculo unitário. Note que em (5.33) e no modelo geral usamos o logaritmo de h_t , o que implica que os coeficientes do modelo não necessitam ser não negativos.

O modelo mais simples é o EGARCH(1,0), que pode ser escrito

$$\ln(h_t) = \alpha_0 + \frac{g(\varepsilon_{t-1})}{1 - \alpha_1 B} g(\varepsilon_{t-1}).$$

Se usarmos o **EViews** para estimar modelos, esse software considera o modelo EGARCH na forma:

$$\ln(h_t) = w + \beta \ln(h_{t-1}) + \alpha \left| \frac{r_{t-1}}{\sqrt{h_{t-1}}} \right| + \gamma \frac{r_{t-1}}{\sqrt{h_{t-1}}}. \quad (5.36)$$

O **S+FinMetrics** usa uma especificação similar. Quando $\gamma \neq 0$ o efeito assimétrico deve ser incorporado ao modelo GARCH. Observe também que podemos escrever ε_t no lugar de $r_t/\sqrt{h_t}$ nas fórmulas acima.

Exemplo 5.3. A série de retornos diárias da Petrobras já foi analisada no exemplo 5.1, no qual ajustamos um modelo AR(15)-ARCH(9). Um modelo AR(15)-GARCH(1,1) com erros gaussianos também pode ser ajustado, resultando

$$\begin{aligned} r_t &= 0,086r_{t-1} - 0,042r_{t-3} + 0,048r_{t-10} + 0,042r_{t-15} + a_t, \\ a_t &= \sqrt{h_t}\varepsilon_t, \quad \varepsilon_t \sim \mathcal{N}(0, 1) \\ h_t &= 0,000015 + 0,082a_{t-1}^2 + 0,890h_{t-1}. \end{aligned} \quad (5.37)$$

Esses dois modelos tratam simetricamente os retornos. Vamos agora ajustar um modelo EGARCH(1,1), verificando se um efeito assimétrico deve ser incorporado ao modelo anterior. Usando o **EViews**, obtemos

$$\begin{aligned} r_t &= 0,097r_{t-1} - 0,033r_{t-3} + 0,057r_{t-10} + 0,050r_{t-15} + a_t, \\ a_t &= \sqrt{h_t}\varepsilon_t, \quad \varepsilon_t \sim \mathcal{N}(0, 1) \\ \ln h_t &= -0,375 + 0,967 \ln h_{t-1} + 0,163|\varepsilon_{t-1}| - 0,079\varepsilon_{t-1}, \end{aligned} \quad (5.38)$$

A análise dos resultados revela que $\gamma \neq 0$ e que o efeito assimétrico deve ser incorporado ao modelo. O teste de Ljung-Box aplicado aos resíduos e aos quadrados dos resíduos indicam que os resíduos não são correlacionados e não apresentam heteroscedasticidade condicional. Essa última afirmação pode também ser comprovada pela aplicação do teste ML aos quadrados dos resíduos.

A estimativa do desvio padrão condicional encontra-se na Figura 5.7.

Para comparar os três modelos, (5.20), (5.37) e (5.38), ajustados aos retornos da Petrobras, apresentamos na Tabela 5.1, os valores de alguns critérios de ajustamentos, a saber, AIC, BIC e log-verossimilhança. Por esses resultados, podemos dizer que o modelo AR(15)-EGARCH(1,1) ajusta melhor a série, pois apresenta o max (log-verossimilhança), min(AIC) e min(BIC).

Tabela 5.1: Valores mínimos de AIC, BIC e máximos da log-verossimilhança para os modelo ajustados aos retornos da Petrobras.

Modelo	AR(15)+ ARCH(9)	AR(15)+ GARCH(1,1)	AR(15)+ EGARCH(1,1)
log-verossim.	7078,097	7082,285	7110,447
AIC	-4,7362	-4,7437	-4,7619
BIC	-4,7081	-4,7297	-4,7458

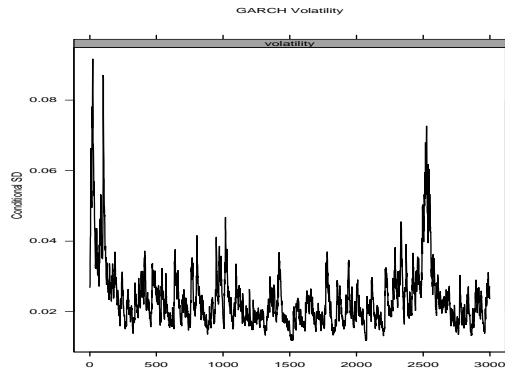


Figura 5.7: Estimativa do desvio padrão condicional para os retornos da Petrobras usando o modelo (5.38)

5.4.2 Modelos TGARCH

O modelo TGARCH (“threshold GARCH”) é um caso particular do modelo ARCH não linear, e a volatilidade agora segue a forma funcional

$$h_t^\gamma = \alpha_0 + \alpha_1 g^{(\gamma)}(\varepsilon_{t-1}) + \beta_1 h_{t-1}^\gamma,$$

em que

$$g^{(\gamma)}(\varepsilon_t) = \theta I_{\{\varepsilon_t > 0\}} |\varepsilon_t|^\gamma + (1 - \theta) I_{\{\varepsilon_t \leq 0\}} |\varepsilon_t|^\gamma.$$

Para $\gamma = 1$ temos o modelo de Zakoian (1994) e para $\gamma = 2$ o modelo GJR (de Glosten, Jagannathan and Runkle, 1993).

O EViews e o S+FinMetrics usam a formulação

$$h_t = w + \alpha r_{t-1}^2 + \gamma r_{t-1}^2 d_{t-1} + \beta h_{t-1},$$

com

$$d_t = \begin{cases} 1, & \text{se } r_t < 0 \text{ ("bad news")} \\ 0, & \text{se } r_t \geq 0 \text{ ("good news").} \end{cases}$$

Se $\gamma \neq 0$, há um impacto de informação assimétrica. Esperamos que $\gamma > 0$ para que "bad news" tenha um impacto maior.

Exemplo 5.4. Considere a série de retornos diários da Vale, no período de 31/08/1998 a 29/09/2010. Não é difícil verificar que um modelo AR(3)-GARCH(1,1) é adequado para descrevê-la. Verificaremos se existe impacto de informação assimétrica, ajustando um modelo AR(3)-TGARCH(1,1) com erros gaussianos aos retornos. O modelo ajustado é

$$\begin{aligned} r_t &= -0,051r_{t-3} + a_t, \\ a_t &= \sqrt{h_t} \varepsilon_t, \quad \varepsilon_t \sim \mathcal{N}(0, 1) \\ h_t &= 0,00013 + 0,044a_{t-1}^2 + 0,063a_{t-1}^2 d_{t-1} + 0,910h_{t-1}, \end{aligned} \tag{5.39}$$

com d_t dado acima.

Analizando os resultados, notamos que todos os parâmetros são significativos, incluindo o parâmetro γ , indicando presença de informação assimétrica. Os testes Ljung-Box e ML indicam que as suposições do modelo estão verificadas. Uma comparação dos critérios AIC e BIC mostra que o modelo assimétrico ajusta-se melhor que o simétrico. Uma figura similar à Figura 5.7 é obtida para o desvio padrão condicional, $\sqrt{h_t}$.

5.5 Modelos de Volatilidade Estocástica

Os modelos da família ARCH supõem que a variância condicional depende de retornos passados. O modelo de volatilidade estocástica (MVE), primeiro proposto por Taylor (1980, 1982, 2008) não faz essa suposição. Esse modelo tem como premissa o fato de que a volatilidade presente depende de seus valores passados, mas é independente dos retornos passados.

Mudando um pouco a notação, denotemos agora a variância condicional por σ_t^2 , ou seja, $\sigma_t^2 = E(r_t^2 | \mathcal{F}_{t-1})$.

Definição 5.4. Dizemos que a série r_t segue um modelo de volatilidade estocástica se

$$r_t = \sigma_t \varepsilon_t, \quad (5.40)$$

$$\sigma_t = e^{h_t/2}, \quad (5.41)$$

em que ε_t é uma sequência estacionária, com média zero e h_t é uma sequência estacionária, com densidade de probabilidade $f(h)$.

A formulação mais simples do modelo, dada por Taylor (1982), supõe que o logaritmo da volatilidade, $h_t = \log \sigma_t^2$, seja dado por

$$h_t = \alpha_0 + \alpha_1 h_{t-1} + \eta_t, \quad (5.42)$$

na qual η_t é uma sequência estacionária gaussiana, de média zero e variância σ_η^2 , independente de ε_t . Segue-se que devemos ter $|\alpha_1| < 1$.

Outras formulações do MVE foram apresentadas na literatura, dentre as quais destacamos as seguintes.

(1) Forma canônica de Kim et al. (1998).

Aqui, o MVE é escrito na forma

$$r_t = \beta e^{h_t/2} \varepsilon_t, \quad (5.43)$$

$$h_{t+1} = \mu + \alpha_1(h_t - \mu) + \sigma_\eta \eta_t, \quad (5.44)$$

com

$$h_t \sim \mathcal{N}\left(\mu, \frac{\sigma_\eta^2}{1 - \alpha_1^2}\right),$$

sendo $\varepsilon_t, \eta_t \sim \mathcal{N}(0, 1)$, e se $\beta = 1$, então $\mu = 0$.

(2) Formulação de Jaquier et al. (1994), na qual

$$r_t = \sqrt{h_t} \varepsilon_t, \quad (5.45)$$

$$\ln(h_t) = \alpha_0 + \alpha_1 \ln(h_{t-1}) + \sigma_\eta \eta_t. \quad (5.46)$$

Sabemos que se $\varepsilon_t \sim \mathcal{N}(0, 1)$, então $\ln(\varepsilon_t^2)$ tem uma distribuição chamada *log-qui-quadrado*, de tal sorte que

$$\begin{aligned} E(\ln(\varepsilon_t^2)) &\simeq -1,27 \\ \text{Var}(\ln(\varepsilon_t^2)) &= \pi^2/2. \end{aligned}$$

De (5.40) e (5.42) obtemos

$$\ln(r_t^2) = \ln(\sigma_t^2) + \ln(\varepsilon_t^2), \quad (5.47)$$

$$h_t = \ln(\sigma_t^2) = \alpha_0 + \alpha_1 h_{t-1} + \eta_t. \quad (5.48)$$

Chamando $\xi_t = \ln(\varepsilon_t^2) - E(\ln(\varepsilon_t^2)) \simeq \ln(\varepsilon_t^2) + 1,27$, temos que $E(\xi_t) = 0$, $\text{Var}(\xi_t) = \pi^2/2$ e

$$\ln(r_t^2) = -1,27 + h_t + \xi_t, \quad \xi_t \sim \text{i.i.d. } (0, \pi^2/2), \quad (5.49)$$

$$h_t = \alpha_0 + \alpha_1 h_{t-1} + \eta_t, \quad \eta_t \sim \text{i.i.d. } \mathcal{N}(0, \sigma_\eta^2). \quad (5.50)$$

Aqui, supomos ξ_t e η_t independentes.

Propriedades

Vamos calcular agora alguns parâmetros associados ao MVE, considerando-se a forma (5.42):

(i) $E(r_t) = E(\sigma_t \varepsilon_t) = E(\sigma_t)E(\varepsilon_t) = 0$, dado que σ_t e ε_t são independentes.

(ii) $\text{Var}(r_t) = E(r_t^2) = E(\sigma_t^2 \varepsilon_t^2) = E(\sigma_t^2)E(\varepsilon_t^2) = E(\sigma_t^2)$.

Dado que supusemos $\eta_t \sim \mathcal{N}(0, \sigma_\eta^2)$, e h_t estacionário, com $\mu_h = E(h_t) = \alpha_0/(1 - \alpha_1)$, $\sigma_h^2 = \text{Var}(h_t) = \sigma_\eta^2/(1 - \alpha_1^2)$, então obtemos

$$h_t \sim \mathcal{N}\left(\frac{\alpha_0}{1 - \alpha_1}, \frac{\sigma_\eta^2}{1 - \alpha_1^2}\right). \quad (5.51)$$

Como h_t é normal, σ_t^2 é log-normal, logo temos

$$E(r_t^2) = E(\sigma_t^2) = e^{\mu_h + \sigma_h^2/2}.$$

Não é difícil mostrar que

$$E(r_t^4) = 3e^{2\mu_h + 2\sigma_h^2},$$

da qual obtemos a curtose

$$K = \frac{3e^{2\mu_h+2\sigma_h^2}}{e^{2\mu_h+\sigma_h^2}} = 3e^{\sigma_h^2} > 3, \quad (5.52)$$

como deveríamos esperar, ou seja, caudas longas sob o MVE.

(iii) A função de autocovariância da série r_t é dada por

$$\gamma_r(u) = E(r_t r_{t+u}) = E(\sigma_t \sigma_{t+u} \varepsilon_t \varepsilon_{t+u}) = 0,$$

pois ε_t e η_t são independentes. Logo r_t é serialmente não correlacionada, mas não independente, pois existe correlação em $\ln(r_t^2)$. Denotando-se $Y_t = \ln(r_t^2)$, então a autocovariância de Y_t é dada por

$$\gamma_Y(u) = E[(Y_t - E(Y_t))(Y_{t+u} - E(Y_{t+u}))].$$

Como o primeiro termo entre parênteses igual a $h_t - E(h_t) + \xi_t$ e h_t é independente de ξ_t , obtemos que

$$\begin{aligned} \gamma_Y(u) &= E[(h_t - E(h_t) + \xi_t)(h_{t+u} - E(h_{t+u}) + \xi_{t+u})] \\ &= E[(h_t - E(h_t))(h_{t+u} - E(h_{t+u})) + E(\xi_t \xi_{t+u})], \end{aligned}$$

e chamando as autocovariâncias do segundo membro de $\gamma_h(\cdot)$ e $\gamma_\xi(\cdot)$, respectivamente, teremos

$$\gamma_Y(u) = \gamma_h(u) + \gamma_\xi(u),$$

para todo u .

Como estamos supondo (5.42), ou seja, um AR(1), temos que

$$\gamma_h(u) = \alpha_1^u \frac{\sigma_\eta^2}{1 - \alpha_1^2}, \quad u > 0,$$

enquanto que $\gamma_\xi(u) = 0$, para $u > 0$. Logo, $\gamma_Y(u) = \gamma_h(u)$, para todo $u \neq 0$, e podemos escrever a função de autocorrelação de Y_t como

$$\rho_Y(u) = \frac{\gamma_Y(u)}{\gamma_Y(0)} = \frac{\alpha_1^u \sigma_\eta^2 / (1 - \alpha_1^2)}{\gamma_h(0) + \gamma_\xi(0)}, \quad u > 0,$$

do que obtemos

$$\rho_Y(u) = \frac{\alpha_1^u}{1 + \pi^2 / 2\sigma_h^2}, \quad u > 0, \quad (5.53)$$

que tende a zero exponencialmente a partir do lag 2, o que indica que $Y_t = \ln(r_t^2)$ pode ser modelada por um modelo ARMA(1, 1).

Na prática, obtemos valores de α_1 próximos de um, o que implica o aparecimento de altas correlações para volatilidades e consequentes grupos de volatilidades na série.

Um MVE geral será obtido admitindo-se um modelo AR(p) para h_t :

$$r_t = \sigma_t \varepsilon_t, \quad (5.54)$$

$$(1 - \alpha_1 B - \dots - \alpha_p B^p) h_t = \alpha_0 + \eta_t, \quad (5.55)$$

com as suposições anteriores sobre as inovações, e agora supondo-se que as raízes do polinômio $1 - \alpha_1 B - \dots - \alpha_p B^p$ estejam fora do círculo unitário.

MVE foram estendidos para incluir o fato de que a volatilidade tem memória longa, no sentido que a função de autocorrelação de $\ln(r_t^2)$ decai lentamente, embora, como vimos, os r_t não tenham correlação serial.

Estimação

Os MVE são difíceis de estimar. Podemos usar a abordagem de Durbin e Koopman (1997a, 1997b, 2000), que consiste em usar o procedimento de quase verossimilhança, por meio do Filtro de Kalman. Aqui, o modelo (5.40)-(5.41) é reescrito na forma

$$r_t = \sigma \varepsilon_t e^{h_t/2}, \quad (5.56)$$

$$h_t = \alpha_1 h_{t-1} + \eta_t, \quad (5.57)$$

em que $\sigma = \exp\{\alpha_0/2\}$. Uma forma equivalente é dada por

$$\ln(r_t^2) = \kappa + h_t + u_t, \quad (5.58)$$

$$h_t = \alpha_1 h_{t-1} + \eta_t, \quad (5.59)$$

em que $u_t = \ln(\varepsilon_t^2) - E(\ln(\varepsilon_t^2))$ e $\kappa = \ln(\sigma^2) + E(\ln(\varepsilon_t^2))$.

As equações (5.58)-(5.59) estão na formulação denominada de espaço de estados: (5.58) é a *equação de observação* e (5.59) é a *equação de estado*.

Observações:

- (i) Quando α_1 for próximo de 1, o ajustamento de um MVE é similar ao de

um GARCH(1,1), com $\alpha_1 + \beta_1$ próximo de 1.

(ii) Quando $\alpha_1 = 1$, h_t é um passeio aleatório e o ajustamento de um MVE é similar ao de um modelo IGARCH(1,1).

(iii) Quando algumas observações forem iguais a zero, o que pode ocorrer na prática, não podemos fazer a transformação logarítmica especificada em (5.58). Uma solução sugerida por Fuller e analisada por Breidt e Carriquiry (1996) é fazer a seguinte transformação baseada numa expansão de Taylor:

$$\ln(r_t^2) = \ln(r_t^2 + cS_r^2) - cS_r^2/(r_t^2 + cS_r^2), \quad t = 1, \dots, T,$$

em que S_r^2 é a variância amostral da série r_t e c é um número pequeno.

O programa STAMP (Koopman et al., 2000) pode ser utilizado na obtenção de estimadores de quase-verossimilhança (QMV) dos parâmetros do modelo, escrito na forma de espaço de estados. Esse programa incorpora a transformação acima, com um valor “default” $c = 0,02$. Uma das vantagens da utilização do procedimento de QMV é que ele pode ser aplicado sem a especificação de uma particular distribuição para ε_t .

Shephard e Pitt (1997) propuseram o uso de amostragem ponderada (“importance sampling”) para estimar a função de verossimilhança.

Como o MVE é um modelo hierárquico, Jaquier et al. (1994) propuseram uma análise bayesiana para o mesmo. Veja também Shephard e Pitt (1997) e Kim et al. (1998). Uma resenha do problema de estimação do MVE é feita por Motta (2001).

Exemplo 5.5. Vamos analisar a série de retornos diários do Ibovespa, mas no período 03/01/1995 a 27/12/2000, com $T = 1498$ observações, usando o MVE e programa STAMP. O Quadro 5.5 apresenta os resultados da estimação do modelo, fornecendo

$$\begin{aligned} \ln(r_t^2) &= -8,6220 + h_t + u_t, \\ h_t &= 0,9858h_{t-1} + \eta_t, \\ \hat{\text{Var}}(u_t) &= 2,7418, \\ \hat{\text{Var}}(\eta_t) &= 0,0236. \end{aligned} \tag{5.60}$$

A análise da f.a.c. residual, juntamente com o teste de Ljung-Box, sugerem que os resíduos do modelo são não correlacionados. Uma análise residual mais completa é fornecida pela Figura 5.8. A estimativa da volatilidade (e^{h_t}) e do desvio padrão condicional é apresentada na Figura 5.9. Vale a pena observar

que $\hat{\alpha}_1 = 0,9858$, o que indica uma equivalência de ajustamento entre os dois modelos.

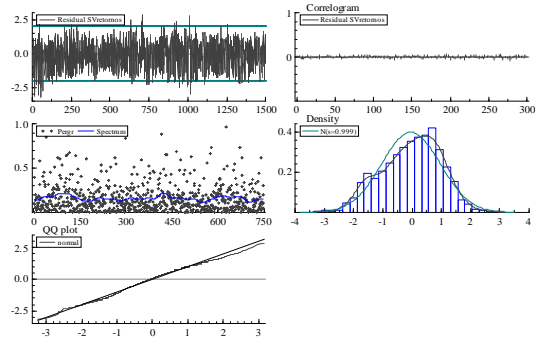


Figura 5.8: Análise residual do ajustamento do modelo (5.60) à série de retornos do Ibovespa

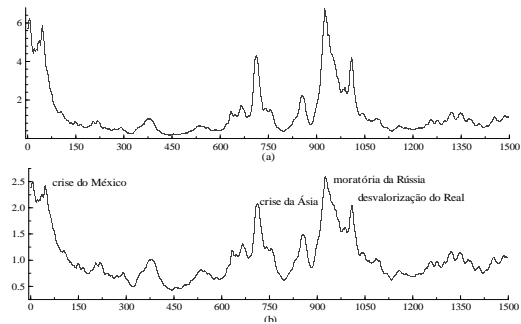


Figura 5.9: MVE para os retornos do Ibovespa (a) estimativa da volatilidade (b) estimativa do desvio padrão condicional

Quadro 5.5: Ajustamento de um MVE aos retornos do Ibovespa

Method of estimation is Maximum likelihood
The present sample is: 1 to 1498
SVretornos = Level + AR(1) + Irregular
Log-Likelihood is -817.302 (-2 LogL = 1634.6).
Prediction error variance is 2.96951
Estimated variances of disturbances.
Component SVretornos (q-ratio)
Irr 2.7418 (1.0000)
Ar1 0.023645 (0.0086)
Estimated autoregressive coefficient.
The AR(1) rho coefficient is 0.985828.
Estimated coefficients of final state vector.
Variable, Coefficient, R.m.s.e. ,t-value
Lvl -8.6220 0.27296 -31.587 [0.0000]
Ar1 0.12543 0.51580
Goodness-of-fit results for Residual SVretornos
Prediction error variance (p.e.v) 2.969511
Prediction error mean deviation (m.d) 2.427108
Ratio p.e.v. / m.d in squares 0.952954
Coefficient of determination R2 0.140840
... based on differences RD2 0.447572
Information criterion of Akaike AIC 1.092403
... of Schwartz (Bayes) BIC 1.103041

5.6 Tópicos Adicionais

[1] O MVE que aprendemos supõe que os erros das duas equações sejam normais. Trabalhos recentes utilizam outras distribuições na equação de volatilidades, como a família de mistura de normais na escala, com o objetivo de tratar as caudas pesadas presentes nos retornos financeiros. Casos especiais dessa família são a distribuição *t* de Student, a distribuição *Slash* e a distribuição *variance gamma*. Além disso, modelos com efeito alavanca (*leverage effect*) também podem ser combinados a esses modelos com erros seguindo uma mistura de normais na escala. Para detalhes veja Cathy et al. (2008), Abanto-Valle et al. (2010) e Guzman e Morettin (2011).

[2] Além dos modelos estudados neste capítulo, há uma variedade muito grande de modelos da família ARCH que foram considerados na literatura. Veja o

Problema 13 para um exemplo importante e Bollerslev (2008).

[3] Neste livro não vamos considerar em detalhes modelos multivariados para a volatilidade, mas no Apêndice 5B apresentamos algumas ideias sobre o assunto.

5.7 Problemas

1. Ajuste modelos ARCH com erros gaussianos para as séries;
 - (a) log-retornos diários das ações da Vale.
 - (b) log-retornos diários do índice Ibovespa.
 - (c) log-retornos mensais do S& P500, de janeiro de 1962 a dezembro de 1999 (arquivo m-sp62.99.dat).
2. Ajuste modelos GARCH com erros gaussianos para as séries:
 - (a) log-retornos diários das ações da Petrobras.
 - (b) log-retornos diários do índice Ibovespa.
3. Ajuste um modelo assimétrico (EGARCH ou TGARCH) com erros gaussianos à série de log-retornos mensais das ações da IBM de janeiro de 1926 a dezembro de 1997(arquivo m-ibm26.97.dat).
4. Ajuste um modelo de volatilidade estocástica às séries:
 - (a) log-retornos diários das ações da Vale.
 - (b) log-retornos diários das ações da Petrobras.
 - (c) log-retornos diários das ações da CEMIG, de 3/1/95 a 27/12/2000.
5. Obtenha as previsões de origem T e horizonte h , $h \geq 1$, para um modelo GARCH(1,2).
6. Suponha que r_1, \dots, r_T sejam observações de uma série de log-retornos, seguindo um modelo AR(1)-GARCH(1,1),

$$\begin{aligned} r_t &= \mu + \phi_1 r_{t-1} + a_t, \\ a_t &= \sigma_t \varepsilon_t, \quad \varepsilon_t \sim \mathcal{N}(0, 1) \\ \sigma_t^2 &= \alpha_0 + \alpha_1 a_{t-1}^2 + \beta_1 \sigma_{t-1}^2. \end{aligned}$$

Obtenha a função de log-verossimilhança condicional dos dados.

7. Obtenha a expressão (5.27).
8. Refaça o problema 1, usando a distribuição t de Student para os erros.
9. Refaça o problema 3, usando a distribuição t de Student para os erros.
10. Refaça o problema 2, usando a distribuição de erro generalizada para os erros.
11. Encontre a log-verossimilhança para um modelo ARCH(1), supondo $\varepsilon_t \sim t_\nu$.
12. Mesmo problema anterior, para um modelo GARCH(1,1).
13. **Modelo PGARCH.** O modelo PGARCH (1,1)(de “power”’GARCH”), proposto por Ding et al. (1993) é dado por

$$h_t^d = \alpha_0 + \alpha_1(|r_{t-1}| + \gamma r_{t-1})^d + \beta_1 h_{t-1}^d,$$

onde d é um inteiro positivo e γ denota o coeficiente de alavancagem. Se $d = 2$ e $\gamma = 0$ temos o GARCH usual; se $d = 2$ temos o GARCH com alavancagem. O modelo com $d = 1$ é robusto a observações atípicas. Usando o S+FinMetrics:

- (a) Ajuste um modelo PGARCH (1,1), aos dados da Petrobras.
- (b) Ajuste um modelo PGARCH (1,1), com $d = 1$, aos dados da Vale.
14. Ajuste um modelo EGARCH(1,0) aos dados de retornos diários da CEMIG.
15. Determine $E(|\varepsilon|)$ para uma distribuição t de Student padronizada, isto é, $\varepsilon = X/\sqrt{\nu/(\nu - 2)}$, onde $X \sim t_\nu$.
16. Prove (5.11).
17. Mostre que um modelo GARCH(1,1) é equivalente a um modelo ARCH(∞), com pesos exponencialmente decrescentes.

Apêndice 5A. Algumas Distribuições Especiais

Além da distribuição normal e da distribuição *t*-Student, podemos usar outras distribuições para o erro ε_t de um modelo GARCH genérico. Nelson (1991) propôs a distribuição de erro generalizada (“generalized error distribution”, GED). Dizemos que a v.a. X segue uma GED, com média zero e variância um, se sua densidade é dada por

$$f(x) = \frac{\nu \exp[-(\frac{1}{2})|x/\lambda|^\nu]}{\lambda 2^{(\nu+1)/\nu} \Gamma(1/\nu)},$$

onde

$$\lambda = \left[\frac{2^{-2/\nu} \Gamma(1/\nu)}{\Gamma(3/\nu)} \right]^{1/2}.$$

Aqui, $\nu > 0$ governa o comportamento das caudas da distribuição. Se $\nu = 2$ obtemos a distribuição normal padrão, e se $\nu = 1$ obtemos a distribuição exponencial dupla,

$$f(x) = \frac{1}{\sqrt{2}} e^{-\sqrt{2}|x|}.$$

Quando $\nu < 2$ a distribuição tem caudas mais pesadas do que a normal e quando $\nu > 2$ tem caudas mais leves do que a normal.

Fernandez e Stell (1998) propuseram o uso da distribuição *t* assimétrica, cuja distribuição tem densidade

$$f(x|\iota, \nu) = \frac{2}{\iota + 1/\iota} \left[g((sx + m)/\nu) I_{(-\infty, 0)}(x + m/s) \right] \\ + \frac{2}{\iota + 1/\iota} \left[g((sx + m)/\iota\nu) I_{(0, +\infty)}(x + m/s) \right],$$

onde $g(\cdot|\nu)$ denota uma *t* - Student com ν graus de liberdade,

$$m = \frac{\Gamma((\nu + 1)/2)\sqrt{\nu - 2}}{\sqrt{\pi}\Gamma(\nu/2)}(\iota - 1/\iota),$$

$$s = \sqrt{(\iota^2 + 1/\iota^2 - 1) - m^2},$$

sendo ι o parâmetro de assimetria, com $\iota = 1$ para a *t* tradicional.

Laurent e Peters (2002) desenvolveram um pacote na linguagem Ox para estimar modelos da família ARCH, com erros normais, *t*, GED e *t* assimétricos.

Apêndice 5B. Modelos Heteroscedásticos Condicionais Multivariados

Modelos multivariados podem ser úteis em áreas como seleção de carteiras (*portfolios*), apreçamento de opções, hedging e gestão de riscos.

Suponha que temos um vetor de retornos \mathbf{r}_t , de orden $n \times 1$, e consideramos o modelo

$$\mathbf{r}_t = \boldsymbol{\mu}_t + \boldsymbol{\varepsilon}_t, \quad (A.1)$$

em que $\boldsymbol{\mu}_t = E(\mathbf{r}_t | \mathcal{F}_{t-1})$ é o vetor de médias condicionais, dada a informação passada e $\boldsymbol{\varepsilon}_t$ é um vetor de inovações da série no instante t . Podemos supor que $\boldsymbol{\mu}_t$ siga um vetor VARMA multivariado, como no Capítulo 9, ou seja,

$$\boldsymbol{\mu}_t = \sum_{i=1}^P \Phi_i \mathbf{r}_{t-i} - \sum_{i=1}^Q \Theta_i \boldsymbol{\varepsilon}_{t-i},$$

podendo-se acrescentar a essa equação um vetor de covariáveis (ou variáveis exógenas ou ainda explicativas).

Definamos \mathbf{H}_t como a matriz de covariâncias condicionais, de ordem $n \times n$, dada a informação passada \mathcal{F}_{t-1} , ou seja,

$$\mathbf{H}_t = \text{Cov}(\mathbf{r}_t | \mathcal{F}_{t-1}) = \text{Cov}(\boldsymbol{\varepsilon}_t | \mathcal{F}_{t-1}).$$

Então um modelo de volatilidade para a série de retornos \mathbf{r}_t será dado pela equação (A.1) mais a equação

$$\boldsymbol{\varepsilon}_t = \mathbf{H}_t^{1/2} \mathbf{z}_t, \quad (A.2)$$

na qual $E(\mathbf{z}_t) = \mathbf{0}$ e $\text{Cov}(\mathbf{z}_t) = \mathbf{I}_n$.

Há muitas possibilidades de generalizações de modelos univariados de volatilidade para o caso de n séries. Contudo, para n grande teremos uma quantidade grande de parâmetros a estimar, pois \mathbf{H}_t terá $n(n+1)/2$ parâmetros desconhecidos. Um dos objetivos é buscar modelos que sejam parcimoniosos.

Há três abordagens para a construção de modelos da forma GARCH multivariados (abreviadamente MGARCH) (Laurent et al., 2006):

(i) generalização direta de modelos GARCH univariados; nesta categoria estão os modelos VEC, BEKK e modelos fatoriais;

(ii) combinações lineares de modelos GARCH univariados; nesta classe estão os modelos ortogonais generalizados e os modelos fatoriais latentes;

(iii) combinações não-lineares de modelos GARCH univariados; nesta classe os modelos de correlações condicionais (constantes e dinâmicos).

Podemos, também, considerar uma extensão para o caso multivariado do modelo EWMA. Aqui,

$$\mathbf{H}_t = (1 - \lambda)\mathbf{r}_{t-1}\mathbf{r}_{t-1}' + \lambda\mathbf{H}_{t-1}.$$

Dados λ e \mathbf{H}_1 , as matrizes de covariâncias estimadas podem ser obtidas recursivamente.

Neste apêndice vamos apresentar apenas dois modelos para o caso (i) acima. Como vimos, quando considerarmos modelos MGARCH, o número de parâmetros cresce rapidamente com n (dimensão de \mathbf{r}_t). Para tornar o modelo tratável podemos impor estruturas mais simples, como por exemplo, supor que matrizes coeficientes sejam diagonais.

Modelos VEC

O modelo VEC geral foi proposto por Bollerslev et al. (1988) e supõe que cada elemento de \mathbf{H}_t seja uma função linear de erros quadráticos e produtos de erros defasados e de valores defasados de elementos de \mathbf{H}_t . A partir de agora vamos considerar somente o caso (1,1) para facilidade de notação.

Definição A.1. O modelo VEC (1,1) é definido por:

$$\mathbf{h}_t = \mathbf{A}_0 + \mathbf{A}\eta_{t-1} + \mathbf{B}\mathbf{h}_{t-1}, \quad (A.3)$$

em que

$$\begin{aligned} \mathbf{h}_t &= \text{vech}(\mathbf{H}_t), \\ \eta_t &= \text{vech}(\boldsymbol{\varepsilon}_t \boldsymbol{\varepsilon}_t'). \end{aligned}$$

Aqui, $\text{vech}(\cdot)$ denota o operador que transforma a parte triangular inferior de uma matriz $n \times n$ em um vetor $n(n+1)/2 \times 1$, \mathbf{A} e \mathbf{B} são matrizes quadradas de ordem $n(n+1)/2$ e \mathbf{A}_0 é um vetor de ordem $n(n+1)/2 \times 1$.

O número de parâmetros é $n(n+1)(n(n+1)+1)/2$. Por exemplo, se $n = 3$, temos 78 parâmetros. Uma simplificação é o VEC diagonal, onde cada $h_{ij,t}$

depende somente de sua defasagem e de valores prévios de $\varepsilon_{it}\varepsilon_{jt}$. O número de parâmetros reduz-se a $n(n+5)/2$, de modo que se $n = 3$ temos 12 parâmetros.

Definição A.2. O modelo VEC diagonal (1,1), ou DVEC(1,1), é definido por

$$\mathbf{H}_t = \mathbf{A}_0 + \mathbf{A} \odot (\boldsymbol{\varepsilon}_{t-1} \boldsymbol{\varepsilon}'_{t-1}) + \mathbf{B} \odot \mathbf{H}_{t-1}, \quad (A.4)$$

em que \mathbf{A} e \mathbf{B} são matrizes simétricas e \odot denota o produto de Hadamard, ou seja, multiplicação elemento por elemento.

As extensões para VEC(p,q) ou DVEC(p,q) são imediatas.

Exemplo A.1. Vamos escrever o modelo DVEC (1,1) bivariado:

$$\begin{bmatrix} h_{11,t} & \\ h_{21,t} & h_{22,t} \end{bmatrix} = \begin{bmatrix} A_{11,0} & \\ A_{21,0} & A_{22,0} \end{bmatrix} + \begin{bmatrix} A_{11,1} & \\ A_{21,1} & A_{22,1} \end{bmatrix} \odot \begin{bmatrix} \varepsilon_{1,t-1}^2 & \\ \varepsilon_{2,t-1} \varepsilon_{1,t-1} & \varepsilon_{2,t-1}^2 \end{bmatrix} + \begin{bmatrix} B_{11,1} & \\ B_{21,1} & B_{22,1} \end{bmatrix} \odot \begin{bmatrix} h_{11,t-1} & \\ h_{21,t-1} & h_{22,t-1} \end{bmatrix}.$$

Aqui, temos que as volatilidades são dadas por

$$h_{ii,t} = A_{ii,0} + A_{ii,1}\varepsilon_{i,t-1}^2 + B_{ii,1}h_{ii,t-1}, \quad i = 1, 2$$

e a covariância é dada por

$$h_{12,t} = A_{12,0} + A_{12,1}\varepsilon_{1,t-1}\varepsilon_{2,t-1} + B_{12,1}h_{12,t-1}.$$

A matriz \mathbf{H}_t pode não ser positiva definida. Ela o será, para todo t , se \mathbf{A}_0, \mathbf{A} , \mathbf{B} e \mathbf{H}_0 forem positivas definidas.

Modelos BEKK

Esta classe de modelos foi introduzida por Engle e Kroner (1995).

Definição A.3. O modelo BEKK(1,1) é definido por

$$\mathbf{H}_t = \mathbf{A}_0 \mathbf{A}_0' + \mathbf{A} \boldsymbol{\varepsilon}_{t-1} \boldsymbol{\varepsilon}'_{t-1} \mathbf{A}' + \mathbf{B} \mathbf{H}_{t-1} \mathbf{B}', \quad (A.5)$$

na qual \mathbf{A}_0 é triangular inferior e \mathbf{A}, \mathbf{B} são matrizes $n \times n$ irrestritas.

Este modelo tem $n(5n+1)/2$ parâmetros. Por exemplo, se $n = 3$, teremos 24 parâmetros, comparado com 12 do modelo DVEC(1,1). A extensão para o modelo BEKK(p,q) é imediata.

CAPÍTULO 6

Processos com Memória Longa

6.1 Introdução

O processo ARMA(p, q) é considerado um processo de “memória curta”, uma vez que a f.a.c. ρ_j decresce rapidamente para zero. Na realidade, pode-se demonstrar que, para tal processo,

$$|\rho_j| \leq Cr^{-j}, \quad j = 1, 2, \dots \quad (6.1)$$

onde $C > 0$ e $0 < r < 1$. A expressão (6.1) garante que a função de autocorrelação decai para zero exponencialmente.

Um processo de memória longa é um processo estacionário em que a função de autocorrelação decresce hiperbolicamente para zero, isto é,

$$\rho_j \sim Cj^{-\alpha}, \quad j \rightarrow \infty, \quad (6.2)$$

onde $C > 0$ e $0 < \alpha < 1$. Pode-se usar o *coeficiente de Hurst* $H = 1 - \alpha/2$, de modo que $1/2 < H < 1$. Quanto maior H , maior a memória longa do processo. Pode-se provar que o espectro $f(\lambda)$ do processo, cuja função de autocorrelação é como em (6.2), tende a $C_f \lambda^{\alpha-1}$, para $\lambda \rightarrow 0$, onde $C_f > 0$ constante. Ou seja, a função densidade espectral de um processo de memória longa diverge para $+\infty$ na frequência zero.

Estudos empíricos, principalmente em Climatologia e Hidrologia (década de 1950) revelaram a presença de memória longa (ML) em dados de séries temporais e espaciais. Essas séries apresentam persistência nas autocorrelações amostrais, isto é, dependência significativa entre observações separadas por um longo intervalo de tempo. Essas autocorrelações apresentam o comportamento dado por (6.2). Outra característica desse tipo de série é que sua função

densidade espectral é não limitada na frequência zero, o que equivale a dizer que sua função de autocorrelação não é absolutamente somável.

Formalmente, temos a

Definição 6.1. Suponha que X_t tenha autocorrelação ρ_j . Dizemos que X_t possui memória longa se

$$\lim_{n \rightarrow \infty} \sum_{j=-n}^n |\rho_j| \quad (6.3)$$

é não finita.

O fenômeno de ML foi notado por Hurst (1951, 1957), Mandelbrot e Wallis (1968) e McLeod e Hipel (1978), em conjunção com problemas na área de Hidrologia. Modelos de ML também são de interesse na análise de estudos climáticos, como no estudo da aparente tendência crescente em temperaturas globais devido ao efeito estufa. Veja Seater (1993), por exemplo.

Recentemente (década de 1980), os economistas notaram que há evidências que processos de ML descrevem de modo satisfatório dados econômicos e financeiros, tais como taxas de juros e de inflação. Estudos recentes na modelagem da volatilidade de ativos financeiros mostram que tais processos são de grande utilidade. Uma excelente revisão sobre processos de ML em econometria é feita por Baillie (1996).

Exemplo 6.1. A Figura 6.1 mostra a conhecida série de índices de preços anuais de trigo de Beveridge (1921), de 1500 a 1869 ($T = 370$), e suas autocorrelações amostrais, notando o seu lento decaimento. Os preços são médias sobre várias localidades na Europa (arquivo a-bev00.69.dat).

Exemplo 6.2. Temos, na Figura 6.2, as autocorrelações amostrais das séries de valores absolutos dos retornos diários do Ibovespa, Dow Jones, Vale e Petrobras. Estes valores absolutos representam a volatilidade da série. O lento decaimento das autocorrelações mostra claramente a persistência da volatilidade. As figuras mostram, também, as autocorrelações de modelos autorregressivos AR(p) ajustados às séries. Os valores de p para as séries do Ibovespa, Dow, Vale e Petrobras são, respectivamente, 27, 12, 27 e 27. Vemos que as autocorrelações dos modelos autorregressivos são boas estimativas para *lags* baixos. Notamos, ainda, o número excessivo de parâmetros do modelo autorregressivo necessários para capturar a dependência nas séries.

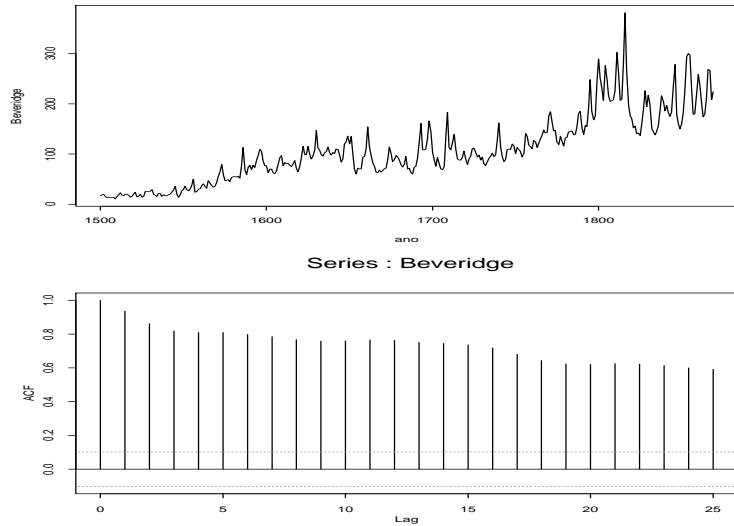


Figura 6.1: (a) Série de índices de preços de trigo de Beveridge (b) f.a.c. amostral.

Uma outra característica de séries com memória longa é que as autocorrelações da série original indicam não estacionariedade, ao passo que a série diferenciada pode parecer ser “superdiferenciada”. Ou seja, processos de ML situam-se entre processos $I(0)$ e $I(1)$.

Procurando respeitar as características de uma série de memória longa, citadas anteriormente, foram definidos dois modelos importantes, nos quais a função de densidade espectral é proporcional a λ^{-r} , $1 < r < 2$, para λ próximo de zero e o decaimento da função de autocorrelação é do tipo (6.2). Primeiro foi introduzido o ruído gaussiano fracionário por Mandelbrot e Van Ness (1968). Mais tarde, Granger e Joyeux (1980) e Hosking (1981) introduziram o modelo ARIMA fracionário (ou ARFIMA), que é uma generalização do modelo ARIMA.

Há trabalhos recentes incorporando ML a processos GARCH, como nos processos FIGARCH (*fractionally integrated generalized autoregressive conditional heteroskedasticity*), introduzidos por Baillie et al. (1996). Também, processos de ML associados a modelos de volatilidade estocástica foram considerados por Harvey (1998) e Breidt et al. (1993). Veja a seção 9.6.

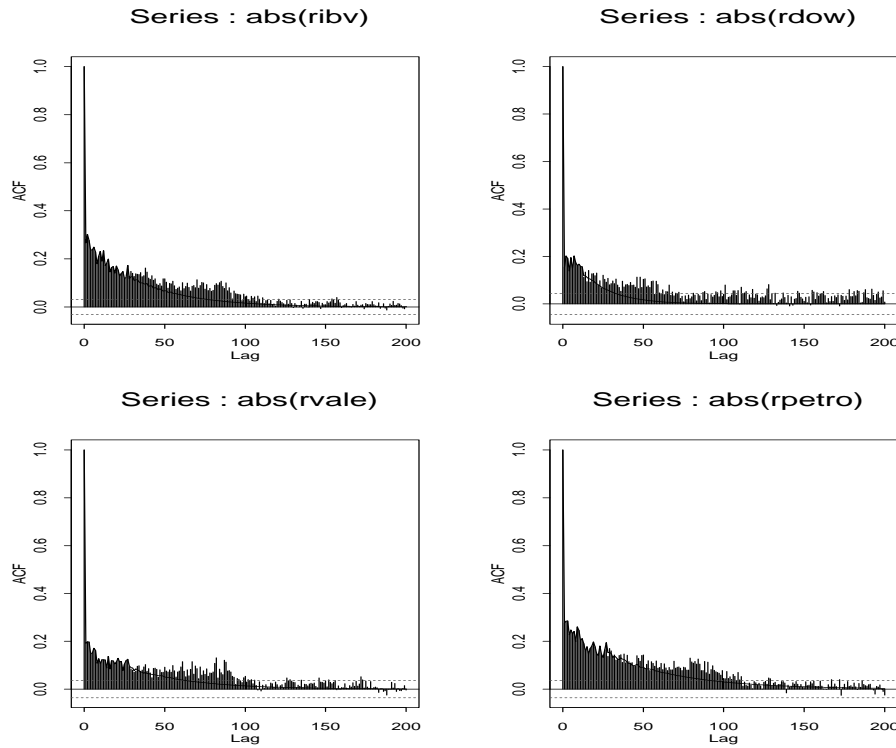


Figura 6.2: Autocorrelações amostrais da volatilidade (a) Ibovespa (b) Dow Jones (c) Vale (d) Petrobras, com f.a.c. dos modelos AR ajustadas.

6.2 Estimação e Testes para Memória Longa

Nesta seção apresentaremos dois procedimentos para testar se uma série temporal apresenta memória longa e estimar o parâmetro de longa dependência. Um é baseado na estatística R/S e outro, no periodograma, que é um estimador do espectro de um processo estacionário.

O modelo proposto para a série X_t é o *processo integrado fracionário*

$$(1 - B)^d(X_t - \mu) = u_t, \quad (6.4)$$

onde u_t é um processo estacionário, com espectro $f_u(\lambda)$, e, para qualquer número real $d > -1$, define-se o operador de diferença fracionária

$$(1 - B)^d = \sum_{k=0}^{\infty} \binom{d}{k} (-B)^k \quad (6.5)$$

$$= 1 - dB + \frac{1}{2!}d(d-1)B^2 - \frac{1}{3!}d(d-1)(d-2)B^3 + \dots,$$

ou seja,

$$\binom{d}{k} = \frac{d!}{k!(d-k)!} = \frac{\Gamma(d+1)}{\Gamma(k+1)\Gamma(d-k+1)}.$$

A relação existente entre d e H é $d = H - 1/2$. Se $0 < d < 1/2$, então X_t é estacionário com memória longa. Se $-1/2 < d < 0$, dizemos que X_t é antipersistent.

6.2.1 Estatística R/S

A estatística R/S foi introduzida por Hurst (1951) com o nome *rescaled range* (ou *range over standard deviation*), com o propósito de testar a existência de memória longa numa série temporal.

Dadas as observações X_1, \dots, X_T , a estatística R/S é dada por

$$Q_T = \frac{1}{S_T} \left[\max_{1 \leq k \leq T} \sum_{j=1}^k (X_j - \bar{X}) - \min_{1 \leq k \leq T} \sum_{j=1}^k (X_j - \bar{X}) \right], \quad (6.6)$$

onde \bar{X} é a média amostral e S_T^2 é a variância amostral.

Pode-se demonstrar que se X_t são i.i.d. normais, então Q_T/\sqrt{T} converge fracamente para uma v.a. que está no domínio de atração de uma ponte browniana. Lo (1991) fornece os quantis dessa variável limite. Ele nota que a estatística definida por (6.6) não é robusta à dependência de curta memória e propõe substituir Q_T por

$$\tilde{Q}_T = \frac{1}{\hat{\sigma}_T(q)} \left[\max_{1 \leq k \leq T} \sum_{j=1}^k (X_j - \bar{X}) - \min_{1 \leq k \leq T} \sum_{j=1}^k (X_j - \bar{X}) \right], \quad (6.7)$$

onde $\hat{\sigma}_T(q)$ é a raiz quadrada do estimador da variância de longo prazo de Newey-West, com largura de faixa q , dado por

$$\hat{\sigma}_T^2(q) = S_T^2 \left(1 + \frac{2}{T} \sum_{j=1}^q w_{qj} r_j \right),$$

sendo $w_{qj} = 1 - j/(q+1)$, $q < T$ e r_j são as autocorrelações amostrais usuais de X_t . Newey and West (1987) sugerem escolher $q = [4(T/100)^{2/9}]$.

Se o processo X_t não tiver ML, a estatística R/S converge para sua distribuição limite à taxa $T^{1/2}$, mas se há ML presente, a taxa de convergência é T^H .

Esses fatos sugerem construir gráficos (na escala log-log) de R/S contra o tamanho amostral. Para uma série com MC os pontos devem estar ao longo de uma reta com inclinação $1/2$, ao passo que para uma série com ML, a reta deve ter inclinação $H > 1/2$, para grandes amostras.

Para a construção desse gráfico, considerar os valores de R/S contra k_i , para $k_i = fk_{i-1}$, $i = 2, \dots, s$, k_1 grande inicialmente e f um fator conveniente.

A função `rosTest` do **S+FinMetrics** calcula (6.7) com $q = [4(T/100)^{1/4}]$. Essa função pode ser usada para testar se há ML na série temporal. A função `d.ros` estima o valor de H segundo esse procedimento gráfico.

Exemplo 6.3. Considere os retornos diários do Ibovespa de 1994 a 2010 e a série de volatilidades, representada pelos valores absolutos dos retornos. Essa série é mostrada na Figura 6.3. O Quadro 6.1 mostra o resultado da aplicação da função `rosTest`. O valor da estatística \tilde{Q}_T é 2,741, significativa com o nível 0,01, o que confirma que a série apresenta memória longa. A Figura 6.4 apresenta o log-log plot de R/S, com a reta ajustada. O valor estimado de d é $\hat{d} = 0,17$. O gráfico foi feito com $k_1 = 5$ e $f = 2$. A reta pontilhada no gráfico indica MC ($H = 1/2$).

Quadro 6.1: Teste para ML para volatilidade do Ibovespa.

<p>Test for Long Memory: Modified R/S Test Null Hypothesis: no long-term dependence</p>
--

<p>Test Statistics: 2.741** *: significant at 5% level **: significant at 1% level</p>

<p>Total Observ.: 4018 Bandwidth: 10</p>

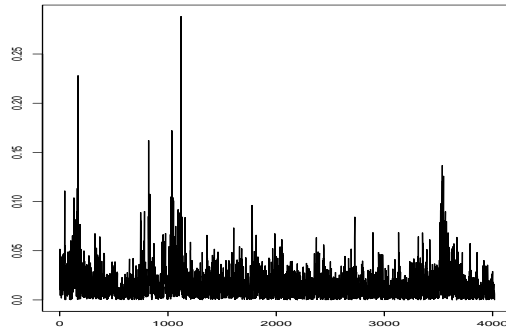


Figura 6.3: Valores absolutos dos retornos do Ibovespa.

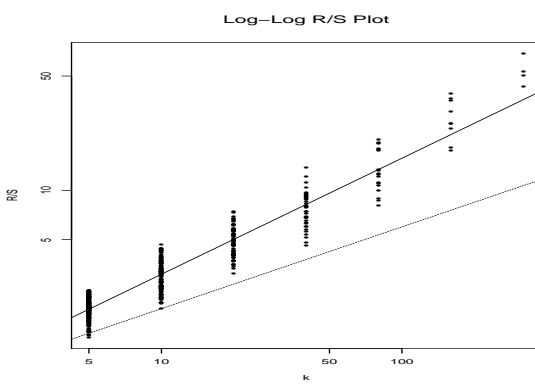


Figura 6.4: Plot R/S para valores absolutos dos retornos do Ibovespa.

6.2.2 Procedimento GPH

Esse método para estimativa do parâmetro de longa memória foi proposto por Geweke e Porter-Hudak (1983) e baseia-se na equação que exibe relação entre os espectros de X_t e de u_t em (6.4). Tal equação foi reescrita para que se assemelhasse a uma equação de regressão linear, onde o coeficiente de inclinação envolve o parâmetro d .

De (6.4) temos que

$$f_x(\lambda) = |1 - e^{-i\lambda}|^{-2d} f_u(\lambda), \quad (6.8)$$

em que $f_u(\lambda)$ é o espectro de u_t .

Multiplicando ambos os lados de (6.8) por $f_u(0)$ e aplicando o logaritmo, obtemos

$$\ln f_x(\lambda) = \ln f_u(0) - d \ln |1 - e^{-i\lambda}|^2 + \ln \left(\frac{f_u(\lambda)}{f_u(0)} \right). \quad (6.9)$$

Substituindo λ por $\lambda_j = 2\pi j/T$ (frequência de Fourier) e adicionando $\ln(I_x(\lambda_j))$, a ambos os lados de (6.9), obtemos

$$\begin{aligned} \ln I_x(\lambda_j) &= \ln f_u(0) - d \ln \left(4 \operatorname{sen}^2 \left(\frac{\lambda_j}{2} \right) \right) \\ &\quad + \ln \left(\frac{f_u(\lambda_j)}{f_u(0)} \right) + \ln \left(\frac{I_x(\lambda_j)}{f_x(\lambda_j)} \right), \end{aligned} \quad (6.10)$$

em que

$$I_x(\lambda_j) = (2\pi T)^{-1} \left| \sum_{t=1}^T X_t \exp(-i\lambda_j t) \right|^2$$

é o *periodograma* dos dados X_1, \dots, X_T .

O termo $\ln(\frac{f_u(\lambda_j)}{f_u(0)})$ pode ser desprezado quando se considerar apenas as frequências λ_j próximas de zero. Assim, podemos reescrever (6.10) como um modelo de regressão linear

$$Y_j = a - dX_j + \varepsilon_j, \quad j = 1, \dots, m, \quad (6.11)$$

em que

$$\begin{aligned} Y_j &= \ln I_x(\lambda_j), \\ X_j &= \ln(4 \operatorname{sen}^2(\frac{\lambda_j}{2})), \\ \varepsilon_j &= \ln \left(\frac{I_x(\lambda_j)}{f_x(\lambda_j)} \right), \\ a &= \ln f_u(0) \text{ e } m = cT^\alpha, \quad 0 < \alpha < 1, \end{aligned}$$

c uma constante. A relação linear (6.11) sugere a utilização de um estimador de mínimos quadrados para d , isto é,

$$\hat{d}_{MQ} = - \frac{\sum_{i=1}^m (X_i - \bar{X})(Y_i - \bar{Y})}{\sum_{i=1}^m (X_i - \bar{X})^2}. \quad (6.12)$$

Geweke e Porter-Hudak (1983) demonstram que

$$\hat{d}_{MQ} \xrightarrow{\mathcal{D}} \mathcal{N} \left(d, \frac{\pi^2}{6 \sum_{j=1}^m (X_j - \bar{X})^2} \right).$$

Sob $H_0 : d = 0$, isto é, o processo não tem memória longa, a estatística

$$t_{d=0} = \hat{d} \left(\frac{\pi^2}{6 \sum_{j=1}^m (X_j - \bar{X})^2} \right)^{-1/2} \quad (6.13)$$

tem distribuição normal padrão.

O estimador d , calculado por meio de (6.12) é chamado estimador GPH (de Geweke e Porter-Hudak).

O programa S+FinMetrics usa a função `gphTest` para estimar d e testar H_0 dada acima, usando como “default”, $m = T^\alpha$, com $\alpha = 0,5$.

O parâmetro d pode também ser estimado por máxima verossimilhança, juntamente com os parâmetros de um processo ARFIMA ajustado à uma série temporal com memória longa. Veja a seção seguinte.

Exemplo 6.4. Consideremos novamente os valores absolutos dos retornos diários do Ibovespa, do exemplo 6.3. O Quadro 6.2 apresenta o resultado da aplicação da função `gphTest`. O valor da estatística é 3,9466, e a hipótese nula de que não há memória longa é rejeitada com o nível 1%. O valor estimado de d é $\hat{d} = 0,3557$. Além disso, baseado no erro padrão assintótico fornecido, 0,0901, obtemos o intervalo de confiança [0,1757; 0,5357] para d , com coeficiente de confiança de 95%.

Quadro 6.2: Teste para ML para volatilidade do Ibovespa, usando GPH

Test for Long Memory: GPH Test

Null Hypothesis: $d = 0$

Test Statistics:

d 0.3557

stat 3.9466**

*: significant at 5% level

**: significant at 1% level

Total Observ.: 4018

Number of Freq: 63

[1] 0.0901

6.3 Modelos ARFIMA

Nesta seção estudaremos uma classe de modelos que são capazes de descrever, simultaneamente, as dinâmicas de memórias curta e longa de processos estacionários.

Definição 6.2. Dizemos que $\{X_t\}$ é um processo autorregressivo fracionário integrado de média móveis, ou ARFIMA(p, d, q) com $d \in (-\frac{1}{2}, \frac{1}{2})$, se $\{X_t\}$ for estacionário e satisfizer a equação

$$\phi(B)(1 - B)^d X_t = \theta(B)a_t, \quad (6.14)$$

onde $a_t \sim RB(0, \sigma_a^2)$ e $\phi(B)$ e $\theta(B)$ são polinômios em B de graus p e q , respectivamente.

A razão da escolha dessa família de processos, para fins de modelagem das séries com comportamento de memória longa, é que o efeito do parâmetro d em observações distantes decai hiperbolicamente conforme a distância aumenta, enquanto os efeitos dos parâmetros ϕ e θ decaem exponencialmente. Então, d deve ser escolhido com o objetivo de explicar a estrutura de correlação de ordens altas da série, enquanto os parâmetros ϕ e θ explicam a estrutura de correlação de ordens baixas.

A) Estacionariedade e Invertibilidade

Hosking (1981) demonstra que o processo ARFIMA(p, d, q), dado por (6.14) é:

- (i) estacionário se $d < \frac{1}{2}$ e todas as raízes de $\phi(B) = 0$ estiverem fora do círculo unitário;
- (ii) invertível se $d > -\frac{1}{2}$ e todas as raízes de $\theta(B) = 0$ estiverem fora do círculo unitário.

B) Funções de autocorrelação e densidade espectral

Hosking (1981) também mostra que se X_t , dado por (6.14), for estacionário e invertível e se $f(\lambda)$ for a função densidade espectral de X_t , então

- (i) $\lim_{\lambda \rightarrow 0} \lambda^{2d} f(\lambda)$ existe e é finito;
- (ii) $\lim_{k \rightarrow \infty} k^{1-2d} \rho_k$ existe e é finito.

Exemplo 6.5. O caso mais simples é o *ruído branco fracionário*, ou seja, um ARFIMA(0, d, 0), dado por

$$(1 - B)^d X_t = a_t, \quad a_t \sim \text{RB}(0, \sigma_a^2). \quad (6.15)$$

Se a_t é gaussiano, teremos o *ruído gaussiano fracionário*.

Quando $d < \frac{1}{2}$, X_t é um processo estacionário e tem representação na forma $X_t = \psi(B)a_t$ com os pesos dados por

$$\psi_k = \frac{d(1+d) \cdots (k-1+d)}{k!} = \frac{(k+d-1)!}{k!(d-1)!}.$$

Como $\Gamma(d+k) = d(d+1) \cdots (d+k-1)/\Gamma(d)$, podemos escrever

$$\psi_k = \frac{\Gamma(k+d)}{\Gamma(d)\Gamma(k+1)},$$

e temos

$$\psi_k \sim \frac{k^{d-1}}{(d-1)!} = c_1 k^{d-1}, \quad k \rightarrow \infty$$

sendo c_1 uma constante.

Quando $d > -\frac{1}{2}$ o processo é invertível e tem representação na forma $\pi(B)X_t = a_t$ com os pesos dados por

$$\pi_k = \frac{-d(1-d) \cdots (k-1-d)}{k!} = \frac{(k-d-1)!}{k!(-d-1)!},$$

e como $\Gamma(k-d) = (k-d-1) \cdots (1-d)(-d)\Gamma(-d)$, podemos também escrever

$$\pi_k = \frac{\Gamma(k-d)}{\Gamma(-d)\Gamma(k+1)}$$

e

$$\pi_k \sim \frac{k^{-d-1}}{(-d-1)!} = c_2 k^{-d-1}, \quad k \rightarrow \infty,$$

c_2 constante. A seguir, assumiremos $-\frac{1}{2} < d < \frac{1}{2}$.

As funções de densidade espectral, autocorrelação, autocorrelação parcial e a variância são dadas, respectivamente, por

$$f(\lambda) = \begin{cases} \frac{\sigma_a^2}{2\pi} \left(2\sin\left(\frac{\lambda}{2}\right)\right)^{-2d}, & 0 < \lambda \leq \pi, \\ \lambda^{-2d}, & \lambda \rightarrow 0, \end{cases} \quad (6.16)$$

$$\rho_h = \frac{(-d)!(h+d-1)!}{(d-1)!(h-d)!} = \prod_{0 < k \leq h} \frac{k-1+d}{k-d}, \quad h=1, 2, \dots \quad (6.17)$$

$$\phi_{hh} = \frac{d}{h-d}, \quad h = 1, 2, \dots$$

$$\gamma_0 = \frac{(-2d)!}{(-d)!^2}.$$

Em particular, temos que

$$\rho_1 = \frac{d}{1-d}, \quad (6.18)$$

$$\rho_h \sim \frac{(-d)!h^{2d-1}}{(d-1)!} = c_3 h^{2d-1}, \quad h \rightarrow \infty,$$

sendo c_3 constante e

$$f(\lambda) \sim \lambda^{-2d}. \quad (6.19)$$

A Figura 6.5(a) apresenta $N = 100$ observações simuladas de um modelo ARFIMA(0, d , 0) com $d = 0,45$ e a Figura 6.6 (a) apresenta o gráfico das autocorrelações.

Exemplo 6.6. Consideremos, agora, o processo ARFIMA(1, d , 0), dado por

$$(1 - B)^d (1 - \phi B) X_t = a_t,$$

que é um processo estacionário e invertível se $|d| < \frac{1}{2}$ e $|\phi| < 1$.

Além disso, temos que

- (a) os pesos ψ_j e π_j das representações $X_t = \psi(B)a_t$ e $\pi(B)X_t = a_t$ são dados por

$$\psi_j = \frac{(j+d-1)!}{j!(d-1)!} F(1, -j; 1-d-j, \phi) \sim \frac{j^{d-1}}{(1-\phi)(d-1)!}$$

e

$$\pi_j = \frac{(j-d-2)!}{(j-1)!(-d-1)!} \{1 - \phi - (1+d)/j\} \sim \frac{(1-\phi)}{(-d-1)!} j^{-d-1},$$

respectivamente, em que $F(a, b; c, z) = 1 + \frac{ab}{c}z + \frac{a(a+1)b(b+1)}{c(c+1)}z^2 + \dots$ é a função hipergeométrica e a aproximação vale para $j \rightarrow \infty$;

(b) a função densidade espectral é

$$f(\lambda) = \begin{cases} \frac{\sigma_a^2}{2\pi} \frac{(2\sin(\frac{\lambda}{2}))^{-2d}}{1+\phi^2-2\phi\cos\lambda}, & 0 < \lambda \leq \pi, \\ \frac{\lambda^{-2d}}{(1-\phi)^2}, & \lambda \rightarrow 0; \end{cases}$$

(c) a expressão para a f.a.c. é bastante complicada mas, em particular, temos que

$$\rho_1 = \frac{(1+\phi^2)F(1, d; 1-d; \phi) - 1}{\phi[2F(1, d; 1-d; \phi) - 1]}$$

e

$$\rho_j = \frac{(-d)!(1+\phi)j^{2d-1}}{(d-1)!(1-\phi)^2F(1, 1+d; 1-d; \phi)}, \quad j \rightarrow \infty.$$

Além disso,

$$\gamma_0 = \frac{(-2d)!F(1, 1+d; 1-d; \phi)}{(1+\phi)[(-d)!]^2}.$$

A Figura 6.5(b) apresenta $N = 100$ observações simuladas de um processo ARFIMA(1, d , 0) com $\phi = 0,8$ e $d = 0,45$ e a Figura 6.6 (b) apresenta o gráfico das f.a.c.

Exemplo 6.7. Considere, agora, um processo ARFIMA(0, d , 1), dado por

$$(1-B)^d X_t = (1-\theta B)a_t,$$

que pode ser visto como uma média móvel de primeira ordem de um ruído branco fracionário; X_t é estacionário e invertível se $|\theta| < 1$ e $|d| < \frac{1}{2}$. Além disso, temos que:

(a) os pesos ψ_j e π_j das representações autorregressiva e de médias móveis infinitas são dadas por

$$\psi_j = \frac{(j-d-1)!}{j!(-d-1)!} F(1, -j; 1+d-j, \theta) \sim \frac{j^{-d-1}}{(1-\theta)(-d-1)!}$$

e

$$\pi_j = \frac{(j+d-2)!}{(j-1)(d-1)!} \left[1 - \theta - \frac{(1+d)}{j} \right] \sim \frac{(1-\theta)}{(d-1)!} j^{d-1},$$

respectivamente, em que $F(\cdot)$ é a função hipergeométrica do Exemplo 6.6 e a aproximação vale para $j \rightarrow \infty$;

(b) $f(\lambda) = \frac{\sigma_a^2}{2\pi} [1 + \theta^2 - 2\theta \cos \lambda] \left[2 \operatorname{sen}\left(\frac{\lambda}{2}\right)\right]^{-2d} \sim [(1-\theta)^2 \lambda^{-2d}]$ quando $\lambda \rightarrow 0$;

(c) a expressão para a f.a.c. é bastante complicada mas, em particular, temos que

$$\rho_1 = \frac{(1+\theta^2)d(2-d) - 2\theta(1-d+d^2)}{(1-d)(2-d)\{1+\theta^2-2\theta d/(1-d)\}}$$

e

$$\rho_j = \frac{(-d)!}{(d-1)!} a j^{2d-1}, \quad j \rightarrow \infty,$$

em que $a = \frac{(1-\theta^2)}{(1+\theta^2-2\theta d/(1-d))}$.

A Figura 6.5 (c) apresenta $N = 100$ observações de um processo ARFIMA $(0, d, 1)$ com $d = 0,45$ e $\theta = 0,3$ e a Figura 6.6 (c) apresenta o respectivo gráfico das f.a.c.

Exemplo 6.8. Finalmente, a Figura 6.5 (d) apresenta $N = 100$ observações simuladas de um processo ARFIMA $(1, d, 1)$ com $\phi = 0,8$, $\theta = 0,3$ e a Figura 6.6 (d) apresenta o gráficos das autocorrelações.

Em todos os exemplos citados do processo ARFIMA (p, d, q) podemos notar o comportamento da função de autocorrelação, que tem decaimento hiperbólico.

Para mais detalhes, veja Hosking (1981) e Granger e Joyeux (1980).

6.4 Estimação de modelos ARFIMA

Nesta seção vamos apresentar o método de máxima verossimilhança para obter estimadores dos parâmetros do modelo (6.14). Um outro método que pode ser utilizado é a estimação semiparamétrica no domínio da frequência, por meio do procedimento GPH visto anteriormente. Para detalhes, veja Morettin e Toloi (2006).

A função de verossimilhança de $\mathbf{X} = (X_1, \dots, X_T)$ proveniente de um processo ARFIMA (p, d, q) pode ser expressa na forma

$$L(\boldsymbol{\eta}, \sigma_a^2) = (2\pi\sigma_a^2)^{-T/2} (r_0 \cdots r_{T-1})^{-1/2} \exp \left[-\frac{1}{2\sigma_a^2} \sum_{j=1}^T (X_j - \hat{X}_j)^2 / r_{j-1} \right], \quad (6.20)$$

em que $\boldsymbol{\eta} = (d, \phi_1, \dots, \phi_p, \theta_1, \dots, \theta_q)$, \hat{X}_j , $j = 1, \dots, T$, são as previsões um passo à frente e $r_{j-1} = (\sigma_a^2)^{-1} E(X_j - \hat{X}_j)^2$.

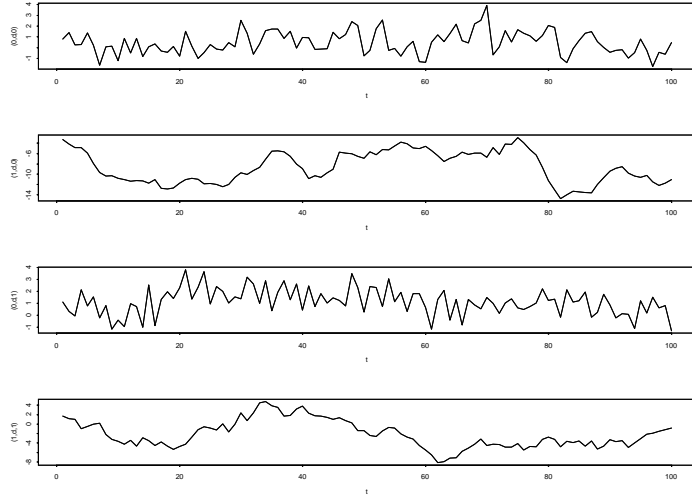


Figura 6.5: Séries ARFIMA(p, d, q) geradas de acordo com os Exemplos 6.5 a 6.8.

Os estimadores de máxima verossimilhança dos parâmetros são dados por

$$\hat{\sigma}_{MV}^2 = T^{-1}S(\hat{\boldsymbol{\eta}}_{MV}), \quad (6.21)$$

onde

$$S(\hat{\boldsymbol{\eta}}_{MV}) = \sum_{j=1}^T (X_j - \hat{X}_j)^2 / r_{j-1}$$

e $\hat{\boldsymbol{\eta}}_{MV}$ é o valor de $\boldsymbol{\eta}$ que minimiza

$$\ell(\boldsymbol{\eta}) = \ln(S(\boldsymbol{\eta})) + T^{-1} \sum_{j=1}^T \ln r_{j-1}.$$

Entretanto, o cálculo de $\ell(\boldsymbol{\eta})$ é bastante lento. Um procedimento alternativo é considerar uma aproximação para $\ell(\boldsymbol{\eta})$ dada por

$$\ell(\boldsymbol{\eta}) \simeq \ell_*(\boldsymbol{\eta}) = \ln \frac{1}{T} \sum_j \frac{I_T(w_j)}{2\pi f(w_j; \boldsymbol{\eta})}, \quad (6.22)$$

em que

$$I_T(w_j) = \frac{1}{T} \left| \sum_{t=1}^T X_t e^{-itw_j} \right|^2$$

é o periodograma dos dados,

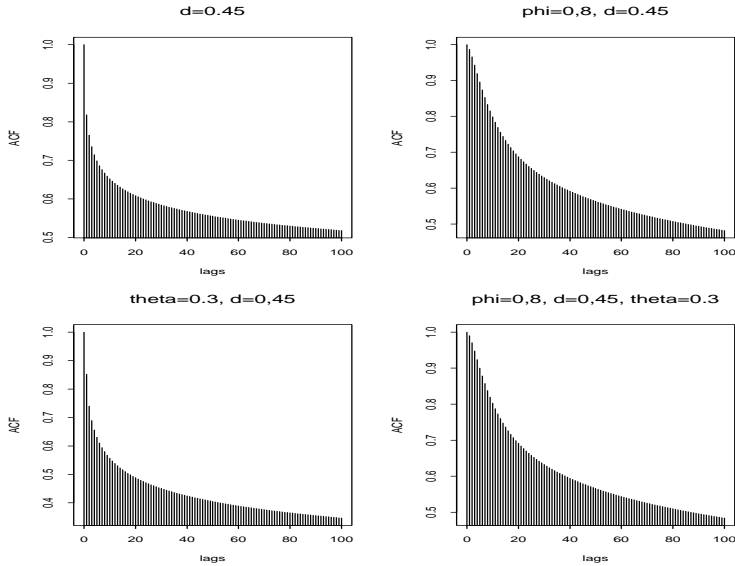


Figura 6.6: F.a.c. das séries ARFIMA(p, d, q) geradas de acordo com os Exemplos 6.5 a 6.8.

$$f(w_j; \boldsymbol{\eta}) = \frac{\sigma_a^2}{2\pi} \frac{|1 - \theta_1 e^{-iw_j} - \dots - \theta_q e^{-qiw_j}|^2}{|1 - \phi_1 e^{-iw_j} - \dots - \phi_p e^{-piw_j}|^2} \cdot |1 - e^{-iw_j}|^{-2}$$

é a função densidade espectral do processo X_t e \sum_j é a soma sobre todas as frequências de Fourier, $w_j = 2\pi j/T \in (-\pi, \pi], j = 0, 1, \dots, [T/2]$.

Hannan (1973) e Fox e Taqqu (1986) mostram que:

- (i) o estimador $\hat{\boldsymbol{\eta}}_{MV}$ que minimiza (6.22) é consistente;
- (ii) se $d > 0$,

$$\hat{\boldsymbol{\eta}}_{MV} \xrightarrow{\mathcal{D}} \mathcal{N}(\boldsymbol{\eta}, T^{-1} A^{-1}(\boldsymbol{\eta})), \quad (6.23)$$

em que $A(\boldsymbol{\eta})$ é uma matriz de ordem $(p+q+1) \times (p+q+1)$ com (j,k) -ésimo elemento dado por

$$A_{jk}(\boldsymbol{\eta}) = \frac{1}{4\pi} \int_{-\pi}^{\pi} \frac{\partial \ln f(\lambda; \boldsymbol{\eta})}{\partial \eta_j} \frac{\partial \ln f(\lambda; \boldsymbol{\eta})}{\partial \eta_k} d\lambda;$$

(iii) a variância σ_a^2 é estimada por

$$\hat{\sigma}_{MV}^2 = \frac{1}{T} \sum_j \frac{I_T(w_j)}{2\pi f(w_j; \hat{\eta}_{MV})}.$$

O estimador de d obtido dessa maneira é chamado *estimador de Whittle* ou *estimador de Fox-Taqqu*. O programa **Splus** utiliza a função **arima.fracdiff** para estimar modelos ARFIMA, incluindo modelos da forma $(0, d, 0)$. Contudo, é necessário especificar os valores de p e q da parte ARIMA. Como vimos, é difícil especificar esses valores e uma possibilidade é encontrar valores $p \leq p_{\max}$ e $q \leq q_{\max}$ que minimizam o AIC ou BIC.

O programa **S+FinMetrics** utiliza a função **FARIMA**, baseada numa extensão de modelos ARFIMA proposta por Beran (1995), que supõe $d > -1/2$. Veja Zivot e Wang (2006) para detalhes. A função **d.whittle** também pode ser usada para o caso ARFIMA $(0,d,0)$.

Exemplo 6.9. Consideremos a série de valores absolutos dos retornos diárias da Petrobras, de 18/08/1998 a 29/09/2010. Usando a função **FARIMA** do **S+FinMetrics**, vamos ajustar um modelo ARFIMA (p,d,q) . Para determinar as ordens p e q , consideremos $p = 0, 1, 2$ e $q = 0, 1, 2$ e escolhemos o modelo que minimiza o BIC. O modelo escolhido é um ARIMA $(2,d,1)$, com $\hat{d} = 0,157$, indicando a presença de ML. O diagnóstico do modelo pode ser feito com o comando **plot(petro.fit)**, que produz diversos gráficos que ajudam a verificar se o modelo é adequado. O Quadro 6.3 mostra um resumo da saída do programa.

Segue-se que o modelo ajustado é

$$(1 - 0,883B - 0,093B^2)(1 - B)^{0,157}X_t = (1 - 0,948)a_t.$$

Os comandos apropriados são, indicando os retornos por **rpetro**:

```
>petro.fit=FARIMA(abs(rpetro), p.range=c(0,2), q.range=c(0,2),mmax=0),
>summary(petro.fit).
```

6.5 Previsão de modelos ARFIMA

Considere o processo ARFIMA(p, d, q) estacionário e invertível,

$$\phi(B)(1 - B)^d X_t = \theta_0 + \theta(B)a_t, \quad -0,5 < d < 0,5. \quad (6.24)$$

Podemos reescrever o processo na forma de choques aleatórios,

$$X_t = \mu + \sum_{j=0}^{\infty} \psi_j a_{t-j}, \quad (6.25)$$

e na forma invertida

$$\sum_{j=0}^{\infty} \pi_j Z_{t-j} = \theta_0 + a_t, \quad (6.26)$$

onde

$$\sum_{j=0}^{\infty} \psi_j B^j = \theta(B) \phi^{-1}(B) (1 - B)^{-d}$$

e

$$\sum_{j=0}^{\infty} \pi_j B^j = \phi(B) \theta^{-1}(B) (1 - B)^d.$$

Quadro 6.3: Estimação do modelo ARFIMA(2,d,1).

	Value	Std. Error	t value	P-value
d	0.1570	0.0329	4.7785	0.0000
AR(1)	0.8826	0.0380	23.2407	0.0000
AR(2)	0.0926	0.0333	2.7834	0.0054
MA(1)	0.9479	0.0063	149.9936	0.0000
log-likelihood		BIC		
7932.911		-15833.803		
BIC	of all	models	estimated:	
	q=0	q=1	q=2	
p=0	-15730.30	-15800.36	-15799.91	
p=1	-15793.87	-15829.81	-15806.90	
p=2	-15812.14	-15833.80	-15833.29	

Assim, podemos fazer previsões de valores futuros do processo X_t , utilizando as equações (6.25) ou (6.26). A variância do erro de previsão, também pode ser calculada de modo usual.

Uma outra forma é usar a da equação de diferenças

$$\varphi(B) X_t = \theta_0 + \theta(B) a_t, \quad (6.27)$$

em que $\varphi(B) = \phi(B)(1 - B)^d = \phi(B)D(B)$ e $D(B) = 1 - d_1B - d_2B^2 - \dots$ é um polinômio em B , com coeficientes dados por

$$d_j = \frac{-\Gamma(j-d)}{\Gamma(j+1)\Gamma(-d)} = \prod_{0 < k \leq j} \frac{k-1-d}{k}, \quad j = 0, 1, 2, \dots \quad (6.28)$$

e $\Gamma(\cdot)$ é a função gama, dada por

$$\Gamma(x) = \begin{cases} \int_0^\infty t^{x-1}e^{-t}dt, & x > 0, \\ \infty, & x = 0, \\ x^{-1}\Gamma(1+x), & x < 0. \end{cases}$$

Utilizando (6.28) e as expressões (6.25) e (6.26), podemos fazer previsões para a série de memória longa X_t .

Note que $D(B)$ é um polinômio de ordem infinita. Na prática, quando temos uma série com T observações, utilizamos somente os L primeiros termos desse polinômio, $L < T$.

Para mais detalhes, ver Brockwell e Davis (1991). O programa S+FinMetrics usa a função `predict` para obter previsões de um modelo ARFIMA.

Exemplo 6.10. Para o exemplo 6.9, onde `petro.fit` indica o nome do modelo ARFIMA ajustado, usamos os comandos:

```
> petro.pred=predict(petro.fit,n.predict=100, ar.approx=100)
> class(petro.pred)
> summary(petro.pred)
> plot(petro.pred,abs(rpetro),n.old=300)
```

Aqui, `n.predict` indica o número de passos a frente, `ar.approx` indica a ordem do modelo AR usado e `n.old` é o número de observações da série original usadas no gráfico. Os primeiros 36 valores previstos, constantes do objeto `petro.pred`, estão mostrados no Quadro 6.4.

6.6 Processos de Volatilidade com ML

Vimos que os modelos da família GARCH modelam a dinâmica de retornos juntamente com sua volatilidade, considerada uma variável latente (não observada).

Por outro lado, os modelos ARFIMA podem ser usados para modelar o comportamento de ML da volatilidade, supondo-se que essa seja uma variável

observada. Uma ideia é considerar $|X_t|$ ou X_t^2 , se X_t indicar os log-retornos. Veja Taylor (1986), Ding et al. (1993) e Dacorogna et al. (1993), para estudos de $|X_t|$ (ações), $|X_t|^p$ (ações) e X_t^2 (taxas de câmbio), respectivamente. Ou podemos usar a chamada volatilidade de Garman-Klass, baseada nos preços de abertura, máximo, mínimo e de fechamento de determinado ativo (ação). Veja o Apêndice 6.

Quadro 6.4: Valores previstos para o modelo ARFIMA								
-0.0019	-0.0021	-0.0035	-0.0042	-0.0046	-0.0049	-0.0051	-0.0051	-0.0051
-0.0050	-0.0050	-0.0049	-0.0047	-0.0045	-0.0044	-0.0042	-0.0039	-0.0037
-0.0035	-0.0033	-0.0030	-0.0028	-0.0025	-0.0023	-0.0020	-0.0018	-0.0015
-0.0013	-0.0010	-0.0008	-0.0006	-0.0003	-0.0001	0.0002	0.0005	0.0007

Um modelo GARCH (r,s) pode ser escrito como um modelo ARMA (q,s), com $q = \max(r, s)$, na forma (5.25))

$$\phi(B)X_t^2 = \alpha_0 + \beta(b)\nu_t, \quad (6.29)$$

onde $\nu_t = X_t^2 - \sigma_t^2$, são as inovações seguindo um processo diferença martingale e

$$\phi(B) = 1 - \phi_1B - \dots - \phi_qB^q,$$

$$\beta(B) = 1 - \beta_1B - \dots - \beta_sB^s,$$

com $\phi_i = \alpha_i + \beta_i$, $i = 1, \dots, q$.

Baillie et al. (1996) consideraram um processo de ML na variância condicional, denominado “Garch integrado fracionário”, ou FIGARCH, que implica em decaimento hiperbólico nas inovações quadráticas e pesos persistentes.

O modelo FIGARCH (q,d,s) é definido por

$$\phi(B)(1 - B)^d X_t^2 = \alpha_0 + \beta(B)\nu_t, \quad (6.30)$$

onde $\phi(B)$ e $\beta(B)$ são como definidos acima e com raízes fora do círculo unitário. Se $d = 0$ obtemos um modelo GARCH e se $d = 1$ obtemos um modelo IGARCH. Note que

$$\beta(B)\sigma_t^2 = \alpha_0 + [\beta(B) - \phi(B)](1 - B)^d X_t^2$$

No Capítulo 5 estudamos alguns modelos assimétricos, em particular, o modelo EGARCH. Notando que este pode ser escrito como um modelo ARMA

em termos da $\ln \sigma_t^2$ (e, portanto, garante que $\sigma_t^2 > 0$), Bollerslev e Mikkellesen (1996) propuseram o modelo EGARCH integrado fracionário, FIEGARCH.

Um modelo FIEGARCH(q,d,s) é definido por

$$\phi(B)(1 - B)^d \ln \sigma_t^2 = \alpha_0 + \sum_{j=1}^s (\beta_j |\varepsilon_{t-j}| + \gamma_j \varepsilon_{t-j}), \quad (6.31)$$

onde $\phi(B)$ é definido como em (6.29) e ε_t são os resíduos padronizados, ou seja, $\varepsilon_t = X_t/\sigma_t$. Em (6.31), os parâmetros γ_j dão o efeito de alavancagem (*leverage*). O processo é estacionário se $0 < d < 1$.

O programa S+FinMetrics usa a função `fgarch` para estimar modelos FIGARCH e FIEGARCH, mantendo todas as demais facilidades dos modelos GARCH.

Exemplo 6.11. Vamos considerar os retornos diários (preços de fechamento) do DJIA, do exemplo 1.2, mas agora multiplicados por 100. Ajustamos modelos FIGARCH(1,d,1) e FIEGARCH(1,d,1), com resultados nos quadros 6.5 e 6.6, respectivamente. Como os retornos são não correlacionados, não há necessidade de ajustar previamente um modelo ARMA. Na Tabela 6.1, temos a comparação entre os modelos, mostrando que o modelo FIEGARCH tem os menores AIC e BIC. O valor estimado de d é $\hat{d} = 0,585$, para o modelo FIEGARCH, o que indica que o modelo é estacionário.

O diagnóstico e previsão desses modelos podem ser feitos de modo similar aos modelos ARFIMA e GARCH. Veja Zivot e Wang (2006) para detalhes.

Tabela 6.1: Comparação entre os modelos FIGARCH e FIEGARCH ajustados aos retornos do DJIA.

	FIGARCH (1,1)	FIEGARCH (1,1)
AIC	5853	5769
BIC	5881	5803
log-verossim.	-2921	-2879

6.7 Problemas

1. Mostre que um processo ARFIMA $(0, d, 0)$ com $-0,5 < d < 0,5$ tem representação nas formas $X_t = \psi(B)a_t$ e $\pi(B)X_t = a_t$, com pesos dados por

$$\psi_k = \frac{(k+d-1)!}{k!(d-1)!} \text{ e } \pi_k = \frac{(k-d-1)!}{k!(-d-1)!},$$

respectivamente.

2. Considere um processo ARFIMA $(0, d, 0)$, com $d = 0, 4$. Represente graficamente os pesos ψ_k e π_k , $k=1,2,3,\dots$, encontrados usando o problema anterior.
3. Considere a série de valores absolutos dos retornos diários da Vale (arquivo d-vale98.10.dat).
 - (a) Verifique se existe necessidade de uma transformação na série a fim de estabilizar sua variância.
 - (b) Verifique a necessidade de tomar diferenças com o objetivo de tornar a série estacionária.
 - (c) Após as transformações adequadas, identifique um modelo ARFIMA $(0, d, 0)$ estimando d através do método de regressão.
4. Considere um processo ARFIMA $(0, d, 0)$ estacionário e invertível. Mostre que a função densidade espectral é dada por (6.16).
Sugestão: Utilize as propriedades de filtragem linear.
5. Deduza a expressão da função densidade espectral de um processo ARFIMA $(0, d, 1)$ estacionário e invertível.

Quadro 6.5: Modelo FIGARCH(1,1) ajustado aos retornos do DJIA.

	Value	Std. Error	t value	P-value
C	0.07564	2.202e-002	3.435e+000	3.029e-004
A	0.01926	3.520e-003	5.471e+000	2.515e-008
GARCH(1)	0.87490	1.148e-002	7.623e+001	0.000e+000
ARCH(1)	-0.05828	2.421e-002	-2.407e+000	8.082e-003
fraction	1.00000	2.906e-009	3.442e+008	0.000e+000
AIC(5) = 5852.895		BIC(5) = 5880.877		
Ljung-Box	test for	standard. residuals:		
Statistic	P-value	Chi ² -d.f.		
21.57	0.04261	12		
Ljung-Box test	for squared	stand. residuals:		
Statistic	P-value	Chi ² -d.f.		
11.73	0.4675	12		
TR ²	Lagranger	Multiplier	Test	
	P-value	F-stat	P-value	
11.52	0.4847	1.054	0.5084	

6. Mostre que a função densidade espectral de um processo ARFIMA(1, d , 0) estacionário de invertível é dada por

$$f(\lambda) = \frac{[2\sin(0, 5\lambda)]^{-2d}}{1 + \phi^2 - 2\cos\lambda}$$

e que

$$f(\lambda) \approx \frac{\lambda^{-2d}}{(1 - \phi)^2}, \quad \lambda \rightarrow 0.$$

7. Simule $N = 1000$ observações $\{X_t\}$ de um processo ARFIMA(1, d , 0), com $\phi = 0, 6$ e $d = 0, 45$.

- (a) Faça um gráfico dos dados simulados e comente.
- (b) Calcule as f.a.c. e f.a.c.p. amostrais e comente.
- (c) Estime os parâmetros do modelo, testando a significância de cada um deles.
- (d) Ajuste um modelo ARMA a $Y_t = (1 - B)X_t$.
- (e) Compare o ajustamento dos modelos ARFIMA (item (c)) e ARMA (item (d)).

Quadro 6.6: Modelo FIEGARCH(1,1) ajustado aos retornos do DJIA.

	Value	Std. Error	t value	P-value
C	0.06021	0.02043	2.948	1.618e-003
A	-0.14163	0.02190	-6.466	6.321e-011
GARCH(1)	0.39300	0.11183	3.514	2.255e-004
ARCH(1)	0.18322	0.02767	6.623	2.265e-011
LEV(1)	-0.15623	0.01841	-8.487	0.000e+000
fraction	0.58496	0.04236	13.808	0.000e+000
AIC(6) = 5769.173 BIC(6) = 5802.752				
Ljung-Box	test for stand. residuals:			
Statistic	P-value	Chi ² -d.f.		
26.43	0.009338	12		
Ljung-Box	test for squared stand. residuals:			
Statistic	P-value	Chi ² -d.f.		
17.61	0.1279	12		
TR ²	Lagrange	Multiplier	Test	
18	0.1157	1.651	0.1745	

8. Considere a série r_t de retornos diários (fechamento) do DJIA (arquivo d-dow95.02.dat). Considere a série de retornos ao quadrado, $v_t = r_t^2$, como representando a série de volatilidades.
- Calcule as funções de autocorrelação e autocorrelação parcial amostrais da série v_t e comente.
 - Identifique um modelo de memória longa para a série v_t , utilizando o método de regressão.
9. Utilize o modelo ajustado no Problema 8 para fazer previsões, a partir da última observação, considerando $h = 1, 2, \dots, 12$.
10. Estime um modelo de memória longa ajustado à série de valores absolutos dos retornos diários da Cemig (arquivo d-cemig95.00.dat). Verifique se o modelo é adequado e, caso necessário, faça as modificações apropriadas para torná-lo adequado. Utilize o modelo final para fazer previsões até 12 passos à frente. Faça um gráfico da série original e das previsões obtidas.
11. Mostre que o modelo FIGARCH dado em (6.30) pode ser escrito na forma

$$\sigma_t^2 = \alpha_0(1 - \theta(1))^{-1} + \lambda(B)X_t^2,$$

onde $\lambda(B) = 1 - [1 - \theta(B)]^{-1}\phi(B)(1 - B)^d$.

12. Ajuste modelos FIGARCH e FIEGARCH aos retornos do Ibovespa (arquivo d-ibv94.10.dat) e da Vale (arquivo d-vale98.10.dat). Se necessário, tome retornos em porcentagem.

Apêndice 6. Volatilidade de Garman-Klass

Como vimos no Capítulo 5, a volatilidade é uma variável não observada, e uma maneira de estimá-la é ajustar algum modelo de volatilidade, como ARCH, MVE etc. Se tivermos dados de alta frequência (intradiários) é possível estimar a volatilidade diária por meio da chamada *volatilidade realizada*. Veja o Capítulo 8 para detalhes. Por exemplo, se tivermos os preços de uma ação, negociada na Bolsa, a cada 5 minutos no dia t , e se a Bolsa opera 6 horas nesse dia, teremos 72 observações, $P_{t,1}, \dots, P_{t,72}$. Considerando os log-retornos, teremos $r_{t,0}, r_{t,1}, \dots, r_{t,72}$, que podem ser usados para obter $v_t = r_{t,0}^2 + \sum_{j=1}^{72} r_{t,j}^2$,

onde $r_{t,0}$ é o retorno *overnight*, obtido da última cotação do dia $t-1$ e primeira do dia t .

Como muitos ativos não têm suficiente liquidez, não é possível obter dados intradiários regularmente, mas usualmente temos disponíveis os preços de abertura (A), fechamento (F), máximo (M) e mínimo (m). A volatilidade diária pode, então, ser estimada segundo fórmula proposta por Garman e Klass (1980), dada por

$$\hat{\sigma}_{t,GK}^2 = a \frac{(A_t - F_{t-1})}{f} + (1-a) \frac{\hat{\sigma}_{t,GK^*}^2}{1-f}, \quad (A.1),$$

onde:

A_t : log do preço de abertura do dia t ;

F_t : log do preço de fechamento do dia t ;

a : constante, com valor 0,12, que minimiza a variância

$$\hat{\sigma}_{t,GK^*}^2 = 0,511(u_t - d_t)^2 - 0,019[F_t(u_t - d_t) - 2u_td_t] - 0,383c_t^2,$$

onde: $u_t = M_t - A_t$, $d_t = m_t - A_t$, $c_t = F_t - A_t$, M_t é o logaritmo do preço máximo e m_t o logaritmo do preço mínimo.

Em (A.1), f é a fração do dia em que o mercado está fechado; o **SPlus** utiliza $f = 0.192$. O programa **S+FinMetrics** implementa o estimador (A.1) por meio da função **TA.garmanKlass**.

Exemplo 6.11. Consideremos a série de índices diários do DJIA, do exemplo 1.2, com $T = 1992$. Na Figura A.1, temos a série de log-volatilidades de GK e a respectiva f.a.c., mostrando o seu caráter de ML. Inicialmente, vamos estimar o valor de d , usando um modelo ARFIMA (0,d,0) para a log-volatilidade de GK. Usando a função **FARIMA** do **S+FinMetrics**, obtemos $\hat{d} = 0,4365$. A seguir, usando o BIC como critério de escolha do modelo, ajustamos um modelo ARFIMA (p,d,q) e obtemos $\hat{d} = 0,4868$, com $p = 0, q = 1$, ou seja, um modelo ARFIMA (0,d,1), sendo $\hat{\theta} = 0,1293$. O quadro A.1 mostra esse ajuste.

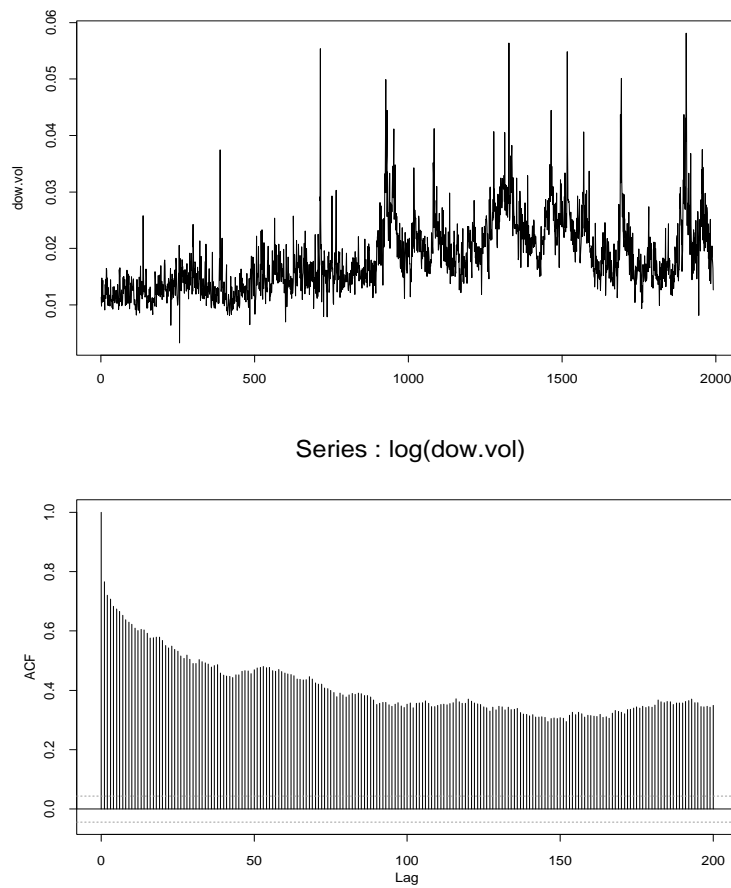


Figura A.1: Volatilidade de GK e f.a.c.

Quadro A.1: Ajuste do modelo ARFIMA (0,d,1).				
	Value	Std. Error	t value	P-value
d	0.4868	0.0257	18.9395	0.0000
MA(1)	0.1293	0.0325	3.9746	0.0001
log-likelihood		BIC		
511.2452		-1007.2997		
BIC of	all	models	estimated:	
	q=0	q=1	q=2	
p=0	-996.1286	-1007.2997	-1002.1456	
p=1	-1003.1272	-1006.0611	-1002.4372	
p=2	-985.8263	-1000.5414	-994.1989	

CAPÍTULO 7

Valor em Risco

7.1 Introdução

Neste capítulo estaremos interessados em calcular uma medida de um tipo particular de risco, o chamado risco de mercado. Tal medida é o **VaR** (valor em risco). O cálculo do **VaR** envolve o cálculo da volatilidade de um ativo financeiro ou de uma carteira de instrumentos financeiros. Nos Capítulos 1 e 5 discutimos vários aspectos relacionados com a volatilidade.

Trataremos, agora, somente de volatilidade estatística. Usaremos os modelos estudados no Capítulo 5, bem como discutiremos outros três enfoques para o cálculo do **VaR**: o já mencionado RiskMetrics, o baseado em quantis empíricos e o baseado na teoria dos valores extremos.

A abordagem baseada em modelos tipo ARCH é denominada, às vezes, de abordagem econométrica. A dificuldade com ela é que se torna difícil calcular o **VaR** de uma carteira com muitos ativos, pois seria necessário ajustar um modelo heteroscedástico condicional multivariado, que é uma tarefa complicada ou, muitas vezes, impossível. Por isso, o enfoque baseado no RiskMetrics, que supõe que se tenha um modelo de passeio casual com inovações normais, e modela a volatilidade e correlações por meio de modelos EWMA, é mais difundido e mais simples de implementar na prática.

As empresas em geral estão expostas a três classes de risco: operacional, estratégico e financeiro. Os riscos financeiros estão ligados às variações de variáveis financeiras (como juros e taxas de câmbio) que podem implicar em perdas financeiras.

Os riscos financeiros ainda podem ser de vários tipos, como operacional, de crédito, de liquidez, legal e de mercado. Estaremos interessados somente nos riscos financeiros de mercado, que estão relacionados às perdas potenciais associadas ao comportamento do mercado.

Portanto, o VaR será uma medida de risco financeiro de mercado e que dá uma medida do grau de incerteza sobre retornos líquidos futuros.

No caso de risco de crédito, há algumas metodologias, como o CreditRisk+, desenvolvido pelo Crédit Suisse First Bank e o CreditMetrics, proposto pelo banco J.P. Morgan. Os interessados podem consultar os documentos preparados por essas instituições. Uma referência interessante e que compara as duas metodologias é Gordy (2000).

7.2 Valor em Risco

Informalmente, o VaR é uma medida da variação potencial máxima do valor de um ativo (ou carteira de ativos), sobre um período pré-fixado, com dada probabilidade. Ou seja, quanto se pode perder, com probabilidade p , sobre um horizonte h fixado.

Do ponto de vista de uma empresa, o VaR é uma medida de perda associada a um evento extremo, sob condições normais de mercado.

Exemplo 7.1. Suponha que exista uma chance de 95% de que a taxa de câmbio Real/USD não caia em um dia. Suponha, ainda, que uma empresa tenha 100 milhões de reais aplicados num fundo cambial. Calculemos a perda potencial sobre esse valor aplicado.

Uma série temporal do desvio padrão (volatilidade) σ_t dos retornos r_t da taxa de câmbio Real/USD pode dar uma indicação da variação da taxa. Admita o modelo (2.75) para os retornos r_t , ou seja, estamos admitindo normalidade. Suponha que uma estimativa do desvio padrão hoje seja $\sigma_t = 0,46\%$ (veremos na seção 6.3 como obter essa estimativa). Então o VaR é calculado como

$$\text{VaR} = (1,65)(\sigma_t) = (1,65)(0,46) = 0,759\%.$$

Portanto, não se espera que a taxa de câmbio caia mais do que 0,759%, com 95% de probabilidade. O valor 1,65 é o (0,95)-quantil da $\mathcal{N}(0, 1)$. Em reais, o VaR é o valor de mercado da posição multiplicado pelo valor obtido acima, ou seja,

$$\text{Risco} = 100 \text{ milhões} \times 0,759\% = 759.000,00 \text{ reais.}$$

A conclusão é que em 95% das vezes, não se perderá mais do que R\$ 759.000,00 em um dia.

Passemos a definir formalmente o VaR. Para tanto definamos os dois tipos

de posições financeiras em uso.

Uma posição financeira *comprada* (ou *long*) significa possuir determinado ativo (ou carteira de ativos). Uma posição financeira *vendida* (ou *short*) envolve vender um ativo que não se possui. Essa operação é realizada alugando-se o ativo. Em data futura, o vendedor é obrigado a comprar exatamente o mesmo número de cotas ou ações alugadas (e não o valor em moeda), para pagar o débito. Como o pagamento é em cotas ou ações, o vendedor ganha com a queda do preço do ativo.

Suponha que no instante t estejamos interessados em calcular o risco de uma posição financeira para o horizonte $h > 0$. Seja

$$\Delta P(h) = P(t + h) - P(t)$$

a variação do valor do ativo entre os dois instantes. A quantidade $\Delta P(h)$ representa o lucro ou a perda ($L \& P$) da posição sobre o horizonte h . Do ponto de vista prático, é o $L \& P$ obtido marcando-se a posição a mercado hoje e deixando-a sem mudanças até uma nova marcação h dias depois, digamos. Chamemos de $F_h(\cdot)$ a função de distribuição acumulada (f.d.a.) de $\Delta P(h)$.

Definição 7.1. Definimos o **VaR** de uma posição comprada sobre o horizonte h , com probabilidade p , $0 < p < 1$, por meio de

$$p = P(\Delta P(h) \leq \text{VaR}) = F_h(\text{VaR}). \quad (7.1)$$

Observemos que o **VaR** depende de p e de h , ou seja, deveríamos escrever $\text{VaR}_{p,h}$. Além disso, o valor em risco aumenta com p diminuindo ou com h aumentando.

Algumas observações são necessárias aqui:

- (i) O **VaR** em (7.1) é dado em unidades monetárias (u.m.), por exemplo, reais. Lembremos que os retornos simples, R_t , são dados em porcentagem e que os log-retornos r_t são aproximadamente iguais a R_t , logo podemos supor que os r_t medem, aproximadamente, variações porcentuais. Assim sendo, usaremos log-retornos no que segue.
- (ii) A definição 7.1 mostra que o **VaR** é o p -quantil da distribuição $F_h(\cdot)$. Na prática, teremos que estimar esse quantil, usando por exemplo a distribuição empírica dos retornos.
- (iii) O **VaR** calculado em (7.1) tem valor negativo, pois quem tem uma posição

comprada sofre uma perda se $\Delta P(h) < 0$.

(iv) A quantia em u.m. no cálculo do **VaR** é obtida como no exemplo 7.1, ou seja, multiplicando o valor da posição financeira pelo **VaR** do log-retorno. A posição financeira em u.m. é usualmente o valor do ativo marcado pelo mercado (*mark-to-market*).

No caso de uma posição vendida, há perda se $\Delta P(h) > 0$, ou seja, o preço do ativo aumenta. Neste caso o **VaR** é definido por

$$p = P(\Delta P(h) \geq \text{VaR}) = 1 - F_h(\text{VaR}), \quad (7.2)$$

que tipicamente é positivo para p pequeno. O sinal positivo aqui indica perda.

As definições (7.1) e (7.2) implicam que o **VaR** é calculado usando a cauda esquerda da distribuição $F_h(\cdot)$, para uma posição comprada e usando a cauda direita, para uma posição vendida. Também, a definição (7.1) aplica-se a uma posição vendida se usarmos a distribuição de $-\Delta P(h)$. Portanto, basta considerar o cálculo do **VaR** para uma dessas posições.

7.3 VaR Usando a Distribuição Normal

Nesta seção discutiremos a abordagem do RiskMetrics (veja Longerstaey e More, 1995). Aqui, a suposição é que a distribuição condicional dos retornos, dada a informação passada, é normal com média zero e variância σ_t^2 , ou seja,

$$r_t | \mathcal{F}_{t-1} \sim \mathcal{N}(0, \sigma_t^2).$$

Além disso, para estimar a volatilidade σ_t^2 é usado o modelo EWMA (“exponentially weighted moving average”)

$$\sigma_t^2 = \lambda \sigma_{t-1}^2 + (1 - \lambda) r_{t-1}^2, \quad 0 < \lambda < 1. \quad (7.3)$$

O valor do parâmetro de suavização λ pode ser escolhido minimizando-se o erro quadrático médio (EQM) de ajuste ou de previsão. A metodologia RiskMetrics sugere usar $\lambda = 0,94$. Manteiga (2002) encontra, para séries brasileiras, valores que variam entre 0,83 e 0,91. Para a série de retornos diários da Petrobras, no período 1998-2010, obtivemos $\lambda = 0,83$. Contudo, por simplicidade, vamos usar o valor 0,90 em todas as nossas aplicações.

No caso de uma carteira com m ativos, poderemos proceder como segue. Seja $\hat{\lambda}_i$ o valor ótimo (segundo o critério de menor EQM) para o i -ésimo ativo, e seja τ_i o correspondente valor do EQM. Se $\pi = \sum_{i=1}^m \tau_i$, os pesos dos ativos

são obtidos por meio de $w_i = \theta_i^{-1}/\sum \theta_i^{-1}$, onde $\theta_i = \tau_i/\pi$. O valor ótimo de λ é dado, então, por $\tilde{\lambda} = \sum_{i=1}^m w_i \hat{\lambda}_i$.

Uma maneira equivalente de formular o modelo é usar a abordagem de modelos GARCH, notando-se que (7.3) pode ser pensado como um modelo IGARCH(1,1).

Vimos no Capítulo 1 que o log-retorno de k períodos, $r_t[k]$, do instante $t+1$ ao instante $t+k$, é dado por

$$r_t[k] = r_{t+1} + r_{t+2} + \dots + r_{t+k},$$

de modo que podemos escrever que

$$r_t[k] | \mathcal{F}_t \sim \mathcal{N}(0, \sigma_t^2[k]),$$

onde $\sigma_t^2[k]$, a volatilidade desse retorno, pode ser calculada usando resultados da modelagem GARCH. De fato, como podemos escrever

$$\begin{aligned} \log P_t - \log P_{t-1} &= r_t = a_t, \\ a_t &= \sigma_t \varepsilon_t \sim \text{IGARCH}(1, 1), \\ \varepsilon_t &\sim \mathcal{N}(0, 1), \end{aligned}$$

segue-se que

$$\begin{aligned} \sigma_t^2[k] &= \text{Var}(r_t[k] | \mathcal{F}_t) = \text{Var}\left(\sum_{i=1}^k r_{t+i} | \mathcal{F}_t\right) = \\ &= \sum_{i=1}^k \text{Var}(a_{t+i} | \mathcal{F}_t), \end{aligned}$$

dado que os a_t são não correlacionados. Como $a_{t-1} = r_{t-1} = \sigma_{t-1} \varepsilon_{t-1}$, obtemos de (7.3)

$$\sigma_t^2 = \lambda \sigma_{t-1}^2 + (1 - \lambda) \sigma_{t-1}^2 \varepsilon_{t-1}^2,$$

ou ainda,

$$\sigma_t^2 = \sigma_{t-1}^2 + (1 - \lambda) \sigma_{t-1}^2 (\varepsilon_{t-1}^2 - 1).$$

Dessa relação obtemos

$$\sigma_{t+i}^2 = \sigma_{t+i-1}^2 + (1 - \lambda) \sigma_{t+i-1}^2 (\varepsilon_{t+i-1}^2 - 1), \quad i = 2, \dots, k.$$

Como $E(\varepsilon_{t+i-1}^2 - 1 | \mathcal{F}_t) = 0$, $i \geq 2$, obtemos

$$E(\sigma_{t+i}^2 | \mathcal{F}_t) = E(\sigma_{t+i-1}^2 | \mathcal{F}_t), \quad i = 2, \dots, k. \quad (7.4)$$

Para previsão a um passo da volatilidade, de (7.3) obtemos

$$\sigma_{t+1}^2 = \lambda\sigma_t^2 + (1-\lambda)r_t^2,$$

ou seja, $\hat{\sigma}_t^2(1) = \lambda\sigma_t^2 + (1-\lambda)r_t^2$, e (7.4) mostra que

$$\text{Var}(r_{t+i} | \mathcal{F}_t) = \sigma_{t+1}^2, \quad i = 2, \dots, k,$$

ou seja,

$$\sigma_t^2[k] = k\hat{\sigma}_t^2(1). \quad (7.5)$$

Isto é, podemos escrever que

$$r_t[k] | \mathcal{F}_t \sim \mathcal{N}(0, k\hat{\sigma}_t^2(1)).$$

Portanto, sob o modelo adotado (7.3), a variância condicional dos log-retornos de k períodos é proporcional ao horizonte k e o desvio padrão condicional de $r_t[k]$ é dado por $\sqrt{k}\sigma_{t+1}$, expressão essa usualmente chamada “regra da raiz quadrada do tempo”. Note que $\sigma_{t+1} = \sqrt{\hat{\sigma}_t^2(1)}$.

Por exemplo, se fixarmos em (7.1) a probabilidade $p = 5\%$, então o Risk-Metrics usa $-1,65\sigma_{t+1}$ como VaR, que é o 0,05-quantil da normal com média zero e variância σ_t^2 . Normalmente o sinal negativo, que significa perda, é ignorado e

$$\text{VaR} = (\text{Valor da posição}) \times (1,65) \times (\sigma_{t+1}).$$

Essa expressão corresponde ao VaR de um período (um dia, por exemplo). O VaR de k períodos é dado por

$$\text{VaR}[k] = (\text{Valor da posição}) \times (1,65) \times \sqrt{k} \times \sigma_{t+1},$$

ou seja,

$$\text{VaR}[k] = \sqrt{k}\text{VaR}. \quad (7.6)$$

Exemplo 7.1. (continuação) Vimos que

$$\text{VaR} = (100 \text{ milhões}) \times (1,65) \times (0,46\%) = 759.000,00,$$

ao passo que o VaR de 30 dias é dado por

$$\text{VaR}[30] = (100 \text{ milhões}) \times (1,65) \times \sqrt{30} \times (0,46\%) = 4.157.214,00.$$

Exemplo 7.2. Suponha que uma empresa tenha uma posição comprada de 10 milhões de reais em ações da Petrobras e queremos calcular o VaR de 1 e 15 dias. Consideremos os log-retornos diários da Petrobras, com $T = 2990$ observações, de 01/09/1998 a 29/09/2010, mostrados na Figura 7.1. Temos, então,

$$\sigma_t^2 = 0,90\sigma_{t-1}^2 + 0,10r_{t-1}^2.$$

Dos dados obtemos $r_{2990} = 0,029522$ e, do modelo ajustado, obtemos $\hat{\sigma}_{2990}^2 = 0,000545$. Logo, a estimativa da volatilidade 1 passo a frente é dada por $\sqrt{\hat{\sigma}_{2990}^2(1)} = \sqrt{0,000578} = 0,024404$. Se $p = 0,05$, o quantil da distribuição é $(-1,65)(0,024404) = -0,040267$. O sinal negativo indica perda e o VaR de um dia será

$$\text{VaR} = 10.000.000,00 \times 0,040267 = 402.670,00,$$

ao passo que o VaR de 15 dias será

$$\text{VaR}[15] = \sqrt{15} \times 402.670,00 = 1.559.534,00.$$

O VaR de uma posição vendida no mesmo valor seria idêntico, a diferença é que o quantil a ser usado seria positivo, que nesse caso também indica perda.

Os cálculos podem ser feitos por meio de algum programa que estime λ , como por exemplo o EViews ou o S+FinMetrics. Usando este último, obtemos o gráfico de σ_t da Figura 7.2. Compare com a Figura 5.2.

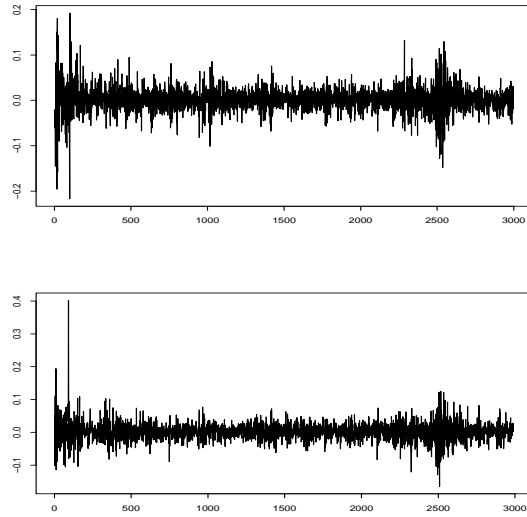


Figura 7.1: Retornos diáridos da Petrobras e Vale

Observações. (i) Se a média da série não for zero, o modelo fica

$$r_t = \mu + a_t, \quad a_t = \sigma_t \varepsilon_t,$$

$$\sigma_t^2 \sim \text{IGARCH}(1, 1), \quad \varepsilon_t \sim \mathcal{N}(0, 1).$$

Neste caso o p -quantil é dado por $\mu + z_p \sigma_{t+1}$, onde z_p é o p -quantil da normal padrão; se $p = 0,05$, então $z_p = -1,65$.

Para k períodos, o p -quantil é $k\mu + z_p \sqrt{k} \sigma_{t+1}$; se $p = 0,05$, este ficará $k\mu - 1,65\sqrt{k}\sigma_{t+1} = \sqrt{k}(\sqrt{k}\mu - 1,65\sigma_{t+1})$, que não é igual a $\sqrt{k}\text{VaR}$.

(ii) Suponha que se tenha agora uma carteira com m posições financeiras e sejam r_{1t}, \dots, r_{mt} os respectivos retornos. Sejam

$$\rho_{ij} = \text{Corr}(r_{it}, r_{jt}) = \frac{\gamma_{ij,t}}{\sigma_{ii,t} \sigma_{jj,t}},$$

para $i < j = 1, \dots, m$, as correlações entre os retornos. Então as covariâncias $\gamma_{ij,t}$ são estimadas usando, no lugar de (7.3), o modelo

$$\gamma_{ij,t} = \lambda \gamma_{ij,t-1} + (1 - \lambda) r_{i,t-1} r_{j,t-1}. \quad (7.7)$$

Dessa maneira, é fácil ver que o VaR da carteira é dado por

$$\text{VaR} = \sqrt{\sum_{i=1}^m \text{VaR}_i^2 + 2 \sum_{i < j} \rho_{ij} \text{VaR}_i \text{VaR}_j}, \quad (7.8)$$

onde VaR_i é o valor em risco para o retorno r_{it} . O S+FinMetrics calcula as correlações por meio da função EWMA.

Exemplo 7.3. Considere uma carteira com dois ativos, sendo uma posição de 10 milhões de reais em ações da Petrobras e outra de 5 milhões de reais em ações da Vale, ambos com $T = 2990$ observações. Os retornos diários da Vale estão mostrados na Figura 7.1. Vamos calcular o VaR de um dia da carteira, usando (7.8). No exemplo anterior, vimos que $\text{VaR}_1 = -0,040267$. Para calcular o VaR para a segunda posição, ainda supondo que $\lambda = 0,90$, obtemos $\hat{\sigma}_{2990}^2(1) = 0,000215$ e o $\text{VaR}_2 = -1,65\sqrt{0,000215} = -0,024206$. Em reais, este VaR é de $5.000.000,00 \times 0,024206 = 121.030,00$. O desvio padrão condicional dos retornos da Vale estão na Figura 7.2. Compare com a Figura 5.9.

A seguir, usaremos (7.7) para estimar a covariância prevista no instante $t = 2990$. Usando $\lambda = 0,90$ para a carteira, temos que

$$\hat{\gamma}_{12,2990}(1) = 0,90\gamma_{12,2990} + 0,10r_{1,2990}r_{2,2990},$$

sendo que $r_{1,2990} = 0,02952$, $r_{2,2990} = 0,004348$ e $\gamma_{12,2990} = 0,0001041$. Obtemos, então, $\hat{\gamma}_{12,2990}(1) = 0,000107$. Segue-se que a correlação ρ_{12} entre os dois ativos é estimada por

$$\hat{\rho}_{12,2990}(1) = (0,000107)/(0,024404 \times 0,014670) = 0,297545.$$

Logo, o VaR de um dia da carteira é

$$\begin{aligned} \text{VaR} &= \sqrt{(-0,040267)^2 + (-0,024206)^2 + 2(0,297545)(-0,040267)(-0,024206)} \\ &= 0,052796. \end{aligned}$$

O VaR da carteira em reais é $15.000.000,00 \times 0,052796 = 791.940,00$.

Na Figura 7.3, temos ilustradas as correlações entre os retornos, ao longo do tempo. Nesse exemplo usamos o programa S+FinMetrics para fazer os cálculos e figuras.

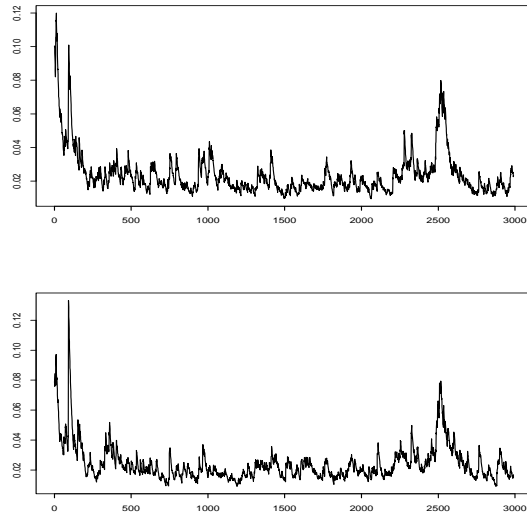


Figura 7.2: Desvios padrões condicionais dos retornos da Petrobras e Vale.

7.4 VaR Usando Modelos ARMA e GARCH

Lembremos que uma série de retornos é, em geral, não correlacionada, mas dependente. Se esse for o caso, a volatilidade é modelada por um dos modelos heteroscedásticos considerados no Capítulo 5. Mas vimos também que algumas séries de retornos ainda exibem a presença de autocorrelação, havendo a necessidade de eliminá-la por meio do ajuste inicial de um modelo linear, por exemplo da família ARMA.

A estratégia é, portanto, modelar a média da série de retornos r_t por meio de um modelo ARMA e depois modelar os resíduos a_t desse modelo por um membro da família ARCH. Por exemplo, se escolhermos um modelo GARCH(m,n) para usar, teremos o modelo ARMA(p,q)-GARCH(m,n):

$$r_t = \phi_0 + \sum_{i=1}^p \phi_i r_{t-i} + a_t - \sum_{j=1}^q \theta_j a_{t-j}, \quad (7.9)$$

$$a_t = \sigma_t \varepsilon_t, \quad (7.10)$$

$$\sigma_t^2 = \alpha_0 + \sum_{i=1}^m \alpha_i a_{t-i}^2 + \sum_{j=1}^n \beta_j \sigma_{t-j}^2. \quad (7.11)$$



Figura 7.3: Correlações entre retornos da Petrobras e Vale.

Como estudamos no Capítulo 5 podemos escolher para ε_t uma distribuição normal, t ou distribuição de erro generalizada.

Se escolhermos $\varepsilon_t \sim \mathcal{N}(0, 1)$, resulta que

$$r_{t+1} | \mathcal{F}_t \sim \mathcal{N}(\hat{r}_t(1), \hat{\sigma}_t^2(1)),$$

onde $\hat{r}_t(1)$ e $\hat{\sigma}_t^2(1)$ são as previsões a um passo da média e variância usando (7.9) e (7.11), respectivamente.

Supondo-se, por exemplo, $p = 0,05$,

$$\text{VaR} = \hat{r}_t(1) - 1,65\hat{\sigma}_t(1). \quad (7.12)$$

Escolhendo-se $\varepsilon_t \sim t_\nu$, o p -quantil é dado por $\hat{r}_t(1) - t_\nu(p)\hat{\sigma}_t(1)$, onde $t_\nu(p)$ é o p -quantil da distribuição t_ν padronizada.

Chamando de $Q(p)$ o p -quantil de t_ν , então temos

$$\begin{aligned} p &= P(t_\nu \leq Q(p)) = P\left(\frac{t_\nu}{\sqrt{\nu/(\nu-2)}} \leq \frac{Q(p)}{\sqrt{\nu/(\nu-2)}}\right) = \\ &= P(t_\nu \leq Q(p)), \quad \nu > 2, \end{aligned}$$

ou seja, $Q(p)$ é p -quantil da distribuição t_ν padronizada. Logo,

$$\text{VaR} = \hat{r}_t(1) - \frac{t_\nu(p)\hat{\sigma}_t(1)}{\sqrt{\nu/(\nu-2)}}. \quad (7.13)$$

Exemplo 7.4. Consideremos a mesma situação do exemplo 7.2 e calculemos o VaR, com $p = 0,05$. Um modelo adequado para a série é um AR(15) – GARCH(1,1) gaussiano, dado por (5.37). No entanto, vamos usar um modelo mais simples, AR(1)–GARCH(1,1), que também passa por todos os testes de diagnóstico:

$$\begin{aligned} r_t &= 0,00146 + 0,08020r_{t-1} + a_t, \\ a_t &= \sigma_t \varepsilon_t, \quad \varepsilon_t \sim \mathcal{N}(0,1), \\ \sigma_t^2 &= 0,000016 + 0,09772a_{t-1}^2 + 0,87624\sigma_{t-1}^2. \end{aligned}$$

Dos dados sabemos que $r_{2997} = 0,007519$ e $r_{2998} = 0,029522$, de modo que a previsão da série um passo à frente é dada por

$$\hat{r}_{2998}(1) = 0,00146 + 0,08020r_{2998} = 0,003828$$

A previsão da volatilidade um passo à frente é

$$\hat{\sigma}_{2998}^2(1) = 0,000016 + 0,09772a_{2998}^2 + 0,87624\sigma_{2998}^2.$$

Agora, $a_{2998} = r_{2998} - 0,00146 - 0,0802r_{2997} = 0,027459$ e $\sigma_{2998}^2 = 0,000533$ (obtida do modelo GARCH ajustado), de modo que

$$\hat{\sigma}_{2998}^2(1) = 0,000016 + (0,09772)(0,027459)^2 + (0,87624)(0,000533) = 0,000557.$$

O 0,05-quantil será, então,

$$\hat{r}_{2998}(1) - 1,65\hat{\sigma}_{2998}(1) = 0,003828 - 1,65(0,023601) = -0,035114.$$

Finalmente, o valor em risco de um dia é dado por

$$\text{VaR} = 10.000.000,00 \times 0,035114 = 351.140,00.$$

Para se obter o VaR de k períodos, temos que obter $r_t[k]$ como antes. Estando na origem T ,

$$r_T[k] = r_{T+1} + \dots + r_{T+k},$$

e usando (7.9) e (7.11) podemos obter a média e variância condicionais de $r_T[k]$ dada a informação \mathcal{F}_T até o instante T . Então, a seguinte proposição pode ser provada (veja Tsay, 2005 e Problema 4).

Proposição 7.1. (a) A previsão da média do retorno r_t no período k é dada por

$$\hat{r}_T[k] = \hat{r}_T(1) + \dots + \hat{r}_T(k), \quad (7.14)$$

onde $\hat{r}_T(h)$ é a previsão de origem T e horizonte h usando (7.9).

(b) O erro de previsão é dado por

$$e_T[k] = a_{T+k} + (1 + \psi_1)a_{T+k-1} + \dots + (\sum_{i=0}^{k-1} \psi_i)a_{T+1}, \quad (7.15)$$

onde os ψ_i são os pesos da representação do processo como uma média móvel infinita.

(c) A previsão da volatilidade do retorno no período k é dada por

$$\text{Var}(e_T[k]|\mathcal{F}_T) = \hat{\sigma}_T^2(k) + (1 + \psi_1)^2 \hat{\sigma}_T^2(k-1) + \dots + (\sum_{i=0}^{k-1} \psi_i)^2 \hat{\sigma}_T^2(1), \quad (7.16)$$

onde $\hat{\sigma}_T^2(h)$ é a previsão h passos à frente da volatilidade usando (7.11).

Exemplo 7.4. (continuação). Calculemos o VaR de 5 dias para o exemplo anterior. Para um modelo AR(1)

$$r_t = \phi_0 + \phi_1 r_{t-1} + a_t,$$

sabemos que $\psi_j = \phi_1^j$, $j \geq 1$. A previsão de origem T e horizonte h é dada por

$$\hat{r}_T(h) = \phi_0 + \phi_1 \hat{r}_T(h-1),$$

sendo que para $h = 1$, $\hat{r}_T(0) = r_T$. Trabalhando com os valores do exemplo 7.4 é fácil ver que obtemos $\hat{r}_{2998}[5] = 0,0015874$. Lembremos que as previsões $\hat{r}_t(\ell)$ convergem para $E(r_t) = 0,00159$, quando $\ell \rightarrow \infty$.

Por outro lado, para o modelo GARCH(1,1) temos que

$$\hat{\sigma}_T^2(h) = \alpha_0 + (\alpha_1 + \beta_1) \hat{\sigma}_T^2(h-1), \quad h \geq 2,$$

sendo que para $h = 1$ a previsão é $\alpha_0 + \alpha_1 a_T^2 + \beta_1 \sigma_T^2$. Usando os valores obtidos no exemplo 7.4, podemos calcular as previsões da volatilidade para $h = 1, 2, \dots, 5$. Finalmente, usando (7.16) obtemos a previsão da volatilidade do retorno de 5 dias, ou seja,

$$\sigma_T^2[5] = \hat{\sigma}_T^2(5) + (1 + \psi_1)^2 \hat{\sigma}_T^2(4) + \dots + (1 + \psi_1 + \dots + \psi_4)^2 \hat{\sigma}_T^2(1),$$

cujo valor resulta $\sigma_T^2[5] = 0,0034122$. O valor em risco de 5 dias é, então, com $p = 0,05$,

$$\text{VaR}[5] = 0,0015874 - 1,65 \sqrt{0,0034122} = -0,0947958.$$

Em u.m., obtemos o valor R\$947.958,00.

7.5 VaR Usando Quantis Empíricos

Uma maneira de estimarmos de forma não paramétrica o VaR é por meio dos quantis empíricos dos dados observados, conforme definidos em (1.21). Rememorando, chamando de r_1, \dots, r_T os retornos observados, o estimador do p -quantil é dado por

$$q_p = \begin{cases} r_{(i)}, & \text{se } p = p_i = (i - 0,5)/T, i = 1, \dots, T \\ (1 - f_i)r_{(i)} + f_i r_{(i+1)}, & \text{se } p_i < p < p_{i+1} \\ r_{(1)}, & \text{se } 0 < p < p_1 \\ r_{(T)}, & \text{se } p_T < p < 1, \end{cases} \quad (7.17)$$

onde $f_i = (p - p_i)/(p_{i+1} - p_i)$.

Uma suposição aqui adotada é que a distribuição dos retornos continue válida para o período de previsão, o que pode não ser razoável.

Supondo-se os r_t i.i.d., com densidade f e $f(Q(p)) \neq 0$, pode-se demonstrar que $r_{(j)}$ é aproximadamente normal, com média $Q(p)$ e variância $p(1 - p)/T[f(Q(p))]^2$, se $j = Tp$. Ou seja, pela definição dada acima, os quantis empíricos são aproximadamente normais, para $p = p_i$, $0 < p < p_1$ e $p_T < p < 1$, e misturas de normais, para $p_i < p < p_{i+1}$.

Exemplo 7.5. Considere os mesmos dados do exemplo 7.2 e calculemos o VaR de um dia usando os quantis empíricos. Por (7.17) temos $p_{150} = 0,049867$, $p_{151} = 0,050200$ e $f_{150} = 0,40$ de onde

$$q(0, 05) = (0, 60)r_{(150)} + (0, 40)r_{(151)} = -0, 040005.$$

Segue-se que o valor em risco de um dia da posição é $\text{VaR} = 400.050,00$ reais.

7.6 VaR Usando a Teoria de Valores Extremos

Obtidas as estatísticas de ordem $r_{(1)} \leq \dots \leq r_{(T)}$, vamos nos fixar em $r_{(1)} = \min\{r_1, \dots, r_T\}$ e $r_{(T)} = \max\{r_1, \dots, r_T\}$. O mínimo é relevante para o cálculo do VaR para posições financeiras compradas e o máximo é relevante para posições vendidas. Basta considerar um dos casos, devido ao fato que $r_{(1)} = -\max\{s_1, \dots, s_T\}$, onde $s_t = -r_t$, $t = 1, \dots, T$.

A teoria de valores extremos (TVE) clássica estuda o comportamento de máximos, mínimos e outras estatísticas de ordem, para sequências de variáveis aleatórias independentes e identicamente distribuídas (i.i.d.). Extensões para o caso de séries estacionárias com dependência fraca e séries não estacionárias foram consideradas na literatura. Veja Coles (2001) para detalhes. Mesmo que a série seja dependente, considerando-se os máximos de blocos, como veremos a seguir, a suposição de que esses máximos sejam independentes parece ser razoável na prática.

Um resumo da TVE, relevante aos nossos propósitos, é dada no Apêndice 7. Vamos nos concentrar no máximo $r_{(T)}$. A TVE procura obter a distribuição limite (aproximada) para o máximo normalizado

$$r_T = \frac{r_{(T)} - b_T}{a_T}, \quad (7.18)$$

para sequências de constantes $\{a_T > 0\}$ e $\{b_T\}$, que são escolhidas de modo a estabilizar a posição e escala do máximo, quando $T \rightarrow \infty$. Conforme mostrado no Apêndice 6, supondo-se os retornos independentes com distribuição F , se existirem sequências como acima tais que a distribuição de (7.18) converge para a distribuição não degenerada $G(z)$, então G pertence a uma de três famílias, que podem ser conjuntamente colocadas na forma

$$G(z) = \exp \left\{ - \left[1 + \xi \left(\frac{z - \mu}{\sigma} \right) \right]^{-1/\xi} \right\}, \quad (7.19)$$

definida sobre $\{z : 1 + \xi(z - \mu)/\sigma > 0\}$, para $-\infty < \mu < \infty$, $-\infty < \xi < \infty$, $\sigma > 0$.

A família (7.19) é chamada *distribuição generalizada de valores extremos* (GVE), sendo μ o *parâmetro de posição*, σ o *parâmetro de escala* e ξ o *parâmetro de forma*. Como visto no apêndice, essa família é determinada pelo parâmetro ξ , de modo que se $\xi = 0$ obtemos a família tipo I de Gumbel, se $\xi > 0$ obtemos a família tipo II de Fréchet e se $\xi < 0$ a família tipo III de Weibull.

Para aplicar a TVE a séries de retornos, procedemos como segue:

- (a) dividimos a série observada de retornos r_1, \dots, r_T em m blocos de tamanho n ;
- (b) obtemos o máximo de cada bloco, $r_{n,i}, i = 1, \dots, m$, aos quais a TVE pode ser aplicada, ou seja, ajustamos uma distribuição GVE a esses máximos;
- (c) estimamos os quantis dessa distribuição, a partir do qual podemos obter o VaR de uma posição vendida. Note-se que

$$r_{n,i} = \max_{1 \leq j \leq n} \{r_{(i-1)n+j}\}, \quad i = 1, \dots, m. \quad (7.20)$$

Observações. (i) O comportamento das caudas de F é que determina a distribuição limite G .

(ii) A família tradicionalmente usada em gestão de risco é a família de Fréchet ($\xi > 0$).

(iii) A escolha de a_T e b_T depende de F .

A coleção de máximos (7.20) pode ser usada para estimar os parâmetros do modelo GVE. Usualmente os blocos são escolhidos de modo a corresponder a um ano de observações, se tivermos por exemplo dados mensais. No caso de retornos diárias, os valores usados são $n = 21$ (um mês), $n = 63$ (um trimestre) e $n = 252$ (um ano). Como vimos no apêndice, podemos obter os EMV, supondo

$$z_{n,i} = \frac{r_{n,i} - b_n}{a_n}. \quad (7.21)$$

Estimadores dos quantis da distribuição dos máximos de grupos são obtidos invertendo-se a equação (7.19). Se $0 < p < 1$, o $(1-p)$ -quantil é dado por

$$z_{1-p} = \begin{cases} \mu - \frac{\sigma}{\xi} [1 - \{-\log(1-p)\}^{-\xi}], & \text{se } \xi \neq 0 \\ \mu - \sigma \log[-\log(1-p)], & \text{se } \xi = 0, \end{cases} \quad (7.22)$$

com $G(z_p) = 1 - p$. Este quantil é, às vezes, chamado de *nível de retorno*, associado ao *período de retorno* $1/p$. A interpretação é que o valor z_{1-p} é

excedido pelo máximo do período (anual, por exemplo), em qualquer período, com probabilidade p . Observe que deveríamos escrever μ_n , σ_n e ξ_n em (7.22), pois para cada escolha de n temos estimativas diferentes para os parâmetros. O $(1 - p)$ -quantil estimado é obtido substituindo-se os EMV de μ , σ e ξ em (7.22).

Para obter o VaR da série de retornos original r_t temos que relacionar quantis desta série com os quantis da série dos máximos. Temos

$$p = P(r_{n,i} \geq z_{1-p}) = 1 - P(r_{n,i} \leq z_{1-p}) = 1 - [P(r_t \leq z_{1-p})]^n,$$

do que seque

$$1 - p = [1 - P(r_t \geq z_{1-p})]^n. \quad (7.23)$$

Para a série original de retornos, r_t , fixado p , o $(1 - p)$ -ésimo quantil de r_t é z_{1-p} se a probabilidade p for escolhida de (7.23) com $p = P(r_t \geq z_{1-p})$, logo devemos ter

$$1 - p = (1 - p)^n.$$

De (7.22), o VaR de uma posição vendida será dado por

$$\text{VaR} = \begin{cases} \mu_n - \frac{\sigma_n}{\xi_n} \{1 - [-n \log(1 - p)]^{-\xi_n}\}, & \text{se } \xi_n \neq 0 \\ \mu_n - \sigma_n \log[-n \log(1 - p)], & \text{se } \xi_n = 0 \end{cases} \quad (7.24)$$

Para posições compradas vale um raciocínio análogo, trabalhando com $r_{(1)}$ e a definição 6.1. Veja o Apêndice 7 para detalhes.

Resumindo, o procedimento para calcular o VaR no caso de uma posição financeira vendida, usando a TVE, é:

- (a) Selecione n e obtenha os máximos dos blocos, $\{r_{n,i}\}$.
- (b) Obtenha os EMV de μ , σ , ξ , para o valor fixado de n .
- (c) Se o modelo ajustado for adequado, use (7.24) para calcular o VaR.

Exemplo 7.6. Considere a situação em que um fundo mantém uma posição vendida de 10 milhões de reais em ações da Vale. Consideremos os $T = 2982$ últimos log-retornos, desprezando-se os primeiros 8 dados, para podermos obter $m = 142$ blocos de $n = 21$ dias, ou seja, estamos usando máximos mensais. Aos 142 máximos de blocos assim obtidos ajustamos uma distribuição GVE. Utilizamos aqui a função `gev.fit`, constante do software desenvolvido por Coles (2001), que pode ser acessado do site do autor. Os estimadores obtidos são $\hat{\mu} =$

$0,0368(0,00139)$, $\hat{\sigma} = 0,0145(0,00118)$ e $\hat{\xi} = 0,3166(0,0759)$, onde colocamos entre parênteses os respectivos desvios padrões. O valor da log-verossimilhança resultante é -352.0177 , que poderia ser usado para comparar diversos ajustes, por exemplo, para $n = 63$. A função `gev` do `S+FinMetrics/EVIS` também pode ser utilizada e aplicada neste caso produz os mesmos resultados. Substituindo esses valores em (7.24), com $p = 0,05$ obtemos $VaR=0,035770$. Segue-se que o VaR de um dia da posição é de $(10\text{milhões}) \times 0,035770 = 357.700,00$.

O VaR de k períodos é dado no Problema 5. Uma abordagem diferente, usando excessos sobre (ou abaixo) de um limiar especificado, é apresentada na seção a seguir.

7.7 VaR Usando o Método POT

Como sabemos, séries de retornos têm caudas pesadas, e as distribuições estáveis (veja o Capítulo 1) poderiam ser usadas para efeito de modelagem. O problema, como vimos, é que essas distribuições não são caracterizadas por fórmulas simples. Além disso, como as caudas são pesadas, os momentos dessas distribuições, em geral, não existem.

Uma classe de distribuições que trata do caso de decaimento polinomial das densidades é a classe das distribuições generalizadas de Pareto (DGP). A ideia é combinar um estimador não paramétrico para o centro da distribuição e um estimador paramétrico para as caudas. Um problema que surge aqui é identificar onde a cauda (ou caudas) começa(m). Para dados positivos, normalmente a cauda à direita é que interessa. Para dados que podem ser negativos, zero ou positivos (como os retornos), as duas caudas são de interesse.

Na classe DGP o decaimento é controlado por um parâmetro ξ , chamado parâmetro de forma ou *índice de cauda*. Por exemplo, no caso da distribuição de Cauchy, $\xi = 1$. O comportamento das caudas é comparado com $(1 + \xi x)^{-1/\xi}$, quando $x \rightarrow -\infty$ ou $x \rightarrow \infty$. O valor de ξ pode ser diferente para as duas caudas e pode ser estimado por máxima verossimilhança, ou usando o estimador de Hill, mas usualmente obtemos estimadores instáveis. Por essa razão, usamos o método POT (*peaks-over-threshold*), baseado na frequência de pontos na amostra que excedem níveis (*thresholds*) fixados.

Veja o Apêndice 7 para uma exposição sobre as DGP.

Essencialmente, o método POT consiste nas duas etapas a seguir, tendo-se uma amostra x_1, x_2, \dots, x_n de F .

- (a) escolha um valor u_{sup} , no caso de uma cauda, denominado limiar ótimo, a

partir do qual estimamos a cauda de F ; no caso de duas caudas, escolha dois limiares u_{inf} e u_{sup} ;

(b) construa um estimador para a cauda de F , à direita de u_{sup} (ou à esquerda de u_{inf} e à direita de u_{sup}), usando (A.8).

Como os parâmetros em (A.8) não são conhecidos eles terão que ser estimados. Vimos que EMV podem ser utilizados. A função `gpd.tail` do **S+FinMetrics** pode ser usada para ajustar uma DGP a uma série de excessos acima de um limiar. Também, a função `gpd.fit` do software desenvolvido por Coles (2001) pode ser utilizada.

Mas é necessário escolher o limiar u antes da estimação do modelo. Suponha que temos os retornos observados r_1, \dots, r_T . Denotemos por $r_{(1)}, \dots, r_{(k)}$ os retornos que excedem o limiar u e por $z_j = r_{(j)} - u$, $j = 1, \dots, k$, os excessos sobre o limiar. Então, o objetivo é modelar esses excessos por meio de uma DGP. A escolha de u é equivalente à escolha do tamanho dos blocos, no caso do uso das distribuições GVE. Há, basicamente, três métodos para a escolha do limiar: o primeiro, é baseado na média da DGP; o segundo, consiste em usar vários limiares e buscar a estabilidade dos parâmetros do modelo; o terceiro, consiste na análise de gráficos $Q \times Q$.

No primeiro método, não é difícil mostrar que $P(X - u | X > u)$ é uma função linear de u . Esta média pode ser estimada por $\bar{z} = \sum_{j=1}^k z_j$, onde z_j são os excessos definidos acima. Logo, fazendo-se um gráfico de \bar{z} em função de $u < r_{(T)}$, podemos identificar o valor de u tal que, acima dele, esse gráfico seja aproximadamente linear.

No segundo método, de modo similar, pode-se mostrar que, se u_0 for um limiar válido para excessos seguindo uma DGP, estimativas de ξ e σ^* devem ser constantes acima de u_0 , onde $\sigma^* = \sigma_u - \xi u$ e $\sigma_u = \sigma_{u_0} + \xi(u - u_0)$, se $u > u_0$. Logo, podemos selecionar u_0 como o menor valor de u para o qual estimativas desses parâmetros sejam aproximadamente constantes, num gráfico dessas estimativas em função de u .

No terceiro método podemos construir um gráfico quantil-quantil teórico para os dados, admitindo alguma distribuição, e verificando em que pontos se iniciam curvaturas indicativas de caudas pesadas.

Obtido o limiar u , os parâmetros da DGP podem ser estimados por MV. A log-verossimilhança pode ser escrita, se $\xi \neq 0$,

$$\ell(\sigma, \xi) = -k \log \sigma - (1 + 1/\xi) \sum_{i=1}^k \log(1 + \xi z_i / \sigma),$$

no caso de $1 + \xi z_i / \sigma > 0$. Caso contrário, $\ell = -\infty$. Expressão similar para o caso $\xi = 0$. A maximização é feita usando métodos numéricos.

O diagnóstico do modelo ajustado é feito pelos meios usuais, por exemplo, gráficos $Q \times Q$.

Para o cálculo do VaR, suponha que temos uma posição vendida, de modo que estamos interessados na cauda superior. Chamando de z_{1-p} o $(1-p)$ -quantil temos que

$$P(r_t > z_{1-p} | Z > u) = \left[1 + \xi \left(\frac{z_{1-p} - \mu}{\sigma} \right) \right]^{-1/\xi},$$

e chamando $p_u = P(r_t > u)$, obtemos

$$P(r_t > z_{1-p}) = p_u \left[1 + \xi \left(\frac{z_{1-p} - \mu}{\sigma} \right) \right]^{-1/\xi},$$

logo, efetuando os cálculos, obtemos que o VaR é dado por

$$z_{1-p} = u + \frac{\sigma}{\xi} \left[\left(\frac{p_u}{p} \right)^{\xi} - 1 \right]. \quad (7.25)$$

Substituindo-se os parâmetros por suas estimativas, obtemos

$$\hat{z}_{1-p} = u + \frac{\hat{\sigma}}{\hat{\xi}} \left[\left(\frac{\hat{p}_u}{p} \right)^{\hat{\xi}} - 1 \right], \quad (7.26)$$

onde a estimativa de p_u é dada pela proporção de pontos acima de u , ou seja, $\hat{p}_u = k/T$. O VaR para uma posição comprada é obtido de forma similar. Veja o Problema 10.

Exemplo 7.7. Considere os dados do exemplo 7.2. Vamos usar as funções apropriadas do software de Coles (2001). Os comandos são descritos a seguir.

```
> mrl.plot(rpetro) : # produz um gráfico das médias de excessos;
> gpd.fitrage(rpetro, 0.008, 0.03, nint=20): # produz gráficos de parâmetros em função de u;
> gpd.fit(rpetro,0.02): # estima os parâmetros de escala e forma
> gpd.petro= gpd.fit(rpetro,0.02)
> gpd.diag(gpd.petro): # produz gráficos de diagnóstico
```

Analizando o gráfico quanti-quantil para normalidade e as figuras 7.4 e 7.5, optamos pelo valor de $u = 0,02$. A função `gpd.fit` produz as estimativas,

mostradas no Quadro 7.1, que é a saída editada da função `gpd.fit`. Vemos que $\hat{\sigma} = 0,0137$, $\hat{\xi} = 0,214$ e $\hat{p}_u = 0,178$. O número de excessos é 534. O logaritmo da verossimilhança é $(-1641,662)$ e os desvios padrões dos estimadores são mostrados na última linha do quadro.

Quadro 7.1: Estimativas dos parâmetros para o exemplo 7.7.

threshold:	0.02
nexc:	534
nllh:	-1641.662
mle:	0.01373293 0.21368425
rate:	0.1781187
se:	0.0009381164 0.0536592631

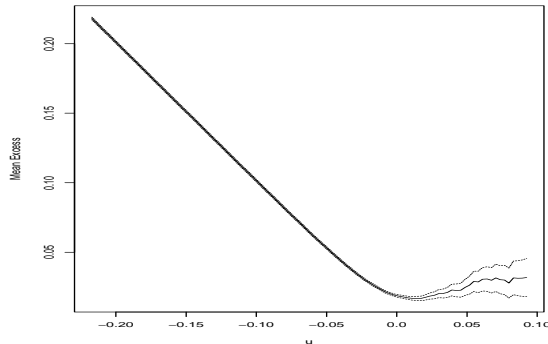


Figura 7.4: Médias de excessos em função de u .

O cálculo do valor em risco é feito usando (7.26), resultando $\text{VaR}=0,04$, valor similar àqueles encontrados pelos outros métodos. Na Figura 7.6 temos alguns gráficos de diagnóstico, produzidos pela função `gpd.diag`, mostrando que o ajuste foi satisfatório.

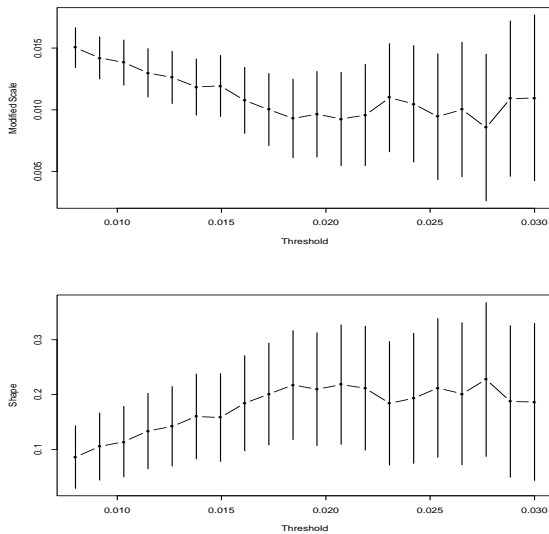


Figura 7.5: EMV e intervalos de confiança de 95% para parâmetros.

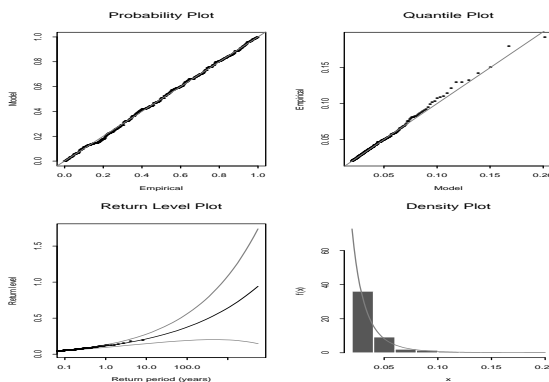


Figura 7.6: Diagnóstico para a DGP ajustada aos dados dos retornos da Petrobras..

7.8 Tópicos Adicionais

[1] Há muitas vantagens e limitações no uso do VaR (veja Alexander, 2001). Dentro as primeiras, citamos duas: pode ser usado para comparar os riscos de mercado de todos os tipos de atividades de uma empresa e pode ser estendido a outros tipos de risco, como risco de crédito e operacional. Entre as desvantagens: o VaR somente considera riscos de curto prazo em circunstâncias normais

de mercado, os custos para implementar um sistema de cálculo do VaR podem ser altos e as medidas de VaR podem ser imprecisas. De fato, o método mais utilizado faz a suposição não realista de distribuição normal para os retornos. Outra desvantagem é que o VaR não fornece informação sobre o tamanho das violações, quando elas ocorrem. Seria de interesse examinar as magnitudes dos excessos. Para uma análise empírica, veja Berkowitz e O' Brien (2002). Para uma proposta de análise dos excessos, veja Manteiga (2002).

[2] Artzner et al. (1997) introduziram certos requisitos que medidas de risco deveriam cumprir. Uma medida de risco é dita *coerente* se a cada perda X associa uma medida de risco $\rho(X)$ tal que:

- (i) $X \geq Y \rightarrow \rho(X) \geq \rho(Y)$: monotonicidade;
- (ii) $\rho(tX) = t\rho(X)$: homogeneidade;
- (iii) $\rho(X + nr) = \rho(X) - n$, onde r é a taxa livre de risco;
- (iv) $\rho(X + Y) \leq \rho(X) + \rho(Y)$: subaditividade.

As propriedades (i)-(iv) implicam que a função de risco é convexa. A propriedade (iv) nos diz que o risco total não é maior do que a soma dos riscos de posições individuais.

O VaR não é uma medida coerente de risco, pois não satisfaz necessariamente à propriedade (iv). Artzner et al. (1999) introduziram o conceito de VaR condicional, CVaR, que é uma medida coerente de risco: é a perda esperada, dado que esta excede o VaR. Formalmente, se X representa a perda para uma posição vendida,

$$\text{CVaR} = E(X|X > \text{VaR}). \quad (7.27)$$

O CVaR é também chamado “perda média de excessos” ou ainda *expected shortfall* (ES). Segue-se que $\text{CVaR} \geq \text{VaR}$. O cálculo do CVaR está intimamente ligado à distribuição de valores extremos. De fato, temos que estimar a distribuição dos excessos sobre um limiar, que conduz à distribuição generalizada de Pareto. Veja a seção 7.7 e o Apêndice 7 para detalhes.

Para uma posição vendida,

$$\text{CVaR}_p = \frac{1}{p} \int_p^1 \text{VaR}_p dp,$$

e, para uma posição comprada,

$$\text{CVaR}_p = \frac{1}{1-p} \int_0^p \text{VaR}_p dp.$$

Um problema importante é aquele de otimizar uma carteira de instrumentos financeiros com o objetivo de reduzir o risco. Trabalhos recentes têm considerado metodologias que visam otimizar o CVaR, em vez de minimizar o VaR. Veja Rockafellar e Uryasev (2000, 2002) e Andersson et al. (2001).

[3] Engle e Manganelli (2004) propuseram uma outra abordagem: em vez de modelar toda a distribuição, modela-se diretamente o quantil por meio de uma especificação autoregressiva condicional, denominada *valor em risco autoregressivo condicional* – CAViaR. Um caso particular é

$$\text{VaR}_t = \beta_0 + \beta_1 \text{VaR}_{t-1} + \ell(\beta_2, X_{t-1}, \text{VaR}_{t-1}),$$

onde o papel de $\ell(\cdot, \cdot, \cdot)$ é ligar o nível atual do valor em risco com nível anterior do retorno. Os parâmetros do modelo são estimados usando regressão quantílica (Koenker e Bassett, 1978).

[4] Uma outra maneira de calcular medidas de risco é usando os modelos CARE (*conditional autoregressive expectile*), introduzidos por Taylor (2008). Veja também Kuan et al. (2009).

7.9 Problemas

1. Suponha que um investidor tenha uma posição vendida de um milhão de reais em ações da Cemig. Considere a série de preços diários dessas ações (arquivo d-cemig95.00.dat), de 2/1/95 a 27/12/2000, com $T = 1499$ observações e obtenha os respectivos log-retornos. Use $p = 0,05$ e calcule o VaR dessa posição para horizontes de 1 e 15 dias usando:
 - (a) o método do RiskMetrics;
 - (b) um modelo gaussiano ARMA-GARCH;
 - (c) um modelo ARMA-GARCH com erros seguindo uma distribuição t de Student.
2. Considere os log-retornos diários da Petrobras (arquivo d-petro98.10.dat) e suponha uma posição vendida de cinco milhões de reais. Calcule o VaR de 1 e 30 dias usando:

- (a) um modelo gaussiano ARMA-GARCH;
 - (b) a teoria de valores extremos (GVE).
 - (c) o método POT.
3. Suponha um fundo de investimentos que possua uma posição comprada com 10 milhoes de reais em ações da IBM. Considere a série de log-retornos diárias da IBM de 3/7/62 a 31/12/99 (arquivo d-ibm62.99.dat). Calcule o **VaR** de 1 e 5 dias, usando:
- (a) quantis empíricos;
 - (b) RiskMetrics;
 - (c) teoria de valores extremos (GVE).
 - (c) O método POT.
4. Prove a Proposição 7.1.
5. Usando a TVE o **VaR** de k períodos para posições vendidas é dado por

$$\text{VaR}[k] = k^\xi \text{VaR},$$

onde ξ é o parâmetro de forma da distribuição GVE. Veja Danielsson e De Vries (1997). Obtenha o **Var** de 20 dias para o exemplo 7.6. Estamos supondo, aqui, que o valor de ξ é positivo, ou seja, a distribuição ajustada é de Fréchet. No caso de posição comprada, usando-se mínimos, o fator multiplicativo torna-se $k^{-\xi}$. Nesse caso, a distribuição de Fréchet conduz a $\xi < 0$.

- 6. Obtenha o **VaR** para uma posição comprada, usando (A.5) abaixo.
- 7. Obtenha o **VaR** de um dia de uma posição de compra de 5 milhões de reais aplicada em ações da Petrobras, usando a teoria dos valores extremos. Use os retornos do arquivo d-petro98.10.dat.
- 8. Para o exemplo 7.4, considere o modelo AR(15) – GARCH(1,1), mas agora usando a distribuição t_ν . Obtenha o **VaR** de um dia e de 5 dias.
- 9. Prove (7.8).
- 10. Obtenha o **VaR** usando o método DGP para posições compradas.

11. Para o exemplo 7.6, use a função `gev.diag`, do software de Coles (2001), para verificar se o modelo GVE ajustado é satisfatório.
12. Prove que o CVaR é uma medida coerente de risco.

Apêndice 7. Teoria de Valores Extremos

Teorema Limite Para Máximos

Considere o máximo $r_{(T)} = \max\{r_1, \dots, r_T\}$ de uma série observada de retornos, supostos independentes com distribuição $F(\cdot)$. Então,

$$P(r_{(T)} \leq z) = P(r_1 \leq z, \dots, r_T \leq z) = \prod_{i=1}^T P(r_i \leq z) = [F(z)]^T. \quad (A.1)$$

Como F é desconhecida, (A.1) também o é. Seja z_+ o menor valor de z tal que $F(z) = 1$. Então $F^T(z) \rightarrow 0$, $T \rightarrow \infty$, para todo $z < z_+$, logo a distribuição de $r_{(T)}$ é degenerada em z_+ . Esta dificuldade é contornada considerando-se sequências $\{a_T > 0\}$ e $\{b_T\}$ tais que

$$r_T = \frac{r_{(T)} - b_T}{a_T} \quad (A.2)$$

convirja para uma distribuição não-degenerada, para $T \rightarrow \infty$. O seguinte resultado é, então, válido.

Teorema. Se existirem sequências de constantes $\{a_T > 0\}$ e $\{b_T\}$ tais que a distribuição de r_T converja para uma distribuição $G(z)$, para $T \rightarrow \infty$, com G não degenerada, então G pertence a uma das seguintes famílias:

(i) Tipo I de Gumbel:

$$G(z) = \exp\{-\exp[-(z - b)/a]\}, \quad -\infty < z < +\infty;$$

(ii) Tipo II de Fréchet:

$$G(z) = \begin{cases} 0, & \text{se } z \leq b \\ \exp\{-[(z - b)/a]^{-\alpha}\}, & \text{se } z > b; \end{cases}$$

(iii) Tipo III de Weibull:

$$G(z) = \begin{cases} \exp\{-[-(z-b)/a]^\alpha\}, & \text{se } z < b \\ 1, & \text{se } z \geq b, \end{cases}$$

para $a > 0$, $\alpha > 0$ e b real.

Essas três classes são chamadas *distribuições de valores extremos*; a é o parâmetro de escala, b é o parâmetro de posição e α é o parâmetro de forma.

É conveniente escrever as três famílias numa única forma

$$G(z) = \exp\{-[1 + \xi(\frac{z-\mu}{\sigma})]^{-1/\xi}\}, \quad (A.3)$$

definida em $\{z : 1 + \xi(z - \mu)/\sigma > 0\}$, com $-\infty < \mu < \infty$, $\sigma > 0$, $-\infty < \xi < \infty$, e chamada *família generalizada de valores extremos* (GVE). Aqui, μ é o parâmetro de posição, σ é o parâmetro de escala e ξ é o parâmetro de forma. Temos que $\xi > 0$ para a família de tipo II (Fréchet), $\xi < 0$ para a família de tipo III (Weibull) e o caso $\xi = 0$ é obtido como o limite de (A.3) para $\xi \rightarrow 0$, conduzindo à família de tipo I de Gumbel, com $b = \mu$ e $a = \sigma$.

Com essa generalização, em vez de se ter que escolher uma família inicialmente, para depois estimar os parâmetros, a inferência se faz diretamente sobre o parâmetro ξ . Na Figura 7.7 temos as densidades das três famílias, com $\xi = 0$ (Gumbel), $\xi = 0,5$ (Fréchet) e $\xi = -0,5$ (Weibull).

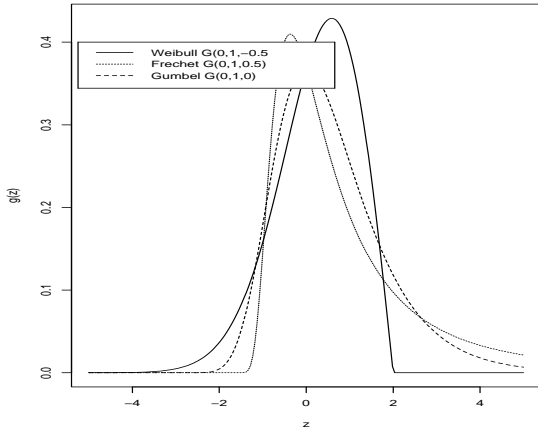


Figura 7.7: Densidades das famílias Fréchet, Weibull e Gumbel

O teorema acima pode ser usado para aproximar a distribuição de máximos de sequências longas. Na prática, os dados são divididos em m blocos de

tamanho n , digamos, gerando um conjunto de máximos $r_{n,1}, \dots, r_{n,m}$, aos quais a distribuição GVE pode ser ajustada. Em dados de séries temporais oceanográficas ou meteorológicas, por exemplo, os blocos são tomados como contendo um ano de observações. Veja o texto para o caso de retornos financeiros.

Em situações práticas há interesse em se determinar quantis da distribuição GVE. Invertendo (A.3) obtemos

$$z_{1-p} = \begin{cases} \mu - \frac{\sigma}{\xi} \{1 - [-\log(1-p)]^{-\xi}\}, & \text{se } \xi \neq 0 \\ \mu - \sigma \log[-\log(1-p)], & \text{se } \xi = 0, \end{cases} \quad (\text{A.4})$$

onde $G(z_p) = 1 - p$, ou seja, z_{1-p} é o $(1-p)$ -quantil da distribuição G e é denominado de *nível de retorno*, associado ao *período de retorno* $1/p$

Ou seja, z_{1-p} é o valor tal que, com probabilidade p , é excedido pelos máximos no período. Podemos fazer gráficos de z_{1-p} contra $y_p = -\log(1-p)$ (ou contra $\log y_p$), que é linear se $\xi = 0$

A escolha das sequências $\{a_T\}$ e $\{b_T\}$ é que determina a forma da distribuição limite (A.1). Veja Coles (2001) para detalhes e exemplos de escolhas convenientes.

Um modelo para mínimos pode ser obtido facilmente. Suponha que $r_{(1)} = \min\{r_1, \dots, r_T\}$ e tomemos $s_t = -r_t, t = 1, \dots, T$. Então, se $s_{(T)}$ for o máximo da sequência s_1, \dots, s_T , temos que $r_{(1)} = -s_{(T)}$. Logo, para T grande,

$$\begin{aligned} P(r_{(1)} \leq z) &= P(-s_{(T)} \leq z) = P(s_{(T)} \geq -z) = 1 - P(s_T \leq -z) \\ &= 1 - \exp\{-[1 + \xi(-z - \mu)/\sigma]^{-1/\xi}\} \\ &= 1 - \exp\{-[1 - \xi(z - \tilde{\mu})/\sigma]^{-1/\xi}\}, \end{aligned} \quad (\text{A.5})$$

sobre $\{z : 1 - \xi(z - \tilde{\mu})/\sigma > 0\}$, com $\tilde{\mu} = -\mu$. Esta é a distribuição GVE para mínimos. Daqui podemos obter o p -quantil z_p tal que $G(z_p) = p$.

Inferência para GVE

Um primeiro ponto a ressaltar é que a escolha do tamanho dos blocos é um fator crítico na análise; se houver poucas observações num bloco, os estimadores serão viesados e se houver muitas observações, as variâncias dos estimadores serão grandes. Como em muitas outras situações, deve haver uma escolha de compromisso entre resolução (acurácia, viés) e estabilidade

(precisão, variância). Mas como já salientamos, na prática muitas vezes há uma escolha conveniente, como por exemplo um ano de observações.

O parâmetro de forma ξ pode ser estimado por métodos não paramétricos. Não trataremos desse caso aqui e o leitor interessado pode consultar Tsay (2005) para detalhes. Vamos nos limitar aqui aos estimadores de máxima verossimilhança (EMV).

Há o problema inicial de se verificar se as condições de regularidade necessárias para o uso de propriedades assintóticas dos EMV estão satisfeitas no caso do modelo GVE. Para nosso uso, basta saber que se $\xi > -0,5$ os EMV são regulares e nos demais casos há problemas. Smith (1985) discute esses casos, mas parece que o caso $\xi \leq -0,5$ raramente ocorre nas aplicações (corresponde à distribuições com caudas à direita muito curtas), de modo que não teremos problemas em usar o método de MV aqui. Os dados disponíveis são os máximos de blocos, z_1, \dots, z_m , que supomos serem independentes com distribuição GVE. A log-verossimilhança para o caso $\xi \neq 0$ é dada por

$$\begin{aligned} \ell(\mu, \sigma, \xi | \mathbf{z}) = & -m \log \sigma - (1 + 1/\xi) \sum_{i=1}^m \log[1 + (z_i - \mu)/\sigma] \\ & - \sum_{i=1}^m [1 + \xi(z_i - \mu)/\sigma]^{-1/\xi}, \end{aligned} \quad (A.6)$$

dado que $1 + \xi(z_i - \mu)/\sigma > 0$, $i = 1, \dots, m$.

No caso $\xi = 0$, obtemos

$$\log(\mu, \sigma | \mathbf{z}) = -m \log \sigma - \sum_{i=1}^m (z_i - \mu)/\sigma - \sum_{i=1}^m \exp\{-(z_i - \mu)/\sigma\}. \quad (A.7)$$

A maximização numérica de (A.6) ou (A.7) conduz aos EMV $\hat{\mu}, \hat{\sigma}, \hat{\xi}$. Devido às propriedades dos EMV, esses estimadores terão uma distribuição assintótica normal.

O $(1 - p)$ -quantil pode ser estimado substituindo os EMV dos parâmetros em (A.4) e obtemos

$$\hat{z}_p = \begin{cases} \hat{\mu} - \frac{\hat{\sigma}}{\hat{\xi}}(1 - y_p^{-\hat{\xi}}), & \text{se } \hat{\xi} \neq 0 \\ \hat{\mu} - \hat{\sigma} \log y_p, & \text{se } \hat{\xi} = 0, \end{cases}$$

com $y_p = -\log(1 - p)$.

Pode-se estimar a variância de \hat{z}_p usando o método delta. Veja Coles (2001) para mais informações sobre este método e sobre o uso das ferramentas usuais de diagnóstico do modelo ajustado.

Distribuições de Pareto Generalizadas

Suponha que X_1, X_2, \dots sejam variáveis independentes, com a mesma f.d. F , desconhecida. Um evento é considerado extremo se $X_i > u$, onde u é um limiar alto. Segue-se que estaremos interessados em

$$P(X > u + z | X > u) = \frac{1 - F(u + z)}{1 - F(u)}, \quad z > 0.$$

Suponha que F seja tal que (A.3) valha. Então, para u suficientemente grande, a distribuição de $X - u$, condicional a $X > u$, é aproximadamente dada por

$$H(z) = 1 - \left(1 + \frac{\xi z}{\tilde{\sigma}}\right)^{-1/\xi}, \quad (A.8)$$

definida sobre o conjunto $\{z : z > 0, 1 + \xi z / \tilde{\sigma} > 0\}$, e $\tilde{\sigma} = \sigma + \xi(u - \mu)$. Os parâmetros μ, σ e ξ são os mesmos que aparecem na distribuição GVE dada em (A.3). A classe de distribuições dada por (A.8) é denominada *classe de distribuições generalizada de Pareto* (DGP). Pode-se mostrar que ξ é invariante sob escolhas dos blocos, quando se considera a classe GVE. Veja Coles (2001) para detalhes e uma prova desse resultado. Notamos o seguinte:

- (a) quando $\xi < 0$, $H(z) = 0$, $z < 0$ e $H(z) = 1$, $z > u - \tilde{\sigma}/\xi$ e $H(z)$ é dada por (A.8), se $0 \leq z \leq u - \tilde{\sigma}/\xi$, ou seja, a distribuição de excessos é limitada superiormente;
- (b) quando $\xi > 0$, $H(z) = 0$, $z < 0$, e é dada por (A.8) para $z \geq 0$, isto é, a distribuição não é limitada superiormente.
- (c) quando $\xi = 0$, a distribuição é também ilimitada, e devemos tomar o limite em (A.8) para $\xi \rightarrow 0$, obtendo-se que

$$H(z) = 1 - e^{-z/\tilde{\sigma}}, \quad z > 0,$$

que é uma distribuição exponencial com parâmetro $1/\tilde{\sigma}$. A partir de agora vamos denotar $\tilde{\sigma}$ simplesmente por σ , que deverá ser estimado juntamente com μ e ξ .

Comentários Finais

Neste apêndice fornecemos um breve resumo sobre a TVE relevante ao cálculo do VaR, concentrando-nos no caso univariado. Há extensões para observações com certo grau de dependência, séries não estacionárias e séries multivariadas.

Em algumas situações há a possibilidade de se considerar outras estatísticas de ordem, além do máximo (ou mínimo). Por exemplo, podemos ter informação sobre as r maiores estatísticas de ordem em cada instante de tempo. Veja Coles (2001), Tsay (2005), Mendes (2004), Embrechts et al. (1997) e Reiss and Thomas (2001) para informação sobre esses tópicos.

CAPÍTULO 8

Análise de Dados de Alta Frequência

8.1 Introdução

Dados financeiros de alta frequência são aqueles obtidos em intervalos muito pequenos de tempo, usualmente em escala intradiária e irregularmente espaçados no tempo. Algumas vezes, dados diários são também considerados de alta frequência. Para fixar nossa nomenclatura, consideraremos *dados de alta frequência* (DAF) como aqueles observados no decorrer de um dia de transações numa bolsa de valores, num mercado de taxas de câmbio etc.

No Capítulo 1, citamos duas séries de retornos intradiários: do Ibovespa e da Telemar PN, ambas observadas a cada quinze minutos (veja o exemplo 1.3). Vimos, também, naquele capítulo, a forma típica como esses dados são apresentados. Os dados brutos dessas duas séries, também chamados dados *tick-by-tick*, ocorreram em instantes aleatórios de tempo e depois foram “limpos” e amostrados a cada 15 minutos. Para detalhes sobre o tratamento prévio de dados intradiários, veja Dacorogna et al. (2001) e Zivot (2005). Esses dados foram obtidos da Bolsa de Valores de São Paulo (BOVESPA). Outras bases de dados do mercado acionário são a TAQ (*Trades and Quotes*) da NYSE (*New York Stock Exchange*), AMEX e NASDAQ. Como exemplo de base de dados de opções temos a *Berkeley Options Data Base* e, como exemplo de base de dados de taxas de câmbio, temos aquela organizada por Olsen Associates. Normalmente, essas bases de dados não são acessíveis gratuitamente.

No mercado brasileiro temos ainda relativamente poucos dados de ativos negociados em alta frequência. Na BOVESPA, um número pequeno de ações têm liquidez suficiente para fornecer DAF. Tipicamente, os tempos de nego-

ciação são medidos em segundos e podemos ter várias negociações no mesmo instante de tempo. As variações de preços de um ativo são dadas em múltiplos de um *tick*, que pode ser, por exemplo, um centavo de real ou um centavo de dólar.

DAF são importantes no estudo da microestrutura dos mercados financeiros. Nesses mercados, existem grandes movimentos dos preços dos ativos em intervalos de tempo menores do que um dia. No entanto, DAF também apresentam desafios, como a filtragem dos dados, pois estes podem ser registrados com erros e têm que ser corrigidos antes que qualquer análise possa ser feita.

Para as séries do Ibovespa e Telemar o número de observações de cada uma era bastante grande: 37.961 para a primeira e 21.429 para a segunda, respectivamente. Para séries de taxas de câmbio esses valores são muito maiores, pois os mercados de taxas de câmbio funcionam praticamente durante 24 horas, dadas as diferenças geográficas entre eles (veja o Apêndice 8). Assim, tamanhos de séries acima de 100.000 observações são comuns.

DAF são em geral não sincronizados. Ativos diferentes têm frequências de negociações diferentes. Além disso, para um determinado ativo, a intensidade das negociações varia ao longo do dia, sendo maior na abertura e fechamento dos pregões e menor no horário de almoço. Isso faz com que os tempos entre as negociações (ou durações, veja a seção 8.3) apresentem um ciclo diário, na forma de “U” invertido.

Para retornos diários de ações, negociações não sincronizadas podem introduzir (Tsay, 2005):

- (a) correlação não nula no lag 1 para retornos de uma ação;
- (b) correlações e correlações cruzadas não nulas no lag 1 para uma carteira de ações;
- (c) em algumas situações, correlação negativa para retornos de uma ação.

Com referência ao item (c), considere o log-retorno r_t de uma ação e suponha que $r_t \sim \text{i.i.d.}(\mu, \sigma^2)$. Seja π a probabilidade que a ação não seja negociada em qualquer instante t . Chamemos r_t^* o retorno observado no instante t . Se não houver negociação no instante t , $r_t^* = 0$ e se existir, $r_t^* = r_t + r_{t-1} + \dots + r_{t-k_t}$, onde k_t é o maior inteiro não negativo tal que não ocorram negociações nos períodos $t - k_t, t - k_t + 1, \dots, t - 1$. Então (veja Tsay, 2005, para uma prova), temos que $\text{Cov}(r_t^*, r_{t-j}^*) = -\pi^j \mu^2$, $j \geq 1$. Ou seja, quando $\mu \neq 0$, negociações não sincronizadas provocam correlação negativa na série de retornos.

Essa correlação negativa pode ser causada pelo chamado *bid-ask spread*.

Chamemos de $p_{b,t}$ o *bid price* (preço de venda para o público) e $p_{a,t}$ o *ask price* (preço de compra para o público), ambos no instante t . A diferença $s_t = p_{a,t} - p_{b,t}$ é chamada *bid-ask spread* no instante t , e é, em geral, um valor pequeno (alguns *ticks*).

O preço de um ativo num mercado “sem fricção” usualmente é definido por $p_t^* = (p_{a,t} + p_{b,t})/2$. Roll (1984) sugere um modelo para o verdadeiro preço de mercado de um ativo, em função de p_t^* . Em particular, para esse modelo, a correlação de lag 1 para os retornos é negativa e função do spread s_t . Se não tivermos interesse nos efeitos relacionados a s_t , podemos trabalhar com preços médios logarítmicos, ou seja, $x_t = [\log(p_{a,t}p_{b,t})]/2$, de modo que os retornos de período k serão dados por $r_t[k] = x_t - x_{t-k}$.

Outra característica marcante de DAF é a ocorrência de múltiplas transações no mesmo instante, mesmo com preços diferentes. Mas a grande maioria das transações não apresenta mudanças de preços.

Exemplo 8.1. Consideremos os dados de negociações das ações da Telemar no período de 8 a 10 de setembro de 2004, perfazendo 6.734 negociações. Foram retiradas as negociações que ocorreram fora do horário de funcionamento da bolsa, entre 10 horas e 17 horas, resultando 6.588 transações (146 negociações ocorreram no chamado período “after market”, horário em que a bolsa está fechada). Vários autores consideram que essas observações têm um padrão diferente das negociações que ocorrem durante o período normal de funcionamento da bolsa. Veja Engle (2000) e Zhang et al. (2001). Nesse caso, aproximadamente 2,17% das negociações referem-se às operações feitas por via eletrônica. Veja também Stoll e Whaley (1990).

Há inúmeras negociações que ocorreram ao mesmo tempo, a saber, 2.026, representando aproximadamente 30% do total. Dessas, apenas 35% apresentaram alterações de preços. Ou seja, transações simultâneas parecem não trazer grande informação sobre a microestrutura do mercado relevante para um tratamento estatístico. Essas negociações simultâneas são, em geral, excluídas na modelagem estatística de tempos entre negociações.

Na Tabela 8.1, selecionamos 4.096 valores selecionados entre os 4.562 que não apresentaram transações simultâneas, classificando os movimentos de preços da ação. As alterações de preços foram classificadas como aumento (+), estabilidade (0) e diminuição (-). A tabela mostra os movimentos de preços entre duas negociações consecutivas, ou seja, da $(t-1)$ -ésima para a t -ésima.

Notamos que:

Tabela 8.1: Movimentação de preços em negociações consecutivas para a Telemar.

neg. t neg. $t - 1$	+	0	-	Total
+	168(4,1%)	390(9,5%)	263(6,4%)	821(20,0%)
0	397(9,7%)	1.547(37,8%)	444(10,8%)	2388(58,3%)
-	255(6,3%)	451(11,0%)	181(4,4%)	887(21,7%)
Total	820(20,1%)	2.388(58,3%)	888(21,6%)	4.096(100%)

- (a) aumentos ou diminuições consecutivas de preços são pequenas, representando apenas 8,5% das negociações;
- (b) em 37,8% das negociações, o preço permanece estável, havendo grande tendência de não haver variações de preço;
- (c) a porcentagem de negócios em que os preços mudaram de sentido, isto é, de queda para subida e vice-versa, é semelhante, da ordem de 6,3%, totalizando aproximadamente 13% das transações e indicando um processo de reversão de preços;
- (d) a distribuição marginal de preços é semelhante em duas negociações consecutivas.

Além dos preços de uma ação, os tempos entre negociações ou *durações* são importantes para o estudo da microestrutura dos mercados acionários. Chamemos de $\tau_0, \tau_1, \dots, \tau_T$ os instantes de tempo de negociações de uma ação, sendo que τ_0 é o instante inicial e T é o número de negociações no período avaliado. Então, $x_t = \tau_t - \tau_{t-1}$, $t = 1, \dots, T$ são as durações. Na Seção 8.3, trataremos de um modelo importante para as durações, o chamado modelo ACD (*autoregressive condicional duration*).

Na Figura 8.1, ilustramos a série dos 4.096 preços da Telemar considerados acima, a série de retornos, o histograma dos retornos e a respectiva f.a.c. Notamos uma correlação negativa no lag 1 da f.a.c., como discutido anteriormente. Na Figura 8.2, consideramos as durações, com o respectivo histograma, f.a.c. e box-plot. O histograma das durações mostra um decaimento exponencial a partir da origem e a f.a.c. mostra que a série de durações tem memória longa.

Outra variável de interesse é o número de negociações em dado período, por exemplo, por dia, ou em cada intervalo de 5 minutos. A Figura 8.3 contém os gráficos do número de negociações em intervalos de 5 minutos para os dados da Telemar, no período de 4 de agosto a 10 de setembro de 2004 e da f.a.c. estimada para os lags de 0 a 260. A figura também mostra as durações das

negociações, em intervalos de 5 minutos e respectiva f.a.c. Ambas as funções mostram uma periodicidade evidente de 84, correspondente ao número de intervalos de 5 minutos em cada dia de negociação. A Figura 8.4 traz os gráficos do número médio de negociações e do tempo médio entre as negociações em intervalos de 5 minutos, no mesmo período. Ao todo são 84 médias. O primeiro gráfico apresenta um maior número de negócios nos períodos das 10:15 às 12:00 e das 14:40 às 16:55. O segundo gráfico apresenta obviamente um padrão inverso.

A Tabela 8.2 apresenta algumas estatísticas das negociações da Telemar nesse período, excluídas as simultâneas. O fato de a mediana das durações ser bem menor do que a média e o valor do coeficiente de assimetria ser relativamente alto (4,51 segundos) indicam assimetria positiva dos dados, com concentração nos menores valores. Há, ainda, um grande número de valores extremos na cauda direita da distribuição das durações.

Tabela 8.2: Negociações da Telemar no período 8-10 de setembro de 2004.

Estatística	Negociações (por dia)	Durações (em segundos)
Média	2.225	16,25
Desvio padrão	575	26,43
Mínimo	1.804	1
Máximo	2.895	322
Mediana		7
Assimetria		4,51

8.2 Volatilidade Realizada

No Capítulo 5, tratamos do problema da modelagem da volatilidade de um ativo, considerando-a como uma variável latente (não observada). Utilizamos modelos da família ARCH e modelos de volatilidade estocástica. Outras possibilidades para estimar volatilidade são usar a volatilidade implícita em modelos de opções ou volatilidade histórica.

Volatilidade e correlação são de importância fundamental em várias áreas de finanças, como apreçamento de ativos e gestão de riscos. Vimos que volatili-

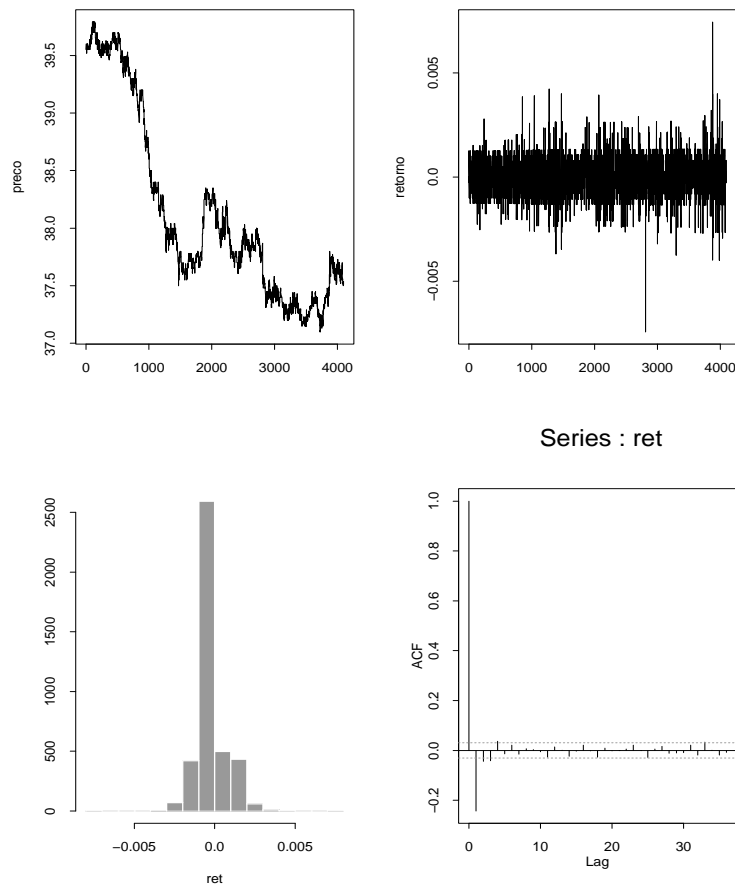


Figura 8.1: Séries de preços e retornos da Telemar, histograma e f.a.c. dos retornos.

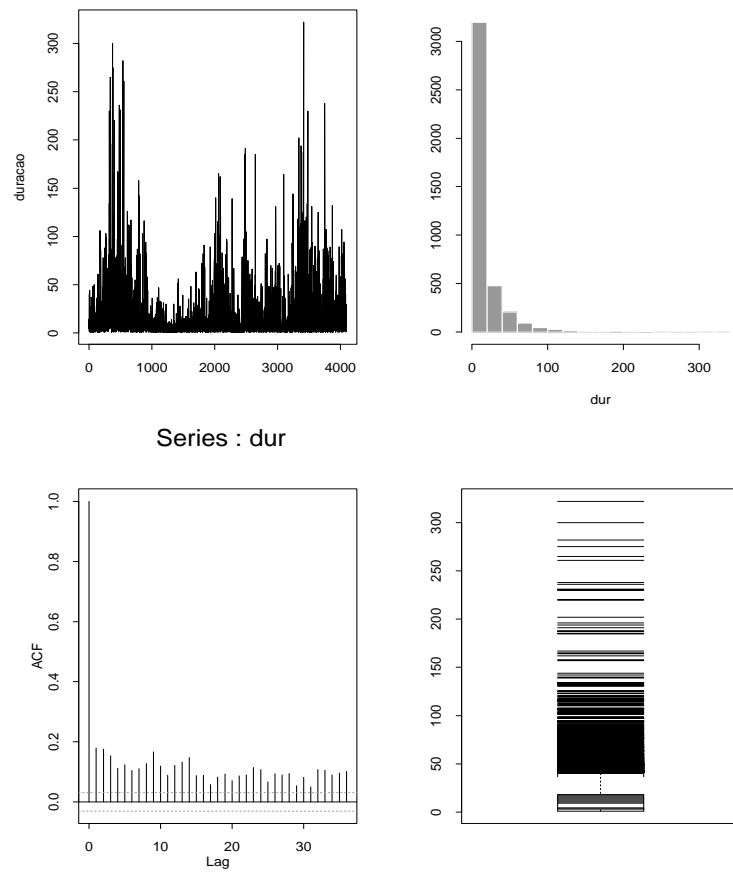


Figura 8.2: Série de durações da Telemar, histograma, f.a.c. e boxplot.

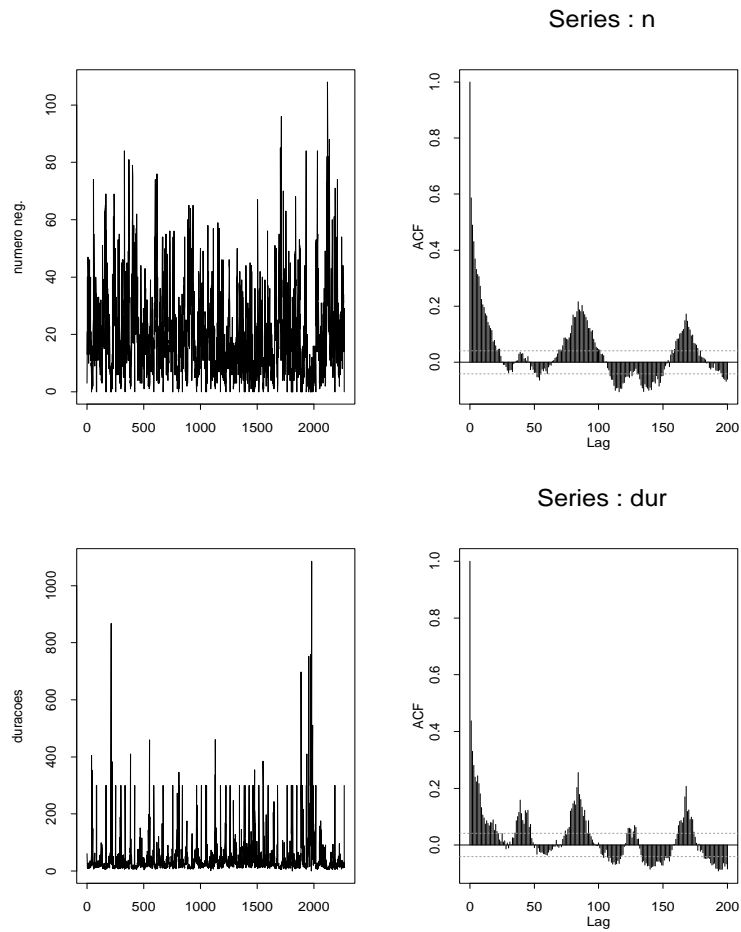


Figura 8.3: Número de negociações e durações da ação da Telemar em intervalos de 5 minutos e f.a.c.'s.

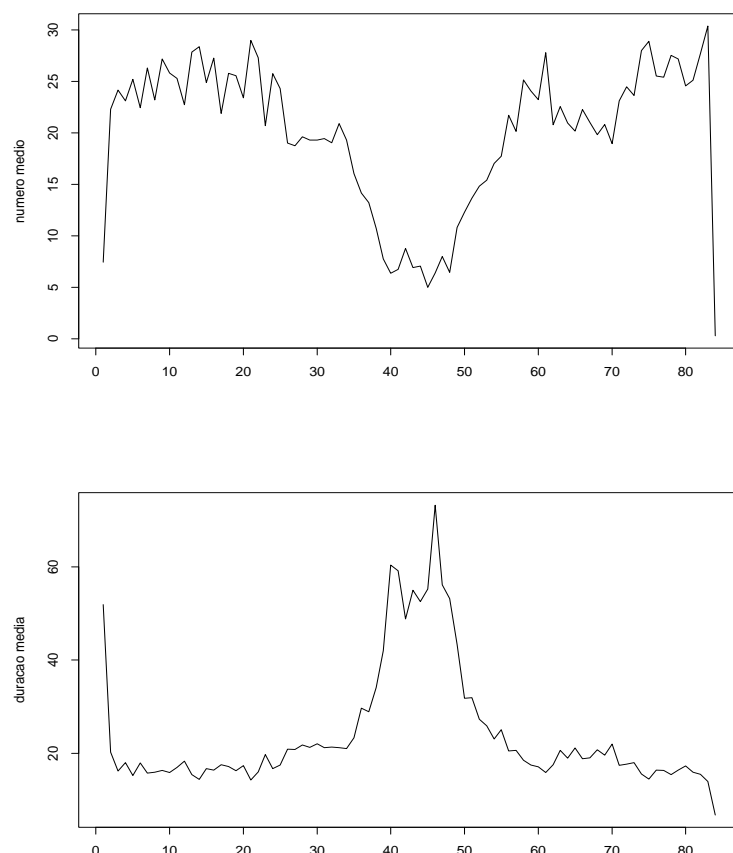


Figura 8.4: Número médio de negociações e durações médias da ação da Telemar em intervalos de 5 minutos.

dade dos ativos de uma carteira e as correlações entre os ativos são necessários para o cálculo do VaR, valor em risco.

Todavia, a utilização de modelos para volatilidade é, em geral, restrita a dados diários ou de menor frequência e podem resultar em previsões não satisfatórias. Lembremos que os modelos GARCH, por exemplo, tendem a superestimar volatilidades futuras, incorporando resultados de eventos extremos que tenham ocorrido no passado. A escolha da distribuição dos erros nesses modelos também é um problema importante, a fim de modelar adequadamente os fatos estilizados presentes nos retornos, como agrupamentos de volatilidades e caudas pesadas. Os programas disponíveis aos usuários apresentam poucas possibilidades (normal, t, GED, veja o Apêndice ao Capítulo 5). Considerando-se uma série multivariada de retornos, a situação torna-se ainda mais complicada, pois modelos heteroscedásticos condicionais são complexos e difíceis de estimar, sendo seu uso limitado a uma carteira com poucos ativos.

Recentemente, a atenção está voltada para o uso de DAF intradiários para modelar e prever volatilidade e correlação por meio da chamada *volatilidade realizada*. A ideia é considerar a soma dos quadrados dos retornos obtidos em intervalos de alguns minutos durante um dia para estimar a volatilidade desse dia. Obteremos, então, uma série de volatilidades diárias observadas, que pode ser modelada com modelos como ARIMA, ARFIMA etc.

Na impossibilidade de se obter dados intradiários, podemos considerar os preços de abertura, fechamento, máximo e mínimo de uma ação observados em cada dia, para estimar a volatilidade desse dia, usando-se, por exemplo, a volatilidade de Garman-Klass, como mostrado no Apêndice 6.

Consideremos, primeiramente, o caso de um único ativo. Denote por P_t seu preço no instante t (um dia de negócios, por exemplo) e por $p_t = \log P_t$, sendo o logaritmo na base e . Então, com vimos, o log-retorno (que chamaremos simplesmente retorno) no dia t é dado por $r_t = p_t - p_{t-1}$.

Suponha, agora, que tenhamos preços intradiários desse ativo, observados em instantes irregularmente espaçados, mas depois amostrados a cada Δt unidades de tempo, por exemplo a cada 30 segundos ou a cada 15 minutos. Suponha, também, que fixemos a duração do pregão de uma bolsa (a BOVESPA, por exemplo) em 7 horas, das 10 horas às 17 horas (ou das 11 horas às 18 horas, no caso de horário de verão). Se amostramos os preços a cada $\Delta t = 15$ minutos, por exemplo, teremos $M = 28$ preços ou M intervalos de 15 minutos por dia de negociações.

Denotemos por $p_{d,m}$ o log-preço do ativo no período $m (m = 1, 2, \dots, M)$ do dia $d (d = 1, 2, \dots, D)$, ou seja, há D dias, de modo que o número total de observações é $T = M \times D$. O correspondente retorno intradiário no período

m e dia d será denotado por

$$r_{d,m} = p_{d,m} - p_{d,m-1}, \quad m = 2, \dots, M, \quad d = 1, \dots, D, \quad (8.1)$$

com $t = M(d-1) + m$, $t = 1, \dots, T$. Usaremos as notações r_t e $r_{d,m}$ para denotar os retornos intradiários.

Com essa notação, o retorno diário r_d é dado por $p_{d,M} - p_{d-1,M}$, por exemplo se $M = 28$, $r_t = p_{d,28} - p_{d-1,28}$.

Além dos retornos definidos acima, há o chamado retorno *overnight*, que incorpora as informações relativas ao intervalo entre o fechamento do pregão do dia anterior e a abertura do pregão do dia atual, sendo definido por

$$r_{d,1} = p_{d,1} - p_{d-1,M}, \quad (8.2)$$

sendo $p_{d,1}$ o log-preço do ativo na primeira cotação do dia d e $p_{d-1,M}$ o log-preço do ativo na última cotação do dia $d-1$. Incluindo-se este retorno no caso de $\Delta t = 15$ minutos, teremos $M = 29$ observações em cada dia.

Exemplo 8.2. Vamos considerar, agora, uma outra base de dados já mencionada no exemplo 1.3, ou seja, dados intradiários do Ibovespa, obtidos de 1.381 dias úteis, em duas frequências de amostragem:

- (a) $\Delta t = 15$ minutos, de 02/01/98 a 31/10/02, com 1.189 dias úteis, sendo que em cada dia há de 29 a 33 observações, totalizando 35.227 dados;
- (b) $\Delta t = 30$ segundos, de 01/11/02 a 13/08/03, com 192 dias úteis, sendo que em cada dia há 865 a 872 observações, totalizando 166.236 dados.

Para a utilização desses dados originais, procedeu-se a uma limpeza dos mesmos. Os detalhes estão em Berti (2005). Como salientamos antes, a duração de cada pregão foi fixada em 7 horas, que corresponde à duração normal do pregão de vivavoz, período em que é maior o volume de negociações. Um resumo dos ajustes é o seguinte:

- (a) foram excluídos os dados anteriores a 06/04/98, por apresentarem períodos irregulares e dados discrepantes;
- (b) foram excluídos os dados de negociação eletrônica;
- (c) foi excluída a primeira hora de negociação nos casos em que o pregão vivavoz possuía duração de 8 horas;
- (d) foram excluídos dias com expediente reduzido (feriados, jogos da copa mundial de futebol etc);
- (e) foram feitas correções em dados com sinais claros de erros de digitação, por meio de interpolações lineares.

Sobre o intervalo de amostragem, Δt , há vários estudos, dentre os quais destacamos Andersen e Bollerslev (1998), Giot e Laurent (2004) e Oomen (2001), que analisaram intervalos variando de 5 a 25 minutos. Sob o ponto de vista teórico, para se obter consistência das medidas de volatilidade realizada é necessário que $\Delta t \rightarrow 0$, o que significaria amostrar continuamente que, por sua vez, é uma impossibilidade. Segue-se que medidas de volatilidade realizada conterão erros de mensuração. Bandi e Russel (2003) propõem um método para escolher Δt que minimiza o erro quadrático médio do erro de mensuração. Bandi e Russell (2006) estudam a influência de efeitos da microestrutura do mercado (spread bid-ask, efeitos de calendário etc) no viés de medidas de volatilidade.

Consideramos, então, que um intervalo de amostragem de 15 minutos é razoável e como a maior parte dos dados está amostrada nessa frequência, no período de 01/11/02 a 13/08/03 (em que a frequência é a cada 30 segundos) também foram consideradas amostras a cada 15 minutos, resultando em cotações do IBOVESPA de 06/04/98 a 13/08/03, ou seja, 1.309 dias, com 29 observações intradiárias cada um, totalizando 37.961 pontos.

Na Figura 8.5, temos o gráfico da série de índices do IBOVESPA a cada 15 minutos, dos log-retornos, histograma dos retornos e f.a.c. Na Figura 8.6, temos os gráficos dos retornos diários e horários, com seus histogramas e f.a.c.'s, respectivamente.

Pelas figuras, vemos que há presença de correlação serial nas séries, mais evidentes para frequência mais altas. Já os quadrados dos retornos exibem autocorrelações maiores. Os valores da estatística de Ljung-Box mostram esses dois fatos, o que nos leva à rejeição da hipótese de ruído branco para retornos. Note a sazonalidade presente nas autocorrelações dos quadrados dos retornos intradiários a cada 15 minutos e horários, na Figura 8.7.

Na Tabela 8.3, apresentamos algumas estatísticas das séries de retornos, para um número menor de dias, 838, correspondendo a 24.302 observações da série do Ibovespa. Verifica-se que série de retornos diários possui um alto valor da curtose, que aumenta com a frequência de amostragem. A assimetria é positiva para retornos de um dia e negativa para frequências maiores. Os valores da estatística de Jarque-Bera mostra a não normalidade dos retornos em todas as frequências.

Na Tabela 8.3, apresentamos algumas estatísticas das séries de retornos, para um número menor de dias, 838, correspondendo a 24.302 observações da série do Ibovespa. Verifica-se que série de retornos diários possui um alto

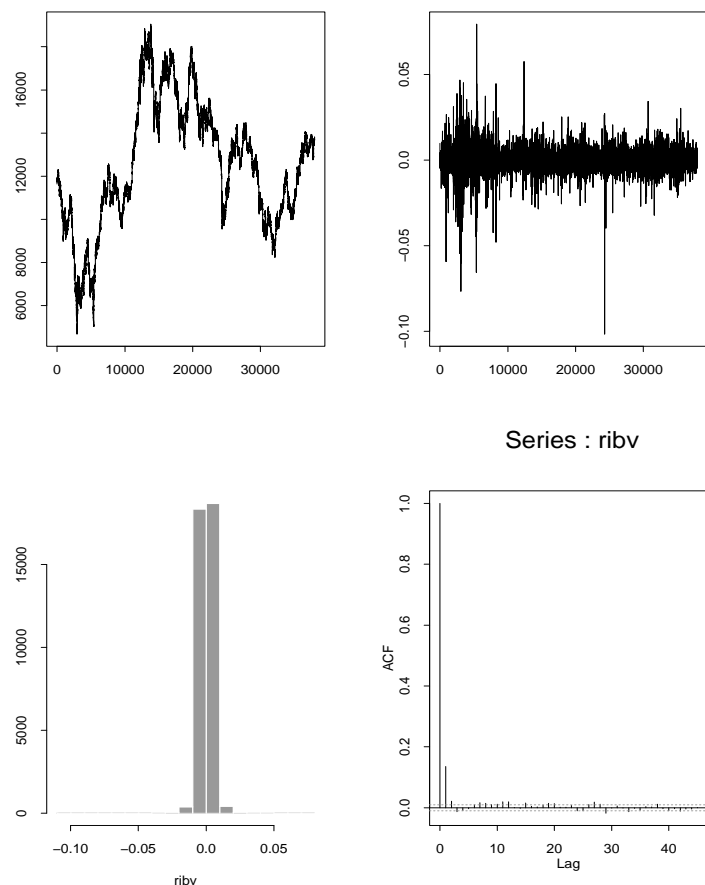


Figura 8.5: Série do IBOVESPA a cada 15 min, retornos, histograma e f.a.c.

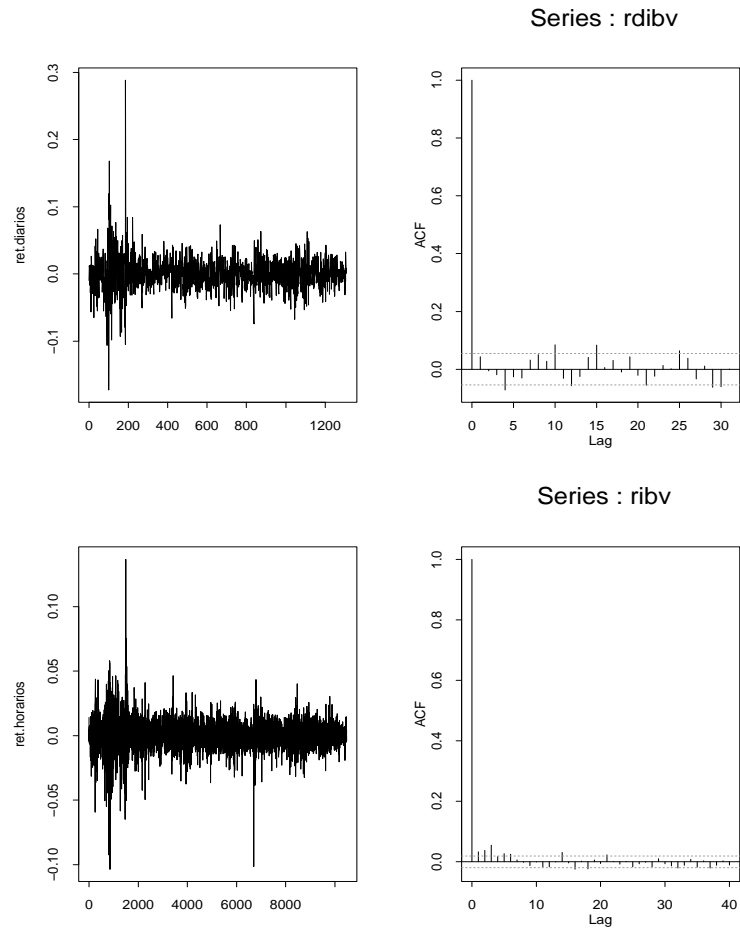


Figura 8.6: Retornos diários e horários do IBOVESPA, e f.a.c.'s.

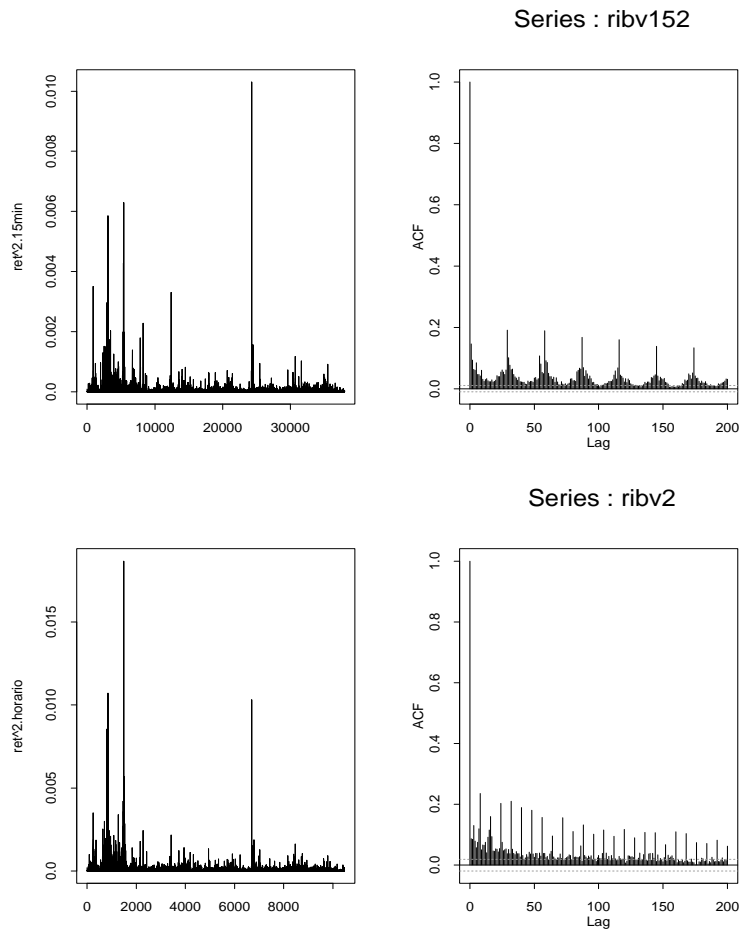


Figura 8.7: Quadrados dos retornos intradiários de 15 minutos e horários do IBOVESPA e f.a.c.'s.

valor da curtose, que aumenta com a frequência de amostragem. A assimetria é positiva para retornos de um dia e negativa para frequências maiores. Os valores da estatística de Jarque-Bera mostra a não normalidade dos retornos em todas as frequências.

Tabela 8.3: Estatísticas para as séries de retornos do IBOVESPA

Estatística	15 minutos	1 hora	1 dia	LVOLR	log(GK)
Mínimo	-10,15	-10,69	-17,27	-1,50	-1,89
Primeiro quartil	-0,16	-0,40	-1,47	0,49	0,33
Média	0,00	0,0	-0,01	1,11	0,99
Mediana	0,0	0,01	-0,04	0,99	0,93
Terceiro quartil	0,16	0,41	1,41	1,58	1,56
Máximo	7,93	13,30	28,82	4,93	5,67
Desvio padrão	0,43	0,97	2,84	0,91	1,03
Assimetria	-0,73	-0,24	1,16	0,80	0,56
Curtose	42,90	17,64	16,33	1,21	1,30
Ljung-Box*	666,6	48,55	30,90	2626	1569
Ljung-Box(quadrado*)	1389,0	972,1	106,0		
Jarque-Bera*	1864750	75964	9385		

* todas as estatísticas têm p-valor < 0,001

Vejamos como construir uma medida da volatilidade realizada. Primeiramente, definimos a *variância realizada* (VR_d) para o ativo no dia d por meio de

$$VR_d = r_{d,1}^2 + \sum_{m=2}^M r_{d,m}^2, \quad d = 1, \dots, D, \quad (8.3)$$

com $r_{d,m}$ e $r_{d,1}$ definidos em (10.1) e (10.2), respectivamente.

A *volatilidade realizada* ($VOLR_d$) para o ativo no dia d é, então, definida por

$$VOLR_d = \sqrt{VR_d}, \quad (8.4)$$

enquanto a *log-volatilidade realizada* no dia d é definida por

$$LVOLR_d = \log(VOLR_d). \quad (8.5)$$

No caso específico do Ibovespa intradiário, alguns dias foram excluídos no processo de filtragem dos dados e, nesse caso, temos que adaptar a equação (8.3), que toma a forma

$$VR_d = \begin{cases} \sum_{m=2}^{28} r_{d,m}^2, & \text{se o dia } d-1 \text{ foi excluído,} \\ r_{d,1}^2 + \sum_{m=2}^{28} r_{d,m}^2, & \text{caso contrário,} \end{cases} \quad (8.6)$$

para $d = 1, \dots, 1.308$.

Suponha, agora, que temos n ativos, com retornos $r_{1,d;m}, \dots, r_{n,d;m}$ e considere o vetor $\mathbf{r}_{d,m} = (r_{1,d;m}, \dots, r_{n,d;m})'$, $m = 1, \dots, M$, $d = 1, \dots, D$. Então, para cada ativo i teremos a VR dada por (8.3), que chamaremos $VR_{i,d}$ e as respectivas volatilidade realizada ($VOLR_{i,d}$) e log-volatilidade realizada ($LVOLR_{i,d}$).

Para podermos calcular, por exemplo, o valor em risco de uma carteira com esses n ativos, será necessário, eventualmente, calcular as correlações entre os retornos dos ativos. Definamos a matriz de covariâncias entre os retornos dos ativos para o dia d como

$$COVR_d = \sum_{m=1}^M \mathbf{r}_{d,m} \mathbf{r}_{d,m}', \quad d = 1, \dots, D. \quad (8.7)$$

Se $COVR_d = (c_{i,j,d}) = ([COVR_d]_{i,j})$, então $c_{i,j,d} = \sum_{m=1}^M r_{i,d;m} r_{j,d;m}$, $i, j = 1, \dots, n$, $d = 1, \dots, D$. Esta matriz será positiva definida se $n < M$. A correlação entre os retornos dos ativos i e j é dada por

$$\rho_{i,j,d} = \frac{c_{i,j,d}}{\sqrt{VR_{i,d} \times VR_{j,d}}}. \quad (8.8)$$

Exemplo 8.2 (continuação) Na Figura 8.8, temos o gráfico da volatilidade realizada, $VOLR_t$, que estima a volatilidade diária, obtida a partir dos retornos de 15 minutos do IBOVESPA, bem como a sua f.a.c. Na mesma figura temos, também, o gráfico da $LVOLR_d$ e sua f.a.c. Na Figura 8.9 temos a volatilidade de Garman-Klass, obtida a partir de preços de abertura, fechamento, mínimo e máximo de cada dia (conforme Apêndice 6), sua f.a.c., o logaritmo da volatilidade de GK e sua f.a.c., para efeito de comparação. Na Tabela 8.3, encontram-se as estatísticas do $LVOLR_d$ e $\log(GK)$. Nas duas figuras, verificamos que as f.a.c.'s das volatilidades estimadas ($VOLR$, $LVOLR$, GK , $\log(GK)$) decaem lentamente para zero, indicando que todas essas séries de volatilidades apresentam memória longa.

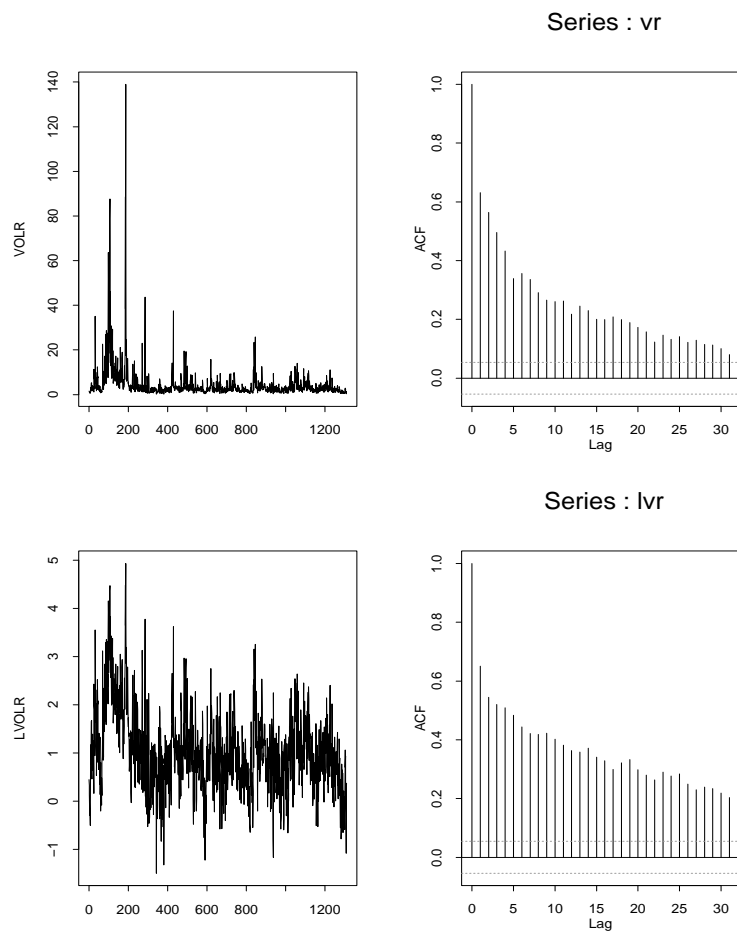


Figura 8.8: Volatilidade realizada e f.a.c., $\log(\text{volatilidade realizada})$ e f.a.c.

Analisando a f.a.c. dos quadrados dos retornos da Figura 8.7, notamos uma sazonalidade de 29 minutos para os dados de 15 minutos e de 7 horas, para os dados horários. Esses padrões sazonais são importantes no procedimento de modelagem da volatilidade dos retornos intradiários. Aqui, é comum supor que estes sejam dados por $r_t = \sigma_t s_t \varepsilon_t$, ou seja, além da modelagem usual da volatilidade, introduzimos uma componente sazonal s_t .

Questões importantes são: (i) a retirada do padrão sazonal melhora a previsão dos modelos de volatilidade? (ii) qual é o melhor método para remover a componente sazonal? Para uma discussão dessas questões e dos diversos procedimentos de ajustamento sazonal veja Martens et al. (2002). Vamos nos limitar aqui em utilizar o seguinte procedimento, sugerido por Taylor e Xu (1997). Retomemos os retornos intradiários $r_{d,m}$ e como estimativa da componente sazonal no período m considere

$$s_m = \left(\frac{1}{D} \sum_{d=1}^D r_{d,m}^2 \right)^{1/2}, \quad m = 1, \dots, M. \quad (8.9)$$

Segue-se que os retornos livres de componente sazonal são dados por $r_t^* = r_t / s_t$. Na Figura 8.10, temos a f.a.c dos quadrados dos retornos de 15 minutos e 1 hora dos dados do IBOVESPA, após a retirada da componente sazonal, onde não se notam mais os padrões sazonais, os quais são mostrados na Figura 8.11.

8.3 Modelo de Duração Condicional

Usando conceitos similares aos dos modelos ARCH e GARCH desenvolvidos para a volatilidade, Engle e Russell (1998) e Bollerslev (1986) introduziram o modelo autorregressivo de duração condicional (ACD - *autoregressive conditional duration*) para descrever os tempos entre negociações de um particular ativo financeiro. Designemos por x_i a i -ésima duração e chamaremos $\eta_i = E(x_i | \mathcal{F}_{i-1})$, onde \mathcal{F}_{i-1} denota a informação disponível até a $(i-1)$ -ésima negociação.

O modelo autorregressivo de duração condicional de ordens r e s , denotado por ACD(r, s), pode ser escrito na forma

$$x_i = \eta_i \varepsilon_i, \quad (8.10)$$

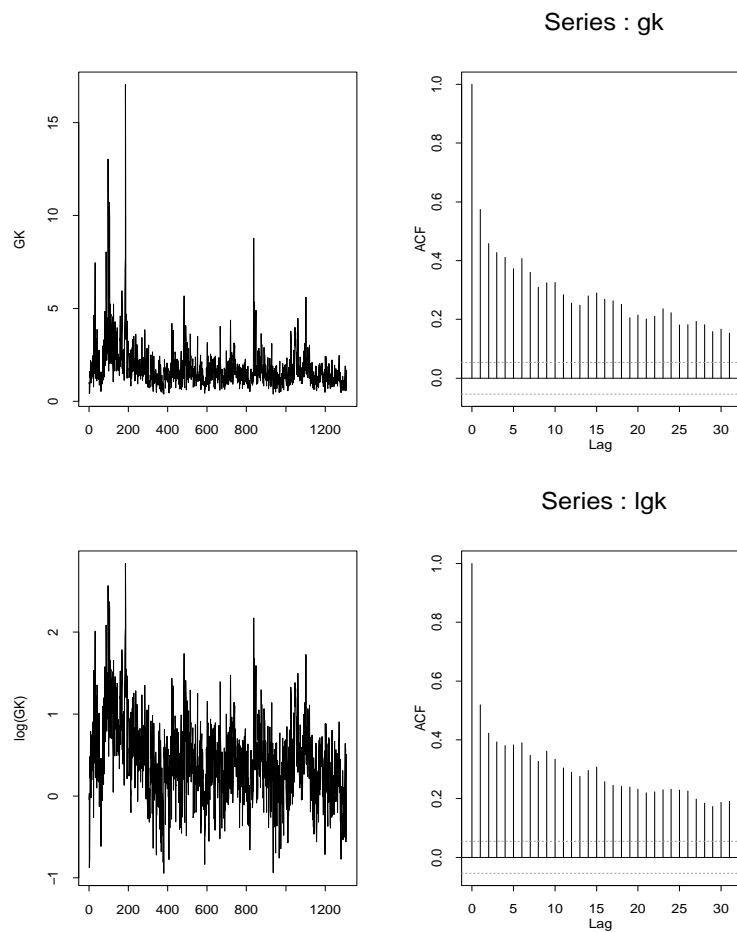


Figura 8.9: Volatilidade de GK e f.a.c, $\log(\text{volatilidade de GK})$ e f.a.c.

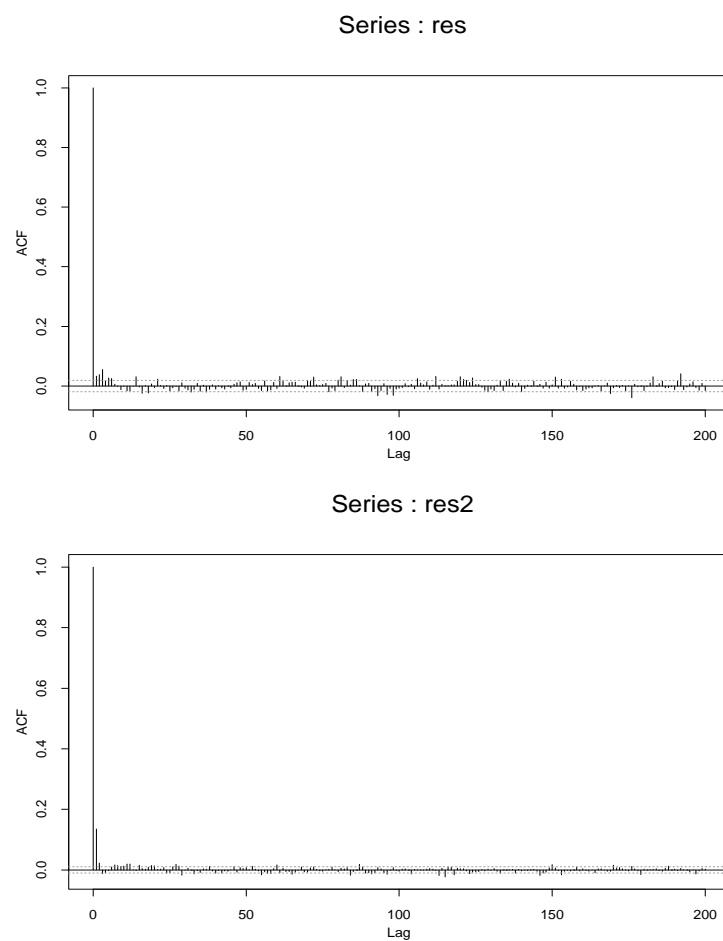


Figura 8.10: F.a.c.'s dos quadrados dos retornos horários e a cada 15 minutos, sem a componente sazonal.

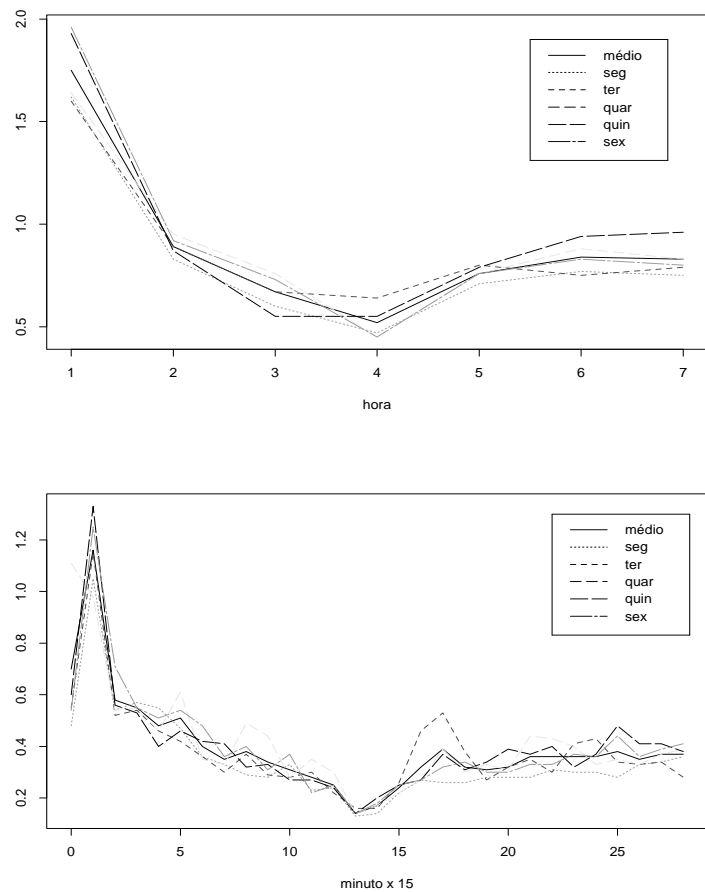


Figura 8.11: Padrões sazonais para os dados intradiários.

$$\eta_i = \omega + \sum_{j=1}^r \delta_j x_{i-j} + \sum_{j=1}^s \gamma_j \eta_{i-j}, \quad (8.11)$$

onde ε_i é uma sequência de v.a. i.i.d. não negativas, com média um. Podemos considerar para ε_i distribuições como a exponencial, Weibull e Gama generalizada. Como x_i é positivo, devemos ter $\omega \geq 0$ e $\delta_j > 0$, $\gamma_j > 0$.

Como no caso de modelos GARCH, o processo $\nu_i = x_i - \eta_i$ é uma sequência de diferenças martingales, com $E(\nu_i | \mathcal{F}_{i-1}) = 0$, não correlacionadas e com variância não constante. O modelo pode, então, ser escrito na forma

$$x_i = \omega + \sum_{j=1}^q (\delta_j + \gamma_j) x_{i-j} + \sum_{j=1}^s \gamma_j \nu_{i-j} + \nu_i, \quad (8.12)$$

onde $q = \max(r, s)$, ou seja, na forma de um modelo ARMA(q, s) com inovações não gaussianas e heteroscedásticas. Segue-se que

$$E(x_i) = \frac{\omega}{1 - \sum_{j=1}^q (\delta_j + \gamma_j)}, \quad (8.13)$$

com $\sum_{j=1}^q (\delta_j + \gamma_j) < 1$.

O modelo mais simples é o ACD(1, 1),

$$x_i = \eta_i \varepsilon_i, \quad (8.14)$$

$$\eta_i = \omega + \delta x_{i-1} + \gamma \eta_{i-1}, \quad (8.15)$$

supondo por exemplo $\varepsilon_i \sim$ i.i.d. $E(1)$ (exponencial de média um). Usando os mesmos argumentos usados para o modelo GARCH(1, 1) e supondo x_i estacionária, podemos obter (veja o Problema 3):

$$E(x_i) = \mu_x = \frac{\omega}{1 - \delta - \gamma}, \quad (8.16)$$

$$\text{Var}(x_i) = \mu_x \left(\frac{1 - \gamma^2 - 2\delta\gamma}{1 - 2\delta^2 - 2\delta\gamma - \gamma^2} \right). \quad (8.17)$$

De (8.17) devemos ter $\gamma^2 + 2\delta\gamma + 2\delta^2 < 1$, para que a variância incondicional seja constante no tempo.

Usando a forma ARMA(1, 1) teremos

$$x_i = \omega + (\delta + \gamma)x_{i-1} + \nu_i - \gamma\nu_{i-1},$$

da qual obtemos que a f.a.c de um modelo ACD(1,1) é dada por

$$\rho_1 = \frac{\delta(1 - \gamma^2 - \delta\gamma)}{1 - \gamma^2 - 2\delta\gamma}, \quad (8.18)$$

$$\rho_j = (\delta + \gamma)\rho_{j-1}, \quad j \geq 2. \quad (8.19)$$

Veja o Problema 4.

Há várias alternativas sugeridas na literatura para o modelo ACD, dentre as quais destacamos: o modelo de duração estocástico (Bauwens e Vereda, 2000), a versão logarítmica (Bauwens e Giot, 2000), a versão não linear (Zhang et al., 2001), o modelo ACD assimétrico (Bauwens e Giot, 2003) e o modelo ACD aumentado (Fernandes e Gramming, 2005).

Identificação

Assim como para um modelo GARCH, a especificação da ordem de um modelo ACD é uma tarefa complicada e, portanto, sugere-se que ajustem-se modelos de ordens não muito altas e utilize-se algum critério (como AIC, BIC ou log-verossimilhança) para a escolha do modelo.

Estimação

Supondo que os erros ε_i sigam alguma distribuição, como uma das mencionadas acima, podemos usar o método de máxima verossimilhança para obter os estimadores dos parâmetros do modelo ACD. Chamando de $\boldsymbol{\theta}$ o vetor de parâmetros e $\mathbf{x} = (x_1, \dots, x_T)'$ o vetor de durações observadas, obtemos a função de verossimilhança

$$L(\boldsymbol{\theta}; \mathbf{x}) = \left[\prod_{i=2}^T f(x_i | \mathcal{F}_{i-1}, \boldsymbol{\theta}) \right] f(x_1 | \boldsymbol{\theta}). \quad (8.20)$$

A densidade marginal $f(x_1 | \boldsymbol{\theta})$ tem importância decrescente, quando T cresce e pode ser omitida (Tsay, 2005), quando da maximização de (8.20) para obter os EMV.

Exemplo 8.3. Suponha o modelo ACD(1,1) com erros seguindo uma distribuição exponencial com média unitária. Então,

$$f(x_i | \mathcal{F}_{i-1}, \boldsymbol{\theta}) = \exp \left\{ -\frac{x_i}{\eta_i} \right\} \frac{1}{\eta_i},$$

e a log-verossimilhança fica

$$\begin{aligned}\ell(\boldsymbol{\theta}; \mathbf{x}) &= \sum_{i=1}^T [-\ln(\eta_i) - x_i/\eta_i] \\ &= \sum_{i=2}^T [-\ln(\omega + \delta x_{i-1} + \gamma \eta_{i-1}) - x_i/(\omega + \delta x_{i-1} + \gamma \eta_{i-1})],\end{aligned}\quad (8.21)$$

com $\boldsymbol{\theta} = (\omega, \delta, \gamma)'$.

Diagnóstico

A verificação da adequação do modelo é feita nos moldes usuais, analisando a f.a.c. dos resíduos e dos quadrados dos resíduos do modelo ajustado e calculando as respectivas estatísticas de Box-Pierce-Ljung.

Como a série de durações apresenta uma periodicidade, como vimos na seção 8.1, antes de ajustar o modelo essa sazonalidade tem que ser removida, usando a mesma metodologia que foi vista para a volatilidade realizada.

Exemplo 8.4. Retomemos as durações em intervalos de 5 minutos da Telemar, no período de 4 de agosto a 10 de setembro de 2004. Removemos a sazonalidade usando um procedimento similar ao da Seção 10.2 e consideramos as 4096 durações no período de 8 a 10 de setembro de 2004. A essa série livre de componente sazonal ajustamos um modelo ACD(1,1), com erros exponenciais de média 1. O programa RATS foi utilizado para o procedimento de estimação. Veja Tsay (2005, pag. 246) para um exemplo de tal programa. O modelo obtido é

$$x_i = \eta_i \varepsilon_i, \quad (8.22)$$

$$\eta_i = 0,01 + 0,07x_{i-1} + 0,918\eta_{i-1}, \quad (8.23)$$

onde os respectivos desvios padrões das estimativas são 0,002, 0,004 e 0,005. Na Figura 8.12, temos a f.a.c. dos resíduos e o plot $Q \times Q$ (quantis empíricos dos resíduos versus quantis da $\text{Exp}(1)$). Vemos que o modelo ajustado não consegue captar algumas durações extremas, que estão destacadas no plot $Q \times Q$. Uma possibilidade é considerar modelos ACD com coeficientes variando no tempo a fim de levar em conta a não estacionariedade das durações e a sazonalidade presente. Veja Bruscato et al. (2010). Para fazer previsões com o modelo ajustado, é necessário recompor a série, por meio do padrão sazonal previamente estimado, ou seja, $\hat{y}_i = \hat{x}_i s_5$.

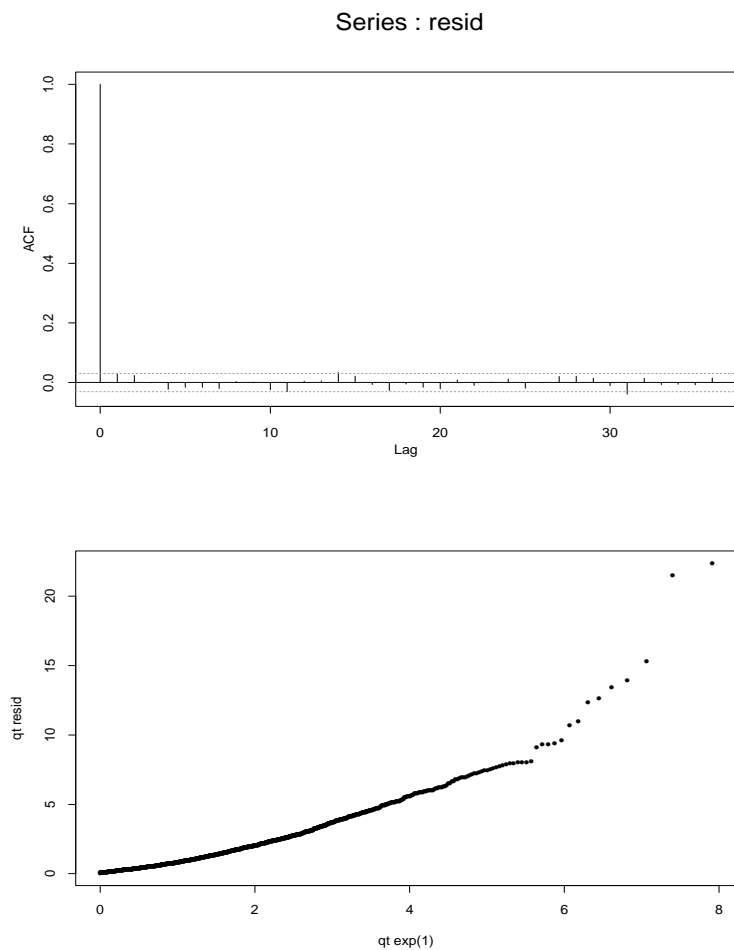


Figura 8.12: F.a.c dos resíduos do modelo (10.22)-(10.23) e plot $Q \times Q$.

8.4 Modelagem da Volatilidade

No Capítulo 5, vimos como modelar a volatilidade, supondo-a latente (não observada), usando modelos da família ARCH. Como a volatilidade realizada é efetivamente observada, podemos tentar modelá-la por meio de modelos da família ARIMA, por exemplo. Contudo, vimos que a volatilidade realizada apresenta características de processos de memória longa; logo, modelos da classe ARFIMA podem ser úteis. Outra possibilidade é considerar modelos ARCH, GARCH e extensões para dados intradiários e usá-los para fornecer informação adicional para os dados diários. Veja Hol e Koopman (2002), por exemplo. A ideia é ajustar modelos GARCH, digamos, para frequências de uma hora ou 15 minutos e realizar previsões da volatilidade nessas frequências k passos à frente até cobrir o período de um dia ($k = 7$ para dados horários e $k = 29$ para dados a cada 15 minutos), agregando-se as previsões para obter a volatilidade diária. Observemos que antes de ajustar um modelo ARMA-GARCH aos dados intradiários originais é necessário retirar a sazonalidade, conforme visto na seção 8.2.

Exemplo 8.5. Consideremos os dados intradiários do Ibovespa, com 1309 dias de observações. Vamos considerar 838 dias para estimar modelos e 471 dias para previsões. No caso de dados horários teremos 24302 dados e no caso de dados a cada 15 minutos, teremos 5886 dados para estimação. Para obter previsões da volatilidade diária, faremos previsões k passos à frente, $k = 7$ ou $k = 29$, respectivamente.

A avaliação da acurácia preditora dos modelos de volatilidade é geralmente baseada em funções de perda, comparando os valores previstos do quadrado da volatilidade pelo modelo usado, \hat{h}_t^2 , com os quadrados dos retornos, r_t^2 . No entanto, Andersen e Bollerslev (1998) sugerem usar a volatilidade realizada, no lugar dos quadrados dos retornos. Se T indica o número total de dados e T_0 o número de observações usadas para estimar o modelo, algumas medidas usadas são:

(a) Erro médio:

$$EM = \frac{1}{T - T_0} \sum_{t=T_0+1}^T (\hat{h}_t^2 - VOLR_t^2).$$

(b) Erro quadrático médio:

$$EQM = \frac{1}{T - T_0} \sum_{t=T_0+1}^T (\hat{h}_t^2 - VOLR_t^2)^2.$$

(c) Erro absoluto médio:

$$EAM = \frac{1}{T - T_0} \sum_{t=T_0+1}^T |\hat{h}_t^2 - VOLR_t^2|.$$

Berti (2005) ajustou várias combinações de modelos ARMA-GARCH (por GARCH aqui entendemos GARCH, EGARCH, PGARCH etc), sendo que os melhores modelos segundo medidas de perda, incluindo aquela acima, foram:

- (i) Para log-retornos a cada 15 minutos: modelo AR(2)-GARCH(1,2), com distribuição t para os erros.
- (ii) Para log-retornos horários: modelo AR(5)-GARCH(1,2), com distribuição t para os erros.
- (iii) Para log-retornos diários: modelo AR(4)-PGARCH(1,1), com distribuição t para os erros e com a variância realizada VR_{t-1} como covariável. Veja o Capítulo 5, Problema 13, para a definição do modelo “Power GARCH”.
- (iv) Para a volatilidade realizada: modelo ARFIMA(0,d,0), com $\hat{d} = 0,438$.

Veja Berti (2005) para detalhes e os Problema 8, 9,10 e 11. Duas observações sobre o ajuste desses modelos: (a) os modelos GARCH intradiários em geral superestimam as previsões da volatilidade; (b) os modelos ARFIMA, em geral, subestimam a volatilidade em períodos de alta volatilidade. Seria interessante também avaliar a eficácia dos modelos de volatilidade estocástica aplicados a dados intradiários.

8.5 Comentários Adicionais

[1] Andersen et al. (2000, 2001, 2003) (designados brevemente por ABDL) e Barndorff-Nielsen e Shephard (2002, 2004) (designados brevemente por BS) desenvolveram os aspectos teóricos relativos à variância e volatilidade realizada. Seja $p(t)$ o log-preço de um ativo, $r(d, d-1)$ o respectivo retorno diário e $r(d) = p(d) - p(0)$ o retorno acumulado até d . A *variação quadrática* (VQ) é definida por

$$[r](d) = p \lim_{n \rightarrow \infty} \sum_{j=0}^{n-1} [p(s_{j+1}) - p(s_j)]^2,$$

onde $0 = s_0 < s_1 < \dots < s_n = d$ e o limite é para $\max_{1 \leq j \leq n} |s_j - s_{j-1}| \rightarrow 0$, $n \rightarrow \infty$. Então, BS provam que

$$VR_d \xrightarrow{P} [r](d) - [r](d-1) = VQ_d, \quad n \rightarrow \infty.$$

Ou seja, a variância realizada diária converge, em probabilidade, para incrementos diários da VQ. ABDL provam que

$$\text{Var}(r(d, d-1) | \mathcal{F}_{d-1}) = E[VQ_d | \mathcal{F}_{d-1}],$$

ou seja, a variância condicional dos retornos diários é igual à esperança condicional do processo de variação quadrática diária.

Para a classe de processos de Ito contínuos, caracterizados pela equação diferencial estocástica

$$dp(t) = \mu(t)dt + \sigma(t)dW(t),$$

onde $\sigma(t)$ é a volatilidade e $W(t)$ é o MBP, resultados mais fortes podem ser obtidos, em particular, $r(d, d-1)/VOLR_d$ tem uma distribuição aproximadamente normal. Também é possível provar que a VOLR e LVOLR têm distribuições assintoticamente normais. Para detalhes, veja os autores acima mencionados.

[2] Podemos considerar outras classes de modelos para DAF. Müller et al. (1997) introduziram os modelos HARCH (heterogeneous ARCH). Um modelo HARCH(n) para retornos é dado por

$$\begin{aligned} r_t &= \sigma_t \varepsilon_t, \\ \sigma_t^2 &= c_0 + \sum_{j=1}^n c_j \left(\sum_{i=1}^j r_{t-i} \right)^2, \end{aligned}$$

com $c_0 > 0, c_n > 0, c_j \geq 0$, para $j = 1, \dots, n-1$, e os ε_t são v.a. i.i.d. com média zero e variância um. Esse modelo leva em conta a heterogeneidade de informação do mercado financeiro, permitindo agregar retornos. Por exemplo, no modelo HARCH(2) a volatilidade toma a forma

$$\sigma_t^2 = c_0 + c_1 r_{t-1}^2 + c_2 (r_{t-1} + r_{t-2})^2.$$

Ruilova (2007) generaliza esse modelo para a classe GHARCH(m,p), que permite agregações de diferentes tamanhos, sendo m o número de componentes do mercado.

8.6 Problemas

1. Considere os dados intradiários da Telemar do Exemplo 8.1 (arquivo id-tlibm.dat). Obtenha a volatilidade realizada diária, faça seu gráfico e obtenha sua f.a.c. Obtenha a f.a.c. dos quadrados dos retornos e verifique se existe sazonalidade. Caso haja, remova o padrão sazonal.
2. Mesmo problema para os dados intradiários da IBM (arquivo id-tlibm.dat).
3. Prove as relações (8.16) e (8.17).
4. Prove as relações (8.18) e (8.19).
5. Obtenha (8.21) usando a distribuição de Weibull padrão para os erros ε_t :

$$f(\varepsilon, \alpha) = \alpha \cdot \varepsilon^{\alpha-1} \cdot \exp\{-\varepsilon^\alpha\}, \quad \alpha > 0.$$

6. Ajuste um modelo ACD para as durações da IBM (arquivo id-tlibm.dat), com erros exponenciais de média 1.
7. Mesmo problema, com distribuição Weibull padrão.
8. Ajuste os modelos ARMA-GARCH sugeridos na seção 8.4 aos dados de retornos diários e intradiários do Ibovespa.
9. Ajuste o modelo ARFIMA sugerido na seção 8.4 aos dados de volatilidade realizada do Ibovespa.
10. Ajuste modelos ARMA-GARCH para os dados intradiários da Telemar. Escolha o melhor modelo segundo as medidas dadas na seção 8.4.
11. Ajuste modelos ARFIMA(p, d, q) para a volatilidade realizada da Telemar obtida no Problema 1. Escolha o modelo que fornece o melhor EQM de previsão.

12. Considere os dados de taxa de câmbio Euro/Dólar de 1 de janeiro de 1999 a 31 de dezembro de 2002, a cada 5 minutos, num total de $T = 288860$ observações (arquivo id-eudo99.02.dat). Obtenha o gráfico, histograma e f.a.c. dos retornos e dos quadrados dos retornos da série.
13. Para os dados do problema anterior, obtenha a volatilidade realizada, o logaritmo da volatilidade realizada, seus histogramas e f.a.c.'s.
14. Ajuste um modelo ARFIMA para a variância realizada dos dados do Euro/Dólar.

Apêndice 8: Notas Complementares

A.8.1. Tipos de Mercados

Podemos dividir os mercados acionários em duas categorias:

(a) *price driven markets*, nos quais há a figura dos especialistas ou *market-makers* (que trabalham para as próprias bolsas) e que são os responsáveis por comprar (ao bid price) e vender (ao ask price) lotes de ações, evitando movimentos abusivos nos preços das ações, e dando liquidez ao mercado. Brevemente, liquidez é definida como a habilidade de comprar e vender rapidamente um grande volume de ações com um mínimo de impacto nos preços. A bolsa NASDAQ adota esse mecanismo.

(b) *order driven markets*, nos quais não há market-makers no processo de negociações, mas as ordens são feitas num *order book*, ou seja, cada ordem é colocada automaticamente no livro de ofertas de cada ação, sendo possível visualizar as melhores compras e vendas por lote, preço e contraparte. A BOVESPA adota esse mecanismo, sendo que as corretoras contratadas por empresas para dar liquidez a seus papéis é que colocam as ordens. A NYSE adota um sistema híbrido. A BOVESPA também poderia ser pensada dessa forma, supondo que as corretoras fazem o papel dos market-makers.

Para detalhes sobre esse assunto e sobre liquidez de mercados veja Bauwens e Giot (2001).

A.8.2. Mercado de Taxa de Câmbio(FX)

Esse é um tipo especial de mercado, funcionando continuamente, 24 horas por dia, do tipo *price driven market*. Os participantes são *market-makers* (*dealers*), representando grandes bancos.

Podemos considerar três zonas, correspondendo a três mercados geográficos: Ásia, Europa e EUA. Esses mercados operam da seguinte forma: após a meia-noite GMT os mercados de Tokyo, Hong Kong e Singapura estão ativos, com um decréscimo de operações ao redor de 4 horas GMT, que corresponde ao horário de almoço. Por volta das 8 horas GMT, as negociações começam na Europa (Londres, Frankfurt e Paris) e param na Ásia. A última zona começa por volta das 15 horas GMT com a abertura da bolsa de Nova Iorque. Este padrão intradiário é bem conhecido.

Outra característica dos mercados FX é que as negociações ocorrem somente entre os *dealers* e a informação sobre preços e volumes permanece confidencial. Veja Bauwens e Giot (2001) para detalhes.

A.8.3. Algumas Distribuições Especiais

Distribuição exponencial

A v.a. X tem distribuição exponencial de parâmetro $\beta > 0$ se sua densidade é dada por

$$f(x, \beta) = \frac{1}{\beta} \exp\{-x/\beta\}.I\{x \geq 0\}.$$

Se $\beta = 1$ obtemos a distribuição exponencial padrão, $E(X) = 1$ e escrevemos $X \sim E(1)$.

Distribuição Gama

Dizemos que a v.a. X tem distribuição gama com parâmetros $\alpha > 0$ e $\beta > 0$, e escrevemos $X \sim \text{Gama}(\alpha, \beta)$, se a densidade é dada por

$$f(x, \alpha, \beta) = \frac{1}{\beta^\alpha \Gamma(\alpha)} x^{\alpha-1} \exp\{-x/\beta\}.I\{x \geq 0\}.$$

Se $\beta = 1$ obtemos a distribuição gama padrão com parâmetro α .

Distribuição de Weibull

A v.a. X tem distribuição de Weibull com parâmetros $\alpha > 0, \beta > 0$ se a densidade é dada por

$$f(x, \alpha, \beta) = \frac{\alpha}{\beta^\alpha} x^{\alpha-1} \exp\{-(x/\beta)^\alpha\}.I\{x \geq 0\}.$$

Se $\alpha = 1$ obtemos a distribuição exponencial e se $Y = \frac{X}{\beta\Gamma(1+1/\alpha)}$ obtemos a distribuição de Weibull padrão, com $E(Y) = 1$ e densidade

$$f(y, \alpha) = 1 - \exp\{-[\Gamma(1 + 1/\alpha)y]^\alpha\} \cdot I\{y \geq 0\}.$$

Distribuição Gama Generalizada

Dizemos que X tem distribuição gama generalizada com parâmetro de escala β e parâmetros de forma α e γ , todos positivos, se a densidade é da forma

$$f(x, \gamma, \beta, \alpha) = \frac{\gamma}{\beta^{\gamma\alpha}\Gamma(\alpha)} x^{\gamma\alpha-1} \exp\left[-\left(\frac{x}{\beta}\right)^\gamma\right] \cdot I\{x \geq 0\}.$$

Se $Y = \lambda X / \beta$, com $\lambda = \Gamma(\alpha)/\Gamma(\alpha + 1/\gamma)$, então $E(Y) = 1$ e Y tem distribuição gama generalizada padrão. Se $\alpha = 1$ obtemos a distribuição de Weibull, logo exponencial e Weibull são casos particulares da gama generalizada.

CAPÍTULO 9

Modelos Lineares Multivariados

9.1 Introdução

Neste capítulo estaremos interessados em estabelecer modelos para uma série temporal vetorial \mathbf{X}_t , com n componentes $X_{1t}, X_{2t}, \dots, X_{nt}$, observadas em $t = 0, \pm 1, \pm 2, \dots$. Além da análise de cada componente individual X_{it} , como já tratamos em capítulos anteriores, onde a autocorrelação contida em cada série é importante, estaremos estudando as relações dinâmicas entre as séries componentes. Usaremos a notação $\mathbf{X}_t = (X_{1t}, X_{2t}, \dots, X_{nt})'$, $t \in Z$ e X_{it} ou $X_{i,t}$, indistintamente, para a i -ésima componente, $i = 1, \dots, n$.

Exemplo 9.1. Podemos pensar o vetor \mathbf{X}_t como constituído pelos retornos de n ativos financeiros de um fundo de investimentos no instante t e o objetivo é analisar o desempenho do fundo ao longo do tempo. Numa outra situação, um investidor pode ter uma carteira com ações da Petrobras, Banco do Brasil, Telemar e Banco Itaú e neste caso $n = 4$.

O vetor de médias de \mathbf{X}_t será denotado por

$$\boldsymbol{\mu}_t = E(\mathbf{X}_t) = (\mu_{1t}, \mu_{2t}, \dots, \mu_{nt})' \quad (9.1)$$

e depende, em geral, de t .

A matriz de covariâncias de \mathbf{X}_t é definida por

$$\boldsymbol{\Gamma}(t + \tau, t) = E\{(\mathbf{X}_{t+\tau} - \boldsymbol{\mu}_{t+\tau})(\mathbf{X}_t - \boldsymbol{\mu}_t)'\}, \quad (9.2)$$

que é uma matriz $n \times n$ e que, em geral, também depende de t .

As quantidades (9.1) e (9.2) descrevem as propriedades de segunda ordem das séries X_{1t}, \dots, X_{nt} . Se essas tiverem uma distribuição normal multivariada, as propriedades das séries serão completamente especificadas pelas médias

e covariâncias. Observe que (9.2) fornece as autocovariâncias das séries individuais bem como as covariâncias entre séries diferentes.

Se denotarmos por $\gamma_{ij}(t + \tau, t)$, $i, j = 1, \dots, n$ as componentes da matriz $\Gamma(t + \tau, t)$, então

$$\begin{aligned}\gamma_{ij}(t + \tau, t) &= \text{Cov}\{X_{i,t+\tau}, X_{j,t}\} \\ &= E\{(X_{i,t+\tau} - \mu_{i,t+\tau})(X_{j,t} - \mu_{j,t})\},\end{aligned}\quad (9.3)$$

$i, j = 1, \dots, n$, é a covariância entre as séries $X_{i,t+\tau}$ e $X_{j,t}$.

Exemplo 9.2. No Exemplo 9.1, com $\mathbf{X}_t = (X_{1t}, \dots, X_{4t})'$, $\boldsymbol{\mu}_t = (\mu_{1t}, \dots, \mu_{4t})'$ é o vetor de médias e a matriz (9.2) ficará

$$\Gamma(t + \tau, t) = \begin{bmatrix} \gamma_{11}(t + \tau, t) & \gamma_{12}(t + \tau, t) & \cdots & \gamma_{14}(t + \tau, t) \\ \gamma_{21}(t + \tau, t) & \gamma_{22}(t + \tau, t) & \cdots & \gamma_{24}(t + \tau, t) \\ \dots & \dots & & \dots \\ \gamma_{41}(t + \tau, t) & \gamma_{42}(t + \tau, t) & \cdots & \gamma_{44}(t + \tau, t) \end{bmatrix}$$

Na diagonal principal temos as autocovariâncias das séries individuais, calculadas nos instantes $t + \tau$ e t , enquanto fora da diagonal principal temos as *covariâncias cruzadas* entre as séries $X_{i,t+\tau}$ e $X_{j,t}$, $i \neq j$.

Um caso de interesse é quando tanto o vetor de médias quanto a matriz de covariâncias não depende de t . Obteremos séries (fracamente) estacionárias.

9.2 Séries Estacionárias

Vamos nos restringir nesse capítulo ao caso de estacionariedade fraca ou de segunda ordem. Dizemos que a série n -variada \mathbf{X}_t é *estacionária* se a média $\boldsymbol{\mu}_t$ e a matriz de covariâncias $\Gamma(t + \tau, t)$, $t, \tau \in Z$, não dependerem do tempo t . Nessa situação teremos

$$\boldsymbol{\mu} = E(\mathbf{X}_t) = (\mu_1, \dots, \mu_n)', \quad (9.4)$$

e

$$\Gamma(\tau) = E\{(\mathbf{X}_{t+\tau} - \boldsymbol{\mu})(\mathbf{X}_t - \boldsymbol{\mu})'\} = [\gamma_{ij}(\tau)]_{i,j=1}^n, \quad (9.5)$$

$\tau \in Z$. Nesse caso, $\gamma_{ii}(\tau)$ será a função de autocovariância da série estacionária X_{it} e $\gamma_{ij}(\tau)$ será a função de covariância cruzada de X_{it} e X_{jt} . Notemos que, em geral, $\gamma_{ij}(\tau) \neq \gamma_{ji}(\tau)$.

No caso particular de $\tau = 0$ em (9.5) obtemos

$$\boldsymbol{\Gamma}(0) = E\{(\mathbf{X}_t - \boldsymbol{\mu})(\mathbf{X}_t - \boldsymbol{\mu})'\}, \quad (9.6)$$

que é a *matriz de covariâncias contemporâneas*. Note que $\gamma_{ii}(0) = \text{Var}(X_{it})$, $\gamma_{ij}(0) = \text{Cov}\{X_{it}, X_{jt}\}$.

O *coeficiente de correlação contemporâneo* entre X_{it} e X_{jt} é então dado por

$$\rho_{ij}(0) = \frac{\gamma_{ij}(0)}{[\gamma_{ii}(0)\gamma_{jj}(0)]^{1/2}}. \quad (9.7)$$

Obviamente, $\rho_{ij}(0) = \rho_{ji}(0)$, $\rho_{ii}(0) = 1$ e $-1 \leq \rho_{ij}(0) \leq 1$, para todo $i, j = 1, \dots, n$, do que decorre que $\boldsymbol{\rho}(0) = [\rho_{ij}(0)]_{i,j=1}^n$ é uma matriz simétrica, com elementos na diagonal principal todos iguais a um.

A *matriz de correlações* de lag τ é definida por

$$\boldsymbol{\rho}(\tau) = \mathbf{D}^{-1}\boldsymbol{\Gamma}(\tau)\mathbf{D}^{-1}, \quad (9.8)$$

sendo $\mathbf{D} = \text{diag}\{\sqrt{\gamma_{11}(0)}, \dots, \sqrt{\gamma_{nn}(0)}\}$. Ou seja, denotando $\boldsymbol{\rho}(\tau) = [\rho_{ij}(\tau)]_{i,j=1}^n$, temos

$$\rho_{ij}(\tau) = \frac{\gamma_{ij}(\tau)}{[\gamma_{ii}(0)\gamma_{jj}(0)]^{1/2}}, \quad (9.9)$$

que é o coeficiente de correlação entre $X_{i,t+\tau}$ e $X_{j,t}$.

Quando $\tau > 0$, este coeficiente mede a dependência linear de X_{it} sobre X_{jt} , que ocorreu antes do instante $t + \tau$. Então, se $\rho_{ij}(\tau) \neq 0$, $\tau > 0$, dizemos que X_{jt} é *antecedente a X_{it}* ou que X_{jt} *lidera X_{it}* no lag τ . De modo análogo, $\rho_{ji}(\tau)$ mede a dependência linear de X_{jt} sobre X_{it} , $\tau > 0$.

O fato que $\rho_{ij}(\tau) \neq \rho_{ji}(\tau)$, para todo i, j , vem, intuitivamente, do fato que estes dois coeficientes de correlação medem relações lineares diferentes entre X_{it} e X_{jt} . As matrizes $\boldsymbol{\Gamma}(\tau)$ e $\boldsymbol{\rho}(\tau)$ não são, em geral, simétricas. O que vale é a seguinte proposição.

Proposição 9.1. As seguintes propriedades são válidas:

- (i) $\boldsymbol{\Gamma}(\tau) = \boldsymbol{\Gamma}'(-\tau)$.
- (ii) $|\gamma_{ij}(\tau)| \leq [\gamma_{ii}(0)\gamma_{jj}(0)]^{1/2}$, $i, j = 1, \dots, n$.
- (iii) $\gamma_{ii}(\tau)$ é uma função de autocovariância, para todo i .
- (iv) $\sum_{j,k=1}^m \mathbf{a}_j' \boldsymbol{\Gamma}(j-k) \mathbf{a}_k \geq 0$, para quaisquer m e $\mathbf{a}_1, \dots, \mathbf{a}_m$ vetores de \mathbb{R}^n .

As demonstrações de (i)-(iii) são imediatas. O item (iv) decorre do fato que $E(\sum_{j=1}^m \mathbf{a}'_j(\mathbf{X}_j - \boldsymbol{\mu}))^2 \geq 0$. Observe, também, que de (i) obtemos que $\gamma_{ij}(\tau) = \gamma_{ji}(-\tau)$. A matriz $\boldsymbol{\rho}(\tau)$ tem propriedades análogas, sendo que $\rho_{ii}(0) = 1$. Note que $\rho_{ij}(0)$ não necessita ser igual a 1 e também é possível que $|\gamma_{ij}(\tau)| > |\gamma_{ij}(0)|$, se $i \neq j$; o que vale é a propriedade (ii) acima.

Exemplo 9.3. Suponha que os processos X_{1t} e X_{2t} sejam dados por

$$\begin{aligned} X_{1t} &= a_t, \\ X_{2t} &= 0,3X_{2,t-1} + a_t, \end{aligned}$$

sendo $a_t \sim RB(0, 1)$. Se $\mathbf{X}_t = (X_{1t}, X_{2t})'$, então é fácil ver que $\boldsymbol{\mu} = E(\mathbf{X}_t) = \mathbf{0}$. Por outro lado,

$$\boldsymbol{\Gamma}(0) = E(\mathbf{X}_t \mathbf{X}_t') =$$

$$E \begin{bmatrix} a_t^2 & 0,3X_{2,t-1}a_t + a_t^2 \\ 0,3X_{2,t-1}a_t + a_t^2 & (0,3X_{2,t-1} + a_t)^2 \end{bmatrix} = \begin{bmatrix} 1 & 1 \\ 1 & 1,099 \end{bmatrix},$$

dado que $E(a_t^2) = 1$, $E(0,3X_{2,t-1}a_t + a_t^2) = E(a_t^2) = 1$ ($X_{2,t-1}$ só depende de a_{t-1}, a_{t-2}, \dots) e $E(0,09X_{2,t-1}^2 + a_t^2 + 0,6a_tX_{2,t-1}) = 0,09\text{Var}(X_{2,t}) + 1 = (0,09)(1/0,91) + 1 = 1,099$.

Agora,

$$\boldsymbol{\Gamma}(1) = E(\mathbf{X}_{t+1} \mathbf{X}_t') =$$

$$E \begin{bmatrix} a_{t+1}a_t & 0,3X_{2,t-1}a_{t+1} + a_{t+1}a_t \\ 0,3X_{2,t}a_t + a_ta_{t+1} & (0,3X_{2,t} + a_{t+1})(0,3X_{2,t-1} + a_t) \end{bmatrix} = \begin{bmatrix} 0 & 0 \\ 0,3 & 0,33 \end{bmatrix},$$

pois

$$\begin{aligned} E(a_t a_{t+1}) &= 0, E(X_{2,t-1} a_{t+1}) = 0, E(X_{2,t} a_t) = E(a_t^2) = 1, \\ E(X_{2,t} X_{2,t-1}) &= 0,3E(X_{2,t-1}^2) = (0,3)(0,91), \end{aligned}$$

de modo que o valor de $\gamma_{2,2}(1)$ é dado por

$$E(0,09X_{2,t}X_{2,t-1} + 0,3X_{2,t}a_t + 0,3X_{2,t-1}a_{t+1} + a_ta_{t+1}) = (0,09)(0,3)/0,91 + 0,3 = 0,3/0,91 = 0,33.$$

Segue-se que

$$\boldsymbol{\Gamma}(-1) = \boldsymbol{\Gamma}'(1) = \begin{bmatrix} 0 & 0,3 \\ 0 & 0,33 \end{bmatrix}.$$

De modo análogo podemos calcular $\boldsymbol{\Gamma}(2), \boldsymbol{\Gamma}(3)$ etc.

Dizemos que a série $\{\mathbf{a}_t, t \in Z\}$ é um *ruído branco multivariado* ($n \times 1$), com média $\mathbf{0}$ e matriz de covariâncias $\boldsymbol{\Sigma}$, se \mathbf{a}_t é estacionário com média $\mathbf{0}$ e sua matriz de covariâncias é dada por

$$\boldsymbol{\Gamma}(\tau) = \begin{cases} \boldsymbol{\Sigma}, & \text{se } \tau = 0, \\ \mathbf{0}, & \text{se } \tau \neq 0. \end{cases} \quad (9.10)$$

Usaremos a notação $\mathbf{a}_t \sim \text{RB}(\mathbf{0}, \boldsymbol{\Sigma})$. Se além disso os vetores \mathbf{a}_t forem independentes e identicamente distribuídos, escreveremos $\mathbf{a}_t \sim \text{IID}(\mathbf{0}, \boldsymbol{\Sigma})$.

Um processo \mathbf{X}_t diz-se *linear* se

$$\mathbf{X}_t = \sum_{j=0}^{\infty} \boldsymbol{\Psi}_j \mathbf{a}_{t-j}, \quad (9.11)$$

onde \mathbf{a}_t é ruído branco multivariado e $\boldsymbol{\Psi}_j$ é uma seqüência de matrizes cujas componentes são absolutamente somáveis. Segue-se que $E(\mathbf{X}_t) = \mathbf{0}$ e a matriz de covariâncias de \mathbf{X}_t é dada por

$$\boldsymbol{\Gamma}(\tau) = \sum_{j=0}^{\infty} \boldsymbol{\Psi}_{j+\tau} \boldsymbol{\Sigma} \boldsymbol{\Psi}'_j, \quad \tau \in Z. \quad (9.12)$$

9.3 Estimação de Médias e Covariâncias

Supondo que temos observações $\{\mathbf{X}_t, t = 1, \dots, T\}$ do processo estacionário $\{\mathbf{X}_t, t \in Z\}$, a média $\boldsymbol{\mu}$ pode ser estimada pelo vetor de médias amostrais

$$\bar{\mathbf{X}} = \frac{\sum_{t=1}^T \mathbf{X}_t}{T}. \quad (9.13)$$

Segue-se que a média μ_j de X_{jt} é estimada por $\sum_{t=1}^T X_{jt}/T$.

Pode-se demonstrar, sob diversas condições sobre o processo \mathbf{X}_t , que:

- (i) $E(\bar{\mathbf{X}} - \boldsymbol{\mu})'(\bar{\mathbf{X}} - \boldsymbol{\mu}) \rightarrow 0$, se $\gamma_{ii}(\tau) \rightarrow 0$, $i = 1, \dots, n$;
- (ii) $TE(\bar{\mathbf{X}} - \boldsymbol{\mu})'(\bar{\mathbf{X}} - \boldsymbol{\mu}) \rightarrow \sum_{i=1}^n \sum_{\tau} \gamma_{ii}(\tau)$, se $\sum_{\tau} |\gamma_{ii}(\tau)| < \infty$, $i = 1, \dots, n$;

(iii) o vetor $\bar{\mathbf{X}}$ tem distribuição assintótica normal multivariada.

Veja Brockwell e Davis (1991) para detalhes. Para estimar $\hat{\Gamma}(\tau)$ usamos

$$\hat{\Gamma}(\tau) = \begin{cases} \frac{1}{T} \sum_{t=1}^{T-\tau} (\mathbf{X}_{t+\tau} - \bar{\mathbf{X}})(\mathbf{X}_t - \bar{\mathbf{X}})', & 0 \leq \tau \leq T-1 \\ \frac{1}{T} \sum_{t=-\tau+1}^T (\mathbf{X}_{t+\tau} - \bar{\mathbf{X}})(\mathbf{X}_t - \bar{\mathbf{X}})', & -T+1 \leq \tau \leq 0. \end{cases} \quad (9.14)$$

A matriz de correlações pode ser estimada por

$$\hat{\rho}(\tau) = \hat{\mathbf{D}}^{-1} \hat{\Gamma}(\tau) \hat{\mathbf{D}}^{-1}, \quad (9.15)$$

onde $\hat{\mathbf{D}}$ é a matriz diagonal $n \times n$ dos desvios padrões amostrais das séries individuais.

Veja Fuller (1996) para propriedades dos estimadores $\hat{\Gamma}(\tau)$ e $\hat{\rho}(\tau)$.

Exemplo 9.4. Suponha que X_{1t} represente os retornos diários da Petrobras e X_{2t} os retornos diários do Ibovespa, de 19/08/1998 a 29/09/2010, com $T = 2998$ observações. Seja $\mathbf{X}_t = (X_{1t}, X_{2t})'$. O programa S+FinMetrics fornece as matrizes de correlações amostrais da Tabela 9.1. Uma maneira conveniente de representar essas matrizes é usar os símbolos +, - e ·, quando o valor de uma correlação cruzada for, respectivamente, maior ou igual a $2/\sqrt{T}$, menor ou igual a $-2/\sqrt{T}$ ou estiver entre $-2/\sqrt{T}$ e $2/\sqrt{T}$. Essas matrizes pictóricas também estão apresentadas na Tabela 9.1.

Vemos, por exemplo, que

$$\hat{\rho}(0) = \begin{bmatrix} 1,00 & 0,303 \\ 0,303 & 1,00 \end{bmatrix},$$

enquanto

$$\hat{\rho}(1) = \begin{bmatrix} 0,085 & 0,004 \\ 0,424 & 0,002 \end{bmatrix}.$$

Como $2/\sqrt{2998} = 0,037$, os elementos $\rho_{12}(1)$ e $\rho_{22}(1)$ podem ser considerados estatisticamente nulos, de modo que a representação pictórica dessa matriz de correlações amostrais é

$$\begin{bmatrix} + & \cdot \\ + & \cdot \end{bmatrix}.$$

Note que a correlação contemporânea entre as duas séries é 0,303.

Tabela 9.1: Matrizes de correlações amostrais para retornos diários do Ibovespa e Petrobras, com notação simplificada.

lag 1	lag 2	lag 3	lag 4
$\begin{bmatrix} 0,085 & 0,004 \\ 0,424 & 0,002 \end{bmatrix}$	$\begin{bmatrix} -0,042 & -0,021 \\ 0,062 & 0,002 \end{bmatrix}$	$\begin{bmatrix} -0,065 & 0,006 \\ -0,026 & -0,041 \end{bmatrix}$	$\begin{bmatrix} -0,041 & -0,032 \\ -0,089 & -0,047 \end{bmatrix}$
$\begin{bmatrix} + & : \\ + & : \end{bmatrix}$	$\begin{bmatrix} - & : \\ + & : \end{bmatrix}$	$\begin{bmatrix} - & : \\ . & - \end{bmatrix}$	$\begin{bmatrix} - & : \\ - & - \end{bmatrix}$

Exemplo 9.5. Consideremos, agora, a série bivariada, consistindo dos retornos mensais do Ibovespa e da taxa de juros dos títulos C-Bond da dívida brasileira, ambas de julho de 1994 a agosto de 2001, $T = 86$. Na Tabela 9.2 temos as matrizes de correlações amostrais até o lag 4. Vemos que $\rho(\tau)$, $\tau = 1, 2, \dots, 4$, podem ser consideradas nulas, o que sugere que estamos na presença de um ruído branco bivariado. É fácil verificar que a correlação contemporânea entre as duas séries é negativa (-0,77).

Tabela 9.2: Matrizes de correlações amostrais para os retornos mensais do Ibovespa e C-Bond, com notação simplificada.

lag 1	lag 2	lag 3	lag 4
$\begin{bmatrix} 0,11 & -0,05 \\ 0,10 & -0,15 \end{bmatrix}$	$\begin{bmatrix} -0,20 & 0,08 \\ 0,08 & -0,04 \end{bmatrix}$	$\begin{bmatrix} -0,10 & 0,07 \\ 0,04 & -0,06 \end{bmatrix}$	$\begin{bmatrix} 0,09 & -0,12 \\ -0,04 & 0,07 \end{bmatrix}$
$\begin{bmatrix} : & : \\ : & : \end{bmatrix}$	$\begin{bmatrix} : & : \\ : & : \end{bmatrix}$	$\begin{bmatrix} : & : \\ : & : \end{bmatrix}$	$\begin{bmatrix} : & : \\ : & : \end{bmatrix}$

9.4 Modelos Autorregressivos Vetoriais

Nesta seção estudaremos uma importante classe de modelos lineares multivariados, a dos modelos autorregressivos vetoriais de ordem p , que denotaremos por VAR(p) (de *vector autoregression*). Não confundir a notação VAR com VaR, de valor em risco, utilizada no Capítulo 7.

Dizemos que o processo \mathbf{X}_t , de ordem $n \times 1$, segue um modelo VAR(p) se

$$\mathbf{X}_t = \Phi_0 + \Phi_1 \mathbf{X}_{t-1} + \dots + \Phi_p \mathbf{X}_{t-p} + \mathbf{a}_t, \quad (9.16)$$

onde $\mathbf{a}_t \sim \text{RB}(\mathbf{0}, \Sigma)$, $\Phi_0 = (\phi_{10}, \dots, \phi_{n0})'$ é um vetor $n \times 1$ de constantes e Φ_k são matrizes $n \times n$ constantes, com elementos $\phi_{ij}^{(k)}$, $i, j = 1, \dots, n$, $k = 1, \dots, p$.

Se \mathbf{I}_n é a matriz identidade de ordem n , o modelo (9.16) pode ser escrito na forma

$$\Phi(B)\mathbf{X}_t = \Phi_0 + \mathbf{a}_t, \quad (9.17)$$

onde $\Phi(B) = \mathbf{I}_n - \Phi_1 B - \dots - \Phi_p B^p$ é o operador auto-regressivo vetorial de ordem p , ou ainda, um polinômio matricial $n \times n$ em B . O elemento genérico de $\Phi(B)$ é $[\delta_{ij} - \phi_{ij}^{(1)} B - \dots - \phi_{ij}^{(p)} B^p]$, para $i, j = 1, \dots, n$ e $\delta_{ij} = 1$, se $i = j$ e igual a zero, caso contrário.

Vamos, agora, considerar, por simplicidade, o modelo VAR(1), ou seja,

$$\mathbf{X}_t = \Phi_0 + \Phi \mathbf{X}_{t-1} + \mathbf{a}_t. \quad (9.18)$$

Um caso especial é quando $n = 2$ e (9.18) reduz-se a

$$\begin{aligned} X_{1t} &= \phi_{10} + \phi_{11} X_{1,t-1} + \phi_{12} X_{2,t-1} + a_{1t}, \\ X_{2t} &= \phi_{20} + \phi_{21} X_{1,t-1} + \phi_{22} X_{2,t-1} + a_{2t}, \end{aligned} \quad (9.19)$$

onde desprezamos o índice 1 em Φ_1 e em $\phi_{ij}^{(1)}$. Denotemos os elementos de Σ por σ_{ij} , $i, j = 1, 2$.

Observe que, em (9.19), não fica explicitada a dependência *contemporânea* entre X_{1t} e X_{2t} . Dizemos que (9.19) e (9.18) são *modelos em forma reduzida*. É possível obter o modelo na forma *estrutural*, em que essa relação fica explicitada. Veja o Apêndice 9.D para detalhes. O modelo em forma reduzida é preferido por facilidades de estimação e previsão.

Retomemos (9.19). Se $\phi_{12} = 0$, a série X_{1t} não dependerá de $X_{2,t-1}$ e, de modo análogo, se $\phi_{21} = 0$, $X_{2,t}$ não dependerá de $X_{1,t-1}$. Por outro lado, se $\phi_{12} = 0$ e $\phi_{21} \neq 0$, existe uma relação linear unidirecional de X_{1t} para X_{2t} . Se $\phi_{12} = \phi_{21} = 0$ dizemos que não existe relação linear entre as séries, ou que elas são *não acopladas*. Finalmente, se $\phi_{12} \neq 0$, $\phi_{21} \neq 0$, dizemos que existe uma relação de *feedback* entre as duas séries. Note também que se $\sigma_{12} = 0$ em Σ , não existe relação linear contemporânea entre X_{1t} e X_{2t} .

O processo \mathbf{X}_t em (9.18) será estacionário se a média for constante e $E(\mathbf{X}_{t+\tau} \mathbf{X}'_t)$ independente de t . Neste caso, se $\mu = E(\mathbf{X}_t)$, teremos

$$\mu = (\mathbf{I}_n - \Phi)^{-1} \Phi_0.$$

Segue-se que o modelo poderá ser escrito na forma

$$\mathbf{X}_t - \mu = \Phi(\mathbf{X}_{t-1} - \mu) + \mathbf{a}_t,$$

ou ainda, se $\tilde{\mathbf{X}}_t = \mathbf{X}_t - \boldsymbol{\mu}$,

$$\tilde{\mathbf{X}}_t = \boldsymbol{\Phi} \tilde{\mathbf{X}}_{t-1} + \mathbf{a}_t. \quad (9.20)$$

Assim como no caso de um AR(1) univariado, obtemos de (9.20) que

$$\tilde{\mathbf{X}}_t = \mathbf{a}_t + \boldsymbol{\Phi} \mathbf{a}_{t-1} + \boldsymbol{\Phi}^2 \mathbf{a}_{t-2} + \dots, \quad (9.21)$$

ou seja, temos a representação MA(∞) do modelo. Também, é fácil ver que temos $\text{Cov}(\mathbf{a}_t, \mathbf{X}_{t-1}) = \mathbf{0}$ e $\text{Cov}(\mathbf{a}_t, \mathbf{X}_t) = \boldsymbol{\Sigma}$.

Iremos indicar por $|\mathbf{A}|$ o determinante da matriz quadrada \mathbf{A} .

Proposição 9.2. O processo \mathbf{X}_t seguindo um modelo VAR(1) será estacionário se todas as soluções de

$$|\mathbf{I}_n - \boldsymbol{\Phi} z| = 0 \quad (9.22)$$

estiverem fora do círculo unitário.

Como as soluções de (9.22) são inversas dos autovalores de $\boldsymbol{\Phi}$, uma condição equivalente é que todos os autovalores de $\boldsymbol{\Phi}$ sejam menores do que um, em módulo. Ou ainda, $|\mathbf{I}_n - \boldsymbol{\Phi} z| \neq 0$, $|z| \leq 1$. A demonstração da Proposição 9.2 está dada no Apêndice 9.B.

Exemplo 9.6. No caso de um VAR(1) bivariado, temos que (9.22) fica

$$\begin{vmatrix} 1 - \phi_{11}z & -\phi_{12}z \\ -\phi_{21}z & 1 - \phi_{22}z \end{vmatrix} = (1 - \phi_{11}z)(1 - \phi_{22}z) - \phi_{12}\phi_{21}z^2 = 0,$$

ou seja, obtemos a equação

$$1 - \text{tr}(\boldsymbol{\Phi})z - |\boldsymbol{\Phi}|z^2 = 0,$$

onde $\text{tr}(\boldsymbol{\Phi}) = \phi_{11} + \phi_{22}$ indica o traço de $\boldsymbol{\Phi}$. Logo as duas séries são (conjuntamente) estacionárias se as soluções dessa equação de segundo grau estiverem fora do círculo unitário. Por exemplo, se

$$\boldsymbol{\Phi} = \begin{bmatrix} 0,5 & 0,3 \\ -0,6 & -0,1 \end{bmatrix},$$

então $\text{tr}(\boldsymbol{\Phi}) = 0,4$, $|\boldsymbol{\Phi}| = 0,13$ e as raízes da equação terão módulos maiores do que um.

Exemplo 9.7. Consideremos o modelo VAR(1) ($n = 2$)

$$\begin{aligned} X_{1,t} &= 0,4 + 0,5X_{1,t-1} + 0,3X_{2,t-1} + a_{1,t}, \\ X_{2,t} &= -1,7 - 0,6X_{1,t-1} - 0,1X_{2,t-1} + a_{2,t}, \end{aligned}$$

com

$$\Sigma = \begin{bmatrix} 1 & 0,5 \\ 0,5 & 1 \end{bmatrix},$$

e vamos simulá-lo usando a função `simulate.VAR` do **S+FinMetrics**. Aqui,

$$\Phi_1 = \begin{bmatrix} 0,5 & 0,3 \\ -0,6 & -0,1 \end{bmatrix}, \quad \Phi_0 = \begin{bmatrix} 0,4 \\ -1,7 \end{bmatrix}, \quad \mu = \begin{bmatrix} 2,0 \\ -1,0 \end{bmatrix}. \Sigma = \begin{bmatrix} 1 & 0,5 \\ 0,5 & 1 \end{bmatrix}.$$

Temos, na Figura 9.1, as duas séries simuladas. É fácil ver que este modelo é estacionário.

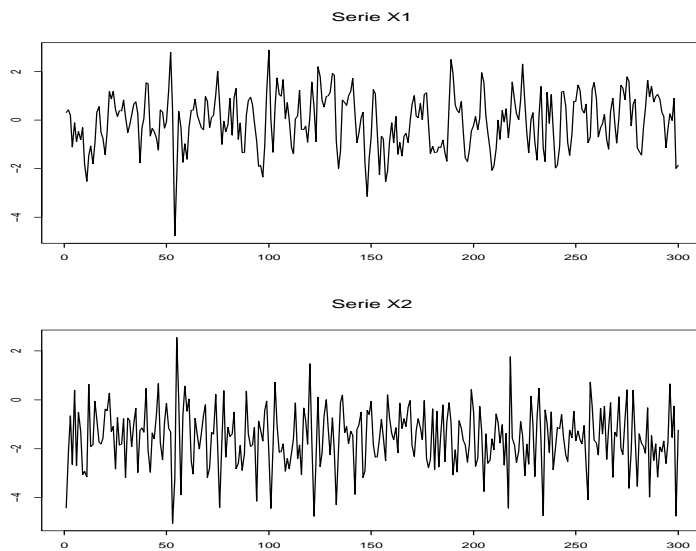


Figura 9.1: Modelo VAR(1) estacionário simulado

Calculemos a matriz de covariâncias de \mathbf{X}_t , admitindo-se o modelo (9.20). Usando (9.21) temos que

$$\boldsymbol{\Gamma}(0) = \boldsymbol{\Sigma} + \boldsymbol{\Phi}\boldsymbol{\Sigma}\boldsymbol{\Phi}' + \boldsymbol{\Phi}^2\boldsymbol{\Sigma}(\boldsymbol{\Phi}^2)' + \dots = \sum_{j=0}^{\infty} \boldsymbol{\Phi}^j \boldsymbol{\Sigma}(\boldsymbol{\Phi}^j)', \quad \boldsymbol{\Phi}_0^0 = \mathbf{I}_n.$$

Uma fórmula análoga vale para $\boldsymbol{\Gamma}(\tau)$, veja o Problema 4. No entanto essas fórmulas envolvem somas infinitas, pouco úteis para cálculos. Vejamos uma maneira mais atraente.

Se pós-multiplicarmos (9.20) por $\tilde{\mathbf{X}}_{t-\tau}'$ e tomarmos a esperança, obtemos

$$E(\tilde{\mathbf{X}}_t \tilde{\mathbf{X}}_{t-\tau}') = \boldsymbol{\Phi} E(\tilde{\mathbf{X}}_{t-1} \tilde{\mathbf{X}}_{t-\tau}') + E(\mathbf{a}_t \tilde{\mathbf{X}}_{t-\tau}').$$

Fazendo $\tau = 0$, obtemos

$$\boldsymbol{\Gamma}(0) = \boldsymbol{\Phi}\boldsymbol{\Gamma}(-1) + \boldsymbol{\Sigma} = \boldsymbol{\Phi}\boldsymbol{\Gamma}(1)' + \boldsymbol{\Sigma}.$$

Ou seja, para calcular $\boldsymbol{\Gamma}(0)$, necessitamos de $\boldsymbol{\Phi}$, $\boldsymbol{\Sigma}$ e $\boldsymbol{\Gamma}(1)$. Como o termo $E(\mathbf{a}_t \tilde{\mathbf{X}}_{t-\tau}')$ é nulo para $\tau > 0$, obtemos

$$\boldsymbol{\Gamma}(\tau) = \boldsymbol{\Phi}\boldsymbol{\Gamma}(\tau - 1), \quad \tau > 0,$$

e, por substituições sucessivas, encontramos

$$\boldsymbol{\Gamma}(\tau) = \boldsymbol{\Phi}^\tau \boldsymbol{\Gamma}(0), \quad \tau > 0. \tag{9.23}$$

Segue-se que $\boldsymbol{\Gamma}(1) = \boldsymbol{\Phi}\boldsymbol{\Gamma}(0)$, donde

$$\boldsymbol{\Gamma}(0) = \boldsymbol{\Phi}\boldsymbol{\Gamma}(0)\boldsymbol{\Phi}' + \boldsymbol{\Sigma},$$

e, tomando o operador vec em ambos os membros, obtemos

$$\text{vec}(\boldsymbol{\Gamma}(0)) = \text{vec}(\boldsymbol{\Phi}\boldsymbol{\Gamma}(0)\boldsymbol{\Phi}') + \text{vec}(\boldsymbol{\Sigma}),$$

e como $\text{vec}(\boldsymbol{\Phi}\boldsymbol{\Gamma}(0)\boldsymbol{\Phi}') = (\boldsymbol{\Phi} \otimes \boldsymbol{\Phi})\text{vec}(\boldsymbol{\Gamma}(0))$, obtemos, finalmente,

$$\text{vec}(\boldsymbol{\Gamma}(0)) = (\mathbf{I}_{n^2} - \boldsymbol{\Phi} \otimes \boldsymbol{\Phi})^{-1} \text{vec}(\boldsymbol{\Sigma}).$$

Veja o Apêndice A para noções sobre o operador vec e o produto de Kronecker \otimes entre duas matrizes.

Nessa expressão a inversa existe pois $|\mathbf{I}_{n^2} - \Phi \otimes \Phi| \neq 0$, devido ao fato que os autovalores do produto $\Phi \otimes \Phi$ são iguais aos produtos dos autovalores de Φ , logo têm módulos menores do que 1.

Os resultados anteriores podem ser estendidos a processos VAR(p), $p > 1$, devido ao fato que tal processo pode sempre ser escrito na forma VAR(1). Veja o Apêndice 9.C. Segue-se que a seguinte proposição é válida.

Proposição 9.3. Para o modelo VAR(p) dado em (9.16) temos os seguintes resultados:

(i) O processo \mathbf{X}_t será estacionário se as soluções de

$$|\mathbf{I}_n - \Phi_1 z - \dots - \Phi_p z^p| = 0$$

estiverem fora do círculo unitário.

(ii) Se \mathbf{X}_t for estacionário,

$$\boldsymbol{\mu} = E(\mathbf{X}_t) = (\mathbf{I}_n - \Phi_1 z - \dots - \Phi_p z^p)^{-1} \Phi_0.$$

(iii) Escrevendo (9.16) na forma

$$\tilde{\mathbf{X}}_t = \Phi_1 \tilde{\mathbf{X}}_{t-1} + \dots + \Phi_p \tilde{\mathbf{X}}_{t-p} + \mathbf{a}_t,$$

com $\tilde{\mathbf{X}}_t = \mathbf{X}_t - \boldsymbol{\mu}$ e multiplicando esta equação por $\tilde{\mathbf{X}}'_{t-\tau}$ obtemos

$$\boldsymbol{\Gamma}(\tau) = \Phi_1 \boldsymbol{\Gamma}(\tau-1) + \dots + \Phi_p \boldsymbol{\Gamma}(\tau-p), \quad \tau > 0,$$

que são as equações de Yule-Walker no caso de um modelo VAR(p).

A demonstração de (i) está no Apêndice 9.C e (ii) e (iii) são imediatas. Para uma condição equivalente a (i) veja o Problema 11. Observe que

$$\begin{aligned} \boldsymbol{\Gamma}(0) &= \Phi_1 \boldsymbol{\Gamma}(-1) + \dots + \Phi_p \boldsymbol{\Gamma}(-p) + \boldsymbol{\Sigma} \\ &= \Phi_1 \boldsymbol{\Gamma}(1)' + \dots + \Phi_p \boldsymbol{\Gamma}(p)' + \boldsymbol{\Sigma}. \end{aligned}$$

Essas equações podem ser utilizadas para calcular $\boldsymbol{\Gamma}(\tau)$ recursivamente, para $\tau \geq p$. Para $|\tau| < p$, temos que usar a representação VAR(1) de um processo VAR(p). Veja o Apêndice 9.C.

9.5 Construção de Modelos VAR

A construção de modelos VAR segue o mesmo ciclo de identificação, estimação e diagnóstico usado para modelos univariados da classe ARMA.

Identificação

Uma maneira de identificar a ordem p de um modelo VAR(p) consiste em ajustar sequencialmente modelos autorregressivos vetoriais de ordens $1, 2, \dots, k$ e testar a significância dos coeficientes (matrizes). Considere, pois, os modelos

$$\begin{aligned} \mathbf{X}_t &= \boldsymbol{\Phi}_0^{(1)} + \boldsymbol{\Phi}_1^{(1)} \mathbf{X}_{t-1} + \mathbf{a}_t^{(1)}, \\ \mathbf{X}_t &= \boldsymbol{\Phi}_0^{(2)} + \boldsymbol{\Phi}_1^{(2)} \mathbf{X}_{t-1} + \boldsymbol{\Phi}_2^{(2)} \mathbf{X}_{t-2} + \mathbf{a}_t^{(2)}, \\ &\dots \quad \dots \\ \mathbf{X}_t &= \boldsymbol{\Phi}_0^{(k)} + \boldsymbol{\Phi}_1^{(k)} \mathbf{X}_{t-1} + \dots + \boldsymbol{\Phi}_k^{(k)} \mathbf{X}_{t-k} + \mathbf{a}_t^{(k)}. \end{aligned} \tag{9.24}$$

Os parâmetros podem ser estimados por MQ ordinários, que fornecem estimadores consistentes e eficientes. Testamos, então,

$$\begin{aligned} H_0 &: \boldsymbol{\Phi}_k^{(k)} = \mathbf{0}, \\ H_1 &: \boldsymbol{\Phi}_k^{(k)} \neq 0, k = 1, 2, \dots \end{aligned} \tag{9.25}$$

O teste da razão de verossimilhanças é baseado nas estimativas das matrizes de covariâncias dos resíduos dos modelos ajustados. Para a k -ésima equação, considere

$$\hat{\mathbf{a}}_t^{(k)} = \mathbf{X}_t - \hat{\boldsymbol{\Phi}}_0^{(k)} - \hat{\boldsymbol{\Phi}}_1^{(k)} \mathbf{X}_{t-1} - \dots - \hat{\boldsymbol{\Phi}}_k^{(k)} \mathbf{X}_{t-k}.$$

A matriz de covariância dos resíduos, que estima Σ , é dada, então, por

$$\hat{\Sigma}_k = \frac{1}{T-k} \sum_{t=k+1}^T \hat{\mathbf{a}}_t^{(k)} (\hat{\mathbf{a}}_t^{(k)})', \quad k \geq 0, \tag{9.26}$$

onde para $k = 0$, $\hat{\mathbf{a}}_t^{(0)} = \mathbf{X}_t - \bar{\mathbf{X}}$. A estatística da razão de verossimilhanças para o teste (9.25) é dada por

$$\text{RV}(k) = (T-k) \ln \frac{|\hat{\Sigma}_{k-1}|}{|\hat{\Sigma}_k|}, \tag{9.27}$$

que tem distribuição qui-quadrado com n^2 graus de liberdade, $\chi^2(n^2)$.

Outra maneira de identificar a ordem de um VAR é usar algum critério de informação, como:

$$\begin{aligned} \text{AIC}(k) &= \ln(|\hat{\Sigma}_k|) + 2kn^2/T \quad (\text{Akaike}), \\ \text{BIC}(k) &= \ln(|\hat{\Sigma}_k|) + kn^2 \ln(T)/T \quad (\text{Schwarz}), \\ \text{HQC}(k) &= \ln(|\hat{\Sigma}_k|) + kn^2 \ln(\ln(T))/T \quad (\text{Hannan-Quinn}). \end{aligned} \quad (9.28)$$

O programa **EViews**, por exemplo, fornece esses critérios mais os valores de FPE (“final prediction error”, de Akaike), $\text{RV}(k)$ e o valor da log-verossimilhança. O programa **SCA** fornece os valores de $\text{RV}(k)$ e AIC.

Estimação

Identificado o valor de p e supondo $\mathbf{a}_t \sim \mathcal{N}(\mathbf{0}, \Sigma)$, podemos estimar os coeficientes por máxima verossimilhança. Nesse caso, os estimadores de MQ são equivalentes a estimadores de MV condicionais.

No caso de um VAR(1), os EMV condicionais são obtidos maximizando-se

$$\begin{aligned} \ell &= -\frac{n(T+1)}{2} \ln(2\pi) + \frac{(T-1)}{2} \ln |\Sigma^{-1}| \\ &\quad - \frac{1}{2} \sum_{t=2}^T (\mathbf{X}_t - \hat{\Phi} \mathbf{X}_{t-1})' \Sigma^{-1} (\mathbf{X}_t - \hat{\Phi} \mathbf{X}_{t-1}), \end{aligned} \quad (9.29)$$

obtendo-se

$$\hat{\Phi} = [\sum_{t=2}^T \mathbf{X}_t \mathbf{X}_{t-1}'] [\sum_{t=2}^T \mathbf{X}_{t-1} \mathbf{X}_{t-1}']^{-1}, \quad (9.30)$$

$$\hat{\Sigma} = \frac{1}{T} \sum_{t=1}^T \hat{\mathbf{a}}_t (\hat{\mathbf{a}}_t)', \quad (9.31)$$

$$\hat{\mathbf{a}}_t = \mathbf{X}_t - \hat{\Phi} \mathbf{X}_{t-1}. \quad (9.32)$$

No caso geral de um $\text{VAR}(p)$, os EMV condicionais são obtidos por métodos de maximização numérica.

Diagnóstico

Para testar se o modelo é adequado, usamos os resíduos para construir a versão multivariada da estatística de Box-Ljung-Pierce, dada por

$$Q(m) = T^2 \sum_{\tau=1}^m \frac{1}{T-\tau} \text{tr}(\hat{\boldsymbol{\Gamma}}(\tau)' \hat{\boldsymbol{\Gamma}}(0)^{-1} \hat{\boldsymbol{\Gamma}}(\tau) \hat{\boldsymbol{\Gamma}}(0)^{-1}), \quad (9.33)$$

que sob H_0 : a série \mathbf{a}_t é ruído branco, tem distribuição $\chi^2(n^2(m-p))$. Para que o número de graus de liberdade seja positivo, m deve ser maior do que p .

Previsão

Considere o $\text{VAR}(1)$ dado em (9.18) e suponha que o parâmetro $\boldsymbol{\Phi}$ seja conhecido. A previsão de origem T e horizonte h é dada por

$$\hat{\mathbf{X}}_T(h) = \boldsymbol{\Phi} \hat{\mathbf{X}}_T(h-1),$$

da qual segue

$$\hat{\mathbf{X}}_T(h) = \boldsymbol{\Phi}^h \mathbf{X}_T, \quad h = 1, 2, \dots \quad (9.34)$$

Como

$$\mathbf{X}_{t+h} = \boldsymbol{\Phi} \mathbf{X}_{t+h-1} + \mathbf{a}_{t+h},$$

temos que o erro de previsão h passos a frente é dado por

$$\mathbf{e}_T(h) = \mathbf{X}_{t+h} - \hat{\mathbf{X}}_T(h) = \sum_{j=0}^{h-1} \boldsymbol{\Phi}^j \mathbf{a}_{t+h-j}, \quad (9.35)$$

de modo que o erro quadrático médio do previsor (9.34) fica

$$\boldsymbol{\Sigma}(h) = \text{EQMP}(h) = \sum_{j=0}^{h-1} \boldsymbol{\Phi}^j \boldsymbol{\Sigma} (\boldsymbol{\Phi}^j)' . \quad (9.36)$$

Considerando, agora, o modelo $\text{VAR}(p)$, com parâmetros supostos conhecidos, \mathbf{a}_t uma seqüência i.i.d. e $\mathcal{F}_t = \{\mathbf{X}_s : s \leq t\}$, obtemos

$$E(\mathbf{X}_{t+h} | \mathcal{F}_t) = \boldsymbol{\Phi}_0 + \boldsymbol{\Phi}_1 E(\mathbf{X}_{t+h-1} | \mathcal{F}_t) + \dots + \boldsymbol{\Phi} E(\mathbf{X}_{t+h-p} | \mathcal{F}_t),$$

pois $E(\mathbf{a}_{t+h}|\mathcal{F}_t) = 0$, para todo $h > 0$.

Para $h = 1$, obtemos

$$\hat{\mathbf{X}}_t(1) = \Phi_0 + \Phi_1 \mathbf{X}_t + \dots + \Phi_p \mathbf{X}_{t-p+1},$$

e, para $h = 2$, temos

$$\hat{\mathbf{X}}_t(2) = \Phi_0 + \Phi_1 \hat{\mathbf{X}}_t(1) + \Phi_2 \mathbf{X}_t + \dots + \Phi_p \mathbf{X}_{t-p+2},$$

de modo que as previsões podem ser obtidas recursivamente.

Nesse caso, o erro de previsão de horizonte h é dado por

$$\mathbf{e}_T(h) = \sum_{j=0}^{h-1} \Psi_j \mathbf{a}_{T+h-j}, \quad (9.37)$$

onde as matrizes Ψ_j são obtidas recursivamente por

$$\Psi_j = \sum_{k=1}^{p-1} \Psi_{j-k} \Phi_k, \quad (9.38)$$

com $\Psi_0 = \mathbf{I}_n$ e $\Phi_j = 0, j > p$. Segue-se que a matriz de EQM de previsão fica

$$\Sigma(h) = \sum_{j=0}^{h-1} \Psi_j \Sigma \Psi_j'. \quad (9.39)$$

Quando os parâmetros do modelo VAR(p) são estimados, o melhor preditor de X_{T+h} é, agora, dado por

$$\tilde{\mathbf{X}}_T(h) = \hat{\Phi}_0 + \hat{\Phi}_1 \tilde{\mathbf{X}}_T(h-1) + \dots + \hat{\Phi}_p \tilde{\mathbf{X}}_T(h-p), \quad h > 1. \quad (9.40)$$

Nesse caso, a matriz de EQM de previsão torna-se

$$\hat{\Sigma}(h) = \Sigma(h) + EQM(\mathbf{X}_{T+h} - \tilde{\mathbf{X}}_T(h)). \quad (9.41)$$

Na prática, o segundo termo em (9.41) é ignorado, e $\hat{\Sigma}(h)$ é calculada por

$$\hat{\Sigma}(h) = \sum_{j=0}^{h-1} \hat{\Psi}_j \hat{\Sigma} \hat{\Psi}_j', \quad (9.42)$$

com $\hat{\Psi}_j = \sum_{k=1}^{p-1} \hat{\Psi}_{j-k} \hat{\Phi}_k$. Lütkepohl (1991) dá uma aproximação para o segundo membro de (9.41).

Exemplo 9.8. Ajustemos um modelo VAR(p) à série \mathbf{X}_t , onde X_{1t} é a série de retornos diários da Petrobras e X_{2t} é a série de retornos diários do Ibovespa, de 19/08/1998 a 29/09/2010, com $T = 2998$ observações. Na Tabela 9.3 temos os valores de BIC resultantes de ajustes de modelos autorregressivos vetoriais até ordem 8, usando a função VAR do S+FinMetrics:

```
> var.fit=VAR(my.df,max.ar=8,criterion="BIC"),
```

onde my.df é um **data.frame** contendo as duas séries de retornos. De acordo com os valores de BIC, selecionamos a ordem $p = 3$. Usando o mesmo programa para estimar os coeficientes do modelo identificado, obtemos a Tabela 9.4, de modo que o modelo bivariado ajustado é

$$\begin{aligned} X_{1t} &= 0,0010 + 0,0833X_{1,t-1} + 0,0534X_{1,t-2} - 0,0785X_{1,t-3} + a_{1t}, \\ X_{2t} &= 0,4012X_{1,t-1} - 0,2001X_{2,t-1} + 0,1066X_{1,t-2} \\ &\quad - 0,0751X_{2,t-2} + 0,0353X_{1,t-3} - 0,0474X_{2,t-3} + a_{2,t}. \end{aligned} \tag{9.43}$$

O vetor de constantes estimado é dado por $\hat{\Phi}_0 = (0,0010, 0,0004)'$, sendo que somente o primeiro elemento do vetor é significativo.

Tabela 9.3: Valores de BIC resultantes de ajustes de modelos VAR(p), $p = 1, \dots, 8$, para os retornos diários da Petrobras e do Ibovespa.

Ordem	1	2	3	4	5	6	7	8
BIC	-28280,1	-28309,5	-28310,24	-28300,6	-28274,4	-28250,6	-28230,5	-28200,7

Na Tabela 9.5 temos as representações pictóricas dos coeficientes (matriciais). Note que os retornos diários da Petrobras não são influenciados por valores passados dos retornos diários do Ibovespa. Por outro lado, os retornos do Ibovespa são influenciados por valores defasados dos retornos da Petrobras, o que é razoável, dado que as ações da Petrobras fazem parte do índice. Seque-se que há uma relação de causalidade de X_{1t} para X_{2t} . Os valores da log-verossimilhança, AIC, BIC e HQ dados pelo programa são 14209,46, -28390,93, -28306,86 e -28360,68, respectivamente.

Na Figura 9.2 mostramos a f.a.c. amostral para os resíduos e quadrados dos resíduos do modelo ajustado. Vemos que há possibilidade de melhorar o modelo, introduzindo termos de médias móveis (veja a seção seguinte) e considerando um modelo heteroscedástico condicional multivariado para os resíduos, dada a dependência presente nos mesmos.

As previsões para horizontes $h = 1, 2, \dots, 12$ para o modelo (9.43), usando o **S+FinMetrics**, estão na Tabela 9.6.

9.6 Modelos ARMA Vetoriais

O modelo VAR(p) estudado na seção anterior é um caso particular dos modelos VARMA(p,q) (de “vector autoregressive moving average”), se $q = 0$. Se $p = 0$ obtemos um modelo de médias móveis vetorial de ordem q , VMA(q), dado por

$$\mathbf{X}_t = \boldsymbol{\Theta}_0 + \mathbf{a}_t - \boldsymbol{\Theta}_1 \mathbf{a}_{t-1} - \dots - \boldsymbol{\Theta}_q \mathbf{a}_{t-q}, \quad (9.44)$$

sendo novamente $\mathbf{a}_t \sim RB(\mathbf{0}, \boldsymbol{\Sigma})$ e $\boldsymbol{\Theta}_i$ matrizes $n \times n$ de constantes, e $\boldsymbol{\Theta}_0$ o vetor $n \times 1$ de médias do processo.

O modelo pode ser escrito compactamente na forma

$$\mathbf{X}_t = \boldsymbol{\Theta}_0 + \boldsymbol{\Theta}(B)\mathbf{a}_t, \quad (9.45)$$

na qual $\boldsymbol{\Theta}(B) = \mathbf{I}_n - \boldsymbol{\Theta}_1 B - \dots - \boldsymbol{\Theta}_q B^q$ é um polinômio matricial $n \times n$ de ordem q .

Proposição 7.4. Para o modelo (9.44) temos:

- (i) $\text{Cov}(\mathbf{X}_t, \mathbf{a}_t) = \boldsymbol{\Sigma}$;
- (ii) $\boldsymbol{\Gamma}(0) = \boldsymbol{\Sigma} + \boldsymbol{\Theta}_1 \boldsymbol{\Sigma} \boldsymbol{\Theta}_1' + \dots + \boldsymbol{\Theta}_q \boldsymbol{\Sigma} \boldsymbol{\Theta}_q'$;
- (iii) a matriz de covariâncias de \mathbf{X}_t é dada por

$$\boldsymbol{\Gamma}(\tau) = \begin{cases} \sum_{j=\tau}^q \boldsymbol{\Theta}_j \boldsymbol{\Sigma} \boldsymbol{\Theta}_{j-\tau}', & \text{se } 1 \leq \tau \leq q, \\ \mathbf{0}, & \text{se } \tau > q, \end{cases} \quad (9.46)$$

sendo $\boldsymbol{\Theta}_0 = -\mathbf{I}_n$.

De (9.46) segue-se que $\boldsymbol{\rho}(\tau) = \mathbf{0}$, $\tau > q$, logo a ordem q de um modelo VMA(q) pode ser identificada analisando-se as matrizes de correlações cruzadas amostrais.

Exemplo 9.9. O modelo de médias móveis vetorial mais simples é o VMA(1), dado por

$$\mathbf{X}_t = \boldsymbol{\Theta}_0 + \mathbf{a}_t - \boldsymbol{\Theta}\mathbf{a}_{t-1},$$

que tem todas as matrizes de correlações nulas a partir do lag 2, inclusive. Como vimos acima, $\boldsymbol{\Theta}_0$ é a média do processo. No caso especial $n = 2$ obtemos

$$\begin{bmatrix} X_{1t} \\ X_{2t} \end{bmatrix} = \begin{bmatrix} \theta_{10} \\ \theta_{20} \end{bmatrix} + \begin{bmatrix} a_{1t} \\ a_{2t} \end{bmatrix} - \begin{bmatrix} \theta_{11} & \theta_{12} \\ \theta_{21} & \theta_{22} \end{bmatrix} \begin{bmatrix} a_{1,t-1} \\ a_{2,t-1} \end{bmatrix}.$$

Tabela 9.4: Ajuste de um modelo VAR(3) aos retornos diárias da Petrobras e do Ibovespa. Primeira linha: estimativas; segunda linha: desvios padrões.

$\hat{\Phi}_1$	$\hat{\Phi}_2$	$\hat{\Phi}_3$
$\begin{bmatrix} 0,0833 & 0,0054 \\ 0,4012 & -0,2001 \end{bmatrix}$	$\begin{bmatrix} -0,0534 & 0,0332 \\ 0,1066 & -0,0751 \end{bmatrix}$	$\begin{bmatrix} -0,0785 & 0,0379 \\ 0,0353 & -0,0474 \end{bmatrix}$
$\begin{bmatrix} 0,0191 & 0,0253 \\ 0,0145 & 0,0191 \end{bmatrix}$	$\begin{bmatrix} 0,0214 & 0,0255 \\ 0,0162 & 0,0193 \end{bmatrix}$	$\begin{bmatrix} 0,0215 & 0,0228 \\ 0,0163 & 0,0172 \end{bmatrix}$

Tabela 9.5: Representações pictóricas das matrizes da Tabela 9.4.

$\hat{\Phi}_1$	$\hat{\Phi}_2$	$\hat{\Phi}_3$
$\begin{bmatrix} + & \cdot \\ + & - \end{bmatrix}$	$\begin{bmatrix} - & \cdot \\ + & - \end{bmatrix}$	$\begin{bmatrix} - & \cdot \\ + & - \end{bmatrix}$

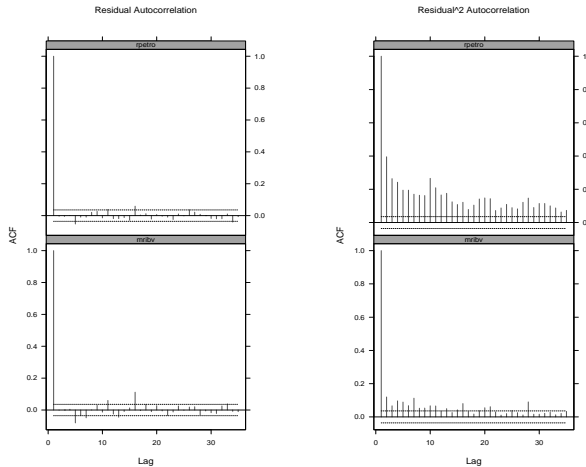


Figure 9.2: F.a.c. amostrais dos resíduos e seus quadrados.

Assim como no caso de um VAR, relações entre as duas séries podem ser estabelecidas analisando-se os elementos θ_{12} e θ_{21} da matriz Θ . Veja o Problema 1.

Estimativas de máxima verossimilhança condicionais podem ser obtidas, como no caso univariado, calculando-se valores dos choques \mathbf{a}_t recursivamente, supondo-se $\mathbf{a}_t = \mathbf{0}$, $t \leq 0$. A identificação é feita usando-se as matrizes de correlações amostrais ou os critérios de informação vistos anteriormente. O diagnóstico do modelo identificado é feito usando a estatística de Box-Pierce-Ljung e a previsão similarmente ao caso univariado.

O modelo VARMA geral é definido por

$$\begin{aligned} \mathbf{X}_t = & \Phi_0 + \Phi_1 \mathbf{X}_{t-1} + \dots + \Phi_p \mathbf{X}_{t-p} + \\ & + \mathbf{a}_t - \Theta_1 \mathbf{a}_{t-1} - \dots - \Theta_q \mathbf{a}_{t-q}, \end{aligned} \quad (9.47)$$

sendo novamente $\mathbf{a}_t \sim RB(\mathbf{0}, \Sigma)$ e as matrizes Φ_i e Θ_i como antes.

Com os polinômios matriciais anteriormente definidos, podemos escrever o modelo na forma

$$\Phi(B)\mathbf{X}_t = \Phi_0 + \Theta(B)\mathbf{a}_t. \quad (9.48)$$

Tabela 9.6: Valores previstos para o modelo (9.43), $h = 1, 2, \dots, 10$.

h	Petrobras (e.p.)	Ibovespa (e.p.)
1	0.0030 (0.0266)	0.0125 (0.0201)
2	-0.0006 (0.0267)	0.0023 (0.0226)
3	-0.0011 (0.0267)	0.0002 (0.0226)
4	0.0013 (0.0268)	-0.0008 (0.0226)
5	0.0013 (0.0268)	0.0008 (0.0227)
6	0.0011 (0.0268)	0.0009 (0.0227)
7	0.0009 (0.0268)	0.0008 (0.0227)
8	0.0010 (0.0268)	0.0007 (0.0227)
9	0.0010 (0.0268)	0.0007 (0.0227)
10	0.0010 (0.0268)	0.0007 (0.0227)

Esse processo tem uma solução estacionária

$$\mathbf{X}_t = \boldsymbol{\mu} + \sum_{j=0}^{\infty} \boldsymbol{\Psi}_j \mathbf{a}_{t-j} \quad (9.49)$$

se $|\boldsymbol{\Phi}(z)| \neq 0$, para todo z complexo tal que $|z| \leq 1$, sendo que as matrizes $\boldsymbol{\Psi}_j$ são determinadas univocamente por $\boldsymbol{\Psi}(z) = \boldsymbol{\Phi}^{-1}(z)\boldsymbol{\Theta}(z)$.

Por outro lado, o processo (9.47) pode ser escrito na forma AR(∞)

$$\sum_{j=0}^{\infty} \boldsymbol{\Pi}_j \mathbf{X}_{t-j} = \mathbf{a}_t, \quad (9.50)$$

se $|\boldsymbol{\Theta}(z)| \neq 0$, para todo complexo z com $|z| \leq 1$ e as matrizes $\boldsymbol{\Pi}_j$ são determinadas univocamente por $\boldsymbol{\Pi}(z) = \boldsymbol{\Theta}^{-1}(z)\boldsymbol{\Phi}(z)$. Para detalhes veja Brockwell e Davis (1991). As matrizes $\boldsymbol{\Psi}_j$ e $\boldsymbol{\Pi}_j$ podem ser obtidas recursivamente. Veja os problemas 2 e 3.

Os modelos VARMA não são muito usados, devido a dificuldades computacionais e problemas de identificabilidade. A matriz de covariâncias (ou a matriz de densidade espectral) não determina univocamente Φ , Θ e Σ , a menos que condições mais restritivas sejam impostas. Veja Dunsmuir e Hannan (1976). Não identificabilidade implica que a superfície de verossimilhança não tem um único máximo. Para exemplos de problemas de identificabilidade veja Tsay (2005).

Para a identificação da ordem (p, q) de uma modelo VARMA os critérios de informação descritos antes podem ser utilizados. A estimativa pode ser feita via EMV condicionais ou exatos e a estatística de Box-Pierce-Ljung pode ser usada para fins de diagnóstico.

9.7 Causalidade de Granger

A elucidação de relações de causalidade entre variáveis é um dos principais problemas em pesquisa empírica.

Para sistemas temporais, Granger (1969) define causalidade em termos de *previsibilidade*: a variável X causa a variável Y , com respeito a um dado universo de informação (que inclui X e Y), se o presente de Y pode ser previsto mais eficientemente usando valores passados de X , do que não usando esse passado, toda e qualquer outra informação disponível (incluindo valores passados de Y) sendo usada em ambos os casos. A definição não requer que o sistema seja linear; se o for, as previsões serão lineares.

Seja $\{A_t, t = 0, \pm 1, \pm 2, \dots\}$ o conjunto de informação relevante até (e incluindo) o instante t , contendo pelo menos X_t, Y_t . Defina $\bar{A}_t = \{A_s : s < t\}$, $\bar{\bar{A}}_t = \{A_s : s \leq t\}$, e definições análogas para \bar{X}_t, \bar{Y}_t etc. Seja $P_t(Y|B)$ o preditor de EQM mínimo de Y_t , usando o conjunto de informação B e $\sigma^2(Y|B)$ o correspondente EQM do preditor.

Definição 9.1. Dizemos que:

- (a) $X_t \rightarrow Y_t$: X_t causa Y_t no sentido de Granger se

$$\sigma^2(Y_t|\bar{A}_t) < \sigma^2(Y_t|\bar{A}_t - \bar{X}_t).$$

Ou seja, Y_t pode ser melhor prevista usando toda a informação disponível, incluindo o passado de Y_t e X_t .

Dizemos também que X_t é *exógena* ou *antecedente* a Y_t .

(b) $X_t \Rightarrow Y_t$: X_t causa instantaneamente Y_t no sentido de Granger se:

$$\sigma^2(Y_t | \bar{A}_t, \bar{X}_t) < \sigma^2(Y_t | \bar{A}_t)$$

Ou seja, o valor presente de Y_t é melhor previsto se o valor presente de X_t for incluído.

(c) Há *feedback*, e escrevemos $X_t \leftrightarrow Y_t$, se X_t causa Y_t e Y_t causa X_t .

(d) Há *causalidade unidirecional* de X_t para Y_t se $X_t \rightarrow Y_t$ e *não há feedback*.

É fácil ver que se $X_t \Rightarrow Y_t$, então $Y_t \Rightarrow X_t$. Portanto usualmente dizemos que há causalidade instantânea entre X_t e Y_t .

A definição estende-se para vetores aleatórios. Sejam $\mathbf{X}_t = (X_{1t}, \dots, X_{rt})'$ e $\mathbf{Y}_t = (Y_{1t}, \dots, Y_{st})'$ dois vetores aleatórios. Defina $P(Y_{it}|B_t)$, $\sigma^2(Y_{it}|B_t)$ etc como antes. O melhor preditor linear de \mathbf{Y}_t baseado em B_t é então $P(\mathbf{Y}_t|B_t) = (P(Y_{1t}|B_t), \dots, P(Y_{st}|B_t))'$.

Definição 9.2. Dizemos que:

(a) O vetor \mathbf{X}_t causa o vetor \mathbf{Y}_t se

$$\sigma^2(Y_{it} | \bar{A}_t) < \sigma^2(Y_{it} | \bar{A}_t - \bar{\mathbf{X}}_t),$$

para pelo menos um valor de $i = 1, \dots, s$.

(b) O vetor \mathbf{X}_t não causa o vetor \mathbf{Y}_t se

$$\sigma^2(Y_{it} | \bar{A}_t) = \sigma^2(Y_{it} | \bar{A}_t - \bar{\mathbf{X}}_t),$$

para todo $i = 1, 2, \dots, s$.

Há várias propostas para operacionalizar as definições anteriores. Pierce e Haugh (1977) propõem ajustar modelos ARIMA a transformações adequadas de ambas as séries e depois estabelecer padrões de causalidade entre os resíduos por meio de correlações cruzadas. Veja também Layton (1984). Hsiao (1979) sugere ajustar modelos autorregressivos via AIC. No caso de mais de duas

séries, Boudjellaba et al. (1992) sugerem ajustar modelos VARMA às séries. Uma resenha desses procedimentos é feita por da Cunha (1997).

Neste capítulo trataremos do assunto por meio da representação VAR da série multivariada \mathbf{X}_t , de ordem $n \times 1$. A representação MA do processo é dada por (9.49), ou seja,

$$\mathbf{X}_t = \boldsymbol{\mu} + \Psi(B)\mathbf{a}_t, \quad \Psi_0 = \mathbf{I}_n. \quad (9.51)$$

Suponha que

$$\mathbf{X}_t = \begin{bmatrix} \mathbf{Y}_t \\ \mathbf{Z}_t \end{bmatrix},$$

onde \mathbf{Y}_t é um vetor $r \times 1$ e \mathbf{Z}_t é um vetor $s \times 1$, $r + s = n$. Então podemos escrever

$$\mathbf{X}_t = \begin{bmatrix} \mathbf{Y}_t \\ \mathbf{Z}_t \end{bmatrix} = \begin{bmatrix} \boldsymbol{\mu}_1 \\ \boldsymbol{\mu}_2 \end{bmatrix} + \begin{bmatrix} \Psi_{11}(B) & \Psi_{12}(B) \\ \Psi_{21}(B) & \Psi_{22}(B) \end{bmatrix} \begin{bmatrix} \mathbf{a}_{1t} \\ \mathbf{a}_{2t} \end{bmatrix}, \quad (9.52)$$

particionando $\boldsymbol{\mu}$, $\Psi(B)$ e \mathbf{a}_t de acordo com a partição de \mathbf{X}_t . Se houver causalidade unidirecional de \mathbf{Y}_t para \mathbf{Z}_t , isto é, se \mathbf{Z}_t for melhor prevista pelo presente e passado de \mathbf{Y}_t , mas não o contrário, deveremos ter $\Psi_{12}(B) = 0$ e obteremos

$$\mathbf{Y}_t = \boldsymbol{\mu}_1 + \Psi_{11}(B)\mathbf{a}_{1t}, \quad (9.53)$$

$$\mathbf{Z}_t = \boldsymbol{\mu}_2 + \Psi_{21}(B)\mathbf{a}_{1t} + \Psi_{22}(B)\mathbf{a}_{2t}. \quad (9.54)$$

Note que (9.54) pode ser escrita

$$\mathbf{Z}_t = \boldsymbol{\mu}_2 + \mathbf{V}(B)\mathbf{Y}_t + \psi_{22}(B)\mathbf{a}_{2t}, \quad (9.55)$$

que é um modelo de regressão dinâmica. As condições $\Psi_{12}(B) = 0$ e $\mathbf{V}(B) = 0$ implicam que \mathbf{Y}_t não causa \mathbf{Z}_t e vice-versa. Nessa situação, as duas séries serão não acopladas ou relacionadas apenas instantaneamente.

Na realidade, é possível demonstrar o seguinte resultado, que é uma caracterização de não causalidade de Granger. Note que, de (9.51), $\Psi(B) = \mathbf{I}_n + \Psi_1 B + \Psi_2 B^2 + \dots$ e

$$\Psi_i = \begin{bmatrix} \Psi_{11,i} & \Psi_{12,i} \\ \Psi_{21,i} & \Psi_{22,i} \end{bmatrix}, \quad i = 1, 2, \dots$$

Proposição 9.5. O previsor ótimo de \mathbf{Y}_t baseado em $\bar{\mathbf{Z}}_t$ é igual ao previsor ótimo de \mathbf{Y}_t baseado em $\bar{\bar{\mathbf{Y}}}_t$ se e somente se $\Psi_{12,i} = \mathbf{0}$, $i = 1, 2, \dots$.

Em outras palavras, \mathbf{Z}_t não causa \mathbf{Y}_t se e somente se $\Psi_{12,i}(B) = \mathbf{0}$, para todo $i \geq 1$. Para a demonstração veja Lütkepohl (1991). Essa proposição aplica-se não só a modelos VAR mas a qualquer processo que possa ser escrito na forma MA infinita, e dá uma maneira de verificar a não existência de causalidade de Granger. Do ponto de vista prático, convém considerar o modelo VAR de ordem finita, ou seja,

$$\begin{aligned}\mathbf{X}_t &= \begin{bmatrix} \mathbf{Y}_t \\ \mathbf{Z}_t \end{bmatrix} = \begin{bmatrix} \boldsymbol{\mu}_1 \\ \boldsymbol{\mu}_2 \end{bmatrix} + \begin{bmatrix} \Phi_{11,1} & \Phi_{12,1} \\ \Phi_{21,1} & \Phi_{22,1} \end{bmatrix} \begin{bmatrix} \mathbf{Y}_{t-1} \\ \mathbf{Z}_{t-1} \end{bmatrix} + \dots \quad (9.56) \\ &\quad + \begin{bmatrix} \Phi_{11,p} & \Phi_{12,p} \\ \Phi_{21,p} & \Phi_{22,p} \end{bmatrix} \begin{bmatrix} \mathbf{Y}_{t-p} \\ \mathbf{Z}_{t-p} \end{bmatrix} + \begin{bmatrix} \mathbf{a}_{1t} \\ \mathbf{a}_{2t} \end{bmatrix},\end{aligned}$$

e a condição da Proposição 7.5 estará satisfeita se, e somente se, $\Phi_{12,i} = \mathbf{0}$, $i = 1, 2, \dots, p$. Ou seja, se \mathbf{X}_t seguir um modelo VAR(p), com matriz de covariâncias não singular, então \mathbf{Z}_t não causa \mathbf{Y}_t se e somente se $\Phi_{12,i} = \mathbf{0}$, $i = 1, 2, \dots, p$.

Uma caracterização de não existência de causalidade instantânea é dada pela proposição seguinte. A prova é dada em Lütkepohl (1991).

Proposição 9.6. Se \mathbf{X}_t for como em (9.56), com matriz de covariâncias não singular, então *não existe causalidade instantânea* entre \mathbf{Y}_t e \mathbf{Z}_t se e somente se $E(\mathbf{a}_{1t}\mathbf{a}_{2t}')$ = 0.

A prova da proposição é baseada no fato que a matriz de covariâncias Σ pode ser escrita como $\Sigma = \mathbf{T}\mathbf{T}'$, onde \mathbf{T} é uma matriz triangular inferior com elementos positivos na diagonal principal. Segue-se que a representação MA de \mathbf{X}_t pode ser escrita como

$$\begin{aligned}\mathbf{X}_t &= \boldsymbol{\mu} + \sum_{j=0}^{\infty} \Psi_j \mathbf{T}\mathbf{T}^{-1} \mathbf{a}_{t-j} \\ &= \boldsymbol{\mu} + \sum_{j=0}^{\infty} \boldsymbol{\Xi}_j \mathbf{b}_{t-j},\end{aligned}$$

com $\Xi_j = \Psi_j \mathbf{T}$, $\mathbf{b}_t = \mathbf{T}^{-1} \mathbf{a}_t \sim \text{RB}(\mathbf{0}, \Sigma_b)$, e $\Sigma_b = \mathbf{T}^{-1} \Sigma (\mathbf{T}^{-1})' = \mathbf{I}_n$. Veja também o Apêndice 7.D.

A equação (9.56) pode ser escrita como:

$$\mathbf{Y}_t = \boldsymbol{\mu}_1 + \sum_{i=1}^p \Phi_{11,i} \mathbf{Y}_{t-i} + \sum_{i=1}^p \Phi_{12,i} \mathbf{Z}_{t-i} + \mathbf{a}_{1t}, \quad (9.57)$$

$$\mathbf{Z}_t = \boldsymbol{\mu}_2 + \sum_{i=1}^p \Phi_{21,i} \mathbf{Y}_{t-i} + \sum_{i=1}^p \Phi_{22,i} \mathbf{Z}_{t-i} + \mathbf{a}_{2t}. \quad (9.58)$$

Suponha, também, a matriz Σ particionada como

$$\Sigma = \begin{bmatrix} \Sigma_{11} & \Sigma_{12} \\ \Sigma_{21} & \Sigma_{22} \end{bmatrix},$$

sendo que $\Sigma_{ij} = E(\mathbf{a}_{it} \mathbf{a}_{jt}')$, $i, j = 1, 2$.

Então, como vimos acima:

- (i) \mathbf{Z}_t não causa $\mathbf{Y}_t \leftrightarrow \Phi_{12,i} = \mathbf{0}$, para todo i ;
- (ii) \mathbf{Y}_t não causa $\mathbf{Z}_t \leftrightarrow \Phi_{21,i} = \mathbf{0}$, para todo i .

Resultados equivalentes a (i) e (ii) são dados na proposição a seguir.

Proposição 9.7 (i) \mathbf{Z}_t não causa $\mathbf{Y}_t \leftrightarrow |\Sigma_{11}| = |\Sigma_1|$, onde $\Sigma_1 = E(\mathbf{c}_{1t} \mathbf{c}_{1t}')$ é obtida da regressão restrita

$$\mathbf{Y}_t = \boldsymbol{\nu}_1 + \sum_{i=1}^p \mathbf{A}_i \mathbf{Y}_{t-i} + \mathbf{c}_{1t}. \quad (9.59)$$

(ii) \mathbf{Y}_t não causa $\mathbf{Z}_t \leftrightarrow |\Sigma_{22}| = |\Sigma_2|$, onde $\Sigma_2 = E(\mathbf{c}_{2t} \mathbf{c}_{2t}')$ é obtida da regressão restrita

$$\mathbf{Z}_t = \boldsymbol{\nu}_2 + \sum_{i=1}^p \mathbf{C}_i \mathbf{Z}_{t-i} + \mathbf{c}_{2t}. \quad (9.60)$$

As regressões (9.57)-(9.60) podem ser estimadas por MQO e a partir dos resíduos de MQ as matrizes de covariâncias envolvidas são estimadas por:

$$\hat{\Sigma}_i = (T - p)^{-1} \sum_{t=p+1}^T \hat{\mathbf{c}}_{it} \hat{\mathbf{c}}_{it}',$$

$$\hat{\Sigma}_{ii} = (T - p)^{-1} \sum_{t=p+1}^T \hat{\mathbf{a}}_{it} \hat{\mathbf{a}}_{it}' , \quad i = 1, 2.$$

Os testes e respectivas estatísticas da razão de verossimilhanças são dados por:

(i) $H_{01} : \Phi_{12,i} = \mathbf{0}$, para todo i (\mathbf{Z}_t não causa \mathbf{Y}_t),

$$RV_1 = (T - p)[\log |\hat{\Sigma}_1| - \log |\hat{\Sigma}_{11}|] \sim \chi^2(prs).$$

(ii) $H_{02} : \Phi_{21,i} = \mathbf{0}$, para todo i (\mathbf{Y}_t não causa \mathbf{Z}_t),

$$RV_2 = (T - p)[\log |\hat{\Sigma}_2| - \log |\hat{\Sigma}_{22}|] \sim \chi^2(prs).$$

Testes e estatísticas semelhantes podem ser estabelecidas para causalidade instantânea. Veja o Apêndice 9.D.

Exemplo 9.10. Para o Exemplo 9.8, vemos que $X_{1t} \rightarrow X_{2t}$, ou seja, retornos diários da Petrobras causam, no sentido de Granger, retornos diários do Ibovespa. Vimos, também, que X_{1t} não causa X_{2t} .

Exemplo 9.11. Um modelo VAR(1) para as séries de retornos diários da Vale (X_{1t}) e da Petrobras (X_{2t}) é dado por

$$\begin{aligned} X_{1t} &= 0,0014 + a_{1t}, \\ X_{2t} &= 0,1467X_{1,t-1} + a_{2t}. \end{aligned}$$

Vemos que Vale causa Petrobras, mas não o contrário.

9.8 Problemas

1. Para o modelo VMA(1) do Exemplo 9.9, verifique o que acontece se $\theta_{12} = 0$ e se $\theta_{21} = 0$, separadamente; depois, se ambos são nulos simultaneamente; finalmente, se ambos são diferentes de zero.
2. Mostre que as matrizes Ψ_j e Π_j das representações (9.49) e (9.50) podem ser obtidas recursivamente por:

$$\begin{aligned}\Psi_0 &= \mathbf{I}_n = \boldsymbol{\Pi}_0 \\ \Psi_j &= \sum_{i=1}^j \boldsymbol{\Phi}_i \boldsymbol{\Psi}_{j-i} + \boldsymbol{\Theta}_j, \quad j \geq 1, \\ \boldsymbol{\Pi}_j &= -\sum_{i=1}^j \boldsymbol{\theta}_i \boldsymbol{\Pi}_{j-i} - \boldsymbol{\Phi}_j, \quad j \geq 1,\end{aligned}$$

onde $\boldsymbol{\Theta}_j = \mathbf{0}, j > q$ e $\boldsymbol{\Phi}_i = \mathbf{0}, i > p$.

3. Prove que a matriz de covariâncias de um modelo VARMA é dada por $\boldsymbol{\Gamma}(\tau) = \sum_{k=0}^{\infty} \boldsymbol{\Psi}_{\tau+k} \boldsymbol{\Sigma} \boldsymbol{\Psi}_k'$, $\tau \in Z$.
4. Da representação (B.1) do Apêndice 9.B mostre que $E(\mathbf{X}_t) = \boldsymbol{\mu}$ e $\boldsymbol{\Gamma}(\tau) = \sum_{j=0}^{\infty} \boldsymbol{\Phi}^{\tau+j} \boldsymbol{\Sigma} (\boldsymbol{\Phi}^j)'$ e, em particular, obtenha $\boldsymbol{\Gamma}(0)$.
5. Obtenha o modelo (9.61).
6. Ajuste um modelo VAR às séries de retornos diárias do Ibovespa e da Cemig.
7. Use (C.2) do Apêndice 9.C para obter as matrizes de covariâncias de lags 0, 1 e 2 para o exemplo de modelo VAR(1) dado no Apêndice 9.D.
8. Estabeleça relações de causalidade para as séries dos exemplos 9.8 e 9.9.
9. Para o Exemplo 9.8, encontre as equações estruturais. Veja o Apêndice 9.D.
10. Para o Exemplo 9.9, encontre as equações estruturais para X_{1t} e X_{2t} . Veja o Apêndice 9.D.
11. Prove que a condição (i) da Proposição 9.3 é equivalente a dizer que os autovalores da matriz

$$\mathbf{F} = \begin{bmatrix} \boldsymbol{\Phi}_1 & \boldsymbol{\Phi}_2 & \cdots & \boldsymbol{\Phi}_{p-1} & \boldsymbol{\Phi}_p \\ \mathbf{I}_n & \mathbf{0} & \cdots & \mathbf{0} & \mathbf{0} \\ \cdots & \cdots & \cdots & \cdots & \cdots \\ \mathbf{0} & \mathbf{0} & \cdots & \mathbf{I}_n & \mathbf{0} \end{bmatrix}$$

têm módulos menores do que um. Veja também o Apêndice 9.C.

12. Como ficaria o problema anterior para um modelo VAR(2)?
13. Prove (9.30) e (9.31).
14. Prove (9.38).
15. Verifique se há causalidade instantânea para os exemplos 9.10 e 9.11.
16. Prove a Proposição 9.1.
17. Ajuste um modelo VAR aos retornos diários dos índices Ibovespa e Merval (Argentina) do arquivo d-indices.95.04.dat.
18. Mesmo problema, para os retornos do Ibovespa e IPC (México).

Apêndice 9.A. Alguns Resultados sobre Matrizes

A.1 Conceitos Básicos

A notação $\mathbf{A} = [a_{ij}]$ indicará uma matriz de orde $m \times n$. A transposta de \mathbf{A} será indicada por \mathbf{A}' , a soma de \mathbf{A} e \mathbf{B} por $\mathbf{A} + \mathbf{B}$, se ambas têm a mesma ordem. Se \mathbf{A} é de ordem $m \times n$ e \mathbf{B} é de ordem $n \times r$, então o produto \mathbf{AB} é a matriz $\mathbf{C} = [c_{ij}]$, de ordem $m \times r$, cujos elementos c_{ij} são dados por $\sum_{k=1}^n a_{ik}b_{kj}$. Não é verdade que $\mathbf{AB} = \mathbf{BA}$, em geral, mas $\mathbf{A}(\mathbf{BC}) = (\mathbf{AB})\mathbf{C} = \mathbf{ABC}$, desde que os produtos estejam definidos. A matriz identidade de ordem n será indicada por \mathbf{I}_n e $\mathbf{0}$ indicará a matriz nula.

Dizemos que \mathbf{A} é *ortogonal* se $m = n$ e $\mathbf{A}'\mathbf{A} = \mathbf{I}_n$. Uma matriz \mathbf{A} é *simétrica* se $m = n$ e $\mathbf{A}' = \mathbf{A}$. Dizemos que \mathbf{A} é *não negativa definida* se for simétrica e se

$$\mathbf{x}'\mathbf{Ax} = \sum_{i,j=1}^m a_{ij}x_i x_j \geq 0,$$

para todo vetor \mathbf{x} de ordem $m \times 1$. Denotaremos tal matriz por $\mathbf{A} \geq \mathbf{0}$. Dizemos que \mathbf{A} é *positiva definida* se $\mathbf{x}'\mathbf{Ax} > 0$, para todo vetor $\mathbf{x} \neq \mathbf{0}$ e escrevemos $\mathbf{A} > \mathbf{0}$. A expressão $\mathbf{x}'\mathbf{Ax}$ diz-se uma *forma quadrática* nas variáveis x_1, \dots, x_m e as nomenclaturas acima aplicam-se, também, às respectivas formas quadráticas.

A.2 Determinante, Traço e Posto.

Características importantes de matrizes são o determinante, traço e

posto. Se \mathbf{A} é quadrada de ordem m , o *traço* de \mathbf{A} é definido por $\text{tr}(\mathbf{A}) = \sum_{i=1}^m a_{ii}$.

É fácil ver que $\text{tr}(\mathbf{A}') = \text{tr}(\mathbf{A})$, $\text{tr}(\mathbf{A} + \mathbf{B}) = \text{tr}(\mathbf{A}) + \text{tr}(\mathbf{B})$ e $\text{tr}(\mathbf{AB}) = \text{tr}(\mathbf{BA})$, se \mathbf{A} for $m \times n$ e \mathbf{B} for $n \times m$.

Se \mathbf{A} é quadrada de ordem m , real, o *determinante* de \mathbf{A} , denotado $|\mathbf{A}|$, é a única função real de elementos de \mathbf{A} tal que

$$|\mathbf{AB}| = |\mathbf{A}||\mathbf{B}|,$$

para toda matriz \mathbf{B} de ordem m e $|\Gamma| = \gamma$, se

$$\Gamma = \begin{bmatrix} \gamma & 0 & \cdots & 0 \\ 0 & 1 & \cdots & 0 \\ \cdots & \cdots & \cdots & \cdots \\ 0 & 0 & \cdots & 1 \end{bmatrix},$$

para todo γ .

O *ponto* da matriz \mathbf{A} , denotado $\rho(\mathbf{A})$, é o número de linhas (ou colunas) linearmente independentes de \mathbf{A} ; ou é a ordem da maior submatriz de \mathbf{A} com determinante não nulo.

Uma matriz quadrada \mathbf{A} , de ordem m , diz-se *não singular* se $\rho(\mathbf{A}) = m$, isto é, se $|\mathbf{A}| \neq 0$. Neste caso, existe uma única matriz \mathbf{A}^{-1} , de ordem m , chamada a *inversa* de \mathbf{A} , tal que

$$\mathbf{AA}^{-1} = \mathbf{A}^{-1}\mathbf{A} = \mathbf{I}_m.$$

As seguintes propriedades são válidas:

- (1) Se \mathbf{A} for ortogonal, $\mathbf{A}^{-1} = \mathbf{A}'$;
- (2) $(\mathbf{A} + \mathbf{B})' = \mathbf{A}' + \mathbf{B}'$;
- (3) $(\mathbf{AB})' = \mathbf{B}'\mathbf{A}'$;
- (4) $|\alpha\mathbf{A}| = \alpha^m|\mathbf{A}|$;
- (5) $|\mathbf{A}^{-1}| = (|\mathbf{A}|)^{-1}$ se \mathbf{A} não singular;
- (6) $(\mathbf{AB})^{-1} = \mathbf{B}^{-1}\mathbf{A}^{-1}$;
- (7) $\text{tr}(\mathbf{A} + \mathbf{B}) = \text{tr}(\mathbf{A}) + \text{tr}(\mathbf{B})$;
- (8) $\text{tr}(\mathbf{AB}) = \text{tr}(\mathbf{BA})$, com ordens apropriadas;

(9) $\rho(\mathbf{AB}) = \rho(\mathbf{A})$, se \mathbf{B} for não singular;

(10) $\rho(\mathbf{A}) = \rho(\mathbf{A}'\mathbf{A})$;

(11) $\rho(\mathbf{AB}) \leq \min\{\rho(\mathbf{A}), \rho(\mathbf{B})\}$.

A.3 Matrizes Particionadas

Dizemos que a matriz \mathbf{A} é *particionada* (ou em blocos) se seus elementos também são matrizes:

$$\mathbf{A} = \begin{bmatrix} \mathbf{A}_{11} & \cdots & \mathbf{A}_{1n} \\ \mathbf{A}_{21} & \cdots & \mathbf{A}_{2n} \\ \cdots & \cdots & \cdots \\ \mathbf{A}_{m1} & \cdots & \mathbf{A}_{mn} \end{bmatrix},$$

onde $\mathbf{A}_{j1}, \dots, \mathbf{A}_{jn}$ são matrizes com o mesmo número de linhas, $j = 1, \dots, m$ e $\mathbf{A}_{1k}, \dots, \mathbf{A}_{mk}$ são matrizes com o mesmo número de colunas, $k = 1, \dots, n$.

Por exemplo, se $\mathbf{A}_{11} = \begin{bmatrix} 1 & 0 \\ 0 & 1 \end{bmatrix}$, $\mathbf{A}_{12} = \begin{bmatrix} 1 \\ 1 \end{bmatrix}$, $\mathbf{A}_{21} = [1 \ 1]$, $\mathbf{A}_{22} = [0]$, então

$$\mathbf{A} = \begin{bmatrix} 1 & 0 & 1 \\ 0 & 1 & 1 \\ 1 & 1 & 0 \end{bmatrix}$$

é um exemplo. Matrizes em blocos podem ser somadas, multiplicadas etc, se as dimensões dos elementos (matrizes) são apropriadas.

A.4 Produto de Kronecker e Vetorização

Seja \mathbf{A} uma matriz $m \times n$ e \mathbf{B} uma matriz de ordem $r \times s$. Então o *produto de Kronecker* (ou produto tensorial) $\mathbf{A} \otimes \mathbf{B}$ é a matriz em blocos de ordem $(mr) \times (ns)$ dada por

$$\mathbf{A} \otimes \mathbf{B} = \begin{bmatrix} a_{11}\mathbf{B} & \cdots & a_{1n}\mathbf{B} \\ a_{21}\mathbf{B} & \cdots & a_{2n}\mathbf{B} \\ \cdots & \cdots & \cdots \\ a_{m1}\mathbf{B} & \cdots & a_{mn}\mathbf{B} \end{bmatrix}.$$

Por exemplo,

$$\begin{bmatrix} a & b \\ c & d \end{bmatrix} \otimes \begin{bmatrix} \alpha & \beta \\ \gamma & \delta \end{bmatrix} = \begin{bmatrix} a\alpha & a\beta & b\alpha & b\beta \\ a\gamma & a\delta & b\gamma & b\delta \\ c\alpha & c\beta & d\alpha & d\beta \\ c\gamma & c\delta & d\gamma & d\delta \end{bmatrix}.$$

As seguintes propriedades do produto de Kronecker são importantes:

- (1) $(\mathbf{A} \otimes \mathbf{B}) \otimes \mathbf{C} = \mathbf{A} \otimes (\mathbf{B} \otimes \mathbf{C})$;
- (2) $\mathbf{A} \otimes (\mathbf{B} + \mathbf{C}) = \mathbf{A} \otimes \mathbf{B} + \mathbf{A} \otimes \mathbf{C}$;
- (3) $(\mathbf{A} \otimes \mathbf{B})' = \mathbf{A}' \otimes \mathbf{B}'$;
- (4) Se \mathbf{A} e \mathbf{B} são matrizes quadradas, então $\text{tr}(\mathbf{A} \otimes \mathbf{B}) = [\text{tr}(\mathbf{A})][\text{tr}(\mathbf{B})]$;
- (5) $\rho(\mathbf{A} \otimes \mathbf{B}) = \rho(\mathbf{A})\rho(\mathbf{B})$;
- (6) Se \mathbf{A} e \mathbf{B} são inversíveis, $(\mathbf{A} \otimes \mathbf{B})^{-1} = \mathbf{A}^{-1} \otimes \mathbf{B}^{-1}$;
- (7) Se \mathbf{A} é quadrada de ordem m e \mathbf{B} é quadrada de ordem n , então $|\mathbf{A} \otimes \mathbf{B}| = |\mathbf{A}|^n |\mathbf{B}|^m$;
- (8) Se \mathbf{A} e \mathbf{B} são matrizes quadradas, com autovalores λ_A, λ_B , respectivamente, e correspondentes autovetores \mathbf{v}_A e \mathbf{v}_B , então $\lambda_A \lambda_B$ é um autovalor de $\mathbf{A} \otimes \mathbf{B}$ com autovetor $\mathbf{v}_A \otimes \mathbf{v}_B$.

Um procedimento muito útil em determinadas situações é o de *vetorização*. Seja \mathbf{A} uma matriz de ordem $m \times n$. Então $\text{vec}(\mathbf{A})$ denotará o vetor de ordem $(mn) \times 1$ tal que

$$\text{vec}(\mathbf{A}) = \begin{bmatrix} \mathbf{a}_1 \\ \vdots \\ \mathbf{a}_j \\ \vdots \\ \mathbf{a}_n \end{bmatrix},$$

onde \mathbf{a}_j denota a j -ésima coluna de \mathbf{A} .

Por exemplo,

$$\text{vec}\left(\begin{bmatrix} a & b \\ c & d \end{bmatrix}\right) = \begin{bmatrix} a \\ c \\ b \\ d \end{bmatrix}.$$

Os seguintes resultados são importantes.

- (1) $\text{vec}(\mathbf{A} + \mathbf{B}) = \text{vec}(\mathbf{A}) + \text{vec}(\mathbf{B});$
- (2) $\text{vec}(\mathbf{AB}) = (\mathbf{I} \otimes \mathbf{A}) \text{vec}(\mathbf{B}) = (\mathbf{B}' \otimes \mathbf{I}) \text{vec}(\mathbf{A});$
- (3) $\text{vec}(\mathbf{AXB}') = (\mathbf{B} \otimes \mathbf{A}) \text{vec}(\mathbf{X}).$
- (4) $\text{tr}(\mathbf{ABC}) = \text{vec}(\mathbf{A}')' (\mathbf{C}' \otimes \mathbf{I}) \text{vec}(\mathbf{B}).$

A.5 Decomposição de Matrizes

Seja \mathbf{A} uma matriz quadrada de ordem m . Segue-se que $|\mathbf{A} - \lambda\mathbf{I}|$ é um polinômio de ordem m em λ e terá m raízes complexas $\lambda_1, \dots, \lambda_m$. Essas raízes são chamadas *raízes características* ou *autovalores* de \mathbf{A} .

Como $\mathbf{A} - \lambda_j\mathbf{I}$ é singular, $j = 1, \dots, m$, existe um vetor \mathbf{a}_j , cujas coordenadas não são todas nulas, tal que $(\mathbf{A} - \lambda_j\mathbf{I})\mathbf{a}_j = \mathbf{0}$, ou seja, $\mathbf{A}\mathbf{a}_j = \lambda_j\mathbf{a}_j$, $j = 1, \dots, m$. Os vetores $\mathbf{a}_1, \dots, \mathbf{a}_m$ são chamados *vetores característicos* ou *autovetores* de \mathbf{A} .

Os seguintes resultados são válidos.

- (1) $\rho(\mathbf{A})$ dá o número de autovalores de \mathbf{A} não nulos.
- (2) $\text{tr}(\mathbf{A}) = \sum_{j=1}^m \lambda_j$.
- (3) $|\mathbf{A}| = \prod_{j=1}^m \lambda_j$.
- (4) Se \mathbf{A} é uma matriz simétrica, real, todos os seus autovalores são reais, e para cada autovalor real existe um autovetor real.
- (5) Se \mathbf{A} é simétrica, real, os autovetores correspondentes a autovalores distintos são ortogonais.
- (6) Se \mathbf{A} é não negativa definida, então $\lambda_j \geq 0$, $j = 1, \dots, m$.
- (7) Se \mathbf{A} é simétrica, de ordem $m \times m$, existe uma matriz ortogonal \mathbf{X} , tal que

$$\mathbf{X}'\mathbf{AX} = \mathbf{\Lambda} = \text{diag}\{\lambda_1, \dots, \lambda_m\},$$

ou $\mathbf{A} = \mathbf{X}\mathbf{\Lambda}\mathbf{X}'$, onde os λ_j são os autovalores de \mathbf{A} e as colunas de \mathbf{X} são os correspondentes autovetores.

O resultado (7) é chamado o *teorema espectral* para matrizes simétricas. Segue-se que a *decomposição espectral* de \mathbf{A} é dada por

$$\mathbf{A} = \sum_{j=1}^m \lambda_j \mathbf{x}_j \mathbf{x}_j^{'},$$

onde \mathbf{x}_j é o autovetor correspondente a λ_j .

Se \mathbf{A} é uma matriz quadrada de ordem m , positiva definida, existe uma matriz triangular inferior \mathbf{T} , com elementos da diagonal principal positivos, tal que

$$\mathbf{T}^{-1} \mathbf{A} (\mathbf{T}')^{-1} = \mathbf{I}_m, \quad \text{ou} \quad \mathbf{A} = \mathbf{T} \mathbf{T}'.$$

Esta decomposição de \mathbf{A} é chamada *decomposição de Cholesky*. Veja o Apêndice 9.D para exemplos.

Apêndice 9.B. Demonstração da Proposição 9.2

De (9.18) obtemos, recursivamente,

$$\mathbf{X}_t = (\mathbf{I}_n + \Phi + \dots + \Phi^j) \Phi_0 +$$

$$+ \Phi^{j+1} \mathbf{X}_{t-j-1} + \sum_{i=0}^j \Phi^i \mathbf{a}_{t-i}.$$

Se todos os autovalores de Φ tiverem módulos menores do que um, a sequência Φ^i , $i \geq 0$, é absolutamente somável e a soma $\sum_{i=0}^{\infty} \Phi^i \mathbf{a}_{t-i}$ existe em média quadrática. Também $(\mathbf{I}_n + \Phi + \dots + \Phi^j) \Phi_0 \rightarrow (\mathbf{I}_n - \Phi)^{-1} \Phi_0$ e $\Phi^{j+1} \rightarrow 0$, quando $j \rightarrow \infty$.

Portanto, a solução estacionária para \mathbf{X}_t é dada por

$$\mathbf{X}_t = \boldsymbol{\mu} + \sum_{i=0}^{\infty} \Phi^i \mathbf{a}_{t-i}, \quad t \in Z, \tag{B.1}$$

onde $\boldsymbol{\mu} = (\mathbf{I}_n - \Phi)^{-1} \Phi_0$.

Apêndice 9.C. Modelo VAR(p) na Forma VAR(1)

Suponha que \mathbf{X}_t seja dado por (9.16). Defina o seguinte processo VAR(1):

$$\mathbf{Y}_t = \mathbf{C} + \mathbf{F}\mathbf{Y}_{t-1} + \mathbf{b}_t, \quad (C.1)$$

onde

$$\mathbf{Y}_t = \begin{bmatrix} \mathbf{X}_t \\ \mathbf{X}_{t-1} \\ \vdots \\ \mathbf{X}_{t-p+1} \end{bmatrix}, \quad \mathbf{C} = \begin{bmatrix} \Phi_0 \\ \mathbf{0} \\ \vdots \\ \mathbf{0} \end{bmatrix}, \quad \mathbf{b}_t = \begin{bmatrix} \mathbf{a}_t \\ \mathbf{0} \\ \vdots \\ \mathbf{0} \end{bmatrix}$$

são vetores de ordem $np \times 1$ e

$$\mathbf{F} = \begin{bmatrix} \Phi_1 & \Phi_2 & \cdots & \Phi_{p-1} & \Phi_p \\ \mathbf{I}_n & \mathbf{0} & \cdots & \mathbf{0} & \mathbf{0} \\ \mathbf{0} & \mathbf{I}_n & \cdots & \mathbf{0} & \mathbf{0} \\ \vdots & \vdots & & \vdots & \vdots \\ \mathbf{0} & \mathbf{0} & \cdots & \mathbf{I}_n & \mathbf{0} \end{bmatrix}$$

é uma matriz $np \times np$.

Pela discussão sobre modelos VAR(1), o processo \mathbf{Y}_t é estacionário se

$$|\mathbf{I}_{np} - \mathbf{F}z| \neq 0, \quad |z| \leq 1.$$

É fácil ver que $|\mathbf{I}_{np} - \mathbf{F}z| = |\mathbf{I}_n - \Phi_1 z - \dots - \Phi_p z^p|$, logo o processo VAR(p) é estacionário se (i) da Proposição 9.3 for válida.

Segue-se de (C.1) que a matriz de covariâncias de \mathbf{Y}_t é dada por

$$\Gamma_Y(\tau) = \sum_{i=0}^{\infty} \mathbf{F}^{\tau+i} \Sigma_b (\mathbf{F}^i)',$$

onde $\Sigma_b = E(\mathbf{b}_t \mathbf{b}_t')$. Novamente, sendo esta uma soma infinita, é mais conveniente usar (iii) da Proposição 9.3. De (C.1) temos

$$\mathbf{Y}_t - \boldsymbol{\nu} = \mathbf{F}(\mathbf{Y}_{t-1} - \boldsymbol{\nu}) + \mathbf{b}_t,$$

onde $\boldsymbol{\nu} = (\boldsymbol{\mu}', \dots, \boldsymbol{\mu}')' = E(\mathbf{Y}_t)$. Segue-se do caso VAR(1) que

$$\Gamma_Y(0) = \mathbf{F}\Gamma_Y(0)\mathbf{F}' + \Sigma_b$$

e as matrizes $\Gamma_Y(\tau)$, $\tau = -p + 1, \dots, p - 1$ podem ser obtidas de

$$\text{vec}(\boldsymbol{\Gamma}_Y(0)) = (\mathbf{I}_{(np)^2} - \mathbf{F} \otimes \mathbf{F})^{-1} \text{vec}(\boldsymbol{\Sigma}_b). \quad (C.2)$$

Note que

$$\begin{aligned} \boldsymbol{\Gamma}_Y(0) &= E \left[\begin{array}{c} \mathbf{X}_t - \boldsymbol{\nu} \\ \vdots \\ \mathbf{X}_{t-p+1} - \boldsymbol{\nu} \end{array} \right] \left[(\mathbf{X}_t - \boldsymbol{\nu})', \dots, (\mathbf{X}_{t-p+1} - \boldsymbol{\nu})' \right] \\ &= \left[\begin{array}{cccc} \boldsymbol{\Gamma}(0) & \boldsymbol{\Gamma}(1) & \cdots & \boldsymbol{\Gamma}(p-1) \\ \vdots & \vdots & & \vdots \\ \boldsymbol{\Gamma}(-p+1) & \boldsymbol{\Gamma}(-p+2) & \cdots & \boldsymbol{\Gamma}(0) \end{array} \right]. \end{aligned}$$

Apêndice 9.D. Modelos Estruturais

Como vimos, o modelo VAR(p) (9.16) está na forma reduzida, porque não explicita uma relação linear contemporânea entre as séries $X_{it}, i = 1, \dots, n$. Esta dependência explícita pode ser obtida por meio de uma transformação linear, especificamente, usando uma decomposição de Cholesky da matriz $\boldsymbol{\Sigma}$. Dado que esta é positiva definida, existe uma matriz triangular inferior \mathbf{L} , com elementos diagonais unitários e uma matriz diagonal $\boldsymbol{\Lambda}$ tal que $\boldsymbol{\Sigma} = \mathbf{L}\boldsymbol{\Lambda}\mathbf{L}'$. Segue-se que $\mathbf{L}^{-1}\boldsymbol{\Sigma}(\mathbf{L}')^{-1} = \boldsymbol{\Lambda}$. Se indicarmos por $\mathbf{b}_t = \mathbf{L}^{-1}\mathbf{a}_t$, então temos que $E(\mathbf{b}_t) = \mathbf{0}$ e a matriz de covariâncias de \mathbf{b}_t é dada por $\boldsymbol{\Lambda}$, ou seja, os elementos b_{it} de \mathbf{b}_t são não-correlacionados.

Pré-multiplicando a equação (9.16) por \mathbf{L}^{-1} obtemos

$$\mathbf{L}^{-1}\mathbf{X}_t = \mathbf{L}^{-1}\boldsymbol{\Phi}_0 + \mathbf{L}^{-1}\boldsymbol{\Phi}_1\mathbf{X}_{t-1} + \dots + \mathbf{L}^{-1}\boldsymbol{\Phi}_p\mathbf{X}_{t-p} + \mathbf{b}_t. \quad (D.1)$$

É fácil ver que a última linha de \mathbf{L}^{-1} é da forma $(a_{n1}, a_{n2}, \dots, a_{n,n-1}, 1)$ de modo que a última equação do modelo (D.1) é

$$X_{nt} + \sum_{i=1}^{n-1} a_{ni} X_{it} = \phi_{n,0}^* + \sum_{i=1}^n \boldsymbol{\Phi}_{ni}^{(1)*} X_{i,t-1} + \dots + \sum_{i=1}^n \boldsymbol{\Phi}_{ni}^{(p)*} X_{i,t-p} + b_{nt}. \quad (D.2)$$

Como b_{nt} é não-correlacionado com b_{it} , $1 \leq i < n$, a equação (D.2) mostra a relação linear contemporânea de X_{nt} com X_{it} , $1 \leq i < n$. Esta equação é chamada *equação estrutural* para X_{nt} . Para qualquer outra componente X_{jt}

podemos rearranjar o modelo VAR(p) de modo que X_{jt} apareça como a última componente de \mathbf{X}_t .

Considere, por exemplo, o modelo VAR(1) dado por

$$\begin{bmatrix} X_{1t} \\ X_{2t} \end{bmatrix} = \begin{bmatrix} 0,5 & 0,1 \\ 0,4 & 0,5 \end{bmatrix} \begin{bmatrix} X_{1,t-1} \\ X_{2,t-1} \end{bmatrix} + \begin{bmatrix} a_{1t} \\ a_{2t} \end{bmatrix},$$

com

$$\Sigma = \begin{bmatrix} 2,25 & 0,3 \\ 0,3 & 0,64 \end{bmatrix}.$$

É fácil ver que a matriz \mathbf{L} , triangular inferior, necessária para diagonalizar Σ , e a matriz Λ são, respectivamente,

$$\mathbf{L} = \begin{bmatrix} 1 & 0 \\ 0,13 & 1 \end{bmatrix}, \quad \Lambda = \begin{bmatrix} 2,25 & 0 \\ 0 & 0,60 \end{bmatrix}.$$

Pré-multiplicando o modelo por \mathbf{L}^{-1} obtemos

$$X_{2t} = 0,13X_{1,t} + 0,34X_{1,t-1} + 0,49X_{2,t-1} + b_{2t},$$

mostrando que X_{2t} depende do valor presente e do passado de $X_{1,t}$, além de depender também de seu próprio passado.

Rearranjando o modelo na forma

$$\begin{bmatrix} X_{2t} \\ X_{1t} \end{bmatrix} = \begin{bmatrix} 0,4 & 0,5 \\ 0,5 & 0,1 \end{bmatrix} \begin{bmatrix} X_{2,t-1} \\ X_{1,t-1} \end{bmatrix} + \begin{bmatrix} a_{2t} \\ a_{1t} \end{bmatrix},$$

com

$$\Sigma = \begin{bmatrix} 0,64 & 0,3 \\ 0,3 & 2,25 \end{bmatrix},$$

obtemos que $\mathbf{L} = \begin{bmatrix} 1 & 0 \\ 0,47 & 1 \end{bmatrix}$ e $\Lambda = \begin{bmatrix} 0,64 & 0 \\ 0 & 2,11 \end{bmatrix}$, de modo que

$$X_{1t} = 0,47X_{2t} + 0,5X_{2,t-1} + 0,1X_{1,t-1} + c_{2,t},$$

mostrando também a dependência contemporânea de X_{1t} sobre X_{2t} .

Se pré-multiplicarmos o sistema (9.57)-(9.58) por $\begin{bmatrix} \mathbf{I}_r & -\Sigma_{12}\Sigma_{22}^{-1} \\ -\Sigma_{12}'\Sigma_{11}^{-1} & \mathbf{I}_s \end{bmatrix}$ obtemos

$$\begin{aligned}\mathbf{Y}_t &= \boldsymbol{\mu}_1 + \sum_{i=1}^p \boldsymbol{\Phi}_{11,i}^* \mathbf{Y}_{t-i} + \sum_{i=0}^p \boldsymbol{\Phi}_{12,i}^* \mathbf{Z}_{t-i} + \mathbf{a}_{1t}^*, \\ \mathbf{Z}_t &= \boldsymbol{\mu}_2 + \sum_{i=1}^p \boldsymbol{\Phi}_{21,i}^* \mathbf{Y}_{t-i} + \sum_{i=0}^p \boldsymbol{\Phi}_{22,i}^* \mathbf{Z}_{t-i} + \mathbf{a}_{2t}^*,\end{aligned}$$

onde $\mathbf{a}_{1t}^* = \mathbf{a}_{1t} - \boldsymbol{\Sigma}_{12} \boldsymbol{\Sigma}_{22}^{-1} \mathbf{a}_{2t}$ e $\mathbf{a}_{2t}^* = \mathbf{a}_{2t} - \boldsymbol{\Sigma}_{12}' \boldsymbol{\Sigma}_{11}^{-1} \mathbf{a}_{1t}$.

Chamando $\boldsymbol{\Sigma}_i^* = E[\mathbf{a}_{it}^* (\mathbf{a}_{it}^*)']$, temos a seguinte proposição.

Proposição D.1. Há causalidade instantânea entre \mathbf{Y}_t e \mathbf{Z}_t se e somente se $\boldsymbol{\Phi}_{12,0}^* \neq \mathbf{0}$ e $\boldsymbol{\Phi}_{21,0}^* \neq \mathbf{0}$, ou ainda, se e somente se $|\boldsymbol{\Sigma}_{11}| > |\boldsymbol{\Sigma}_1^*|$ e $|\boldsymbol{\Sigma}_{22}| > |\boldsymbol{\Sigma}_2^*|$.

O testes de não-causalidade instantânea pode ser conduzidos como nos casos vistos na seção 9.7 para não causalidade (hipóteses H_{01} e H_{02}), estimando-se as matrizes $\boldsymbol{\Sigma}_i^*$ com os resíduos de MQ das regressões acima.

CAPÍTULO 10

Processos Cointegrados

10.1 Introdução

Vimos que um processo X_t é integrado de ordem d se $\Delta^d X_t$ for estacionário, e escrevemos $X_t \sim I(d)$. Em particular, um processo estacionário é $I(0)$. Estudamos, em particular, a classe dos processos ARIMA(p, d, q). Para esses, após tomarmos d diferenças, o processo estacionário resultante é representado por um modelo ARMA(p, q).

No Capítulo 9, tratamos de modelos VAR estacionários, ou seja, as séries envolvidas são $I(0)$. A teoria usual de MQO também aplica-se a séries $I(0)$. Se algumas ou todas as séries de um modelo de regressão são $I(1)$, os resultados estatísticos usuais em geral não são mais válidos. Esse é o problema da *regressão espúria*, tratado por Granger e Newbold (1974). Esses autores verificaram, através de simulações, que dadas duas séries completamente não correlacionadas, mas $I(1)$, a regressão de uma sobre a outra tenderá a produzir uma relação aparentemente significativa. Veja também Phillips (1986). Há, portanto, a necessidade de se desenvolver técnicas para analisar relações entre séries não estacionárias.

Neste capítulo estaremos interessados em analisar modelos para descrever co-movimentos dinâmicos de duas ou mais séries temporais, como séries de preços de ativos ou taxas de câmbio. É comum que preços de ativos apresentem uma tendência estocástica comum no longo prazo, ou seja, que sejam *cointegrados*.

Preços e taxas (de câmbio, de juros) em geral são $I(1)$ e é usual analisar os logaritmos dessas séries, para investigar cointegração. Estabelecida uma relação de equilíbrio de longo prazo entre log-preços, por exemplo, ajusta-se um modelo que corrige desvios de curto prazo da relação de equilíbrio. Este modelo é chamado *modelo de correção de erros* (MCE).

Se X_t e Y_t forem processos $I(d)$, então a combinação linear $Z_t = Y_t - \alpha X_t$ será, em geral, também $I(d)$. Mas é possível que Z_t seja integrado de ordem menor, digamos $I(d-b)$, $b > 0$. Se $d = b = 1$, então X_t e Y_t serão $I(1)$ e Z_t será $I(0)$. Nesse caso, dizemos que X_t e Y_t são cointegrados. Todavia, não é geralmente verdade que exista α tal que $Z_t \sim I(0)$ ou, em geral, $Z_t \sim I(d-b)$.

No caso de um vetor \mathbf{X}_t , de ordem $n \times 1$, dizemos que ele é integrado de ordem d , $I(d)$, se d for a maior ordem de integração das séries individuais. Ou seja, se $\mathbf{X}_t = (X_{1t}, \dots, X_{nt})'$, $X_{it} \sim I(d_i)$, então $d = \max(d_1, \dots, d_n)$.

Definição 10.1. As componentes do vetor \mathbf{X}_t são *cointegradas de ordem (d, b)* , e escrevemos, $\mathbf{X}_t \sim C.I.(d, b)$, se:

- (a) todas as componentes de \mathbf{X}_t são $I(d)$;
- (b) existe um vetor $\boldsymbol{\beta} = (\beta_1, \dots, \beta_n)'$, não nulo, tal que

$$\boldsymbol{\beta}' \mathbf{X}_t = \beta_1 X_{1t} + \dots + \beta_n X_{nt} \sim I(d-b), \quad d \geq b > 0. \quad (10.1)$$

O vetor $\boldsymbol{\beta}$, de ordem $n \times 1$, é chamado *vetor cointegrado* (ou vetor de cointegração).

Exemplo 10.1 (Engle e Granger, 1987). Considere $n = 2$ e as séries X_{1t} e X_{2t} , dadas por

$$X_{1t} + \beta X_{2t} = u_t, \quad (10.2)$$

$$u_t = \phi_1 u_{t-1} + \varepsilon_{1t}, \quad (10.3)$$

$$X_{1t} + \alpha X_{2t} = v_t, \quad (10.4)$$

$$v_t = \phi_2 v_{t-1} + \varepsilon_{2t}, \quad (10.5)$$

onde supomos os ε_{it} independentes e normais, com média zero e com $E(\varepsilon_{it}\varepsilon_{js}) = 0$, $i, j = 1, 2$. Suponha $\phi_i \neq 0$, $i = 1, 2$. Então, temos os seguintes casos a analisar:

- (i) $\phi_i < 1$, $i = 1, 2$.

Nesse caso, X_{1t} e X_{2t} serão $I(0)$, mas os parâmetros α e β não são identificados.

- (ii) $\phi_1 = 1$, $\phi_2 < 1$.

As séries são ambas I(1) e $(1, \alpha)'$ é o vetor cointegrado. A equação (10.4) é identificada.

(iii) $\phi_1 < 1$, $\phi_2 = 1$.

Similar ao anterior, o vetor cointegrado é $(1, \beta)'$ e a equação (10.2) é identificada.

Observações: (i) O vetor de cointegração β não é único, pois se $\lambda \neq 0$, então $\lambda\beta$ é também um vetor de cointegração. Tipicamente, uma das variáveis é usada para normalizar β , fixando-se seu coeficiente igual a um; usualmente toma-se $\beta = (1, -\beta_2, \dots, -\beta_n)'$, de modo que

$$\beta' \mathbf{X}_t = X_{1t} - \beta_2 X_{2t} - \dots - \beta_n X_{nt}.$$

Por exemplo, se $\beta' \mathbf{X}_t \sim I(0)$, temos que

$$X_{1t} = \beta_2 X_{2t} + \dots + \beta_n X_{nt} + u_t,$$

com $u_t \sim I(0)$. Dizemos que u_t é o *resíduo de cointegração*. Em equilíbrio de longo prazo, $u_t = 0$ e a relação de equilíbrio de longo prazo é

$$X_{1t} = \beta_2 X_{2t} + \dots + \beta_n X_{nt}.$$

(ii) Todas as variáveis devem ser integradas de *mesma ordem*. Se elas forem integradas de ordens diferentes, não podem ser cointegradas. Veja o Problema 2.

(iii) Se \mathbf{X}_t tiver $n > 2$ componentes, podem existir vários vetores de cointegração. Se existirem exatamente r vetores de cointegração linearmente independentes, com $0 < r \leq n - 1$, então eles podem ser reunidos numa matriz \mathbf{B} , de ordem $n \times r$, com posto r , chamado o *posto de cointegração*. Nesse caso,

$$\mathbf{B}' \mathbf{X}_t = \begin{bmatrix} \beta_1' \mathbf{X}_t \\ \vdots \\ \beta_r' \mathbf{X}_t \end{bmatrix} = \begin{bmatrix} u_{1t} \\ \vdots \\ u_{rt} \end{bmatrix}$$

é estacionária, isto é, $I(0)$. Por exemplo, se $n = 3$ e $r = 2$, com $\beta_1 = (\beta_{11}, \beta_{12}, \beta_{13})'$ e $\beta_2 = (\beta_{21}, \beta_{22}, \beta_{23})'$, então

$$\mathbf{B}' \mathbf{X}_t = \begin{bmatrix} \beta_{11} & \beta_{12} & \beta_{13} \\ \beta_{21} & \beta_{22} & \beta_{23} \end{bmatrix} \begin{bmatrix} X_{1t} \\ X_{2t} \\ X_{3t} \end{bmatrix} = \begin{bmatrix} \beta_1' \mathbf{X}_t \\ \beta_2' \mathbf{X}_t \end{bmatrix},$$

de modo que obtemos $\beta_1' \mathbf{X}_t \sim I(0)$ e $\beta_2' \mathbf{X}_t \sim I(0)$. Note que se $\beta_3 = c_1\beta_1 + c_2\beta_2$, então β_3 é também um vetor cointegrado.

10.2 Tendências Comuns

Vimos no exemplo 2.7 que log-preços de ativos podem ser modelados por um passeio aleatório, ou seja, na notação do exemplo,

$$\Delta p_t = \mu + \varepsilon_t,$$

onde $\varepsilon_t \sim i.i.d. \mathcal{N}(0, \sigma^2)$. Logo, a melhor previsão de qualquer valor futuro é o valor de hoje mais um “drift”. Mas se existe uma relação de cointegração entre dois ou mais log-preços, um modelo multivariado pode dar informação sobre o equilíbrio de longo prazo entre as séries.

Preços cointegrados têm uma tendência estocástica comum, um fato apontado por Stock e Watson (1988). Ou seja, eles caminharão juntos no longo prazo porque uma combinação linear deles é reversível à média (estacionária).

Exemplo 10.2. Suponha que

$$X_{1t} = \mu_{1t} + \varepsilon_{1t}, \tag{10.6}$$

$$X_{2t} = \mu_{2t} + \varepsilon_{2t}, \tag{10.7}$$

onde μ_{it} é um passeio aleatório representando a tendência estocástica da variável X_{it} , $i = 1, 2$ e ε_{it} , $i = 1, 2$ é estacionário. Suponha que X_{1t} e X_{2t} sejam $I(1)$ e que existam constantes β_1 e β_2 tais que $\beta_1 X_{1t} + \beta_2 X_{2t}$ seja $I(0)$, ou seja,

$$\beta_1 X_{1t} + \beta_2 X_{2t} = (\beta_1 \mu_{1t} + \beta_2 \mu_{2t}) + (\beta_1 \varepsilon_{1t} + \beta_2 \varepsilon_{2t})$$

seja estacionário. Então, devemos ter o primeiro termo do segundo membro nulo, ou seja, $\mu_{1t} = -(\beta_2/\beta_1)\mu_{2t}$, o que mostra que as tendências são as mesmas, a menos de um escalar.

De modo geral, se o vetor \mathbf{X}_t for cointegrado, com r vetores de cointegração, $0 < r < n$, então existirão $n - r$ tendências estocásticas comuns.

O fato de duas séries serem cointegradas não significa que elas apresentem alta correlação. O seguinte exemplo mostra esse fato (Alexander, 2001).

Exemplo 10.3. Suponha

$$X_{1t} = u_t + \varepsilon_{1t}, \quad (10.8)$$

$$X_{2t} = u_t + \varepsilon_{2t}, \quad (10.9)$$

$$u_t = u_{t-1} + \varepsilon_t, \quad (10.10)$$

onde os erros são i.i.d. e independentes entre si. Como u_t é passeio aleatório, X_{1t} e X_{2t} são I(1) e são cointegradas porque $X_{1t} - X_{2t} = \varepsilon_{1t} - \varepsilon_{2t} \sim I(0)$.

As séries também têm uma tendência estocástica comum, dada por u_t , que é passeio aleatório sem “drift”. Chamando $\text{Var}(\varepsilon_t) = \sigma^2$, $\text{Var}(\varepsilon_{1t}) = \sigma_1^2$, $\text{Var}(\varepsilon_{2t}) = \sigma_2^2$ e notando que

$$\Delta X_{1t} = X_{1t} - X_{1,t-1} = \varepsilon_t + (\varepsilon_{1t} - \varepsilon_{1,t-1}),$$

temos que

$$\text{Var}(\Delta X_{1t}) = \sigma^2 + 2\sigma_1^2.$$

De modo análogo, obtemos $\text{Var}(\Delta X_{2,t}) = \sigma^2 + 2\sigma_2^2$ e $\text{Cov}(\Delta X_{1t}, \Delta X_{2t}) = \sigma^2$, de modo que o coeficiente de correlação

$$\rho(\Delta X_{1t}, \Delta X_{2t}) = \frac{\sigma^2}{\sqrt{(\sigma^2 + 2\sigma_1^2)(\sigma^2 + 2\sigma_2^2)}}.$$

Essa correlação será pequena se $\sigma^2 < < \sigma_1^2$ ou $\sigma^2 < < \sigma_2^2$.

Exemplo 10.4. Considere as séries

$$X_{1t} = \beta_2 X_{2t} + u_t, \quad (10.11)$$

$$X_{2t} = X_{2,t-1} + v_t, \quad (10.12)$$

onde u_t e v_t são ambas I(0). Segue-se que X_{2t} é um passeio casual e representa a tendência estocástica comum, ao passo que (10.11) representa a relação de equilíbrio de longo prazo. O vetor de cointegração é $\beta = (1, -\beta_2)'$. Na Figura 10.1 temos as séries simuladas, com $\beta_2 = 1$, $u_t = 0, 6u_{t-1} + a_t$, a_t e v_t independentes $\mathcal{N}(0, 1)$, independentes entre si. Veja os problemas 6 e 7 para outros exemplos de sistemas cointegrados. As equações (10.11) e (10.12) constituem a *representação triangular* de Phillips (1991a).

10.3 Modelo de Correção de Erros

Nesta seção seguiremos de perto os desenvolvimentos em Lütkepohl (1991) e Hendry e Juselius (2000, 2001). Vimos, na seção 10.1, que se duas ou mais séries são cointegradas, existe uma relação de equilíbrio de longo prazo entre elas. Muitas variáveis econômicas apresentam relações de equilíbrio, como preços de um mesmo produto em diferentes mercados. Suponha, por exemplo, que P_{1t} e P_{2t} sejam tais preços em dois mercados distintos e que a relação (normalizada) de equilíbrio entre eles seja $P_{1t} - \beta P_{2t} = 0$. Suponha, ainda, que variações em P_{1t} dependam de desvios deste equilíbrio no instante $t - 1$, ou seja,

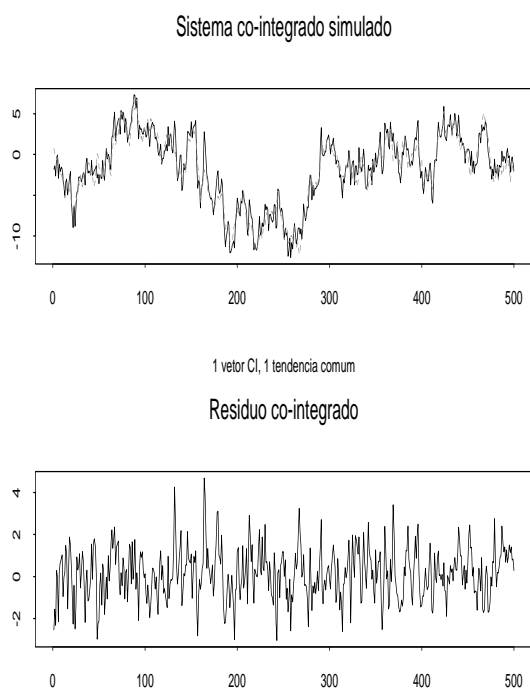


Figura 10.1: Sistema bivariado cointegrado: X_{1t} (linha cheia) e X_{2t} (linha tracejada)

$$\Delta P_{1t} = \alpha_1(P_{1,t-1} - \beta P_{2,t-1}) + a_{1t}, \quad (10.13)$$

e uma relação similar valha para P_{2t} :

$$\Delta P_{2t} = \alpha_2(P_{1,t-1} - \beta P_{2,t-1}) + a_{2t}. \quad (10.14)$$

Suponha que P_{1t} e P_{2t} sejam I(1); como $\Delta P_{it} \sim I(0)$, os segundos membros devem ser I(0). Supondo os erros a_{it} ruídos brancos, e portanto estacionários, segue-se que $\alpha_i(P_{1,t-1} - \beta P_{2,t-1}) \sim I(0)$. Logo, se $\alpha_1 \neq 0$ e $\alpha_2 \neq 0$, segue que $P_{1t} - \beta P_{2t} \sim I(0)$ e representa uma relação de cointegração entre P_{1t} e P_{2t} .

O mesmo vale para um mecanismo de correção de erro mais geral. Suponha que X_{1t} e X_{2t} sejam duas séries I(1), $u_t = X_{1t} - \beta X_{2t} = 0$ seja a relação de equilíbrio e

$$\Delta X_{1t} = \alpha_1(X_{1,t-1} - \beta X_{2,t-1}) + a_{11}(1)\Delta X_{1,t-1} + a_{12}(1)\Delta X_{2,t-1} + a_{1t}, \quad (10.15)$$

$$\Delta X_{2t} = \alpha_2(X_{1,t-1} - \beta X_{2,t-1}) + a_{21}(1)\Delta X_{1,t-1} + a_{22}(1)\Delta X_{2,t-1} + a_{2t} \quad (10.16)$$

Esse é um modelo VAR(1) nas primeiras diferenças com um termo de correção de erro adicionado. Os parâmetros α_1 e α_2 são relacionados à velocidade de ajustamento. Se ambos forem nulos não há relação de longo prazo e não temos um modelo como o acima.

Se $\mathbf{X}_t = (X_{1t}, X_{2t})'$, podemos escrever (10.15)-(10.16) como

$$\Delta \mathbf{X}_t = \boldsymbol{\alpha} \boldsymbol{\beta}' \mathbf{X}_{t-1} + \mathbf{A} \Delta \mathbf{X}_{t-1} + \mathbf{a}_t, \quad (10.17)$$

com

$$\boldsymbol{\alpha} = \begin{bmatrix} \alpha_1 \\ \alpha_2 \end{bmatrix}, \quad \boldsymbol{\beta} = \begin{bmatrix} 1 \\ -\beta \end{bmatrix}, \quad \mathbf{A} = \begin{bmatrix} a_{11}(1) & a_{12}(1) \\ a_{21}(1) & a_{22}(1) \end{bmatrix}.$$

Vemos que (10.17) também pode ser escrita

$$\mathbf{X}_t - \mathbf{X}_{t-1} = \boldsymbol{\alpha} \boldsymbol{\beta}' \mathbf{X}_{t-1} + \mathbf{A}(\mathbf{X}_{t-1} - \mathbf{X}_{t-2}) + \mathbf{a}_t,$$

ou

$$\mathbf{X}_t = (\mathbf{I}_n + \mathbf{A} + \boldsymbol{\alpha} \boldsymbol{\beta}') \mathbf{X}_{t-1} - \mathbf{A} \mathbf{X}_{t-2} + \mathbf{a}_t, \quad (10.18)$$

logo séries que são cointegradas podem ser geradas por um processo VAR.

Considere, agora, um modelo VAR(1) n -dimensional,

$$\mathbf{X}_t = \boldsymbol{\Phi} \mathbf{X}_{t-1} + \mathbf{a}_t. \quad (10.19)$$

Pela Proposição 9.2, o processo \mathbf{X}_t será estacionário se todas as soluções de $|\mathbf{I}_n - \boldsymbol{\Phi} z| = 0$ estiverem fora do círculo unitário. Suponha que o processo

seja não estacionário, com uma ou mais raízes sobre o círculo unitário. Isso é equivalente a dizer que um ou mais autovalores de Φ são iguais a um, os demais estando dentro do círculo unitário.

Como $|\mathbf{I}_n - \Phi| = 0$, a matriz $\Pi = \mathbf{I}_n - \Phi$ é singular. Suponha que o seu posto seja $\rho(\Pi) = r < n$, de modo que Π pode ser decomposta como $\Pi = \alpha\beta'$, onde α e β têm ordem $n \times r$ e posto r .

Suponha que as componentes de \mathbf{X}_t sejam todas I(1). Então, de (10.19),

$$\mathbf{X}_t - \mathbf{X}_{t-1} = -(\mathbf{I}_n - \Phi)\mathbf{X}_{t-1} + \mathbf{a}_t,$$

ou

$$\Delta\mathbf{X}_t = -\Pi\mathbf{X}_{t-1} + \mathbf{a}_t. \quad (10.20)$$

Portanto, como

$$\alpha\beta'\mathbf{X}_{t-1} = -\Delta\mathbf{X}_t + \mathbf{a}_t,$$

o segundo termo é I(0), logo $\alpha\beta'\mathbf{X}_{t-1}$ é I(0) e continua a ser I(0) se o multiplicarmos por $(\alpha'\alpha)^{-1}\alpha'$, resultando $\beta'\mathbf{X}_{t-1} \sim I(0)$ e, finalmente, $\beta'\mathbf{X}_t \sim I(0)$. Segue-se que cada linha de $\beta'\mathbf{X}_t$ representará uma relação de cointegração.

Conclui-se que, a partir de um VAR(1) n -dimensional, obtemos um modelo nas primeiras diferenças com variáveis cointegradas.

É fácil ver que, para um VAR(2)

$$\mathbf{X}_t = \Phi_1\mathbf{X}_{t-1} + \Phi_2\mathbf{X}_{t-2} + \mathbf{a}_t, \quad (10.21)$$

obtemos

$$\Delta\mathbf{X}_t = \mathbf{D}_1\Delta\mathbf{X}_{t-1} - \Pi\mathbf{X}_{t-2} + \mathbf{a}_t, \quad (10.22)$$

com $\Pi = \mathbf{I}_n - \Phi_1 - \Phi_2$ e $\mathbf{D}_1 = -(\mathbf{I}_n - \Phi_1)$. Veja o Problema 4.

Outra maneira de escrever (10.21) é

$$\Delta\mathbf{X}_t = \mathbf{F}_1\Delta\mathbf{X}_{t-1} - \Pi\mathbf{X}_{t-1} + \mathbf{a}_t, \quad (10.23)$$

onde $\mathbf{F}_1 = -\Phi_2$, Π como antes. Essa forma é a chamada *forma de correção de equilíbrio ou de correção de erros*. Em (10.23) a matriz de níveis defasados, Π , está no instante $t - 1$, mas pode ser escolhida estar em qualquer “lag”, sem mudar a verossimilhança, como em (10.22). A forma (10.23) é mais apropriada se quisermos discriminar entre efeitos de ajustamento de curto prazo a relações de longo prazo e os efeitos de variações nas diferenças defasadas (Hendry e Juselius, 2001).

Por outro lado, tomando-se uma diferença em (10.19), obtemos

$$\Delta \mathbf{X}_t = \Phi \Delta \mathbf{X}_{t-1} + \Delta \mathbf{a}_t,$$

que tem uma parte de médias móveis não invertível; logo, não obtemos uma representação VAR para as primeiras diferenças. O mesmo ocorre com (10.21).

Considere, agora, um modelo VAR(p) genérico,

$$\mathbf{X}_t = \Phi_0 + \Phi_1 \mathbf{X}_{t-1} + \dots + \Phi_p \mathbf{X}_{t-p} + \mathbf{a}_t. \quad (10.24)$$

Este diz-se *cointegrado de posto r* se $\Pi = \mathbf{I}_n - \Phi_1 - \dots - \Phi_p$ tiver posto r e portanto puder ser escrita como $\Pi = \boldsymbol{\alpha} \boldsymbol{\beta}'$, $\boldsymbol{\alpha}$ e $\boldsymbol{\beta}$ de ordem $n \times r$ e posto r . Dizemos que $\boldsymbol{\beta}$ é a *matriz de cointegração* ou de *vetores cointegrados* e $\boldsymbol{\alpha}$ é a *matriz de cargas*. Se $r = 0$, então $\Delta \mathbf{X}_t$ tem uma representação VAR($p - 1$) estacionária e se $r = n$, então o vetor \mathbf{X}_t tem uma representação VAR (p) estacionária.

Neste caso, a representação (10.20) ou (10.22) fica

$$\Delta \mathbf{X}_t = \Phi_0 + \mathbf{D}_1 \Delta \mathbf{X}_{t-1} + \dots + \mathbf{D}_{p-1} \Delta \mathbf{X}_{t-p+1} - \Pi \mathbf{X}_{t-p} + \mathbf{a}_t, \quad (10.25)$$

com $\mathbf{D}_i = -(\mathbf{I}_n - \Phi_1 - \dots - \Phi_i)$, $i = 1, 2, \dots, p - 1$.

O processo (10.24) terá uma representação ou *modelo de correção de erros* (MCE)

$$\Delta \mathbf{X}_t = \Phi_0 - \boldsymbol{\alpha} \boldsymbol{\beta}' \mathbf{X}_{t-1} + \mathbf{F}_1 \Delta \mathbf{X}_{t-1} + \dots + \mathbf{F}_{p-1} \Delta \mathbf{X}_{t-p+1} + \mathbf{a}_t, \quad (10.26)$$

onde $\mathbf{F}_i = -(\Phi_{i+1} + \dots + \Phi_p)$, $i = 1, 2, \dots, p - 1$.

Como $\Delta \mathbf{X}_t \sim I(0)$ e $\boldsymbol{\beta}' \mathbf{X}_{t-1} \sim I(0)$, esses termos têm média constante; sejam $E(\Delta \mathbf{X}_t) = \mathbf{c}$, um vetor $n \times 1$, representando taxas de crescimento, e $E(\boldsymbol{\beta}' \mathbf{X}_{t-1}) = \boldsymbol{\mu}$, um vetor $r \times 1$, representando interceptos nas relações de cointegração. Temos, então, que

$$\Phi_0 = (\mathbf{I}_n - \mathbf{F}_1 - \dots - \mathbf{F}_{p-1}) \mathbf{c} + \boldsymbol{\alpha} \boldsymbol{\mu}.$$

Segue-se que o termo contante é a soma de duas parcelas, uma relacionada com o crescimento dos dados e outra com os interceptos nas relações de cointegração. Podemos, então, escrever (10.26) como

$$\Delta \mathbf{X}_t - \mathbf{c} = \sum_{i=1}^{p-1} \mathbf{F}_i (\Delta \mathbf{X}_{t-i} - \mathbf{c}) - \boldsymbol{\alpha} (\boldsymbol{\beta}' \mathbf{X}_{t-1} - \boldsymbol{\mu}) + \mathbf{a}_t, \quad (10.27)$$

e vemos que há duas formas de correção de equilíbrio em (10.27): uma do crescimento dos dados em relação à sua média e, outra, dos vetores de cointegração em relação à sua média. Em análises de séries reais, temos que verificar se \mathbf{c} e $\boldsymbol{\mu}$ são diferentes de zero ou não.

Podemos obter estimadores de máxima verossimilhança para os parâmetros $\boldsymbol{\alpha}, \boldsymbol{\beta}, \mathbf{F}$ e $\boldsymbol{\Sigma}$ do modelo VAR(p) cointegrado, onde $\boldsymbol{\Sigma}$ é a matriz de covariâncias de \mathbf{a}_t . Veja Lütkepohl (1991) para detalhes.

Exemplo 10.5. (Hendry e Juselius, 2001). Sejam P_{1t} e P_{2t} os preços de gasolina em dois locais e P_{3t} o preço do petróleo. Uma relação de cointegração entre preços de gasolina existiria se, por exemplo, diferenciais de preços entre dois locais quaisquer fossem estacionários. Considere o modelo VAR(1)

$$\Delta \mathbf{P}_t = \Phi_0 \mathbf{D}_t + \Phi_1 \Delta \mathbf{P}_{t-1} + \boldsymbol{\alpha} \boldsymbol{\beta}' \mathbf{P}_{t-1} + \mathbf{a}_t,$$

onde $\mathbf{P}_t = (P_{1t}, P_{2t}, P_{3t})'$, $\mathbf{a}_t = (a_{1t}, a_{2t}, a_{3t})' \sim \text{i.i.d } \mathcal{N}(\mathbf{0}, \boldsymbol{\Omega})$, $\Phi_1 = [\phi_{ij}]$, $i, j = 1, 2, 3$,

$$\boldsymbol{\alpha} = \begin{bmatrix} \alpha_{11} & \alpha_{12} \\ \alpha_{21} & \alpha_{22} \\ \alpha_{31} & \alpha_{32} \end{bmatrix}, \quad \boldsymbol{\beta} = \begin{bmatrix} 1 & 0 \\ -1 & 1 \\ 0 & -1 \end{bmatrix}.$$

Segue-se que podemos explicar variações de preços entre dois períodos consecutivos como resultados de:

- (a) um termo contendo constantes e variáveis “dummies”, como por exemplo alguma intervenção no mercado global;
- (b) um ajustamento a variações de preços no instante anterior, com impactos dados pelos ϕ_{ij} ;
- (c) um ajustamento ao desequilíbrio anterior entre preços em diferentes locais ($P_{1t} - P_{2t}$) e entre o preço no local 2 e o preço do petróleo ($P_{2t} - P_{3t}$), com impactos α_{i1} e α_{i2} ;
- (d) choques aleatórios a_{it} .

Neste exemplo, teremos duas relações de cointegração, dadas por $u_{1t} = P_{1t} - P_{2t}$, $u_{2t} = P_{2t} - P_{3t}$, se $P_{it} \sim I(1)$ e $u_{it} \sim I(0)$. Estas relações significam que os três preços seguem relações de equilíbrio de longo prazo. Veja Hendry e Juselius (2001) para uma análise de um exemplo de preços de gasolina nos Estados Unidos.

10.4 Testes para cointegração

Para se concluir que duas ou mais séries são cointegradas poderíamos pensar que bastaria analisar os seus gráficos. Todavia isso não é suficiente. Cointegração pode ou não existir entre séries que parecem ter uma tendência comum de longo prazo. É necessário usar testes formais e nesta seção veremos dois procedimentos para testar a existência de cointegração entre duas ou mais séries.

Suponha o vetor \mathbf{X}_t , de ordem $n \times 1$, com todas as componentes $I(1)$. Podemos destacar duas situações:

- (a) há, no máximo, um vetor de cointegração; esse caso foi tratado por Engle e Granger (1987);
- (b) há r , $0 \leq r < n$, vetores de cointegração, caso considerado por Johansen (1988).

Além dessas referências, veja Zivot e Wang (2006), que também é uma referência para o uso do program S+FinMetrics.

10.4.1 Procedimento de Engle e Granger

Seja $u_t = \boldsymbol{\beta}' \mathbf{X}_t$ o resíduo de cointegração. O teste de Engle e Granger consiste em dois passos:

- (i) forme os resíduos de cointegração;
 - (ii) faça um teste de raizes unitárias para determinar se esses resíduos são $I(0)$.
- Temos as hipóteses:

$$\begin{aligned} H_0 &: u_t \sim I(1) : \text{não há cointegração}, \\ H_1 &: u_t \sim I(0) : \text{há cointegração}. \end{aligned} \quad (10.28)$$

Temos, ainda, dois casos a considerar:

- [1] O vetor de cointegração é conhecido e fixado

Por exemplo, o vetor é especificado pela teoria econômica. Use um teste ADF ou PP para testar H_0 contra H_1 .

Exemplo 10.6. Consideremos as duas séries geradas no Exemplo 10.4, onde $\boldsymbol{\beta} = (1, -1)'$. Usando a função `unitroot` do S+FinMetrics obtemos o Quadro 10.1, teste ADF com 2 lags e constante na regressão.

Quadro 10.1: Teste ADF para o Exemplo 10.6					
Test for Unit Root: Augmented DF Test					
Null Hypothesis: there is a unit root					
Type of Test: t test					
Test Statistic: -12.39					
P-value: 2.562e-24					
Coefficients:					
lag1	-0.5436	0.0439	-12.3905	0.0000	
lag2	0.1136	0.0444	2.5560	0.0109	
constant	-0.0826	0.0463	-1.7835	0.0751	
Regression Diagnostics:					
R-Squared 0.2552					
Adjusted R-Squared 0.2522					
Durbin-Watson Stat 1.9787					
Residual standard error: 1.024 on 494 degrees of freedom					
F-statistic: 84.82 on 2 and 495 degrees of freedom, the p-value is 0					

Vemos que o valor observado da estatística ADF é $-12,39$, o que conduz à rejeição da hipótese H_0 , que X_{1t} e X_{2t} não sejam cointegradas, com vetor de cointegração $\beta = (1, -1)'$.

[2] O vetor de cointegração é estimado

Para o caso de duas séries $\mathbf{X}_t = (X_{1t}, X_{2t})'$, considere a regressão

$$X_{2t} = \alpha + \beta X_{1t} + u_t,$$

e use os resíduos de MQO \hat{u}_t para o teste de raiz unitária.

No caso geral de \mathbf{X}_t , de ordem $n \times 1$, considere $\mathbf{X}_t = (X_{1t}, \mathbf{X}'_{2t})'$, com $\mathbf{X}_{2t} = (X_{2t}, \dots, X_{nt})'$ e a regressão

$$X_{1t} = \alpha + \beta'_2 \mathbf{X}_{2t} + u_t, \quad (10.29)$$

para obter os resíduos de MQO \hat{u}_t e testar H_0 contra H_1 .

Formalmente, o teste ADF não é apropriado; \hat{u}_t é o resíduo de uma regressão na qual o vetor de cointegração é estimado e sob a hipótese de não cointegração, tal vetor não será identificado: usando os valores críticos de $\hat{\tau}_\mu$ rejeitaremos tal hipótese muito frequentemente. Além disso, quando há mais de duas séries I(1) o procedimento de Engle e Granger pode ter um viés importante. Ou seja, estimativas diferentes do vetor de cointegração são obtidas dependendo da escolha da variável resposta.

Phillips e Ouliaris (1990) desenvolveram testes de raiz unitária apropriadas aos resíduos de (10.29); as estatísticas usadas não têm a distribuição assintótica

usual ADF ou PP sob a hipótese H_0 de não existência de cointegração. A distribuição assintótica é também uma função do movimento browniano padrão e depende dos termos determinísticos incluídos em (10.29) e do número de variáveis em \mathbf{X}_{2t} . Essas distribuições são conhecidas como distribuições de Phillips e Ouliaris (PO). Hansen (1992) mostrou que as distribuições de PO dependem também do comportamento das tendências presentes em X_{1t} e \mathbf{X}_{2t} . Os casos por ele considerados foram:

- (a) X_{1t} e \mathbf{X}_{2t} são ambos I(1), sem “drift”. Use as estatísticas de PO, com constante e dimensão $n - 1$;
- (b) \mathbf{X}_{2t} é I(1) com “drift” e X_{1t} pode ou não ser I(1) com “drift”. Use PO com constante e tendência, dimensão $n - 2$. Se $n = 2$, use as distribuições usuais ADF e PP, com constante e tendência;
- (c) X_{1t} é I(1) com “drift” e \mathbf{X}_{2t} é I(1) sem “drift”. Nesse caso, considere a regressão

$$X_{1t} = \alpha_0 + \alpha_1 t + \boldsymbol{\beta}'_2 \mathbf{X}_{2t} + u_t. \quad (10.30)$$

Use PO para os resíduos \hat{u}_t de (10.30), com constante, tendência e dimensão $n - 1$.

Para obter quantis e p-valores das distribuições de PO, use as funções `qcoint` e `pcoint` do `S+FinMetrics`.

Exemplo 10.7. Retomemos o exemplo anterior e suponha, agora, que temos que estimar $\boldsymbol{\beta} = (1, -\beta_2)'$. Aqui, o modelo é

$$X_{2t} = \alpha + \beta_2 X_{1t} + u_t.$$

Os EMQO dos parâmetros são $\hat{\alpha} = -0,2714$ e $\hat{\beta}_2 = 0,9293$. Observe que a estimativa de β_2 está próxima do valor verdadeiro, um. Como a média dos \hat{u}_t é zero, os testes de raiz unitária são feitos para modelo sem constante ou tendência. Nos quadros 10.2 e 10.3, temos os resultados da aplicação dos testes ADF e PP.

Como X_{1t} e X_{2t} são I(1) sem “drift”, obtemos os quantis $-3,0448, -3,3361$ e $-3,8967$ com os níveis 0,10, 0,05 e 0,01, respectivamente. Ambas as estatísticas rejeitam a existência de raiz unitária, com nível 0,01. Logo u_t é I(0) e as séries são cointegradas.

10.4.2 Procedimento de Johansen

O procedimento de Johansen é uma generalização multivariada do teste de DF. Considere o modelo (10.26) reescrito na forma

$$\Delta \mathbf{X}_t = \boldsymbol{\Phi}_0 \mathbf{D}_t + \boldsymbol{\alpha} \boldsymbol{\beta}' \mathbf{X}_{t-1} + \mathbf{F}_1 \Delta \mathbf{X}_{t-1} + \dots + \mathbf{F}_{p-1} \Delta \mathbf{X}_{t-p+1} + \mathbf{a}_t, \quad (10.31)$$

onde agora $\boldsymbol{\Pi} = \boldsymbol{\Phi}_1 + \dots + \boldsymbol{\Phi}_p - \mathbf{I}_n$ e \mathbf{D}_t contém termos determinísticos (constantes, tendências etc).

Quadro 10.2: Teste ADF para o Exemplo 10.7				
Test for Unit Root: Augmented DF Test				
Null Hypothesis: there is a unit root				
Type of Test: t test				
Test Statistic: -11.66				
P-value: 2.348e-23				
Coefficients:				
lag1	-0.4942	0.0424	-11.6636	0.0000
lag2	0.0876	0.0445	1.9674	0.0497
Regression Diagnostics:				
R-Squared 0.2346				
Adjusted R-Squared 0.2330				
Durbin-Watson Stat 1.9793				
Residual standard error: 0.9681 on 494 degrees of freedom				
F-statistic: 76 on 2 and 496 degrees of freedom, the p-value is 0				

O procedimento de Johansen (1988, 1995) para testar a existência de cointegração é baseado nos seguintes passos:

- (i) verificar a ordem de integração das séries envolvidas; verificar a existência de tendências lineares;
- (ii) especificar e estimar um modelo VAR(p) para \mathbf{X}_t , que supomos I(1);
- (iii) construir testes da razão de verossimilhanças (RV) para se determinar o número de vetores de cointegração, que sabemos ser igual ao posto de $\boldsymbol{\Pi}$;

(iv) dados os vetores de cointegração (normalizados apropriadamente), estimar o MCE (via EMV).

Quadro 10.3: Teste PP para o Exemplo 10.7				
Test for Unit Root: Phillips-Perron Test				
Null Hypothesis: there is a unit root				
Type of Test: t test				
Test Statistic: -12.09				
P-value: 1.98e-24				
using bartlett window with bandwidth 5				
Coefficients:				
Value Std. Error t value Pr(> t)				
lag1 -0.4539 0.0373 -12.1836 0.0000				
Regression Diagnostics:				
R-Squared 0.2296				
Adjusted R-Squared 0.2296				
Durbin-Watson Stat 1.9053				
Residual standard error: 0.97 on 495 degrees of freedom				
F-statistic: 148.4 on 1 and 498 degrees of freedom, the p-value is 0				

Segundo Johansen (1994, 1995), os termos determinísticos em (10.31) são restritos à forma

$$\Phi_0 \mathbf{D}_t = \boldsymbol{\mu}_t = \boldsymbol{\mu}_0 + \boldsymbol{\mu}_1 t. \quad (10.32)$$

Para verificarmos o efeitos dos termos determinísticos no modelo VAR, consideremos um caso especial:

$$\Delta \mathbf{X}_t = \boldsymbol{\mu}_0 + \boldsymbol{\mu}_1 t + \boldsymbol{\alpha} \boldsymbol{\beta}' \mathbf{X}_{t-1} + \mathbf{a}_t, \quad (10.33)$$

onde $\boldsymbol{\mu}_0$ e $\boldsymbol{\mu}_1$ são ambos vetores $n \times 1$. Vamos decompor esses dois vetores em relação à média das relações de cointegração e em relação à média das taxas de crescimento,

$$\begin{aligned} \boldsymbol{\mu}_0 &= \boldsymbol{\alpha} \boldsymbol{\rho}_0 + \mathbf{c}_0, \\ \boldsymbol{\mu}_1 &= \boldsymbol{\alpha} \boldsymbol{\rho}_1 + \mathbf{c}_1. \end{aligned} \quad (10.34)$$

Então, podemos escrever

$$\Delta \mathbf{X}_t = \boldsymbol{\alpha} \boldsymbol{\rho}_0 + \mathbf{c}_0 + \boldsymbol{\alpha} \boldsymbol{\rho}_1 t + \mathbf{c}_1 t + \boldsymbol{\alpha} \boldsymbol{\beta}' \mathbf{X}_{t-1} + \mathbf{a}_t$$

$$= \boldsymbol{\alpha} (\boldsymbol{\rho}_0, \boldsymbol{\rho}_1, \boldsymbol{\beta}') \begin{pmatrix} 1 \\ t \\ X_{t-1} \end{pmatrix} + (\mathbf{c}_0 + \mathbf{c}_1 t) + \mathbf{a}_t,$$

ou ainda,

$$\Delta \mathbf{X}_t = \boldsymbol{\alpha} \begin{pmatrix} \boldsymbol{\rho}_0' \\ \boldsymbol{\rho}_1' \\ \boldsymbol{\beta} \end{pmatrix} \mathbf{X}_{t-1}^* + (\mathbf{c}_0 + \mathbf{c}_1 t) + \mathbf{a}_t, \quad (10.35)$$

com $\mathbf{X}_{t-1}^* = (1, t, \mathbf{X}_{t-1}^{'})'$.

Podemos sempre escolher $\boldsymbol{\rho}_0$ e $\boldsymbol{\rho}_1$ tais que o erro de equilíbrio $(\boldsymbol{\beta}^*)' \mathbf{X}_t^* = \mathbf{v}_t$ tenha média zero, logo

$$E(\Delta \mathbf{X}_t) = \mathbf{c}_0 + \mathbf{c}_1 t. \quad (10.36)$$

Note que se $\mathbf{c}_0 \neq \mathbf{0}$ temos um crescimento constante nos dados e se $\mathbf{c}_1 \neq \mathbf{0}$ temos uma tendência linear nas diferenças ou tendência quadrática nos níveis das variáveis.

Há cinco casos a considerar.

Caso 1. constante nula, $\boldsymbol{\mu}_t = \mathbf{0}$; neste caso, $\boldsymbol{\rho}_0 = \boldsymbol{\rho}_1 = \mathbf{0}$ e o modelo não possui nenhuma componente determinística, com $\mathbf{X}_t \sim I(1)$ sem “drift” (não há crescimento dos dados) e as relações de cointegração têm média zero. A menos que $\mathbf{X}_0 = \mathbf{0}$, este caso tem pouco interesse nas aplicações práticas.

Caso 2. constante restrita, $\boldsymbol{\mu}_t = \boldsymbol{\mu}_0 = \boldsymbol{\alpha} \boldsymbol{\rho}_0$; nesse caso, $\boldsymbol{\rho}_1 = \mathbf{0}, \mathbf{c}_0 = \mathbf{0}$, mas $\boldsymbol{\rho}_0 \neq \mathbf{0}$ e portanto não há tendência linear nos dados e as relações de cointegração têm média $\boldsymbol{\rho}_0$.

Caso 3. constante irrestrita, $\boldsymbol{\mu}_t = \boldsymbol{\mu}_0$; aqui, $\boldsymbol{\rho}_1 = \mathbf{0}$, as séries de \mathbf{X}_t são $I(1)$ sem “drift” e as relações de cointegração podem ter médias diferentes de zero.

Caso 4. tendência restrita, $\boldsymbol{\mu}_t = \boldsymbol{\mu}_0 + \boldsymbol{\alpha} \boldsymbol{\rho}_1 t$; neste caso, $\mathbf{c}_1 = \mathbf{0}$, mas $\mathbf{c}_0, \boldsymbol{\rho}_0, \boldsymbol{\rho}_1$ são irrestritos. As séries são $I(1)$ com “drift” e as relações de cointegração têm uma tendência linear.

Caso 5. tendência irrestrita, $\boldsymbol{\mu}_t = \boldsymbol{\mu}_0 + \boldsymbol{\mu}_1 t$; não há nenhuma restrição sobre $\boldsymbol{\mu}_0$ e $\boldsymbol{\mu}_1$, as séries são $I(1)$ com tendência linear (logo, tendência quadrática nos

níveis) e as relações de cointegração têm tendência linear. Previsões podem ser ruins, logo deve-se ter certo cuidado em se adotar essa opção.

Veja Hendry e Juselius (2001) e Zivot e Wang (2006) para detalhes.

Sabemos que o posto de $\boldsymbol{\Pi}$ fornece também o número de autovalores não nulos de $\boldsymbol{\Pi}$; suponha que os ordenemos $\lambda_1 > \lambda_2 > \dots > \lambda_n$. Se as séries são *não* cointegradas, $\rho(\boldsymbol{\Pi}) = 0$ e todas os autovalores serão nulos, ou ainda $\ln(1 - \lambda_i) = 0$, para todo i . Um teste da RV para testar o posto de $\boldsymbol{\Pi}$ é baseado na *estatística traço*

$$\lambda_{\text{traço}}(r_0) = -T \sum_{i=r_0+1}^n \ln(1 - \hat{\lambda}_i), \quad (10.37)$$

onde $\hat{\lambda}_i$ são os autovalores estimados de $\boldsymbol{\Pi}$ e (10.37) testa

$$\begin{aligned} H_0 & : r \leq r_0, \\ h_1 & : r > r_0, \end{aligned} \quad (10.38)$$

sendo r o posto de $\boldsymbol{\Pi}$. Se $\rho(\boldsymbol{\Pi}) = r_0$, então $\hat{\lambda}_{r_0+1}, \dots, \hat{\lambda}_n$ são aproximadamente nulas e a estatística (10.37) será pequena; caso contrário, será grande. Como dissemos acima, a distribuição assintótica de (10.37) é uma generalização multivariada da distribuição ADF e depende da dimensão $n - r_0$ e da especificação dos termos determinísticos. Os valores críticos podem ser encontrados em Osterwald-Lenum (1992) para os casos (a)-(e) acima e $n - r_0 = 1, \dots, 10$.

Johansen também usa a *estatística do máximo autovalor*

$$\lambda_{\max}(r_0) = -T \ln(1 - \hat{\lambda}_{r_0+1}), \quad (10.39)$$

para testar

$$\begin{aligned} H_0 & : r = r_0, \\ H_1 & : r = r_0 + 1. \end{aligned} \quad (10.40)$$

A distribuição assintótica de (10.39) também depende de $n - r_0$ e da especificação de termos determinísticos. Valores críticos podem ser encontrados na referência acima citada.

Supondo-se que o posto de $\boldsymbol{\Pi}$ é r , Johansen (1988) prova que o estimador de máxima verossimilhança de $\boldsymbol{\beta}$ é dado por $\hat{\boldsymbol{\beta}}_{\text{MV}} = (\hat{v}_1, \dots, \hat{v}_r)$, onde \hat{v}_i é o autovetor associado ao autovalor $\hat{\lambda}_i$ e os estimadores de máxima verossimi-

lhança dos parâmetros restantes são obtidos por meio de uma regressão multivariada com β substituído pelo EMV. Johansen (1995) mostra a normalidade assintótica dos estimadores de β , com taxa de convergência T^{-1} . Veja também a seção 10.5.

Exemplo 10.8. Considere $T = 250$ valores dos sistema dado no problema 6, sendo o vetor de cointegração $\beta = (1; -0,5; -0,5)'$, u_t gerado por um modelo AR(1) com parâmetro 0,75 e erro $\mathcal{N}(0, (0,5)^2)$, v_t, w_t ambos normais independentes, com média zero e desvio padrão 0,5. Veja a Figura 10.2. Usando o critério AIC (ou BIC) selecionamos a ordem $p = 1$ para o VAR(p) a ser ajustado, de modo que $p - 1 = 0$ no modelo de correção de erros. A função coint do S+FinMetrics será usada para fazer o teste.

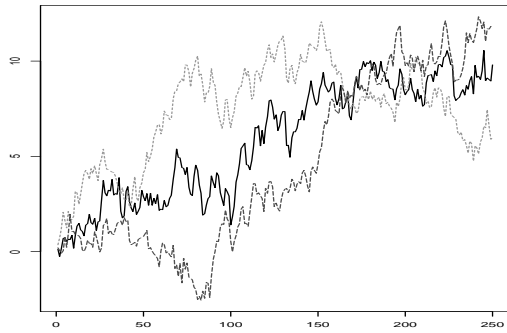


Figura 10.2: Sistema trivariado cointegrado: X_{1t} (linha cheia), X_{2t} (linha pontilhada) e X_{3t} (linha tracejada)

No Quadro 10.4, temos os valores das estatísticas $\lambda_{\text{traço}} = 40,35$ e $\lambda_{\max} = 27,86$. Notamos que ambas são significativas com o nível 0,05 para testar a hipótese H_0 de que não há cointegração contra a alternativa que há mais que uma (uma, respectivamente) relações de integração. Por outro lado, a hipótese nula de uma relação de cointegração contra a alternativa de mais que uma (duas, respectivamente) é aceita, com o nível 0,05, sendo $\lambda_{\text{traço}} = 12,49$ e $\lambda_{\max} = 9,14$. Concluimos, então, que há somente um vetor de cointegração. O quadro apresenta, também, o vetor não-normalizado e o vetor normalizado, além do intercepto, supondo o Caso 2 acima. O vetor de cointegração estimado é $\hat{\beta} = (1; -0,507; -0,553)'$, sendo que o vetor verdadeiro tem $\beta_2 = \beta_3 = 0,5$.

Quadro 10.4: Teste de Johansen para o Exemplo 10.8

```

Call:
coint(Y = cbind(y1, y2, y3), lags = 0, trend = "rc")

Trend Specification:
H1*(r): Restricted constant

Trace tests significant at the 5% level are flagged by '+'.
Trace tests significant at the 1% level are flagged by '++'.
Max Eigenvalue tests significant at the 5% level are flagged by '*'.
Max Eigenvalue tests significant at the 1% level are flagged by '**'.

Tests for Cointegration Rank:
      Eigenvalue Trace Stat  95% CV  99% CV Max Stat  95% CV
H(0)+ **  0.1058    40.3476   34.9100 41.0700 27.8569  22.0000
H(1)       0.0360    12.4907   19.9600 24.6000  9.1353  15.6700
H(2)       0.0134     3.3554    9.2400 12.9700   3.3554   9.2400

      99% CV
H(0)+ ** 26.8100
H(1)      20.2000
H(2)      12.9700
      y1          y2          y3 Intercept*
1.268086 -0.6427168 -0.7006781  0.4312081
      y1          y2          y3 Intercept*
-1 0.5068402  0.552548 -0.3400465

```

No Quadro 10.5, temos o resultado da estimação do MCE. Estimadores de máxima verossimilhança são obtidos usando a função VECM do S+FinMetrics. O modelo completo, incluindo coeficientes não significativos, seria dado por

$$\begin{aligned}
\Delta X_{1t} &= -0,030 - 0,189(X_{1,t-1} - 0,493X_{2,t-1} - 0,532X_{3,t-1} - 0,370) + a_{1t}, \\
\Delta X_{2t} &= 0,034 + 0,032(X_{1,t-1} - 0,493X_{2,t-1} - 0,532X_{3,t-1} - 0,370) + a_{2t}, \\
\Delta X_{3t} &= 0,049 + 0,007(X_{1,t-1} - 0,493X_{2,t-1} - 0,532X_{3,t-1} - 0,370) + a_{3t}.
\end{aligned}$$

Todavia, vários coeficientes não são significativos e poderão ser eliminados do modelo. Na Figura 10.3, temos ilustrados os resíduos de cointegração, que parecem ser estacionários.

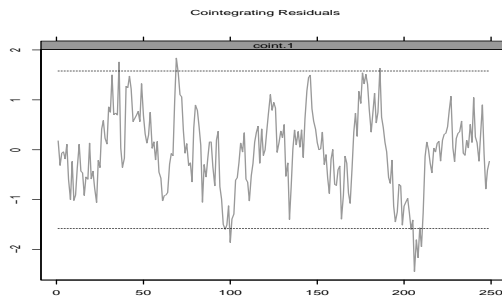


Figura 10.3: Resíduos de cointegração para o Exemplo 10.8

Exemplo 10.9. Como um último exemplo, consideremos as séries do Ibovespa e dos preços das ações da Petrobras, no período de 1998 a 2010, com 2999 observações diárias, mostradas na Figura 10.4. Usando o Caso 2 para o termo determinístico e a função `coint`, como no exemplo anterior, verifica-se que as séries não são cointegradas.

10.5 Comentários Finais

Encerramos este capítulo com algumas observações sobre processos cointegrados, bem como uma apresentação um pouco mais detalhada sobre estimadores de máxima verossimilhança (EMV) do MCE.

10.5.1 Enfoque Bayesiano

Existem alguns trabalhos sobre o tratamento bayesiano de processos cointegrados, como Koop (1992), Tsurumi e Wago (1994) e Phillips (1994). Veja Lopes e Lima (1995) para mais detalhes.

10.5.2 Termos Determinísticos no MCE

Os Casos (1)-(5) considerados na seção 8.4.2 são usualmente referidos como $H_2(r)$, $H_1^*(r)$, $H_1(r)$, $H^*(r)$ e $H(r)$, respectivamente. Essa nomenclatura é também adotada nos programas computacionais, veja o Quadro 8.4, por exemplo.

O MCE irrestrito é denotado $H(r)$, significando que $\rho(\Pi) \leq r$. Obtemos, então, uma sequência de modelos hierárquicos $H(0) \subset \dots \subset H(r) \subset \dots \subset$

$H(n)$, onde $H(0)$ indica o modelo VAR não cointegrado, com $\Pi = \mathbf{0}$ e $H(n)$ indica o modelo VAR(p) irrestrito estacionário.

10.5.3 Procedimento de Máxima Verossimilhança

Para efeito de ilustração, consideremos o modelo VAR(2) escrito na forma de correção de erros, com um termo constante, uma tendência linear e um vetor de variáveis *dummies*,

$$\Delta \mathbf{X}_t = \Phi_0 + \delta t + \Psi \mathbf{d}_t + \mathbf{F}_1 \Delta \mathbf{X}_{t-1} + \alpha \beta' \mathbf{X}_{t-1} + \mathbf{a}_t. \quad (10.41)$$

Quadro 10.5: Estimação do MCE para o Exemplo 10.8

```

Call:
VECM(test = coint.rc)

Cointegrating Vectors:
  coint.1
  1.0000

    y2 -0.4933
  (std.err) 0.0855
  (t.stat) -5.7694

    y3 -0.5320
  (std.err) 0.1016
  (t.stat) -5.2363

  Trend* -0.3698
  (std.err) 1.7663
  (t.stat) -0.2094

VECM Coefficients:
      y1      y2      y3
  coint.1 -0.1886  0.0323  0.0065
  (std.err) 0.0449  0.0411  0.0406
  (t.stat) -4.2006  0.7867  0.1593

Intercept -0.0300  0.0343  0.0487
  (std.err) 0.0389  0.0356  0.0351
  (t.stat) -0.7713  0.9660  1.3865

Regression Diagnostics:
      y1      y2      y3
  R-squared 0.0667  0.0025  0.0001
  Adj. R-squared 0.0629 -0.0015 -0.0039
  Resid. Scale 0.5563  0.5087  0.5027

Information Criteria:
      logL      AIC      BIC      HQ
  -532.1524 1068.3049 1075.3398 1071.1365

      total residual
Degree of freedom: 249      247

```

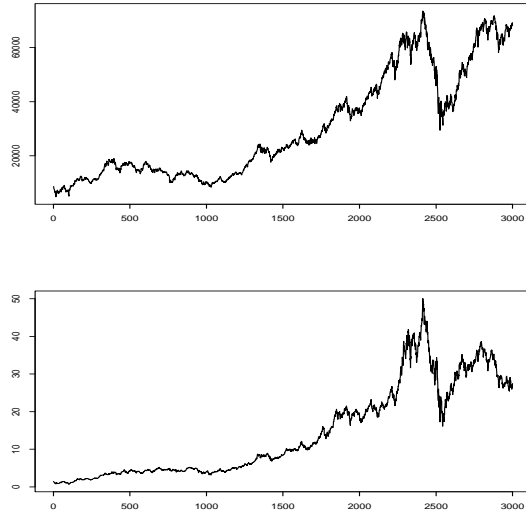


Figura 10.4: Indice Ibovespa e Petrobras

Vimos que, para que (10.41) seja internamente consistente, β deve ter posto reduzido $r < n$. Vamos descrever brevemente o procedimento de máxima verossimilhança para estimar (10.41). Os detalhes estão em Johansen (1988, 1995) e Banerjee et al. (1993). A ideia é usar uma verossimilhança concentrada.

Defina

$$\begin{aligned}\mathbf{Z}_{0t} &= \Delta \mathbf{X}_t, \\ \mathbf{Z}_{1t} &= \mathbf{X}_{t-1}, \\ \mathbf{Z}_{2t} &= (1, t, \mathbf{d}_t, \Delta \mathbf{X}_{t-1})'.\end{aligned}$$

No caso de um VAR(p), as diferenças $\Delta \mathbf{X}_{t-j}$ são incluídas em \mathbf{Z}_{2t} . Então (10.42) fica

$$\mathbf{Z}_{0t} = \boldsymbol{\Theta} \mathbf{Z}_{2t} + \boldsymbol{\alpha} \boldsymbol{\beta}' \mathbf{Z}_{1,t-1} + \mathbf{a}_t,$$

onde $\boldsymbol{\Theta} = (\boldsymbol{\Phi}_0, \boldsymbol{\delta}, \boldsymbol{\Psi}, \mathbf{F}_1)'$. Concentrando fora da verossimilhança os efeitos de ajustamento de curto prazo, $\boldsymbol{\Theta} \mathbf{Z}_{2t}$, obtemos um modelo mais simples, por meio das seguintes regressões de MQO:

$$\begin{aligned}\mathbf{Z}_{0t} &= \hat{\mathbf{R}}_1' \mathbf{Z}_{2t} + \mathbf{u}_{1t}, \\ \mathbf{Z}_{1t} &= \hat{\mathbf{R}}_2' \mathbf{Z}_{2t} + \mathbf{u}_{2t},\end{aligned}$$

em que $\mathbf{u}_{1t} = \mathbf{Z}_{0t} - \mathbf{M}_{02}\mathbf{M}_{22}^{-1}\mathbf{Z}_{2t}$, $\mathbf{u}_{2t} = \mathbf{Z}_{1t} - \mathbf{M}_{12}\mathbf{M}_{22}^{-1}\mathbf{Z}_{2t}$ são os resíduos de MQO e

$$\mathbf{M}_{ij} = \frac{1}{T} \sum_t \mathbf{Z}_{1t} \mathbf{Z}_{jt}'$$

são matrizes de momentos, de modo que $\hat{\mathbf{R}}_1' = \mathbf{M}_{02}\mathbf{M}_{22}^{-1}$ e $\hat{\mathbf{R}}_2' = \mathbf{M}_{12}\mathbf{M}_{22}^{-1}$.

O modelo concentrado pode, então, ser escrito

$$\mathbf{u}_{1t} = \boldsymbol{\alpha}\boldsymbol{\beta}'\mathbf{u}_{2t} + \mathbf{u}_t, \quad (10.42)$$

que inclui somente relações de equilíbrio de longo prazo.

Os EMV são obtidos em dois estágios:

- (1) para obter um estimador de $\boldsymbol{\alpha}$, supomos $\boldsymbol{\beta}$ conhecido de modo que $\boldsymbol{\alpha}$ pode ser estimado por MQO em (10.42);
- (ii) insira $\boldsymbol{\alpha} = \boldsymbol{\alpha}(\hat{\boldsymbol{\beta}})$ na expressão da verossimilhança concentrada e obtenha o EMV de $\boldsymbol{\beta}$ por otimização não linear ou por uma regressão multivariada de posto reduzido (Johansen, 1988). Essa solução fornece os n autovalores $\hat{\lambda}_1 > \dots > \hat{\lambda}_n$. Como vimos, o estimador de $\boldsymbol{\beta}$ é dado pela matriz $n \times r$ de autovetores, correspondentes aos r maiores autovalores $\hat{\lambda}_i$. Obtido o EMV de $\boldsymbol{\beta}$, calcule $\hat{\boldsymbol{\alpha}} = \boldsymbol{\alpha}(\hat{\boldsymbol{\beta}})$.

10.6 Problemas

1. Mostre que, se uma relação de equilíbrio $X_t + \alpha Y_t \sim I(0)$ existe, ela é única.
2. Sejam $X(t) \sim I(d_1)$ e $Y_t \sim I(d_2)$, $d_2 > d_1$. Mostre que qualquer combinação linear de X_t e Y_t é $I(d_2)$.
3. Sejam

$$\begin{aligned} X_{1t} &= \beta X_{2t} + \gamma \Delta X_{2,t} + \varepsilon_{1t}, \\ \Delta^2 X_{2t} &= \varepsilon_{2t}, \end{aligned}$$

onde ε_{it} são como no Exemplo 10.1.

- (a) Mostre que ambas as séries são $I(2)$.

- (b) Mostre que X_{1t}, X_{2t} e ΔX_{2t} são cointegradas. Qual é o vetor cointegrado?
- (c) Mostre que X_{1t} e X_{2t} são C.I.(2,1).
4. Prove (10.22).
5. Mostre que (10.19) pode ser escrito na forma

$$\Delta^2 \mathbf{X}_t = \mathbf{G} \Delta \mathbf{X}_{t-1} - \boldsymbol{\Pi} \mathbf{X}_{t-1} + \mathbf{a}_t,$$

onde $\mathbf{G} = -\mathbf{I}_n - \boldsymbol{\Phi}_2$ e $\boldsymbol{\Pi}$ como antes.

6. Simule o sistema cointegrado (trivariado):

$$\begin{aligned} X_{1t} &= \beta_2 X_{2t} + \beta_3 X_{3t} + u_t, \\ X_{2t} &= X_{2,t-1} + v_t, \\ X_{3t} &= X_{3,t-1} + w_t, \end{aligned}$$

onde u_t, v_t e w_t são todas I(0). O vetor de cointegração é $\boldsymbol{\beta} = (1, -\beta_2, -\beta_3)'$, a primeira equação representa a relação de equilíbrio de L.P. e as duas outras constituem as tendências estocásticas comuns. Os u_t são os resíduos de cointegração.

7. Simule o sistema cointegrado (trivariado):

$$\begin{aligned} X_{1t} &= \alpha_1 X_{3t} + u_t, \\ X_{2t} &= \alpha_2 X_{3t} + v_t, \\ X_{3t} &= X_{3,t-1} + w_t, \end{aligned}$$

onde u_t, v_t e w_t são todas I(0). Nesse caso, as duas primeiras equações descrevem relações de equilíbrio de L.P. e a terceira descreve a tendência estocástica comum. Há dois vetores de cointegração, $\boldsymbol{\beta}_1 = (1, 0, -\alpha_1)'$, $\boldsymbol{\beta}_2 = (1, 0, -\alpha_2)'$, e u_t, v_t são os resíduos de cointegração.

8. O modelo de demanda por moeda especifica que (em logaritmos, exceto para r_t)

$$m_t = \beta_0 + \beta_1 p_t + \beta_2 y_t + \beta_3 r_t + e_t,$$

onde :

m_t : demanda por moeda a longo prazo;

p_t : nível de preço;

y_t : renda real (PIB);

r_t : taxa de juros (de curto prazo);

e_t : erro estacionário.

- (a) Supondo as quatro séries I(1), mostre que as séries são cointegradas e obtenha o vetor de cointegração normalizado.
- (b) Suponha que existe a seguinte relação entre m_t e y_t :

$$m_t = \gamma_0 + \gamma_1(y_t + p_t) + e_{1t},$$

onde o erro e_{1t} é estacionário. Mostre que nesse caso existem dois vetores de cointegração. Especifique a matriz \mathbf{B} , de posto 2, que contém estes dois vetores.

9. Considere o processo linear $\mathbf{Y}_t = \sum_{j=0}^{\infty} \Psi_j \boldsymbol{\varepsilon}_{t-j}$, onde as matrizes Ψ_j decrescem para zero exponencialmente, de tal sorte que $\Psi(z) = \sum_{j=0}^{\infty} \Psi_j z^j$ seja convergente. Dizemos que \mathbf{Y}_t é I(0) se $\Psi(1) = \sum_{j=0}^{\infty} \Psi_j \neq 0$. Um processo I(1) é aquele que se torna I(0) após uma diferença.

Seja $\mathbf{X}_t = (X_{1t}, X_{2t}, X_{3t})'$, com

$$\begin{aligned} X_{1t} &= \sum_{s=1}^t \varepsilon_{1s} + \varepsilon_{2t}, \\ X_{2t} &= \frac{1}{2} \sum_{s=1}^t \varepsilon_{1s} + \varepsilon_{3t}, \\ X_{3t} &= \varepsilon_{2t}. \end{aligned}$$

Aqui $\varepsilon_{1t}, \varepsilon_{2t}, \varepsilon_{3t}$ são processos estacionários.

- (a) Prove que \mathbf{X}_t é I(1) (para isso, mostre que $Y_t = \Delta \mathbf{X}_t$ é I(0), usando a definição acima).
- (b) Mostre que $(1, -2, 0)'$ e $(0, 0, 1)'$ são vetores de co-integração.
10. Use o teste de Engle e Granger para testar se as séries simuladas nos problemas 6 e 7 são cointegradas.
11. Refaça o problema anterior com o teste de Johansen.
12. Verifique, usando o exemplo 10.9 e o teste de Johansen, que as séries do Ibovespa e das ações da Petrobras não são cointegradas.
13. Use o teste de Johansen para testar se as séries diárias do Ibovespa (d-ibv94.10.dat), preços diários de ações da Vale (d-vale98.10.dat) e preços diários de ações da Petrobras (d-petro98.10.dat) são cointegradas, considerando o período de 31/08/1998 a 29/09/2010.
14. Mesmo problema para as séries mensais do Ibovespa (m-ibv94.01.dat) e C-Bond (m-cbond94.01.dat).
15. Mesmo problema para as séries diárias dos índices Ibovespa e IPC (d-indices.95.04.dat).
16. Mesmo problema para as séries Petrobras3 e Petrobras4, no período de 02/01/2006 a 29/09/2010 (arquivos d-petro3.06.10 e d-petro4.06.10, respectivamente).

Análise de Dependência e Cópulas

11.1 Introdução

Neste capítulo iremos estudar como medir dependência entre variáveis aleatórias e séries temporais. No Capítulo 9 estudamos parte desse problema, por meio da função de covariância e do ajuste de modelos multivariados, em especial o modelo VAR. Usando esses modelos, introduzimos o conceito de Causalidade de Granger.

A função de covariância, assim como o caso particular do coeficiente de correlação, são funções de dependência globais. Além disso, o coeficiente de correlação é uma medida de dependência linear, apropriada se duas séries seguem uma distribuição normal bivariada (ou elíptica). Mas sabemos que séries financeiras, especialmente os retornos, não seguem uma distribuição normal, apresentam caudas pesadas e assimetria, logo é necessário encontrar outras medidas (não lineares) de dependência.

Veremos que cópulas são apropriadas para descrever dependência entre várias variáveis. A teoria de cópulas tem sido usada frequentemente para analisar séries financeiras e fatores de risco. Contudo, algum cuidado deve ser tomado aqui, pois praticamente toda a metodologia desenvolvida nesta área refere-se a dados provenientes de amostras de um conjunto de v.a.'s e nesse sentido teremos, em geral, n -plas independentes e identicamente distribuídas. E este não é o caso quando analisamos n variáveis financeiras.

Analisaremos, também, além das cópulas, algumas medidas de dependência local para v.a.'s e séries financeiras.

Suponha que temos duas v.a.'s X e Y e $\delta(X, Y)$ seja uma medida de de-

pendência entre elas. As seguintes propriedades são desejáveis para δ (Embrechts et al., 2003):

$$(i) \ \delta(X, Y) = \delta(Y, X);$$

$$(ii) \ -1 \leq \delta(X, Y) \leq 1;$$

(iii) $\delta(X, Y) = 1$ se X e Y são comonotônicas e $\delta(X, Y) = -1$ se X e Y são contramnotônicas;

(iv) Se T for uma transformação monótona,

$$\delta(T(X), Y) = \begin{cases} \delta(X, Y), & \text{se } T \text{ crescente,} \\ -\delta(X, Y), & \text{se } T \text{ decrescente.} \end{cases}$$

(v) $\delta(X, Y) = 0$ se e somente se X e Y são independentes.

Dizemos que X e Y são comonotônicas se Y (ou X) for uma função estritamente crescente de X (ou Y) em quase toda parte e são contramnotônicas se a função for estritamente decrescente.

O coeficiente de correlação linear de Pearson, ρ_P , satisfaz (i)-(ii). Além disso, ρ_P requer que as variâncias de X e Y sejam finitas, $\rho = 0$ não implica independência entre X e Y , a não ser que (X, Y) tenha uma distribuição normal bivariada. Também, ρ_P não é invariante sob transformações não lineares estritamente crescentes.

Outras medidas de dependência global entre duas variáveis X e Y , largamente usadas, são os coeficientes τ_K de Kendall e o coeficiente ρ_S de Spearman. Estas medidas sempre existem, são não paramétricas, baseadas em postos e não dependem das distribuições marginais de X e Y , mas somente da cópula C dessas duas variáveis. Diferente de ρ_P , essas medidas são invariantes por escala. Uma outra propriedade interessante é que, como dependem da cópula das duas variáveis, τ_K e ρ_S podem ser usadas para ajustar uma cópula a dados, pois frequentemente os parâmetros de uma cópula são funções desses coeficientes (isto corresponde a encontrar estimadores pelo método dos momentos).

11.2 Medidas de Dependência

Nesta seção estudaremos algumas medidas de dependência global entre duas variáveis. Começamos com o conhecido coeficiente de correlação.

Coeficiente de Correlação Linear

Também chamado coeficiente correlação linear de Pearson, é definido por

$$\rho_P(X, Y) = \frac{\text{Cov}(X, Y)}{\sigma_X \sigma_Y}, \quad (11.1)$$

onde $\text{Cov}(X, Y) = E(XY) - E(X)E(Y)$ é a covariância entre X e Y e σ_X, σ_Y indicam os desvios padrões de X e Y , respectivamente. Notamos que:

- (i) $-1 \leq \rho_P \leq 1$;
- (ii) $\rho_P = 0$ quando X e Y são independentes;
- (iii) $\rho_P = \pm 1$ quando Y é uma função linear de X .

Um estimador de momentos de ρ_P é obtido estimando-se a covariância por

$$\widehat{\text{Cov}}(X, Y) = \frac{1}{n} \sum_{t=1}^n (x_t - \bar{x})(y_t - \bar{y}) = \frac{1}{n} \sum_{t=1}^n x_t y_t - n \bar{x} \bar{y},$$

dada a amostra $(x_1, y_1), \dots, (x_n, y_n)$ de (X, Y) , e onde \bar{x}, \bar{y} denotam as médias amostrais de X e Y , respectivamente. O desvio padrão de X é estimado por $\hat{\sigma}_X$, onde

$$\hat{\sigma}_X^2 = \frac{1}{n} \sum_{t=1}^n (x_t - \bar{x})^2 = \frac{1}{n} \sum_{t=1}^n x_t^2 - \bar{x}^2$$

é o estimador da variância de X , expressão análoga para $\hat{\sigma}_Y^2$. Segue-se que um estimador para ρ_P é dado por

$$\hat{\rho}_P = \frac{\sum_{t=1}^n x_t y_t - n \bar{x} \bar{y}}{[(\sum_{t=1}^n x_t^2 - n \bar{x}^2)(\sum_{t=1}^n y_t^2 - n \bar{y}^2)]^{1/2}}. \quad (11.2)$$

É um fato que $-1 \leq \hat{\rho}_P \leq 1$ e, na prática, se o valor estimado estiver próximo de -1 ou $+1$, as variáveis são fortemente associadas ou correlacionadas linearmente e se estiver próximo de zero, as variáveis são não correlacionadas. Se (X, Y) for normal bivariada, podemos falar em dependentes e independentes, respectivamente.

Convém reafirmar que ρ_P mede dependência linear entre X e Y , e não outro tipo de dependência. De fato, suponha que uma das variáveis possa ser expressa linearmente em termos da outra, por exemplo $X = aY + b$, e seja

$d = E(|X - aY - b|^2)$. Então, pode-se provar (veja Problema 3) que o mínimo de d ocorre quando

$$a = \frac{\sigma_X}{\sigma_Y} \rho_P, \quad b = E(X) - aE(Y), \quad (11.3)$$

e o mínimo é dado por

$$\min d = \sigma_X^2(1 - \rho_P^2). \quad (11.4)$$

Nota-se, portanto, que quanto maior o valor absoluto do coeficiente de correlação entre X e Y , melhor a acurácia com que uma das variáveis pode ser representada como uma combinação linear da outra. Obviamente, este mínimo anula-se se e somente se $\rho_P = 1$ ou $\rho_P = -1$.

Segue-se imediatamente de (11.4) que

$$\rho_P(X, Y) = \frac{\sigma_X^2 - \min_{a,b} E(|X - aY - b|^2)}{\sigma_X^2}, \quad (11.5)$$

ou seja, ρ_P mede a redução relativa na variância de X por meio de uma regressão linear de X sobre Y .

Outro fato importante é que, se conhecermos somente as distribuições marginais de X e Y , mas não a relação de dependência entre as variáveis, então ρ_P pode variar num intervalo $[\rho_1, \rho_2]$, que pode ser muito menor do que $[-1, 1]$. Veja Carmona (2004) para detalhes.

Coeficiente τ_K de Kendall

Suponha que a v.a. (X, Y) tenha distribuição F , contínua. As v.a.'s X e Y são concordantes se pequenos valores de uma estão associados a pequenos valores da outra, o mesmo ocorrendo com os valores grandes.

Formalmente, sejam $(X_1, Y_1), (X_2, Y_2)$ dois pares independentes obtidos de F . Dizemos que estes pares são *concordantes* se $X_1 > X_2$ sempre que $Y_1 > Y_2$ e $X_1 < X_2$ sempre que $Y_1 < Y_2$ (isto é, se $(X_1 - X_2)(Y_1 - Y_2) > 0$). Os pares são *discordantes* se ocorre $X_1 > X_2$ sempre que $Y_1 < Y_2$ e $X_1 < X_2$ sempre que $Y_1 > Y_2$ (ou seja, se $(X_1 - X_2)(Y_1 - Y_2) < 0$).

Geometricamente, dois pontos distintos $(X_1, Y_1), (X_2, Y_2)$ no plano são concordantes se o segmento de reta que os une tem inclinação positiva, e discordantes se o segmento tem inclinação negativa.

O *coeficiente τ_K de Kendall* é definido por

$$\tau_K = P\{(X_1 - X_2)(Y_1 - Y_2) > 0\} - P\{(X_1 - X_2)(Y_1 - Y_2) < 0\}. \quad (11.6)$$

Uma estimativa de τ_K , baseada numa amostra de tamanho n de (X, Y) , é dada por

$$\hat{\tau}_K = \binom{n}{2}^{-1} \sum_{1 \leq i < j \leq n} \text{sinal}((x_i - x_j)(y_i - y_j)), \quad (11.7)$$

ou seja, o quociente entre o número de pares concordantes menos o número de pares discordantes e o número total de pares. Nesta fórmula, $\text{sinal}(x) = 1$, se $x > 0$, 0 se $x = 0$, e -1 , se $x < 0$.

Seja R_i o posto de X_i dentre X_1, \dots, X_n e S_i o posto de Y_i dentre Y_1, \dots, Y_n . Então, $(X_i - X_j)(Y_i - Y_j) > 0$ se e somente se $(R_i - R_j)(S_i - S_j) > 0$, ou seja $\hat{\tau}_K$ é uma função somente dos postos das observações.

Em aplicações financeiras, em que X e Y representam por exemplo retornos financeiros, o interesse está nos casos em que X e Y tomam valores muito grandes ou muito pequenos ao mesmo tempo. Nestes casos, τ_K fornece uma medida de concordância entre X e Y .

Outra medida de concordância é o coeficiente de Spearman.

Coeficiente ρ_S de Spearman

Suponha que (X, Y) tenha distribuição F e que as distribuições marginais de X e Y sejam F_1 e F_2 , respectivamente. O coeficiente ρ_S de Spearman é também baseado em concordância e discordância. Suponha que $(X_1, Y_1), (X_2, Y_2)$ e (X_3, Y_3) sejam três cópias independentes de (X, Y) . Então (Kruskal, 1958),

$$\rho_S = 3(P[(X_1 - X_2)(Y_1 - Y_3) > 0] - P[(X_1 - X_2)(Y_1 - Y_3) < 0]). \quad (11.8)$$

Ou seja, ρ_S é definido com sendo proporcional à probabilidade de concordância menos a probabilidade de discordância dos dois vetores (X_1, Y_1) e (X_2, Y_3) . Note também que a f.d. de (X_1, Y_1) é F , enquanto que a f.d. de (X_2, Y_3) é $F_1(x)F_2(y)$, pois X_2 e Y_3 são independentes.

Pode-se provar que

$$\rho_S = \rho_P(F_1(X), F_2(Y)), \quad (11.9)$$

ou seja, o coeficiente ρ_S é uma medida de correlação de postos. Veja o Problema 5 e a seção seguinte. Uma estimativa de ρ_S , baseada numa amostra de tamanho n de (X, Y) , é dada por

$$\hat{\rho}_S = \frac{12}{n(n^2 - 1)} \sum_{i=1}^n \left(R_i - \frac{n+1}{2} \right) \left(S_i - \frac{n+1}{2} \right), \quad (11.10)$$

onde R_i e S_i são os postos de X_i e y_i previamente definidos. Devido a (11.9), podemos também estimar ρ_S por

$$\hat{\rho}_S = \frac{\sum_{i=1}^n (R_i - \bar{R})(S_i - \bar{S})}{\sqrt{\sum_{i=1}^n (R_i - \bar{R})^2 \sum_{i=1}^n (S_i - \bar{S})^2}}.$$

Pode-se definir uma *função de concordância*, que generaliza a definição de τ_K . Veja Nelsen (2003) e o Problema 5.

Medidas de dependência de caudas

Estas medidas captam a dependência conjunta das caudas de distribuições bivariadas. Considere a v.a. (X, Y) e seja $F_i^{-1}(q)$ o q -quantil de X_i , $i = 1, 2$.

A medida de dependência de cauda superior, λ_u , é dada pela probabilidade de Y estar acima de um quantil alto, dado que X está acima de um quantil alto:

$$\lambda_u(X, Y) = \lim_{q \rightarrow 1, q < 1} P(Y > F_2^{-1}(q) | X > F_1^{-1}(q)). \quad (11.11)$$

De modo análogo definimos a medida de cauda inferior, λ_ℓ ,

$$\lambda_\ell(X, Y) = \lim_{q \rightarrow 0, q > 0} P(Y \leq F_2^{-1}(q) | X \leq F_1^{-1}(q)). \quad (11.12)$$

De modo geral, $0 < \lambda_u \leq 1$, $0 < \lambda_\ell \leq 1$, sendo que $\lambda_u = 0$ implica em independência (assintótica) na cauda superior e $\lambda_\ell = 0$ implica em independência (assintótica) na cauda inferior.

Dependência por quadrantes

Lehmann (1966) introduziu o conceito de dependência por quadrantes. Dizemos que as v.a.'s contínuas X e Y são *dependentes positivamente por quadrante* (*positively quadrant dependent*, PQD) se, para todo par (x, y) de \mathbb{R}^2 , tivermos

$$P(X \leq x, Y \leq y) \geq P(X \leq x)P(Y \leq y). \quad (11.13)$$

Ou seja, a probabilidade de X e Y serem simultaneamente pequenas é pelo menos tão grande quanto no caso em que as v.a.'s são independentes.

Dependência negativa por quadrante (NQD) é definida de modo análogo, invertendo o sentido da desigualdade em (11.13).

11.3 Cópulas

A teoria de cópulas teve um desenvolvimento explosivo nos últimos anos, notadamente nas aplicações em estatística, finanças, gestão de risco e modelagem de dependências em carteiras de seguros.

De forma simples, uma cópula é uma função ligando distribuições conjuntas e suas marginais. O uso de cópulas acessa a distribuição multivariada por meio da modelagem de cada distribuição marginal e da estimativa da cópula.

Por simplicidade, o desenvolvimento será feito para o caso de duas variáveis.

Definição 11.1. Uma *cópula* é uma função $C : I^2 \rightarrow I$, com $I = [0, 1]$, satisfazendo, para $0 < u_1 \leq u_2 < 1$, $0 < v_1 \leq v_2 < 1$, (u_1, v_1) e (u_2, v_2) em I^2 , as condições:

- (i) $C(u, 0) = C(0, v) = 0$, $C(u, 1) = u$, $C(1, v) = v$;
- (ii) $C(u_2, v_2) - C(u_2, v_1) - C(u_1, v_2) + C(u_1, v_1) \geq 0$.

As relações (i) significam uniformidade das margens, enquanto (ii) significa que, se (X, Y) tem f.d. C , então $P(u_1 \leq X \leq u_2, v_1 \leq Y \leq v_2) \geq 0$.

Um resultado fundamental nesta teoria é devido a Sklar (1959).

Teorema 11.1 (a) Seja C uma cópula e F_1, F_2 f.d.'s univariadas. Então,

$$F(x, y) = C(F_1(x), F_2(y)), \quad (x, y) \in \mathbb{R}^2, \quad (11.14)$$

define uma f.d. com marginais F_1 e F_2 .

(b) Reciprocamente, para uma f.d. bivariada F , com marginais F_1 e F_2 , existe uma cópula C satisfazendo (11.14) e esta é única se F_1 e F_2 são contínuas e, então, para todo $(u, v) \in I^2$, temos

$$C(u, v) = F(F_1^{-1}(u), F_2^{-1}(v)), \quad (11.15)$$

onde F_i^{-1} denota a inversa generalizada de F_i , $i = 1, 2$, isto é, $F_i^{-1}(u) = \sup_z \{F_i(z) \leq u\}$.

De modo conciso, cópulas são f.d.'s bivariadas (em geral, multivariadas) com marginais uniformes univariadas. No que segue, iremos supor que F_1 e F_2 sejam contínuas.

Do ponto de vista estatístico, o Teorema de Sklar sugere que a construção de um modelo multivariado seja feita em duas etapas:

- (1) ajuste das distribuições marginais;
- (2) calibração de uma cópula apropriada.

Cópulas são invariantes sob transformações estritamente crescentes. Vamos usar uma notação alternativa: se X e Y são v.a.'s contínuas, com f.d. F e cópula C , escreveremos também $C_{XY}(u, v)$ para denotar tal cópula.

Se ψ , φ são funções estritamente crescentes, então

$$C_{\psi(X)\varphi(Y)}(u, v) = C_{XY}(u, v), \quad u, v \in I.$$

Veja o Problema 14 para outras propriedades similares.

Exemplo 11.1. As três cópulas a seguir são importantes.

- (a) *Cópula produto*: $\Pi(u, v) = uv$, $u, v \in [0, 1]$.
- (b) *Cópula comonotônica*: $M(u, v) = \min(u, v)$, $u, v \in [0, 1]$.
- (c) *Cópula contramonomotônica*: $W(u, v) = \max(u + v - 1, 0)$, $u, v \in [0, 1]$.

Os gráficos de dispersão e f.d.'s (com as respectivas curvas de nível) de Π , M e W encontram-se na Figura 11.1. As cópulas W e M representam, respectivamente, a dependência de quadrante negativo máxima e dependência de quadrante positivo máximo entre X e Y . Por sua vez, Π representa a independência entre X e Y . Geometricamente, X e Y são PQD se e somente se o gráfico de $z = C(u, v)$ está acima do gráfico da cópula produto $z = \Pi(u, v)$. Observe, também, que M é a f.d. do vetor (U, U) e W é a f.d. do vetor $(U, 1 - U)$, onde $U \sim \mathcal{U}(0, 1)$.

O pacote **copula** do software R foi usado para fazer os gráficos. Os comandos necessários são dados a seguir.

```
> library(copula) # Carrega o pacote de cópulas
> ic <- indCopula # Gera a cópula independente
> persp(ic,pcopula) # Faz o gráfico da densidade de cópula
```

```

> persp(ic,dcopula) # Faz gráfico da (f.d.) cópula
> contour(ic,pcopula) # Faz o gráfico de curvas de níveis
> contour(ic,dcopula) # idem
> u <- runif(1000) # simula 1000 valores de uma uniforme
> plot(u,u) # Faz o gráfico de dispersão de  $M$ 
> plot(u,-u) # Faz o gráfico de dispersão de  $W$ 
> v <- runif(1000)
> plot(u,v) # Faz o gráfico de dispersão de  $\Pi$ 

```

Para gerar as cópulas $W(u, v)$ e $M(u, v)$ pode-se programar, em S ou R, as funções $\min(u, v)$ e $\max(u + v - 1, 0)$.

O seguinte resultado é fundamental.

Proposição 11.1. Para toda cópula C temos a desigualdade

$$W(u, v) \leq C(u, v) \leq M(u, v), \quad (u, v) \in I^2. \quad (11.16)$$

Dizemos que $W(u, v)$ e $M(u, v)$ são os *limites de Fréchet-Hoeffding*, devido aos trabalhos de Hoeffding (1940, 1941) e Fréchet (1951). O resultado nos diz que o gráfico de qualquer cópula é uma superfície contínua dentro do cubo unitário I^3 , com vértices $(0, 0, 0)$, $(1, 0, 0)$, $(0, 1, 0)$ e $(1, 1, 1)$, e este gráfico está entre os gráficos das superfícies $z = W(u, v)$ e $z = M(u, v)$. Uma observação importante é que W é uma cópula somente se $n = 2$. Para $n \geq 3$, $W(u_1, u_2, \dots, u_n) = \max(u_1 + u_2 + \dots + u_n - n + 1, 0)$ não é uma cópula, mas uma quasecópula. Podemos obter limites mais precisos se tivermos informações adicionais sobre a f.d. F . Veja Nelsen (2006) para mais informações.

Uma cópula tem outras propriedades importantes, que resumiremos na seguinte proposição.

Proposição 11.2. Seja C uma cópula. Então:

- (a) C é uniformemente contínua em seu domínio.
- (b) vale a condição

$$|C(u_1, v_1) - C(u_2, v_2)| \leq |u_2 - u_1| + |v_2 - v_1|,$$

ou seja, C é Lipschitz.

- (c) Para qualquer u (v) em I , a derivada parcial $\partial_1 = \frac{\partial C}{\partial u}$ ($\partial_2 = \frac{\partial C}{\partial v}$) existe para quase todo $u(v)$ de I , e $0 \leq \partial_1 \leq 1$, $0 \leq \partial_2 \leq 1$.
- (d) As funções $v \mapsto \frac{\partial C}{\partial u}$ e $u \mapsto \frac{\partial C}{\partial v}$ são bem definidas e não decrescentes em quase toda a parte em I .

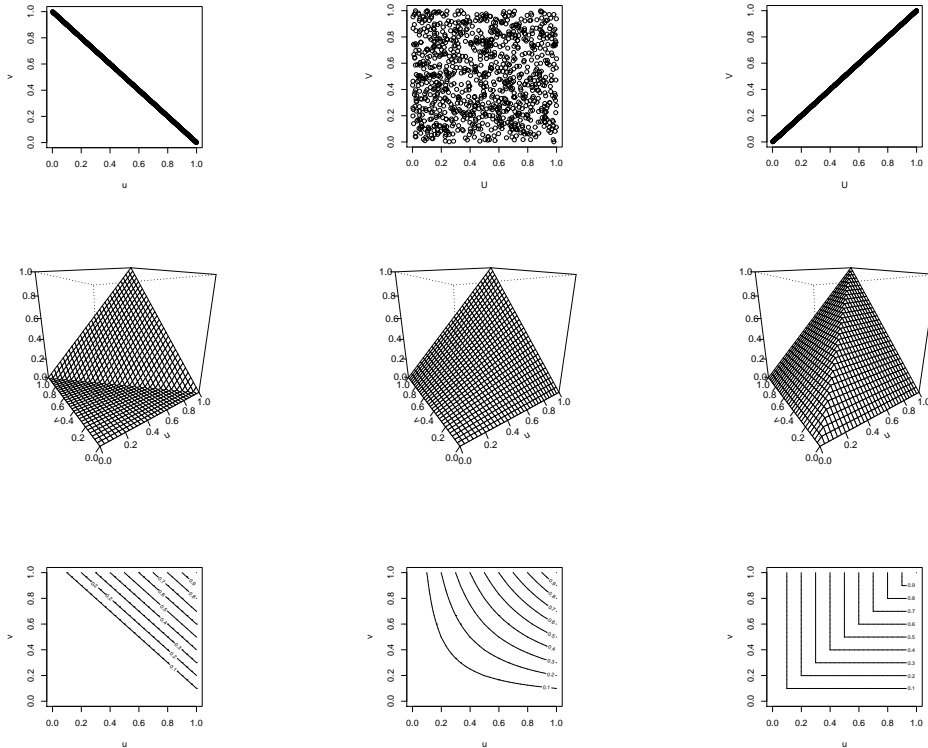


Figura 11.1: Cópulas contramontônica (esquerda), independente (centro) e comonotônica (direita).

Vemos que, como definida, C é uma função de distribuição bivariada. Podemos, então, considerar a *densidade de cópula* c , definida por

$$c(F_1(x), F_2(y)) = \frac{\partial}{\partial x \partial y} C(F_1(x), F_2(y)), \quad (11.17)$$

se a derivada existir (neste caso dizemos que C é *absolutamente contínua*). De (11.14) obtemos que a densidade conjunta de X e Y será dada por

$$f(x, y) = c(F_1(x), F_2(y))f_1(x)f_2(y),$$

onde f_i é a f.d.p. de F_i , $i = 1, 2$. Logo,

$$c(F_1(x), F_2(y)) = \frac{f(x, y)}{f_1(x)f_2(y)}. \quad (11.18)$$

Os coeficientes de associação de Kendall e Spearman podem ser relacionados com cópulas. Se (X, Y) tem f.d. conjunta F e C é a cópula associada a F , então pode-se provar que

$$\tau_K = 4 \int_0^1 \int_0^1 C(u, v)c(u, v)dudv - 1 \quad (11.19)$$

e

$$\begin{aligned} \rho_S &= 12 \int_0^1 \int_0^1 uvdC(u, v) - 3, \\ &= 12 \int_0^1 \int_0^1 C(u, v)dudv - 3, \\ &= 12 \int_0^1 \int_0^1 [C(u, v) - uv]dudv. \end{aligned} \quad (11.20)$$

A primeira expressão em (11.20) (veja o Problema 8) implica na expressão (11.9) e a segunda e terceira expressões fornecem as seguintes interpretações geométricas de ρ_S (Nelsen, 2003):

- (i) o volume sob o gráfico de $z = C(u, v)$ sobre I^2 , reescalado para estar em $[-1, 1]$;
- (ii) o volume (sinalizado) entre os gráficos de $z = C(u, v)$ e $z = \Pi(u, v)$, reescalado como em (i).

Também é possível demonstrar as seguintes desigualdades:

$$-1 \leq 3\tau - 2\rho_S \leq 1,$$

$$\frac{3\tau - 1}{2} \leq \rho_S \leq \frac{1 + 2\tau - \tau^2}{2}, \quad \tau \geq 0,$$

e

$$\frac{\tau^2 + 2\tau - 1}{2} \leq \rho_S \leq \frac{1 + 3\tau}{2}, \quad \tau \leq 0.$$

Para detalhes, veja Nelsen (2006). Também pode-se provar que se F_1 e F_2 são contínuas, então

$$\lambda_u = \lim_{u \rightarrow 1^-} \frac{\bar{C}(u, u)}{1 - u},$$

$$\lambda_\ell = \lim_{u \rightarrow 0^+} \frac{C(u, u)}{u},$$

se esses limites existirem, onde $\bar{C}(u, v)$ é a *cópula de sobrevivência*, dada por $\bar{C}(u, v) = u + v - 1 + C(1 - u, 1 - v)$, que está relacionada com a função de sobrevivência conjunta $\bar{F}(u, v) = P(U > u, V > v)$, com U, V uniformes em $(0, 1)$, ou seja,

$$\bar{F}(u, v) = \bar{C}(\bar{F}_1(u), \bar{F}_2(v)).$$

11.4 Famílias Paramétricas de Cópulas

Nesta seção apresentaremos algumas cópulas que são frequentemente utilizadas na prática. Cada uma delas depende de um ou mais parâmetros, que chamaremos δ , que caracterizam a dependência entre as variáveis. Como antes, vamos nos restringir ao caso bivariado.

(a) **Cópula Gaussiana.** É a cópula de uma distribuição normal bivariada com parâmetro de correlação δ , dada por

$$\begin{aligned} C_N(u, v; \delta) &= \int_{-\infty}^{\Phi^{-1}(u)} dx \int_{-\infty}^{\Phi^{-1}(v)} dy \frac{1}{2\pi\sqrt{1-\delta^2}} \exp\left\{-\frac{x^2 - 2\delta xy + y^2}{2(1-\delta^2)}\right\} \\ &= \Phi_\delta(\Phi^{-1}(u), \Phi^{-1}(v)), \end{aligned} \quad (11.21)$$

onde Φ_δ é a f.d. conjunta de uma normal padrão bivariada com coeficiente de correlação δ .

A cópula Gaussiana gera distribuição normal padrão bivariada se, e somente se, as marginais são normais padrões. Veja o exemplo 11.5 abaixo.

Se $\delta = 1$, então $C_N = M$, se $\delta = -1$, então $C_N = W$ e se $\delta = 0$, então $C_N = \Pi$.

Para esta cópula temos que

$$\tau_K = \frac{2}{\pi} \text{arcsen}\delta, \quad \rho_S = \frac{6}{\pi} \text{arcsen}\frac{\delta}{2},$$

$$\lambda_\ell = \lambda_u = \begin{cases} 0, & \delta < 1 \\ 1, & \delta = 1 \end{cases}$$

(b) **Cópulas de Valores Extremos (VE).** Estas têm a propriedade

$$C(u^t, v^t) = (C(u, v))^t, \quad t > 0,$$

e podem ser representadas na forma

$$C(u, v) = \exp \left\{ \log(uv) A \left(\frac{\log(u)}{\log(uv)} \right) \right\},$$

onde $A : [0, 1] \rightarrow [1/2, 1]$ é uma função convexa, com $\max(t, t-1) \leq A(t) \leq 1$, chamada *função de dependência*.

Alguns casos particulares são:

(i) **Cópula de Gumbel**, com f.d.

$$C_G(u, v; \delta) = \exp \left\{ -[(-\log(u)^\delta + (-\log(v)^\delta)]^{1/\delta} \right\}, \quad \delta > 1. \quad (11.22)$$

A função de dependência desta cópula é dada por

$$A(t) = (t^\delta + (1-t)^\delta)^{1/\delta}.$$

O parâmetro δ mede o grau de dependência entre as variáveis e se $\delta = 1$ não há dependência. Para esta cópula, $\tau_K = 1 - 1/\delta$ e $\lambda_u = 2 - 2^{1/\delta}$.

Outras cópulas de VE são (veja Joe, 1997 e Nelsen, 2006, para detalhes):

(ii) Cópula de Galambos;

(iii) Cópula de Husler-Reiss;

(iv) Cópula BB5.

(c) **Cópulas Arquimedianas.** Estas podem ser escritas na forma

$$C(u, v) = \phi^{-1}[\phi(u) + \phi(v)], \quad (11.23)$$

para uma função $\phi : [0, 1] \rightarrow R^+$, contínua, estritamente decrescente, convexa, $\phi(1) = 0$, chamada *geradora*.

A cópula de Gumbel é Arquimeditana, com $\phi(t) = (-\log t)^\delta$. O coeficiente τ_K de Kendall para estas cópulas é dado por

$$\tau_K = 4 \int \frac{\phi(v)}{\phi'(v)} dv + 1.$$

Dois outros exemplos de cópulas Arquimedianas são a cópula de Frank, dada por

$$C_F(u, v; \delta) = -\delta^{-1} \log \left(\frac{\eta - (1 - e^{-\delta u})(1 - e^{-\delta v})}{\eta} \right), \quad (11.24)$$

onde $\delta \neq 0$, $\eta = 1 - e^{-\delta}$, $\lambda_u = \lambda_v = 0$ e a cópula de Clayton (ou Kimeldorf-Sampson), dada por

$$C_{KS}(u, v; \delta) = [u^{-\delta} + v^{-\delta} - 1]^{-1/\delta}, \quad (11.25)$$

com $\delta > 0$, $\tau_K = \delta/(\delta + 2)$ e $\lambda_\ell = 2^{-1/\delta}$. Outras cópulas Arquimedianas são a cópula de Joe e as cópulas BB1, BB2, BB3, BB6 e BB7. Veja Joe (1997) para outros detalhes sobre essas e outras cópulas.

Nos exemplos a seguir, ilustramos os diversos tipos de dependência que podem ser captados por algumas das cópulas descritas acima. Em cada gráfico mostramos o gráfico de postos padronizados (ver a seção seguinte para a definição desses postos), a cópula (f.d.), a densidade de cópula e as respectivas curvas de nível. Os comandos do software R encontram-se a seguir para a cópula Gaussiana, com $\delta = 0,8$. Para as demais, os comandos são similares, substituindo `normalCopula` por `tCopula`, `claytonCopula`, `frankCopula` e `gumbelCopula`.

```
> library(copula)
> nc <- normalCopula(0.8)
> persp(nc,pcopula)
> persp(nc,dcopula)
> contour(nc,pcopula)
> contour(nc,dcopula)
> u <- rcopula(nc,1000)
> plot(u)
```

Exemplo 11.2. Na Figura 11.2 temos os gráficos para a cópula Gaussiana, com o coeficiente de dependência (ρ_P , neste caso) $\delta = 0,8$. Notamos uma dependência positiva e simétrica.

Exemplo 11.3. A Figura 11.3 traz a cópula t de Student, com $\rho_P = 0,8$ e número de graus de liberdade $\nu = 2$. Obtemos gráficos semelhantes ao caso

anterior, mas com maior concentração nos extremos.

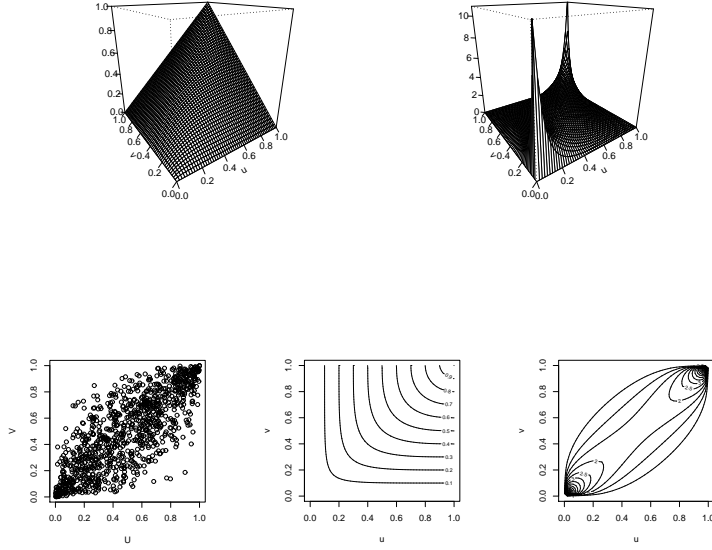


Figura 11.2: Cópula Gaussiana, $\delta = 0, 8$.

A cópula t bivariada é definida como

$$C_{\nu, \Sigma}^t(u, v) = t_{\nu, \mathbf{0}, \Sigma}(t_{\nu}^{-1}(u), t_{\nu}^{-1}(v)),$$

onde $t_{\nu, \mathbf{0}, \Sigma}$ é a f.d. de uma distribuição t bivariada de média $\mathbf{0}$ e matriz de correlação Σ , e t_{ν} é a f.d. de uma t univariada, com ν graus de liberdade. Temos, pois, que $\delta = (\nu, \Sigma)$.

Exemplo 11.4. Neste exemplo vamos considerar três cópulas Arquimedianas, Clayton, Frank e Gumbel, com parâmetros 2, 8 e 2, respectivamente. Observamos, na Figura 11.4, que no caso das cópulas de Clayton e Gumbel há dependência positiva e assimétrica, enquanto a cópula de Frank apresenta dependência positiva e simétrica, com intensidade maior nos extremos. Compare com os comportamentos das cópulas Gaussiana e t .

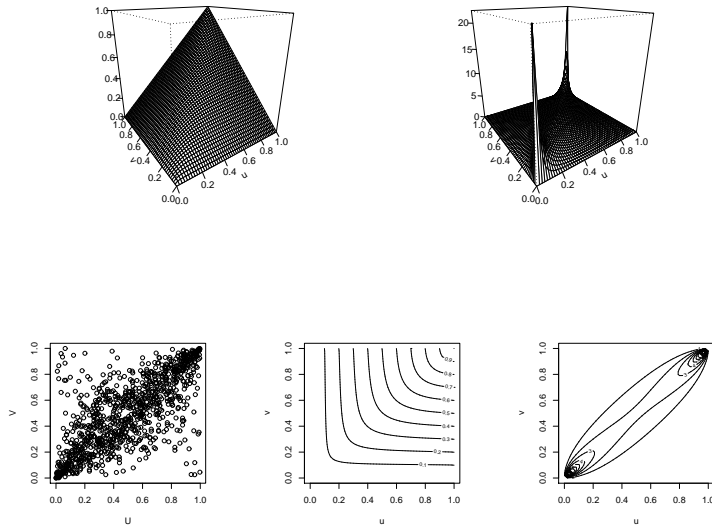


Figura 11.3: Cópula t de Student, $\delta = 0, 8, \nu = 2$.

Exemplo 11.5. Retomemos o exemplo 11.2 de cópula Gaussiana, com $\delta = 0, 8$, mas vejamos o que acontece se especificarmos marginais diferentes. No painel da esquerda da Figura 11.5 temos ambas as marginais normais padrões, no painel do meio, ambas as marginais são uniformes em $(0, 1)$ e, no painel da direita, uma marginal é normal padrão e a outra é $t(2)$. No primeiro caso temos curvas de nível típicas de uma distribuição normal bivariada, enquanto os dois outros casos geram estruturas de dependência com padrões diferentes da normal bivariada.

Exemplo 11.6. Metadistribuições. Este exemplo é baseado em Kojadinovic (2008). Vimos, pela equação (11.14), que o teorema de Sklar fornece um meio para construir distribuições bivariadas (em geral, multivariadas) com f.d.'s marginais e cópula arbitrárias. Consideremos, por exemplo, construir uma distribuição com cópula normal e marginais arbitrárias. Obteremos uma distribuição *metanormal*. Esta terminologia pode ser estendida a outras distribuições.

Como exemplo, vamos obter uma f.d. bivariada, sendo que cada marginal é normal padrão e tendo como cópula uma das seguintes:

- (i) cópula Gaussiana, com $\delta = 0, 7$;

- (ii) cópula de Gumbel, com $\delta = 2$;
- iii) cópula t , com $\delta = \rho_p = 0,71$ e $\nu = 4$ graus de liberdade.
- (iv) cópula de Clayton, com $\delta = 2,2$;

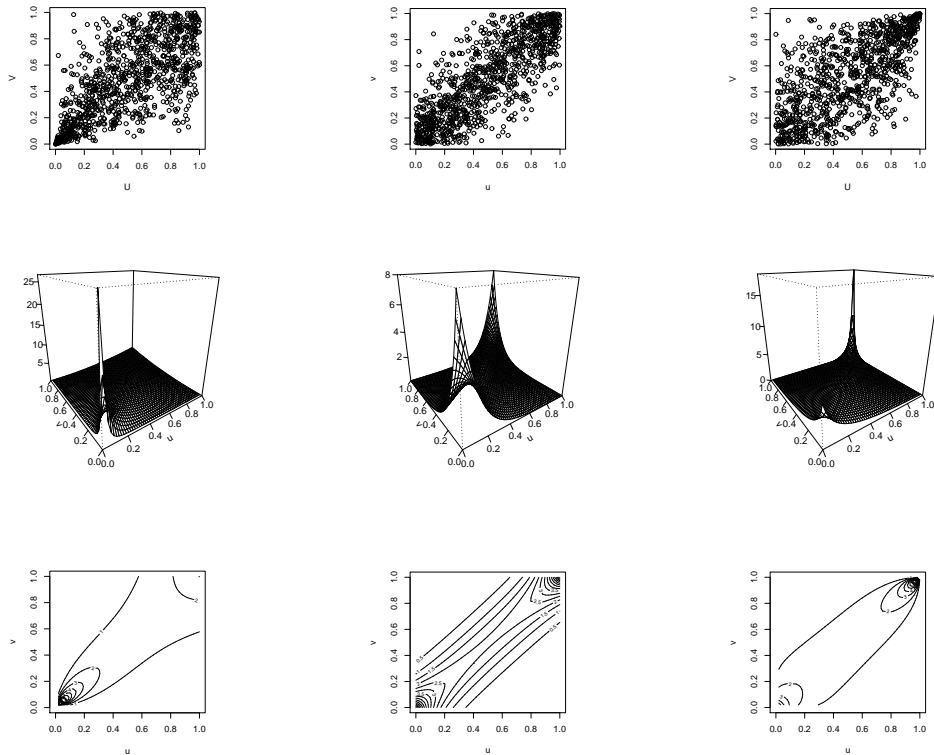


Figura 11.4: Cópulas de Clayton (esquerda), Frank (centro) e Gumbel (direita)

Os parâmetros foram escolhidos de modo que todas tenham o coeficiente de correlação linear aproximadamente igual a 0,7.

Na Figura 11.6, temos as cópulas, e na Figura 11.7, as respectivas metadistribuições.

Observamos que a metadistribuição de Gumbel (assim como sua cópula) apresenta dependência na cauda superior, a metadistribuição de Clayton tem dependência na cauda inferior, a t tem dependência em ambas as caudas, enquanto a normal não apresenta dependência nas caudas.

Já vimos como gerar as cópulas usando o R. Para gerar metadistribuições usamos as funções `mvdc` e `rmvdc`. Supondo que `nc`, `gc`, `tc` e `cc` representem as cópulas geradas, teremos os comandos para o caso normal (os demais são análogos):

```
> mnc <- mvdc(nc,c("norm","norm"),list(list(mean=0, sd=1),list(mean=0,
+ sd=1)))
> x <- rmvdc(mnc,2000)
> plot(x)
```

Nos Problemas 9, 10 e 11 o leitor é convidado a simular cópulas com outras estruturas de dependência e a gerar metadistribuições com marginais especificadas.

11.5 Ajuste de Cópulas Paramétricas

Dada uma amostra $(X_1, Y_1), (X_2, Y_2), \dots, (X_n, Y_n)$ de uma v.a. bivariada (X, Y) , com f.d. conjunta F , f.d.'s marginais F_1 , F_2 e cópula C , queremos estimar C . Podemos usar estimadores *paramétricos*, estimadores *não paramétricos* e estimadores *semiparamétricos*. No primeiro caso usamos estimadores de Máxima Verossimilhança, no segundo caso podemos usar cópulas empíricas (baseadas em postos) e estimadores suavizados (via kernels, ondaletas etc). No terceiro caso, usamos estimadores de Pseudo Máxima Verossimilhança.

As funções de distribuição empíricas (f.d.e.) correspondentes a F , F_1 e F_2 são dadas por

$$F_n(x, y) = \frac{1}{n} \sum_{i=1}^n I\{X_i \leq x, Y_i \leq y\}, \quad -\infty < x, y < \infty, \quad (11.26)$$

$$F_{1n}(x) = \frac{1}{n} \sum_{i=1}^n I\{X_i \leq x\}, \quad -\infty < x < \infty, \quad (11.27)$$

$$F_{2n}(x) = \frac{1}{n} \sum_{i=1}^n I\{Y_i \leq y\}, \quad -\infty < y < \infty. \quad (11.28)$$

Algumas vezes, usa-se o denominador $n + 1$ nestas fórmulas, para garantir que as funções estejam no intervalo $[0, 1]$. Pelo lema de Glivenko-Cantelli, F_{in} aproxima-se de F_i , quando $n \rightarrow \infty$, $i = 1, 2$. Similarmente, pela transformada de probabilidade, espera-se que $F_{in}(X_j)$, $j = 1, \dots, n$ sejam aproximadamente uniformes, $i = 1, 2$.

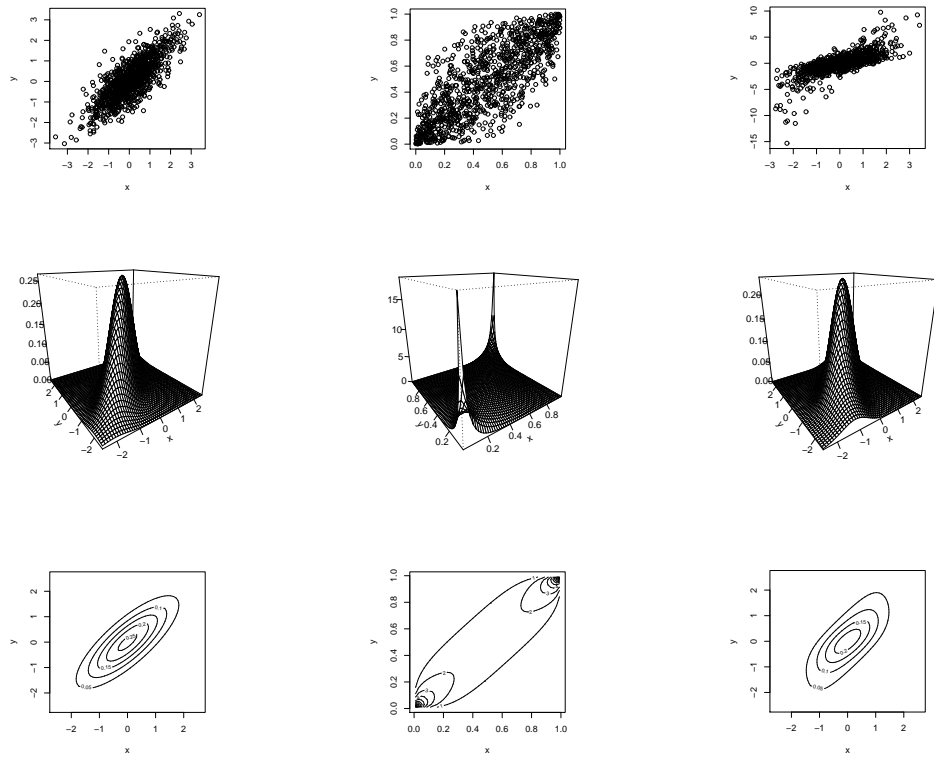


Figura 11.5: Cópulas Gaussianas com marginais: normais padrões (esquerda), uniformes em $[0, 1]$ (centro) e normal padrão e $t(2)$ (direita).

Como vimos, a cópula C_{XY} é também a f.d. de $(U, V) = (F_1(X), F_2(Y))$, se F_1, F_2 são contínuas, de maneira que $(U_i, V_i) = (F_1(X_i), F_2(Y_i))$, $i = 1, \dots, n$ formam uma amostra aleatória de $C_{XY} = C$.

Logo, se considerarmos $(\hat{U}_i, \hat{V}_i) = (F_{1n}(X_i), F_{2n}(Y_i))$, $i = 1, \dots, n$, teremos uma boa ideia de como é a verdadeira cópula C , ou seja, podemos dizer que esses pares formam uma *pseudoamostra* de C .

Note, também, que $(F_{1n}(X_i), F_{2n}(Y_i)) = (\frac{R_i}{n}, \frac{S_i}{n})$, $i = 1, \dots, n$, onde R_i é o posto de X_i entre X_1, \dots, X_n e S_i é o posto de Y_i entre Y_1, \dots, Y_n . Portanto, o gráfico dos postos padronizados $(R_i/n, S_i/n)$, $i = 1, \dots, n$ é útil para ressaltar a estrutura de dependência entre X e Y .

11.5.1 Estimadores de Máxima Verossimilhança

Dada a amostra $(x_i, y_i), i = 1, \dots, n$, de F bivariada, com marginais F_1 e F_2 , cópula C e densidade de cópula c , usando (11.18) a densidade conjunta fica

$$f(x_i, y_i, \eta) = c(F_1(x_i, \alpha_1), F_2(y_i, \alpha_2); \theta) f_1(x_i, \alpha_1) f_2(y_i, \alpha_2), \quad (11.29)$$

onde α_1 contém os parâmetros de F_1 , α_2 os parâmetros de F_2 e θ os parâmetros de c e seja $\eta = (\alpha_1, \alpha_2, \theta)$.

A log-verossimilhança é

$$\begin{aligned} \ell(\eta; \mathbf{x}, \mathbf{y}) &= \sum_{i=1}^n \log c(F_1(x_i, \alpha_1), F_2(y_i, \alpha_2); \theta) \\ &\quad + \sum_{i=1}^n \log f_1(x_i, \alpha_1) + \sum_{i=1}^n \log f_2(y_i, \alpha_2) \end{aligned} \quad (11.30)$$

e os estimadores de máxima verossimilhança (EMV) são obtidos maximizando esta função. Normalmente esta é uma tarefa difícil se há muitos parâmetros.

Um procedimento em dois estágios (chamado *inference function for margins*, IFM) pode ser utilizado, onde no passo 1 obtemos os estimadores dos parâmetros das marginais,

$$\hat{\alpha}_i = \arg \max \sum_{i=1}^n \log f_i(x_i; \alpha_i), \quad i = 1, 2,$$

e no passo 2 obtemos os estimadores dos parâmetros da cópula,

$$\hat{\theta} = \arg \max \sum_{i=1}^n \log c(F_1(x_i, \hat{\alpha}_1), F_2(y_i, \hat{\alpha}_2); \theta).$$

Este procedimento conduz a estimadores consistentes e assintoticamente normais. Veja Joe e Xu (1996) para detalhes.

11.5.2 Cópulas Empíricas

A cópula empírica C_n fornece uma aproximação (descontínua), ou uma estimativa não paramétrica de C , baseada em postos padronizados.

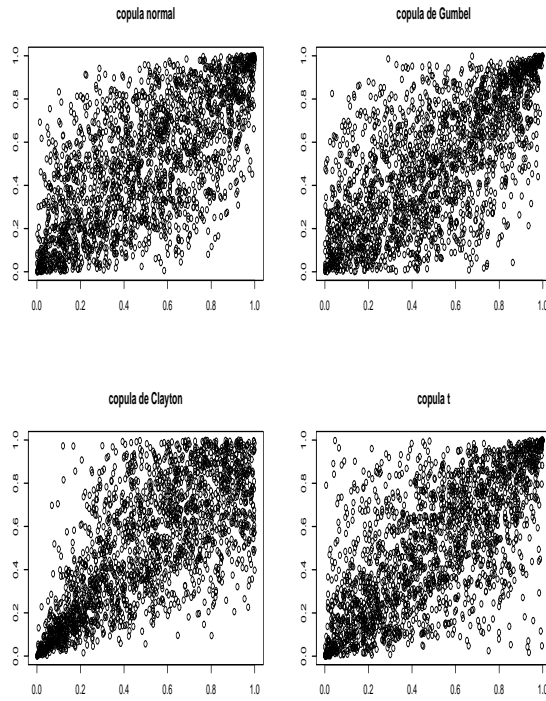


Figura 11.6: Cópulas Gaussiana, Gumbel, Clayton e $t(4)$.

Definição 11.2. Sejam $(R_i/n, S_i/n)$ os postos padronizados associados à amostra aleatória (X_i, Y_i) , $i = 1, \dots, n$. A *cópula empírica* C_n é definida por

$$C_n(u, v) = \frac{1}{n} \sum_{i=1}^n I\left\{\frac{R_i}{n} \leq u, \frac{S_i}{n} \leq v\right\}, \quad u, v \in I. \quad (11.31)$$

Deheuvels (1979) provou que

$$\sup_u \sqrt{n}|C_n(u) - C(u)| = o(1), \text{ a.s.} \quad (11.32)$$

Os coeficientes $\hat{\tau}_K$ e $\hat{\rho}_S$ podem ser expressos em termos de C_n . Veja Nelsen (2006). A cópula empírica pode também ser expressa como

$$C_n(u, v) = F_n(F_{1n}^{-1}(u), F_{2n}^{-1}(v)), \quad 0 \leq u, v \leq 1. \quad (11.33)$$

Para obter estimadores mais suaves, podemos considerar estimadores suavizados a partir da cópula empírica. Para detalhes, veja Fermanian et al. (2004) e Morettin et al. (2010b).

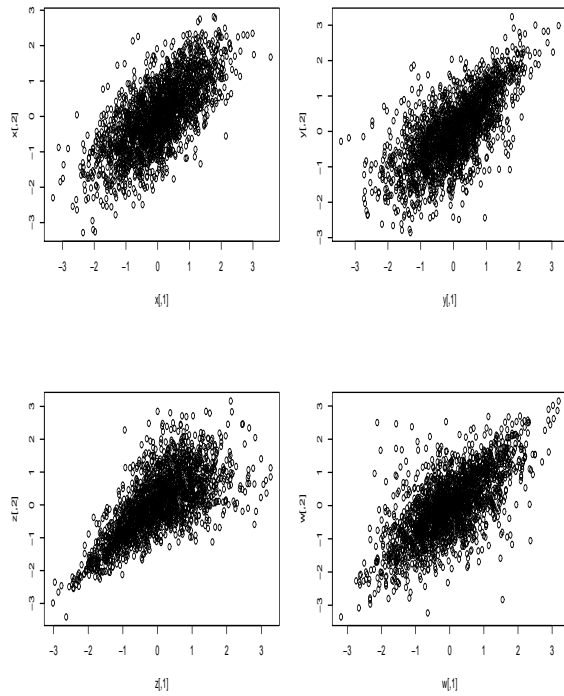


Figura 11.7: Metadistribuições Normal, Gumbel, Clayton e $t(4)$.

11.5.3 Estimadores de Pseudo-MV

Neste enfoque, F_1 e F_2 são estimadas, usando modelos paramétricos, f.d.e. ou uma combinação de f.d.e e ajuste de uma distribuição de valores extremos para as caudas das distribuições, por exemplo a distribuição generalizada de Pareto. Para detalhes, ver Carmona (2004) e Zivot e Wang (2006). Seguimos os passos:

- (ii) obtemos pseudoamostras para a cópula:

$$(\hat{u}_i, \hat{v}_i) = (\hat{F}_1(x_i), \hat{F}_2(y_i)), i = 1, \dots, n;$$

(iii) formamos a log-verossimilhança:

$$\ell(\theta, \hat{\mathbf{u}}, \hat{\mathbf{v}}) = \sum_{i=1}^n \log c(\hat{u}_i, \hat{v}_i; \theta),$$

e a maximizamos com respeito a θ por métodos numéricos. Este método é também chamado de MV canônica.

Exemplo 11.7. Vamos aplicar o método de pseudo-MV (PMV) para estimar dados provenientes de uma cópula de Clayton com parâmetro $\delta = 2$, supondo que as marginais F_1 e F_2 sejam normais padrões. Os comandos necessários no R são os seguintes, usando a função `fitCopula`, que admite os métodos `ml` (máxima verossimilhança), `mpl` (pseudomáxima verossimilhança), `itau` (inversão do coeficiente de Kendall), e `irho` (inversão do coeficiente de Spearman). Os três últimos métodos assumem que “data” seja composto por pseudo-observações (postos padronizados e reescalados), enquanto o primeiro método assume que “data” contenha as observações da cópula desconhecida. Os dois últimos correspondem ao método dos momentos: obtemos estimativa do τ_K ou ρ_S e conhecida a relação entre o coeficiente e a cópula, obtemos a estimativa do parâmetro que a caracteriza.

```
> library(copula)
> cc <- claytonCopula(2)
> mcc <- mvdc(cc,c("norm","norm"),list(list(mean=0, sd=1),list(mean=0,
  sd=1)))
> x <- rmvdc(mcc,1000)
> u <- cbind(rank(x[,1])/1001, rank(x[,2])/1001) # obtemos pseudo-
  observações;
> fitCopula(u,cc, method="mpl", 1) # estimação por PMV; parâmetro 1 é
  valor inicial;
> f # o resultado.
```

No Quadro 11.1 apresentamos os resultados. A estimativa de PMV é $\hat{\delta} = 2,072$, valor significativo (p-valor zero).

Quadro 11.1 : Estimador de PMV para o exemplo 11.7

The method is Maximum Pseudo-Likelihood based on 1000 observations.

Estimate, Std. Error, z value, $Pr(>|z|)$

param	2.071874	0.1214130	17.06468	0
-------	----------	-----------	----------	---

The maximized loglikelihood is 445.8937

Usando o método dos momentos, obtemos como estimativas 2,152(itau) e 2,156 (irho), que são menos acuradas que a estimativa de PMV. A estimativa da cópula seria obtida por meio de uma cópula paramétrica de Clayton com $\hat{\delta} = 2,072$. Na prática, temos apenas os valores observados $(x_i, y_i), i = 1, \dots, n$, e o que fazemos é ajustar algumas cópulas paramétricas e escolher aquela que melhor se ajusta aos dados. No exemplo, supusemos que os dados x_i, y_i provêm de normais padrões. Daremos um exemplo para séries financeiras na seção seguinte.

11.6 Cópulas para Séries Temporais

Tudo o que vimos anteriormente foi desenvolvido para o caso que temos um par de v.a.s (X, Y) e n pares independentes obtidos da correspondente distribuição bivariada. Contudo, quando temos duas séries temporais (X_t, Y_t) , a amostra $(X_1, Y_1), (X_2, Y_2), \dots, (X_T, Y_T)$ não é composta de pares independentes: há correlação serial dentro de cada série e correlação cruzada entre as séries, de modo que, por exemplo, os pares (X_1, Y_1) e (X_2, Y_2) não são independentes.

Para contornar este problema, uma sugestão é ajustar modelos ARMA-GARCH a cada série e obter, então, os resíduos padronizados do ajuste. Para esses resíduos, ajustamos alguma cópula paramétrica. Este procedimento não produz, obviamente, amostras i.i.d., mas pelo menos a autocorrelação e a heteroscedasticidade de cada série são removidas. Veja Dias e Embrechts (2009, 2010) e Patton (2006). Podemos, também, ajustar um modelo VAR-GARCH bivariado às duas séries.

Uma solução mais apropriada é considerar cópulas para séries temporais, assumindo, por exemplo, que o vetor (X_t, Y_t) seja estacionário e alguma forma de independência assintótica (condições *mixing*) seja válida. Métodos não paramétricos, usando kernels e ondaletas, foram utilizados por Fermanian e Scaillet (2003) e Morettin et al. (2010a, 2010b). Não trataremos deste desenvolvimento aqui e nos limitaremos a considerar o procedimento acima em um exemplo.

Exemplo 11.8. Na Figura 11.8 temos o gráfico de dispersão dos retornos diários dos índices SP500 e DJIA, de 03/01/1994 a 07/07/2000, com $T = 1.700$ observações. Há uma alta correlação entre as séries, especificamente $\rho_P = 0,933$. Os coeficientes de Kendall e Spearman são $\tau = 0,7341$ e $\rho_S = 0,9009$, respectivamente. Ajustamos um modelo AR(3)-GARCH(1,1) com erros t à série SP500 e um modelo AR(10)-GARCH(1,1) também com erros t à série

DJIA.

Estes modelos foram considerados adequados usando os testes de diagnóstico usuais. Após o ajuste, os resíduos padronizados apresentaram um coeficiente de correlação de 0,926. Na Figura 11.9 temos o gráfico de curvas de nível de uma cópula Gaussiana ajustada a esses resíduos, com $\delta = 0,926$: à esquerda a f.d. e à direita a densidade de cópula. Esses dois gráficos evidenciam a alta dependência entre as séries: as curvas de nível da f.d. apresentam cantos inferiores esquerdos próximos aos de uma cópula monotônica e as curvas da densidade apresentam uma concentração nos dois cantos, inferior esquerdo e superior direito (dependência positiva).

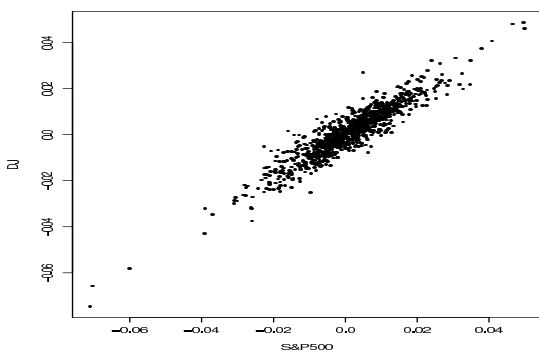


Figure 11.8: Gráfico de dispersão dos retornos de SP500 e DJIA.

Vamos considerar, agora, um exemplo com três séries, ou seja, teremos que ajustar cópulas trivariadas. Embora sejam séries temporais financeiras e teríamos que ajustar antes modelos ARMA-GARCH, vamos fazer o ajuste para as séries originais, a título de ilustração.

Exemplo 11.9. Consideremos as séries de retornos diárias das ações da Intel (INTC), Microsoft (MSFT) e General Electric (GE), no período de 01/01/1996 a 31/12/2000 (cinco anos), num total de $T = 1.262$ observações. Estas séries constam da base de dados DJ do pacote QMRLib do R. Na Figura 11.10, apresentamos os diagramas de dispersão dos dados e, na Figura 11.11, temos os postos padronizados. Notamos que há dependência positiva mais acentuada entre INTC e MSFT e entre MSFT e GE.

Ajustamos as cópulas de Gumbel, Clayton e Frank, todas com parâmetro $\delta = 2$ e as cópulas Gaussiana e t(5), com média zero e matriz de correlações a estimar pelo método de PMV. No Quadro 11.2 apresentamos os resultados.

Pelos valores da verossimilhança máxima, o melhor ajuste é dado pela cópula t, com $\nu = 6,5$.

Contudo, uma abordagem mais rigorosa para comparar ajustes de cópulas diferentes ao mesmo conjunto de dados consiste em usar testes de adaptação (*goodness-of-fit tests*). Para detalhes veja Genest et al. (2009) para uma resenha de possíveis testes. A função `gofCopula` do pacote `copula` do R pode ser usado para efetuar esses testes.

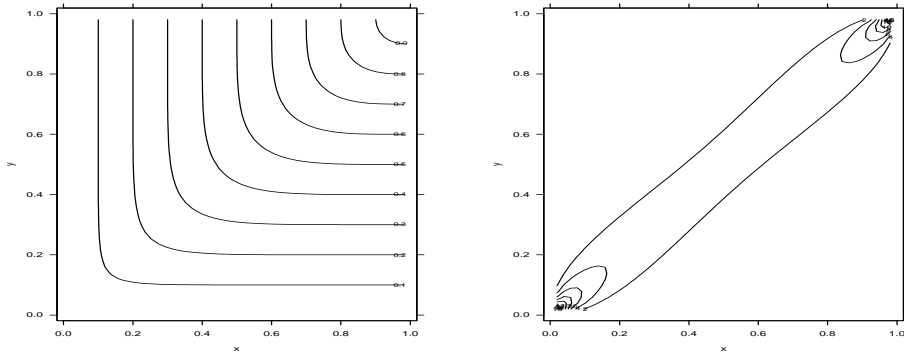


Figure 11.9: Curvas de nível da distribuição (esquerda) e densidade (direita) de uma cópula Gaussiana ajustada aos resíduos de SP500 e DJIA.

11.7 Valor em Risco e Cópulas

Já vimos que um problema importante é calcular o **VaR** (ou outra medida de risco) de uma carteira de ativos. Supondo que esta seja composta de N instrumentos A_1, \dots, A_N , com pesos w_1, \dots, w_N ($\sum_{i=1}^N w_i = 1$), então o log-retorno da carteira no instante t é dado por (1.16), ou seja,

$$r_{c,t} = \log \sum_{i=1}^N w_i e^{r_{i,t}}. \quad (11.34)$$

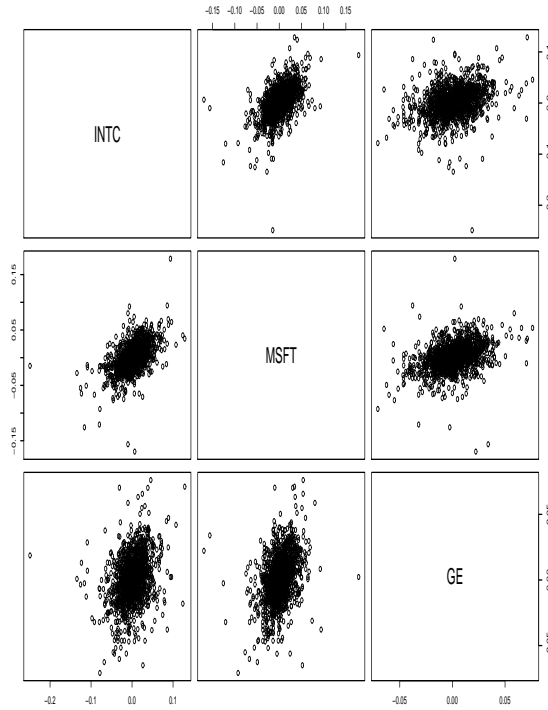


Figure 11.10: Gráficos de dispersão dos retornos de INTC, MSFT e GE.

Vamos considerar o caso simples de dois retornos, de modo que (11.34) fica

$$r_{c,t} = \log(w_1 e^{r_{1,t}} + w_2 e^{r_{2,t}}). \quad (11.35)$$

Como vimos no Capítulo 7, o VaR_p é o p -quantil da distribuição de $r_{c,t}$, isto é,

$$p = P(r_{c,t} \leq \text{VaR}_p) = P(\log(w_1 \exp\{r_{1,t}\} + w_2 \exp\{r_{2,t}\}) \leq \text{VaR}_p). \quad (11.36)$$

Chamemos de $F(r_1)$ e $F(r_2)$ as distribuições dos retornos e de $F(r_1, r_2)$ a distribuição conjunta. Por (11.14), $F(r_1, r_2)$ é especificada por suas marginais e pela cópula C .

Sejam r_1, \dots, r_T valores simulados de $r_{c,t}$, baseados em T valores simulados de $r_{1,t}$ e $r_{2,t}$. Então, o valor em risco em (11.36) pode ser estimado pelo p -quantil empírico dos valores r_1, \dots, r_T , como vimos na seção 7.5. A DGP é adequada para estimar o valor em risco. Podemos, então, ajustar DGP às

marginais dos retornos, estimar uma cópula paramétrica, por exemplo, e obter os valores simulados para, finalmente, calcular o VaR. Vejamos o procedimento a seguir, por meio de um exemplo.

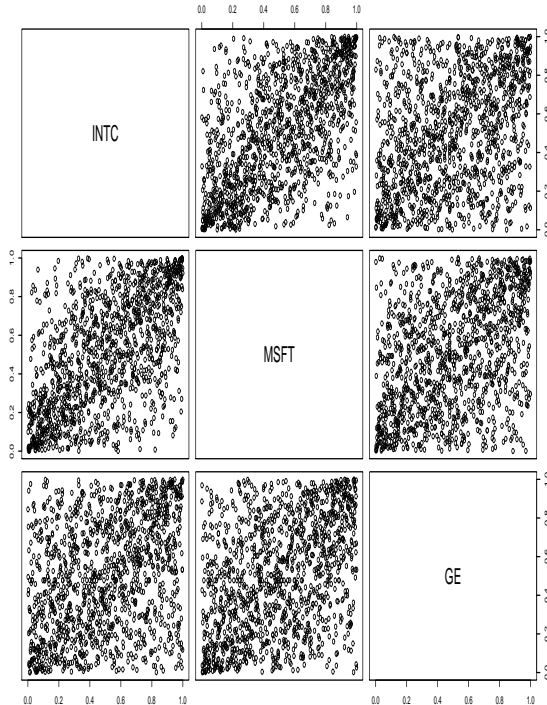


Figure 11.11: Gráficos dos postos padronizados dos retornos de INTC, MSFT e GE.

Exemplo 11.10. Vamos considerar uma carteira fictícia, com 70% de ações da Petrobras e 30% de ações da Vale, e para calcular o VaR da carteira usaremos os retornos dessas ações no período de 31/08/1998 a 29/09/2010, com $T = 2990$ observações. Vamos ajustar distribuições generalizadas de Pareto a ambas as séries de retornos, usando a função `gpd.tail` do `S+FinMetrics`. A função `gpd.fit`, usada no Capítulo 7, é outra opção. Lembremos que, como no exemplo 7.7, temos que selecionar os valores dos limiares para as séries, antes de estimar os parâmetros da DGP. Designando os retornos da Petrobras e Vale por `rpetro` e `rvale`, respectivamente, os comando utilizados são:

```
> petro.est=gpd.tail(rpetro, lower=-0.02, upper=0.02) : # estima os parâmetros
```

do modelo DGP; comando similar para `rvale`;

```
> tailplot(petro.est, tail="lower"): # é um comando similar com tail="upper",
   para verificar se o ajuste foi bom;
> petro.sim=gpd.1q(runif(2990),petro.est): # gera 2990 valores dos retornos
   da Petrobras; comando similar para a Vale;
```

Com os valores simulados `petro.sim` e `vale.sim` podemos simular $r_{c,t}$ por meio de (11.35) e, em seguida, obter o VaR por meio do p -quantil empírico. Aqui, não é necessário usar cópulas. Suponha, agora, que ajustemos uma cópula normal, com $\rho_P = 0,4$ (a correlação entre os retornos é 0,346). A função do `S+FinMetrics` a ser usada é a `VaR.exp.sim`. Os comandos necessários encontram-se a seguir.

```
> ncop=normal.copula(delta=0.4): # Ajusta uma cópula normal,  $\rho_P = 0,4$ ;
> set.seed(123);
> u.petro=gpd.2p(rpetro, petro.est): # gera os pseudo-valores  $u_i$ ;
> v.vale=gpd.2p(rvale, vale.est): # gera os pseudo-valores  $v_i$ ;
> empcop.pv=empirical.copula(x=u.petro,y=v.vale): # calcula a cópula empírica;
> cop.normal.fit=fit.copula(empcop.pv, family="normal", plot=T): # ajusta
   uma cópula normal, a partir da cópula empírica;
> VaR=VaR.exp.sim(n=10000,Q(c(0.01,0.05), copula=cop.normal.fit$copula,
 + x.est=petro.est, y.est=vale.est, lambda1=0.7, lambda2=0.3)): # calcula o
   VaR e o CVaR a partir de  $n = 10000$  simulações das marginais e da cópula.
```

A última função fornece $\text{VaR}_{0.05} = 0,033$ e $\text{VaR}_{0.01} = 0,056$. Os valores do $\text{CVaR}=ES$ são, respectivamente, 0,049 e 0,078, que são valores maiores do que os do VaR, com esperado.

11.8 Comentários Adicionais

Na seção 11.2, introduzimos algumas medidas de dependência global, como o coeficiente de correlação de Pearson e os coeficientes de correlação de postos de Kendall e Spearman. Todos fornecem um único número, que descreve a dependência entre duas variáveis. A cópula fornece uma medida de dependência local, ou seja, para todo par (u, v) do quadrado unitário I^2 , temos um valor em $I = [0, 1]$.

Várias medidas de dependência local foram definidas na literatura.

Quadro 11.2 : Estimadores de PMV para o exemplo 11.9.				
Cópula de Gumbel				
The method is Maximum Pseudo-Likelihood based on 1262 observations.				
Estimate, Std. Error, z value, $Pr(> z)$				
param 1.368256 0.01619893 84.46584 0				
The maximized loglikelihood is 294.5982				
Cópula de Clayton				
The method is Maximum Pseudo-Likelihood based on 1262 observations.				
Estimate, Std. Error, z value, $Pr(> z)$				
param 0.5856541 0.02356333 24.85447 0				
The maximized loglikelihood is 273.9629				
Cópula de Frank				
The method is Maximum Pseudo-Likelihood based on 1262 observations.				
Estimate, Std. Error, z value, $Pr(> z)$				
param 2.866457 0.1145294 25.02813 0				
The maximized loglikelihood is 323.3839				
Cópula Gaussiana				
The method is Maximum Pseudo-Likelihood based on 1262 observations.				
Estimate, Std. Error, z value, $Pr(> z)$				
rho.1 0.5781237 0.01568472 36.85904 0				
rho.2 0.3400171 0.01996401 17.03150 0				
rho.3 0.4016913 0.01787757 22.46901 0				
The maximized loglikelihood is 375.7089				
Cópula t				
The method is Maximum Pseudo-Likelihood based on 1262 observations.				
Estimate, Std. Error, z value, $Pr(> z)$				
rho.1 0.5877097 NA NA NA				
rho.2 0.3593434 NA NA NA				
rho.3 0.4224842 NA NA NA				
df 6.5015810 NA NA NA				
The maximized loglikelihood is 419.2701				

Bairamov et al. (2003) propuseram a seguinte versão local do coeficiente de correlação de Pearson:

$$H(x, y) = \frac{E[(X - E(X|Y = y))(Y - E(Y|X = x))]}{\sqrt{E[(X - E(X|Y = y))^2]}\sqrt{E[(Y - E(Y|X = x))^2]}}, \quad (11.37)$$

para todo (x, y) pertencente ao suporte S de (X, Y) . Esta medida pode ainda

ser escrita na forma

$$H(x, y) = \frac{\text{Cov}(X, Y) + \lambda_X(y)\lambda_Y(x)}{\sqrt{\text{Var}(X) + \lambda_X^2(y)}\sqrt{\text{Var}(Y) + \lambda_Y^2(x)}}, \quad (11.38)$$

na qual $\lambda_X(y) = E(X) - E(X|Y = y)$, $\lambda_Y(x) = E(Y) - E(Y|X = x)$ e $\text{Cov}(X, Y)$ é a covariância entre X e Y .

Observa-se que, se X e Y são independentes, então $H(x, y) = 0$.

Note, ainda, que dividindo-se o numerador e denominador de $H(x, y)$ pelo produto do desvio padrão de X pelo desvio padrão de Y , obtemos

$$H(x, y) = \frac{\rho_P(X, Y) + \varphi_X(y)\varphi_Y(x)}{\sqrt{1 + \varphi_X^2(y)}\sqrt{1 + \varphi_Y^2(x)}}, \quad (11.39)$$

onde $\varphi_X(y) = \lambda_X(y)/\sqrt{\text{Var}(X)}$, $\varphi_Y(x) = \lambda_Y(x)/\sqrt{\text{Var}(Y)}$ e $\rho_P(X, Y)$ é o coeficiente de correlação de Pearson.

Exemplos de $H(x, y)$ para distribuições simétricas elípticas podem ser encontrados em Kotz e Nadarajah (2003), e exemplos para distribuições de valores extremos em Nadarajah et al. (2003). A estimativa de H e extensões para o caso de processos estacionários podem ser vistas em Latif e Morettin (2010).

Outra medida local da associação entre Y e X , próximo de $X = x$, é a curva de correlação

$$\rho(x) = \frac{\beta(x)\sigma_X}{\sqrt{\beta^2(x)\sigma_X^2 + \sigma_\varepsilon^2(x)}}, \quad x \in S, \quad (11.40)$$

em que $\beta(x) = \frac{\partial}{\partial x}E(Y|X = x)$ e $\sigma_\varepsilon^2(x) = \text{Var}(Y|X = x)$, sendo S o domínio da variável S . Esta medida foi proposta por Bjerve e Doksum (1993). Uma crítica a essa medida é que ela é função da variável X somente.

Bjerve e Doksum (1993) sugerem que $\rho(x)$ seja estimada via regressão linear ponderada (veja Fan, 1993). Latif (2008) considera a função de correlação para um processo estacionário $\{(X_t, Y_t), t \in \mathbb{Z}\}$, supondo o modelo $Y_t = m(X_t) + \sigma(X_t)\varepsilon_t$, com ε_t i.i.d. $(0,1)$, sendo $m(\cdot)$ o *drift* e $\sigma(\cdot)$ a volatilidade. A estimativa é feita por meio de ajuste de polinômios locais.

Para mais detalhes sobre medidas de dependência local, veja Latif (2008).

11.9 Problemas

1. Mostre que, se $\rho_P(X, Y) = 0$ e se (X, Y) tiver distribuição normal bivariada, então X e Y são independentes.
2. Mostre que $\rho_P(X, Y)$ é invariante sob transformações lineares estritamente crescentes de X e Y .
3. Prove as relações (11.3)-(11.5).
4. Prove que, se X e Y são PQD e se C é a cópula associada a F , então $C(u, v) \geq uv$, para todo par (u, v) de $[0, 1]^2$. A recíproca também vale. Dizemos também que F ou C é PQD.
5. **Função de concordância.** Sejam (X_1, Y_1) e (X_2, Y_2) dois vetores aleatórios com f.d. conjuntas H_1 e H_2 , mas marginais comuns, F (de X_1 e X_2) e G (de Y_1 e Y_2). Sejam C_1 e C_2 as cópulas de (X_1, Y_1) e (X_2, Y_2) , respectivamente.

Então, $H_1(x, y) = C_1(F(x), G(y))$ e $H_2(x, y) = C_2(F(x), g(y))$. Denotemos por K a diferença entre as probabilidades de concordância e discordância de (X_1, Y_1) e (X_2, Y_2)

$$K = P[(X_1 - X_2)(Y_1 - Y_2) > 0] - P[(X_1 - X_2)(Y_1 - Y_2) < 0].$$

Então, temos que (Nelsen, 2006):

$$K = K(C_1, C_2) = 4 \int_0^1 \int_0^1 C_2(u, v) dC_1(u, v) - 1.$$

Prove que (11.19) decorre desta relação, ou seja, $\tau = K(C, C)$.

6. Prove que $\rho_S = 3K(C, \Pi)$, onde C é a cópula de (X_1, Y_1) .
7. Prove que a função de concordância K satisfaz as seguintes propriedades:
 - (i) K é simétrica em seus argumentos;
 - (ii) K é não decrescente em seus argumentos;
 - (iii) $K(M, M) = 1$, $K(W, W) = -1$ e $K(\Pi, \Pi) = 0$.
8. Prove que (11.9) decorre da primeira relação em (11.20), se X e Y são contínuas, com cópula C .

9. Gere uma cópula de Clayton com parâmetro $\delta = 2$ e marginais normais padrões.
10. Idem, com distribuições marginais normal padrão e $t(2)$.
11. Gere uma distribuição metaClayton, com marginais t . Escolha os parâmetros de forma apropriada.
12. **Coeficiente de Gini.** Se X e Y são v.a.s com cópula C , o coeficiente de cograduação de Gini é definido por

$$\gamma_C = \gamma_{X,Y} = \int_0^1 \int_0^1 (|u+v-1| - |u+v|) dC(u,v).$$

Prove que $\gamma_C = K(C, M) + K(C, W)$, ou seja, γ_C mede uma relação de concordância entre C e dependência monotônica (dada por M e W).

13. Mostre que, quando $\delta \rightarrow 0$, a cópula de Frank se aproxima da cópula independente.
14. Sejam X e Y v.a.'s contínuas, com cópula C_{XY} e sejam ψ , φ funções estritamente monotônicas. Prove que:
 - (i) se ψ e φ são ambas crescentes, então $C_{\psi(X)\varphi(Y)}(u, v) = C_{XY}(u, v)$;
 - (ii) se ψ é crescente e φ é decrescente, então $C_{\psi(X)\varphi(Y)}(u, v) = u - C_{XY}(u, 1-v)$;
 - (iii) se ψ é decrescente e φ crescente, então $C_{\psi(X),\varphi(Y)}(u, v) = v - C_{XY}(1-u, v)$;
 - (iv) se ψ e φ são ambas decrescentes, então $C_{\psi(X)\varphi(Y)}(u, v) = u + v - 1 + C_{XY}(1-u, 1-v)$.
15. Prove que (11.6) pode ser escrita como $\tau_K = E[\text{sinal}((X_1 - X_2)(Y_1 - Y_2))]$.
16. Prove que $\hat{\tau}_K = 4/(n(n-1))\text{PC}_n - 1$, onde PC_n fornece o número de pares concordantes.
17. Considere os índices Ibovespa(Brasil) e Merval (Argentina) do arquivo d-indices.dat. Ajuste cópulas de Gumbel, Clayton e Frank e escolha a que melhor se ajusta, segundo o critério da máxima verossimilhança. Use os métodos de PMV e MV.

18. Agregue às séries do problema anterior, o índice IPC (do México). Ajuste cópulas (trivariadas) Gaussiana e t . Escolha a que melhor se ajuste, usando os mesmos métodos.
19. Use o método dos momentos (itau e irho) para ajustar as cópulas do problema anterior. Compare com os métodos utilizados anteriormente (PMV e MV).
20. Calcule o $VaR_{0.05}$ de uma carteira formada por 60% de ações da Petrobras e 40% das ações da Cemig, no período de 2/1/95 a 27/12/2000.

Referências

- Abanto-Valle, C.A., Bandyopadhyayb, D., Lachos, V.H. and Guzman, I.R.E. (2010). Robust Bayesian analysis of heavy-tailed stochastic volatility models using scale mixtures of normal distributions. *Computational Statistics and Data Analysis*, **54**, 2884–2893.
- Akaike, H. (1973). Maximum likelihood identification of Gaussian autoregressive moving average models. *Biometrika*, **60**, 255–265.
- Akaike, H. (1974). A new look at the statistical model identification. *IEEE Transactions on Automatic Control*, AC-19, 716–723.
- Akaike, H. (1977). On entropy maximization principle. In *Applications of Statistics* (P.R. Krishnaiah, ed.), 27–41. Amsterdam: North-Holland.
- Alexander, C. (2001). *Market Models*. Wiley.
- Andersen, T. and Bollerslev, T. (1998). Answering the skeptics: Yes, standard volatility models do provide accurate forecasts. *International Economic Review*, **39**, 885–905.
- Andersen, T., Bollerslev, T., Diebold, F.X. and Labys, P. (2000a). Exchange rates returns standardized by realized volatility are (nearly) Gaussian. *Multinational Finance Journal*, **4**, 159–179.
- Andersen, T., Bollerslev, T., Diebold, F.X. and Labys, P. (2000b). Great realizations. *Risk*, **13**, 105–108.
- Andersen, T., Bollerslev, T., Diebold, F.X. and Labys, P. (2001). The distribution of realized exchange rate volatility. *Journal of the American Statistical Association*

- Association*, **96**, 42–55.
- Andersen, T., Bollerslev, T., Diebold, F.X. and Labys, P. (2003). Modeling and forecasting realized volatility. *Econometrica*, **71**, 579–626.
- Andersson, F., Mausser, H., Rosen, D. and Uryasev, S. (2001). Credit risk optimization with conditional value-at-risk criterion. *Mathematical Programming, Series B*, **89**, 273–291.
- Aparicio, F.M. and Estrada, J. (2001). Empirical distributions of stock returns: European securities markets, 1990–1995. *European Journal of Finance*, **7**, 1–21.
- Artzner, P., Delbaen, F., Eber, J.M. and Heath, D. (1997). Thinking coherently. *Risk*, **10**, 68–71.
- Artzner, P., Delbaen, F., Eber, J.M. and Heath, D. (1999). Coherent measures of risk. *Mathematical Finance*, **9**, 203–228.
- Baillie, R. T. (1996). Long memory processes and fractional integration in econometrics. *Journal of Econometrics*, **73**, 5–59.
- Baillie, R.T., Bollerslev, T. and Mikkelsen, H.O. (1996). Fractionally integrated generalized autoregressive conditional heteroskedasticity. *Journal of Econometrics*, **74**, 3–30.
- Bairamov, I., Kotz, S. and Kozubowski, T.J. (2003). A new measure of linear local dependence. *Statistics*, **37**, 243–258.
- Bandi, F.M. and Russell, J.R. (2003). Microstructure noise, realized volatility, and optimal sampling. Working paper.
- Bandi, F.M. and Russell, J.R. (2006). Volatility. Working paper, GSB, University of Chicago.
- Banerjee, A., Dolado, J.J., Galbraith, J.W. and Hendry, D.F. (1993). *Co-integration, Error Correction and the Econometric Analysis of Non-Stationary Data*. Oxford: Oxford University Press.
- Barndorff-Nielsen, O.E. and Shephard, N. (2002a). Estimating quadratic variation using realized variance. *Journal of Applied Econometrics*, **17**, 457–477.
- Barndorff-Nielsen, O.E. and Shephard, N. (2002b). Econometric analysis of realized volatility and its use in estimating stochastic volatility models. *Journal*

- of the Royal Statistical Society, Series B, **64**, 253–280.
- Barndorff-Nielsen, O.E. and Shephard, N. (2004a). Econometric analysis of realized covariation: High frequency based covariance, regression, and correlation in financial economics. *Econometrica*, **73**, 885–926.
- Barndorff-Nielsen, O.E. and Shephard, N. (2004b). How accurate is the asymptotic approximation to the distribution of realized volatility? In *Identification and Inference for Econometric Models. A Festschrift in Honour of T.J. Rothenberg*. Ed. by D.W.K. Andrews, J. Powell, P.A. Ruud, and J.H. Stock. Cambridge: Cambridge University Press.
- Bauwens, L., Lubrano,M. and Richard, J.F. (1999). *Bayesian Inference in Dynamic Econometric Models*. Oxford: Oxford University Press.
- Bauwens, L. and Giot, P. (2000). The logarithmic ACD model: An application to the bid-ask quote process of three NYSE stocks. *Annales d'Economie et de Statistique*, **60**, 117–150.
- Bauwens,L. and Vereda, D. (2000). The stochastic conditional duration model: A latent factor model for the analysis of financial durations. *Journal of Econometrics*, **119**, 381–412.
- Bauwens, L. and Giot, P. (2001). *Econometric Modelling of Stock Market Intraday Activity*. Boston: Kluwer Academic Publishers.
- Bauwens, L. and Giot, P. (2003). Asymmetric ACD models: Introducing price information in ACD models. *Empirical Economics*, **28**, 709–731.
- Bera, A.K. and Jarque, C.M. (1981). Efficient tests for normality, homoscedasticity and serial independence of regression residuals: Monte Carlo evidence. *Economics Letters*, **7**, 313-318.
- Bera, A.K. and Jarque, C.M. (1987). A test for normality of observations and regression residuals. *International Statistical Review*, **55**, 163-172.
- Beran, J. (1995) Maximum likelihood estimation of the differencing parameter for invertible short and long memory ARIMA models. *Journal of the Royal Statistical Society, Series B*, **57**, 659–672.
- Berkowitz, J. and O'Brien, J. (2002). How accurate are the Value-at-Risk models at commercial banks? *The Journal of Finance*, Vol. LVII, 1093–11.
- Berti, A.F. (2005). Estimação da Volatilidade Diária com Dados de Alta

Freqüência: Aplicações ao Cálculo do Valor em Risco do IBOVESPA. Dissertação de Mestrado, Instituto de Matemática e Estatística da Universidade de São Paulo.

Beveridge, W.H. (1921). Weather and harvest cycles. *Economics Journal*, **31**, 429–452.

Bjerve, S. and Doksum, K. (1993). Correlation curves: Measures of association as functions of covariate values. *Annals of Statistics*, **21**, 890–902.

Black, F. (1976). Studies of stock market volatility changes. Proc. 1976 Meeting of the American Statistical Association, Business and Economic Statistics Section, 177–181.

Black, F. and Scholes, M. (1973). The pricing of options and corporate liabilities. *Journal of Political Economy*, **81**, 635–654.

Blattberg, R.C. and Gonedes, N.J. (1974). A comparison of stable and Student distributions as statistical models for stock prices. *The Journal of Business*, **47**, 244–280.

Bollerslev, T. (1986). Generalized autoregressive conditional heteroskedasticity. *Journal of Econometrics*, **31**, 307–327.

Bollerslev, T. (1987). A conditionally heteroskedastic time series model for speculative process and rates of return. *Review of Economics and Statistics*, **69**, 542–547.

Bollerslev, T. (1988). On the correlation structure for the generalized autoregressive conditional heteroskedasticity. *Journal of Time Series Analysis*, **9**, 121–132.

Bollerslev, T. (2008). Glossary to ARCH (GARCH). <http://ssrn.com/abstract=1263250>.

Bollerslev, T., Engle, R.F. and Wooldridge, J.M. (1988). A capital asset pricing model with time varying covariances. *Journal of Political Economy*, **96**, 116–131.

Bollerslev, T., Chou, R.Y. and Kroner, K.F. (1992). ARCH modeling in finance: A review of the theory and empirical evidence. *Journal of Econometrics*, **52**, 5–59.

Bollerslev, T., Engle, R.F. and Nelson, D.B. (1994). Arch Models. In Hand-

- book of Econometrics, Vol. IV (eds. R.F. Engle and D.L. McFadden), 2959–3038. New York: North Holland.
- Bollerslev, T. and Mikkelsen,, H.O. (1996). Modeling and pricing long memory in stock market volatility. *Journal of Econometrics*, **73**, 151–184.
- Box, G.E.P. and Pierce, D.A. (1970). Distribution of autocorrelations in autoregressive moving average models. *Journal of The American Statistical Association*, **65**, 1509–1526.
- Box, G.E.P., Jenkins, G.M. and Reinsel, G. (1994). *Time Series Analysis: Forecasting and Control*. Third Edition. Englewood Cliffs: Prentice Hall.
- Boudjellaba, H., Dufour, J.-M. and Roy, R. (1992). Testing causality between two vectors in multivariate autoregressive moving average models. *Journal of the American Statistical Association*, **87**, 1082–1090.
- Breidt, F.J. and Carriquiry, A.L. (1996). Improved quasi-maximum likelihood estimation for stochastic volatility models. In *Modelling and Prediction: Honoring Seymour Geisser* (J.C. Lee and A. Zellner, eds.), 228–247. New York: Springer.
- Breidt, F.J., Crato, N. and de Lima, P.J.F. (1993). Modeling long-memory stochastic volatility. Working paper (Johns Hopkins University, Baltimore, MD).
- Brockwell, P.J. and Davis, R.A. (1991). *Time Series: Theory and Methods*. Second Edition. New York: Springer.
- Bruscato, A., Morettin, P.A. and Toloi, C.M.C. (2010). Time-varying autoregressive conditional duration models. *Journal of Applied Statistics*, **37**, 847–864.
- Campbell, J.Y., Lo, A.W. and MacKinlay, A.C. (1997). *The Econometrics of Financial Markets*. Princeton: Princeton University Press.
- Carmona, R.A. (2004). *Statistical Analysis of Financial Data in S-Plus*. New York: Springer.
- Cathy, W., Chen, S., Liu, F., Mike, K. and So, P. (2008). Heavy-tailed distributed threshold stochastic volatility models in financial time series. *Australian and New Zealand Journal of Statistics*, **50**, 29–51.
- Coles, S. (2001). *An Introduction to Statistical Modeling of Extremes*. London:

Springer.

Cramér, H. and Leadbetter, M.R. (1967). *Stationary and Related Stochastic Processes*. New York: Wiley.

da Cunha, D. M. S. (1997). *Análise de Causalidade em Séries Temporais*. Dissertação de mestrado, IME-USP, São Paulo.

Dacorogna, M.M., Gençay, R., Muller, U.A., Olsen, R.B. and Pictet, O.V. (2001). *An Introduction to High-Frequency Finance*. San Diego: Academic Press.

Danielsson, J. and de Vries, C.G. (1997). Tail index and quantile estimation with very high frequency data. *Journal of Empirical Finance*, **4**, 241–257.

Deheuvels, P. (1979). La fonction de dépendance empirique et ses propriétés, un test non paramétrique d'indépendance. *Bulletin de l'Academie Royale de Belgique, Classe des Sciences*, **65**, 274–292.

DeJong, D.N. and Whiteman, C.H. (1991). Reconsidering trends and random walks in macroeconomic time series. *Journal of Monetary Analysis*, **28**, 221–254.

Dias, A. and Embrechts, P. (2009). Testing for structural changes in exchange rates dependence beyond linear correlation. *European Journal of Finance*, **15**, 619–637.

Dias, A. and Embrechts, P. (2010). Modeling exchange rate dependence dynamics at different time horizons. *Journal of International Money and Finance*, **29**, 1687–1705.

Dickey, D.A. and Fuller, W.A. (1979). Distribution of the estimators for autoregressive time series with a unit root. *Journal of the American Statistical Association*, **74**, 427–431.

Dickey, D.A. and Fuller, W.A. (1981). Likelihood ratio statistics for autoregressive time series with a unit root. *Econometrica*, **49**, 1052–1072.

Dickey, D.A. and Pantula, S. (1987). Determining the order of differencing in autoregressive processes. *Journal of Business and Economic Statistics*, **15**, 455–461.

Ding, Z., Granger, C.W.J. and Engle, R.F. (1993). A long memory property of stock returns and a new model. *Journal of Empirical Finance*, **1**, 83–106.

- Dolado, J.J., Jenkinson, T. and Sosvilla-Rivero, S. (1990). Cointegration and unit roots. *Journal of Economic Surveys*, **4**, 249–273.
- Dunsmuir, W. and Hannan, E.J. (1976). Vector linear time series models. *Advances in Applied Probability*, **8**, 339–364.
- Durbin, J. (1970). An alternative to the bounds test for testing serial correlation in least-squares regression. *Econometrica*, **38**, 422–429.
- Durbin, J. and Koopman, S.J. (1997a). Monte Carlo maximum likelihood estimation for non-Gaussian state space models. *Biometrika*, **84**, 669–684.
- Durbin, J. and Koopman, S.J. (1997b). Time series analysis of Non-Gaussian observations based on state space models. Preprint, London School of Economics.
- Durbin, J. and Koopman, S.J. (2000). Time series analysis of Non-Gaussian observations based on state space models from both classical and Bayesian perspectives. *Journal of The Royal Statistical Society, Series B*, **62**, 3–56.
- Einstein, A. (1905). On the movement of small particles suspended in a stationary liquid demanded by the molecular-kinetic theory of heat. *Ann. Physics*, **17**.
- Elliot, G., Rothenberg, T.J. and Stock, J.H. (1996). Efficient tests for an autoregressive unit root. *Econometrica*, **64**, 813–836.
- Embrechts, P., Klüppelberg, C. and Mikosch, T. (1997). *Modelling Extremal Events for Insurance and Finance*. New York: Springer.
- Embrechts, P., Lindskog, F. and McNeil, A. (2003). Modelling dependence with copulas and applications to risk management. In *Handbook of Heavy Tailed Distributions in Finance*, ed. S. Rachev, Elsevier, Ch. 8, 329–384.
- Engle, R.F. (1982). Autoregressive conditional heterokedasticity with estimates of the variance of U.K. inflation. *Econometrica*, **50**, 987–1008.
- Engle, R.F. (2000). The econometrics of ultra-high-frequency data. *Econometrica*, **68**, 1–22.
- Engle, R.F. and Kroner (1995). Multivariate simultaneous GARCH. *Econometric Theory*, **11**, 122–150.
- Engle, R.F. and Granger, C.W.J. (1987). Cointegration and error correction:

- Representation, estimation and testing. *Econometrica*, **55**, 251–276.
- Engle, R.F. and Yoo, B.S. (1987). Forecasting and testing in cointegrated systems. *Journal of Econometrics*, **35**, 143–159.
- Engle, R.F. and Russell, J.R. (1998). Autoregressive conditional duration: A new model for irregularly spaced transaction data. *Econometrica*, **66**, 1127–1162.
- Engle, R.F. and Manganelli, S. (2004). CAViaR: Conditional autoregressive value at risk by regression quantiles. *Journal of Business and Economic Statistics*, **22**, 367–381.
- Engle, R.F. and Patton, A.J. (2001). What good is a volatility model. *Quantitative Finance*, **1**, 237–245.
- Fama, E. (1970). Efficient capital markets: A review of theory and empirical work. *Journal of Finance*, **25**, 383–417.
- Fan, J. (1993). Local linear regression smoothers and their minimax efficiency. *The Annals of Statistics*, **21**, 196–216.
- Fermanian, J.-D. and Scaillet, O. (2003). Nonparametric estimation of copulas for time series. *Journal of Risk*, **5**, 25–54.
- Fermanian, J.-D., Radulovic, D. and Wegkamp, M. (2004). Weak convergence of empirical copula processes. *Bernoulli*, **10**, 847–860.
- Fernandes, M. and Gramming, J. (2005). A family of autoregressive conditional duration models. Preprint.
- Fernandez, C. and Stell, M. (1998). On Bayesian modelling of fat tails and skewness. *Journal of the American Statistical Association*, **93**, 359–371.
- Fox, R. and Taqqu, M. S. (1986). Large sample properties of parameter estimates for strongly dependent stationary Gaussian time series. *The Annals of Statistics*, **14**, 517–532.
- Franses, P.H. (1998). *Time Series Models for Business and Economic Forecasting*. Cambridge: Cambridge University Press.
- Fréchet,M. (1951). Sur les tableaux de corrélation dont les margens sont données. *Annales Université de Lyon, Section A*, **9**, 53–77.
- Fuller, W.A. (1996). *Introduction to Statistical Time Series*. Second Edition.

New York: Wiley.

Garman, M.B. and Klass, M.J. (1980). On the estimation of security price volatility from historical data. *Journal of Business*, **53**, 67–78.

Genest, C., Masiello, E. and Tribouley, K. (2009). Estimating copula densities through wavelets. *Insurance: Mathematics and Economics*, **44**, 170–181.

Genest, C., Rémillard, B. and Beaudoin, D. (2009). Goodness-of-fit tests for copulas: A review and a power study. *Insurance: Mathematics and Economics*, **44**, 199–213.

Geweke, J. and Porter-Hudak, S. (1983). The estimation and application of long memory time series models. *Journal of Time Series Analysis*, **4**, 221–238.

Giot, P. and Laurent, S. (2004). Modelling daily value-at-risk using realized volatility and ARCH type models. *Journal of Empirical Finance*, **11**, 379–398.

Glosten, L.R., Jagannathan, R. and Runkle, D. (1993). Relationship between the expected value and the volatility of the nominal excess return on stocks. *Journal of Finance*, **48**, 1779–1801.

Gordy, M.B. (2000). A comparative anatomy of credit risk models. *Journal of Banking and Finance*, **26**, 1335–1353.

Granger, C.W.J. (1969). Investigating causal relationships by econometric models and cross-spectral methods. *Econometrica*, **37**, 424–438.

Granger, C. M. G. and Joyeux, R. (1980). An introduction to long memory time series models and fractional differencing. *Journal of Time Series Analysis*, **1**, 15–29.

Granger, C.W.J. and Newbold, P.E. (1974). Spurious regression in econometrics. *Journal of Econometrics*, **2**, 111-120.

Guzman, I.R.E. and Morettin, P.A. (2011). Stochastic volatility models with scale mixture of normals errors and leverage effect. Preprint.

Hamilton, J.D. (1994). *Time Series Analysis*. Princeton: Princeton University Press.

Hannan, E. J. (1973). The asymptotic theory of linear time series models. *Journal of Applied Probability*, **10**, 130–145.

Hannan, E.J. (1980). The estimation of the order of an ARMA process. *The*

- Annals of Statistics*, **8**, 1071–1081.
- Hannan, E.J. (1982). Testing for autocorrelation and Akaike's criterion. In *Essays in Statistical Science*, special volume 19A of *Journal of Applied Probability*. The Applied Probability Trust, Sheffield, 403–412.
- Hansen, B.E. (1992). Efficient estimation and testing of cointegrating vectors in the presence of deterministic trends. *Journal of Econometrics*, **53**, 87–121.
- Harvey, A.C. (1998). Long memory in stochastic volatility. In *Forecasting Volatility in Financial Markets* (J. Knight and S. Satchell, eds.), 307–320. Oxford: Butterworth-Heinemann.
- Hendry, D.F. and Juselius, K. (2000). Explaining cointegration analysis: Part I. *The Energy Journal*, **21**, 1–42.
- Hendry, D.F. and Juselius, K. (2001). Explaining cointegration analysis: Part II. *The Energy Journal*, **22**, 75–120.
- Hoeffding, W. (1940). Massstabvariante Korrelationstheorie. *Schriften des Mathematischen Instituts und des Instituts für Angewandte Matematik der Universität Berlin*, **5**, 179–233.
- Hoeffding, W. (1941). Massstabvariante Korrelationstheorie für diskontinuierliche Verteilungen. *Arkiv fr matematischen Wirtschaften un Sozialforschung*, **7**, 49–70.
- Hol, E. and Kopman, S.J. (2002). Stock index volatility forecasting with high frequency data. Discussion Paper N. 2002-068/4, Tinbergen Institute.
- Hosking, J. R. M. (1981). Fractional differencing. *Biometrika*, **68**, 165–176.
- Hsiao, C. (1979). Autoregressive modelling of Canadian money and income data. *Journal of the American Statistical Association*, **74**, 553–560.
- Hurst, H. E. (1951). Long-term storage capacity of reservoirs. *Transactions of the American Society of Civil Engineers*, **16**, 770–799.
- Hurst, H. E. (1957). A suggested statistical model of time series that occur in nature. *Nature*, **180**, 494.
- Hurvish, C.M. and Tsai, C.L. (1989). Regression and time series model selection in small samples. *Biometrika*, **76**, 297–307.
- Jaquier, E., Polson, N.G. and Rossi, P.E. (1994). Bayesian analysis of stochas-

- tic volatility models (With Discussion). *Journal of Business and Economic Statistics*, **12**, 371–417.
- Jenkins, G.M. and Watts, D.G. (1968). *Spectral Analysis and its Applications*. San Francisco: Holden-Day.
- Joanes, D.N. and Gill, C.A. (1998). Comparing measures of sample skewness and kurtosis. *The Statistician*, **47**, 183–189.
- Joe, H. (1997). *Multivariate Models and Dependence Concepts*. London: Chapman and Hall.
- Joe, H. and Xu, J.J. (1996). The estimation method of inference functions for margins for multivariate models. TR 166, Dept. Statistics, Univ. British Columbia.
- Johansen, S. (1988). Statistical analysis of cointegration vectors. *Journal of Economic Dynamics and Control*, **12**, 231–254.
- Johansen, S. (1994). The role of the constant and linear terms in cointegration analysis of nonstationary variables. *Econometric Reviews*, **13**, 205–229.
- Johansen, S. (1995). *Likelihood Based Inference in Cointegrated Vector Error Correction Models*. Oxford: Oxford University Press.
- Kim, S., Shephard, N. and Chib, S. (1998). Stochastic volatility: Likelihood inference and comparison with ARCH models. *Review of Economic Studies*, **85**, 361–393.
- Koenker, R.W. and Bassett, G.W. (1978). Regression quantiles. *Econometrica*, **46**, 33–50.
- Koop, G. (1992). Aggregate shocks and macroeconomic fluctuations: A Bayesian approach. *Journal of Applied Econometrics*, **7**, 395–411.
- Koopman, S.J., Harvey, A.C., Doornick, J.A. and Shephard, N. (2000). STAMP 5.0: Strucтурal Time Series Analyser, Modeller and Predictor. London: Timberlake.
- Kojadinovic, I. (2008). *Copulas: Applications*. First Summer School on Copulas. Linz, September
- Kotz, S. and Nadarajah, S. (2003). Local dependence functions for elliptically symmetric distributions. *Sankhyā*, **65**, 207–223.

- Kruskal, W.H. (1958). Ordinal measures of association. *Journal of the American Statistical Association*, **53**, 814–861.
- Kuan, C., Yeh, J. and Hsu, Y. (2009). Assessing Value at Risk with CARE, the Conditional Autoregressive Expectile models. *Journal of Econometrics*, **150**, 261–270.
- Kwiatkowski,D., Phillips, P.C.B., Schmidt, P. and Shin, Y. (1992). Testing the null hypothesis of stationarity against the alternative of a unit root. *Journal of Econometrics*, **54**, 159–178.
- Latif, S.A. (2008). Medidas de Dependência Local para Séries Temporais. Tese de Doutoramento, IME-USP.
- Latif, S.A. and Morettin, P.A. (2010). Estimation of a correlation measure for independent samples and time series data. Submetido.
- Laurent, S. and Peters, J.P. (2002). GARCH 2.3: An Ox package for estimating and forecasting various ARCH models. *Journal of Economic Surveys*, **16**, 447–485.
- Laurent, S., Bauwens, L. and Rombouts, J.V.K. (2006). Multivariate GARCH models: a survey. *Journal of Applied Econometrics*, **21**, 79–109.
- Layton, A. P. (1984). A further note on the detection of Granger instantaneous causality. *Journal of Time Series Analysis*, **5**, 15–18.
- Lehmann, E.L. (1966). Some concepts of dependence. *Annals of Mathematical Statistics*, **37**, 1137–1153.
- Ljung, G. and Box, G.E.P. (1978). On a measure of lack of fit in time series models. *Biometrika*, **65**, 297–303.
- Lo, A.W. (1991). Long term memory in stochastic market prices. *Econometrica*, **59**, 1279–1313.
- Longstaey, J. and More, L. (1995). Introduction to RiskMetricsTM, 4th Edition. New York: Morgan Guaranty Trust Company.
- Lopes, H.F. and Lima, E.C.R. (1995). *Co-integração: Enfoques Clássico e Bayesiano*. Vitória: Sexta Escola de Séries Temporais e Econometria.
- Lubrano, M. (1995). Testing for unit roots in a Bayesian framework. *Journal of Econometrics*, **69**, 81–109.

- Lütkepohl, H. (1991). *Introduction to Multiple Time Series Analysis*. Heidelberg: Springer Verlag.
- Mandelbrot, B.B. and Van Ness, J.W. (1968). Fractional Brownian motions, fractional Brownian noises and applications. *SIAM Review*, **10**, 422–437.
- Mandelbrot, B.B. and Wallis, J. (1968). Noah, Joseph and operational hydrology. *Water Resources Research*, **4**, 909–918.
- Manteiga, S.M. (2002). Comparação de Metodologias para Estimação de Volatilidades para Cálculo do VaR- Valor-no-Risco e Modelagem de Perdas Não Previstas pelo VaR em Momentos de Crise. Dissertação de Mestrado Profissionalizante, FEA-IME, Universidade de São PAulo.
- Martens, M., Chang, Y.-C. and Taylor, S.J. (2002). A comparison of seasonal adjustment methods when forecasting intraday volatility. *The Journal of Financial research*, **25**, 283–299.
- McLeod, A. I. and Hipel, K. W. (1978). Preservation of the rescaled adjusted range, 1: A reassessment of the Hurst phenomenon. *Water Resources Research*, **14**, 491–508.
- Mendes, B.V.M. (2004). *Introdução à Análise de Eventos Extremos*. Rio de Janeiro: E-Papers Serviços Editoriais.
- Merton, R.C. (1973). Theory of option pricing. . *Bell Journal of Economics and Management Science* , **4**, 141–183.
- Miller, K.S. (1969). *An Introduction to the Calculus of Finite Differences and Difference Equations*. Dover.
- Mills, T.C. (1999). *The Econometric Modelling of Financial Time Series*. Second Edition. Cambridge University Press.
- Mittnik, S., Rachev, S.T. and Paolella, M.S. (1998). Stable Paretian modeling in finance: Some empirical and theoretical aspects. In *A Practical Guide to Heavy Tails* (R.J. Adler, R.E Feldman and M.S. Taqqu, editors), p. 79–110. Boston: Birkhäuser.
- Morettin, P.A. (1984). The Levinson algorithm and its applications in time series analysis. *International Statistical Revue*, **52**, 83–92.
- Morettin, P.A. and Toloi, C.M.C. (2006). *Análise de Séries Temporais*. Segunda Edição. São Paulo: Blucher-Associação Brasileira de Estatística.

- Morettin, P.A., Toloi, C.M.C., Chiann, C. and de Miranda, J.C.S. (2010a). Wavelet estimation of copulas for time series. A aparecer, *Journal of Time Series Econometrics*.
- Morettin, P.A., Toloi, C.M.C., Chiann, C. and de Miranda, J.C.S. (2010b). Wavelet smoothed empirical copula estimators. *Brazilian Review of Finance*, **8**, 263–281.
- Motta, A.C.O. (2001). Modelos de Espaço de Estados Não-Gaussianos e o Modelo de Volatilidade Estocástica. Dissertação de mestrado, IMECC-UNICAMP.
- Müller, U.A., Dacorogna, M.M., Davé, R.D., Olsen, R.B., Pictet, O.V. and von Weizsäcker, J.E. (1997). Volatilities of different time resolutions - Analyzing the dynamics of market components. *Journal of Empirical Finance*, **4**, 213–289.
- Nadarajah, S., Mitov, K. and Kotz, S. (2003). Local dependence functions for extreme value distributions. *Journal of Applied Statistics*, **10**, 1081–1100.
- Nelsen, R.B. (2003). Properties and applications of copulas: A brief survey. Proceedings of the First Brazilian Conference on Statistical Modelling in Insurance and Finance (J. Dahene, N. Kolev and P.A. Morettin, editors), Institute of Mathematics and Statistics, University of São Paulo, 10–28.
- Nelsen, R.B. (2006). *An Introduction to Copulas*. Second Edition. New York: Springer.
- Nelson, D.B. (1991). Conditional heteroskedasticity in asset returns. *Econometrica*, **59**, 347–370.
- Nelson, D.B. and Cao, C.Q. (1992). Inequality constraints in the univariate GARCH model. *Journal of Business and Economic Statistics*, **10**, 229–235.
- Newey, W.K. and West, K.D. (1987). A simple positive semidefinite heteroskedasticity and autocorrelation consistent covariance matrix. *Econometrica*, **55**, 703–708.
- Ng, S. and Perron, P. (1995). Unit roots tests in ARMA models with data-dependent methods for the selection of the truncation lag. *Journal of the American Statistical Association*, **90**, 268–281.
- Oomen, R. (2001). Using high frequency stock market index data to calculate,

model and forecast realized return volatility. Working Paper 2001/6, European University Institute.

Osterwald-Lenum, M. (1992). A note with quantiles of the asymptotic distribution of maximum likelihood cointegration rank statistics. *Oxford Bulletin of Economics and Statistics*, **54**, 461–472.

Pagan, A.R. and Schwert, G.W. (1990). Alternative models for conditional stochastic volatility. *Journal of Econometrics*, **45**, 267–290.

Patton, A.J. (2006). Modelling asymmetric exchange rate dependence. *International Economic Revue*, **47**, 527–556.

Perron, P. (1988). Trends and random walks in macroeconomic time series: Further evidence from a new approach. *Journal of Economic Dynamics and Control*, **12**, 297–332.

Perron, P. and Ng, S. (1996). Useful modifications to some unit root tests with dependent errors and their local asymptotic properties. *Review of Economic Studies*, **63**, 435–463.

Phillips, P.C.B. (1986). Understanding spurious regression in econometrics. *Journal of Econometrics*, **33**, 311–340.

Phillips, P.C.B. (1987). Time series regression with a unit root. *Econometrica*, **55**, 277–301.

Phillips, P.C.B. (1991a). Optimal inference in cointegrated systems. *Econometrica*, **59**, 283–306.

Phillips, P.C.B. (1991b). To criticize the critics: An objective Bayesian analysis of stochastic trends. *Journal of Applied Econometrics*, **6**, 333–364.

Phillips, P.C.B. (1994). Model determination and macroeconomic activity. Cowles Foundation Discussion Paper # 1083, Yale University.

Phillips, P.C.B. and Perron, P. (1988). Testing for unit roots in time series regression. *Biometrika*, **75**, 335–346.

Phillips, P.C.B. and Ouliaris, S. (1990). Asymptotic properties of residual based tests for cointegration. *Econometrica*, **58**, 73–93.

Phillips, P.C.B. and Shimotsu, K. (2004). Local Whittle estimation in nonsta-

- tionary and unit root cases. *The Annals of Statistics*, **32**, 656–692.
- Pierce, D.A. and Haugh, L.D. (1977). Causality in temporal systems: Characterizations and a survey. *Journal of Econometrics*, **5**, 265–293.
- Quenouille, M.H. (1949). Approximate tests of correlation in time series. *Journal of the Royal Statistical Society, Series B*, **11**, 68–84.
- Reiss, R.-D. and Thomas, M. (2001). *Statistical Analysis of Extreme Values with Applications to Insurance, Finance, Hydrology and Other Fields*. Second Edition. Birkhäuser.
- Rissanen, J. (1978). Modelling by shortest data description. *Automatica*, **14**, 465–471.
- Rockafellar, R.T. and Uryasev, S. (2000). Optimization of conditional value-at-risk. *Journal of Risk*, **2**, 21–41.
- Rockafellar, R.T. and Uryasev, S. (2002). Conditional value-at-risk for general loss distributions. *Journal of Banking & Finance*, **26** 1443–1471.
- Roll, R. (1984). A simple implicit measure of the effective bid-ask spread in an efficient market. *Journal of Finance*, **39**, 1127–1140.
- Ruilova, J.C. (2007). Modelos ARCH Heterogêneos e Aplicações à Análise de Dados de Alta Frequência. Tese de Doutoramento, IME-USP.
- Said, S.E. and Dickey, D.A. (1985). Hypothesis testing in ARIMA (p,1,q) models. *Journal of the American Statistical Association*, **80**, 369–374.
- Schwarz, G. (1978). Estimating the dimension of a model. *The Annals of Statistics*, **6**, 461–464.
- Schwert, W. (1989). Test for unit roots: A Monte Carlo investigation. *Journal of Business and Economic Statistics*, **7**, 147–159.
- Seater, J. J. (1993). World temperature – Trend uncertainties and their implications for economic policy. *Journal of Business and Economic Statistics*, **11**, 265–277.
- Shephard, N. and Pitt, M.K. (1997). Likelihood analysis of Non-Gaussian measurement time series. *Biometrika*, **84**, 653–667.
- Shibata, R. (1976). Selection of the order of an autoregressive model by Akaike's information criterion. *Biometrika*, **63**, 117–126.

- Sims, C.A. (1988). Bayesian skepticism on unit root econometrics. *Journal of Economic Dynamic and Control*, **12**, 463–474.
- Sims, C.A. and Uhlig, H. (1991). Understanding unit roots: A helicopter tour. *Econometrica*, bf 59, 1591–1599.
- Sklar, A. (1959). Fonctions de répartition à n dimensions et leurs marges. *Publications Institut Statistique Université de Paris*, **8**, 229–231.
- Smith, R.L. (1985). Maximum likelihood estimation in a class of non-regular cases. *Biometrika*, **72**, 67–90.
- Stock, J.H. and Watson, M.W. (1988). Testing for common trends. *Journal of The American Statistical Association*, **83**, 1097–1107.
- Stoll, H. and Whaley, R. (1990). Stock market structure and volatility. *Review of Financial Studies*, **3**, 37–71.
- Taylor, J.W. (2008). Estimating Value at Risk and Expected Shortfall using expectiles. *Journal of Financial Econometrics*, **6**, 231–252
- Taylor, S.J. (1980). Conjectured models for trend in financial prices tests as forecasts. *Journal of The Royal Statistical Society, Series B*, **42**, 338–362.
- Taylor, S.J. (1982). Financial returns modelled by the product of two stochastic processes- a study of daily sugar prices 1961-79. In O.D. Anderson (ed.), *Time Series Analysis: Theory and Practice 1*, 203–226. Amsterdam: North Holland.
- Taylor, S.J. (2008). *Modeling Financial Time Series*. Second Edition. New York: Wiley.
- Taylor, S.J. and Xu, X. (1997). The incremental volatility information in one million foreign exchange quotations. *Journal of Empirical Finance*, **4**, 317–340.
- Tsay, R.S. (2005). *Analysis of Financial Time Series*. Second Edition. New York: Wiley.
- Tsurumi, H. and Wago, H. (1994). A Bayesian analysis of unit root and cointegration with an application to a Yen–Dollar exchange rate model. Pre-print.
- Venables, W.N. and Ripley, B.D. (2001). *Modern Applied Statistics with S-Plus*. Second Edition. New York: Springer.

- Wiener, N. (1923). Differential space. *Journal of Mathematical Physics*, **2**, 131–174.
- Zakoian, J.M. (1994). Threshold heteroskedasticity models. *Journal of Economic Dynamics and Control*, **18**, 931–955.
- Zhang, M.Y., Russell, J.R. and Tsay, R.S. (2001). A nonlinear autoregressive conditional duration model with applications to financial transaction data. *Journal of Econometrics*, **104**, 179–207.
- Zivot, E. (2005). *Analysis of High Frequency Financial Data: Methods, Models and Software*. Minicurso para a 11^a Escola de Séries Temporais e Econometria. Vila Velha, ES, Agosto de 2005.
- Zivot, E. and Wang, J. (2006). *Modelling Financial Time Series With SPLUS*. Second Edition. New York: Springer.

Séries Usadas no Texto

As seguintes séries podem ser obtidas de <http://www.ime.usp.br/~pam/ef.html>.

CEMIG-D: Preços diários das ações da CEMIG, de 2/1/95 a 27/12/2000 ($T = 1499$).

d-cemig95.00.dat

DOW-D: Índices diários do Dow Jones Industrial Average, de 3/1/95 a 26/11/02 ($T = 1992$).

d-dow95.02.dat

IBM-D: Log-retornos diários da IBM de 3/7/1962 a 31/12/1999 ($T = 9442$).

d-ibm62.99.dat

IBV-D: Índices diários do Ibovespa, de 2/1/95 a 27/12/2000 ($T = 1499$).

d-ibv95.00.dat

IBV2-D: Índices diários do Ibovespa, de 04/07/1994 a 29/09/2010 ($T = 4019$).

d-ibv94.10.dat

PETRO-D: Preços diários das ações da Petrobras, de 2/1/95 a 27/12/2000 ($T = 1499$).

d-petro95.00.dat

PETRO2-D: Preços diários das ações da Petrobras, de 18/08/1998 a 29/09/210 ($T = 2999$).

d-petro98.10

US/REAL-D: Taxas de câmbio diárias USD/Real, de 30/06/1994 a 01/07/1998 ($T = 997$).

d-usre94.98.dat

VALE-D: Preços diários das ações da VALE, de 31/08/1998 a 29/09/2010 ($T = 2991$).

d-vale98.10.dat

CBOND-M: Dados mensais dos juros do C-Bond brasileiro, de julho de 1994 a agosto de 2001 ($T = 86$).

m-cbond94.01.dat

IBM-M: Log-retornos mensais da IBM de janeiro de 1926 a dezembro de 1997 ($T = 864$).

m-ibm26.97.dat

IBV-M: Índices mensais do Ibovespa, de julho de 1994 a agosto de 2001 ($T = 86$).

m-ibv94.01.dat

ICV-M: Índices mensais de custo de vida de São Paulo, de janeiro de 1970 a junho de 1979 ($T = 114$).

m-icv70.79.dat

IPI-M: Índices mensais de produção industrial do Brasil-setor de alimentação, de janeiro de 1985 a julho de 2000 ($T = 187$).

m-ipi85.00.dat

PFI-M: Índices mensais de produção física industrial geral do Brasil, de janeiro de 1985 a julho de 2000 ($T = 187$).

m-pfi85.00.dat

SP-M: Log-retornos mensais do S&P500, de janeiro de 1962 a dezembro de 1999 ($T = 456$).

m-sp62.99.dat

EUDO-ID: Taxas de câmbio Euro/Dolar, a cada 5 minutos, de 1/1/1999 a 31/12/2002 ($T = 288860$).

id-eudo99.02.dat

IBV-ID: Índices intradiários do Ibovespa, a cada 15 minutos, de 6/4/1998 a 13/8/2003 ($T = 37961$).

id-ibv98.03.dat

TLM-ID: Preços intradiários da Telemar PN, a cada 15 minutos, de 2/1/2002 a 31/3/2005 ($T = 21429$).

id-tel02.05.dat

TLIBM-ID: Preços intradiários da Telemar PN, de 8/9/2004 a 10/09/2004

($T = 4096$) e preços intradiários da IBM, de 01/11/1990 a 08/11/1990 ($T = 4096$).

id-tlibm.dat

BEV-A: Índices de preços anuais de trigo na Europa, de 1500 a 1869 ($T = 370$).

a-bev00.69.dat

Índice

- agregação
 - cross-section, 11
 - temporal, 11
- AIC, 85
 - correção, 85
 - de modelo AR, 85
 - de modelo ARMA, 85
- aleatório
 - passeio, 53
- Alta frequência, 225
- AR(p)
 - f.a.c., 73
 - f.a.c.p., 76
 - vetorial, 265
- ARCH, 1
 - estimação, 137
 - identificação, 136
 - modelos, 132
 - momentos, 133
 - previsão, 138
 - verificação, 138
- ARFIMA
 - estacionariedade, 176
 - estimação, 180
 - f.a.c., 176
 - modelos, 176
- ARIMA
- identificação, 72
 - modelos, 71
- ARMA, 1
 - modelos, 71
- ARMA(p,q), 50
 - autocovariâncias, 51
 - estacionariedade, 50
 - f.a.c., 73
 - f.a.c.p., 76
 - invertibilidade, 50
- ask price, 227
- assimetria, 17
- auto-covariância
 - continuidade, 39
- auto-regressivos
 - AR(1), 43
- autocovariância
 - propriedades, 37
- autoregressivos
 - AR(p), 42
- autorregressivos
 - processos, 42
 - vetoriais, 265
- BIC, 85
 - de modelo ARMA, 86
- bid price, 227

- bid-ask spread, 226
- BOVESPA, 234
- Browniano
 - movimento, 59
 - padrão, 59
- cópula, 323
 - t , 336
 - Arquimediana, 335
 - de Clayton, 336
 - de Frank, 336
 - de Gumbel, 335, 336
 - definição, 329
 - densidade, 332
 - empírica, 343
 - Gaussiana, 334, 336
 - produto, 330
- cópulas
 - para séries temporais, 346
 - paramétricas, 340
 - valor em risco, 348
- causalidade
 - de Granger, 280
 - instantânea, 283
 - unidirecional, 281
- Cholesky
 - decomposição, 294
- comonotônicas
 - cópulas, 330
 - variáveis, 324
- contramonotônicas
 - cópulas, 330
 - variáveis, 324
- correlação
 - coeficiente, 325
- correlações
 - matriz de, 261
- covariâncias
 - estimação, 263
- matriz de, 259
- curtose, 17
- curva
 - de impacto de informação, 149
- CVaR, 215
- dados
 - não sincronizados, 226
 - tick-by-tick, 225
- DAF, 225
- DF
 - teste, 78
- diagnóstico
 - de modelos ACD, 249
 - de modelos ARIMA, 93
- distribuição
 - de erro generalizada, 162
 - de Pareto generalizada, 222
 - de valores extremos, 208, 219
 - t assimétrica, 162
- distribuições
 - finito-dimensionais, 33
- durações, 228
- Durbin-Levinson
 - algoritmo, 75
- ergodicidade, 14
- erro
 - de previsão, 98
 - de previsão, variância, 98
- estacionário
 - estrito, 35
 - fraco, 36
 - processo, 31
- estacionários
 - lineares, 40
- estacionariedade
 - condição, 45
- estatística
 - R/S, 171

- estimação, 88
 - coeficiente de correlação, 325
 - coeficiente de Kendall, 327
 - de modelos ACD, 248
 - de modelos AR, 88
 - de modelos MA, 90
 - de modelos VAR, 272
- estimadores
 - de MV, 342
 - de MV exatos, 91
 - de pseudo-MV, 344
 - variância dos, 91
- EViews, 24, 93, 138, 272
- EWMA, 21
- FIEGARCH
 - modelos, 187
- FIGARCH
 - modelos, 187
- Fréchet, 219
- função
 - de autocorrelação, 38
 - de autocorrelação parcial, 74
 - de autocovariância, 34
- funcional
 - teorema limite central, 64
- GARCH
 - estimação, 144
 - extensões, 148
 - identificação, 144
 - modelos, 143
 - previsão, 145
- GARCH(1,1), 144
- GPH
 - estimador, 175
 - procedimento, 173
- Gumbel, 219
- GVE, 219
 - inferência, 220
- heteroscedasticidade, 19
- Hurst
 - coeficiente, 167
- Ibovespa
 - dados intradiários, 235
- identificação
 - de modelos ACD, 248
 - de modelos ARIMA, 72
 - procedimento de, 77
- IFM, 342
- Kendall
 - coeficiente, 326
- limites
 - de Fréchet-Hoeffding, 331
- liquidez, 255
- log-retorno, 8
 - da carteira, 10
- longa
 - memória, 167
- média
 - de um processo, 34
- MA(q), 46
 - f.a.c., 73
 - f.a.c.p., 76
 - invertibilidade, 48
- martingales, 65
 - convergência, 67
 - diferença de, 67
- matrizes, 287
 - autovalores, 291
 - autovetores, 291
 - decomposição, 291
 - determinante de, 287
 - particionadas, 289
 - ponto de, 287
 - produto de Kronecker, 289

- traço de, 287
- vetorização, 289
- medidas de dependência, 323
 - de caudas, 328
 - globais, 324
 - locais, 351
- memória
 - curta, 167
 - longa, 167
- memória longa, 167
 - testes, 170
- mercado
 - de taxa de câmbio, 255
 - order driven, 255
 - price driven, 255
- metadistribuições, 338
- Minitab, 92
- modelo
 - ACD, 243
 - ACD(1,1), 247
 - de duração condicional, 243
- modelos
 - ARCH, 132
 - ARFIMA, 176
 - ARIMA, 56
 - ARMA vetorias, 276
 - autorregressivos vetoriais, 265
 - BEKK, 165
 - de volatilidade estocástica, 152
 - EGARCH, 149
 - estruturais, 294
 - EWMA multivariados, 164
 - FIEGARCH, 187
 - FIGARCH, 186
 - GARCH, 143
 - GARCH multivariados, 163
 - IGARCH, 145
 - MGARCH, 163
 - mistas, 91
- multivariados, 259
- sazonais, 101
- sazonais multiplicativos, 104
- TGARCH, 151
- VARMA, 278
- VEC, 164
- VEC diagonais, 165
- momentos, 34
- média, 34
- Movimento Browniano
 - geométrico, 62
 - geral, 61
- MVE, 152
 - estimação, 156
 - forma canônica, 153
 - formulação de Jaquier, 153
 - propriedades, 154
- postos
 - padronizados, 343
- previsão
 - com modelos ARIMA, 96
 - erro, 98
 - intervalo de confiança, 100
- processo
 - autossimilar, 61
 - com memória longa, 167
 - complexo, 40
 - contínuo em mq, 38
 - especificação de um, 33
 - estocástico, 31
 - gaussiano, 36
 - integrado, 56
 - linear, 40
 - linear geral, 51
 - linear multivariado, 263
 - não estacionário, 53
 - puramente aleatório, 42
 - realização, 32

- trajetória, 32
- trend-stationary, 54
- processos
 - de Lévy, 69
- raiz unitária, 111
 - teste ADF, 115
 - teste DF, 114
 - teste PP, 121
- resíduos, 94
- retorno
 - intradiário, 234
 - overnight, 235
- retornos
 - agregação, 10
 - anualização, 9
 - brutos simples, 7
 - compostos, 8
 - distribuição, 12
 - fatos estilizados, 18
 - intradiários, 225
 - líquidos simples, 7
 - multiperíodos, 8
- risco, 193
 - medidas coerentes, 215
 - valor em, 193
- RiskMetrics, 21
- ruído branco, 41
 - discreto, 41
- S+FinMetrics, 24, 138
- SARIMA
 - modelos, 104
- sazonais
 - modelos, 101
- sazonal
 - diferença, 102
- sazonalidade
 - de retornos, 243
- seqüência
 - aleatória, 41
 - sequêncial
 - i.i.d.*, 41
- Spearman
 - coeficiente, 327
- SPlus, 24
- STAMP, 24, 157
- Teorema
 - de Sklar, 329
- teste
 - ADF, 115
 - de autocorrelação residual, 94
 - de Box-Pierce-Ljung, 95
 - DF, 112
 - DF-extensões, 116
 - Phillips-Perron, 121
- unitárias
 - raízes, 78, 111
- valor
 - em risco, 193
- valores extremos
 - teoria, 218
- VAR
 - construção, 271
 - diagnóstico, 273
 - equações de Yule-Walker, 270
 - estacionário, 270
 - estimação, 272
 - identificação, 271
 - modelos, 265
 - previsão, 273
- VaR, 195
 - condicional, 215
 - definição, 195
 - RiskMetrics, 196
 - usando modelos GARCH, 202
 - usando POT, 210

usando quantis empíricos, 206
usando TVE, 207

variância

realizada, 240

variação
quadrática, 252

VARMA

modelos, 280

volatilidade, 1, 21

estatística, 21

estocástica, 152

histórica, 21

implícita, 21

modelagem, 131, 251

realizada, 22, 229

Weibull, 219

Wold

teorema de, 53

Yule-Walker

equações, 46, 74

estimadores, 46